



İstanbul Üniversitesi
Fen Fakültesi
Astronomi ve Uzay Bilimleri Bölümü

Astronomi Derneği

VII. ULUSAL ASTRONOMİ KONGRESİ

10 - 15 Eylül 1990

Editör

Prof. Dr. Kâmurân AVCIOĞLU

Silivri - İSTANBUL
1991



Türkiye'de astronominin gelişmesi doğrultusunda çalışmayı yaşam
tarzı edinmiş ve bu yönde ölümsüz eserler bırakmış
çok sevgili hocamız ve meslektaşımız
Sayın Prof. Dr. Kâmurhan Avcıoğlu'nun
aziz hatirasına.

İÇİNDEKİLER

<i>Toplantı Programı.....</i>	V
<i>VII.Uluslararası Astronomi Toplantısına Katılanların Listesi.</i>	XI
<i>Açılış Konuşmaları</i>	
Prof.Dr.Kamuran Avcioğlu	XII
Prof.Dr.Dilhan Eryurt	XIII
Prof.Dr.Gökmen Tektunalı	XV
Prof.Dr.Nizhet Gökdoğan	XVI
1- Yıldızlarda Dönme ve Turbulans	
H. Kirbiyik	1
2- Yarı-Göreceli Yarı-Soysuz Elektron Gazi İçin Basıncın Hesaplanması	
M. Yıldız	43
3- Anakol Yıldızları İçin Kütle-Yarıçap ve Kütle-Parlaklık Bağıntıları	
G. Kahraman, O. Demircan	51
4- Spiral Galaksilerin Rotasyonel Özellikleri ve Hubble Tipleri	
G. Tektunalı, F. Tektunalı	67
5- Galaksiler ve Kozmoloji	
F. Tektunalı, G. Tektunalı	79
6- Friedmann Evrenlerinin Rotasyonel Perturbasyonları	
C. Battal, İ. Yavuz, H. Baysal	85
7- Bir "COASTING" Uyuşuk Kozmolojide Quasar Evrimi	
E. Rıza, H. Mutuş, S. Erbil, K.G. Akdeniz	91
8- Çift Kabuk Yanmalı 5 M_{\odot} H-He Yıldızının Radyal Titreşimleri	
H. Kirbiyik	101
9- Yakın Çift Yıldızların Spektroskopik Verilerinin Değerlendirilmesi	
T. Özkan, A.Esendemir	103
10- VV Hydri' nin Optik ve Morötesi Gözlemleri	
T. Saygaç	121
11- GK Per'in Morötesi Spektrumu	
H. Esenoğlu.	137
12- UV Psc ve ER Vul Örten Çift Yıldızlarının Bozulmuş Işık Eğrilerinin Analizi	
C. İbanoğlu, Z. Tunca, S. Evren, C. Akan, V. Keskin ...	153

13- <i>RS CVn Yıldızlarında Görülen Yüzey Aktivitesinin Çeşitli Yıldız Parametreleriyle Olan İlişkisi</i> S. Evren	173
14- <i>LS Delphini (HD199497) Yakın Çift Yıldızının Dönem Analizi</i> S. Selam, O. Demircan, E. Derman	183
15- <i>00 Aquilae Değen Çift Yıldızı</i> O. Demircan	193
16- <i>Türkiye'de Ulusal Astronomi Çalışmaları 11</i> E. Derman	207
17- <i>Gama Işınları Astrofizигinde Son Gelişmeler</i> M. E. Özel	221
18- <i>Radyo Atarcaları Işının Süreçleri</i> R. Peklaklı	237
19- <i>2CG013: Aynı Enerjide Kozmik Işınlar Kaynağı mı ?</i> M. E. Özel, J.F. Ormes, A. Akyüz	243
20- <i>Ariel 4 Uydusu Verileriyle Cusp Bögesi Sınırlarının Saptanması</i> G. Kandemir, Y. Tulunay	249
21- <i>OB Yıldızları Doğrultusundaki Kolon Yoğunlukları ile Kızarsa Arasındaki İlişki</i> H. Menteşe	261
22- <i>22. Güneş Leke Çevrinin Çıkış Kolunun İncelenmesi</i> A. Ökten	273
23- <i>Güneş Leke Gruplarının Oluşusunda Coriolis Kuvvetinin Etkisi</i> H. Gülseçen	281
24- <i>Fotometrik Gözlemler, İndirgenmesi ve Değerlendirilmesi</i> N. Güldür	297
25- <i>BX Andromedae' nin Fotometrik Analizi</i> Ö. Gülmen, N. Güldür, C. Sezer, B. Kılınç	319
26- <i>Reverse Algol Türü Yarı-Ayrık Örten Çift GO CYgni</i> C. Sezer, N. Güldür, Ö. Gülmen	325
27- <i>DH Leo Dizgesinde Fotometrik Etkinlik</i> Z. Aslan, E. Derman, A. Akalın	333
28- <i>Atmosferik Tutulma Gösteren Delta Sagittae Çift Yıldızı</i> A. Akalın, S. Engin, O. Demircan, E. Derman	343
29- <i>V346 Aql., KR Cyg. ve FG Hya Çift Yıldızlarının İşık Ve Dönem Değişimleri</i> Z. Milyesseroğlu, O. Demircan, E. Derman	351
30- <i>Galaksinin Çeşitli Parametrelerle İncelenmesi</i> S. Karaali	367

31- <i>M101 Yıldız Alanının Geliştirilmiş Dönüşüm Formülleri ile İncelenmesi</i> S. Güngör, S. Karaali	381
32- <i>Praesepe Yıldız Alanının Geliştirilmiş Yöntemlerle İncelenmesi</i> Y. Karataş, S. Karaali	393
33- <i>AH Virginis Değen Çift Yıldızının Dönem Analizi</i> O. Demircan, E. Derman, A. Akalın	409
34- <i>Değen ve Değmeye Yakın Çift Yıldızlar</i> S. Selam, O. Demircan	419
35- <i>A.Ü. Ahlatlıbel Rasathanesinde 1987-1990 Yılları Arasında Yapılan Fotometrik Gözlemlerin İstatistiği</i> G. Kahraman, E. Derman, O. Demircan	435
36- <i>A.Ü. Gözlemevi için Standart sisteme Dönüşüm Katsayıları</i> Z. Müyesseroğlu, S. Selam	447
37- <i>Çok Uzun Dönemli Bir RS CVn Yıldızı; EK Eri</i> F. Özeren, O. Demircan, E. Derman	457
38- <i>UX Arietis'in Fotoelektrik Işıkölçümü</i> F. Ekmekçi, C. Aydin, E. Derman	465
39- <i>AH Leo Değen Çift Yıldızının Işık ve Dönem Değişimleri</i> H. Dündar, E. Derman, O. Demircan	481

POSTERLER

40- <i>Pratik Efemerist Hesapları</i> N. Al	491
41- <i>Kromosferik ve Koronal Isıtma Mekanizmaları</i> M. Başal	493
42- <i>Absorpsiyon Osilatör Şiddetlerinin Güneş Spektrumundan İtibaren Hesaplanması</i> Ç. Bolcal, D. Koçer, T. Güzel, T. Koktay, E. Akman... 495	
43- <i>Yıldızlarda Kütle Kaybı Hakkında</i> H. Çalışkan	497
44- <i>A.Ü. Gözlemevinde Yapılan Çift Yıldızların Fotoelektrik Fotometrisi</i> E. Derman, O. Demircan, C. Aydin, N. Yılmaz, S. Engin, Z. Müyesseroğlu, S. Selam, F. Ekmekçi, A. Akalın, F. Özeren, G. Kahraman, H. Dündar, B. Gürol, B. Albayrak, V. Kalkan, N. Çağırıcı, N. Aslan	499

45- <i>Küresel kume X-Işın Kaynağı X 1820 - 303°'ın Ginga Gözlemleri</i> N. Ercan, B. J. Kellet, A. M. Cruise	501
46- <i>Tycho Brahe' ye Kadar Kurulan Rasathaneler ile Bu Rasathanelerde Mevcut Bilim Atmosferi ve Ortaya Konan Bilim Ürünleri</i> L. Göker	503
47- <i>Elemental Abundance Analyses with DAO Spect- rograms-VIII.The Normal F Main Sequence Stars Theta Cygni and Iota Piscium</i> D. Koçer, S. J. Adelman, Ç. Bolcal, G. Hill	505
48- <i>Kendini Oluşturan Evren Modeli (Şışkin Evren Teorisi)</i> A. Topbaş	507
49- <i>İstanbul Üniversitesi Gözlemevinde Yapılan Güneş Gözlemleri</i> T. Özışık	509
50- <i>Helyum Yanmalı Modellerde Nükleosentez ve Enerji Üretim Oranındaki Değişimler</i> B. Uyanıker, H. Kirbiyik	511

VII. Ulusal Astronomi Kongresi

ALMAR BÜRO GEREÇLERİ
DİAGNO TİBBİ CİHAZLAR
HAS BOYA
MERKEZ SIGORTA
TÜBİTAK

Tarafından Desteklenmiştir.

VII. ULUSAL ASTRONOMİ TOPLANTISI

10 - 15 Eylül 1990

10 Eylül 1990 Pazartesi

08.00 Kayıt

10:00 Açıılış Konuşmaları

Prof. Dr. Kamuran Avcıoğlu

İ.O. Fen Fakültesi Dekanı

Prof. Dr. Dilhan Eryurt

Astronomi Derneği Başkanı

Prof. Dr. Gökmen Tektunali

i.O. Astronomi ve Uzay Bilimleri Bölümü Başkanı

Prof. Dr. Nizhet Gökdoğan

i.O. Fen Fakültesi Astronomi Ve Uzay Bilimleri Bölümü Emekli Öğretim Üyesi

OTURUM I

Başkan: Prof. Dr. Muammer Dizer

11:00 Yıldızlarda Dönme ve Turbulans (Ç.B)

H. Kırkıyık

12:00 Yarı-Göreçeli Yarı-Sözsüz Elektron Gazi İçin Basıncın Hesaplanması

M. Yıldız , D. Eryurt

12:15 Anakol Yıldızları İçin Kütle-Yarıçap ve Kütle-Parıltılık Bağıntıları

G. Kahraman , O. Demircan

12:30 ARA

OTURUM II

Başkan: Prof. Dr. Kamuran Avcıoğlu

15:00 Spiral Galaksilerin Rotasyonel Özellikleri ve Hubble Tipleri

G. Tektunali , F. Tektunali

- 15:20 Galaksiler ve Kozmoloji
F. Tektunalı , G. Tektunalı
- 15:40 Friedmann Eurenlerinin Rotasyonel Perturbasyonları
C. Battal , İ. Yavuz
- 16:15 ÇAY
- 16:35 Bir "COASTING" Uyuşuk Kozmolojide Quasar Evrimi
E. Rıza , H. Mutuş, S. Erbil, K.G. Akdeniz
- 16:55 Çift Kabuk Yanmalı $5 M_{\odot}$ H-He Yıldızın Radyal Titreşimleri
H. Kirbiyik

11 Eylül 1990 Salı

OTURUK III

Başkan: Prof.Dr.Cemal Aydın

- 09:00 Yakın Çift Yıldızların Spektroskopik Verilerinin Değerlendirilmesi (Ç.B)
T. Üzkan , A. Esendemir
- 10:00 VW Hydri' nin Optik ve Morötesi Gözlemleri
T. Saygaç
- 10:20 GK Per'in Morötesi Spektrumu
H. Esenoğlu
- 10:35 ÇAY
- 10:55 UV Psc ve ER Vul Orten Çift Yıldızlarının Bozulmuş Işık Eğrilerinin Analizi
C. İbanoğlu , Z. Tunca, S. Evren, C. Akan, V. Keskin
- 11:15 RS CVn Yıldızlarında Görülen Yüzey Aktivitesinin Çeşit Yıldız Parametreleriyle Olan İlişkisi
S. Evren

11:35 LS Delphini (HD199497) Yakın Çift Yıldızının Dönem Analizi

S. Selam, O. Demircan, E. Derman

11:55 00 Aquilae Değen Çift Yıldızı

O. Demircan

11:55 ARA

OTURUM IV

Başkan: Prof.Dr.Dilhan Eryurt

15:00 Türkiye'de Astronomi Çalışmaları II

E. Derman

15:20 Astronomi Derneği Çalışmaları

12 Eylül 1990 Çarşamba

OTURUM V

Başkan: Prof.Dr.Halil Kırkıyık

09:00 Gama Işınları Astrofizигinde Son Gelişmeler (Ç.B)

M. Özel

09.40 Radyo Atarcaları Işını Süreçleri

R. Pektinlü

10:00 2CG013: Aynı Enerjide Kozmik Işınlar Kaynağı Ne ?

M. E. Özel, J.F. Ormes, A. Akyüz

10:10 Ariel 4 Uydusu Verileriyle Cusp Bögesi Sınırları-nın Saptanması

G. Kandemir, Y. Tulunay

10:30 ÇAY

10:45 OB Yıldızları Doğrultusundaki Kolon Yoğunlukları ile Kızarma Arasındaki İlişki

H. Menteşe

11:00 22. Güneş Leke Çevriminin Çıkış Kolunun İncelenmesi
A. Ökten

11:20 Güneş Leke Gruplarının Oluşumunda Coriolis Kuvvetinin Etkisi
H. Gülseçen

13 Eylül 1990 Perşembe

OTURUM VI

Başkan: Prof. Dr. Zeki Aslan

09:00 Ulusal Gözlemevi Çalışmaları
Z. Aslan

10:00 Fotometrik Gözlemler, İndirgenmesi ve Değerlendirilmesi(Ç.B)
N. Güldür

11:15 BX Andromedae' nin Fotometrik Analizi
B. Gülmen, N. Güldür, C. Sezer, B. Kılınç

11:35 Reverse Algol Türü Yarı-Ayrik Örten Çift GO CYGNI
C. Sezer, N. Güldür, B. Gülmen

11:55 DH Leo Dizgesinde Fotometrik Etkinlik
Z. Aslan, E. Derman, A. Akalın

12:15 Atmosferik Tutulma Gösteren Delta Sagittae
Çift Yıldızı
A. Akalın, S. Engin, O. Demircan, E. Derman

12:35 V346 Aql., KR Cyg. ve FG Hya Çift Yıldızların
Işık ve Dönem Değişimleri
Z. Milyesseroğlu, O. Demircan, E. Derman

13:00 ARA

OTURUM VII

Başkanı Prof. Dr. Cafer İbanoğlu

- 14:00 Galaksinin Çeşitli Parametreler ile İncelenmesi
S. Karaali

- 14:30 M101 Yıldız Alanının Geliştirilmiş Dönüşüm Formüller ile İncelenmesi
S. Güngör , S. Karaali

- 14:55 Praesepe Yıldız Alanının Geliştirilmiş Yöntemlerle İncelenmesi
Y. Karataş , S. Karaali

14 Eylül 1990 Cuma

OTURUM VIII

Başkanı Prof. Dr. M. E. Özel

- 09:00 AH Virginis Değen Çift Yıldızının Dönem Analizi
O. Demircan , E. Derman, A. Akalın

- 09:20 Değen ve Değmeye Yakın Çift Yıldızlar
S. Selam , O. Demircan

- 09:45 A.Ü. Ahlatlibel Rasathanesinde 1987-1990 Yılları Arasında Yapılan Fotometrik Gözlemlerin İstatistiği
G. Kahraman , E. Derman, O. Demircan

- 10:00 A.Ü. Gözlemevi İçin Standart sisteme Dönüşüm Katsayıları
Z. Müyesseroğlu , S. Selam

10:15 ÇAY

10:30 - 11:30 Poster Bildirilerinin tartışılması

11:30 Çok Uzun Dönemli Bir RS CVn Yıldızı; EK Eri

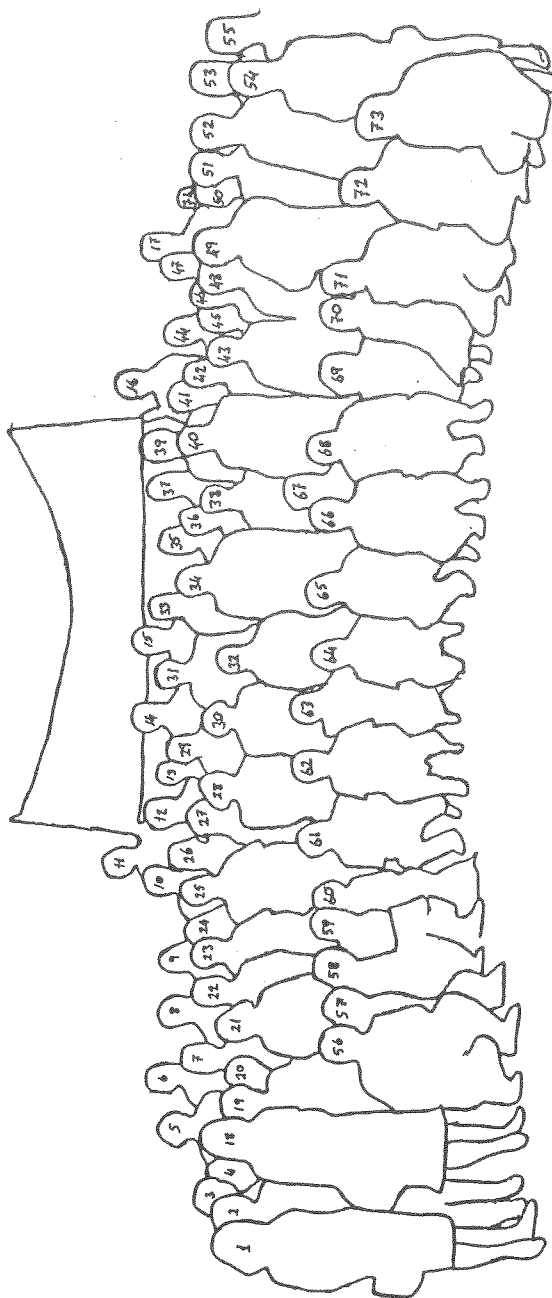
F. Özberen, O. Demircan, E. Derman

11:50 UX Arietis'in Fotoelektrik Işıkölçümü

F. Ekmekçi, C. Aydın, E. Derman

12:10 AM Leo Değen Çift Yıldızının Işık ve Dönem
Değişimleri

H. Dündar, E. Derman, O. Demircan



1. Gungör
2. Guler
3. Akman
4. Ataç
5. Özdemir
6. Dündar
7. Tektunali
8. Kahraman
9. Akalın
10. Esenoglu
11. Yıldız
12. Bolcal
13. Gülsegen
14. Pekunlu
15. Özgür
16. Saygaç
17. Ökten
18. Erdogan
19. Yılmaz
20. Özel
21. Bölge
22. Demircan
23. Gölbasi
24. Karahallioğlu
25. Aslan
26. Koktay
27. Güzel
28. Avcıoğlu
29. Aydin
30. Eryurt
31. Topaktas
32. Gökdoğan
33. Tekman
34. Dizer
35. Dizgelen
36. Mentesse
37. Karaali
38. Gudur
39. İbanoglu
40. Göker
41. Civelik
42. Gulmen
43. Kırbiyik
44. Kızılıoğlu
45. Bn. Akan
46. Uyaniker
47. Akan
48. Killinq
49. Sözen
50. İskender
51. Erdem
52. Çayıcı
53. Sezer
54. Kara
55. Bn. Sezer
56. Çeçen
57. Atalar
58. Özeren
59. Özkan
60. Kandemir
61. Derman
62. EsenDemir
63. Yerli
64. Karataş
65. Küçük
66. Selam
67. Degirmenci
68. Keskin
69. Çalışkan
70. Tunca
71. Koçer
72. Evren
73. Al
74. Kara



VII. Ulusal Astronomi Kongresi
10 - 15 Eylül 1990
İstanbul

KATILANLARIN LİSTESİ

Adnan ÖKTEN	f.Ü.Fen Fakültesi
Ahmet İSKENDER	f.N.O.Fen Edebiyat Fakültesi
Ahmet ERDEM	E.O.Fen Fakültesi
Alparslan TOPBAŞ	f.Ü.Fen Fakültesi
Arzu BOLGE	B.Ü.Kandilli Rasathanesi
Ayten DÜNGELEN	B.Ü.Kandilli Rasathanesi
Ayyur AKALIN	A.O.Fen Fakültesi
Bekir KİLİNC	E.O.Fen Fakültesi
Bülent UYANIKER	O.D.T.Ü.Fen Edebiyat Fakültesi
Cafer İBANOĞLU	E.O.Fen Fakültesi
Can M.AKAN	E.O.Fen Fakültesi
Can BATTAL	E.O.Fen Fakültesi
Cemal AYDIN	A.O.Fen Fakültesi
Cengiz SEZER	E.O.Fen Fakültesi
Çetin BOLCAL	f.Ü.Fen Fakültesi
Dilhan ERYURT	O.D.T.Ü.Fen Edebiyat Fakültesi
Dursun KOÇER	f.Ü.Fen Fakültesi
Emine RIZA	f.Ü.Fen Fakültesi
Engin SÖZEN	B.Ü.Kandilli Rasathanesi
Ethem İ.DERMAN	A.O.Fen Fakültesi
Fehmi EKMEKÇİ	A.O.Fen Fakültesi
Ferhat F.ÖZEREN	A.O.Fen Fakültesi
Füsun L.TEKTUNALI	f.Ü.Fen Fakültesi
Gökmen H.TEKTUNALI	f.Ü.Fen Fakültesi
Göksel KAHRAMAN	A.O.Fen Fakültesi
Gülçin KANDEMİR	f.T.Ü.Fen Edebiyat Fakültesi
Halil KIRBIYIK	O.D.T.Ü.Fen Edebiyat Fakültesi
Hasan H.ESENOĞLU	f.Ü.Fen Fakültesi
Haşmet BOLGE	B.Ü.Kandilli Rasathanesi
Hulusi GÜLSEÇEN	f.Ü.Fen Fakültesi
Hulya ÇALIŞKAN	f.Ü.Fen Fakültesi
Hulya YEŞİLYAPRAK	B.Ü.Kandilli Rasathanesi
Hüseyin DÜNDAR	A.O.Fen Fakültesi
Hüseyin MENTEŞE	f.Ü.Fen Fakültesi
İbrahim KÜÇÜK	O.D.T.Ü.Fen Edebiyat Fakültesi
Kamuran AVCIOĞLU	f.Ü.Fen Fakültesi
Latif TOPAKTAŞ	Riyad Üniversitesi
Levent ALTAŞ	B.Ü.Kandilli Rasathanesi
Lütfi GÖKER	G.Ü.Gazi Eğitim Fakültesi
Mehmet E.ÖZEL	Ç.O.Fen Edebiyat Fakültesi
Mevlana BAŞAL	f.Ü.Fen Fakültesi
Muammer DİZER	B.Ü.Kandilli Rasathanesi
Mutlu YILDIZ	O.D.T.Ü.Fen Edebiyat Fakültesi
Necdet GÜDÜR	E.O.Fen Fakültesi

Nilgün KIZILOĞLU	O.D.T.Ü. Fen Edebiyat Fakültesi
Nurol AL	i.Ü.Fen Fakültesi
Nuzhet GÖKDOĞAN	i.Ü.Fen Fakültesi
Orhan GÖLBAŞI	iNO.Ü.Fen Edebiyat Fakültesi
Osman DEMİRCAN	A.Ü.Fen Fakültesi
Ömer L. DEĞIRMENCI	E.Ü.Fen Fakültesi
Ömür GÜLMEN	E.Ü.Fen Fakültesi
Renan E.PEKONLU	E.Ü.Fen Fakültesi
Rıkkat CİVELEK	O.D.T.Ü.Fen Edebiyat Fakultesi
Salih KARAALI	i.Ü.Fen Fakültesi
Seda ERBİL	T.Ü.Fen Edebiyat Fakültesi
Selim SELAM	A.Ü.Fen Fakültesi
Sema GÜLER	i.Ü.Fen Fakültesi
Serap GÜNGÖR	i.Ü.Fen Fakültesi
Serdar EVREN	E.Ü.Fen Fakültesi
Seval D.KARAHALILOĞLU	E.Ü.Fen Fakültesi
Sinan K.YERLİ	O.D.T.Ü.Fen Edebiyat Fakültesi
Talat SAYGAÇ	i.Ü.Fen Fakültesi
Tamer ATAÇ	B.Ü.Kandilli Rasathanesi
Tansel AK	i.Ü.Fen Fakültesi
Tekin TEKMAN	B.Ü.Kandilli Rasathanesi
Tuba KOKTAY	i.Ü.Fen Fakültesi
Tuncay ÖZDEMİR	iNO.Ü.Fen Edebiyat Fakültesi
Tuncay ÖZIŞIK	i.Ü.Fen Fakültesi
Tülin GÜZEL	i.Ü.Fen fakültesi
Türker M.ÖZKAN	i.Ü.Fen Fakültesi
Ümit KIZILOĞLU	O.D.T.Ü.Fen Edebiyat Fakültesi
Varol KESKİN	E.Ü.Fen Fakultesi
Yurdanur TULUNAY	i.T.Ü.Fen Edebiyat Fakültesi
Yüksel KARATAŞ	i.Ü.Fen Fakültesi
Zekeriya MÜYESSEROĞLU	A.Ü.Fen Fakültesi
Zeki ASLAN	iNO.Ü.Fen Edebiyat Fakültesi
Zeynel TUNCA	E.Ü.Fen Fakültesi

Prof. Dr. Kamuran Avcioğlu
İstanbul Üniversitesi Fen Fakültesi Dekanı

Değerli meslektaşlarım, değerli misafirler, sevgili öğrenciler,

VII. Ulusal Astronomi Kongresine hoşgeldiniz. İlk'i 1968 yılında O.D.T.U.'de Prof. Dr. Dilhan Eryurt tarafından düzenlenen Astronomi toplantıları, 10 yıllık bir bekleyişten sonra 1978 yılında Prof. Dr. Nuzhet Gökdoğan tarafından bu tesislerde yeniden başlatılmış ve muntazam olarak bugüne kadar süregelmiştir.

1978 yılında yapılan toplantıda bu salonda bir avuç astronom varken, geride bıraktığımız 12 yıl sonunda sayıımız 100 civarına ulaşmıştır. Bu artışı büyük bir sevinç ile karşılıyorum ve devam edeceğini ümit ediyorum.

Ülkemizde gerçekleştirilen astronomi araştırmalarının geniş bir biçimde anlatılıp tartışıldığı ve çok yararlı olduğu bu toplantıların yedincisinin de başarılı bir şekilde gerçekleşeceğini inanıyorum. Kongremizin gerçekleştirmesinde bize verdiği destek nedeniyle sayın rektörümüz Prof. Dr. Cem'i Demiroğlu'na, bu tesislerden bizi yararlandırın sayın Prof. Dr. Fuat Çelebioglu'na ayrıca kongremizin düzenlenmesinde katkısı olan kuruluşlara ve tüm arkadaşlarımı huzurunuzda teşekkür ederim.

Prof.Dr. Dilhan Eryurt
ODTÜ Fen Edebiyat Fakültesi Dekanı
Astronomi Derneği Başkanı
06531 Ankara

Sayın Dekan, Değerli Meslektaşlarım, Saygıdeğer konuklar,

VII. Ulusal Astronomi Kongresinin başlamasından büyük mutluluk duyduğumu belirtir, şahsim ve Astronomi Derneği adına hepinizin katılımanızdan dolayı teşekkür ederim.

Ülkemizde Astronomi alanında ilk bilimsel toplantı, 1968 yılında yapılmış ve bugüne dek değişik üniversitelerimizin evsahipliğini üstlenmesiyle bu alanda değişik toplantılar düzenlenmiştir.

Astronomalar, genellikle, gece çalışan kimseler olarak bilinirler. Hakikatten bütün gecelerini teleskopun başında rasadı ile meşgul olarak geçiren astronomalar olduğu gibi, teleskopun başına pek nadir uğrayan, fakat elde edilen rasat neticelerini teorik olarak açıklamaya çalışan bir çok astronom da mevcuttur.

İki yoldan hangisini seçerse seçsin, astronomların en büyük ihtiyacı, bulduğu sonuçları diğer meslektaşlarına iletmek, onların görüşlerini almak, buna göre çalışmalarını değerlendirmektir. Bu ise bilimsel anlayışın esasıdır ve bir bilim adamı olan astronomlar da bilimsel anlayış içinde hareket etmek zorundadırlar.

Meslektaşlarının çalışmalarını yakından izlemek tartışmak araştırmacıları bu gelişmelere katkıda bulunmaya özendirmek için gerekli ortamı bilimsel toplantılar sağlar ve bu toplantıları düzenlemek bilimsel derneklerin en başta gelen görevidir.

Ülkemizde Astronomi alanında çalışanların ve ilgilenenlerin kurduğu ilk Astronomi Derneği'nin uzun bir geçmişi vardır. Derneği'nin bir çok olumlu çalışmaları olmuş, 1961 yılında "International Astronomical Union" a Türkiye'nin üyeliğini bu dernek gerçekleştirmiştir. Bu hususta büyük emek sarfeden ve Türkiye'de Astronomi'nin gelişmesinde önemli katkıları olan hocamız Prof.Dr. Sayın Nuzhet Gökdoğan'a teşekkürü bir borç bilirim.

Astronomiyi meslek edinen bilim adamlarından oluşan bugünkü Astronomi Derneği 1981 yılında kurulmuş olup halen Ülkemizde astronomları temsil eden tek dernekterdir.

Dünya astronomi dernekleri diğer derneklerle nazaran daha küçük topluluklardır. Bunun bir avantajı bütün astronomların birbirlerini yakından tanıma imkanlarının artmasıdır. Bugün Ülkemizde astronomi ile uğraşanlar birçok ülkeye göre çok daha küçük bir toplum oluştururlar. Bununla beraber, memleketimizde de astronomi alanında çalışmaların süratle geliştiğini ve astronomların sayılarının arttığı memnuniyetle izlenmektedir.

1968 yılında ilk astronomi toplantısına katılan

astronomların sayısı sadece 25 iken bugünkü toplantıma katılan astronom sayısını hepimiz memnuniyetle gözlemektediyiz.

Bilimsel toplantılar düzenlenmesinin, derneklerin baş görevi olduğu ilkesini içtenlikle benimseyen Astronomi Derneği VII. Ulusal Astronomi Kongresini, dernek genel toplantılarında alınan karar uyarınca, İstanbul Üniversitesi içinde düzenlemiştir.

Bu gün burada toplanmamızı sağlayan ve bilimsel tartışma ortamını yaratan İstanbul Üniversitesi Rektörü Prof. Dr. Sayın Cemî Demiroğlu'na toplantıyi organize eden yerel düzenleme kurulu başkanı İstanbul Üniversitesi Fen Fakültesi Dekanı Prof. Dr. Sayın Kamuran Avcıoğlu ve Kürullen diğer üyelerine, her türlü yardımını esirgemeyen tüm kurum ve kuruluşlara, destek veren Türkiye Bilimsel ve Teknik Araştırma Kurumuna, emeği geçen tüm ilgililere şahsim ve Astronomi Derneği adına teşekkür ederim.

Bu toplantıda, kongre süresince yapılacak özel temaslarla üniversiteler arasında işbirliği ve rasathanelerden karşılıklı yararlanma imkanlarının araştırılacağını, bütün astronomların meslektaşları ile ilgi duydukları konularda karşılıklı tartışma imkanına sahip olacaklarını umut etmekteyim.

Bu duygularla Kongreye katılan bütün meslektaş ve dinleyicilere tekrar teşekkür eder, kongrenin başarılı ve verimli geçmesi dileğiyle saygılar sunarım.

Prof.Dr. Gökmen Tektunalı
İstanbul Üniversitesi Fen Fakültesi
Astronomi ve Uzay Bilimleri Bölüm Başkanı
34452 Beyazıt İstanbul

Sayın Dekanlar, Sayın Astronomi Derneği Başkanı,
Değerli Emekli Hocalarımız, Sayın Misafirler, Sevgili
Arkadaşlar;

Bu kez organizasyonu İstanbul Üniversitesi Fen
Fakültesi Astronomi ve Uzay Bilimleri Bölümünde üstlenilen
VII. Ulusal Astronomi Kongresine hoşgeldiniz.
Kongrenin gerçekleşmesine emeği geçen herkese, yardımını
olan her kuruluşa ve kongreye katılan sayın misafir-
lerimize teşekkür ederim. Kongrenin her yönüyle iyi
geçmesini diler, hepинize sevgi ve saygılarımı sunarım.

Prof. Dr. Nuzhet Gökdoğan
İstanbul Üniversitesi Fen Fakültesi
Astronomi ve Uzay Bilimleri Bölümü

Sayın Dekanlar, Değerli Meslektaşlarım,
Bugün burada aranızda olmaktan büyük sevinç duyuyorum.
Hepinizi sevgi ile selamlıyorum.

1934 yılının 29 Eylül'ünde İstanbul Üniversitesi Fen Fakültesinin Astronomi Kürsüsüne doçent olarak atandım. 1933 reformunu yaşamakta olan Üniversitede astronomi kürsüsünde bir Alman ordinaryüs profesörün, Dr. Freundlich, yanında ilk Türk elemandım. Bu gün sizleri, böyle büyük bir astronomi grubunu bir arada görmekten büyük bahtiyarlık duyuyorum. Bu fırsatın yararlanarak memleketimizde astronominin gelişmesinden ve bizim öğrenim tarihimizden kısaca söz etmek istiyorum.

Bizde Osmanlı Devleti'nin kuruluşundan Tanzimat'a kadar öğrenim hemen sadece medrese öğrenimidir. İslâm âleminde ilk medrese X. yüzyılda Tâberan'da sonra da Bağdat'ta açılmıştı. Burada daha çok İslâm hukuku okutuluyordu. Bunun yanı sıra kelâm, hadis, tefsir ve öteki İslami bilimlerin okutıldığı ilk medrese olan Nizamiye Medresesi Nişabur şehrinde açılmıştı.

Dini bilgilerin yanı sıra pozitif bilimlerin okutulduğu ilk medrese Selçuklu vezir Nizamülmülk tarafından XI. yüzyılın ikinci yarısında Bağdat'ta kurulan ikinci Nizamiye Medresesi'dir. Burada matematik ve astronomi okutuluyordu.

Osmanlı padişahları ve ileri gelenleri de medreseler kurmuşlardır. İlk medrese Orhangazi tarafından 1331'de İznik'te kurulmuştur. İlk Osmanlı ilim merkezi olan İznik'in yerini sonra Bursa almıştır. Bursa'da da ilk medrese Orhangazi tarafından kuruldu. Bu medreselerde dini bilimlerin yanı sıra matematik ve mantık da okutuluyordu. Türklerde astronominin en ziyade geliştiği dönem, kuşkusuz, Semerkant ekolünün en parlak mertebesine eriştiği Uluğ Bey zamanına rastlar (1449). Yüksek Matematiğin de Anadolu'ya girmesi yine bu döneme rastlar. Semerkant'ta Bursallı Kadızâde Rumi'nin öğrencilerinden ve Şirvanlı bir alım olan Fettullah, Kastamonu'ya gelerek orada yerleşmiş ve astronomi ile geometri okutmaya başlamıştır.

İstanbul'a yerleşen ilk astronom Ali Kuşçu'dur. Ali Kuşçu, Uluğ Bey'in kuşcularından birinin oğludur. Kadızâde den sonra Uluğ Bey'in rasathanesine müdür olmuş ve Uluğ Bey ile birlikte, Uluğ Bey'in yayınladığı ve yıllarca Avrupada da kullanılmış olan astronomik cetvellerin (Almanak) hazırlanmasına katılmış bir alımdır. Uluğ Bey'in vefatı üzerine Azerbaycan'a geçmiş ve orada iken İran kralı Uzun Hasan, kendisini fevkâlade elçi payesi ile Fatih Sultan Mehmet'e göndermiştir. İlimle çok ilgilenen pa-

dişah Ali Kuşçu'yu hemen Ayasofya Medresesi'ne müderris (profesör) tayin etmiştir. Ali Kuşçu, Türkiye'de ilk büyük matematik ve astronomi profesörüdür. Uluğ Bey'in ölümü ile İslâm memleketlerinde astronomi çalışmaları da ortadan kalkmıştır. Ali Kuşçu'nun İstanbul'a gelmesi ile ilmi astronomide atılan ilk adım, yine onun 1474'de vefatı ile olduğu yerde kalmıştır. Kanuni Sultan Süleyman'ın ölümünden sonra astronomi, medreselerde ihmale uğruyor ve bütün astronomi hemen hemen bazı şerhlerle, bazı alet tariflerinden ibaret kalıyor. Bundan sonra İslâm âleminde astronomlar yerine namaz saatlerini ve dini günleri tayin eden muvakkitler kalmıştır.

Osmalılarda muvakkitlerin başı Şeyhülislâm kafasına bağlı olan müneccimbaşılıardı. Bunlar halka mahsus bir takvim çıkardıkları gibi bir de padişaha ait bir ahkâm hazırlıarlardı. Bu ahkâm bir çeşit yıllık yıldız falı idi. Osmanlı padişahlarının astrolojiye verdikleri önem o kadar büyüktür ki, Osmanlı idare teşkilatında bir "Mektebi Fünunu Nûcum" bile bulunmakta idi.

Ali Kuşçu'nun ölümünden 100 sene sonra 1577'de astronomide ciddi bir atılım görülüyor. Bu tarihte Takiyettin'in bazı saray mensupları ile padişaha传递 bir dilekçe ile, bütün masrafları padişah tarafından ödenmek üzere, bir rasathane kuruluyor. Ancak Takiyettin'in hamisi Hoca Sadettin Efendi'yi çekemeyen Şeyhülislâm Ahmet Şemseddin Efendi padişaha, rasat yapmanın meşum olduğunu ve gökyüzünün sırlarını araştıranların sonlarının hazır olduğunu, Uluğ Bey'in ölümünü göstererek korkutuyor ve bu rasathane padişahın emri ile Kılıç Ali Paşa tarafından denizden topa tutularak (1579, 21 Ocak perşembe) yerle bir ediliyor. Yeri, Fransız büyük elçilik binası ile tophane arasında idi. Takiyettin'in rasathane kurmaktaki maksadı Uluğ Bey'in cetvellerindeki gök cisimlerinin yerlerinin o günkü rasatlara uymaması idi. Takiyettin rasathanenin bu kısacık ömrü zarfında rasatlarının bir kısmını yapabilmiş sonra da astronomi cetvelleri halinde yayımlamıştır.

Matematik ve astronominin memlekete esaslı surette girişi Mühendishanei Bahrii Humayun (1773) ve Mühendishanei Berrii Humayun (1795) okullarının açılması ile başlar.

Çınarlı İsmail Kalfa 1771'de Türkçe'ye çevirdiği Cassini'nin astronomik cetvellerine ek şeklinde ilk logaritma cetvelini yayımlamıştır.

Bir taraftan kendi adamlarımız Batı etkilerini memleketimize getirirken bir taraftan da Batı devletlerinin elçileri beraberlerinde alımlar, edipler, ressamlar getirerek bu etkileri arttırmışlardır. 1730'daki Patrona Halilî İsyancı bu batılılaşmaya ara vermiştir. Bir yıl süren bu aradan sonra III. Selim'e, 1789'a kadar olan sürede bu etkiler yine sızmaya devam etmiştir. III. Selim yapmak istediği reformları hayatı ile ödemistiştir.

1 Temmuz 1839'da ilan edilen Tanzimat, bütünüyle Batı uygarlığına doğru atılmış bir adımdır. Avrupa bilimini

memlekete getirmek üzere yapılmış ciddi bir girişimdir. Bununla beraber Tanzimatın Batı düşünce ve metodlarını, bilim ve teknagini memlekete sokamadığı, yani Türkiye için gerçek bir rönesans olmadığı da muhakkaktır. Bunun da nedeni kuşkusuz taassuptur. Öğretim alanında medreseleri değil kapatmak, İslâh etmek cesareti dahi gösterilememiştir.

1845'te maarif işleri ile uğraşmak üzere bir geçici "Meclisi Maarif" kurulmuş ve bu meclis ilk defa bir Darülfünun yani Üniversite açılması fikrini ortaya atmıştır. 1846'da Ayasofya civarında bir arsada ilk darülfünunun temeli atılmış ve bu inşaat 19 yıl sürmüştür.

Bu arada mevcut rüştiye okullarının düzeyi Darülfünuna öğrenci yetiştirmeye yeterli olmadığından 1849'da Bezmialem Valide Sultan'ın eseri olarak evvela "Valide Mektebi" adı ile açılan sonradan adı "Darülmaarif" olarak değiştirilen 3 yıl süreli bir okul açılmıştır. Bu okul ilk idadi "Hazırlık Okulu" olarak kabul edilebilir.

1857'de Darülfünuna öğretim üyesi yetiştirmek məsədi ile ilk defa biri matematik biri de biyoloji okumak üzere 2 kişi, Hoca Tahsin Efendi ile Selim Sabit Efendi Paris'e gönderilmiştir

1. Darülfünun 12 Ocak 1865'de serbest konferanslar şeklindeki derslerle açılmıştır. İlk ders Derviş Paşa tarafından verilen bir fizik konferansı idi. Başlangıçta bu konferanslar ilgi görmüş ise de medresecilerin aleyhine dedikoduları etkili olmuş ve bir müddet sonra ilgi azalmıştır. Binasından da çıkarılan Darülfünun, Divan yolunda bir ahşap konağa taşınmış ve bir yangın bu Darülfünunu silip süpürmüştür.

1869 yılında Saffet Paşanın ilk maarif nazırlığı sırasında Sultan Mahmut Türbesi'nin yanında bu gün de var olan bir binada ve Tahsin Efendi'nin müdürlüğünde Darülfünun ikinci defa açılmıştır. 16 yaşından küçük olanlar bir giriş sınavı ile alınıyordu. Öğretim 3 yıldı. Hikmet ve Edebiyat, İlimi hukuk, Ulu mu tabiiye ve Riyaziyat olmak üzere 3 şubesi vardı. Öğretim dili Türkçe olmakla beraber, yabancı öğretim üyelerinin Fransızca ders vermeleri de kabul edilmiştir. Bu Darülfünun da 1871 yılı ortalarında kapatılmıştır.

3. defa yine Saffet Paşa tarafından değişik şekilde bir Üniversite kurulmasına girişilmiştir. Bu Üniversite 1868'de kurulmuş olan Galatasaray Lisesi'nin (Mektebi Sultanı) bir çeşit uzantısı şeklinde ve lisede olduğu gibi kısmen Fransa'dan getirilecek öğretim üyeleri ile Fransızca ders okunacak yüksek öğretim sınıfları açmak sureti ile oluşturuluyordu. 1874-1875 ders yılında Mektebi Aliyeyi Sultanı adı altında açılan bu Darülfünunun 1- İlimi hukuk, 2- Ulu mu Fununu Riyaziye ve Tabiiye, 3- Edebiyat şubeleri vardı. Bunlara mektep adı veriliyordu. Sonradan Mülkiye de bunlara katıldı ve kuruluşun adı Darülfünunu Sultanı oldu. Bu Darülfünun da 1881'e kadar yaşayabilmiştir.

4. Darülfünun ancak 15 Ağustos 1900 yılında açılabilmiştir. Aynı tarihi taşıyan bir yönetmeliğe göre bu Darülfünun 1- Ulumu Aliye ve Diniye, 2- Ulumu Riyaziye ve Tabiiye, 3- Edebiyat şubelerinden oluşuyordu. Hukuk ve Mülkiye mektepleri de bu Darülfünunun içine alınmıştı. Kuruluşun adı Darülfünunu Şahane idi. Bir müdürü, her subeninde bir müdür muavini vardı. Öğrenim süresi 3 yıldı. 1908 den sonra kuruluşun adı Darülfünunu Osmanlı olmuştur. O zamana kadar ayrı olan Mektebi Mülkiye Tıbbiye de Darülfünuna eklenmiştir.

Bu Darülfünunda ilk İslâhat 1912'de Emrullah Efendi'nin gayreti ile geliştirilmiş ve Darülfünun 5 şubeye çıkarılmıştır: 1- Ulumu Şeriye, 2- İlimi Hukuk, 3- Ulumu Tabiiye, 4- Fünun, 5- Ulumu Edebiye. Bu Darülfünunda Heyet yani astronomi okutulmuştur.

Bizde Tanzimattan sonra 1868'de aslında bir meteoroloji merkez bürosu olan bir rasathaneye kurulmuştur. Bunun direktörü Fransız Mr. Caumbary idi. Bu rasathaneye bağlı muhtelif meteoroloji istasyonları vardı ve bunlar telgraf ile hava raporlarını bildirirlerdi. Muhtelif milletlerden de telgrafla haber alınmakta idi. Yıldız Sarayı'nda da bir istasyon vardı. 1873 Viyana milletlerarası meteoroloji kongresinde de memleketimizi Mr. Caumbary temsil etmiştir. Bu rasathaneye Tünel caddesinde idi. Binanın tamiri sırasında şimdiki Vakko mağazasının üst tarafında bir yere taşınmıştır. Caumbary'den sonra rasathaneye müdür olan Salih Zeki Bey müsteşar olunca Kâtip Bedi Bey rasathaneyi Maçka'ya taşımıştır. 31 Mart vakasında burası tahrip edilmiştir. Salih Zeki Bey rasathaneye müdürlüğünü Fatin Bey'e teklif ederek kabul ettirmiştir, Fatin Bey de İcadiye tepeşini uygun görerek oradaki yangın topunu kaldırtmış ve 2000 lira tesis masrafı ile 1911'de 3. rasathaneyi kurmuştur.

Darülfünun'da 1933'e kadar yapılan İslâhat köklü olmamıştır. Atatürk ve hükümet Darülfünun yerine modern bir Üniversite kurmak istiyordular. Bu üniversitenin milletlerarası standarda uygun ve objektif kriterlere dayanarak kurulabilmesi için 1932 yılında Cenova Üniversitesi eğitim profesörü Dr. Malche Ankara'ya davet edilerek, kendisinden zamanın tek üniversitesi olan İstanbul Üniversitesi'nin batı üniversiteleri düzeyine çıkarılması için bir rapor istendi. Prof. Malche önce mevcut öğretim üyeleri nin bilimsel kişiliğini saptamak üzere bir anket hazırladı. Bu ankette özellikle öğrenim ve staj durumu, uzmanlık, Batı'da yapılmış çalışmalar, orijinal ve klâsik yayınlar, Batı dili bilgisi soruluyordu. Malche ile beraber çalışan bir komisyon anket cevaplarına göre çok az sayıda öğretim üyesinin modern bir üniversitede görev alabileceğine karar verdi. Darülfünunun o zamanki kadrosunda 88 müderris ve muallim, 44 muavin ve 108 baş asistanla asistan vardı. Bunların 157'sinin yeni Üniversiteye alınamayacaklarına karar verildi. Böyle olunca da modern Üniversiteyi kurma ya yetecek öğretim elemanı kalmıştı.

Bu sırada Almanya'da Hitler, ailesinin kökünde çok az yahudilik olan profesörleri Üniversiteden uzaklaştırınaya başlıyor, bir kısmı profesörler de nazi rejimi ile bağdaşamayıcacıkları için işlerinden ayrıiyorlardı. Bu profesörlerden İsviçre'ye geçen Dr. Schwartz, Dr. Malche'in çalışmalarından haberdar oluyor ve kendisi ile temas ederek, Alman profesörlerin, kurulmakta olan İstanbul Üniversitesi'ne gidebileceklerini söylüyor, Prof. Malche bu teklifi uygun bularak Türk hükümetine iletiyordu. Yeni Üniversitesi'nin kuruluş kanunu 31 Mayıs 1933'te kabul edilmiştir. Prof. Schwartz Alman profesörlerin kadrosunu saptamak üzere 5.7.1933 ve 25.7.1933'te iki defa İstanbul'a gelmiş ve 30 profesörün anlaşma taslağını hazırlamıştır.

Kanunun 1. maddesi aynen şöyledir: "İstanbul Darülfünunu ve ona bağlı bütün müesseseler kadro ve teşkilatları ile birlikte 31 Temmuz 1933 tarihinden itibaren kaldırılmıştır".

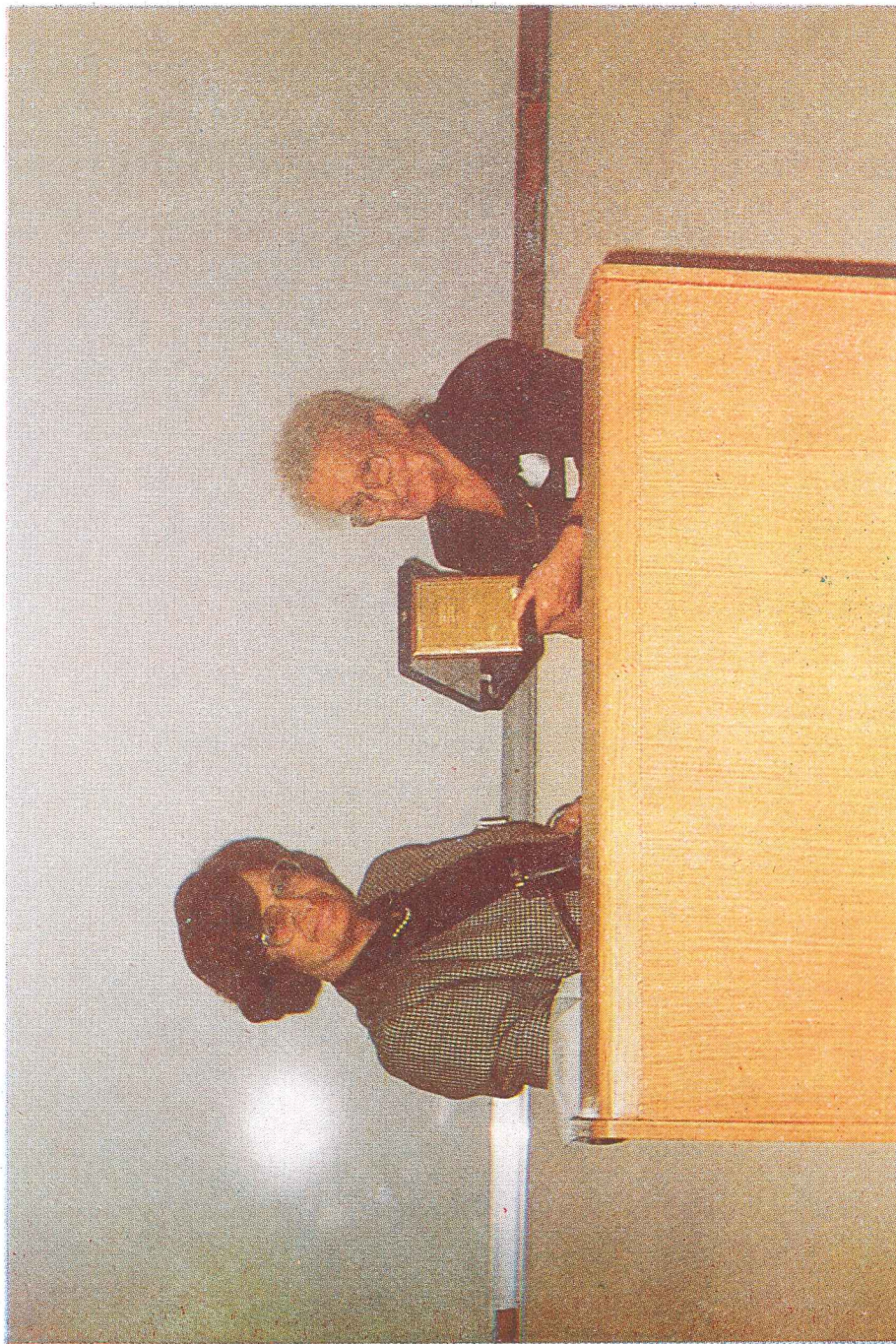
1 Ağustos 1933'te öğretim kadrosunun büyük çoğunluğu Alman profesörlerden ve yardımcılarından oluşan modern İstanbul Üniversitesi kuruldu. Bu arada, o zamanki adı ile "Astronomi Enstitüsü"ne de Ord. Prof. Dr. F. Freundlich ve iki yardımcısı getirildi. Prof. Freundlich'in mukavelesiinde Kandilli Rasathanesi'nin direktörlüğü de vardı. Biçilâhara bundan vazgeçildi ve Prof. Freundlich için Üniversite merkez bahçesinde 1936'da bir küçük rasathane kuruldu. Prof. Freundlich 1937'de ayrıldı. Ondan sonra sırasıyla Ord. Prof. Rosenberg, Ord. Prof. Royds, ve Prof. Gleisberg kürsüyü yönettiler. 1958'den sonra ise kürsüyü Türk elemanlar yönetti.

Daha sonra açılan Ankara Üniversitesi ve Ege Üniversitesi'nde birer rasathane kuruldu ise de milletlerarası çapta bir rasathane maalesef kurulamadı. Senelerdir yürütülmekte olan çalışmalara rağmen bir sonuç alınamamıştır.

Ankara ve Ege Üniversitelerine davet edilen yabancı profesörler de buradaki astronominin gelişmesine çok yardımcı olmuşlardır.

Sözlerimi bitirirken astronominin gelişmesine yardımcı olan ve bugün ebediyete intikâl etmiş bulunan yabancı profesörlerle rahmetli Prof. T. O. Kabakçıoğlu ve rahmetli Prof. Dr. A. Kızılırmak'ı saygı ile anıyorum.

Beni dinledığınız için hepинize teşekkür ederim.



İstanbul Üniversitesi Astronomi Bölümünün iki değerli varlığı
(Prof. Dr. Nüžet Gökdoğan'a Prof. Dr. Kâmurân Avcioğlu tarafından
Astronomiye Katılımlarından dolayı Şükran Pâketinin sunulması)

1
2
3
4
5
6
7
8
9
10
11
12
13
14
15
16
17
18
19
20
21
22
23
24
25
26
27
28
29
30
31
32
33
34
35
36
37
38
39
40
41
42
43
44
45
46
47
48
49
50
51
52
53
54
55
56
57
58
59
60
61
62
63
64
65
66
67
68
69
70
71
72
73
74
75
76
77
78
79
80
81
82
83
84
85
86
87
88
89
90
91
92
93
94
95
96
97
98
99
100

YILDIZLarda DÖNME VE TÜRBÜLANS

HALİL KIRBIYIK

ODTÜ. FİZİK BÖLÜMÜ, 06531 ANKARA

ÇAĞRILI TEBLİĞ

I. TARİHÇE

Yıldızlarda dönme ile ilgili ilk çalışma Johannes Goldschmidt'in 1611 yılındaki mercekli teleskopla güneş lekelerini gözlemlemesiyle başlar. Bilindiği gibi 1600 lü yıllarda Avrupa da mercek yapılmış ve teleskoplarda kullanılmaya başlanılmıştır. Yine aynı yıllarda Galileo Galilei de benzeri gözlemler yapmıştır. Güneş lekelerinin ilk gözlemlerini İngiltere ve Almanya'da başkaları izlemiştir. (Thomas Harroot (Ing.), Christoph Scheiner (Alm.))

G. Galilei bir lekenin güneş diskini 14 günde katettiğini bulmuştur. Alman Papaz C. Scheiner gözlemleri sonucu güneşin görünen dönme peryodunun 27 gün olduğunu göstermiştir. Lekelerin enleme göre farklı dönme peryodu verdiği ve kutuplara doğru gidildikçe hızının küçüldüğünü gözlemleri ile bulmuştur.

İkiyüz yıl gibi bir aradan sonra 1800 lü yıllarda amatör astronom Richard Carrington ve Alman astronom Gustav Sporer güneşin düzgün dönme göstermediğini fakat ekvator bölgesinde peryodun minimum ve kutuplara doğru gidildikçe tedricen arttığı sonucunu tekrar gözlemleriyle göstermişlerdir.

1842 yılında Avusturyalı fizikçi Christian Doppler "Doppler olayı"ni keşfetmiştir. 1871 yılında Johann Zöllner tarafından yeni bir spektroskop yapılmış ve bununla güneşin dönmesinin gözlenebileceği düşünülmüştür. Bunu ilk gerçekleştirenler Mount Wilson güneş gözlemeviden Walter S. Adams ve George E. Hale'dir.

1877 yıllarında eksenel dönmenin bazı soğurma çizgilerinde genişleme yaratacağı öne sürülmüştür (Abney, 1877). Herman Vogel baştan bunu kabul etmemiş ancak sonradan 1898 yılında görüşünü değiştirmek üzere yıldızlarda dönmenin soğurma çizgilerini genişleteceği fikrini desteklediğini belirtmiştir.

Yıldızlarda eksenel dönmenin keşfi ilk 1909 da olmuştur. Frank Schlesinger δ Librae yi gözleyerek keşfini yapmıştır. Bir yıl sonra aynı etkiyi λ Tauri yıldızında gözlemiştir. 1924 yılında Richard Rositer β Lyrae de benzer olayı gözlemlemiştir. Bunlar çift yıldızlardı.

Tek yıldızlarda eksenel dönme konusu 1930-1934 yılları arasında sistematik olarak ele alındı. Çalışmayı O. Struve, Christian T. Elvey ve Miss Christine Westgate yürüttüler. O, B, A ve erken F tayıf türündeki yıldızların daha hızlı döndüklerini buldular. Konuya 1949 yılına kadar pek ilgi gösterilmedi. O yıllarda (1949) Arne Slettebak ile konu tekrar canlılık kazandı. Bu tarihten sonra yıldızlardaki dönme konusu sürekli gündemde kalmış ve birçok gözlemlisel bulguların açıklanmasına yardımcı olmuştur.

Akışkanlarıa ilgili olarak dönme konusunun ele alınışı çok eskilere dayanmaktadır (I. Newton (1643-1727), C. Huygens (1629-1695), R. Decartes (1596-1650), A.C. Clairaut (1713-1765), C. Maclaurin (1698-1746), M. P. S. Laplace (1749-1827), A.M. Legendre (1752-1833), K. Jacobi (1804-1851), H. Poincare (1854-1912), M. Liapunov (1857-1918). Ancak dönen yıldızlarla ilgili temel çalışmalar yüzyılımızın ilk yarısında yapılmış ve son yıllarda çok hızlı bir gelişme göstermiştir.

Yirminci yüzyılın başında yıldızların merkezi yoğunluğu fazla, gaz bir yapıya sahip oldukları biliniyordu. 1923 yılında E.A. Milne işimsal dengede yavaş dönen bir yıldız modeli yapmıştır. 1933 yılında S. Chandrasekhar politroplar için benzer bir çalışma yapmıştır.

Bundan sonra yıldızlarda dönme konusunda en önemli çalışma Hugo von Zeipel (1873-1959) tarafından yapılmıştır. 1924 yılında Zeipel kimyasal olarak homojen olan, Ω açısal hızı ile katı bir cisim gibi dönen ve statik işimsal dengedeki bir yıldızın herhangi bir noktasında çekirdek enerjisi üretme hızının şu şekilde verildiğini göstermiştir,

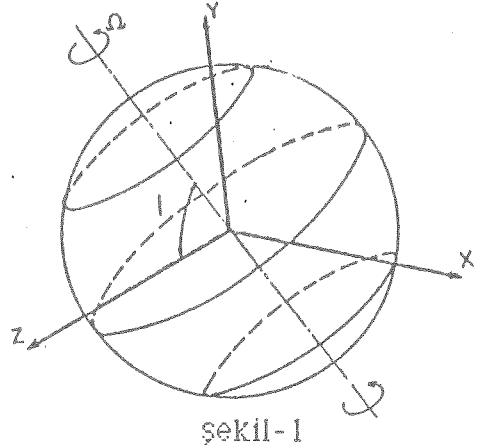
$$\dot{E}_N = \text{Sabit} \left(1 - \frac{\Omega^2}{2\pi G \rho} \right)$$

Burada G = çekim sabiti ve ρ o noktadaki yoğunluktur.

Görüldüğü gibi, yıldızın yüzeyinde enerji üretimi eksiz sonsuza gitmektedir. Bu gerçekçi değildir. Heinrich Vogt (1890-1968) ve A. E. Eddington (1882-1944) bu sonuctan hareketle 1924 yılında düzgün dönen bir yıldızın tümüyle işimsal dengede olamayacağını göstermiştir. Eş potansiyel yüzeylerde sıcaklık ve basıncın sabit olamayacağına ve sonuç olarak meridyen düzlemi içinde madde hareketinin veya dolaşım akımlarının oluşacağına işaret edilmiştir. Bununla ilgili ilk somut çalışmaya ise 1929 yılında Eddington yapmıştır.

II. GÖZLEMLER VE SONUÇLARI

Yıldızlardaki dönmeyi çizgilerdeki Doppler genişlemesinin ölçülmeyeyle tesbit ediyoruz. Türbülans gibi başka etkiler de Doppler genişlemesi yapıyor ise de eksenel dönmenden kaynaklanan genişlemeyi ayırdetmek mümkün olmaktadır. Tek yıldızlarda sadece $V \sin i$ gözleme bilinmektedir. Burada i bakış doğrultumuzla dönde ekseni arasındaki açıdır (Şekil-1).



Dönde ekseninin doğrultusunun ne olduğu hakkında bir şey söylemek mümkün değildir. Bu nedenle istatistiksel bilgiye gereksinme vardır. Dönde ekseninin doğrultusu ile ilgili aşağıdakiler söylenebilir:

- Yıldızlar galaksinin açısal momentum vektörünü hatırlarlar,
- Dönde eksenleri uzayda rastgele bir dağılım gösterir.

(i) şikkini ele alalım:

Galaksinin dönde ekseni galaksi düzlemine dikdir. R_c yarıçaplı bir gaz bulutunun dömesini düşünelim. Birim kütle başına açısal momentum

$$\dot{h} \approx \frac{V_2 - V_1}{2} R_c \text{ dir.}$$

Galaksideki farklı dönmenden

$$V \approx 10 \text{ km s}^{-1} \text{ kpc}^{-1}$$

olduğunu biliyoruz. $V_2 - V_1 \approx 10 \text{ km s}^{-1} \text{ kpc}^{-1}$ ($2 R_c$) olduğundan,

$$h \approx 10 R_c^2$$

elde edilir. Bu ifade gaz bulutunun başlangıçtaki açısal momentumunu verir. Yıldız böyle bir bulutun çökmesiyle oluşursa

$$h_{\text{son}} \approx V_{\text{dön}} R_{\text{son}}$$

olduğundan, h 'in yukarıda bulunan değeri yerine koyulursa

$$V_{\text{dön}} \approx 10 R_c^2 / R_* \text{ km s}^{-1} \text{ kpc}^{-1}$$

elde edilir. Tipik olarak $R_* \approx 10^{11} \text{ cm} \approx 10^{-7} \text{ pc} \approx 10^{-10} \text{ kpc}$,

$R_c \approx 1 \text{ kpc} \approx 10^{-3} \text{ kpc}$ alınırsa

$$V_{\text{dön}} \approx 10^5 \text{ km s}^{-1} \approx \text{işik hızı}$$

çıkar. Bu ise mümkün değildir.

Düzen yandan gözlemeel olarak baktığımızda V Sin i değerlerinin Galaksi kordinatları ile korelasyon göstermediğini görmekteyiz. Böylece birinci sık dışlanabilir. İkinci sık daha muhtemeldir. Bu sebeple istatistiksel bilgilere gereksinme vardır.

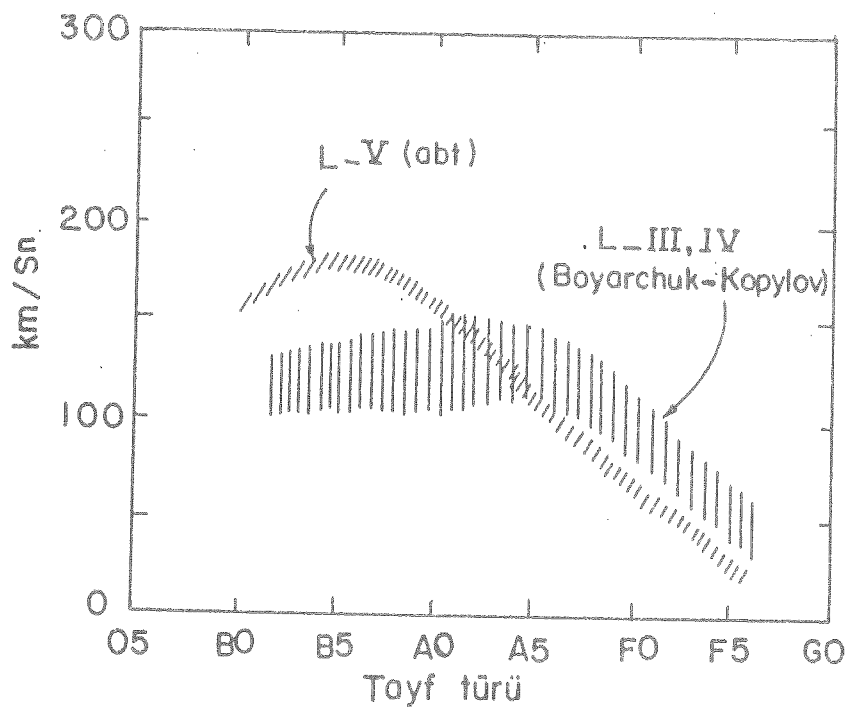
Gözlemeel veriler özellikle 1949 (Slettak) dan sonra çoğaldı (Boyarchuk ve Kopylov, 1958, 1964, Uesugi ve Fukuda, 1970, Bernacca ve Perinotto, 1971). Bu verilerden yararlanılarak çizilen grafik, tek yıldızların ortalama hızlarının (V Sin i) tayf türünün fonksiyonu olarak şekil-2 de görülmektedir (Slettak, 1970). Şekilde kısa çizgilerle taranmış olan eğri anakol yıldızlarının (Abt ve Hunter, 1962) ve geniş aralıklı uzun çizgilerle taranmış eğri ışma gücü sınıfı III ve IV olan yıldızlarının (Boyarchuk ve Kopylov, 1958) konumunu göstermektedir. Görüldüğü gibi erken tayf türüne doğru gidildikçe dönme hızlanmaktadır. Zaten bu durum 1930 lu yıllarda fark edilmişti. Yavaş dönen yıldızlarla hızlı dönen yıldızlar arasında belirgin bir ayırım göze çarpmaktadır. Grafikten, aynı tayf türündeki erken

tip devlerin anakol yıldızlarına göre daha yavaş döndüğü, fakat geç A- ve F- türündeki yıldızlarda bunun tersi olduğu açık bir şekilde görülmektedir. Bu sonucun evrimle ilgili olduğu söylenebilir. F-tayf türündeki devler, evrimleşmiş B- ve A- türü anakol yıldızlarıdır. Doğasından yavaş dönen anakol yıldızlarından daha hızlı dönme göstermekte dirler. Dikkat edilirse eğrilerdeki değişme FO - tayf türü civarında olmaktadır. Bu da geç türlerin konvektif zarfları ile ilgili olabilir. Konvektif zarfın olması yıldız rüzgarını kolaylaştırabilir ve o da açısal momentum kaybının nedeni olabilir.

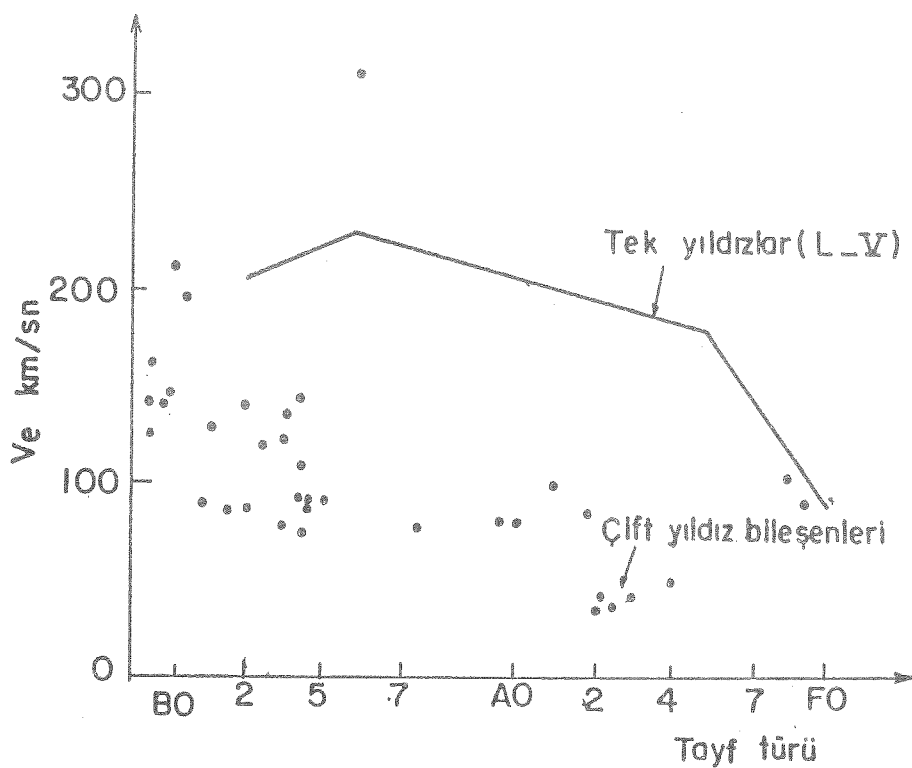
Olson (1968) yakın çift yıldızlarda dönme ile ilgili gözlemler yapmıştır. Gözlenen yıldız sistemlerinin çoğu örten çift olduğundan yörünge eğim açısı biliniyordu. Dönme ekseninin yörünge düzlemine dik olduğu varsayılarak gerçek ekvator hızı (V) bulunabilmiştir. Şekil -3 te yakın çift yıldızların ekvator hızının tayf türünün fonksiyonu olarak çizimini görüyoruz. Şekilde ayrıca ankoldaki tek yıldızların ortalama hız grafiği de verilmiştir. Yakın çift sistemindeki bileşenlerin dönme hızı, aynı tayf türündeki tek yıldızlara göre daha düşüktür. Grafikten bu açıkça görülmektedir. Demek ki bileşenin etkisi yıldızın dönmesini yavaşlatma yönünde olmaktadır. Bunun ilk ayrimına varan Kreiken (1935) olmuştur.

III. DÖNME VE EVRİM

İkinci bölümde görüldüğü gibi erken tayf türündeki yıldızlar, geç tayf türündekilere göre daha hızlı dönmektedirler. Yüksek dispersiyon gerektirdiğinden bunların gözlenmesi kolaydır. Bu özellikler erken tayf türündeki yıldızları ilginç yapmaktadır.



Şekil - 2: Tek yıldızların ortalama hızlarının tayf türüne göre grafiği.



Şekil - 3: Yakın çift yıldızların ekvator (eşlek) hızının tayf türüne göre dağılımı (noktalar).
Çizgi grafik ise anakoldaki tek yıldızların ortalama hız grafiğidir.

Dönmenin yıldız yapıları üzerine etkisi çok eskilerden bu yana biliniyordu. Eski çalışmaların çoğu Jeans (1929) in "Astronomy and Cosmogony" adlı kitabında özetlenmiştir. Düzgün dönen akişkan kütlelerin yapısı ve kararlılığı üzerine yapılan araştırmalar sürmüştür ve sonradan daha da güncel hale getirilmiştir (Lyttleton, 1953, Lebovitz, 1967).

Dönmenin yıldız yapılarına ve evrime etkisi yüz yılımızın ikinci yarısında bir çok kişi tarafından ayrıntılı bir şekilde ele alınmış ve çeşitli yönleriyle incelenmiştir. Ancak son yıllarda bu konunun tekrar canlılık kazanmasının nedeni 1987 yılında Büyük Macellan Bulutundaki (BMB) süpernova patlamasıdır. Bilindiği gibi 1987A süpernovasının yerinde, patlamadan önce Sandulek-69202 ismi ile bilinen B-tayıf türünde bir üst dev vardı. 1987A ile ilgili bazı gözlemlerin açıklanmasında güçlük çekildiğinden yine tarihi gelişim içinde olduğu gibi dönme etkisi ile açıklanmaya çalışılmaktadır.

IUE gözlemlerinden, süpernova 1987A da, düşük hızla genişleyen madde içinde N/C ve N/O oranları yüksek bulunmuştur (Cassatella, 1987). Ayrıca He/H oranı da yüksektir. Gözlemler patlamadan önce yıldızın zarfında beklenmeyen bir kimyasal yapıya işaret etmektedir.

Yukarıda bahsedilen gözlemlerin açıklanması ve ilgili soruların cevaplanması gerekmektedir.

- i) Patlama Herzsprung-Russel (H-R) diyagramının mavi bölgesinde olmuştur. Bu standart evrim kuramına ters düşmektedir. Açıklanması gereken noktalardan birisi budur.
- ii) B-tayıf türündeki Sandulek 69202 yıldızi evrim süreci içinde daha önce hiç kırmızı üstdev olmuşmuydu?

Patiamanın mavi bölgede olmasıyla ilgili soruya, simdiye kadar üç çeşit açıklama getirilmeye çalışılmıştır:

- i) Büyük Macellan Bulutu'ndaki daha az olan metal bolluğu ile (Hillebrandt ve dig., 1987). Kimyasal yapıda az metal olması yıldızın kırmızı bölgeye evrimleşerek gitmesini öner.
- ii) Yüksek hızda kütle kaybetmesiyle (Maeder, 1987). Model yüksek hızda kütle kaybı içerirse yıldız önce kırmızı bölgeye doğru evrimleşir ve daha sonra mavi bölgeye döner.
- iii) Konveksiyonun üst dev yıldızların evrimine etkisiyle.

Sıralanan bu açıklamalar gözlemlsel bulgular için yeterli olmamıştır. Örneğin EMB'da Sandulek-69202 ile aynı işime gücüne sahip kırmızı üstdevlerin varlığı bilinmektedir. Diğer yandan $10 M_{\odot}$ lik bir hidrojen zarfinin varlığı, mavi bölgeye dönüş için gerekli olan yüksek hızda kütle kaybı ile uyuşmamaktadır.

Normal olmayan bollukların açıklanması konvektif karışma yoluyla yapılmaya çalışılmış, fakat yeterli olmadığı gösterilmiştir (Weiss ve dig., 1988).

Weiss ve arkadaşları gözlemlerinin açıklanmasında dönmenin rolünün incelenmesi gerektiğini ve normal olmayan kimyasal yapının dönmenin sonucu oluşan dolaşım akımları ile açıklanabileceğini ileri sürmüştür. Öneri dolaşım akımlarının çekirdek yanması sonucu elementleri yıldızın dış katmanlarına taşıyabileceği ve bollukla ilgili gözlemleri açıklayabileceğidir.

1960 li yıllarda sonra dönmenin yıldız yapısı üzerine yaptığı etkileri inceleyen önemli çalışmalar yapılmıştır (Roxburgh ve Strittematter, 1965; Faulkner ve dig., 1968; Mark, 1968; Sanderson ve dig., 1970; Sackman ve

Anand, 1970; Kippenhahn ve Thomas, 1970). Bu çalışmalar sonucunda, katı bir cisim gibi düzgün dönme yapan anakol yıldız modelleri elde edilmiş ve anakolun Hertzsprung-Russel diyagramında sağa doğru kaydiği bulunmuştur (Şekil-4a,4b). Diğer yandan Kippenhahn ve arkadaşları (1970) açısal momentumun radyatif bölgelerde yerel, konvektif bölgelerde global olarak korunduğunu varsayıarak yıldızın iç bölgelerinin daha hızlı, zarfının da daha yavaş döndüğünü göstermiştir. Crampin ve Hoyle (1960) da dönmenin etkisi ile yıldızda ekvator düzlemini civarında atılan kütlenin disk oluşturacağına işaret etmiştir. Yıldızlarda dönme konusu üzerine yapılan bu çalışmalarla ilgili başka ayrıntılı bilgi ve referanslar Mestel (1965), Kraft (1968), Slettabak (1970) in derlediği "Stellar Rotation" isimli kitapta ve "Annual Review of Astronomy and Astrophysics" in 10. cildinde (Fricke ve Kippenhahn (1972)) bulunabilir. Daha sonra J.-L. Tassoul (1978) tarafından yazılan "Theory of Stellar Rotation" başlıklı kitapta yıldızlarda dönmenin tüm yönleri incelemiştir ve o zamana kadar yapılan çalışmalar özetlenmiştir.

1970 li yıllardan sonra yıldızlarda farklı dönme daha çok ilgi toplamıştır. Bunun nedeni de yukarıda bahsedilen Kippenhahn ve arkadaşlarının bulduğu sonucun parçalanmaya ve çift yıldız oluşumuna gidebileceğidir. Böyle bir senaryoyu 1966 yılında Roxburgh önermişti. Ancak yapılan çalışmalar -iç bölgeler yüzey tabakalarına göre çok hızlı dönmedikçe -dönmenin anakol yıldızlarının iç yapıları üzerindeki etkisinin küçük olduğunu göstermektedir. Endal ve Sofia (1976, 1978, 1981) dönen yıldızların evrimi üzerinde çalışarak dönmenin evrime etkilerini anakol sonrası için incelemiştir. Geride bıraktığımız 10 yıl içinde dönme çeşitli şekillerde dahil edilerek çalışmalar sürdürülmüştür (Sreenivasan ve Wilson, 1982, 1985, 1986; Schatzman ve Maeder 1981, Bienayme ve diğ., 1984; Lebreton ve Maeder, 1986; Maeder, 1987).

Bilindiği gibi yıldızlar anakolda uzun süre kalırlar. Bu süre içinde de hızlı dönen çekirdek bazı mekanizmalarla yavaşlatılmış olabilir. Örneğin meridyen düzleme içinde oluşan dolaşım akımları yolu ile. Bu sebepledir ki dönmenin etkisi anakolda ve hemen anakol sonrasında küçüktür. Ancak evrimin sonraki safhalarında önemli olmaktadır.

Dönmenin etkisi anakol öncesi safhada da incelenmiş ve pek çok çalışma yapılmıştır. (Okamoto, 1969; Bodenheimer ve Ostriker, 1970; Bisnovatyi-Kogan ve dig., 1979; Eryurt ve dig., 1986), Çelikel, 1989).

Görüldüğü gibi dönme yıldızın yapısını etkilemektedir. Evrim sürecinde hem yapı hemde başlangıçta verilen açısal momentum dağılımı evrimleşmektedir. Ancak biz konuya Süpernova 1987A açısından baktığımızdan dolaşım akımlarının doğasını ve evrimle ilişkisini ayrıntılı ele alıp diğer etkilere kısa ve genel olarak değineceğiz.

Dönmenin yıldızların yapı ve evrimine etkisini üç ana gurupta ele alabiliriz:

i) Dönmenin sonucu yıldızın iç basıncı azalır. Bu durum merkezcil kuvvetin sonucudur. Merkezi bölgedeki basınç azalırsa, o bölgenin evrimi de farklı seyredecektir. Açısal hızın dağılımı küresel simetrik alınır; ve yıldız küresel kabul edilerek ortalama merkezcil kuvvet $\Omega^2 r \sin^2 \theta$ bulunursa, hidrostatik denge denklemi

$$\frac{dp}{dr} = -\frac{GM_r}{r^2} p + \frac{2}{3} \Omega^2 r p \quad (1)$$

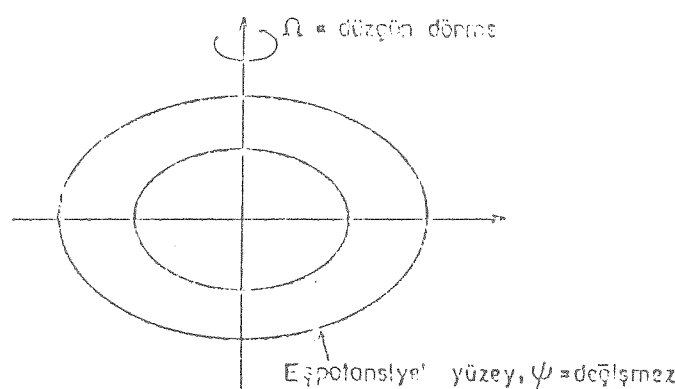
veya

$$\frac{dp}{dM_r} = -\frac{GM_r}{4\pi r^4} + \frac{\Omega^2}{6\pi r} \quad (2)$$

olur. Meydana gelen değişiklik merkezde hidrojen yanma zamanını etkiler. Hidrojen daha yavaş yanar. Yanma süresinde ≈ 3 gibi bir artış olduğu gösterilmiştir (Kippenhahn, ve diğ., 1970; Strittmatter, ve diğ., 1970).

ii) Dönme aynı zamanda işıma gücünü de azaltır. Dönme yıldızın şeklinde değişiklik meydana getirir. Küreselliği bozar ve basıklık yaratır. Bunun evrime etkisi önemli değildir, ancak yıldızın tayfını değiştirir. Hızlı dönen yıldızlar daha soğuk görünür.

Yıldızın şeklinde basıklık olur. Ekvator bölgelerinde şişer. Eşpotansiyel yüzeyler küresel değildir.



Şekil - 5

Yıldız hidrostatik dengede olduğu için P ve ρ da eşpotansiyel yüzey üzerinde sabittir. Böylece $P = P(\varphi)$, $\rho = \rho(\varphi)$, $T = T(\varphi)$ yazılabilir. Hidrostatik denge denklemi

$$\frac{1}{\rho} \nabla P = \nabla \varphi \quad \text{dir.} \quad (3)$$

Enerji radyatif mekanizma ile taşınıyorsa,

$$F = -\frac{16}{3} \cdot \frac{\sigma}{\kappa} \cdot \frac{T^3}{\rho} \nabla T$$

$$\mathbf{F} = -\mathbf{f}(\psi), \nabla \psi = -\mathbf{f}(\psi) \mathbf{g} \quad (4)$$

olur. Burada $\mathbf{f}(\psi) = -\frac{16}{3} \frac{\sigma}{\kappa} \frac{T^3}{\rho} \frac{dT}{d\psi}$ dir, $\mathbf{g} = -\nabla \psi$

(4) nolu denklemden anlaşılacağı gibi yıldızın yüzeyinden çıkan ışının akısı eş potansiyel yüzeyler üzerinde çekim ivmesine (\mathbf{g}) orantılı olarak değişir. (3) ve (4) nolu denklemlerde kullandığımız ψ toplam potansiyeldir. ($\psi = \text{Çekim potansiyeli} + \text{dönme potansiyeli}$). Dönen yıldızın yüzeyinden çıkan ışının akısı, gerçekte şöyle ifade edilmelidir,

$$F_{\text{yüzey}} \sim g_{\text{et}} \quad (5)$$

(5) nolu denklemdeki bu ifade ilk kez Von Zeipel tarafından bulunmuş ve "çekim kararması yasası" olarak bilinmektedir. Etkin sıcaklık cinsinden yazarsak

$$T_{\text{et}} = \left(\frac{F_{\text{yüzey}}}{\sigma} \right)^{1/4} \quad (6)$$

elde edilir. Yıldız kutup bölgelerinde basıktır. Öyleyse etkili kutup bölgelerinde ekvator civarına göre daha büyük olacak ve (6) nolu denklemden de sıcaklık daha fazla olacaktır.

iii) Dönmenin üçüncü ve en önemli etkisi, dönme kararsızlıklarından kaynaklanan açısal momentum taşınması ve yıldızın belirli bölgelerinde meydana gelen kimyasal karışmadır.

Standart yıldız evrim modelleri yetersiz kaldıkça bugüne kadar dikkate alınmayan etkiler evrim kuramına dahil edilmeye başlandı. Son yıllarda dönme ve ilgili kararsızlıkların evrimle etkileşmesine ilişkin fizik, hesaplamalara tam olmasa bile, kısmen girdi. Bu konuda önemli ilerlemeler kaydedildi ve birçok çalışma yapıldı (Kippenhahn ve Thomas, 1981; Zahn, 1983; Tassoul, 1978; 1984; Schatzman, 1984)

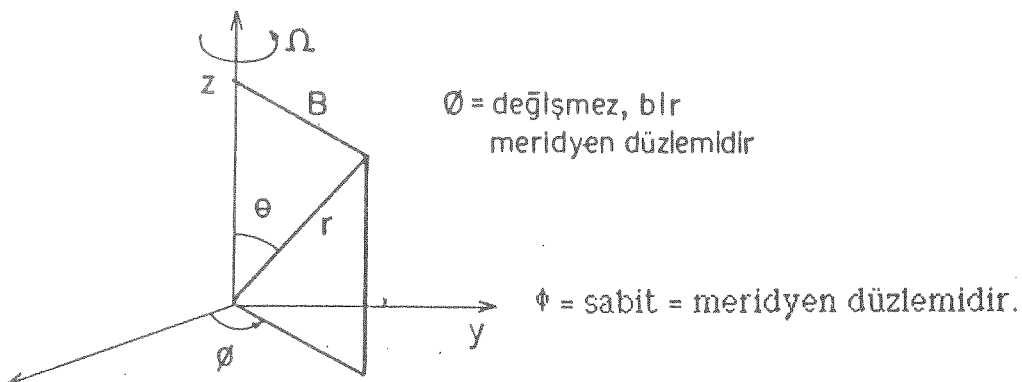
Eksenei dönde yapan bir yıldızda enerji taşınması sadece ışınım (radyasyon) yoluyla olmamakta, kısmen meridyenel dolaşım akımları yoluyla taşınmaktadır. ışınım denge koşulunu yazarsak

$$\nabla \cdot \underline{E} = \rho \epsilon_N \text{ dir.} \quad (7)$$

ϵ_N çekirdek enerjisi üretme hızıdır. Önce bu koşulun eksenei dönde yapan bir yıldızda sağlandığını düşünelim. O durumda

$$\rho \epsilon_N = \nabla \cdot \underline{E} = -\nabla \cdot (f(\phi) \nabla \phi) = -f(\phi) \nabla^2 \phi - \frac{df}{d\phi} |\nabla \phi|^2 \quad (8),$$

$$\nabla^2 \phi = \nabla^2 \phi + \nabla^2 V \quad (V = \text{dönde potansiyeli}) \quad (9)$$



Şekil - 6

$$V = \int_0^\omega \Omega^2 \varpi' d\varpi' = \frac{1}{2} \Omega^2 \varpi^2 \quad (\Omega = \text{değişmez alınır}) \quad (10)$$

(9) nolu denklem

$$\nabla^2 \phi = \nabla^2 \phi + \nabla^2 V = -4\pi G \rho + \nabla \cdot (\Omega^2 \varpi)$$

$$\nabla^2 \phi = -4\pi G \rho + \frac{1}{\varpi} \frac{d}{d\varpi} (\Omega^2 \varpi^2) \quad \text{olur.} \quad (11)$$

(8) nolu denklem ise

$$\rho \epsilon_N = f(\phi) \left[4\pi G\rho - \frac{1}{\omega} \frac{d}{d\omega} (\Omega^2 \omega^2) \right] - \frac{df}{d\phi} |\nabla \phi|^2 \quad (12)$$

olarak yazılabilir. Ω 'yı öyle seçelim ki

$$\frac{1}{\omega} \frac{d}{d\omega} (\Omega^2 \omega^2) = \text{sabit} = 2C_1, \text{ olsun, ve}$$

buradan

$$\Omega^2 = C_1 + \frac{C_2}{\omega^2} \quad (13)$$

olduğu görülür.

(12) nolu denklemde eş potansiyel yüzey üzerinde, herşey sabit sadece $|\nabla \phi|^2$ sabit değil. $|\nabla \phi|^2$ ekvatorдан kutuplara değişir, çünkü eş potansiyel yüzeyler paralel değildir. Bu ancak $df/d\phi = 0$ olduğunda mümkündür.

Böylece

$$f = \text{Sabit} = C$$

olduğu bulunur. (12) nolu denklemden

$$\epsilon_N = 4\pi G C \left(1 - \frac{C_1}{2\pi G \rho} \right) \quad (14)$$

elde edilir. Yüzeyde $\rho \rightarrow 0$ ve $\epsilon_N \rightarrow \infty$ olur. Bu ise gerçek bir sonuç değildir, çünkü ϵ_N merkezi bölgeler dışında sıfırdır. (14) nolu denklem Zeipel ikilemi (paradoks) olarak bilinmektedir. (14) nolu denklemden ışının dengesinin eksenel dönme yapan yıldızlarda çok katı bir şekilde uygulanamayacağı çıkmaktadır.

Vogt (1925) ve Eddington (1925, 1929) Von Zeipel (1924) in bulduğu bu sonucu kullanarak, yıldız katı bir ışınım dengesinde değilse, eşpotansiyel yüzeyler üzerinde sıcaklık ve basınç farkları olacağını ve bunun da meridyen dolaşım akımlarını başlatacağını göstermişlerdir. Bu sebepledir ki literatürde Eddington-Vogt akımları olarak geçmektedir. Eddington-Vogt dolaşım akımlarının hızını ilk kez Sweet (1950) tayin etmiştir. Daha sonra benzer çalışmalarla başları izlemiştir. (Öpik, 1951; Baker ve Kippenhahn, 1959; Smith, 1966, 1970; Mestel, 1966; Brand ve Smith, 1971). Bu akımların evrim açısından önemli olup olmadıkları zaman ölçüleriyle anlaşılabılır. Öyleyse dolaşım akım hızlarının büyüklüklerini ve ilgili zaman ölçülerini kaba bir şekilde tayin etmek fikir edinmek bakımından yararlı olacaktır.

Eksenel dönmesi olan yıldızlarda ısisal denge meridyen düzlemi içindeki dolaşım akımları vasıtıyla sağlanır. Dolaşım akımları beraberinde ısı enerjisi taşırlar. Eğer Q taşınan ısı enerjisi ise ısisal denge denklemini şöyle yazabiliriz:

$$\rho \underline{\epsilon}_N - \underline{\nabla} \cdot \underline{F} = \rho \frac{dQ}{dt} \quad (15)$$

Durgun hal için,

$$\frac{dQ}{dt} = \frac{\partial Q}{\partial t} + \underline{\nabla} \cdot \underline{\nabla} Q = \underline{\nabla} \cdot T \underline{\nabla} S = T \underline{\nabla} \cdot \underline{\nabla} S \quad (S = \text{entropy} \quad V = \text{akım hızı})$$

$$\frac{dQ}{dt} = \frac{du}{dt} + P \frac{dV}{dt} = C_V \frac{dT}{dt} - \frac{P}{\rho^2} \frac{dp}{dt},$$

$$P \frac{dQ}{dt} = C_V \left(P \frac{dT}{dt} - \frac{P}{\rho} \frac{dp}{dt} \right), \quad \frac{d}{dt} = \frac{\partial}{\partial t} + \underline{\nabla} \cdot \underline{\nabla} \text{ bağıntısını kullanarak, ve}$$

durgun hal için

$$P \frac{dQ}{dt} = C_V \left(P \frac{dT}{d\phi} \frac{d\phi}{dt} - \frac{P}{\rho} \frac{dp}{d\phi} \frac{d\phi}{dt} \right)$$

$$= C_V \left(\rho \frac{dT}{d\psi} - \frac{\rho}{\rho} \frac{dp}{d\psi} \right) \frac{d\psi}{dt}$$

$$\rho \frac{dQ}{dt} = C_V \left(\rho \frac{dT}{d\psi} - \frac{\rho}{\rho} \frac{dp}{d\psi} \right) \underline{V} \cdot \underline{\nabla} \psi \text{ bulunur.} \quad (16)$$

Enerji üretim hızını sıfır alırsak ($\epsilon_N = 0$), (15) nolu denklem

$$- \underline{V} \cdot \underline{F} = C_V \left(\rho \frac{dT}{d\psi} - \frac{\rho}{\rho} \frac{dp}{d\psi} \right) \underline{V} \cdot \underline{\nabla} \psi \quad (17)$$

otur ki, $P/\rho = \frac{R}{\mu}$ $T = (C_p - C_v) T = C_v(\gamma - 1) T$

ilişkisini kullanırsa k ve P ile $dp/d\psi$ 'da yok edersek (17) nolu denklem şu şekli alır,

$$- \underline{V} \cdot \underline{F} = \rho \left(\frac{\gamma}{\gamma-1} \frac{R}{\mu} \frac{dT}{d\psi} - 1 \right) \underline{V} \cdot \underline{\nabla} \psi \quad (18)$$

(18) den V 'nin büyüklüğünü tayin etmeye çalışalım:

$$\underline{V} \cdot \underline{F} \approx \alpha \frac{1}{R} \cdot \frac{L}{R^2} = \frac{\alpha L}{R^3}, \quad \alpha = \frac{F_c}{F_g} = \frac{\text{Merkezil kuvvet}}{\text{Çekim kuvveti}}$$

$$\underline{\nabla} \psi \approx \frac{GM}{R^2},$$

$$\rho \approx \frac{M}{R^3},$$

$$[\quad] \approx 1$$

yaklaşıklıkları kullanarak

$$V \approx \alpha \frac{L}{R^3} \frac{R^5}{GM^2} = \alpha \frac{LR^2}{GM^2}$$

$$V \approx \alpha \frac{LR^2}{GM^2} \quad (19)$$

bulunur. Güneş için, $\alpha \approx 2.5 \times 10^{-5}$ dir, ve

$$V_0 \approx 2 \times 10^{-9} \text{ cm s}^{-1} \text{ dir.}$$

Göründüğü gibi dolasım akımlarının hızı, yıldızın özelliklerine (L,R,M) ve dönmesine bağlıdır. Bununla ilgili zaman ölçüsü

$$t_{\text{dol}} \approx \frac{R}{V} = GM^2/R / \alpha L = \frac{t_{\text{KH}}}{\alpha} \quad (20)$$

olarak bulunur. t_{KH} Kelvin-Hemholitz zaman ölçüsüdür. t_{KH} tanımı şöyledir.

$$t_{\text{KH}} = \frac{\text{Çekimsel enerji}}{\text{İşinim gücü}} = \frac{GM^2/R}{L} \quad (21)$$

α parametresi birden küçük olduğu için, (20)'den görüleceği gibi

$$t_{\text{dol}} > t_{\text{KH}} \quad (22)$$

Bu sonuç bize, dolasım akımlarının, ısisal zaman ölçüsü içinde pek etkin olmayacağı göstermektedir.

Şimdi de evrim zaman ölçüsünü bulalım ve onunla karşılaştıralım. Evrim zaman ölçüsünü saf hidrojenden oluşan bir yıldızın kütlesinin yüzde yirmisini yaktığı süre olarak alalım. Hidrojenin helyuma dönüşmesinde, 1 gram hidrojen maddesi helyuma dönüşürse 6×10^{18} erg'luk enerji açığa çıkar. Böylece

$$t_{\text{ev}} \approx 6 \times 10^{18} \times (1/5 M) / L = \frac{6}{5} \times \frac{10^{18} M}{L} .$$

$$t_{\text{ev}} \approx 10^{18} \frac{M}{L} \quad \text{olur.}$$

(20) noyu denklemle birleştirirsek,

$$t_{\text{dol}} \approx 10^{-18} \frac{GM}{\alpha R} t_{\text{ev}} \text{ dir.} \quad (23)$$

Güneş için sonucu bulursak ($\alpha = 2 \times 10^{-5}$)

$$t_{dol,\theta} \approx 10^2 \text{ tev} \quad (24)$$

Görülüyor ki, güneşte meridyenel dolaşım akımları evrim üzerinde etkili olamayacaktır, çünkü dolaşım akımları zaman ölçüsü evrim zamanından yaklaşık yüz kez daha büyütür.

Bununla beraber, örneklemeyi güneş yerine erken tayf türünde (örneğin B5) bir yıldız için yaparsak farklı sonuç alacağımızı göreceğiz. Gözlemler bu tür yıldızların ekvatoral hızlarının 200 km s^{-1} ve $(GM/R)^{1/2} \approx 600 \text{ km s}^{-1}$ olduğunu göstermektedir. Buradan da $\alpha \approx 0.1$ çıkar. α 'yı (23) te yerine koyduğumuzda

$$t_{dol} \approx 3.6 \times 10^{-2} \text{ tev} \quad (25)$$

bulunur. Bundan çıkarılacak sonuç ise B-tipi yıldızlarda dolaşım akımları zaman ölçüsü evrim zaman ölçüsüne göre kısa olduğu ve evrim üzerinde önemli olduğudur. Demekki hızlı dönen yıldızlarda dolaşım akımları yoluyla büyük çapta bir karmaşa beklenmelidir. Böylece dolaşım akımlarının etkin olduğu bölgelerde yıldız kimyasal olarak homojen bir yapıya sahip olacaktır. Ancak buna karşı koyan başka bir olayı da unutmamak gereklidir. Yıldızın içinde kimyasal yapıda yarıçap boyunca bir farklılık gelişirse (μ gradyant = ortalama molekül ağırlığı gradyantı), başka bir deyişle $\nabla\mu > 0$ ise, bu özelliği taşıyan kütle, belirli koşullar sağlanırsa dolaşım akımları tarafından dışarıya taşınmaz ve ters yönde bir μ -akışı oluşur. Böylece dolaşım akımlarını durdurucu yönde etki yapar (Mestel, 1953).

IV. EKSENEL DÖNME SONUCU YILDIZLarda KARIŞMA

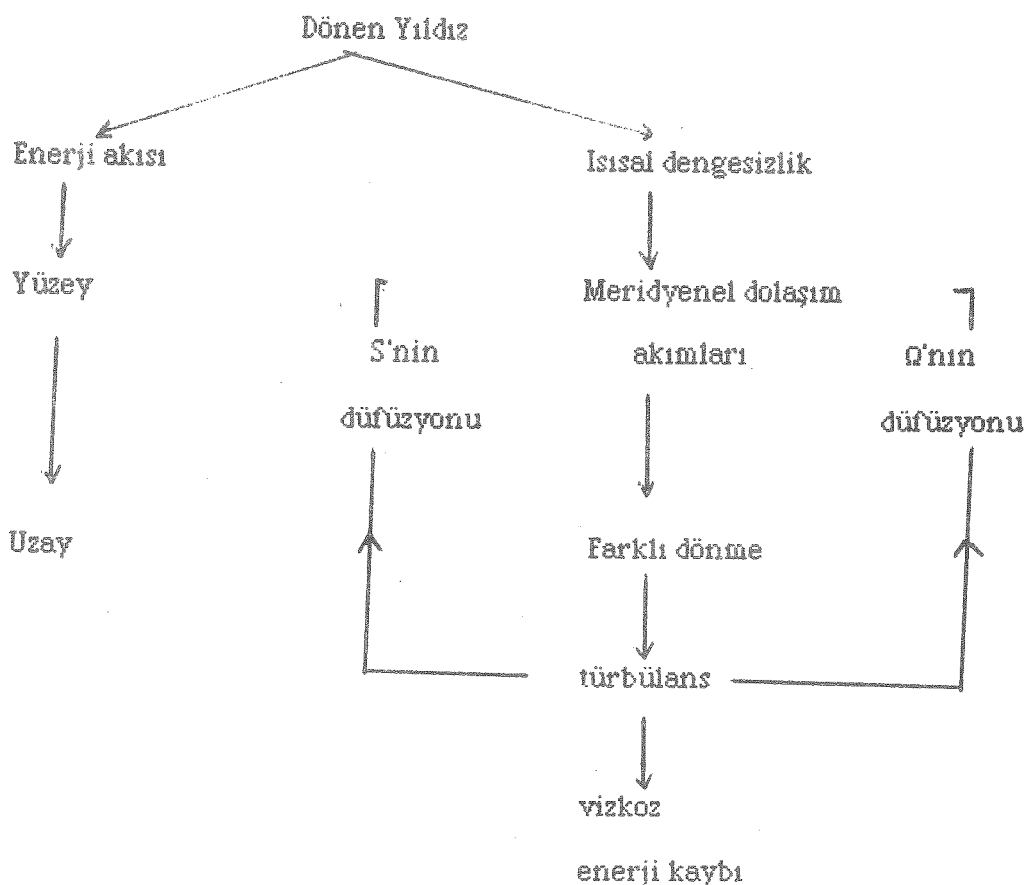
Bir önceki bölümde yıldızın içinde μ - gradyanti oluştugunda meridyenel dolaşım akımlarını yok edici bir etkinin gelişeceğini belirtmiştim. Ancak, çekirdek evriminin başlangıcında, μ -gradyanti henüz oluşmamış iken kimyasal karışma olabilir. Kimyasal yapı gradyantı engelinin belli bir ölçüde aşılmasıyla da bir miktar karışma meydana gelebilir. Bu gelişme, açısal momentum korunacağından, yıldızda farklı dönmeye neden olur (Zahn, 1974; Kippenhahn, 1974; Huppert ve Spiegel, 1977; Tassoul ve Tassoul, 1982, 1984; Zahn, 1983; Tassoul, 1984).

Eşpotansiyel yüzeylerde meydana gelen farklı dönme kararsızdır ("shear unstable"), ve bu da türbülansa yol açar. Açısal momentum ve kimyasal element düfüryonunu böyle bir türbülans sağlar. (Zahn, 1983.)

Türbülansın sürekliliği için enerjiye gereksinim vardır. Klasik türbülans kuramından, birim zamanda ve birim kütledede yazdığımızda, gereklili olan enerji

$$\epsilon_t \approx \frac{v^3}{l} \quad \text{dir.} \quad (26)$$

Burada V hız ve l enerji taşıyan hareketli kütle biriminin (eddy) boyutudur. Türbülans enerjisinin kaynağı, eksenel dönmenin sonucu olan ısisai dengesizliktir (thermal imbalance).



Şekil - 7

Denklem (26) da verilen V ve I bazı koşulları sağlamalıdır. Eş potansiyel yüzeyde türbülant enerji üretim hızının (e_t), olayı yaratan kaynak enerjiden (isisal dengesizliğin sağladığı enerji) küçük olmalıdır;

$$\frac{V^3}{I} \ll K \Omega^2 \quad (27)$$

K = isisal difüzyonu temsil etmekte ve Ω açısal dönme hızıdır. K 'nın açık ifadesini yazarsak,

$$K = \frac{4}{3} \frac{\alpha c T^3}{\kappa \rho^2 C_p} \quad \text{dir.} \quad (28)$$

Burada κ donukluğu (opasite) gösterir. Sabit basınçtaki özisi

$$C_p = \frac{p\delta}{v_{ad} \rho T}, \quad \delta = \left(\frac{\partial \ln p}{\partial \ln T} \right)_p \text{ dir.}$$

Denklem (26) ile ilgili ikinci bir koşul ise kararsızlığın (shear kararsızlığı) sürmesi bakımından kritik Reynolds sayısı ile ilişkilidir. Söz konusu koşul,

$$v l > R_c = \frac{v l}{v} \approx 10^3, \quad v = \text{kinematik viskozite} \quad (29)$$

Kaynağı ısisal dengesizlik olan enerjinin ($= K \Omega^2$) türbülant enerjisine dönüşme verimliliğini ölçen katsayının tanımı

$$\eta = c_t / K \Omega^2 \quad \text{dir.} \quad (30)$$

Böylece dikey yönde (radial), türbülant hareketle, madde taşınması, şu şekilde yazılabilir,

$$D = K \eta, \quad (31)$$

Verimlilik katsayıları

$$\eta \approx \frac{\Omega^2 r}{g} \cdot (\nabla_{\text{ad}} - \nabla_{\text{rad}})^{-1} \quad (32)$$

olduğundan,

$$D = K \frac{\Omega^2 r}{g} \cdot (\nabla_a - \nabla_{\text{rad}})^{-1} \quad (33)$$

elde edilir (Zahn, 1983). Dikey döfütüyonla ilgili Reynolds sayısı aşağıdaki gibi verilmektedir. (Schatzman, 1977),

$$Re = \frac{K}{v} \frac{\Omega^2 r}{g} \cdot (\nabla_{\text{ad}} - \nabla_{\text{ra}})^{-1} \quad (34)$$

Burada $v = v_{\text{mol}} + v_{\text{rad}}$, kinematik viskositedir.

İşımasal viskosite, v_{rad} ,

$$v_{\text{rad}} = \frac{4aT^4}{15ck\rho^2} \cdot 6.72 \times 10^{-26} \cdot \frac{T^4}{k\rho^2}, \quad (35)$$

ve moleküler viskosite, v_{mol} ,

$$v_{\text{mol}} = \frac{0.4m^{1/2} (kT)^{5/2}}{\rho e^4 \ln \lambda} = 2.18 \times 10^{-15} \cdot \frac{T^{5/2}}{\rho \ln \lambda}, \quad (36)$$

şeklinde ifade edilir. Burada

$$\lambda = \frac{3kT}{\epsilon^2} \left(\frac{m}{\rho} \right)^{1/3} \text{ dür.}$$

Yıldızın içinde gelişen üç boyutlu türbülansın dikey bileşeninin radyal yönde madde taşımاسını kimyasal yapı gradyantının (μ -gradyantının) önleyeceği daha önce belirtilmiştir.

Konu ile ilgisi bakımından önce Brunt-Vaisala frekansını tanımlayalım. Brunt - Vaisala frekansı, kararlı bir yoğunluk katmanlaşması varsa, ortamda yüzdürme kuvvetinin (buoyant force) ölçüsüdür. Yıldızın içinde denge konumundan ayrılan bir madde hücresi dikey olarak hareket ederse yüzdürme kuvvetinin etkisi altında salınım yapar. Madde hücresi denge konumu civarında N^2 frekansı ile salınır. Dikey yönde μ -gradyanti var, ve $\nabla_\mu = \partial \ln \mu / \partial \ln p$ ise,

$$N^2 = \frac{g}{H_p} (\nabla_{ad} - \nabla_{rad} + \nabla_\mu) = N_T^2 + N_\mu^2 \text{ dir.} \quad (37)$$

Burada H_p basınç ölçü, ve

$N_T^2 = g (\nabla_{ad} - \nabla_{rad}) / H_p$ frekansın ısisal kismı ve

N_μ^2 de kimyasal yapı gradyantının katkısıdır.

Aşağıda verilen koşul sağlanıyorsa, kimyasal yapıdaki gradyant üç boyutlu türbülansın gelişmesini önleyebilir (Zahn, 1983)

$$N_\mu^2 > \eta \frac{K}{v} \Omega^2 \quad (\text{Hareketli kütte biriminin alt-üst olma (turnover) frekansı})$$

veya

$$\left| \frac{\partial \ln \mu}{\partial \ln r} \right| > \frac{K}{v} \left[\frac{\Omega^2 r}{g} \right]^2 \quad (\nabla_{\text{ad}} - \nabla_{\text{rad}} + \nabla_\mu)^{-1}. \quad (38)$$

Düfüzyon olabilmesi için bu koşul sağlanmamalıdır.

Göründüğü gibi hem denklem (38) hem de (32) Ω 'yı içermektedir. Eğer Ω önceden biliniyorsa sorun yok, fakat bilinmiyorsa sorun var demektir.

Yıldızın dönmesinin kararlı olup olmadığı da evrim süreci içinde kontrol edilmelidir. $|\Omega(r)|$ açısal hızı ile eksenel dönme yapan yıldızımızın dönmesi kararlı ise (32) ve (38) deki parametrelerin hesaplanmasına gecilmelidir. Isı düfüzyonunu da içeren durumlarda ilk ortaya çıkan kararsızlık Eksenel simetrik, baroklinik Düfüzyon kararsızlığıdır (Zahn, 1983). Sözedilen kararsızlık, aşağıdaki koşullarda meydana gelir,

$$\left| \frac{\partial \ln \Omega}{\partial \ln r} \right|^2 > 8 \left(\frac{v}{K} \right) \frac{N^2}{\Omega^2} \quad (39)$$

N^2 (37) nolu denklemde verilmiştir.

N/Ω gerçekte çekimsel kuvvetin, merkezcil kuvvete oranını ifade etmektedir.

Böylece (32), (38) ve (39) nolu denklemlerdeki ölçütlerin evrim sırasında hesaplanmasıyla türbülant difüzyonun olup olamayacağı tesbit edilmiş olacaktır.

Bu aşamada μ - akımlarının değerlendirmesini yapmak isabetli olacaktır. Evrim sürecinde herhangi bir anda toplam hız

$$\underline{V} = \underline{V}^\Omega + \underline{V}^\mu \text{ dir.} \quad (40)$$

μ - nin herhangi bir noktadaki değişim hızı, şöyle verilir,

$$\left(\frac{d\mu}{dt} \right) \text{çekirdek yanması} = \frac{\partial \mu}{\partial t} + \underline{V} \cdot \nabla \mu. \quad (41)$$

Akişkan ile beraber hareket eden birim kütle için μ - sabittir ve $(d\mu/dt)$ sıfır olur.

Mestel (1953) μ - akımları problemini incelemiştir ve şu sonuca varmıştır:

- i) μ - akımları, Ω - akımlarına ters yöndedir.

ii) μ - akımları, yıldızın merkezi bölgesindeki Ω -akımlarının etkisini tamamen yok edebilecek kadar büyük değerlere sahip olabilir.

V^μ nin μ - gradyantla orantılı olduğunu varsayırsak, ısisal denge denkleminden

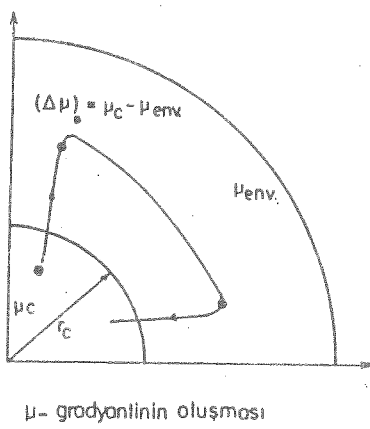
$$V^\mu \approx \frac{LR^2}{GM^2} \left(\frac{\Delta\mu}{\mu} \right) \quad (42)$$

yazılabilir. Buna karşılık

$$V^\Omega \approx \frac{LR^2}{GM^2} \alpha(r) \quad (43)$$

olduğunu daha önce bulmuştuk.

V_c^μ nin büyüklüğünü bulabilmek için $\frac{\Delta\mu}{\mu}$ 'nin değerini bilmek gerekmektedir. Kimyasal yapıdaki değişiklik, yıldızın merkezindeki çekirdek yanması ile olmaktadır. Ω - akımları bu yeni oluşan maddeyi yıldızın dış katmanlarına taşır. Bu süreç içinde $\Delta\mu/\mu$



μ - gradyonının oluşması

Şekil - 8

büyüklüğünde bir gradyant oluşur. Ω - akımlarının merkezi bölgeden madde taşımaları ile ilgili zaman ölçütü

$$t_\mu \approx \frac{r_c}{V_c^\mu} \quad (44)$$

r_c yarıçaplı bölgede (r_c yeterince küçük ise) $\rho(r) = \rho_c$ yazabiliriz. (43) deki $\alpha(r)$ nin merkezcil kuvvetin çekim kuvvetine oranı olduğunu hatırlarsak ve V_c^μ / V^Ω yi yazarsak

$$\frac{V_c^\mu}{V^\Omega} = \frac{\rho}{\rho_c} \text{ buluruz.} \quad (45)$$

B5-tayf türündeki yıldızlar için

$$\frac{V_c^\mu}{V^\Omega} \approx \frac{1}{30} \text{ dur.} \quad (46)$$

Denklem (46) dan $V_C^\mu < V_\Omega$ olduğu görülmektedir. Bundan da dolaşımın merkezi bölgede çok yavaş olduğu ve burada uzun bir süre geçirdiği ortaya çıkmaktadır. Böylece $t_\mu \approx t_{\text{dolaşım}}$ alınabilir, ve

$$t_\mu \approx t_{\text{dol}} \approx \frac{GM^2}{RL\alpha} \quad (47)$$

t_μ zaman sürecinde $\Delta\mu$ ne olur? Merkezi bölgedeki bütün hidrojenin helyuma dönüştüğünü varsayıyalım. Dönüşme sonunda μ -artar. Bunu, μ 'nin tanımını kullanarak gösterebiliriz:

$$\frac{1}{\mu} = 2X + \frac{3}{4}Y + \frac{1}{2}Z \quad (X+Y+Z=1),$$

$$\Delta Y = -\Delta X \quad (\Delta Z = 0) > 0,$$

ve

$$\frac{\Delta\mu}{\mu} = \frac{-5 \Delta X}{6X_0 + Y_0 + Z} > 0 \quad (48)$$

Burada X_0 ve Y_0 başlangıçtaki bolluklardır. (48) deki ifadeden μ -'nın arttığı görülmektedir. Dönüşüm zaman ölçütü

$$t \approx \frac{(6 \times 10^{18} \text{ erg/gm}) M}{L} \quad (49)$$

olduğundan, t_μ zamanı içinde helyuma dönüşen kesirsel hidrojen miktarı

$$\Delta X(t_\mu) \approx \frac{t_{\text{dol}}}{t} \approx \frac{GM}{6 \times 10^{18} RL\alpha},$$

ve

$$\frac{\Delta \mu}{\mu} \approx 3 \times 10^{-4} \left(\frac{M/M_\odot}{R/R_\odot} \right)^{1/2} \alpha$$

olarak (42) ve (43) nolu denklemleri kullanarak

$$\frac{V_\mu}{V_n} \approx 3 \times 10^{-4} \left(\frac{M/M_\odot}{R/R_\odot} \right)^{1/2} \frac{\rho_c}{\rho} \quad (50)$$

olur. Bu bir A5-tür yıldız için, yukarıdaki oran

$$\frac{V_\mu}{V_n} \approx \frac{1.5 \times 10^{-2}}{\alpha^2}, \quad \text{ve}$$

$\alpha < 10^{-1}$ olduğundan

$$V_\mu > V_n$$

bulunur. μ - akım hızının büyük olması, Ω akımlarını yenmesi ve etkisiz hale getirmesi demektir. Ancak hızlı bir dönme var ise ($\alpha = \alpha_{\text{krit}}$, ise) $V_\mu < V_n$ olur ve karsıma bekliyebiliriz. Eğer $\Omega(r)$ içeriye doğru artarak evrimleşirse V_c^Ω daha büyük olur ve böylece yine karsıma olabilir.

V. SONUÇ:

Erken tayf türündeki yıldızlarda eksenel dönme sonucu meridyenel dolaşım akımlarının oluşabileceği, bunların farklı dönmeyi beslediği ve böylece türbülant bir ortamınoluğu gösterildi. Oluşan üç boyutlu türbülansın radyal yöndeki hareketi besleyerek, türbülantın verimliliğine, ve kimyasal yapı gradyantına ve $\Omega(r)$ 'nın evrimine ilişkin bazı koşulların sağlanmasıyla, difüzyon yoluyla karışım yarataceği bulundu. Ayrıca düzgün dönme koşullarında, ayrıntıya inmeden hız ve zaman ölçütleri hesaplandı.

Bulgılardan meridyenel akımların evrim süreci içinde kimyasal bir karmaşma yapabileceği sonucu çıkarıldı.

Karmaşma ile ilgili yapılan bu tesbitten sonra, kimyasal yapının değişiminin ifade edilmesi gereklidir. Eğer i inci elementin atom kütte numarası A_i ise, birbirini takip eden iki model arasındaki kimyasal değişim şu şekilde yazılır (Schatzman ve Maeder, 1981)

$$\frac{\partial Y_i}{\partial t} = \left(\frac{\partial Y_i}{\partial t} \right)_{\text{çekirdek}} + \left(\frac{\partial Y_i}{\partial t} \right)_{\text{dürr.}} \quad (52)$$

Böylece dönmenin sonucu meydana gelen kimyasal elementlerin difüzyonu evrim hesaplarına katılmış olur.

KAYNAKLAR:

Abney, M. N. Roy. Astron. Soc., 37, 278, 1877

Abt, H. A. ve Hunter, J.H. Jr., Astrophys. J., 136, 381, 1962

Baker, N. ve Kippenhahn, R., Z. Astrophys., 48, 140, 1959

Bernacca, p. L. ve Perinotto, M., Contrib. Oss. Astrofis. Asiago, Univ. Padova, No 239, No 250, 1971

Bienayme, o., Maeder, A., Schatzman, E., Stellar Evolution With Turbulent Diffusion Mixing, Astron. Astrophys., 131, 316, 1984

Bisnovatyi - kogan, G. S., Blinnikov, S. I., Kostyuk, N. D. ve Fedorova, A. V., Evolution of Rapidly Rotating Stars in the Gravitational Contraction Phase, Sov. Astron., 23, 432, 1979

Bodenheimer, P. ve Ostriker, J. P., Rapidly Rotating Stars. VI. Pre - mainsequence Evolution of Massive stars, Astrophys. J., 161, 1101, 1970

Boyarchuk, A. A. ve Kopylov, I. M., Soviet Astron. J., 35, 804, 1958

Boyarchuk, A. A. ve Kopylov, I. M., Public. Crimean Astroph. Observatory, 31, 44, 1964

Brand, D. ve Smith, R. C., Meridional Circulation in Rotating Stellar Atmospheres - II, M. N. Roy. Astron. Soc., 154, 293, 1971

Cassatella, A., in SN 1987A, ed. J. I. Danziger, ESO Garching bei München, p. 25, 1987

Crampin, J., Hoyle, F., M. N. Roy. Astron. Soc., 120, 33, 1960

Çelikel, R. ve Eryurt - Ezer, D., Evolutionary Status of the Primary Component of Yz Cassiopeiae, Astrophys. and Space Sci., 153, 213, 1989

Eddington, A. S., Observatory, 48, 73, 1925

Eddington, A. S., M. N. Roy. Astron. Soc., 90, 54, 1929

Elvey, T. ve Struve, O., Astrophys. J., 71, 221, 1930

Elvey, T. ve Struve, O., Astrophys. J., 72, 1, 1930

Endal, A. S. ve Sofia, S., The Evolution of Rotating Stars I. Method and Exploratory Calculations for a $7 M_{\odot}$ star, Astrophys. J., 210, 184, 1976

Endal, A. S. ve Sofia, S., The Evolution of Rotating Stars. II. Calculations With Time Dependent Redistribution of Angular Momentum for 7 and $10 M_{\odot}$ Stars, Astrophys. J., 220, 279, 1978

Endal, A. S., ve Sofia, S., Rotation in Solar - Type Stars. I. Evolutionary Models for the Spin - Down of the Sun, *Astrophys. J.*, 243, 625, 1981

Eryurt - Ezer, D. Kirbiyik, H. ve Özkar, N., Mainsequence for Rotating Stars of Intermediate Mass, *Astrophys. and Space Sci.*, 126, 29, 1986

Faulkner, J., Roxburgh, I. W., Strittamatter, P. A., Uniformly Rotating Main Sequence Stars, *Astrophys. J.*, 151, 203, 1968

Fricke, K ve Kippenhahn, R., Evolution of Rotating Stars, in Annual Review of Astronomy and Astrophysics, vol. 10, p. 45, 1972.

Hillebrandt, W., Hofflich, P., Truran, J. W., ve Weiss, A., in SN1987, ed. J. I. Danziger, ESO Garching bei München, p. 25, 1987

Huppert, H. E., Speigel, E. A., *Astrophys. J.*, 213, 157, 1977

Jeans, J., *Astronomy and Cosmogony*, 1929

Kippenhahn, R. ve Thomas, H. - C., A Simple Method for the Solution of the Stellar Structure Equations IAU col. No.IV, in Stellar Rotation, held at Columbus, Ohio, ed. A. Slettabak, D. Reidel Publ. Comp., Dordrecht, Holland, p. 20, 1970

Kippenhahn, R., Meyer - Hofmeister, E., ve Thomas, H. - C., Rotation in Evolving stars, *Astron. Astrophys.* 5, 155, 1970

Kippenhahn, R., in Late Stages of stellar Evolution, IAU Sympos. 66, eds. R. J. Tayler, J. E. Hesser, Reidel Dordrecht, p. 21., 1974

Kippenhahn, R. ve Thomas, H. - C., in Fundamental Problems in the Theory of Stellar Rotation, IAU Symp. 93, eds. D. Sugimoto, D.Q. Lamb, D. N. Schramm, Reidel, dordrecht, p. 237, 1981

Knobloch, E, Spruit, H.C., Astron. Astrophys. 125, 59, 1983

Kraft, R. P., Stellar Rotation, in Stellar Astronomy, ed. H. K. Chiu, R. L. Warasila and J. H. Remo, N. Y., Gordon and Breach Sci. Publ., Vol. 1, Chp. IV - 1, p. 317, 1968

Lebovitz, N., Adv. Astron., Vol. 5, p. 465, 1967

Lebreton, A., ve Maeder, A., Stellar Evolution with Turbulent Diffusion Mixing. VI. The Solar Model Surface ^7Li and ^3He Abundances, Solar Neutrinos and Oscillations, Astron. Astrophys. 175, 99, 1987

Lyttleton, R. A., Stability of Rotating Liquid masses, Cambridge Univ. Press, 1953

Meader, A., in SN 1987A, ed. J. I. Danziger, ESO, Garching bei München, p. 25, 1987

Meader, A., Evidences for a bifurcation in massive star evolution. The On-blue stragglers, Astron. Astrophys., 178, 159, 1987

Mark, J. W., - K., *Astrophys. J.*, 154, 627, 1968.

Mestel, L., M. N. Roy. *Astron. Soc.*, 113, 716, 1953

Mestel, L., Meridian Circulation in Stars, in *Stars and Stellar Systems*, Vol. VIII, ed. Aller and McLaughlin, The Univ. of Chicago, P.465, 1965.

Mestel, L., *Z. Astrophys.*, 63, 196, 1966

Milne, E. A., M. N., 83, p. 118, 1923

Okamoto, I., in *Stellar Rotation*, ed. Slettabak Reidel Dordrecht, p.73 1969

Olson, E. C., *Publ. Astron. Soc. Pacific*, 80, 185, 1968

Ostriker, J. P., Fission and the Origin of Binary Stars in Stellar Rotation, ed. Slettabak, p. 147, N. Y. Gordon and Breach, 1970

Öpik, E. J., M. N. Roy. *Astron. Soc.*, 111, 278, 1951

Roxburgh, I. W. ve Strittmatter, P. A., *Z. Astrophys.*, 63, 15, 1965

Roxburgh, I. W., On the Fission Theory of the Origin of Binary Stars *Astrophys. J.*, 143, 111, 1966

Sackmann, I. - J., Anand, S. P. S., Structure and Evolution of Rapidly Rotating B - Type Stars, *Astrophys. J.*, 162, 105, 1970

Sanderson, A. D., Smith, R. C., Hazlehurst, J., *Astrophys. J.*, 159, L69, 1970

Schatzman, E., Turbulent Transport and Lithium Destruction in Main Sequence Stars, *Astron. Astrophys.*, 56, 211, 1977

Schatzman, E., ve Maeder, A., Stellar Evolution with Turbulent Diffusion Mixing III. The Solar Model and the Neutrino Problem *Astron. Astrophys.*, 96, 1, 1981

Schatzman, E., in Observational Tests of the Stellar Evolution Theory, IAU Sympos., 105, eds. A. Maeder, A. Renzini, Reidel Dordrecht, p.491, 1984

Slettabak, A., *Astrophys. J.*, 110, 498, 1949

Slettabak, A., Observed Rotational Velocities of Single Stars, in Stellar Rotation, ed. Slettabak, A., P.S. N. Y. Gordon and Breach, 1970

Smith, B. L. ve Roxburgh, I. W., Meridional Circulation in the Surface Layers of Rotating Stars, *Astron. Astrophys.*, 61, 747, 1977

Smith, R. C. A note on Meridian Circulation in Rotating Stars, *Z. Astrophys.*, 63, 166, 1966

Smith, R. C., Meridional Circulation in Rotating Stellar Atmospheres,
M. N. Roy. Astron. Soc., 148, 275, 1970

Sreenivasan, S. R. ve Wilson, W. J. F, The Evolution of massive Stars
Losing Mass and Angular Momentum: Origin of Wolf - Rayet Stars
Astrophys. J., 254, 287, 1982

Stritt matter, P. A., Robertson, J. W. ve Faulkner, D. J., Astron.
Astrophys., 5, 426, 1972

Sweet, P. A., M. N. Roy. Astron. Soc., 110, 548, 1950

Tassoul, J. - L., Theory of Rotating Stars, Princeton Univ. Press,
Princeton, N. Jersey, 1978

Tassoul, J. - L., Tassoul, M., Meridional Circulation in
Rotating Stars. II. Mean Steady motions in Rotationally
and Tidally Distorted Stars, Astrophys. J., 261, 265, 1982

Tassoul, M., Tasasoul, J. - L., Astrophys. J., 279, 384, 1984

Tassoul, J. - L., in Observational Tests of the Stellar Evolution
Theory, IAU Sympos. 105, eds. A. Maeder, A. Renzini,
Reidel Dordrecht, p. 475, 1984

Uesugi, A ve Fukuda, I., Mem. Fac. Sci. Kyoto Univ., Ser.
Phys., Astroph. Geophys., Chem., 33, 205, 1970

Vogt, H., Astr. Nachr., No. 5342, 1925

Von Zeipel, H., M. N. Roy. Astron. Soc. 84, 665, 1924

Weiss, A., Hillebrandt, W., Truran, J. W., Rotation - Induced mixing and the nitrogen abundances in SN 1987A, Astron Astrophys., 197, L11, 1988.

Zahn, J. P., IAU Sympos. 59, Stellar Instability and Evolution, eds. P. Ledoux, A. Noels and R. W. Rogers (Reidel Dordrecht), p. 185, 1974

Zahn, J. - P₁, Instability and Mixing Processes in Upper Main Sequence Stars, 13th Saas - Fee Course, eds. B. Hauck, A. Maeder, p - 253, 1983

Z. ASLAN: 1987 A Süpernovası için kırmızı dev olmadığı yolunda bir şeyler söyledimiz. Yani patlama öncesinde mavi üst devdi ama kırmızı dev bölgesine gitmediği yolunda.

H. KIRBIYIK: Gitmiş olabilir mi?, sorusunu soruyoruz.

Z. ASLAN: Biliyorsunuz, süpernovada yankı halkaları gözlenmişti. Bu yankı halkalarının da merkez patlama noktasından uzaklığına bakılırsa, belli bir zaman önce bu yıldızın kırmızı dev bölgesinde olduğu ve halkaların da belli zaman aralıklarında, kırmızı dev bölgesinde kütle atımının kalıntısı olduğu savunuluyor. Bu konuda onların başka bir açıklaması mı var yoksa buna önemli bir destek mi? Kırmızı dev bölgesine gidip tekrar, kütle atımında soğuk dış kısmını attığı için geriye dönüp, tekrar mavi üst dev bölgesine patlama öncesinde döndüğü öne sürüülüyor.

H. KIRBIYIK: Bunu, sanıyorum Meader (1987) çalışmasında söylüyor. Eğer diyor, kütle kayıp hızını yıldızın evrimi sırasında yüksek tutarsınız tekrar mavi bölgeye döner ve patlamasını orada yapar. Ancak sorunlar çıkıyor; Modelinize o kadar büyük kütle kaybı verdığınız zaman zarftaki hidrojeni atması lazım. Halbuki gözlemlerde 10 Mo'lik bir hidrojen zarfının varlığından bahsediliyor. Şimdi eğer bu doğruysa, hala zarfında 10 Mo kütlesi hidrojen varsa, ya olayın içinde başka birşey var hidrojeni atamıyor ya da.

O.DEMİRCAN: Ben ne olduğunu değil ama ne olabileceğini söyleyeyim. Halil bey kuramsal çalıştığını için son on yılın gözlemlsel çalışmalarına pek degenmedi. Öncelikle Güneş'i ele alalım; birkaç yıl öncesine kadar bildiğimize göre, Güneş dahil bütün yıldızların içeriye doğru gidildikçe daha hızlı döndüğüne inanılıyordu. Radyo Sismoloji gözlemleri gösterdi ki, durum böyle değil. Güneşin radyatif kısmı daha yavaş dönüyor ve katı cisim görünüşü gösteriyor, bu artık kesin. Sadece Güneş değil Güneş benzeri yıldızlarda da durum böyle. Belki büyük kütleseli yıldızlarda durum farklı. Gözlemler olarak bildiğimiz, yıldızların dönmesi ile ilgili çok önemli bir şey daha var: Morötesi ve x-işin gözlemleri sonucuna dayanılarak denilebiliyor ki; yıldızlar anakola gelirken ve anakol sonrası evrimlerinde çok fazla kütle ve momentum kaybediyorlar. Bu momentum ve kütle kaybı manyetik alanla doğrudan ilgili ve manyetik alan hiçbir zaman dönmeden ayrı düşünülemiyor. Biri diğerini yaratıyor. Yıldızların dönmesi doğrudan doğruya yaşıla orantılı. Tayf türüyle ilişkili olması aslında yaştan kaynaklanıyor. Bir de bazı elementlerin bolluğu ile orantılı görülüyor ki, o da tamamen yaşıla ilgili. Hatta H-R diyagramında bir çizgi oluşuyor, o çizginin sol tarafında yıldızlar çok hızlı dönerken, sağ tarafındaki yıldızlar neredeyse durmuş gibi dönme göstermeyi. Bugün kromosferlerin, koronaların varlığı yıldızlarda tamamen dönme ile ilgili. Dönme varsa korona, kromosfer oluşuyor. Dönme yoksa oluşmuyor. Bu çizgiler H-R diyagramında çok belirgin. O zaman galiba diyebiliyoruz ki; kuramsal çalışmalar ile gözlemlsel çalışmalar 80'li yıllarda tamamen birbirinden ayrılmıştır. Kuram, bu gözlemleri dikkate almalı ve açıklamalıdır.

K.AVCIOĞLU: 80'li yıllarda emisyonlu B yıldızları Üzerine çalışmıştım ve hem dönme hızlarını hesaplamış hem de istatistik bir çalışma yapmıştım. B yıldızlarının dönme hızları fazla, emisyonlu B yıldızlarının da aynı spektrel tipteki yıldızlara göre dönme hızlarının çok daha fazla olduğu ortaya konulmuştur. Bunun bir açıklaması olabilir mi?

H.KIRBIYIK: Şimdi, tabii emisyon yapan yıldızlarda böyle olması doğal. Çevredeki, ekvator bölgesindeki kütlenin kritik dönme sonucu atılan kütleden oluştuğu açık. Yani emisyon çizgileri gösteren yıldızların daha hızlı dönüyor olması beklenmelidir. Disk oluşumu ancak o şekilde açıklanabilir.

K.AVCIOĞLU: O zaman bir madde toplanması oluyor. Ancak son zamanlarda farklı açıklamalar getirildi mi?

H.KIRBIYIK: Bildiğim kadarıyla yok. Ama o şekilde oluştuğu Üzerinde sanıyorum fikir birliği var. O yıldızlar dönmeden dolayı ekvator bölgelerine sürekli madde aktarıyor ve bu da emisyon çizgilerine sebep oluyor.

YARI-GÜRECELİ YARI-SOYSUZ ELEKTRON GAZI İÇİN BASINCIN
HESAPLANMASI

Mutlu YILDIZ
ODTÜ Fizik Bölümü

I. GİRİŞ

Yıldızlarda Hidrostatik denge denklemini çözmemiz için durum denklemi'ne (DUD) gereksinimiz vardır. Yıldız yapılarının ilk incelenmeye başlandığında, yoğunluğu çok yüksek olan yıldızlar gizemli kalmıştır.

150 yıl kadar önce Bessel Sirius A'nın yörüngesindeki düzensizlikleri saptadı ve bunu ışima-gücü düşük bir bileşenin etkisi olarak yorumladı [16]. Bundan 20 yıl kadar sonra, Bessel tarafından öngörülen bileşen gözlemlenerek, yoğunluğu 10^4 gm cm^{-3} (gerçekte $\approx 3 \times 10^6 \text{ gm cm}^{-3}$) olarak belirlenmiştir.

1910'larda, Hertzsprung-Russel çizelgesi henüz Russel çizelgesiyken, beyaz cüceler de (BC) bu çizelgede yerini almıştı. Ana-kol yıldızlarının oluşturduğu eğrinin altında kalan beyaz cücelerin, en önemli Özellikleri, düşük ışima-gücüne karşın yüksek etkin-sıcaklığa, dolayısıyla gezegen ölçünde bir büyüklüğe sahip olmalarıydı [2].

1926'da Fermi ve Dirac elektronların Fermi-Dirac ıstatistiğine, Pauli dışlama ilkesi uyarınca, uyduğunu gösterdi. Fowler, hemen, bu ıstatistiği uygulayarak BC'de yerçekimine karşı gerekli basinci hemen hemen tamamıyla soysuzlaşmış elektronların sağladığını ifade etti. 1929'da Andersen ve Stoner, Fowler'in DUD'ne görecelilik doğrulamasını ekledi. İki yıl sonra Chandrasekhar, üç yıl sonra da Landau, ayrı ayrı, Chandrasekhar kütle sınırı diye bilinen saptamayı yaptı. Bu saptama, M_{ch} kütlesinden büyük kütleye sahip olan beyaz cücelerin soysuzlaşmış elektronların basinciyla, yerçekimine karşı daha fazla dayanamayacağı gerçeği idi. Daha sonraki yıllarda, özellikle Chandrasekhar tarafından, DUD kuramı mükemmel bir şekilde geliştirildi.

Öte yandan soysuzlaşmış madde yalnızca beyaz cüceler gibi yıldızların ölüm evresinde değil, kırmızı devler gibi iç-kabuk yanmalı yıldızlarda da etkin bir biçimde varolabilmektedir ve He parlaması ile bazı SN tiplerinin

patlamalarında başlatıcı etken olarak [15] ele alınmaktadır.

Tamamıyla soysuzlaşmış elektron gazının DUD oldukça basittir. Soysuzlaşma az ise, DUD ancak sayısal olarak ifade edilebilinir. DUD'ı üzerine yapılan çalışmalar çoğunlukla ya sayısal ya da yaklaşık yöntemlerle [4,5,6,7] DUD'ni, model hesaplamalarına daha uygun bir biçimde elde edilmesi üzerine olmaktadır. Bu çalışma da, DUD'ni sayısal olarak elde edilmesi üzerine yapıldı. DUD'ninkuramsal olarak İrdelenmesi Chandrasekhar ve Cox'ın kitaplarında sunulmuştur.

II. kısımda bazı kaynaklardan alınan sonuçlar, özellikleyle birlikte verilmiştir. III. kısım DUD'nin hesaplanması yöntemi, IV. kısım da sonuçlar için ayrılmıştır.

Sıcaklığın $10^4 < T < 10^{90}$ K, yoğunluğun da $10^{-2} < \rho < 10^9$ gm/cm³ aralığında, içeren maddenin tamamen iyonize olmuş ve elektronların etkileşimsiz olduğu kabul edilmiştir. Bir çok fiziksel etkileşim [3,6,8] (ters β -çürümesi, kristalleşme, Coulomb etkileşimi vb.) ele alınmazken, göreceli enerji ilişkisi kullanıldı. Bu nedenle, bu çalışmanın, bir çok, örtülemeyecek kadar, eksiklerinin bulunduğuunu belirtmek gerekiyor.

II. DUD KURAMI

Pauli dışlama ilkesine uyan elektronların sayısal yoğunluğu istatistik fizигinde [3,9], Cox'ın göstergemini (belirtilmediği sürece) izleyerek,

$$n_e = \frac{\rho}{\mu_e} N_0 = \frac{8\pi}{h^3} \int_0^\infty \frac{P^2}{e^{-\psi + E(p)/kT} + 1} dp, \quad (1)$$

elektron basıncı ise

$$P_e = \frac{8\pi}{3h\omega} \int_0^\infty \frac{P^3}{e^{-\psi + E(p)/kT} + 1} \frac{\partial E}{\partial p} dp \quad (2)$$

biriminde ifade edilmektedirler. Bu her iki denklemde de bulunan payda n ve P'nin davranışlarını, ψ 'ın değerine göre, birbirlerine çok yaklaşır. Eğer $\psi \ll -1$ ise, serisel açılımla [1,9]

$$n_e = 8\pi \left(\frac{mc}{h} \right)^3 \beta \sum_{i=0}^{\infty} (-1)^i \frac{e^{-(i+1)\psi}}{(i+1)} \left[e^{(i+1)/\beta} K_2 \left(\frac{i+1}{\beta} \right) \right] \quad (3)$$

ve

$$P_e = 8\pi \frac{m^4 c^5}{h^9} \beta^2 \sum_{i=0}^{\infty} (-1)^i \frac{e^{(i+1)\psi}}{(i+1)^2} \left[e^{(i+1)/\beta} K_2\left(\frac{i+1}{\beta}\right) \right] \quad (4)$$

biçimiyle, $\beta = \frac{kT}{mc^2}$ ve $K_2\left(\frac{i+1}{\beta}\right)$ de Bessel fonksiyonu olmak

üzerde, literatürde yer almaktadır. $\psi \gg 1$ için

$$\begin{aligned} n_e &= \frac{8\pi}{3} \left(\frac{mc}{h} \right)^3 \left[y^3 + 6c_2 \beta^2 \frac{2y^2 + 1}{y} + \dots \right. \\ &\quad \left. \dots + 18c_4 \beta^4 \frac{1}{y^5} + 90c_5 \beta^6 \frac{7+8y}{y^9} + \dots \right] \end{aligned} \quad (5)$$

$$\begin{aligned} P_e &= \frac{\pi m^4 c^5}{3 h^9} \left[f(y) + 48c_2 \beta^2 \sqrt[2]{y^2 + 1} + 48c_4 \beta^4 \frac{4(2y^2 - 1) \sqrt{y^2 + 1}}{y^3} - \dots \right. \\ &\quad \left. \dots - 720c_5 \beta^6 \frac{\sqrt{y^2 + 1}}{y^7} + \dots \right] \end{aligned} \quad (6)$$

denklemleri Sommerfeld leması [1] uygulanarak elde edilmekte: bunlardaki y

$$y = (C_1 + \psi \beta) - 1 \quad (7)$$

olarak tanımlıdır.

Tam soysuzlaşmanın gerçekleşmesi durumunda denklem (5) ve (6)'da sadece birinci terimlerin hesaplanması toplam n ve P için yeterlidir. Sistemin Fermi enerjisi, sisteme bir şekilde elektron eklediğimizi varsayıarak, artırılabilir. Sisteme verilen elektronların fazla olması, belirli bir noktadan sonra, durgun kütle enerjisinin etkisini ortadan kaldırır. Bu demektir ki, göreceli enerji yerine, aşırı göreceli enerji ilişkisi ($E=pc$) DUD hesabı için kullanılabilir. Sonuçta da denklem (1) ve (2)'den

$$P_e = \left(\frac{3}{\pi}\right)^{1/3} \frac{hc}{8} n_e^{4/3} \quad (8)$$

politropik indisi 3 olan bir gaz için DUD ortaya çıkar.

$\psi \geq 1$ dolayında bir açılım olmadığı için, P ve n 'yi sayısal tümleme yöntemiyle çözmek gerekiyor. Guess'in ilk kez kullandığı Q fonksiyonlarının [4] yardımıyla,

$$n_e = \pi \left(\frac{mc}{h}\right)^{3/4} \int_0^1 \frac{(u+u^{-1})^3 - 4(u+u^{-1})}{e^{-\psi+(u+u^{-1}-2)/2\beta} + 1} \frac{du}{u} = C_n \int F(u) du \quad (9)$$

ve

$$\begin{aligned} P_e &= \frac{\pi}{6} \left(\frac{mc}{h}\right)^{3/4} \int_0^1 \frac{(u+u^{-1})^4 - 8(u+u^{-1})^2 + 16}{e^{-\psi+(u+u^{-1}-2)/2\beta} + 1} \frac{du}{u} \\ &= C_p \int G(u) du \end{aligned} \quad (10)$$

dönüşümleri,

$$\left(1 + \frac{P^2}{m^2 c^2}\right)^{1/2} = \cosh \theta = \frac{u + u^{-1}}{2} \quad (11)$$

olmak üzere yapılabılır. Denklem (9) ve (10)'un en önemli özelliği sonsuz üst sınıra sahip olmamalarıdır.

III. DUD'NIN HESAPLAMA YÖNTEMİ

Hesaplama yöntemi üzerinde durulması gereken iki konu var: 1) ψ 'yi dolayında sayısal yöntem; 2) ψ 'nin bağımsız değişken olamayacağı göz önünde tutulursa verilen $(\rho/\mu)-T$ değerlerine göre ψ 'nın bulunması. $\psi < -1$ ve $\psi > 1$ kısımlarında DUD üzerinde durulmayacak kadar basittir.

1) Sayısal Tümleme

Denklem (9) ve (10)'da verilen integralin içindeki $F(u)$ ve $G(u)$ fonksiyonları $[0,1]$ aralığında oldukça düzenlidir; her iki fonksiyon içinde bir tane tepe vardır. Bu konum sayısal tümleme için oldukça uygundur. Yöntem olarak Gaussian 2-nokta formülü [12] $[0,1]$ aralığı Δ genişliğinde eşit uzunluklara bölünerek her bir Δ aralığına ayrı ayrı uygulandı. Elde edilen sonuç şudur:

$$n_e = \frac{\pi}{2} \frac{m^3 c^3}{h^3} \Delta \sum_{m=0}^{1/\Delta} [F(d_0 + m\Delta) + F(d_1 + m\Delta)] \quad (12)$$

ve

$$P_e = \frac{\pi}{12} \frac{m^4 c^5}{h^5} \Delta \sum_{m=0}^{1/\Delta} [G(d_0 + m\Delta) + G(d_1 + m\Delta)] \quad (13)$$

birimindedir:

$$d_0 = \frac{1}{2} (1 - 3^{-1/2}), \quad \text{ve} \quad d_1 = \frac{1}{2} (1 + 3^{-1/2}) \quad (14)$$

olmak üzere.

ii) ψ 'ın Bulunması

Verilen $(\rho/\mu) - T$ değerlerine göre, gerektiği zaman ψ 'ı tekrarlanan hesaplamalarla bulabiliriz. Bunun için, ψ 'ın $\log(n_e)$ 'ye karşı değişimi parabol çok yakın olduğundan (T sabit), aşağıdaki tanımlı yapabiliriz:

$$\psi = A (\log n_e)^2 + B (\log n_e) + C. \quad (15)$$

Burada yapılması gereken, denklem (15)'i sağlayan A, B, C'leri bulmaktır. Eğer üç keyfi noktada ψ 'a karşılık gelen $\log(n_e)$ 'leri, önceki kısımlarda ele alınan yöntemle hesaplaysak, elimizde ilk A, B, C değerleri olacaktır. Soysuzlaşma parametresini bulmak istediğimiz $\log(n_e)$, ve A, B, C'yi denklem (15)'da yerine koyarsak, ψ_c gibi bir değer buluruz. Bu ψ_c değerine denk gelen n_{ec} , n_e ile kıyaslanarak ψ_c 'nin bizim ($n_e - T$) çiftine denk gelip gelmediğini kontrol edebiliriz. Beklenebileceği gibi, n_{ec} , n_e 'den çok farklı ise, ilk üç ($\psi - n_e$) çiftlerinden uygun olan birisini atıp, bunun yerine $\psi_c - n_{ec}$ çiftini kullanarak A, B, C'yi yeniden hesaplayabiliriz. Böylece bu işlem devam ettirildiğinde, ($n_e - T$) çiftine tekabül eden ψ değerine çok yaklaşacağımızdan, gerçek ψ değerini kolayca bulabiliriz.

IV. SONUÇ

Önceki kısımlarda üzerinde durulan DUD'leri bütün $(\rho/\mu_e - T)$ düzlemini kapsayacak bir şekilde eklememelidir. Belirtilmesi gereken bir nokta var ki, o da ψ 'ın hangi aralıkları için hangi DUD'lerinin kullanılacağıdır. Bu, hesaplamalarda (denetlenebildiği kadariyla) izin verilen hata miktarına da bağlıdır. Biz bu çalışmada, belki gereğinden fazla hassaslıkla, elektron basıncını ilk beş mertebesine (tabii ki eksponensiyel çarpanıyla birlikte) kadar hesapladık; hata son mertebede ± 1 'dir. Bu hata oranıyla, DUD'lerine karşılık gelen ψ aralıkları şöyledir [a]:

$\psi \leq -8.3$	Gerçek gaz DUD.
$-8.3 < \psi \leq -0.1$	Denklem (3) ve (4)
$-0.1 < \psi \leq 7$	Denklem (12) ve (13)
$7 \leq \psi \leq 1000$	Denklem (5) ve (6)
$1000 \leq \psi$	Denklem (5) ve (6)'nın ilk terimleri

Denklem (7) 'de verilen γ 'nin 310 'dan büyük olmasındaysa, denklem (8) 'de verilen DUD geçerlidir.

Bu yöntemi uygulayarak bazı küçük küteli yıldızların [18] merkez basıncı ve bu basınç içerisindeki soysuzlaşmanın etkisi yüzde olarak bulundu; sonuç tablo halinde sunulmuştur. Bu tabloda P_T [1,2,11], elektron, gerçek gaz ve radyasyon basıncının toplamıdır.

Bu çalışma da ayrıca göreceli olmayan enerji ilişkisi de kullanılarak, göreceli enerji ilişkisiyle elde edilen sonuçlarla kıyaslandı. Sonuç olarak, eğer sıcaklık 10^4 °K 'den küçük değilse, bu hatayla, göreceli olmayan enerji ilişkisi kullanılamaz.

Kaynaklar

- [1] Chandrasekhar, S., 1967, An Introduction to the Stellar Structure, Dower Publications, Inc., New York.
- [2] Motz, L., 1970, Astrophysics and Stellar Structure, Ginn and Company, Waltham, Mass..
- [3] Cox, J.P., ve Giuli, R.T., 1968, Principles of Stellar Structure, Gordon and Breach, Vol.I, and Vol.II, Zurich.
- [4] Guess, A.W., 1966, "The Degenerate Gas", Advances in Astronomy and Astrophysics, Vol.IV, pp.153-232.
- [5] Divine, N., 1968, "Numerical Evaluation of Degenerate Equation of State", Asp. J., Vol.212, No.4, pp.1652-1655.
- [6] Eggleton, P.P.,et.al., 1973, "An Approximate Eq. of St. for the Stellar Mat.", Ast.& Asp.,Vol.23, pp. 325-330.
- [7] Bludman, S.A., ve Van Riper, K.A., 1977, "Equation of State of an Ideal Fermi Gas.", Asp.J., Vol.212, No.3, pp.859-872.
- [8] Immshennik, V.S., ve Nadezhin, D.K., 1966, "Thermod. Prop. of Mat. at High Den. and Temp.", Soviet Ast.-AJ, Vol.9, No.6, pp.896-906.
- [9] Landau, L.D., ve Lifshits, E.M., 1980, Statistical Physics, Pergamon Press, New York.
- [10] Herz, M.A., 1968, "Num. Ev. of Elect. Eq. of St. with Pair Creation",Asp. J., Vol.153, No.3, pp.1011-1013.
- [11] Shlovski, I.S., 1978, Stars: Their Birth, Life, and Death, W.H.Freeman and Company, San Fransisco.
- [12] Aktaş, Z., 1973, Numerical Analysis, Pt.1, ODTÜ, Ankara.
- [13] Kızılıoğlu, N., ve Ezer-Eryurt, D., 1987, "Pregalactic- Primordial Low-Mass Stars", Asp. and Space Science, Vol.136, pp.83-90.
- [14] Yıldız, M., ve Eryurt, D., 1989, Equation of State For the Stellar Mat., Yük. Lis. Tezi.
- [15] Nomoto, K., 1981, Fund. Prob.in the Theory of Stellar Evol. pp.295-315
- [16] Koester, D., ve Chanmugam, G., 1990, "Physics of White Dwarf Stars",Rep. Prog. Physics, Vol.53, pp.837-915.

ANAKOL YILDIZLARI İÇİN KÜTLE-PARLAKLIK ve KÜTLE-YARIÇAP BAĞINTILARI

GökseL KAHRAMAN, Osman DEMİRCAN

Ankara Üniversitesi Fen Fakültesi

Astronomi ve Uzay Bilimleri Bölümü

Beşevler / ANKARA

ÖZET

Anakol (MS) yıldızları için Kütle-Yarıçap ve Kütle-Parlaklık bağıntıları (MRR ve MLR) ayrık çift yıldızlara ilişkin güvenilir salt parametrelerden oluşan yeni verilerin ve teorik modellerin kullanılmasıyla yeniden belirlenmiştir. Sıfır yaşı anakol (ZAMS) yıldız modelleri ile gözlemsel veriler arasında bir uyum vardır. Fakat ZAMS çizgisi her iki bağıntı da bir alt sınır oluşturmaktadır. Bu özellik, gözönüne alınan yıldızların ZAMS durumundan bir parça evrimleşmiş oldukları şeklinde yorumlanabilir. Bağıntılarda eğim MLR için yaklaşık $0.5 M_{\odot}$ ve MRR için yaklaşık $1.7 M_{\odot}$ civarında değişmektedir. İlk nokta tamamen konvektif yıldızlarla radyatif çekirdeğe sahip yıldızlar arasındaki kütle sınırıdır. İkinci nokta ise yıldızlarda hakim nükleer enerji kaynağının proton-proton çevrimine göre karbon-azot çevriminin daha etkin olmaya başladığı kütle sınırıdır. Bu noktaların yıldız modellerinin yapılmasında önemli bir yeri olduğu görülmektedir. Bu kritik noktaların gözlemsel olarak daha duyarlı belirlenmesiyle kuramsal modellere kısıtlamalar konabilecek ve dolayısıyla bu alanda gözlemsel ve kuramsal veriler daha uyumlu olacaktır.

1. GİRİŞ

Kütle, yarıçap, parlaklık ve etkin sıcaklık gibi temel yıldız nicelikleri arasındaki bağıntılar Hertzsprung(1923), Russell,Adams ve Joy(1923) ve Eddington'dan(1926) beri bilinmektedir. Teorik ve gözlemsel verilerin düzeltmesine bağlı olarak geçmişte bu tür bağıntılar birçok kereler düzeltilmiştir. Son zamanlarda da Heintz(1978), Kopal(1978), Cester ve ark.(1983), Smith(1985), Gimenez ve Zamorano(1988) ve Griffiths ve ark.(1988) konuya ilgili çalışmalar yapmışlardır. Bu çalışmalarda 1980'li yıllarda biriken gözlemler veriler kullanılmış ve karşılaştırmalar genellikle eski evrim modelleri ile yapılmıştır. Halbuki bu güne kadar, gerek gözlemsel gerekse teorik açıdan her iki alanda da oldukça önemli gelişmeler olmuştur. Gözlemsel açıdan, sistematik, daha duyarlı fotometrik ve tayıfsal gözlemler ve örten ayrık çiftlerin veri analizleri çift yıldızlara ilişkin oldukça güvenilir çok sayıda salt parametrelerin bulunmasını sağlamıştır (Harmanec, 1988). Teorik açıdan, (Ciardillo ve Demarque, 1977, Mengel ve ark. 1979)'nın yaygın olarak kullanılan yıldız modellerinden sonra yıldızlar astrofiziğinde çok önemli gelişmeler olmuştur. Öncelikle, yeni daha duyarlı hesaplamalarla, Los Alamos'daki Astrofiziksel Opasite Kütüphanesi'nde yeni opasite değerleri oluşturulmuştur. Bunlar yeni atomik verileri ve donukluk hesabındaki düzeltmeleri içerir. Yeni opasite değerlerinin yoğunluk ve sıcaklığın anlamlı aralıklarında önceden hesaplanan değerlerden (Cox ve Stewart, 1970 a,b) %50 daha büyük olduğu gösterilmiştir (Magee, Mertz ve Heubner, 1975). Alexander, Johnson ve Rypma(1983) düşük sıcaklık opasite değerlerini hesaplamışlardır. Bu değerler oldukça önemli atomik, moleküller ve parçacık soğurucularının katkılarını içerir ve daha önceden kullanılmış değerlerden çok daha doğru, duyarlı ve anlamlıdır. Gustafsson ve ark.(1975), Kurucz(1979), Eriksson ve ark.(1981)'nın çabaları sonucunda model atmosfer hesaplamalarında önemli gelişmeler olmuştur. Renk-Sıcaklık bağıntıları, bolometrik düzeltme, etkin sıcaklığın daha doğru tahminleri HR diyagramının hemen hemen her yerinde uygulanabilir duruma getirilmiştir.

Yeni çift yıldız verileri anakol için MLR ve MRR çalışmalarında henüz yeni teorik hesaplamalarla birlikte tam olarak kullanılmıştır.

Bu çalışmada Popper'in (1980) derlediği verilere ilaveten yeni verilerin kullanılmasıyla MLR ve MRR tekrar araştırılmıştır. Teorik MLR ve MRR yeni teorik yaklaşımalar kullanılarak ZAMS ve TAMS modelleri için elde edilmiş ve sonuçlar gözlemsel bağıntılarla karşılaştırılmıştır.

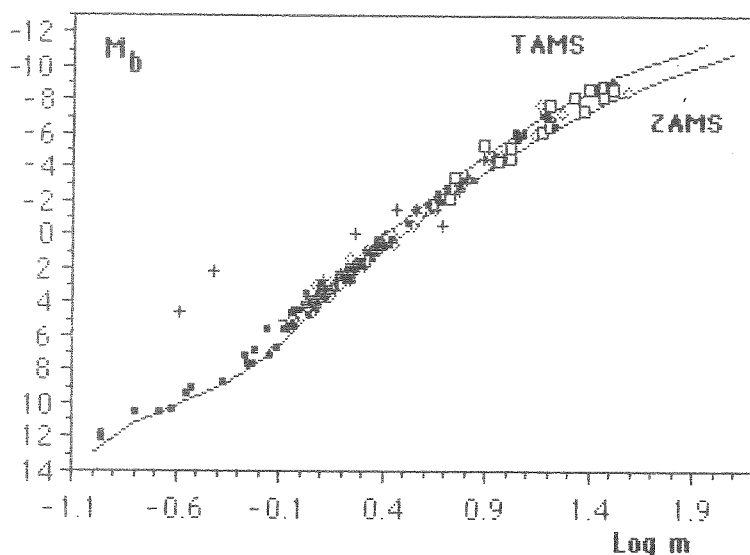
2. YERİLER

Gözlemsel veriler Popper'in (1980) verilerini de içeren Harmanec'in (1988) derlemesinden alındı. Harmanec'in derlemesi 1988'e kadar elde edilen 06-M8 tayf türleri arasındaki anakol yıldızlarının salt parametrelerini içermektedir. Am yıldızları ve log g'si 3.9'dan küçük yıldızlar hariçinde, Harmanec 06 ve M8 tayf türleri arasında 140 anakol yıldızının salt parametrelerini literatürden toplamıştır. Harmanec tayf türü B2'den daha erken ve K0'dan daha geç yıldızlar için veri yamılgılarının büyük olduğunu vurgulamıştır.

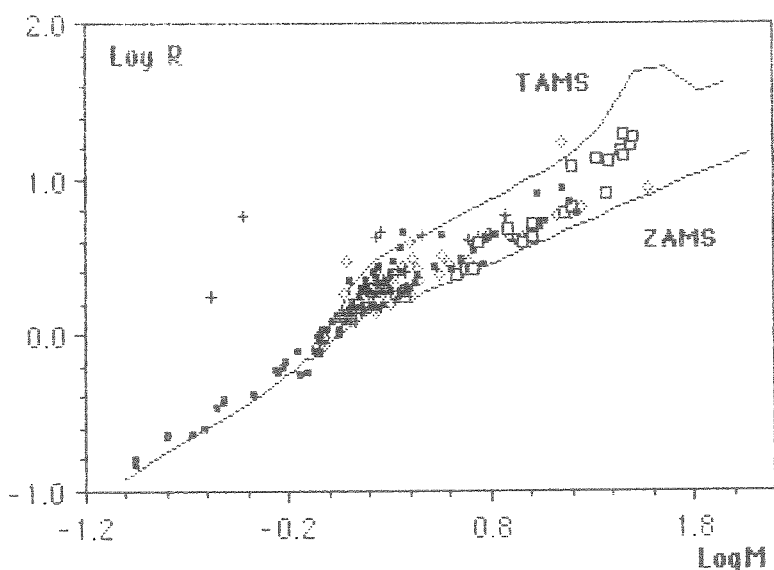
Üç değişik yeni kaynaktan evrim modellerini kullanarak teorik ZAMS ve TAMS çizgilerini oluşturduk. $2 M_{\odot}$ 'nden $120 M_{\odot}$ 'ne kadar olan yıldızlar için evrim modelleri Maeder ve Meynet (1988)'den alındı. Bu modellerde kütle kaybı ve konvektif çekirdeklerden overshooting etkisi özellikle ağır yıldızların gözlemlenebilir özelliklerini dikkatli bir şekilde açıklamak için dahil edilmiştir. Hesaplanan modellerde H, He ve ağır element içeriği sırası ile X=0.70, Y=0.28 ve Z=0.02 olarak alınmıştır. Karışım uzunluğu (mixing lenght) ve overshooting mesafesi eşit yani 1.5 alınmış ve yerel basınç ölçek yüksekliği 0.25 alınmıştır. 0.7 ve $5 M_{\odot}$ arasındaki 27 ZAMS modeli Vanden Berg ve Bridges(1984)'den alınmıştır. Bu modeller Y=0.25 ve Z=0.0169 (Güneş'e özgü) için hesaplanmış ve konveksiyon parametresi (karışım uzunluğunun basınç ölçek yüksekliğine oranı) $\alpha=1.5$ alınmıştır. Daha küçük kütleli ($M/M_{\odot} = 0.1, 0.15, 0.3, 0.45, 0.6$ ve 0.75) yıldızlar için evrim modelleri Vanden Berg(1983)'den alınmıştır. Bu modeller Y=0.25, Z=0.02 ve $\alpha=1$ için

yapılmıştır. Modellerin yarıçap (R güneş biriminde) ve bolometrik parlaklıkları verilen etkin sıcaklık ve ışınım gücü değerlerinden bilinen formüllerle güneş birimlerinde bulunmuştur.

Gözlemsel veriler şekil 1 ve 2'de gösterildiği gibi $\log M - M_b$ düzleminde noktalanmıştır. Oluşturulmuş ZAMS ve TAMS çizgileri de şekilde görülmektedir. Ayrık, yarı ayrık, dejen ve hemen hemen dejen çiftlerin bileşenleri de şekillerde farklı sembollerle gösterilmiştir. Algol türü çiftlerin birkaç ikincil altdevleri dışında, bütün yıldızların anakol bandında yer aldığı görülmektedir. Herhangi bir yıldız gurubu için anakol bandından sistematik bir sapma görülmemektedir.



Şekil 1. $\log M - M_b$ düzleminde gözlemsel veriler, ZAMS ve TAMS çizgileri.
 Küçük kareler : Popper'dan alınan ortalama gözlemsel veriler,
 Baklava : Ayrık çiftler, Artı : Yarı ayrık, ve Büyük kareler : Dejen ve değimeye yakın çiftleri göstermektedir.



Şekil 2. logM-logR düzleminde gözlemlisel veriler, ZAMS ve TAMS çizgileri.

Küçük kareler: Popper'den alınan ortalama gözlemlisel veriler,

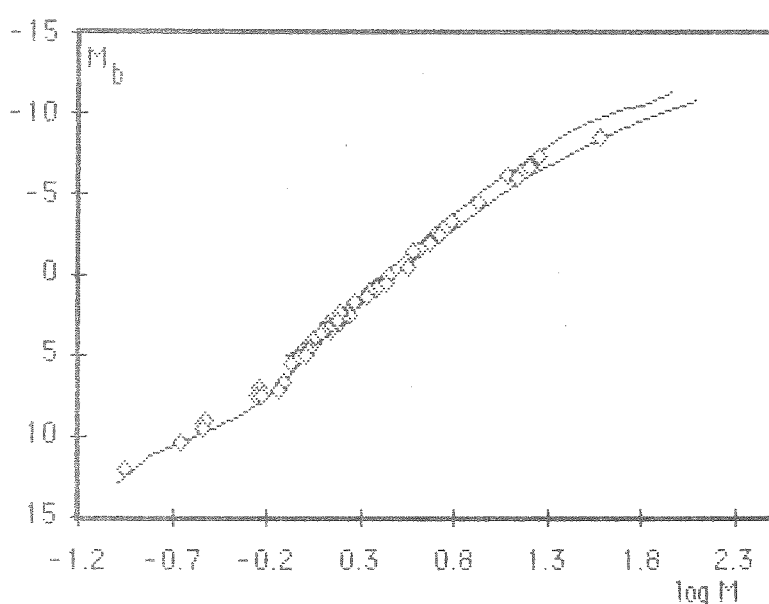
Baklava: Ayrık çiftler, Artı: Yarı ayrıkl., ve Büyük kareler: Değen ve değimeye yakın çiftleri göstermektedir.

3. KÜTLE-PARLAKLIK BAĞINTISI

Derlenen ortalama değerler logM-M_Ø düzleminde noktalandığında (Şekil 3) bağıntının eğiminin $M \sim 0.5 M_\odot$ civarında değiştiği görülmektedir.

Bununla birlikte Popper (1980), Smith (1983), Griffiths ve ark. (1988)'nın belirttiği gibi $1-2 M_\odot$ arasında eğimde anlamlı bir değişim görülmektedir. Eski çift yıldız verilerinde de eğimin $1.5 - 2 M_\odot$ civarında değiştiği öne sürülmüyordu. (Kopal, 1978, Stagni ve ark., 1982, Cester ve ark., 1983) Smith $M = 0.43 M_\odot$ 'den önceki düzlüğü farketmiştir. Bununla birlikte, teorik ZAMS çizgilerinde bağıntının eğiminin yaklaşık $M \approx 0.5 M_\odot$ civarında olduğu görülmüştür. Teorik ZAMS çizgilerinde ayrıca eğim $1.5 M_\odot$ civarında değişmektedir. Şekil 3'de ZAMS çizgilerinin gözlemlisel verilerle uyum sağladığı

fakat biraz daha aşağıya düşüğü açıkça görülmektedir. Küçük kütlerdeki gözlemlerin ve kuramsal değerlerin $0.8 M_{\odot}$ ten daha küçük kütler için uyum sağlanmadığı Hoxie(1973), Lacy(1977) ve Patterson(1984) tarafından belirtilmiştir fakat bizim şeklimizde bu ayrim anlamlı bir şekilde görülmemektedir. (bkz. şekil 3)



Şekil 3. $\log M - M_b$ düzleminde ortalama gözlemler, ZAMS ve TAMS çizgileri

Kütle-Parlaklık bağıntısının parametrik denklemleri verilerle 1., 2. ve 3. dereceden fitler yapılarak elde edilmiştir. Değişik kütle aralıklarında verilere 1., 2. ve 3. derece fitler yaparak a, b, c, d katsayılarını elde ettik. (tablo 1)

Tablo 1'deki teorik katsayıların hemen hemen her zaman gözlemler sabitlerden daha büyük olduğu görülmektedir. Buradan, $\log M - M_b$ düzleminde ZAMS modellerinin deneyisel verilerin daha düşük bir zarfını oluşturduğu

anlaşılır. Bu bilinen sonuç sürpriz değildir, çünkü yıldızlar sıfır yaşında değil, birazcık evrimleşmişlerdir.

Table 1'deki katsayılarından yararlanarak aşağıdaki bağıntıları yazabiliriz;

ZAMS için

$$L \leq \begin{cases} 1.03 M^{3.42}; & 0.1 < M < 120 M_{\odot} \text{ için} \\ 0.20 M^{2.50}; & M < 0.7 M_{\odot} \text{ için} \\ 1.15 M^{3.36}; & M > 0.7 M_{\odot} \text{ için} \end{cases}$$

TAMS için

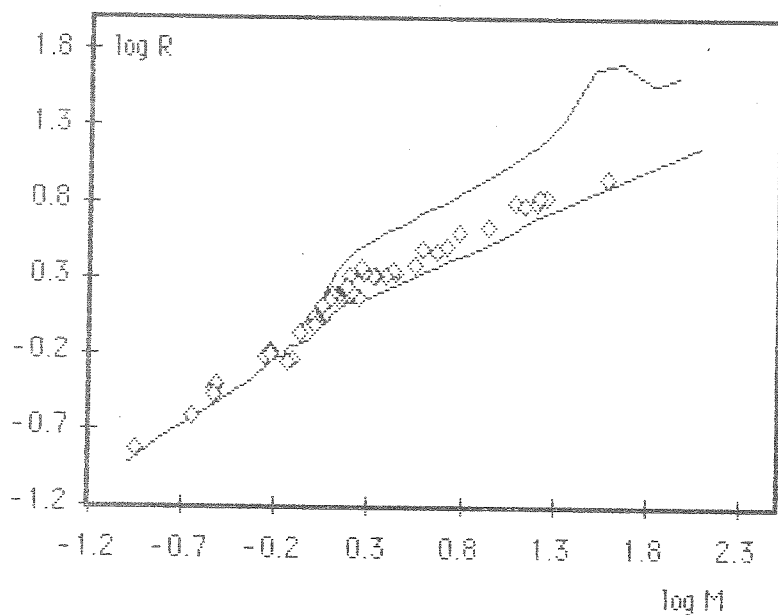
$$L \leq \begin{cases} 2.54 M^{3.41}; & 0.8 < M < 120 M_{\odot} \text{ için} \\ 2.27 M^{3.44}; & M > 0.7 M_{\odot} \text{ için} \end{cases}$$

Gözlemlisel veriler için

$$L \leq \begin{cases} 1.18 M^{3.70}; & 0.1 < M < 18.1 M_{\odot} \text{ için} \\ -0.35 M^{2.62}; & M < 0.7 M_{\odot} \text{ için} \\ 1.02 M^{3.92}; & M > 0.7 M_{\odot} \text{ için} \end{cases}$$

4. KÜTLE-YARIÇAP BAĞINTISI

Tayfaal türlerin her alt sınıfları için ortalama kütle ve yarıçap değerleri derlenen çift yıldız verilerinin analizinden elde edilmiştir. Şekil 4'de görülen Kütle-Yarıçap bağıntısında yaklaşık $1.7 M_{\odot}$ civarında bağıntının eğimi değişmektedir. Eğimdeki bu değişim, konuya ilgili daha önce çalışan bilim adamları (Kopal, 1978, Lucy, 1979, Gimenez ve Zamorano, 1985) tarafından farklılıkla farklı yerlerde belirlenmiştir. Eğimdeki bu değişim bu yıldızlardaki hakim nükleer enerji kaynağındaki proton-proton çevriminden karbon-azot çevrimine geçiş noktası olarak görülmüştür.



Şekil 4. $\log M$ - $\log R$ düzleminde ortalama gözlemeel veriler, ZAMS ve TAMS çizgileri

Daha önce de belirlenen bu eğimdeki değişimin yeri, bu çalışmada $1.66 \pm 0.08 M_{\odot}$ bulunmaktadır. Aynı değişim, ZAMS modellerinden elde edilen teorik yaklaşımlarda $1.47 M_{\odot}$ civarındadır. Ayrıca bu değişim noktası kütle-kayıbı ve overshooting etkisinin de gözönüne aldığı ZAMS modellerinde daha belirgin ve $M=1.7 M_{\odot}$ noktasındadır. Bu değişim noktasının yeri daha doğru yıldız modellerinin yapılmasında önemli olduğu aşikardır. Yeni veriler overshooting ve kütle kaybı etkilerini içeren modelleri desteklemektedir. Şekil 4'te görülen ZAMS çizgileri gözlemeş verilerle uyum sağlamaktadır ve adeta bir alt sınır gibi belirmektedir. Büyük kütlelerdeki teori ve gözlemlerin farklılığı muhtemelen daha büyük kütlelerdeki anakol bandının genişliğinden dolayıdır. Buradaki yıldızların daha fazla evrimleştiği düşündürmektedir.

Kütle-Yarıçap bağıntısında eğimin değiştiği noktanın her iki tarafında kalan verilere ayrı ayrı doğrusal fitler yaptık. Bulunan katsayılar $\log R = a + \log M$ formundaki yapı için tablo 2'de gösterilmiştir. Şekil 4'ten de görüleceği gibi daha yüksek dereceden polinomlar fit etmek gereksiz görülmektedir.

Tablo 2'deki teorik Kütle-Yarıçap bağıntısının katsayıları hemen hemen daima gözlemeş verilerinkinden daha küçüktür. Bu özellik ele alınan yıldızların biraz evrimleşmiş olmaları ve kütleye bağlı olarak anakolun genişliğinden kaynaklanmış olabileceği şeklinde yorumlanabilir.

Tablo 2'deki verilerle aşağıdaki bağıntıları yazabiliyoruz;

ZAMS için

$$R \approx \begin{cases} 0.85 M^{0.67}; & 0.1 < M < 120 M_{\odot} \text{ için} \\ 0.89 M^{0.89}; & M < 1.66 M_{\odot} \text{ için} \\ 1.01 M^{0.57}; & M > 1.66 M_{\odot} \text{ için} \end{cases}$$

TAMS için

$$R \approx \begin{cases} 1.21 M^{1.78} & ; 0.1 < M < 120 M_{\odot} \text{ için} \\ 2.00 M^{0.75} & ; M < 1.66 M_{\odot} \text{ için} \\ 1.61 M^{0.83} & ; M > 1.66 M_{\odot} \text{ için} \end{cases}$$

Gözlemlisel veriler için

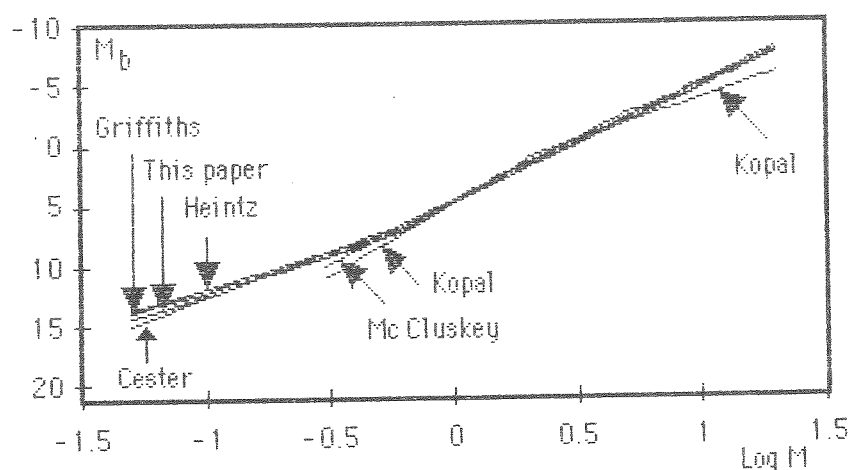
$$R \approx \begin{cases} 1.01 M^{0.724} & ; 0.1 < M < 120 M_{\odot} \text{ için} \\ 1.06 M^{0.945} & ; M < 1.66 M_{\odot} \text{ için} \\ 1.33 M^{0.555} & ; M > 1.66 M_{\odot} \text{ için} \end{cases}$$

Son bağıntıdan kütle bakımından fazla evrimleşmemiş yıldızları içeren çiftler için kütle oranı q ve yarıçap oranı k arasındaki bir bağıntıya dönüştürübilir ve ayrık çift sistemlerin ışık eğrisi analizinde yararlı olabilir.

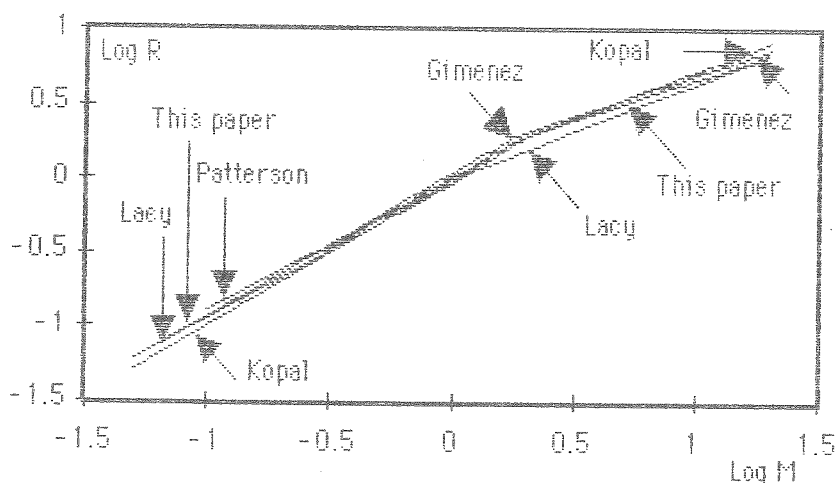
$$k = \begin{cases} q^{0.935} & ; M_1 \text{ ve } M_2 < 1.66 M_{\odot} \text{ için} \\ q^{0.542} & ; M_1 \text{ ve } M_2 > 1.66 M_{\odot} \text{ için} \\ q^{0.724} & ; M_1 > 1.66 M_{\odot} \text{ ve } M_2 < 1.66 M_{\odot} \text{ için} \end{cases}$$

5. KARŞILAŞTIRMA ve TARTIŞMA

Daha önceki bölümlerde elde edilen sonuçlar Kütle-Yarıçap ve Kütle-Parlaklılık bağıntılarının önemini ve faydalarını göstermektedir. Bizim çalışmamızdaki her iki bağıntı için katsayıları diğer araştırmacıların ile karşılaştırıldığımızda diğerlerinden pek farklı olmadığı ortaya çıkar (Şekil 5 ve 6). Fakat bizim elde ettiğiniz bağıntılarda eğimin değişim noktaları diğerlerinininkinden farklıdır. Bu noktaların yıldız modellerinin yapılmasında önemli olacağına inanıyoruz. Bu noktaların yeri zamanla daha çok verinin elde edilmesiyle daha da düzeltilebilir. Bolometrik düzeltme ve sıcaklık ölçüğindeki olaşı hatalara rağmen şimdiki sonuçlar daha önceki derlemelerin sonuçlarıyla karşılaştırıldığında gözlemlenmiş değerleri daha iyi temsil etmektedir.



Şekil 5. $\log M - M_b$ düzleminde bu çalışmanın diğerleri ile karşılaştırılması



Sekil 6. logR-logR düzleminde bu çalışmanın diğerleri ile karşılaştırılması

HR diyagramında, dönmenin etkisiyle modeller daha düşük etkin sıcaklık ve parlaklığa sahip olurlar. Böylece ZAMS'tan uzaklaşırlar. Uniform dönme, modelleri HR diyagramında ZAMS'tan uzaklaştırırken, diferansiyel dönme nedeniyle, modeller ZAMS'a hemen hemen paralel olarak daha aşağıda yer alırlar.

Ayrıca, çift yıldız verileri üzerindeki i) bolometrik düzeltme, sıcaklık ölçüği ve uzaklıktaki hatalar azaltılması, ii) daha mükemmel ışık ve radyal hız eğri modellerinin yapılması iii) ayrıca kimyasal içerik, yaş ve dönmenin evrim modellerine etkilerinin daha dikkatli bir şekilde düzeltilmesi gerekli görülmektedir. Bu yaklaşımlarla özellikle bağıntıların eğimlerinin değiştiği noktalar Yıldız Astrofiziği alanındaki gözlem ve teorilerin daha yakınlaştırılmasında yardımcı olacaktır.

Table 2 $\log R = a + b \log M$ şeklindeki fit bağıntısının katsayıları

a	ZAMS			TAMS			Güzlemel			Kütte aralığı
	b	r	a	b	r	a	b	r	r	
-0.073	0.668	0.987	0.082	1.780	0.992	0.003	0.724	0.977	Hepsi	
0.012	0.017	0.013	0.129			0.014	0.024			
-0.049	0.891	0.998	0.300	0.753	0.975	0.026	0.945	0.979	$M < 1.66$ M _{Jupiter}	
0.006	0.016	0.053	0.046			0.013	0.041			
0.005	0.565	0.999	0.207	0.826	0.981	0.124	0.555	0.982	$M > 1.66$ M _{Jupiter}	
0.004	0.005	0.038	0.038			0.019	0.024			

Table 1. $Mb = a + b (\log M) + c (\log M)^2 + d (\log M)^3$ şeklindeki fit bağıntısının katsayıları

Fit	ZAMS				TAMS				Empirical				mass range			
	a	b	c	d	a	b	c	d	a	b	c	d	r			
Birinci	4.66	-8.54	—	—	0.991	3.66	-6.52	—	—	0.991	4.51	-9.26	—	0.995	entire	
	0.13	0.19				0.26	0.26				0.09	0.15				
İkinci	4.60	-9.15	0.58	—	0.993	4.52	-12.24	2.08	—	1.000	4.51	-9.25	-0.01	—	0.995	entire
	0.11	0.23	0.16			0.07	0.18	0.10			0.09	0.20	0.20			
Üçüncü	5.05	-9.92	-1.07	1.09	0.999	4.39	-10.86	0.20	0.72	1.000	4.79	-10.22	-1.41	1.61	0.998	entire
	0.06	0.12	0.15	0.09		0.03	0.16	0.07	0.07		0.06	0.16	0.19	0.18		
Birinci	6.41	-6.25	—	—	0.995	—	—	—	—	—	5.84	-6.54	—	—	0.990	$M < 0.7$
	0.23	0.36									0.21	0.39				
Birinci	4.54	-8.41	—	—	0.988	3.80	-8.61	—	—	0.992	4.67	-9.79	—	—	0.996	$M > 0.7$
	0.16	0.23				0.23	0.24				0.08	0.15				

Kütle-Parlaklılık Bağıntısı için karşılaştırma tablosu

a	b	kütle aralığı(güneş birim)	Referans
4.89	-9.71	0.3-20	Mc Clusky and Kondo(1972)
4.80	-9.50	>0.5	Heintz(1978)
5.80	-6.00	<0.5	"
3.15	-6.99	>2.0	Kopal(1978)
4.88	-11.63	<2.0	"
4.95	-7.62	<0.5	Cester et al.(1983)
4.74	-11.75	0.6-1.5	"
4.26	-9.19	>1.5	"
5.99	-6.10	<0.4	Griffiths et al.(1988)
4.68	-10.40	0.4-5.0	"
3.77	-8.78	>5.0	"
5.84	-6.54	<0.7	Bu makale
4.67	-9.79	>0.7	"

Kütle-Yarıçap Bağıntısı için karşılaştırma tablosu

a	b	kütle aralığı(güneş bir.)	referans
0.000	0.980	<2	Kopal(1978)
0.100	0.637	>2	"
-0.020	0.917	<1.3	Lacy(1979)
0.011	0.640	>1.3	"
0.000	0.880	0.1-0.8	Patterson(1984)
-0.009	1.000	0.8-1.4	"
0.053	0.977	<1.8	Gimenez and Zamorano(1985)
0.153	0.556	>1.8	"
0.026	0.945	<1.66	Bu makale
0.124	0.555	>1.66	"

Kaynaklar

- Alexander, D. R. Johnson, H.R., Rypma, R.L. 1983, Ap. J. 272, 773.
- Cester, B., Ferluga, S., Boehm, C. 1983, *Astrophys. Space Sci* 96, 125.
- Ciardillo, R.B., Demarque, P. 1977, *Trans. Astr. Obs. Yale Univ.* 33, 1 (CD).
- Cox, A.N., Stewart, Stewart, J.N. 1970 a, Ap. J. Suppl. 19, 243.
- Cox, A.N., Stewart, Stewart, J.N. 1970 a, Ap. J. Suppl. 19, 261.
- Eddington, A.S. 1926, *The internal constitution of the stars*, cambridge Univ. Press. Reprinted 1959 by Dover Publ.
- Eriksson, K., Gustafsson, B., Bell, R.A. 19881, unpublished.
- Gimenez, A., Zamorano, J. 1985, *Astrophys. Space Sci.* 114, 259
- Griffiths, S.C., Hicks, RB., Milone, E.F. 1988. *The Journal of Roy. Astr. Soc. of Canada*, 82.1.
- Gustafsson, B., Bell, R.A., Erikson, K., Nordlund, A. 1975, *Astr. Astrophys.* 42, 407.
- Harmanc, P. 1988, *Bull. Astron. Inst. Czechosl.* 39, 329.
- Heintz, W.D. 1978, *Double Stars*, D. Reidel Publ. co Holland. Kopal, Z. 1978. *Dynamics of close binary systems*. D. reidel Publ. Co., Holland.
- Hertzsprung E. 1923, *Bull. Astron. Inst. Netherlands*, 2 No. 43.
- Kurucz, R.L. 1979, *Ap. J. suppl.* 40,1.
- Lacy, C.H. 1979, *Ap. J.* 228, 817.
- Maeder, A., Merynet, G. 1988, *Astron. Astrophys Suppl.* 76, 411

- Magee, N.H., Mertz, A.L., Heubner, W.F. 1975, Ap.J. 196, 617.
- Mengel, J.G., Sweigart, A.W., Demarque, P., Gross, P.G. 1979, Ap. J. Suppl. 40, 733.
- Patterson J. 1984, Ap. J. suppl. 54, 443.
- Paper, D.M. 1980, Ann. Rev. Astron. Astrophys. 18, 115.
- Russell, H.N., Adams, W.S., Joy, A.H. 1923, Publ. Astr. Soc. Pacific,
- Smith, R.C. 1983, The Observatory, 103, 29.
- Stagni, R., Margoni, R., Mammano, A. 1982 Ap. Space Sci. 88, 115.
- Vanden Berg, D. A. 1983, Ap. J. Suppl. 51, 29.
- Vanden Berg, D. A., Bridges T. J., 1984, Ap. J. 278, 679.

Z. ASLAN: Ben burada değişme noktalarını merak ettim. Değişik çalışmalarında uyumluları iyi söylediniz ama değişim noktaları çok farklı. Özellikle yanlışlıyorsam Kütle - Yarıçap bağıntısında idi, merkezdeki konveksiyon bölgesinin ışımasal bölgeye değişme kütlesini $0.5 M_{\odot}$ 'e eşit kabul ettiniz. Bu kütle çok küçük değil mi? Şimdiye kadar gördüğümüz kuramsal değerlere biraz ters düşüyor. Ne derece gerçekçi bu değer?

O. DEMİRCAN: Galiba benim açıklamam gereklili bunu. Göksel heyecanla cümleyi ters söyledi. $0.5 M_{\odot}$ tamamen konvektif yapıya sahip yıldızlarda, merkezden radyatif bölgenin oluşmaya başladığı yıldızlar arasındaki kütlesidir. Biz bunu daha iyi belirlediğimize inanıyoruz. Ama önceki değerlerde bundan çok farklı değil $0.7 M_{\odot}$, $0.8 M_{\odot}$ gibi.

D. ERYURT: Ben belki kaçırıldım, anlamadım, ama başında, kompozisyonu seçerken ağır elementlerin Güneş türü olmasına dikkat ettik dediniz.

G. KAHRAMAN: Evet, genelde Güneş benzeri yıldızları tercih ettiğim.

D. ERYURT: Kompozisyon olarak Güneş benzeri dediğiniz zaman, z'yi mi aynı aldınız, y'yi mi aynı aldınız?

G. KAHRAMAN: Hepsini, yani H ve He bollugunun aynı olmasına dikkat ettik. Modelleri seçerken özellikle dikkat ettiğimiz, bunlarda oluşan kütle kaybının bu modellere girmesi idi. Kimyasal kompozisyonda da hepsinin 0.7, 0.25 ve 0.02 olmasına dikkat ettik ki, bu yıldızlar Güneş kompozisyonunda oluyor.

D. ERYURT: Peki, o zaman şu suali soracağım. Modelleri seçerken neyi dikkate aldınız? Biliyorsunuz yarıçap tam hassas nispetlerde alınır. Onu seçerken aynı nispetin alınmış olmasına dikkat ettiniz mi?

G. KAHRAMAN: Tabii. Ben söylemek atladım ama Osman Demircan hocam belirtti. Modelleri seçerken özellikle parametrelerin aynı olmasına dikkat ettik.

SPİRAL GALAKSİLERİN ROTASYONEL ÖZELLİKLERİ VE HUBBLE TİPLERİ

Tektunali, H.G., Limboz Tektunali, F.
İstanbul Üniversitesi, Fen Fakültesi,
Astronomi ve Uzay Bilimleri Bölümü,
34452 Üniversite - İSTANBUL

ÖZET - Rotasyonel özelliklerle Hubble tip arasında-
ki ilişkileri araştırmak amacıyla yapılan istatis-
tic çalışmada, bir grup galaksi için merkezi hız
gradyenti ve maksimum rotasyon hızlarının Hubble
tiple nasıl değiştiği incelenmiş ve sonuçlar irde-
lenmiştir.

Spiral galaksilerin genellikle iki ayrı bileşenden
meydana geldikleri düşünülür: merkezde yoğunlaşmış,
sferoidal bir 'bulge' bileşeni ve daha düşük yoğun-
luklu, basık 'disk' bileşeni. Disk ve bulge bile-
şenlerinin birbirlerine nazaran rölatif hakimiyet-
leri galaksiden galaksiye oldukça değişir ve spi-
ral galaksilerin Hubble sınıflandırması için geçer-
li kriterlerden biridir. Diğer kriter, spiral kol-
ların açılığının veya ayırdedilebilme derecesidir.

Spiral galaksilerin optik görüntüsleri, yapılarıyla
ilgili ayrıntılarla (yıldız oluşumu, kütle dağılı-
mı, rölatif gaz miktarı ve rölatif gaz dağılımı,
vs.) yakından ilgili olmalıdır. Bazı araştırmacıla-
ra göre (Roberts ve arkadaşları 1975) spiral yapı-
nın şekli, kütle dağılımının merkezdeki yoğunlaşma
derecesine bağlıdır: merkezdeki kütle yoğunlaşması
daha fazla olan bir spiral galaksinin, spiral kol-
larının daha sıkı olması beklenir. Bazı araştırmacı-
calar ise (Sandage ve arkadaşları 1970) spiral ya-
pinın gaz bileşeni ile ilgili olduğunu teklif etmiş-
lerdir.

Görünür kısımlarındaki parlaklığın dağılımının, ga-
laksinin yapısal özelliklerinden kütle dağılımı i-
çin kullanışlı bir ölçü olup olmadığıının doğrulan-
ması için, spiral galaksilerin merkezi bölgelerin-
deki parlaklık ve kütle yoğunlaşması arasındaki i-
lişki, Hubble tipin bir fonksiyonu olarak açıklık
kazanmalıdır.

Merkezî hız gradyenti; galaksilerin merkezî bölgelerinde yoğunlaşmış kütle kesrinin bir göstergesi olan, dinamik bir bütünlüktür. Eğer spiral galaksilerin optik görünümleri kütle dağılımı ve yoğunluk gibi yapısal özelliklerle ilişkili ise, merkezî hız gradyenti ile Hubble tip arasında bir ilişki olması beklenir. Merkezî kütle yoğunlaşması kolların şeklini belirleyebilir: merkezî yoğunlaşmadaki azalma, daha geç tiplerde daha açık spiral kollarla neticeLENİR ki bu, Hubble sıralamasında bir sınıflandırma kriteridir.

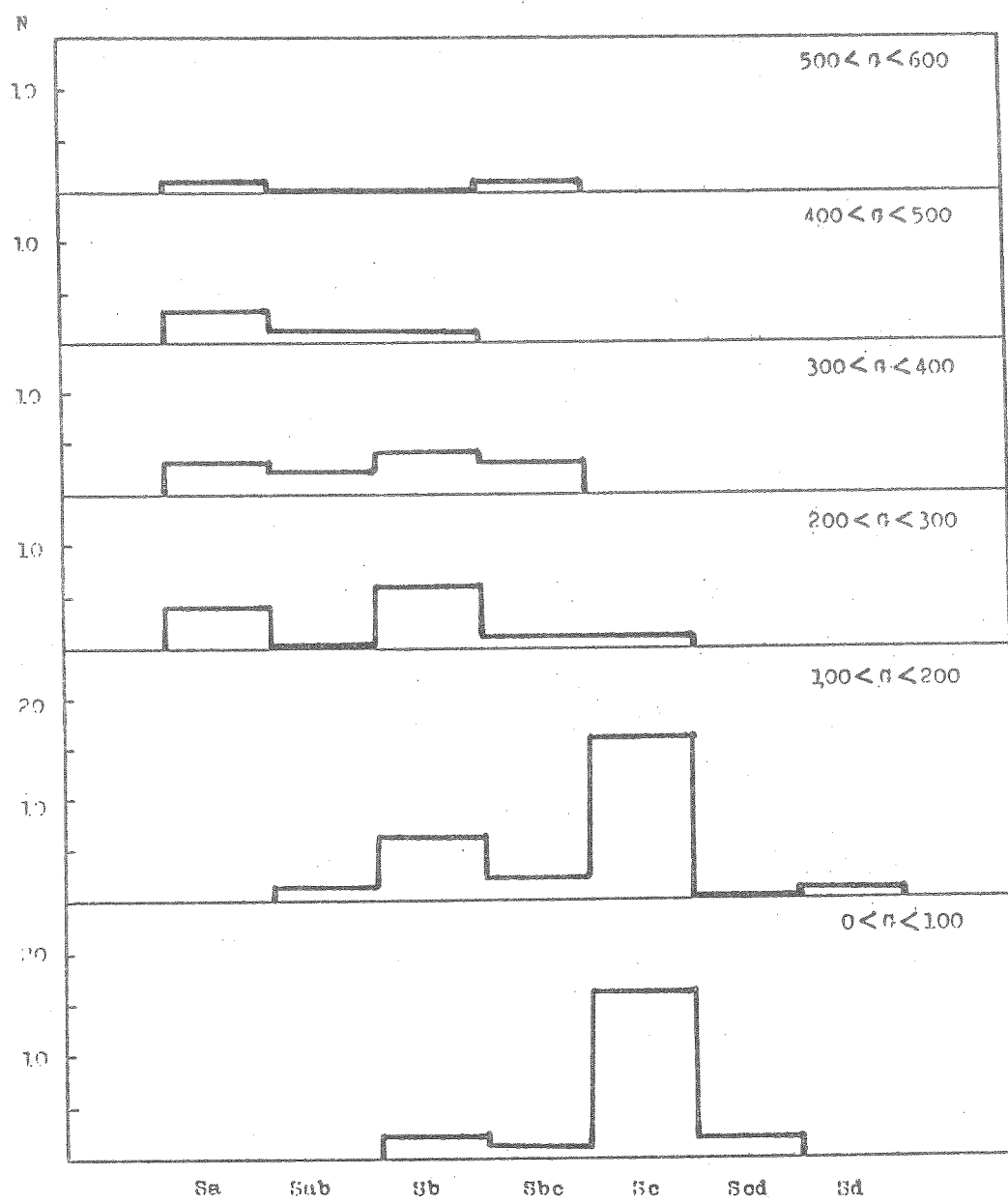
DİĞER taraftan galaksi spektrumlarındaki çizgilerin analizi; rotasyon periyodu P ile Hubble tip arasında, erken tiplerin geç tiplere nazaran daha hızlı döndüklerini düşündürecek şekilde, fakat şüpheli bir ilişki ortaya koymuştur. Bu ilişki oldukça şüphelidir, çünkü birçok galakside açısal hız $w = 2\pi/P$ merkezden dışarı doğru süratle azalır ve $w \approx$ sabit olduğu lineer iç bölgenin R_1 yarıçapı hem galaksi tipi, hem de görünen çapla değişir. Bununla beraber bu ilişki, maksimum rotasyon hızı v_{max} ile Hubble tip arasında araştırılmaya devam edilmektedir.

Maksimum rotasyon hızlarıyla Hubble tip arasındaki ilişkiye ait öncü diyebileceğimiz bir çalışma, Brosche'nin 1971 deki yayınıdır. Bu çalışmada Brosche'nin verdiği sonuç şudur: Hız, Hubble sıralamasının irregular kısmından erken tiplere doğru artar.

Rotasyonel özelliklerle Hubble tip arasındaki ilişkileri araştırmak amacıyla yapılan bu istatistik çalışmada, bir grup alan galaksisi için merkezî hız gradyentini ve maksimum rotasyon hızlarının Hubble tiple, özellikle ara sınıflarda ve parlaklıkla nasıl değiştiği incelenmiştir.

Araştırılan hususlar şunlardır:

- 78 spiral galaksinin merkezî hız gradyentlerinin tiple nasıl değiştiği,
- Seçilen 78 spiral galaksiden müteşekkil örnek için parlaklıkla merkezî hız gradyentlerinin her bir tip için nasıl değiştiği,



Şekil 1 - G ($\text{km s}^{-1} \text{kpc}^{-1}$) merkezi hız gradyentlerinin, 6 uygun aralık için, Hubble tipin bir fonksiyonu olarak dağılımı.

Table 1

		1	2	3	4
NGC 1357	Ha (n)	21.13	2101	348	
2775	Ha (r)	20.79	1195	257	
2782	Ha (n) pec	22.06	2574	332	
2844	Ha (r)	19.62	1507	336	
3593	Sa pec	19.19	493	404	
3623	Sa (n) II	21.48	675	207	
3893	SaI	21.04	1258	460	
4378	Ha (s)	21.12	2391	523	
4594	Sa ⁺ / Sb ⁻	22.81	873	205	
4693	Ha	20.55	896	258	
4945	Ha	20.22	904	442	
409	Sab (rs) I	22.06	2442	338	
601	Sab	20.79	1836	179	
4736	NSab (s)	20.81	345	472	
7469	Sab pec	23.10	5115	321	
1068	Sb (rs) II	22.93	1234	146	
1325	Sb	21.15	1574	177	
1417	Sbf (n) I, J	22.57	4139	269	
1515	Sb (s) II	20.76	959	352	
2633	Sb	20.17	399	307	
3031	Sb (r) I-II	20.75	124	268	
3067	Sb (s) III	20.52	1429	143	
3223	Sb (s) I-II	22.69	2619	95	
3504	Sb (n) I-II/Sdb	21.11	1480	354	
3521	Sb (n) II-III	21.65	627	203	
3675	Sb (r) II	20.88	792	392	
4259	Sb (n) II	22.05	520	277	
4443	Sb (r) I-II	19.54	655	225	
NGC 5005	Sb (n) II	21.78	1042	195	
5728	Sb (n) II	22.47	2800	461	
7033	Sb (n) I-II	22.81	2951	142	
7217	Sb (r) II-III	21.66	1234	291	
7331	Sb (rs) I-II	22.60	1114	141	
7606	Sb (r) I	22.69	2323	53	

Tablo 1 (Devam ediyor)

		1	2	3	4
1809	Sbc pec	20.96	820	124	
5033	Sbc(s)I-II	21.16	897	320	
5055	Sbc(s)II-III	21.34	550	518	
5194	Sbc(s)I-II	21.60	541	317	
5248	Sbc(s)I-II	21.19	1049	239	
5426	Sbc(rs)I.2	21.18	2455	132	
5427	Sbc(s)I	21.79	2565	83	
6574	Sbc(s)II.3	21.31	2415	192	
157	Sc(s)I-II	22.19	1813	50	
253	Sc(s)	20.72	293	64	
300	ScII.3	13.59	128	38	
593	Sc(s)II-III	19.07	69	35	
753	Sc(rs)I	22.67	5145	198	
925	SBc(s)II-III	21.07	792	22	
949	Sc(s)III	19.28	855	120	
1035	Sc:III	19.67	1307	101	
1084	Sc(s)II.2	21.62	1478	99	
1087	Sc(s)III.3	21.43	1628	122	
1792	Sc(s)II	21.39	1055	118	
2103	Sc(s)III	19.47	299	73	
2715	Sc(s)II	21.21	1540	149	
2742	Sc(rs)II	20.54	1422	86	
2903	Sc(s)I-II	20.96	472	218	
MCG 2997	Sc(s)I.3	21.40	799	159	
2998	Sc(rs)I	22.84	4813	103	
3389	Sc(s)II.2	19.91	1127	100	
3395	Sc(s)II-III	20.58	1599	67	
3672	Sc(s)I-II	21.49	1633	84	
3684	Sc(s)II	19.74	1065	140	
3893	Sc(s)I.2	20.91	1026	132	
4096	Sc(s)II-III	20.15	616	91	
4321	Sc(s)I	21.91	1464	181	
4559	Sc(s)II-III	21.15	771	17	
4682	Sc(s)II.4	20.74	2099	138	
5457	Sc(s)I	21.51	372	47	
6015	Sc(s)II-III	20.48	1010	94	
6181	Sc(s)II	21.56	2439	160	

Tablo 1 (Devam ediyor)

	<u>1</u>	<u>2</u>	<u>3</u>	<u>4</u>
6207	Sc(s)III	19.96	984	117
6503	Sc(s)II.8	18.76	303	172
6643	Sc(s)II	21.64	1743	105
6946	Sc(s)II	20.30	336	65
45	Sed(s)III	18.45	533	8
4244	Sed	18.76	249	42
2976	SdIII-IV	17.51	168	103

1- Hubble tipleri

2- Mutlak mavi parlaklıklar

3- Uzaklaşma hızları (km s^{-1})4- Merkezi hız gradyentleri ($\text{km s}^{-1} \text{kpc}^{-1}$)

- Seçilen örnek içerisinde, literatürde sahih olarak maksimum rotasyon hızları bulunan 27 tanesi (9 Sa, 9 Sb, 9 Sc) için maksimum rotasyon hızlarının Hubble tipe bağlılığı,
- Bu 27 galaksi için maksimum rotasyon hızları ile mutlak mavi parlaklıklar arasındaki ilişki.

Şekil 1'deki histogramların ve Tablo 1'deki verilerin gösterdiği gibi, merkezî hız gradyenti ile Hubble tip arasında bir ilişkinin varlığı tespit edilmiştir: merkezî hız gradyenti (G) değerleri erken tiplerden geç tiplere doğru azalmaktadır. Merkezî hız gradyenti G , galaksilerin çekirdek bölgelerinde yoğunlaşmış kütle kesrinin bir göstergesi olan bir büyülüklük olduğundan, bu istatistik sonucun, merkezî kütle yoğunlaşmasının kolların şeklini belirlediği iddiasını desteklediğini söyleyebiliriz. Bu iddiaya göre merkezî yoğunlaşmadaki azalma, daha geç tiplerde, daha açık spiral kollarla neticelenir ki bu da Hubble sıralamasında kriterdir.

Şekil 2 a, b ve c'den görülebileceği gibi, rölatif olarak daha parlak Sa ve Sb galaksilerinin merkezî hız gradyentleri, daha sönüklük Sa ve Sb galaksilerine nazaran daha düşüktür. Sa'lar için merkezî hız gradyentleri $205 \text{ kms}^{-1} \text{kpc}^{-1}$ den ($M_B = -22.8$), $460 \text{ (} M_B = -21\text{)} \text{ a kadar uzanır. Sb galaksileri içinse bu aralıktı, } 55 \text{ ile } 461 \text{ kms}^{-1} \text{kpc}^{-1} \text{ dir. Buna mukabil seçilen örnekteki Sc galaksilerinin merkezî hız gradyentleri, parlaklık arttıkça artar.}$

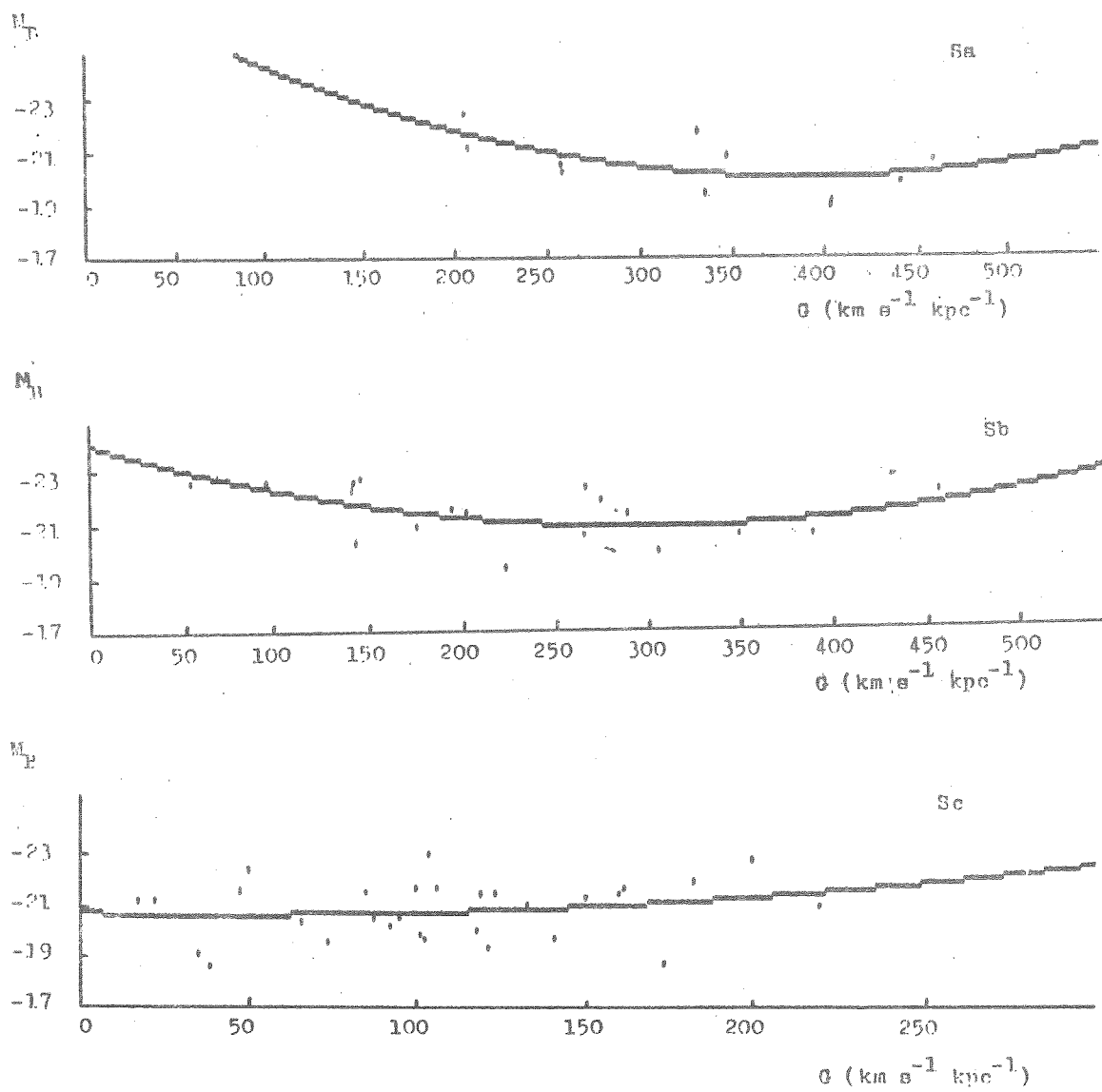
İncelediğimiz örnek içerisinde maksimum rotasyon hızları sahih olarak belli 27 galaksi için maksimum rotasyon hızının Hubble tipe bağlılığı tespit edilmiştir: Maksimum rotasyon hızlarının ortalama değeri Sa'dan Sc'ye azalır. Seçilen örnekte ortalama rotasyon hızı değerleri Sa'lar için 251 kms^{-1} , Sb'ler için 239 kms^{-1} ve Sc'ler için 180 kms^{-1} dir. (Bkz. Şekil 3)

Her bir Hubble tip için, maksimum rotasyon hızları ile mutlak mavi parlaklıklar arasında bir ilişki bulunmuştur. Tablo 2'den de görülebileceği gibi maksimum

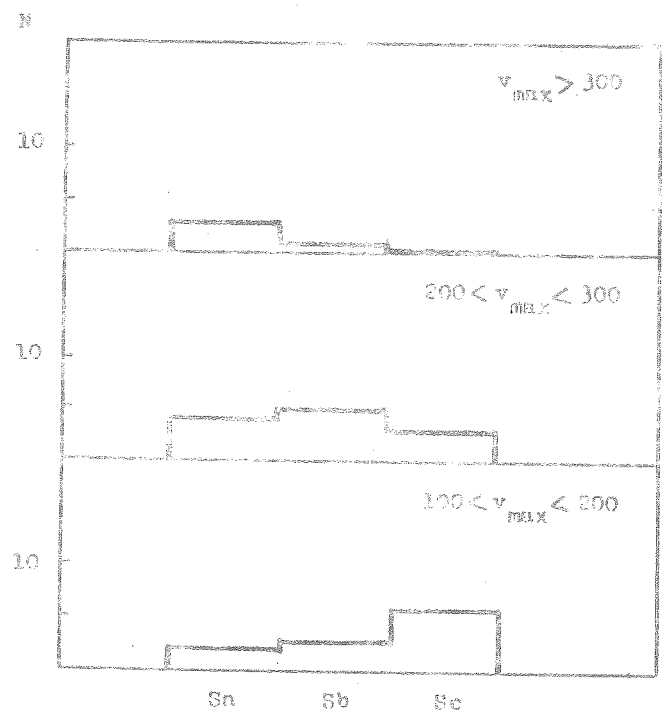
Table 2

		1	2	3	4
1100	3523	Sa pec	19.19	110	141
	2844	Sa(r)	19.62	171	
	4845	Sa	20.22	203	
	4698	Sa	20.55	252	253
	2775	Sa(r)	20.79	303	
	3098	SaI	21.04	260	
	4378	Sa(n)	21.12	327	205
	1357	Sa(n)	21.13	267	
	1594	Sa ⁺ / Sa ⁻	22.01	365	365
	4448	Sb(r) I-II	19.54	197	197
	3067	Sb(n) III	20.52	148	189
	1915	Sb(n) II	20.76	229	
	1329	Sb	21.15	184	234
	7217	Sb(r) II-III	21.66	204	
	1417	Sb(n) I.3	22.57	332	
	7606	Sb(r) I	22.69	273	277
	3223	Sb(n) I-II	22.69	274	
	7083	Sb(n) I-II	22.81	228	
	1035	Sc:III	19.67	133	133
	2742	Sc(rs) II	20.54	173	175
	1682	Sc(n) II.4	20.74	176	
	2715	Sc(n) II	21.21	156	
	1087	Sc(n) III.3	21.43	136	173
	1672	Sc(n) I-II	21.49	187.	
	4321	Sc(n) I	21.91	213.	
	753	Sc(rs) I	22.67	223	222
	2998	Sc(rs) I	22.84	220	

- 1- Hubble tipleri
- 2- Mutlak mavi parlaklıklar
- 3- Maksimum rotasyon hızları (km s^{-1})
- 4- Her bir parlaklık grubu için maksimum rotasyon hızlarının ortalama değeri



Şekil 2 a,b,c - Sırasıyla Sa, Sb ve Sc galaksileri için mutlak mavi parlaklıklarla merkezi hız gradyenteri arasındaki ilişki.



Şekil 3 - 3 uygun aralık için maksimum rotasyon hızı v_{\max} 'la-
rin, Hubble tipin bir fonksiyonu olarak dağılımı.

num rotasyon hızı değerleri, artan mavi parlaklıklarla artar. Maksimum rotasyon hızı değerleri Sa'larda $M_B = -19.19$ için 110 kms^{-1} ve $M_B = -22.81$ için 365 kms^{-1} ; Sb'lerde $M_B = -19.54$ için 197 kms^{-1} ve $M_B = -22.81$ için 228 kms^{-1} , ve Sc'lerde $M_B = -19.67$ için 133 kms^{-1} ve $M_B = -22.84$ için 220 kms^{-1} dir.

Sonuç olarak;

-Merkezi hız gradyenti (G) erken tiplerden geç tiplerde doğru azalmakta, veya başka bir deyişle Hubble tip-le ilişkili olduğundan, bu sonucun, merkezi kütle yoğunlaşmasının kolların şeklini belirlediği iddiasını desteklediği,

-Parlak Sa ve Sb galaksilerinin merkezi hız gradyentleri sönüklü Sa ve Sb galaksilerinkinden daha düşükken, Sc galaksilerinin merkezi hız gradyentlerinin parlaklık arttıkça arttığı,

-Maksimum rotasyon hızlarının ortalama değerinin, Sa'dan Sc'ye, Brosche'nin verdiği sonuca uygun olarak azaldığı ve

-Maksimum rotasyon hızının artan mavi parlaklıkle arttığı görülmüştür.

KAYNAKLAR

Baiesi-Pillastrini, G.C.: 1987, Astron. Astrophys. 172, 375

Burnstein, D., Rubin, V.C.: 1985, Ap.J. 297, 423

Roberts, W.W., Roberts, M.S., Shu, F.H.: 1975, Ap.J. 196, 381

Rubin, V.C., Burnstein, D., Ford, W.K., Thonnard, N.: 1985, Ap.J. 289, 81

Sandage, A., and Tammann, G.A.: 1981, A Revised Shapley-Ames Catalog of Bright Galaxies (Washington D.C.: Carnegie Institution of Washington) (RSA)

GALAKSİLER VE KOZMOLOJİ

İlimboz Tektunalı, F., Tektunalı, H.G.
İstanbul Üniversitesi, Fen Fakültesi,
Astronomi ve Uzay Bilimleri Bölümü,
34452 İniversite - İSTANBUL

ÖZET - Galaksilerin oluşumu ile ilgili teorilerin evren modelleriyle ne türlü ilgili olduğu, standart Friedmann modellerinden $\Lambda_0 = 1$ ve $\Lambda_0 = 0.1$ halleri için incelenmiştir.

Evrenin yapısıyla ilgili teorilerin amacı, halihazırda gözlenen aşırı inhomojenlikleri (galaksilerin büyülüklükleri ve şekilleri; grup, küme ve süperküme şeklinde hiyerarşik kümeleşmeleri) düzgün bir zemin yoğunluğunda, başlangıçta küçük pertürbasyonların gravitasyonel etkileşmelerinin bir sonucu olarak açıklamaktır.

Standart düşünce; galaksilerin ve galaksi kümelerinin, recombination epokunda meydana gelmiş küçük perturbasyonların doğurduğu gravitasyonel kararsızlıklarından itibaren oluşturukları şeklindedir.

Bu perturbasyonların meydana geldiği recombination epoku hangi epoktur? Evrenin evrimini geriye doğru takip edersek; Büyük Patlamaya geçiş, birbirine yakın iki zamanda meydana gelen, iki olayla belirlenir. Bunlardan ilki, radyasyonun artık uzayda serbestçe dolaşamayacağıdır. Bu, şundan dolayıdır: Neredeyse tamamen hidrojen ve helyumdan oluşan gaz, bu anda iyonize olabilmek için yeterli sıcaklığıdır. Bir kısım hidrojen atomu serbest proton ve e-lektronlara ayrılır ve serbest elektronlar, ışık ışınlarıyla etkileşir. Bu, yaşadığımız zamanda Büyük Patlamayı erken zamanlardaki haliyle görememizin sebebidir: Radyasyon sürekli saçılığından, yoluna devam edemiştir. Büyük Patlamanın sonunda gaz rölatif olarak soğuktur ve sadece zayıf bir şekilde iyonize olmuştur. Bundan dolayı radyasyon uzayda engellenmeden yolunu sürdürbilmeye başlamıştır. Gene bu esnada proton ve elektronlar hidrojeni oluşturmak

Üzere biraraya gelirler ve bu nedenle bu epok, recombination epoku olarak isimlendirilir. Geriye doğru gidildiğinde Büyük Patlamaya geçiş belirleyen ikinci olay ise, madde ve radyasyon yoğunluklarının eşit olmasıdır. Bu iki olay da Radyasyon Çağı olarak isimlendirilen safhanın sonunda, evrenin sıcaklığı birkaç bin Kelvin'e düşmüştür. Galaksilerin oluşumu ile ilgili teorilerde bu iki epok, çok önemlidir.

Standart Friedmann modelleri, iki parametreyle belirlenir: H_0 ve Λ_0 . Evrenin halihazırda genişleme oranı $\dot{v} = H_0 r$ ile ifade edilirse, buradaki H_0 , Hubble sabitidir. Halihazırda evrenin ortalama yoğunluğu ρ_0 ise, $\Lambda_0 = 8\pi G \rho_0 / 3H_0^2$ dir. Eğer $\Lambda_0 > 1$ ise evren tekrar büzülecek, $\Lambda_0 < 1$ ise genişleme ilânihaye devam edecektir. Burada iki model üzerinde durulacaktır: $\Lambda_0 = 1$ (Einstein-de Sitter hali) ve $\Lambda_0 = 0.1$ olduğu standart açık model. Standart açık modelin, galaksilerin kütle-parlaklı oranını, elementlerin ve küresel küme yıldızlarının yaşlarını ve kozmik döteryum bolluğunu açıklayabilmek gibi avantajları vardır.

$\Lambda_0 = 1$ halinde evrenin genişlemesi; $0 < R < 10^{-4}$ (radyasyon hakim) için $R = (1+z)^{-1} \propto t^{1/2}$, $10^{-4} < R$ için $R \propto t^{2/3}$ (madde hakim) ile verilir. $\rho = 3H^2 / 8\pi G$ ve $1/2 < \ln t < 2/3$ olduğundan, $\Lambda_0 = 1$ halinde ufuk içerisindeinde kalan kütle M_H (gözlenebilen evrenin kütlesi), t epokuya orantılıdır: $M_H \propto \rho(ct)^3 \propto t \cdot (1+z_{eq})$ epokunda $M_H = 10^{17} M_\odot$ tir. Galaksiler ve galaksi kümele rinin küteleri büyüklüğündeki fluctuationlar, radyasyonun hakim olduğu çağ boyunca meydana gelmişler ve bunlar, recombinationa kadar yaklaşık başlangıç genliklerinde donmuşlardır, günümüz radyasyon akışkanı çok sıkıdır. Recombinationda Jeans kütlesi yaklaşık $4 \times 10^5 M_\odot$ e kadar düşer ve bundan büyük bütün ölüceklerde, lineer rejimdeki yoğunluk fluctuationları, recombinationdan şimdiki zamana kadar, bilinen gravitasyonel kararsızlığın gelişim moduna göre gelişir-

ler: $d\delta/\delta \propto R \propto t^{2/3}$. $10^{-4} < R < 10^{-3}$ için $M_{\text{Jeans}} \approx$ saat $\approx 10^{17} M_{\odot}$ tir ve bu durumda $10^{17} M_{\odot}$ ten büyük kütle ölçüğindeki fluctuationlar, $R = 10^{-4}$ te, $\delta\delta/\delta \propto R \propto t^{2/3}$ oranında gelişmeye başlayabilirler.

$\Lambda_0 = 0.1$ modeli için sonuçlar benzerdir. Dinamik olarak radyasyonun hakim olduğu bir evrende küçük madde fluctuationları meydana gelemeyeceğinden, $(1+z_{\text{eq}}) \approx (1+z_{\text{rec}}) \approx 10^3$ ten önce herhangi bir fluctuation gelişemez.

$\Lambda_0 = 0.1$ evreninde $0 < R < 10^{-3}$ (radyasyon hakim) için $R \propto t^{1/2}$, $10^{-3} < R < 10^{-1}$ (madde hakim) için $R \propto t^{2/3}$ ve $10^{-1} < R$ için de $R \propto t$ olduğu bilinmektedir. Son safha yoğunluğun, $3H^2/8\pi G$ kritik yoğunluk değerinden bir hayli aşağıda olduğu bir safhadır ve bu durumda madde Hubble genişlemesini yavaşlatamadığından, lineer genişleme kanunu geçerli olur. Recombinationda $M_{\text{Jeans}} \approx 10^6 M_{\odot}$, $M_H \approx 10^{19} M_{\odot}$ tir ve bu durumda, bu aralıktaki kütle ölçüğindeki perturbasyonların, $10^{-3} < R < 10^{-1}$ için $\delta\delta/\delta \propto R \propto t^{2/3}$ e göre gelişmesi mümkünür; fakat $10^{-1} < R < 1$ olduğunda lineer rejimdeki perturbasyonlar için $\delta\delta/\delta \propto t^{2/3}$ sabittir. Bu periyot boyunca madde, dinamik olarak önemli değildir; küçük yoğunluk fluctuationları ortalama Hubble akışkanını pertürbe etmez ve zemine nazaran gelişmez.

Zeldovich (1972), ilkel yoğunluk fluctuationlarını şekilde tartışırmıştır: Herhangi bir sıradan yoğunluk fluctuation spektrumu, ufuk içerisinde meydana gelen fluctuationların genlikleri cinsinden, ufuk içerisindeki kütlenin bir fonksiyonu olarak ifade edilebilimlidir: $(\delta\delta/\delta)_H = f(M_H)$.

Sözkonusu sahalar için, t evrenin yaşı olmak üzere, $M_H \propto t$ dir. Bu spektrum, mümkün en basit formda olmalıdır. Özellikle herhangi bir kütle büyüklüğünü tercih etmemelidir, çünkü aksi takdirde evrenin

li bir kütle büyüklüğü olur. Tercihli kütle büyükluğu olmadığı takdirde f bir kuvvet kanunu şeklinde olmalıdır: $f \propto M_H^x$. x pozitif olduğu takdirde evrenin zamanla giderek çok daha fazla kümeleşmesi gerekdir. Bu durumda $(\delta\rho/\rho)_H \leq 1$ olur ve evren Friedmann modelinden ayrılır.

Nalihazırda gözlenen evren homojen olduğunu (2.7 K lik radyasyonun izotropisinden), x 'in pozitif olması pek muhtemel değildir. Diğer taraftan x negatifse, evrenin erken safhalarda Friedmann modelinden çok fazla ayrılmış olması gerekdir. Friedmann modelleri doğru kozmolojik helyum ve döteryum bolukları verir ve bu elementler, ufuk içerisindeki kütle sadece birkaç yüz Güneş kütlesiyle meydana gelmişlerdir ki bu da bu safhada evrenin Friedmann modeline çok yakın olması gerektiğini gösterir. Bundan dolayı x , büyük bir negatif değerde olamaz. Zeldovich, $f = K = 10^{-4}$ değerini teklif etmiştir: $(\delta\rho/\rho)_H = K = 10^{-4}$. Zeldovich'in teklif ettiği $K = 10^{-4}$ değeri $\lambda_0 = 0.1$ için % birkaç galaktik kütle ölçüğünde izotermal fluctuationlar meydana getirebilir. Böyle bir başlangıç yoğunluk fluctuation spektrumu, gravitasyonel olarak bağlı galaksi protokümelerinin oluşmasını mümkün kılar. Bu türlü bir protoküme de galaksilere bölünür.

Peebles (1974); galaksilerin önce, ve galaksilerin istatistiksel kümeleşmelerinden itibaren de, galaksi kümelerinin daha sonra meydana geldiğini ileri sürmüştür. Aslında Peebles ve Dicke (1968), recombinationdaki Jeans kütlesine karşılık gelen küresel kümelerin evrende oluşan ilk cisimler olduğunu ve galaksilerin, bu ilkel cisimlerin biraraya gelmesiyle oluştuğunu teklif etmişlerdir. Bu, recombinationdaki Jeans kütle ölçüğine kadar uzanan bir izotermal yoğunluk fluctuation spektrumu gerektirir.

Bu tartışmada, Galaksiler ve Kozmoloji başlığı altında; galaksilerin oluşumu ile ilgili teorilerin evren modelleriyle ne türlü ilgili olduğu, standart Friedmann modellerinden $\lambda_0 = 1$ ve $\lambda_0 = 0.1$ halleri için incelenmiştir.

KAYNAKLAR

- Gott, J.R.III. 1977. Ann.Rev.Astron.Astrophys. 15:235
 Peebles, P.J.E. 1974. Ap.J. 189:L51
 Peebles, P.J.E., Dicke, R.H. 1968. Ap.J. 154:891
 Zeldovich, Y.B. 1972. MNRAS 160:1P

H. KIRBIYIK: Omega'nın gözlemsel değerleri ne durumda acaba?

F. LİMBOZ TEKTUNALI: Bildiğim kadarı ile kimse kesin bir şey söyleyemiyor. Ama 0.1'i tercih ediyorlar.

H. KIRBIYIK: Yani mutlaka gözlemsel değerler var tabii.

F. LİMBOZ TEKTUNALI: Belli gözlem değerleri var ama gözlemlerde belli uzaklıklara kadar olan eğriler bir arada. Eğrilerin birbirinden ayrıldığı yerde sıhhatlı gözlemler lazım.

FRIEDMANN EVRENLERİNİN ROTASYONEL PERTURBASYONLARI (*)

C.Battal, İ.Yavuz, H.Baysal
 Ege Üniversitesi Fen Fakültesi
 Astronomi ve Uzay Bilimleri Bölümü

ÖZET

Bu çalışmada Friedmann Evrenlerinin rotasyonel perturbasyonları incelemiştir. İdeal akışkan özel halinde pertürbe alan denklemi exact olarak çözülebilmiştir. Bu çözümler $\Lambda = \bar{\Lambda}(t)$ vermiştir. Bu durumda bir koordinat dönüşümüyle $\Lambda = 0$ haline gelir ve sonuçta klasik Friedmann çözümlerine ulaşılır. Bu nedenle diğer araştırmacılar tarafından elde edilen yaklaşık çözümler fiziksel içeriğten yoksun çözümler durumuna gelmektedir.

GİRİŞ

Einstein Alan Denklemlerinin 1922 yılında Friedmann (Friedmann 1922) tarafından bulunan kozmolojik çözümleri evrenin büyük ölçekte gözlenen genişleme, homogenite ve izotropy gibi özelliklerini en iyi yansitan çözümlerdir. Her ne kadar kozmolojik sabitin büyüklüğü, kayıp maddenin bugünkü değeri gibi henüz çözümlememiş bazı problemlere karşın bu çözümler evrenin global özelliklerini bugünde açıklayabilen çözümlerdir (mevcut olan bazı farklılıklar ihmali edilmesi düşünülebilcek kadar küçüktürler). Bu nedenle Einstein Alan denklemlerinin bu tip çözümleri keşiflerinden bu yana yoğun bir şekilde incelenmektedir. Şu sıralarda da bu çözümlerin çeşitli perturbasyonları bu incelemelerin merkezini oluşturmaktadır (Lifshitz and Khalatnikov, 1963; Sach and Wolfe, 1966; Hawking, 1969; Silk and Wright, 1969; Saslaw, 1972; Collins and Hawking, 1973; Sanz, 1989; Bayın and Cooperstock, 1980; Tarachand and Sing, 1987; Kojam, 1987, 1988; ve Singh 1988). Bu perturbasyonlar hemen hemen tüm yoğunluk, distortion ve Friedmann Evrenlerinin rotasyonu ile ilgilidir.

Rotasyonel perturbe edilmiş metriğe ait alan denklemlerinin çözümleri ise ideal akışkan durumunda Bayın and Cooperstock (1980) ve Singh(1988) tarafından elde edilmiştir. Bu çözümlerde Friedmann evrenlerinin slow rotasyon yaptığı varsayılmıştır. Matematik olarak bu yaklaşım lokal eylemsiz sistemin rotasyon ekseni etrafındaki dönmesine karşılık gelen $\dot{\Lambda}(r,t)$ açısal hız fonksiyonunun perturbe edilmiş metrik ve ona ait alan denklemlerinde birinci mertebeden alınmasıyla ifade edilmiştir. Bu varsayımlardan başlayarak bu yazarlar $\dot{\Lambda}(r,t)$ çözüm fonksiyonunun r -bağlılığı için bir çok exact ifadeler bulmuşlardır.

(*) Bu çalışma Astrophysics and Space Science, 167, 341-345 de yayınlanmıştır.

Çözüm fonksiyonlarının bazı özelliklerini izah edebilmek için bu yazarlar tarafından da perturbe edilmiş metriğe birden daha yüksek mertebede $\hat{h}(r,t)$ kapsayan bazı terimlerin ilave edilmesi gereği vurgulanmıştır (Bayin and Cooperstock, 1980, p,2322, remark 20).

Bu çalışmamızın amacı ideal akışkan durumunda perturbe edilmiş metriğe ait alan denklemlerinin exact çözümlerini araştırmak ve onları yukarıda refere edilen yazarlar tarafından bulunan yaklaşık çözümlerle karşılaştırmaktır.

ALAN DENKLEMLERİ

Bilindiği gibi $\{x^0, x^1, x^2, x^3\} = \{t, r, \theta, \phi\}$ Robertson-Walker koordinatlarında Friedmann evreninin metriği

$$ds^2 = dt^2 - R^2(t) \left[\frac{dr^2}{1-kr^2} + r^2 d\theta^2 + r^2 \sin^2 \theta d\phi^2 \right] \quad (1)$$

formuna sahiptir. Burada $R(t)$ ölçek fonksiyonu, k , pozitif, negatif, sıfır sabit eğrilikli 3 boyutlu uzaylara karşılık gelmek üzere $+1, -1, 0$ değerlerini alabilen bir sabittir. (Buna $R(t)$ ölçek fonksiyonunda bir dönüşüm ile ulaşılabilir) (Robertson (1929); Walker(1936)).

Eğer lokal eylemsiz sistemin rotasyon ekseni boyuncaki açısal hız fonksiyonunu $\vec{\Omega}(r,t)$, $d\phi \rightarrow d\phi - \vec{\Omega}(r,t)dt$ şeklinde bir ikame ile (1) metriğine ithal edilirse, $\hat{h}(r,t)$ içeren hiç bir terimin ihmali edilmemiş genel halde perturbe olmuş metrik

$$ds^2 = (1-R^2 \sin^2 \theta \Omega^2) dt^2 - R^2 \left\{ \frac{dr^2}{1-kr^2} + r^2 d\theta^2 + r^2 \sin^2 \theta d\phi^2 - 2r^2 \sin^2 \theta \Omega d\phi dt \right\} \quad (2)$$

elde edilir ($d\phi$ için $d\phi - \vec{\Omega}(r,t)$ kullanılması Bayin ve Cooperstock(1980) ve Singh(1988) tarafından yapılmıştır, fakat onlar (2) metriğinde Ω^2 terimi ihmali ederek dt^2 nin katsayısını birim olarak almışlardır).

Eğer Evrenin rotasyon ekseni civarında dönen ideal bir akışkanla dolu olduğu kabul edilirse akışkanın 4-lü hız vektörü u^i aşağıdaki şu bileşenlere sahip olur (Chandrasekhar and Friedmann, (1972); Singh, (1988), $V^i = 0$ durumunda, Bayin and Cooperstock (1980)):

$$\left. \begin{aligned} u^0 &= \frac{dt}{ds} = (1-v^2)^{-1/2}, \\ u^1 &= u^2 = 0, \\ u^3 &= \frac{d\phi}{ds} = \frac{d\phi}{dt} \frac{dt}{ds} = w(1-v^2)^{-1/2}, \end{aligned} \right\} \quad (3)$$

$$u^i u_i = 1, \quad (4)$$

burada

$$w = \frac{d\phi}{ds} \quad (5)$$

seçilen koordinat sisteminde maddenin açısal hızıdır ve v^i de

$$v^2 = R^2(t)r^2 \sin^2\theta (w - \vec{\Lambda})^2 \quad (6)$$

İfadesini haizdir. Gravitasyon alanı için Einstein denklemeleri

$$R_{ik} = -\chi (T_{ik} - \frac{1}{2} T g_{ik}) + \Lambda g_{ik} \quad (7)$$

dir. Burada $\chi = 8\pi G$; $c = 1$; Λ kozmolojik sabittir. İdeal akışkan için enerji momentum tensörü ise

$$T_{ik} = (\rho + p)U_i U_k - Pg_{ik} \quad (8)$$

Şeklinde verilir. Burada ρ madde yoğunluğu p , de madde basıncıdır. (2) Metriğinden yararlanarak Einstein Alan denklemeleri aşağıdaki gibi elde edilir.

$$\begin{aligned} R_{00}: & -(1 - kr^2)r^2 \sin^2\theta \Omega''\Omega - \frac{1}{2}(1 - kr^2)R^4r^4 \sin^4\theta \Omega^2\Omega'^2 - \\ & - \frac{1}{2}(1 - kr^2)\sin^2\theta \Omega'^2 + \left(\frac{5kr^2 - 4}{r}\right)r^2 \sin^2\theta \Omega\Omega' + \\ & + (R\ddot{R} + 2\dot{R}^2 + 2k)r^2 \sin^2\theta \Omega^2 - \frac{3\dot{R}}{R} = \\ & = -\chi \left\{ \frac{\rho + P}{1 - V^2} [1 - R^2r^2 \sin^2\theta \Omega(\Omega - \omega)]^2 - \right. \\ & \left. - \frac{\rho - P}{2} (1 - R^2r^2 \sin^2\theta \Omega^2) \right\} + \Lambda(1 - R^2r^2 \sin^2\theta \Omega^2), \end{aligned} \quad (9)$$

$$R_{11}: (R\ddot{R} + 2\dot{R}^2 + 2k) + \frac{1}{2}(1 - kr^2)R^2r^2 \sin^2\theta \Omega'^2 = -R^2 \left(\chi \frac{\rho - P}{2} + \Lambda \right), \quad (10)$$

$$R_{22}: (R\ddot{R} + 2\dot{R}^2 + 2k) = -R^2 \left(\chi \frac{\rho - P}{2} + \Lambda \right), \quad (11)$$

$$\begin{aligned} R_{33}: & (R\ddot{R} + 2\dot{R}^2 + 2k) - \frac{1}{2}(1 - kr^2)R^2r^2 \sin^2\theta \Omega'^2 = \\ & = -R^2 \left[\chi \left(\frac{\rho + P}{1 - V^2} V^2 + \frac{\rho - P}{2} \right) + \Lambda \right], \end{aligned} \quad (12)$$

$$R_{01} = R_{10}: -\frac{3}{2}R\dot{R}r^2 \sin^2\theta \Omega\Omega' - \frac{1}{2}R^2r^2 \sin^2\theta \Omega\dot{\Omega}' = 0, \quad (13)$$

$$\begin{aligned} R_{03} = R_{30}: & \frac{1}{2}(1 - kr^2)r^2 \sin^2\theta \Omega'' + \frac{1}{2}(1 - kr^2)R^4r^4 \sin^4\theta \Omega\Omega'^2 - \\ & - \left(\frac{5kr^2 - 4}{2r} \right)r^2 \sin^2\theta \Omega' - (R\ddot{R} + 2\dot{R}^2 + 2k)r^2 \sin^2\theta \Omega = \\ & = R^2r^2 \sin^2\theta \left\{ -\chi \left[\frac{\rho + P}{1 - V^2} (\Omega - \omega - R^2r^2 \cdot \sin^2\theta \Omega(\Omega - \omega)^2) - \right. \right. \\ & \left. \left. - \frac{\rho - P}{2} \Omega \right] + \Lambda\Omega \right\}, \end{aligned} \quad (14)$$

$$R_{13} = R_{31}: \frac{3}{2}R\dot{R}r^2 \sin^2\theta \Omega' + \frac{1}{2}R^2r^2 \sin^2\theta \dot{\Omega}' = 0, \quad (15)$$

Buradaki nokta ve çizgiler sırasıyla t ve r ye göre parçalı türevi göstermektedir.

EINSTEIN ALAN DENKLEMLERİNİN ÇÖZÜMLERİ

Alan denklemlerinin çözümünde ilk göz önüne alınacak denklem (11) denklemidir. Bu denklem görüldüğü gibi λ ya bağımlı değildir ve perturbe olmamış metriğe ait alan denklemelerinden birini vermektedir (Weinberg 1972, p: 472, $\Lambda = 0$). (10) ve (11) denklemelerinden

$$\tilde{\lambda}' = 0 \Leftrightarrow \tilde{\lambda} = \tilde{\lambda}(+) \quad (16)$$

elde edilir. (16) Denklemi göz önüne alındığında (13) ve (15) denklemeleri özdeş olarak sağlanırlar. Eğer (11) ve (16) denklemi aynı anda (12) de kullanılırsa bu da

$$V^2 = 0 \Leftrightarrow W = \tilde{\lambda} \quad (17)$$

verir.

Fiziksel olarak ilginç olmayan durum denklemine karşılık geldiğinden $p = -\varphi$ ise göz önüne alınmamıştır. (11) ve (16) denklemeleriyle (14) denklemide sağlanır. Eğer (16) denklemi (11) ile birlikte bir kez daha kullanılırsa (9) denklemi

$$3 \frac{\ddot{\lambda}}{R} - \kappa \frac{\varphi + 3\rho}{2} + \Lambda = 0 \quad (18)$$

haline gelir. Bu denklemde perturbe olmamış metriğe ait alan denklemelerinden biridir (Weinberg 1982, p: 472, $\Lambda = 0$).

Perturbe olmuş (2) metriğinin alan denklemelerinin, perturbe olmamış (1) metriğinin alan denklemelerine dönüşüyor olması sonucu direk (16) denkleminden de görülebilir. Zira $\tilde{\lambda} = \tilde{\lambda}(t)$ durumunda şöyle bir koordinat dönüşümü

$$\psi = \phi - \int \tilde{\lambda}(t) dt \quad (19)$$

ile perturbe edilmiş (2) metriği, (t, r, θ, ψ) koordinatlarında perturbe olmamış (1) metriğine dönüştürülebilir.

SONUÇ

Perturbe edilmiş (2) metriği için elde edilen (9)-(15) alan denklemeleri $\tilde{\lambda}$ nın r den bağımsız olduğunu gösterir. Bunun sonucu olarak $\partial \tilde{\lambda} / \partial t \neq 0$ esasına dayalı diğer yazarlar tarafından elde edilmiş yaklaşık çözümler geçerli olamaz ve bu çözümlere fiziksel bir anlam vermek imkansızdır. Nitekimde (16) denklemi (19) sonucuna götürdüğünden fiziksel anlamda gerçek bir rotasyonda yoktur. Zira (19) ile $\tilde{\lambda} = 0$ yapılabilir.

Yukarıdaki bu sonuç, lineer olmayan denklemler teorisinde yapılacak keyfi bir yaklaşımın (approximation) yanlış sonuç verebileceğine ilişkin bir örnektir.

Perturbe olmuş (2) metriği, Friedmann metriği ($V^2 = 0 \Rightarrow W = \tilde{\Lambda} \Rightarrow \tilde{\Lambda} = \tilde{\Lambda}(t) \Rightarrow \tilde{\Lambda} \rightarrow 0$ olduğu durum), Bayin and Cooperstock (1980) ve Singh (1988) kullandıkları metrik (birden daha yüksek mertebede $\tilde{\Lambda}(r,t)$ kapsayan terimlerin ihmali edildiği durum) ve Friedmann metriğinin daha genel perturbasyonlarını kapsamaktadır. Slow rotasyon kabul edildiğinden de küresel simetriden sapmalar bizim durumumuzda ihmali edilmiştir.

KAYNAKLAR

- Bayin,S.S.and Cooperstock,F.I.:1980,Phys.Rev.D.22,2317.
 Chandrasekhar,S. and Friedmann John L.:1972,Astrophys.J.175,379.
 Collins,C.B.and Hawking,S.:1973,Mon.Not.R.Astron.Soc.162,307.
 Friedmann,A.:1922,Z.Phys.10,377.
 Hawking,S.:1969,Mon.Not.R.Astron.Soc.142,129.
 Lifshitz,E.M.and Khalatnikov,I.M.:1963,Adv.Phys.12,208.
 Robertson,H.P.:1929,Proc.Nat.Acad.Sci.USA,15,822.
 Sachs,R.K.and Wolfe,A.M.:1966,Astrophys.J.147,73.
 Sanz,J.L.:1979,Phys.Rev.D.20,1791.
 Saslaw,W.C.:1972,Astrophys.J.173,1.
 Silk,J.and Wright,J.P.:1969,Mon.Not.R.Astron.Soc.143,55.
 Singh,Ng.I.:1988,Astrophys.Space Sci.148,199.
 Walker,A.G.:1936,Proc.London Math.Soc.42,90.
 Weinberg,S.:1972,Gravitation and Cosmology:Principles and Applications of the General Theory of Relativity,
 John Wiley, New York.

BİR "COASTİNG" UYUŞUK KOZMOLOJİDE QUASAR EVRİMİ

K.G. Akdeniz , S. Erbil , H. Mutuş , E. Rızaoğlu

İstanbul Üniversitesi , Fizik Bölümü

Quasarların gözlem verilerinin incelenmesinin ve yorumunun 1) radyo ve optik sayımlar , 2) Hubble diyagramları , 3) V/V_m testi aracılığıyla yapıldığı biliniyor. Bu üç test arasından, quasarların radyo ve optik verilerini birlikte kullanması dolayısıyla, en çok ilgi toplayan V/V_m testidir.

Bu testin uygulanabilmesi için quasarların parlaklık uzaklıklarına ve içinde gözlendikleri hacme ihtiyaç vardır. Bu ise bizi Evrenin kinematik ve dinamik tasvirinin bilinmesine götürür. Gözlemler Evrenin büyük ölçekte birbirşim ve eşyonsel olduğunu göstermektedir. Bu kabul altında Evrenin geometrisinin, eşhareketli bir koordinat sistemi aracılığıyla,

$$\sigma_k(\omega) = \begin{cases} \sin \omega & k = +1 \\ \omega & k = 0 \\ \operatorname{sh} \omega & k = -1 \end{cases} \quad (1a)$$

olmak üzere

$$ds^2 = c^2 dt^2 - R^2(t) [d\omega^2 + \sigma_k^2(\omega) d\Omega^2] \quad (1b)$$

Robertson-Walker (RW) metriğiyle ifade edildiğini biliyoruz.

Buradaki $R(t)$ ölçek çarpanı Evrenin dinamiğini yansitan

$$R_{\mu\nu} - \frac{1}{2} R g_{\mu\nu} = - \frac{8\pi G}{c^4} T_{\mu\nu} \quad (2)$$

Einstein denklemının, $T_{\mu\nu}$ enerji-momentum tansörü hakkında yapılacak olan kabul çerçevesi içindeki, çözümü ile belirlenecektir.

$T_{\mu\nu}$ için

$$T_{\mu\nu} = (\rho + \frac{P}{c^2}) u_\mu u_\nu - \frac{P}{c^2} g_{\mu\nu} \quad (3)$$

mükemmel akışkan yaklaşımı yapılacak olursa, (1) ve (3) ifadeleri (2) de yerleştirilerek

$$\frac{3 \ddot{R}^2}{R^2} + \frac{3 k c^2}{R^2} = 8\pi G \rho , \quad (4a)$$

$$\frac{2 \ddot{R}}{R} + \frac{\dot{R}^2}{R^2} + \frac{k c^2}{R^2} = - 8\pi G \frac{p}{c^2} \quad (4b)$$

Friedmann denklemleri elde edilir. (4a), (4b) denklemleri R , ρ , p gibi 3 tane bilinmeyen fonksiyon içermektedir. Öyleyse, (4a) ve (4b) nin çözümünü mümkün kıracak bir bağıntıya ihtiyaç vardır. Bu, Evreni dolduran maddeyi karakterize eden bir bağıntı, maddenin $p = p(\rho)$ şeklindeki hal denklemi olacaktır. Bugüne kadar hal denklemi olarak

- 1) Evrenin radyasyonla dolu olması halinde : $p = (c^2 / 3)\rho$,
- 2) Evrenin madde ile dolu olması halinde : $p = 0$ alınmıştır. V/V_m testi kullanılarak quasarların evrimi bu halde incelenmiştir [1] ,
- 3) Kolb [2] hal denklemi

$$p = - \frac{c^2}{3} \rho \quad (5)$$

olan maddeyi K-madde olarak isimlendirmiştir ve Evrenin K-madde ile dolu olması halinde (4) ile verilen Friedmann denklemlerini çözmuştur. Kolb'un elde ettiği sonuç

$$K = \frac{8\pi G}{3 H_0^2} \rho_{OK} R_0^2 \quad (6)$$

olmak ve "o" bu günde değerleri göstermek üzere,

$$R(t) = c(K-k)^{1/2} t \quad (7)$$

dir. Hal denklemi (5) olan maddeye K-madde denilmesinin sebebi (6) ile tanımlanan K nin eğrilik gibi davranışasıdır. K ya etkin eğrilik denilebilir. (7) den kolayca ($q = 0$ olduğu yani)

Evrenin sabit bir hızla genişlediği görülür. Bundan dolayı Kolb bu kozmolojiye bir "Coasting" Uyuşuk Kozmoloji adını vermiştir. (4a) dan kolayca

$$\rho \sim R^{-2} \quad (8)$$

elde edilir.

$$\frac{1}{R^2} > \frac{1}{R^3} > \frac{1}{R^4} \quad (9)$$

olması, bize, büyük patlamadan az sonra Evrene radyasyonun, daha sonra maddenin ve en sonra da K-maddenin hakim olacağını gösterir. K-madde acaba ne olabilir?

Büyük patlama ile oluşan Evrenin ilk anlarında Evrendeki enerji yoğunluğu pek çok yüksektir. Bugün, enerji yoğunluğunun pek yüksek olması halinde temel parçacıkların ve aralarındaki etkileşmelerin GUT (Grand Unified Theory) Büyük Birleştirilmiş Alan Teorisi ile ifade edildiğini biliyoruz. Model bir G Ayar grubunu simetri grubu olarak kabul etmekte ve enerji düşükçe, belirli enerji değerlerinde simetri kırılması adı verilen olay meydana gelmektedir. Simetri kırılması, modelin simetri grubunun bir üst gruptan (onun) bir alt grubuna geçmesidir. Örneğin

$$G \rightarrow H \rightarrow \dots SU(3) \times SU(2) \times U(1) \rightarrow SU(3) \times U(1)_{em} \quad (10)$$

gibi. Simetri kırılması doğal olarak faz geçişlerini doğurmaktadır.

Kirzhnits [3] 1972 de bugün kırık olarak gördüğümüz bütün simetrilerin Evrenin ilk anlarında sıcaklığın pek yüksek olması nedeniyle yeniden kurulduğunu söyleyerek GUT ile Kozmoloji arasındaki köprüyü kurmuştur. Evrenin ilk anlarındaki faz geçişleri nedeniyle topolojik kararlı, yani Evrendeki bütün sürekli dönüşümler altında bozulmayan, bir takım yapılasmalar ortaya çıkar. Bunlar arasında kozmik açıdan önem taşıyan kozmik

sicimlerdir [4]. Kozmik sicimleri kısaca tanıtmaya çalışalım.

Simetri kırılıncı temel parçacıkları ve aralarındaki etkileşmeleri temsil eden modelde bulunan skaler kuantum alanı ϕ nin vakum beklenen değeri $VEV = \langle 0|\phi|0 \rangle = \langle \phi \rangle \neq 0$ olur. Alan teorisinde $|0\rangle$ vakum hali maddenin gözlenemeyen kısmını temsil eder. $\langle \phi \rangle = \gamma e^{i\theta}$ deki γ model tarafından belirlenir fakat θ tamamen keyfidir. Öte yandan $\langle \phi \rangle$ nin tek değerliliği uzaydaki bir kapalı eğri boyunca bir defa dolandığımız zaman θ daki $\Delta\theta$ değişiminin, k bir tam sayıyı göstermek üzere, $2k\pi$ ye eşit olmasını gerektirir. Basitlik amacıyla $k = 1$ kabul edelim. Söz konusu kapalı eğriyi bir noktaya büzebilirsek, bir nokta için $\Delta\theta = 0$ olduğundan, $l = 0$ gibi bir çelişki elde ederiz. Öyleyse kapalı eğrinin bir noktaya büzülememesi gereklidir. Bu da her kapalı eğri içinde en az bir noktada $\langle \phi \rangle$ nin bir singülari-teye sahip olmasınıla gerçekleşebilir. Singülerite noktalarının oluşturduğu eğrinin ya sonsuz veya kapalı olması lazımdır ki her kapalı eğri içinde en az bir singülerite noktası bulunabilisi-n. İşte bu sahte vakum eğrisine **kozmik sicim** adı verilir. İlk defa Nielsen ve Olesen [5] kozmik sicim çözümlerini elde etmişlerdi-r. Bunların çözümleri ortada lineer kütle yoğunluğunu haiz bir tüp ve onun etrafında da içinde magnetik alanın bulunduğu ikinci bir tüpten oluşmuştur. Kozmolojide uzunluğu kesit alanına nazaran büyük sicimlerle çalışıldığı için sicimin iç yapısı göz önüne alınmaz.

Evrende gördiğimiz büyük ölçekteki yapılaşmaları gravitasyonel kararsızlıkla evrimleşen küçük flüktüasyonların oluşturduğunu biliyoruz. "Küçük flüktüasyonların oluşmasının sebebi nedir?" sorusuna, kozmik sicimlerin teorik olarak keşfinden önce, herhangi bir cevap verilemiyordu. Bugün büyük ölçekteki yapılaşmaların kozmik sicimlerle oluşumu teorisi gözlemlerle uyum içindedir.

1984 de Vilenkin [6] özel şartları sağlayan sicimlerin enerjisinin Evrene hakim olacağını göstermiştir. Bu Evrendeki sicim yoğunluğu

$$\rho \sim R^{-2} \quad (11)$$

özellikine sahiptir. Buradan, kolayca, Vilenkin'in sicim dolu Evreninin Kolb'un K-madde dolu Evreninin bir özel hali olduğu görülmektedir.

Elimizdeki quasar verilerine Kolb'un Uyuşuk Kozmolojisinde V/V_m testini uygulayıp, quasarların evrimleşmesinin Standart Kozmolojideki evrimleşmesinden [1] farklı olup olmadığını araştırmak istedik. V/V_m testinin esas fikri tam, belirli bir limit akiya sahip bir örneklemedeki her quasar için hem cismin içinde gözleendiği V hacmini ve hem de quasarın aynı örneklemeye ait kalacak şekilde sahip olabileceği maksimum kızılakaymaya tekaabül eden V_m hacmini hesaplamaktır. Quasarların dağılımları eğer birbirşim ise $\langle V/V_m \rangle = 0.5$ olacağı kolayca gösterilebilir. Quasarların parlaklık uzaklıkları ve içinde gözlendikleri eşhareketli hacmin, sırasıyla,

$$D = R_0 G_k(\omega) (1+z) , \quad (12)$$

$$V \sim \int \sigma_k^2(\omega) d\omega \quad (13)$$

olduğunu biliyoruz. Uyuşuk Kozmolojide radyal koordinat

$$\omega = \frac{H_0 R}{c} \ln (1+z) \quad (14)$$

ve K-madde yoğunluk parametresi de

$$\Omega_K - 1 = k \left(\frac{c}{H_0 R_0} \right)^2 \quad (15)$$

ile verilmektedir. (12), (13), (14), (15) i kullanarak global özellikler Tablo I de özetlenen quasar örneklemelerine V/V_m testini uyguladık. Bildiğimiz en büyük quasar kızılakayması 4.01 olduğundan z yi en çok 4 alındı. Elde ettiğimiz sonuçları Şekil I de göstermektedir. Buradan, quasarların Uyuşuk Kozmolojide

de evrimleşikleri açıkça görülmektedir. Mمmkün evrim şemaları arasından, en basiti olması dolayısıyla, quasarların sayısal yoğunluğunun, $n(0)$ quasarların bugünkü sayısal yoğunluğu olmak üzere,

$$n(z) = n(0) (1+z)^{\delta} \quad (16)$$

şeklindeki bir kuvvet kaanunu uyarınca değişiminin doğurduğu evrimleşmeyi seçtik. δ evrimleşme parametresini, $V' = \int n dV$ olmak üzere, $\langle V'/V'_m \rangle$ yöntemini kullanarak belirledik. Değişik Ω_K değerleri ve örneklemeler için elde ettiğimiz sonuçlar Şekil 2 de gösterilmektedir. Şekil 3 de ise δ nin en iyi değerleri ile % 68 ve % 95 güveninirlik sınırları verilmektedir.

Yukarıdaki incelemelerimizden quasarların Uyuşuk Kozmolojideki sayısal yoğunluk evrimleşmesinin Standart Kozmolojideki sayısal yoğunluk evrimleşmesiyle kayda değer bir farklılık göstermediği sonucuna vardık.

REFERANSLAR

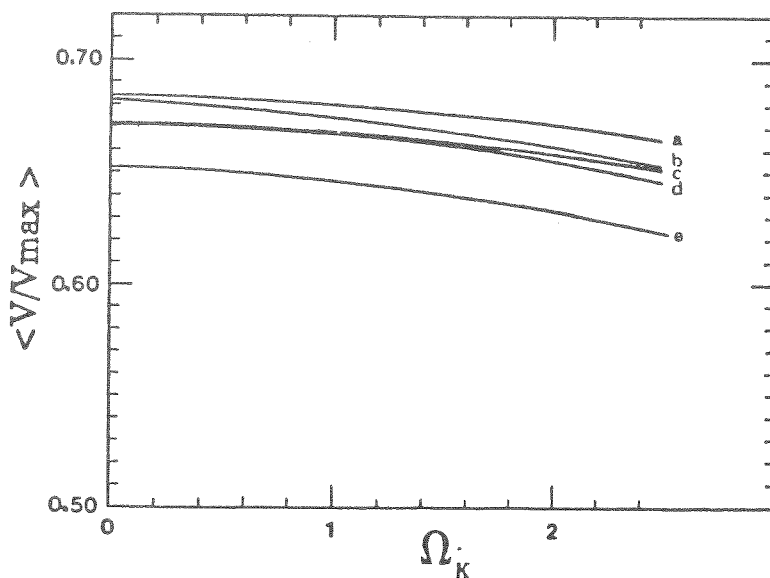
- 1 Mavrides,S. ve Mutuş,H., Astron. Astrophys. 131, 81 (1984) ,
Mutuş,H., Doktora Tezi , İstanbul Üniversitesi, 1986.
- 2 Kolb,E.W., FERMILAB-Pub-89/13-A(1989).
- 3 Kirzhnits,D.A., JETP Lett. 15 , 745 (1972).
- 4 Linde,A.D., Rep. Prog. Phys. 42 , 389 (1979) ,
Vilenkin,A., Phys. Rep. 121 , 263 (1985).
- 5 Nielsen,H.B. ve Olesen, P., Nucl. Phys. B61 , 45 (1973).
- 6 Vilenkin,A., Phys. Rev. Lett. 53 , 1016 (1984).
- 7 Schmidt,M., Ap.J, 151 , 393 (1968).

TABLO I

Örneklemle	Frekans	Radyo aki yoğunluğu limiti (Jy) ^(a)	Optik aki yoğunluğu limiti (log(2500)) ^(b)	Kızılakayması bilinen cisimler	Kızılakayması bilinmeyen cisimler ^(c)	Toplam quasar sayısı
3CR	178 MHz	$S_o = 9 \times 1.08$	-30.34	38	0	38
4C S 3	"	$S_o = 3.0$	"	73	2	75
4C S 2	"	$S_o = 2.0$	"	40	1	41
KOHERENT ÖRNEKLEMELİ	"	Ref. 7 Bakınız ye	"	117	3	120
KWPN ^(d)	5000 MHz	$S_o = 1.0$	"	145	42	187

Tablo I: V/V_m analizinde kullanılan örneklemelerin global özellikleri.

(a) $1 \text{ Jy} = 10^{-26} \text{ W m}^{-2} \text{ Hz}^{-1}$, (b) $f(2500) = 2500 \text{ Å}^{\circ}$ da Schmidt tarafından tanımlanan 7 kaynakların sükunet sistemindeki aki yoğunluğuudur ,
(c) kızılakayması bilinmeyen cisimler için $z=1$ olduğu varsayılmıştır ,
(d) kızılakayması bilinmeyen cisimler atıldığı zaman örneklemeye KWPN ile gösterilecektir.



Şekil I Gözönüne alınan bütün örneklemeler için $\langle V/V_m \rangle$ ortalama değerinin Ω_K parametrelerine göre değişimi ; a → e işaretli eğriler sırasıyla 3CR , KWPN , $S \geq 2$, $S \geq 3$ ve KWPN* örneklemelerine aittir.

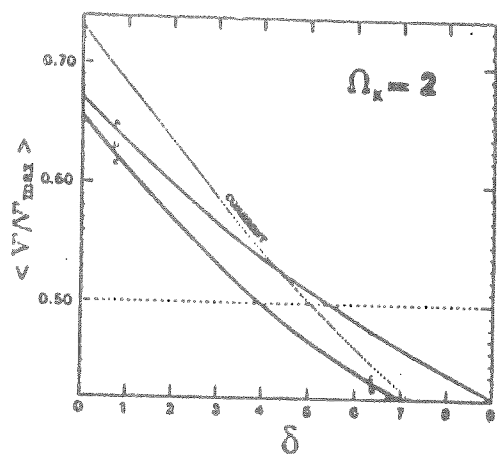


Fig. 2-a

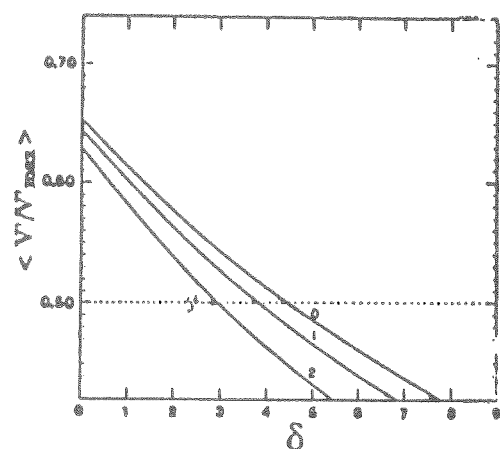


Fig. 2-b

Şekil 2 $\langle V'/V'_m \rangle$ değerlerinin $n(z) \sim (1+z)^{\delta}$ şeklinde tanımlanan yoğunluk evrimi parametresine göre değişimi. Şekil 2a da 178 MHz deki örneklemeler için' olan $\langle V'/V'_m \rangle$ değerleri gösterilmektedir. a,b,c eğrileri $\Omega_K=2$ için sırasıyla 3CR , $S \geq 2$ ve $S \geq 3$ örneklemelerine aittir. Noktalı eğri koherent örneklemeye ait olup V'_e/V'_a testi ile elde edilmiştir. Şekil 2b ise $\Omega_K = 0,1,2$ için 5000 MHz deki KWPN* örneklemesine aittir.

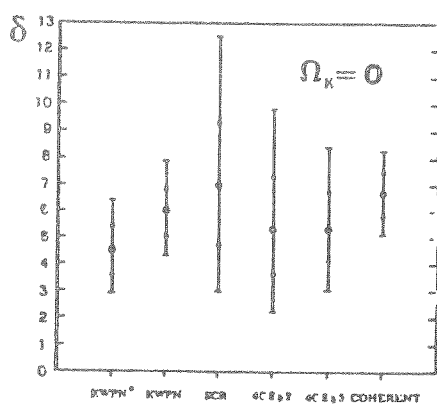


Fig. 3-a

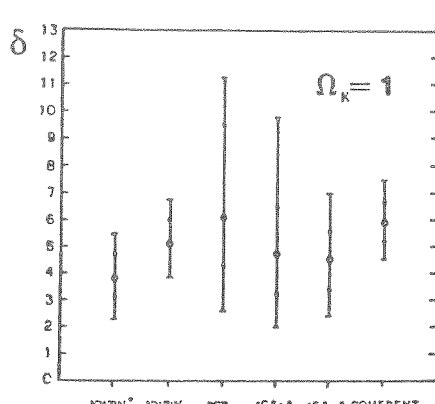


Fig. 3-b

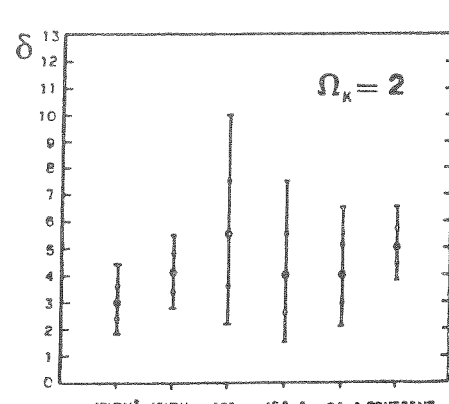


Fig. 3-c

Şekil 3 $\Omega_K = 0,1,2$ modelleri için gözönüne alınan örneklemeler için evrim parametresinin en iyi değerleri (boş yuvarlaklar) , 1σ (dolu yuvarlaklar) ve 2σ (çizgiler) kabuledilebilirlik sınırları.

O. DEMİRCAN: Sicim'i oluşturan madde nedir? Kuazarlar mı? (Bu soruya yanıt veren açıklama bildirinin içine sonradan eklenmiştir.)

O. DEMİRCAN: Bu yapılar evrende gerçekten görülüyor mu?

E.RIZA: Asıl problem şu anda bu sicimleri evrende gözlemektir. Sicimler eğer fluktasyonların sebebi ise bunlar bir yerde vardır deniyor ama dolaylı veya direkt olarak bu sicimleri gözlemek lâzım.

N.KIZILOĞLU: Bir ay kadar önce dinlediğimiz bir konuşmada, böyle bir gözlem olduğunu iddia eden biri, çift görünen galaksilerin nerede olduğunu saptamış ve görünüşü gerçekten egriler üzerindeydi. İşte onların sicim olduğunu iddia ediyordu.

E.RIZA: Sicimleri gözlemek için düz bir sicim alırsak, ilk defa Vilenkin bunu yaparak sicimlerin etrafında yarattığı gravitasyon alanının metriğini hesaplamış. Evrenin küçük bir kısmını alırsak, sicimin varlığı enerji momentumu dolayısıyla Minkovski metriğini bozacak, yeni bir metrik meydana gelecek. Vilenkin bu metriği ilk defa hesaplamış ve görmüş ki, silindirik koordinatlarda, ρ 'ya bağlı olan kısım aynı, ϕ 'ye bağlı olan kısım aynı, z 'ye bağlı olan kısım Minkovski metriğinden değişik ve şöyle bir durum ortaya çıkıyor: bu sicimin etrafındaki metrik, düz uzayda bir ϕ açısını haiz olan bir koniyi kesip koninin iki kenarını birbirine yapıştıracak olursak, elde ettigimiz uzayın metriği gibi davranışlıyor. İşte bu metrik de kuazarların çift görünmesine sebep oluyor. ikinci olarak, bu senenin başında Amerikalı iki araştırmacı arkaya arkaya iki makale yayınladı. Bunlar pulsarları kullanıyorlar. Bazı pulsarların periyotlarının birdenbire değiştiği gözlenmiş. Bu pulsarların periyotlarının değişmesinin sebebi, sicimlerin onların önünden geçmesidir diyorlar.

**ÇİFT KABUK YANMALI $5M_{\odot}$ H-He YILDIZIN RADIAL
TİTREŞİMLERİ**

HALİL KIRBIYIK

ODTÜ FİZİK BÖLÜMÜ, 06531 ANKARA

Bu çalışmada, kimyasal yapısında hiç metal olmayan 5 güneş kütleli bir hidrojen-helyum yıldız modeli ele alındı. Modelin adyabatik salınımlarının özelliklerini ve titreşimsel kararsızlığı incelendi. Model çift kabuk yanmalı bir yıldızı temsil etmektedir.

Denge Modelinin özellikleri şöyle verilmektedir:

M/M_{\odot}	$\log T_c$	Y_c	$\log T_c$	$\log \rho_c$	$\rho_c/\bar{\rho}$	X_s	Y_s	$\log L/L_{\odot}$	β_c
5	3.940	0.0	8.532	4.949	2.170(8)	0.8	0.2	3.540	0.979

Denge modeli Kızılıoğlu (1988) tarafından hesaplanmıştır. Bu modelin adyabatik salınımları Kirbiyik (1988) deki yöntemle incelendi. İkinci harmonik, birinci harmonik ve temel mod için hesaplamalar yapıldı ve aşağıdaki sonuçlar elde edildi. Parametreler her zamanki anımlarını taşımaktadır.

Mod	$\rho_c/\bar{\rho}$	\underline{g}_a^2	Pgün	$\sigma' (s^{-1})$
f	2.170	1.246(-9)	2.06	-3.405(-8)
1H		2.175(-9)	1.56	-8.174(-8)
2H		9.387(-9)	1.25	-1.415(-6)

Titreşimsel kararsızlık katsayısı σ' nün işaretine göre model kararlı veya kararsız olur. Yukarıdaki tabloda σ' her mod için eksi bulunmuştur. bu da modelin kararsızlığını göstermektedir. Ancak yıldızın içlerinde, çekirdek yanması olan bölgelerdeki kararsızlık dış katmanlara kadar gelememektedir. Tabloda gördüğümüz kararsızlık atmosferde γ -mekanizması ile ilgilidir. Kararsızlık bölgesi $T=4 \times 10^4$ K'ye karşı gelmektedir. Bu da He^+ iyonlaşma bölgесine rastlamaktadır. Sonuç olarak kararsızlık He^+ iyonlaşmasından kaynaklanmaktadır.

Kaynaklar:

Kirbiyik, H., 1989, *Astrophys. and Space Sci.*, 153, 289-296, 1989

Kızılıoğlu, N., 1988, *Astrophys and Space Sci.*, 147, 343, 1988

YAKIN ÇİFT YILDIZLARIN

SPEKTROSKOPİK VERİLERİNİN DEĞERLENDİRİLMESİ

M. Turker Özkan¹ ve A. EsenDemir²¹

İUFF Astronomi ve Uzay Bil. Böl. 34452 İSTANBUL

²

ODTU Fizik Bölümü 06531 ANKARA

1 - GİRİŞ

Bugün uzaydaki gökcisimleri ile ilgili bütün bilgi elektromanyetik ışınımdan elde edilir. Bu herhangi bir fizik kanunun sonucu değil, aksine insan gözüyle başlayan tarihsel bir süreçtir. Burdaki önemli nokta elektromanyetik ışınıminin üretiminin doğrudan bu ışını yayan cismin (veya ortamın) fiziksel koşullarına bağlılığıdır. Elektromanyetik ışınımla taşınan bilginin yayılımı, geldiği yol üzerindeki koşullardan dolayı da etkilenir. ışınımin takip ettiği yollar evrenin yerel eğriliğine, bu sebeple de maddenin yerel dağılımına bağlıdır. Sönümleme etkileri farklı dalga boyları için farklıdır. Nötür hidrojen Lyman limiti (913 Å) altındaki bütün ışınımları absorplar. Yıldızlar arası maddenin sebep olduğu saçılma ve absorpsiyon daha çok kısa dalga boylarında etkindir. Yıldızlar arası plazma dalga boyu km ve üstündeki radyo dalgalarını absorplar. Ters kompton olayı relativistik elektronlarla çarpan düşük enerjili fotonları daha yüksek enerjilere çıkarırken, gama ve x-ışın fotonları da kompton olayı sebebiyle enerjilerini kaybederler.

Gözlemciye gelen ışınımı uzaydaki bu etkilerin dışında son engelleme de arz atmosferi tarafından yapılır. Atmosferin astronomik gözlemlere perturbasyonu esas olarak ışınımin absorpsiyonu ve yayınlanan ışınların birbirine etkisi şeklinde olur. Atmosferik etkilerin sonucunda yerden görsel ve radyo dalgalaboylarında dar bir bölgeden gözlem yapılabilir. Böylece gözlemciye ulaşan ışının hem kaynağın hem de uzaydaki yolu üzerindeki etkileri taşıır. Pratikte yerden 300 km yükseliğe çıkarak atmosferin engellemesinden kurtulabiliriz. Bu şekilde tüm dalga boylarında eşit koşullarda uzaydan gözlem yapılabilir. Diğer bir deyişle uzaydan gözlem bütünü dalga boylarını aynı konuma getirerek tüm elektromanyetik spektrumun elde edilmesine olanak sağlar. Bir spektrum frekansının veya dalgalaboyunun fonksiyonu

olarak kaynağın bir görünürlüğüdür. Konumuzun temelini oluşturan spektroskopik veriler spektrometreler vasıtasıyla alınan spektrumlardan elde edilirler.

Biz burada spektroskopî ile ilgili temel bilgileri, spektrumların özelliklerini, bunları etkileyen faktörleri, yakın çift yıldızların, özellikle de kataklismik değişenlerin mor ötesi spektrel verilerinin kullanılması ve bu bölgeden elde edilen önemli bulguları sırasıyla anlatmaya çalışacağız.

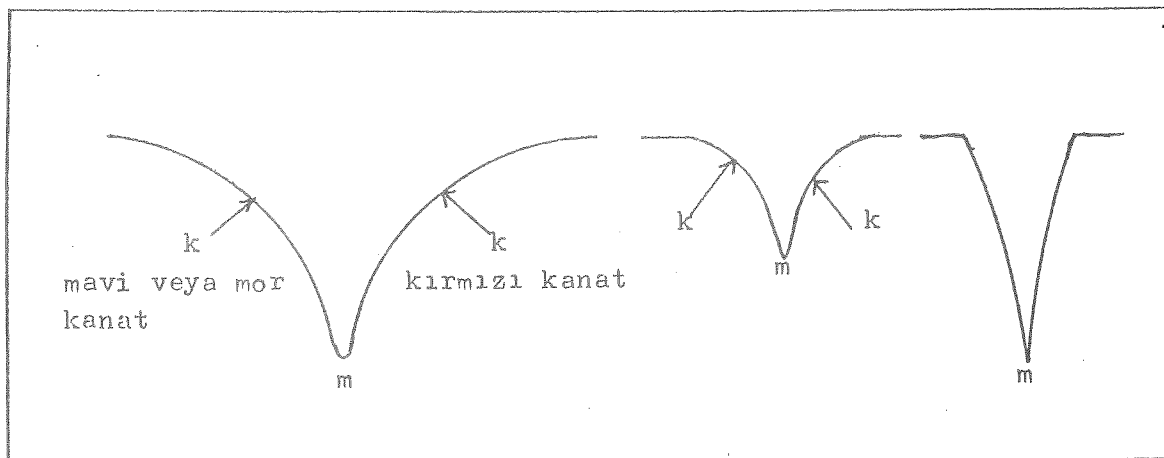
2 - SPEKTRAL ANALİZ

Spektroskopik gözlemlerin sonuçları ya plak üzerinde ya da digital bir kayıt şeklinde elde edilirler. Gerekli indirimeler ya da çizimler yapıldıktan sonra ortaya çıkan sonuç üzerinde çalışmaya hazır durumda olan bir spektrogramdır. Bir spektrum sürekli veya absorpsiyon ya da emisyon çizgileri şeklinde olabilir. Sürekli spektrum durumunda kaynaktan gelen ışının şiddetini $I(v)$, v ile yavaşça değişir. Çizgi durumunda ise $I(v)$ dar bir aralıkta ($\Delta v \ll v$) çok etkin olarak değişir: Elektromanyetik ışının bir sistemin (molekül, atom iyon, v.b gibi) E_i ve E_j enerji düzeyleri arasındaki ($v = (E_i - E_j) / h$) geçişlerden yayılır. Spektrel bir çizgi, geçisin yakınındaki emisyon veya absorpsiyon olasılığının frekansla hızla değiştiğinde oluşur. Çizelge-1 de artan enerjiye göre spektrel çizgileri oluşturan temel bağlı-bağılı elektromanyetik geçişler örneklerle beraber görülmektedir.

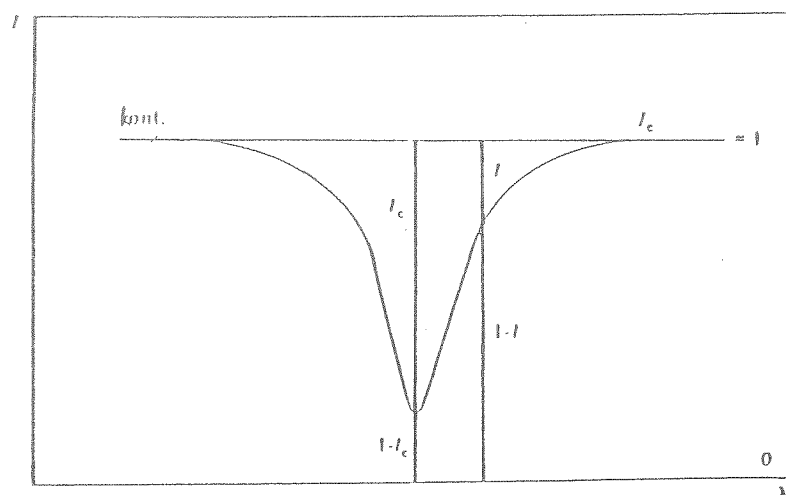
Spektrel çizgilerle ilgili bazı temel özellikler de aşağıdaki gibi verilebilir.

Pozisyon: Spektrum üzerinde çizginin gözlendiği yerdir. Bu büyüklik dalgalaboyu (λ), frekans (v) veya Hz, dalga sayısı ($1/\lambda$) veya enerji ($h\nu$) cinsinden ifade edilebilir.

Cizgi profili: Bir spektrel çizginin ayrıntılı şekli çizgi profili olarak isimlendirilir. Tipik bir çizgi merkezi kısımı (core) her iki yana uzanmış kanatlardan (wings) oluşur. Kanatlar yıldızlar arası çizgilerde hemen hemen yoktur (Şekil-1'e bak). Eğer spektrel verilerin kaydı şiddete göre yapıldıysa, çizgiler sayısal olarak karakterize edilebilir. Buna göre çizgi derinliği (l) (Şekil-2), merkezi çizgi derinliği (l_c), veya merkezi artık şiddet ($l_{c'}^2$) gibi büyüklikler bu amaçla kullanılabilir. Bu



Sekil-1. Spektrel bir çizginin şematik görünümü. k:kanat; m:çizgi merkezi.



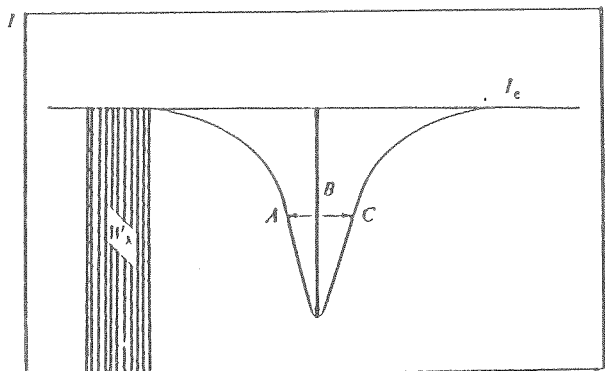
Sekil-2. Bir çizgiyi tanımlayan büyüklükler.
 l :çizgi derinliği; l_c :merkezi çizgi
 derinliği; $l-1$:merkezi artık şiddet.
 Sürekllilik l_c : f olarak tanımlanıyor.

Tanımlarda çizgi sürekliliği her zaman birim olarak alınır. Diğer taraftan karmaşık profilleri basit şekillerde göstermek üzere "yarı yükseklikteki çizgi genişliği" ve "esdeğer genişlik" (Şekil-3) gibi parametreler kullanılır. Özellikle toplam çizgi şiddetini bulmak için kullanılan esdeğer genişlik, birim yükseklik ve W_λ uzunluğundaki bir dikdörtgenin alanı olarak düşünülebilir. Bundan dolayı gelen ışınının bu çizgiyle sahip olunan enerjinin integraline eşit alanlı dikdörtgenin kenarı esdeğer genişliği verir. Diğer bir deyişle esdeğer genişlik

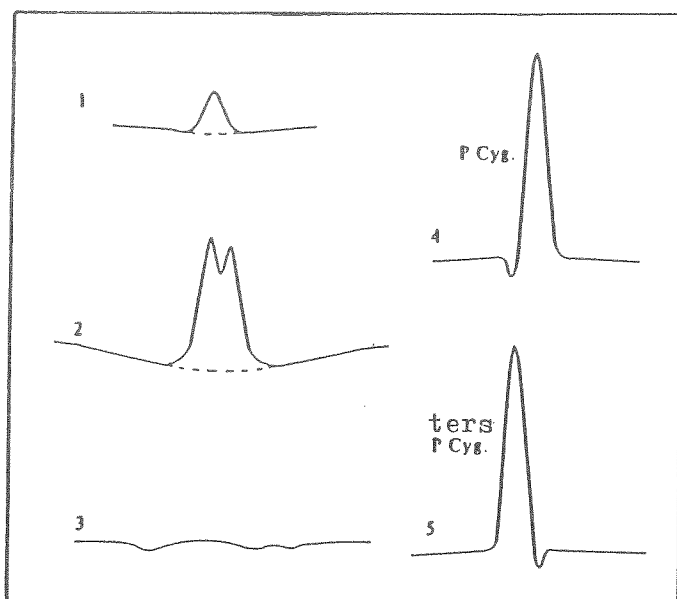
ÇİZELGE - 1

Bağıl-bağılı geçişler

Girişler	Enerji	Spektrel Bölge	Örnek
Hyperfine yapı	10^{-5}	Radyo	Hidrojenin 21 cm çizgisi
Spin yörüngeleri birleşmesi	10^{-5}	Radyo	OH molekülünün 1666MHz geçişleri
Moleküler dönme	$10^{-2} - 10^{-4}$	Millimetrik Kırmızı Ötesi	CO molekülünün 2.6 mm deki geçisi
Moleküler dönme-vibrasyon	$1 - 10^{-1}$	Kırmızı Ötesi	$2 \mu\text{m}$ ye yakın H_2 çizgileri
Atomik ince yapı	$1 - 10^{-3}$	Kırmızı Ötesi	Ne II nin $12.8 \mu\text{m}$ deki çizgisi
Atomlar, molekülerin ve iyonların elektronik geçişleri	$10^{-2} - 10^{-4}$	UV, görsel, kırmızı Ötesi Mor Ötesi, X-ışını	H nin serileri C I ve He I çiz. K,L kabuk elektron çizgileri
Nükleer geçişler	$> 10^4$	Gama ışınları	15.1 eV de ^{12}C çizgisi
Yokolmalar	$\geq 10^4$		511 keV de pozitronium çiz.



Şekil-3. Çizgi genişliği ve eşdeğer genişlik. AC:merkezi yarı yükseklikteki çizgi genişliği; W_B : eşdeğer genişlik.



Şekil-4. Emisyon çizgilerinin beş farklı tipi. 1:merkezi emisyon; 2:self-absorpsiyon; 3:fill-in; 4:P Cygni 5:ters P Cygni profili.

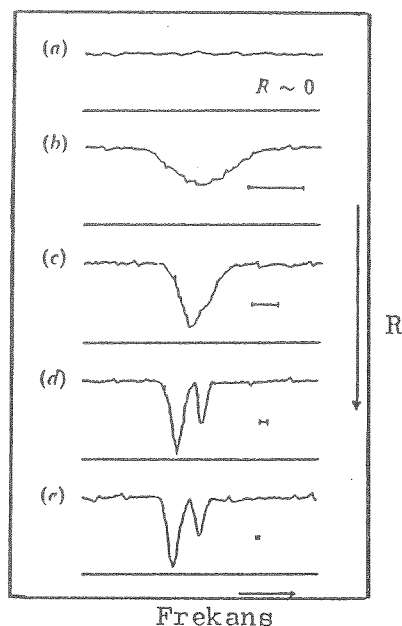
$$W_{\lambda} = \int_{-\infty}^{+\infty} (l_c - l)/l_c d\lambda$$

ile tanımlanır. Eşdeğer genişlik angstrom veya miliangstrom olarak ölçüülürken, yarı yükseklikteki çizgi genişliği de $c(\Delta\lambda/\lambda)$ bağıntısı vasıtasıyla km/san cinsinden ifade edilir. Burada $\Delta\lambda$ (Şekil-3, AC uzunluğu) angstrom cinsinden yarı genişliktir.

Çizginin polarizasyonu : Stokes parametreleri ile tanımlanan elektromanyetik ışınının polarizasyonu ile hem kaynağın hem de gelen fotonların yolu üzerindeki bazı fizik koşullar üzerine bilgi sağlanabilir (manyetik alan, saçılma, ortamın basıncı, senkrotron ışını v.b. gibi). Dedektör yalnızca bir polarizasyon bileşenini bulabilir. Ancak teleskop üzerindeki optik sistemle bu değiştirilebilir.

Eğer bir absorpsiyon çizgisi emisyonla eşlik ederse, 5 farklı durumla karşılaşılabilir (Şekil-4). Şekil-4(1) merkezi emisyonu gösteriyor. Diğer bir olasılık merkezi absorpsiyon çekirdeği (core) veya self-absorpsiyondur. Çizginin hemen hemen görülememesi durumuna da "fill-in" adı verilir. Şekil-4(4) de biraz sonra bahsedeceğimiz P Cygni profili görülmektedir. Yani kırmızı tarafta bir emisyon vardır. Son

Şekil-5. Ayırma gücü büyürkenblend çizginin ortaya çıkması.
(a) $R(\text{ayırma gücü}) \sim 0$; (b)
çizgi görülmeye başlar; (c)
çizgi çift görülür ama ayrı-
maz; (d) iki çizgi ayrılır;
(e) çizgilerin genişlikleri
artar. Yatay çizgi her göz-
lemeeki aletin spektrel ge-
nişliğini gösterir.



durum ters P Cygni profiliidir. Emisyon bu kez mor kenardadır.

Zaman zaman bir çok çizgi birbirine çok yakın bulunur ve birbirinden ayrılamaz. Böyle çizgilere "blend" çizgiler denir. Blend çizgiler dispersiyona bağlıdır ve daha büyük dispersiyon kullanılarak bu çizgileri birbirinden ayırt etmek mümkün olur. Şekil-8 de bu durum açık olarak görülmektedir.

Geç tip yıldızlarda bir çok sözük çizginin birleşmesi nedeniyle kontinyum kesilir. O zaman bu çizgilerin üstünden geçen "pseudo-kontinyum" gerçek kontinyumun oldukça aşağısında kalır. Bu şekilde kontinyum da oluşan büyük bir aralık (boşluk) "süreksizlik" olarak isimlendirilir. Örneğin Balmer süreksızlığı gibi.

Spektrel çizgiler oluştukları yıldız atmosferindeki yerlerinin fiziksel koşullarını yansıtırlar. Bu da gösterir ki çizginin şekli (profil) birçok faktöre bağlıdır. Bunları iç ve dış etkenler olarak iki grup halinde ifade edebiliriz :

A) İç etkenler

- 1) Doppler etkisi
- 2) Zeeman etkisi
- 3) Stark etkisi
- 4) Çarpışmalar
- 5) Hyperfine yapı

B) Dış etkenler

- 1) Türbülans (yıldız atmosferlerindeki büyük kütle hareketleri)
- 2) Yıldızların kendi eksenleri etrafında dönmesi
- 3) Yıldız atmosferlerinin genişlemesi.

Spektrel analizle ilgili yukarıdaki bilgilerden yararlanarak çalışan cisim ait temel parametreler bulunabilir. En önemlilerini Çizelge-II de görmekteyiz.

Spektrel analizle ilgili son olarak kullanılan çizelgeleri, atlasları, ve katologları verelim.

a) Çizgi identifikasiyon çizelgeleri.

Bu çizelgeler kimyasal bir elementi karakterize eden spektrel çizgileri içerirler. Genellikle dalgaboyları, çizgi şiddetleri, elementin iyonizasyon safhasına karşılık gelen tanısı ve geçişin spektroskopik gösterimi de bu çizelgelerde verilir. Kullanılanlar söyle:

CİZELGE-II

Spektruma ait ölçülen veya hesaplanan büyüklüklerle karşılık gelen yıldızla ilişkin fiziksel parametreler

Ölçülen veya hesaplanan büyüklük Cisme ait parametre

Çizgi pozisyonu	Elementin identifikasiyonu
Siddet veya eşdeğer genişlik	Bolluk
Çizgi pozisyonu, profil	Makroskopik hız alanı
Siddet, genişlik	Sıcaklık, basınc, gravite
Profil	Mikroskopik hız alanı
Zeeman bileşenleri, polarizasyon	Manyetik alan

- 1-An ultraviolet multiplet table (Moore, 1950, 1952, 1962).
- 2-Atomic and ionic emission lines below 2000 angstroms (Kelly and Palumbo, 1973).
- 3-Tables of spectrel lines of atoms and ions (Striganov and Odintsova, 1982).
- 4-Line spectra of the elements (Reader and Corliss, 1982).

b) Atlaslar.

Atlaslar spektrel sınıflama sistemlerini gösteren grafik dökümlardır. Bu nedenle her sistemin kendine ait atlası vardır. En çok MK sistemi kullanıldığı için buna ait optik ve mor ışesi atlaslarını veriyoruz.

- 1-Revised MK spectral atlas for stars earlier than the sun (Morgan, Abt and Tapscott, 1978).
 - 2-An atlas of spectra of the cooler stars. Types G, K, M, S, and C (Keenan and McNeil, 1976).
 - 3-An atlas representative stellar spectra (Yamashita, Narial and Norimoto, 1977; 73Å/mm).
 - 4-An atlas of grating spectra at intermediate dispersion (Landi-Dessy, Jaschek and Jaschek, 1977; 42Å/mm).
 - 5-An atlas of objective prism spectra (Houk, Irvine and Rosenbush, 1974; 108Å/mm).
 - 6-An atlas for objective prism spectra (Seitter, vol. I, 1970; 240Å/mm; vol II, 1975; 645 and 1280Å/mm).
- Mor ışesi bölgeyi içeren atlaslar:
- 1-An atlas of ultraviolet stellar spectra (Code

- and Meade, 1979, 1980; $\lambda\lambda 1200-3600\text{\AA}$.
 2-An atlas of ultraviolet stellar spectra
 Cucchiaro, Jaschek and Jaschek, 1978; $\lambda\lambda 1380-2740\text{\AA}$.
 3-The IUE low dispersion reference atlas
 (Heck, Egret, Jaschek and Jaschek, 1984; $\lambda\lambda 1200-3200\text{\AA}$).

c) Katologlar.

Katologlar verilen bir data tipindeki kolleksiyondur. Çok sayıda katolog vardır. Bunların ayrıntısı Jaschek (1984) tarafından verilmiştir.

Spektrel analizle ilgili bu temel bilgileri artık çift yıldızlara uygulayabiliriz. Özellikle mor ötesi spektrel veriler göz önüne alınacak, ve bu veriler vasıtasıyla çift yıldızların özel bir grubu olan kataklismik değişimlerin değerlendirilmesini ve burdan çıkan sonuçları tartışacağız.

3 - MOR ÖTESİ SPEKTREL VERİLERİ

SUPHESIZ TÜM ELEKTROMANYETİK SPEKTRUM ÖNEMLİ OLMASINA RAĞMEN BİZ BURADA SPEKTRUMUN 1000 - 3300 Å ARALIĞINI İÇEREN MOR ÖTESİ BÖLGESİ ÜZERİNDE DURACAGIZ. BUNUN DA SEBEBI BU BÖLGEDE BOL MİKTARDA SPEKTREL VERİNİN BIRİKMESİNDEN KAYNAKLANIYOR. BUNA EN BÜYÜK KATKI 1978 DE YÖRÜNGEYE OTURTULAN "ULUSLARARASI MOR ÖTESİ UYDUSU" Veya KISA ADIYLA IUE GÖZLEMİEVİNDEN GELMİŞTİR. BU GÖZLEMİEVİ UÇUS SİSTEMİ İLE YER SİSTEMİNDEN OLUŞMUŞTUR. UÇUS SİSTEMİ UZAY ARACINI TELESKOBU VE DIĞER BİLİMSEL ALETLERİ İÇERİR. YER SİSTEMİ İSE ABD'NİN MARYLAND'DAKİ GODDARD UZAY MERKEZİNDE BULUNAN NASA IUE KONTROL MERKEZİ İLE İSPANYADA MADRID'E YAKIN VILLAFRANCE UYDU İZLEME İSTASYONUNDAKİ (VILSPA) ESA IUE GÖZLEMİEVİNDEN OLUŞUR. IUE UYDUSU BİR 45 CM'LİK F/15 CASSEGRAIN TELESKOP İLE 1150 VE 3200 Å ARALINDAKİ SPEKTREL BÖLGEDEKİ MOR ÖTESİ SPEKTROSKOPİSİ İÇİN İKİ ECHELLE SPEKTROGRAF TAŞIR. İKİ ALETE İLİŞKİN PARAMETRELER ÇİZELGE-III DE ÖZETLENMİŞTİR.

IUE DEN ELDE EDİLEN MOR ÖTESİ SPEKTREL VERİLERİ MANYETİK BANTLAR HALİNDE VILSPA İSTASYONUNDAN KOLAYLIKLA İSTENEŞİBİLİR. HAM İMAJLARI İÇEREN BU MANYETİK TEYPLERDEN, ALET HATALARINDAN KURTULARAK DOĞRU VE STANDART BİR ŞEKLDE KULLANICILARIN DOĞRADAN YARARLANABİLLECEĞİ VERİLERİ ELDE ETMЕK İÇİN IUESIPS (IUE SPECTRAL IMAGE PROCESSING SYSTEM) SİSTEMİ GELİŞTİRİLDİ. HAM DATALAR DAN KALİBRE EDİLMİŞ IUE SPEKTRUMLARINI OLUŞTURMAK GEREKLİ İŞLEM AŞAMALARI ÇOK

karmaşıktır ve IUE deki aletlerin özelliklerinin ve kalibrasyonun bilinmesine dayanır. Bu zorluğu aşmak üzere bir IUESIPS yazılım programı hazırlanmıştır. Böylece kullanıcı bu programı kullanarak doğrudan dalga boyuna karşılık gelen aki-sayısı (flux-number) ni kolayca bulabilir. Daha sonra spektrumun alındığı poz muddetini ve her bir kamera ile ilgili ters duyarlılık fonksiyonu S_λ kullanılarak dalga boyunun fonksiyonu olarak mutlak aki değerleri hesaplanabilir.

ÇİZELGE-III

Bilimsel aletlere ilişkin özellikler*

TELESKOP

Optiği	Richey-Chretien
Açıklık	45 cm
Birincil aynanın odak oranı	f/2.8
Etkin odak oranı	f/15
Plak eseli	30.6 yay saniyesi/mm
Görüntü kalitesi	3 yay saniyesi
Görüş alanı	16 yay dakika çaplı

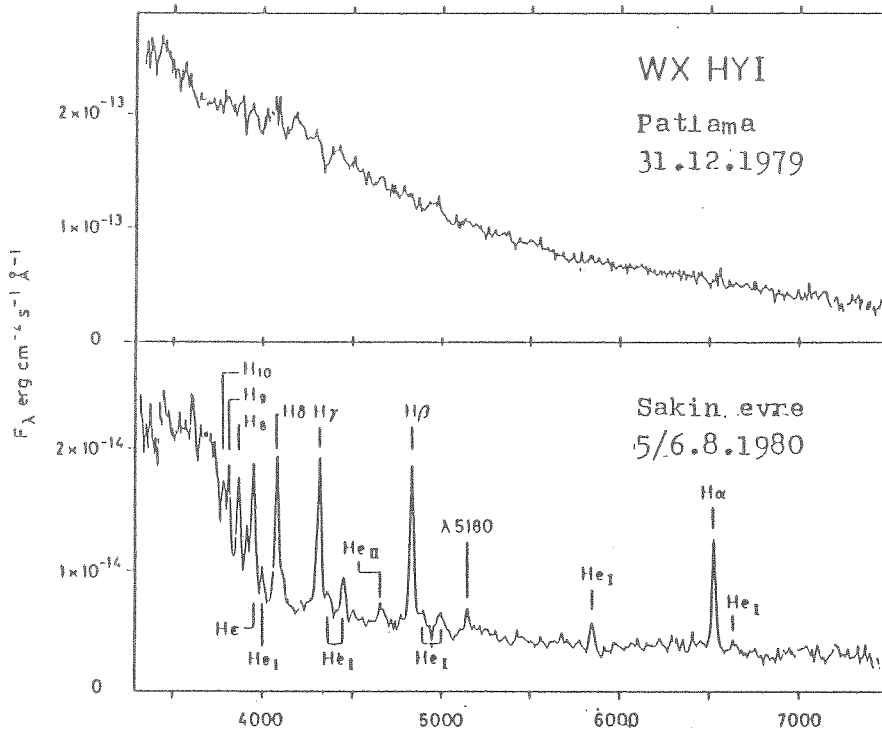
SPEKTROGRAFLAR

Tip	echelle	
Giriş açılığı	3 yay saniyesi dairesel veya yaklaşık 10X20 yay saniyesi oval	
Dedektör	4 SEC Vidicon kamera	
<u>Yüksek dispersiyon</u>	<u>kısa</u>	<u>uzun</u>
Dalga boyu aralığı (Å)	1165 - 2126	1845 - 3230
Ayırma gücü	10^4	10^4
<u>Düşük dispersiyon</u>		
Dalga boyu aralığı (Å)	1150 - 2000	1825 - 3300
Ayırma gücü	6	6

*ESA September 1989 'dan alınmıştır.

4 - KATAKLISMİK ÇİFT YILDIZLARIN ÇİZGİ SPEKTRUMUNDAKİ DEĞİŞİMLER

Kataklismik değişen yıldızlar oldukça sönüklük sistemler olduklarından, bunlara ait gerçekten çalışılabilen nitelikte spektrel verileri elde edebilmek için etkin spektrograflara ve dedektörlere gereksinim vardır. Bu yıldızlara ait spektroskopik çalışmaların çoğunda elektromanyetik spektrumun 3300 ile 5000 Å aralığını içeren fotoğrafik bölge kullanıldı. 5000 ile 10000 Å arasındaki bölge çok az araştırıldı. 1000 den 3000 Å 'e kadar olan mor ötesi bölgesindeki spektrel verilerin elde edilmesine IUE uydusu ile başlandı. Kataklismiklerin mor ötesi spektrumları bu sistemlere ilişkin bir çok sorunun anlaşılmamasında çok etkin bir rol oynadı. Bu bölümde kataklismik çiftlerin görsel ve mor ötesi bölgede gözlenen çizgilerin özelliklerini tartışacağız.



Dalgaboyu(Å)

Şekil-6.. WX Hydi'nin patlama ve sakin dönemlerindeki görsel bölge spektrumu (Hassall ve ark., 1983).

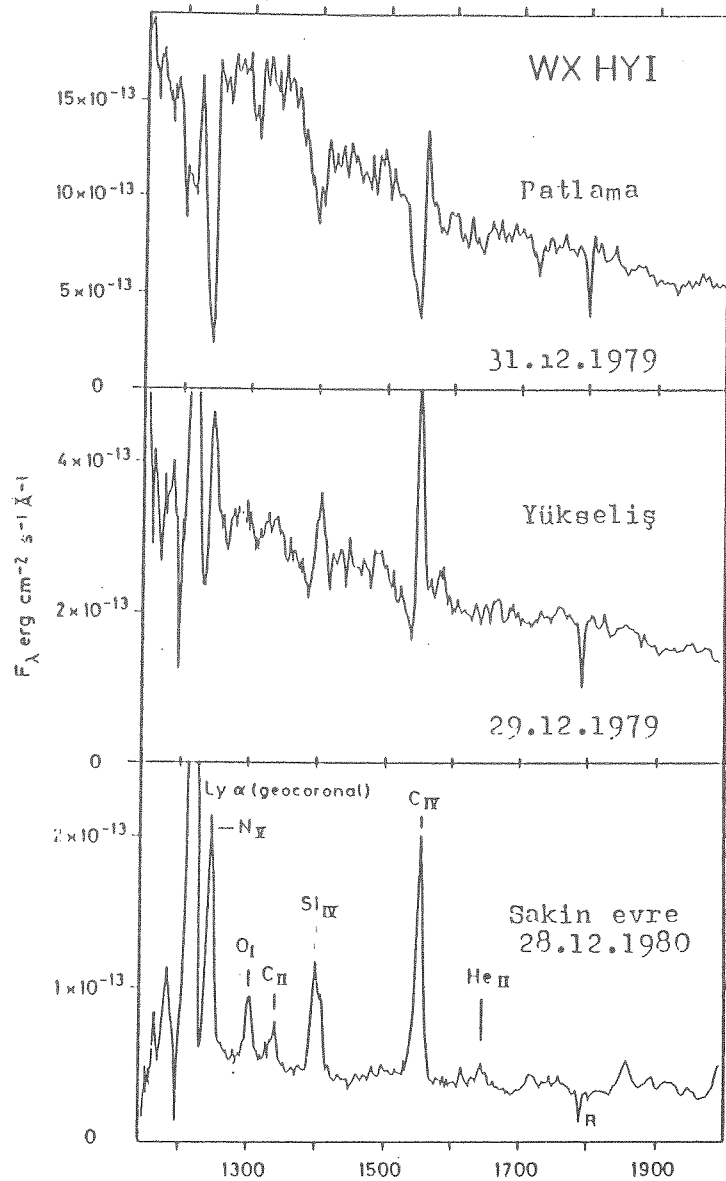
Cüce novaların sakin evrelerinde akresyon diskı, parlak nokta, ve gaz akımından ortaya çıkan kuvvetli emisyon çizgileri görülür. Özellikle hidrojenin çizgileri ve nötral helyum (He I) her zaman mevcuttur (Şekil - 6). Bir kere iyonlaşmış helyum (He II) ve bir kere iyonlaşmış kalsiyum (Ca II) çizgileri de oldukça kuvvetlidir. Diğer elementlerin, 5169 Å deki bir defa iyonlaşmış demir (Fe III) gibi, emisyon çizgileri bir kaç cisimde görülmüştür. Zayıf çizgileri, blend ve geniş olmaları nedeniyle belirlemek güçtür.

Patlama sırasındaki optik emisyon çizgi spektrumu geniş ve derinliği az olan absorpsiyon çizgileri ile yer değiştirir (Şekil-6). Yine hidrojen ve nötral helyum en kuvvetli çizgilerdir. He II 'nin 4686Å çizgisi bazen emisyon olarak gözükür. Hidrojenin geniş absorpsiyon çizgilerinin merkezlerinde dar emisyon korları (cores) gözlenir. Cüce novanın parlaklığı sakin evreye doğru giderken çizgi spektrumu da sakin evre karakterine döner ve aynı zamanda çizgilerin emisyon korları oldukça önemli hale gelir.

Simdi de kataklismik değişenlerin mor ötesi spektrumlarını göz önüne alalım. Bu dalga boyu bölgesinde yüksek mertebeden iyonize olan elementlerin kuvvetli çizgileri spektruma hakimdir. Özellikle Üç kez iyonize karbon (C IV) ve silisyum (Si IV) ve dört kez iyonize olmuş azot (N V) 'un çizgileri en önemlilerindendir. Yüksek sıcaklığın karakteristiği olan bu çizgiler, düşük sıcaklığın göstergesi olan bir kez iyonlaşmış magnezyum (Mg II) 'un çizgileriyle aynı anda emisyon olarak bulunurlar. (Şekil-7'ye bakınız).

Mor ötesi çizgilerin şiddetleri ile görünen bölgedeki çizgiler arasında herhangi bir korelasyon gözükmemektedir. Bu iki olayı gösterir. Birincisi, mor ötesi çizgiler görsel çizgilerin olduğu bölgeden uzak olan diskin yukarısında ortaya çıkarlar. İkincisi, çizgilerin oluşması için az bir madde yeterlidir, öyle ki diskteki küçük değişiklikler çizgi şiddetlerinde büyük değişimlere yol açarlar.

Cüce novaların patlama spektrumlarında yine optik bölgede olduğu gibi mor ötesi çizgileri de absorpsiyon olarak ortaya çıkarlar. Bununla beraber bazı cisimlerde C IV , Si IV ve N V çizgilerinin aynı anda emisyon ve absorpsiyon bileşenleri mevcuttur. Absorpsiyon bileşeninin merkezi dalgaboyuna göre kısa dalgaboyerine doğru yerdeğisimi 3000 - 5000 km/san'lık hızlara karşılık gelir.



Dalgaboyu(Å)

Şekil-7. WX Hydi'nin farklı etkinlik zamanlarının daki mor ötesi spektrumu (Hassal ve ark. 1983).

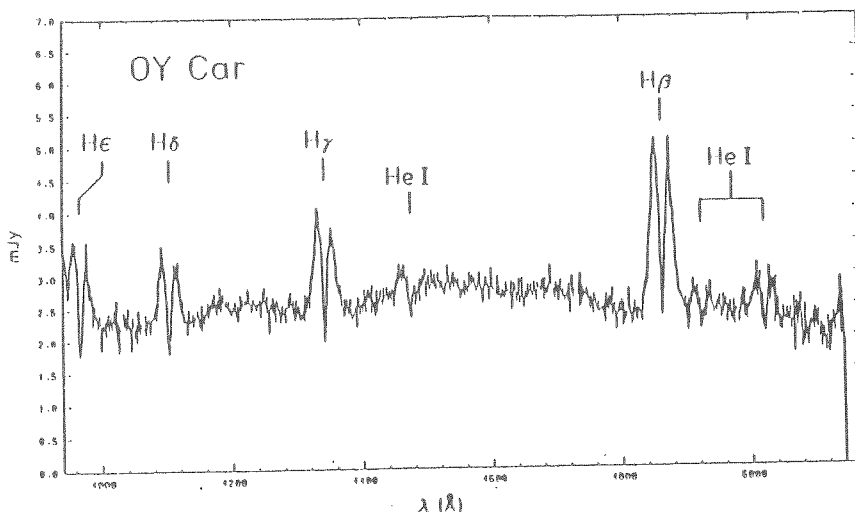
Bu P Cygni çizgilerinin (Şekil-7) diskten ayrılan maddenin rüzgarındanoluştuğu düşündür. Gözlemeviye gelen atomlar (böylece daha kısa dalgaboylarına kaymış olurlar) diskten gelen ışığı bakış doğrultusunun dışına saçarlar. Bu nedenle bu dalgaboylarında aki azalmış olur.

Kataklismiklerin sakin evrelerinde neden emisyon ve patlama evrelerinde ise neden absorpsiyon çizgilerinin görüldüğü açık değildir. Olasılı bir açıklama şöyle olabilir : diskteki gazın sürekli opasitesi azalan sıcaklıkla beraber hızla düşer. Buna göre sakin durumda akresyonun soğuk dış katmanları optik olarak ince bir kontinyum verecek şekilde zayıf bir ışınımda bulunurken, optik olarak kalın kısımda oluşan çizgilerde ise ışının kuvvetlidir. Böylece zayıf kontinyuma göre çizgiler emisyon olarak görülürler. Patlama evresinde ise disk daha yoğun ve sıcaktır, öyle ki diskin heryeri optik olarak kalındır. Bunun sonucunda da absorpsiyon çizgileri optikçe kalın normal yıldız atmosferlerindeki gibi meydana gelecektir.

5 - SPEKTREL ÇİZGİLERİN YÖRÜNGESEL ÖZELLİKLERİ

Kataklismik çift yıldızlarda bileşenden gelen absorpsiyon çizgilerini görmek veya ölçmek genellikle zordur. Bunun sebebi kısmen diskin sürekli ışınımdan kısmen de kırmızı yıldızın yörunge frekansı ile dönmesinden kaynaklanır.

Eğer ikinci yıldızın absorpsiyon çizgi spektrumu ölçülebilirse, o zaman çizgilerin dalgaboyu kaymalarını kullanarak yıldızın sistemin kütle merkezi etrafındaki dönmesini bulmak mümkün olur. Yıldızın radyal hızı yörunge fazına göre çizilerek hız değişiminin genliği K_R , bu egriden belirlenebilir. Bir kataklismik değişen yıldızın spektrumdaki emisyon çizgileri peryodik hız değişimleri gösterirler. Her iki bileşenin hız egrilerine baktığımızda emisyon ve absorpsiyon çizgilerinin zıt fazda hareket ettiği görülür. Diğer bir deyişle, çizgilerin bir seti maksimum uzaklaşma hızına yaklaşırken diğer bir grup çizgide maksimum uzaklaşma hızına gelir. Bu durum emisyon çizgilerinin diskte olduğunu ve beyaz çücenin yörunge hareketini yansıtır. beyaz çücenin hız değişiminin genliği K_w , de K_R gibi belirlenir. Böylece bu iki büyükliğin bilinmesi bizi iki yıldızın kütleyerinin çıkarılmasına (stabili eğim açısı i 'nin de bilinmesiyle) götürür.



Şekil-8. OY Carinae cüce novasının hidrojen ve helyuma ait emisyon çizgilerinin çift-tepebilliğini gösteren görsel bölge spektrumu.

(Bailey ve Ward, 1981)

Son olarak çizgi şekillerini karakterize eden üç önemli özellikten söz edelim. İlk, herhangi bir kataklismik değişenin spektrumunda emisyon çizgilerinin genişliği $\Delta\lambda$ dalga boyu λ ile $\Delta\lambda/\lambda$ oranı yaklaşık sabit kalacak şekilde sistematik olarak değişir. İkincisi, bir çok sistemde özellikle de tutulma gösterenlerde hidrojen emisyon çizgilerinin çift-tepecli bir yapısı vardır (Şekil-8). Üçüncüsü de, yörüngede eğiminin büyük olduğu sistemlerde çizgi genişliklerinin daha büyük olmasıdır. $\Delta\lambda/\lambda$ 'nın sabit oluşu gösterir ki, çizgilerin genişlemesine neden olan en önemli etki diskteki gazın hareketiyle ortaya çıkan Doppler kaymasından gelir. Bakış doğrultusunda $\pm v$ hızı ile hareket eden gaz, labaratuvar dalgalaboyu λ dan $\lambda = \pm (v/c)\Delta\lambda$ miktarında yer değiştirmiş bir dalgalaboyunda ışınım yayırlar. Diğer çizgi genişleme mekanizmaları (spektral analiz bölümune bakınız) çizgi genişliklerinin burdaklı gibi değişmeyecek bir şekilde genişleme oluştururlar. İkinci ve üçüncü etkiler, emisyonu meydana getiren gazın sistemin yörüngede düzleminde beyaz cücenin etrafında dairesel yörüngelerde hareket ettiğini varsayıarak anlaşılabilir. Madde daha büyük bir yarıçapta iken daha küçük hızları fakat daha fazla ışın yayılama alanları olacaktır. Bu da iki emisyon tepesi verir. Diskin yaklaşan

tarafındaki gazdan maviye kaymış tepe ve uzaklaşan tarafından ise kırmızıya kaymış tepe oluşur. Madde beyaz cüceye yakınsa daha büyük yörünge hızları dolayısı ile daha büyük Doppler kaymaları gözlenecektir.

Örten sistemlerdeki emisyon çizgilerinin yüksek-hız spektroskopik gözlemleri çizgi çiftleşmesinin bu yorumunu destekler. Önce maviye kaymış emisyon örtülür, sonra mavi kanat takip eder, ardından kırmızı kanat ve sonunda da kırmızı tepe gelir. Çizginin çeşitli kısımlarında aynı düzende görülür. Burdan şunu söyleyebiliriz: Önce akresyon diskinin yaklaşan kısmı örtülür, sonra diskin hızlı dönen merkezi kısımları ve sonra da uzaklaşan kısımlar örtülür. Ancak bazı sistemler de, OY Carinae de olduğu gibi (Şekil - 80), tepeler arası kanatlar kontinyum seviyesinden de aşağıya iner. Bu durumda yukarıda ifade edilen model her zaman gözlenen emisyon çizgi profillerini açıklıyor.

TEŞEKKUR

Bu çalışma İ.U. Araştırma Fonu tarafından desteklenen Fen 335/041287 kod ve numaralı proje içinde gerçekleştirılmıştır.

KAYNAKLAR

- Bailey J. ve Ward M.J. 1981, *Mon. Not. R. astr. Soc.*, 194, 17P.
 Code A.D. ve Meade M.R. 1979, *Ap. J. Suppl.* 39, 195.
 Cucchiaro A., Jaschek M. ve Jaschek C. 1978, Liege and Strasbourg Observatories.
 Hassal B.J.M. et al. 1983, *Mon. Not. R. astr. Soc.*, 203, 865.
 Heck A., Egret D., Jaschek M ve Jaschek C. 1984, *ESA SP-1052*.
 Houk N., Irvine N.J. ve Rosenbush D. 1974 *An atlas of objective-prism spectra*, University of Michigan.
 Jaschek C. 1984, *QJRAS* 25, 259.
 Jaschek C. ve Jaschek M. 1987, *The classification of stars*, Cambridge Univ. Press.
 Keenan P.C. ve McNeil R.C. 1976, *An atlas of spectra of the cooler stars*, Ohio State Univ. Press.
 Kelly R.L. ve Palumbo L.J. 1973, *NRL Report N. 7599*.
 Landi-Dessy J., Jaschek M. ve Jaschek C. 1977, *Observatorio Astronomico de Cordoba-Argentine*.

- Lena P. 1986, *Observational astronomy*, Astron. and Astropys. Library, series ed. M. Harwit, R. Kippenhahn, J. P. Zahn, Springer-Verlag Berlin.
- Moore C.E. 1950, *An ultraviolet multiplet table*, NBS Circ. 488, section I.
- Moore C.E. 1952, *An ultraviolet multiplet table*, NBS Circ. 488, section II.
- Moore C.E. 1962, *An ultraviolet multiplet table*, NBS Circ. 488, section III-IV.
- Morgan W.W., Abt H.A. ve Tapscott J.W. 1978, *Revised MK special atlas for stars earlier than the sun*, Yerkes Observatory and Kitt Peak National Observatory.
- Pringle J.E. ve Wade R.A. 1985, *Interacting binary stars*, Cambridge Univ. Press.
- Reader J. ve Corliss C.H.(ed.) 1982 in *CRC Handbook of Chemistry and Physics*, 63rd edition, Weast R.C. and Boca Raton F.L.(ed.) CRC Press.
- Seitter W.C. 1970, *An atlas for objective spectra*, vol. I, F. Dummler Verlag, Bonn.
- Seitter W.C. 1975, *An atlas for objective spectra*, vol. II, F. Dummler Verlag, Bonn.
- Striganov A.R. ve Odintsova G.A. 1982, *Tables of spectral lines of atoms and ions*, Energoizdat, Moscow, USSR.
- Yamashita Y., Narai K. ve Norimoto Y. 1977, *An atlas of representative stellar spectra*, University of Tokyo Press.

VW HYDRI'NİN OPTİK VE MOROTESİ GÖZLEMLERİ

A. Talat SAYGAÇ
 İstanbul Üniversitesi Fen Fakültesi
 Astronomi ve Uzay Bilimleri Bölümü
 34452 Üniversite - İstanbul

ÖZET Devam etmekte olan bu çalışmada, Kataklismik Değişen Yıldızların Cüce Novalar alt grubunun SU Ursae Majoris sınıfından VW Hyi'nin sakin evre optik bölge tayflarının incelenmesi sonucu elde edilen verilerin, daha önce benzer tarzda yapılan diğer bir tayfsal çalışmadaki sonuçlarla farklılıklar göstermesi üzerine, bu sonuçlardaki farklılığın herhangi bir gözlemsel veya indirgeme hatasından kaynaklanmadığı, bunun sistemin ya sürekli ya da zaman zaman gösterebileceği bir özelliğinin sonucu olabileceği düşünüülerek bu yönde araştırılmaktadır. Bunun için daha önce yapılmış olan optik ve morotesi tayfsal çalışmalar burada topluca incelenmektedir. Tayfsal sonuçların bir kısmı daha önce yayınlanmıştır (Saygaç, 1989).

1. GİRİŞ ve PROBLEMİN TANIMI

Kataklismik Değişen Yıldızların alt grubu Cüce Novalar, görünür bölgede 2-5 kadirlik artış gösteren, sık patlamalı sistemlerdir. Yörunge dönemleri bir kaç saat mertebesindedir. Patlama aralıkları birkaç hafta veya ay civarındadır. Cüce Novaların alt sınıfı olan SU UMa tipi yıldızlar ise, cüce novaların %20'sini kapsar. Normal ve süper patlamalar gösterirler. VW Hyi ise, sakin evresinde 14 kadir, normal patlamasında 9.5, süper patlamasında 8.5 kadir parlaklıktadır. Normal patlaması 20-30 günde bir 3-5 gün süreli, süper patlaması ise ≥ 180 günde bir 10-14 gün süreliidir.

Kataklismik değişen yıldızların patlamalı olanları içerisinde en ilginç olanları şüphesiz cüce novalar olup, sayıca çok olmalarından ötürü de daha çok incelenmektedirler. Bu grubun SU UMa sınıfının, normal ve süper patlama özelliği göstermesi de onları çok ilginç bir hale getirmektedir. Hem patlamalarının

oluştuğu evrede hem de sakin evrede yapılan fotometrik ve tayfsal gözlemleri bu sistemlerin davranışları hakkında önemli katkılar sağlar. Ancak özellikle patlama tayfları araştırmacılara daha ilginç geldiği için gözlemler daha çok bu evrelerde yapılmaktadır. Sakin evrede görülen olaylar genellikle benzer karakteri taşıyarak tekrarlanan olaylardır. Örneğin, parlak lekenin bakış doğrultumuzdan önemli olarak geçisi ile ışık eğrilerinde 0.4 kadirlik bir artış gözlenir (VW Hyi için) ve bu "dönem hörgüçü" olarak bilinir. Sistemin yörunge dönemi bu hörgüler ile belirlenir. Parlak lekenin gecikmiş ışınımı veya onun çevresinden kaynaklanan ışınım ise ara hörgüç olarak görülür. Diskin farklı bölgelerinden kaynaklanabilen dönemsel titreşimler de sakin evre ışık eğrisinden belirlenebilir. Bu olayların tamamı VW Hyi'de görülebilir, ama diğer sistemlerde yalnızca bir kısmı görülebilir. Ancak bütün bunların dışında, sık sık patlayan bu sistemler, patlama anında ortaya çıkan olayları sadece ışınım gücünde bir artış şeklinde değil başka biçimlerde de gösterebilir. Bunlar yapılan çalışmalarda gerek kütle kaybı, gerek açısal momentum kaybı şeklinde incelenmektedir. Her ne kadar patlama sırasında atılan maddenin büyük bir kısmı beyaz cüce Roche lobu içerisinde kalıyorsa da, Lz Lagrange noktasından kaçabilecek maddenin sisteme nasıl bir etki yaratacağı önemli bir çalışma konusudur. Patlama evresindeki şiddetli olaylar arasında farkedilemeyecek bu etki, sistemin sakin evresinde yapılacak gözlemlerde ortaya çıkabilir. Örneğin, Lz Lagrange noktasından kaçıp sistemin çevresini sarabilecek ortak bir zarfin, veya asimetrik olarak gözlem doğrultusunda yer alan optik olarak ince bir gazın, fotometrik gözlemlerde sistemin parlaklığını biraz sönükleştirmesi, hörgüç şiddetinde azalmaya neden olması ve parlamaların şiddetine de aynı şekilde bir azalma olarak farkedilmesi, ya da bunun tersine sistemin ışınımına bir katkıda bulunması gereklidir. Tayfsal olarak eğer böylesine ince bir madde yine gözlem doğrultumuzla aynı yönde ve asimetrik olarak yer almış ise tayflarında bu da farkedilebilir. Kataklismik değişen yıldızlardaki kütle kaybının belirlenmesini uydu ile yapılan morötesi gözlemlerine borçluyuz. Yukarıda sözü edildiği gibi bir etkinin hiç olmazsa P Cygni tipi profillerle bu yıldızların morötesi tayflarında gözlenebilmesi gereklidir.

Bu etkilerin araştırılabilmesi için, VW Hyi'nin sakin evrede yapılacak gözlemlerinin optik, morötesi ve fotometrik olarak eş-zamanlı bir şekilde yapılabilmesi gereklidir. Ancak, VW Hyi'nin sonük ($M_{VW} = 14$ kadir) ve bir güney yarıküre yıldızı olması bir projeye katılarak gözlem yapılmasını gerektirmektedir. Bu durumda, ancak

VW Hyi için yapılan çalışmalardan yararlanılabilir. İflave olarak hem cüce novalar ve hem de genel olarak kataklismik değişenler içerisinde benzeri özellikler gösteren sistemlerle bir karşılaştırma yapılabilir.

Kataklismik değişen yıldızlar arasında en iyi çalışılmış yıldız olan VW Hyi'nin, hala çözüm bekleyen önemli problemleri vardır. Bunlar arasında süper patlama sırasında gözlenen süper-hörgüçlerden elde edilen sistemin dönme dönemi ile normal hörgüçlerden elde edilen dönem arasındaki farkın nereden kaynaklandığı, patlamalarının hangi modele dayandırılabileceği, süper patlamasının oluşum mekanizması, patlamalarda optik akının morötesindeki akıdan çok önce yükselmeye başlaması, beyaz cüce kütlesi gibi problemler sayılabilir. Ancak bunun yanısıra bu sisteme ait bazı parametreler (yörünge eğimi ve beyaz cüce kütlesi gibi) yalnızca bir çalışmadan bulunduğu haliyle kabul edilmiş kullanılmaktadır. Bu nedenle VW Hyi'nin özelliklerini anlamak için aynı alanda yapılan çalışmaların birden fazla olmasına gerek vardır. Optik bölgede yapılan tayfsal çalışmaları çok fazla değildir. Bunlar, Schoembs ve Vogt (1981), Hassall ve ark. (1983), Schwarzenberg-Czerny (1985) ve bu çalışma içerisinde yer alan spektroskopik gözlemlerdir. Schoembs ve Vogt'un çalışması ile bu çalışma yöntem bakımından benzerdir ve yine bu iki çalışma arasında ortaya çıkışın daha önce yayınlanan farklılar kısaca aşağıda verilmiştir (Tablo 1). Aynı şekilde sonuçların diğer kataklismik değişen yıldızlar, PHL 227, V 2051 Oph, LX Ser., RW Tri, WZ Sge ve Z Cha ile yapılan kaba bir karşılaştırması, giriş kısmında belirtilen kaynaklarda verilmiştir.

Optik bölge tayfasal çalışmaların sistemin hangi evrelerinde yapıldığı ve nelerin elde edildiği kısaca aşağıda özetlenmiştir. Böylece sisteme ait yeni bazı özelliklerin olup olmadığı anlaşılabılır. Aynı özetleme morötesinde yapılan çalışmalar içinde yapılacaktır. Tablo 2'de optik tayfsal gözlemlerin ayrıntıları verilmiştir. Şekil 1'de topluca bu tayflar görülmektedir.

2. VW HYİ İÇİN YAPILAN OPTİK VE TAYFSAL BÖLGE SPEKTRULARININ İNCELENMESİ

Schoembs ve Vogt (1981)'un çalışmasında, sakin evre tayflarında, H α , H β ve HeI λ 5051 ve λ 5876 kuvvetli salma çizgileri olarak görülür. Balmer çizgileri genellikle çift maksimumludur. Süper patlama evresinde maksimum parlaklıklarda oldukça geniş soğurma çizgileri görülür. Patlamadan sonraki hızlı azalma esnasında

salma çizgileri minimum evresi başlayıncaya kadar süreklilik özelliği gösterir. Patlamanın en son azalma evresinde FeII λ 5163, λ 5169, λ 5316 çizgileri salma olarak görülürler. Dikine hız genliği ve toplam çizgi genişliğinden yararlanarak yörunge eğimi 60° olarak belirlenmiş. Baş yıldızın kütlesi $0.6 M_\odot$ ve $q = M_1/M_2 = 6$ olarak bulunmuş. Bu sonuçların irdelenmesinden sakin evre boyunca halka şeklinde biçimlenmiş olan diskin iç sınır yüzeyi 10 beyaz cüce yarıçapına eşit olarak bulunmuş. Beyaz cüce yüzeyine doğru maddenin yükselmesi ile oluşan patlama esnasında, beyaz cüce yüzeyi ile halka arasındaki bu bölge optik olarak kalın madde tarafından doldurulmaktadır. Bu çalışmadan çıkan diğer önemli bir sonuç, daha önce Papaloizou ve Pringle (1978) tarafından ileri sürülen, beyaz cücenin kuvvetli manyetik olduğu ve P_o dönemi ile döndüğü, sistemin gerçek dönme döneminin ise süperhörguç dönemine (P_{s}) eşit olduğu modelinin geçerli olmadığınıdır. Nitekim sistem çok düşük çizgisel ve dairesel polarizasyon göstermektedir, bu da beyaz cücenin kuvvetli manyetik olmadığını göstermektedir. Ayrıca süpermaksimum evresinde süperhörguç dönemi değişmektedir (Vogt 1974, Haefner ve ark. 1979). Bu da Papaloizou ve Pringle'in modelini desteklememektedir. Ayrıca belirlenen salma çizgilerinin şiddetlerinin süperpatlama evresinde değiştiği belirlenmiştir.

Hassall ve ark. 1983'nin çalışması ise, esas olarak moröte ve optik bölgede olmak üzere VW Hyi'nin patlama evresinde 1200-7000 Å arasındaki eş-zamanlı gözlemlerini kapsar. Geleneksel sakin evre optik tayflarında Balmer salma çizgileri çift maksimumlu olarak ortaya çıkar. Patlamanın azalma evresine rastlayan süreklilikde, geniş H β soğurma çizgisi 300 Å'a ulaşır. Bu soğurma Balmer kesikliliğine doğru bir azalma gösterir, ama genellikle H α 'da böylesi bir soğurma görülmez. HeI λ 5875 ve λ 4471'de salma olarak görülür. SWP tayflarında cüce novaların pekçoğunda çizgiler soğurmada görüldüğü gibi burada, Ly α yaklaşık 200 Å genişlikte, SiIV, OI, CII ve NV soğurmada görülmektedir. CIV ise salma halindedir. Sakin ve ön patlama evrelerinde alınan tayflarda CIV çizgisi salmada şiddetli olarak değişmektedir. Patlamadan azalma evresinde ise MgII zayıf bir salma gösterir, Ly α , OI ve SiIV çok zayıf soğurma halindedir. Hassall ve ark.'larının bu çalışmasında tartışılan sonuçlardan biri, beyaz cüce kütlesinin kesin olmadığınıdır. Nitekim şimdije kadar çıkan sonuçlar; $M_1 \geq 0.23 M_\odot$ (Cook 1982), $M_1 \cong 0.6 M_\odot$ (Schoembs ve Vogt 1981), ve bu çalışmada $M_1 \cong 1.28 M_\odot$ dir. Diğer çok önemli bir sonuç ise, Optik olarak patlamadan sonra yarım gün geçmiş ve görsel olarak 2 kadirlik bir artış görüldüğü halde, 1200 - 1900 Å'luk morötesi bölgede bir değişme olmamasıdır. Bu

beyaz cüceden kaynaklanan çekirdeksel yanma sonucu oluşan bir patlamanın, dölayısı ile cüce novalara yaklaştırılan 'mini nova' modelinin tersini ortaya koyar. Bu gözlemlerin sonucuna göre, diskin soğuk kısımları şiddetli olarak parlamakta olsa sıcak iç kısımları bundan etkilenmemektedir. Böyle bir durum diskin en dış kenarında kütle aktarımının ani bir artışı veya akışkanlıktaki ani bir artıştan dolayı diskdeki bazı kararsızlıklardan oluşur. Artan yığılma akışkanlık zaman ölçünginde diskin içlerine doğru yayılır. Akışkanlık zaman ölçüği VW Hyi için yaklaşık 1 gün bulunmuştur. Bu çalışmanın diğer bir sonucu da, birlikte ele alınan VV Hyi yıldızında süper patlama esnasında yüksek hızlı rüzgarların belirlenmesine rağmen VW Hyi için bizim aradığımız böyle bir kanıtın bulunamamasıdır.

Schwarzenberg-Czerny ve ark. (1985)'nın çalışmasında ise, VW Hyi'nin 1200-7000 Å arasındaki eş-zamanlı gözlemleri yapılmıştır. Optik gözlemler, aynı bir patlamanın, yükselme, maksimum ve azalma evrelerini kapsar. Yükselme evresinde alınan tayf kuvvetli bir Balmer serisi ile Balmer düşmesi gösterir. HeI, $\lambda 5876$ 'da bir soğurma halindedir. 5 Ocak'daki tayfda ise, bu Balmer çizgileri ve Balmer düşmesi daha az şiddetlidir. Bu türden yanı, görelî olarak derin ve dar Hidrojen soğurma çizgileri ile kuvvetli Balmer düşmesi SS Cyg'nin patlamasının yükselme evresinde (Chalonge, Divan ve Mirzoyan 1968), ve AY Lyr (Bond 1981)'de de gözlenmiştir. Bu iki yıldızda önemli iki cüce nova'dır. VW Hyi için bu kuvvetli Balmer kesiği Strömgren (1963) tarafından, 0.32 ± 0.02 olarak ölçülmüştür. SS Cyg için bu benzer şiddetli süreksızlık 0.30 ± 0.01 dir (Chalonge ve ark. 1968). Bu olay yukarıda verilen her üç sistem için de kısa süreli bir ömre sahiptir. 8 Ocak'daki tayf kısa zaman aralığında $H\beta$ 'nın çizgi profili ve eşdeğer genişliğinde kuvvetli değişimler göstermektedir. Benzer davranış Stover, Robinson ve Nather (1981) tarafından EM Cyg için de belirtilmiştir. Ancak bir açıklama getirilememiştir. 5 Ocak'daki maksimum ve 6 Ocak'daki azalmanın başlangıcındaki morötesi tayflarında, $\lambda 1240$ NV, $\lambda 1300$ OI/SiIII, $\lambda 1400$ SiIV, $\lambda 1550$ CIV, $\lambda 1720$ NIV, $\lambda 1338$ CII, $\lambda 1640$ HeII kuvvetli soğurma çizgileri halindedir. Her iki tayfda da $\lambda 1550$ CIV çizgisinin mavi kanadı asimetriktir. 8 Ocak'daki azalmanın geç evrelerinde alınan tayfda ise, $\lambda 1550$ CIV salma halindedir. 4 Ocak'da patlamanın artış evresi esnasında alınan tayf, diğer bütün tayflardan farklıdır. Bu çalışmadan çıkarılan temel sonuçlardan biri, optik ve morötesi akılardaki farklı artışın, kütle aktarımı değişimi modeli (Mantle 1984) veya disk kararsızlığı modeli ile (Faulkner, Lin ve Papaloizou 1983, Papaloizou, Faulkner

ve Lin 1983) uyıştırulamadığıdır.

Devam eden bu çalışmada elde edilen spektrumlar ise, VW Hyi'nin yalnızca sakin evresini kapsar. Balmer serisinin H γ 'ya kadar olan çizgileri belirgin ve çift maksimumludur. Daha mavi bölge, duyarlılığın az olmasından dolayı dikkate alınmamıştır. HeI'de salma halinde görülmektedir. Diğer Özellikler Schoembs ve Vogt (1981)'un çalışması ile yapılan karşılaştırmada verilmiştir (Tablo 1).

Verbunt (1987)'un çalışmasının irdelenmesinden de; Patlama maksimumuna yükselme evresinde: Optik akının morötesi akıdan önce yükseldiği gözlenmiştir. Maksimum ve azalma evresinde: Gerek normal patlama ve gerek süperpatlamada, optik ve morötesi akının benzer olarak değiştiği gözlenmiştir. Sakin evrede: Bütün dalgalanmalarındaki sürekli akışı gelecek patlamaya kadar azalmaya devam etmektedir. Ayrıca sakin evrede alınan morötesi akının önemli bir miktarı beyaz cüceden kaynaklanmaktadır (Mateo ve Szkody 1984).

Verbunt ve ark. (1987) tarafından yapılan diğer bir morötesi çalışmada daha fazla tayf kullanılmıştır. 3 Eylül ve 10 Ekim 1984 tarihlerinde alınan toplam 60 düşük ayırma gücü tayf kullanılmıştır. Bunlardan 33 tanesi SWP ($\lambda\lambda$ 1900-3200) ile alınmıştır. İlave olarak, süperpatlama evresinde SWP ile alınmış bir yüksek ayırma gücü tayf'da değerlendirilmiştir. 3,10,13,18 ve 21 Eylül'de ve 12 Ekim'de alınan tayflar sakin evresine, 7 ve 8 Kasım'da alınan tayflar normal patlamanın azalma evresine, 21 Eylül'deki patlama maksimumuna aittir. 23 Ekim ve 5 Kasım arasındaki ise süperpatlamanın yükselme, maksimum ve azalma evrelerine aittir. Bu süperpatlama VW Hyi için IUE ile gözlenen ilk süperpatlamadır. Bu çalışmadan elde edilen önemli bir sonuç süperpatlama maksimumu evresinde elde edilen yüksek ayırma gücü tayfda moröte rezonans çizgileri yaklaşık 400 Km/s'lik bir maviye kayma göstermektedir. Ayrıca normal patlama sonrası bir haftalık süre içerisinde akılarda kuvvetli azalma gözlenmektedir. Bu azalma sakin evre boyunca daha az olarak devam etmektedir. Bu olayın, cüce nova patlamalarında bileşen yıldızdan gelen madde miktarındaki değişmeden kaynaklandığı savunulmuştur (Verbunt ve ark, 1987). Ayrıca, bu çalışmada, morötesi akının önemli bir kısmının sakin evre boyunca beyaz cüceden geldiği bir kez daha ortaya konulmuştur. Gerek süper, gerek normal patlama aki dağılımlarının AY Lyr ve bazı Z Cam sistemleri ile büyük benzerlik gösterdiği ifade edilmiştir. Ayrıca, bu çalışmada kullanılan tayflardan bazılarda Tablo 3'de ayrıntıları verilen ve Şekil 2'de de tayfları gösterilen bu çizgiler P

Cygni profilleri göstermektedir. AAVSO tarafından yapılan fotometrik gözlemlerde şeklin en altında yer almaktadır. P Cygni profilleri normal patlamadan sonraki sakin evre ile takip eden süperpatlama evrelerine rastlamaktadır.

Farklı bir çalışmada bulunan önemli bir sonucu dikkate alırsak, Van der Woerd (1986) tarafından yapılan bu çalışmada, süperpatlama evresinde VW Hyi bol miktarda yumuşak x-ışını yayınlayan bir sistem olarak belirlenmiştir. Bu x-ışınları görelî olarak soğuk bir sınır tabakadan (10^5 K) ve optik olarak ince sıcak bir koronadan (10^6 - 10^7 K) gelmektedir. Van der Woerd, bu sıcak koronanın aynı zamanda sistemi çevrelediğini teklif etmiştir. Sistemin bu durumu Şekil 3'de gösterilmiştir. Devam eden bu çalışmada, yukarıda çalışılmış olan IUE tayflarına ilave ve bir kısmı da bu tayfları içeren, 1979-1984 yıllarını kapsayan ve sistemin farklı evrelerinde alınan 107 düşük ayırma gücü, 2 yüksek ayırma gücü (birinci 54 farklı tayftan oluşan) tayf incelenmektedir.

VW Hyi'nin bu araştırması yapılrken, yanlışca tayfları değil fotometrik çalışmaları da önemlidir. Burada kısaca belirtmek gerekirse öncelikle, bu çalışmanın tayflarının alındığı tarihlerde yapılmış eş-zamanlı fotometrik gözlemlerine rastlanmadı. Ancak bu gözlemlerden yaklaşık bir hafta sonra normal patlamasının çıkış ve iniş kollarında alınan iki fotometrik gözlem sonucu yeterince açık bir bilgi sağlanmadı. Sadece dönemsel hörgüçlerden sistemin kaba bir dönme dönemi ve hörgüç genlikleri elde edilebildi. VW Hyi'nin diğer fotometrik gözlemleri incelendiğinde aranacak olanlar şunlar olmalıdır: Sakin evrede eğer sıcak leke parlak ise, o zaman dikine hız eğrilerinin yarı-genlikleri (K) küçük olmalıdır. Çünkü bu eğrilerin çizildiği salma çizgilerinin bölgesi, kütle merkezine daha yakın olacaktır. Eğer sıcak leke çok küçükse (bu aynı zamanda madde aktarımının da çok az olduğunu gösterir) o zaman salma bölgesi beyaz çuceye daha yakın ve dolayısıyla K daha büyük olacaktır. VW Hyi'nin yapılan çalışmalarдан bulunan ışık eğrileri bu açıdan da incelenecektir.

Tablo 1. Schoembs ve Vogt (1981) ile bu çalışmada bulunan sonuçların karşılaştırılması.

Schoembs ve Vogt	Bu çalışma
H α VdSini = 1120 Km/s	1554 Km/s
H β	1653
H γ	1522
H α , K ₁ = 84 ± 13 (aynı çalışmada E. J. Zuderwijk tarafından verilen değer)	
H α , K ₁ = 78 ± 14 Km/s	39 ± 11 Km/s
H β ,	85 ± 23
H γ ,	113 ± 59
M ₁ /M \odot = 0.63 ± 0.15	1.28 ± 0.11
q = M ₁ /M ₂ = 6 ± 1	6.42 ± 0.3
Sistem hızı γ = 0	H α , γ = -79 ± 8 Km/s
i = 80° ± 10	H β , 83 ± 17 H γ , 63 ± 41 30° ± 10

Tablo 3. VW Hyi'nin IUE tayflarından elde edilen P Cyg profilleri (Verbunt ve ark. 1987)

JT	SWP	Çizgi	Poz süresi	Dönemi
2445983.355	24157	CIV λ 1549	1200 s	0.35
2445986.338	24166	SIIII λ 1300	2700 s	0.51
2445998.356	24284	CIV λ 1549	30 s	0.89
2446010.098	24390	CIV λ 1549	900 s	0.99

Tablo 2. VW Hyi'nin optik bölge tayfsal gözlemlerinin ayrıntıları.

Schoembs ve Vogt (1981)

Teleskop	Cassegrain odak 3.6 m ESO
Tayfçeker	Boller-Chivens (ayırma gücü 171 A/mm)
Poz süresi	5 dakika, dalgaboyu aralığı 4000-7000 Å
Fotoğrafik Tayf.	Carnegie görüntü tüpü, IIIa-J plakları, ayırma gücü 78 A/mm
Poz süresi	10 dakika, dalgaboyu aralığı 4700-6700 Å
Tayflar	Tek tayf 1978, Eki. 27. 340 GZ, Süper patlamanın parlak evresi sırasında (IDS). İki tayf, Süperpatlamadan azalma evresi sırasında, 1978, Kas. 5. 303 GZ ve Kas. 7. 200 GZ., 1978, Kas. 6, 11 Spektrum. JT 2443873, 20 tayf (IDS), JT 2443874, 24 tayf (IDS).

Hassall ve ark. (1983)

Teleskop	Cassegrain odak, 3.9 m AAT
Tayfçeker	RGO (ayırma gücü 7 A/mm)
Dalgaboyu aralığı	3300-6600 Å.
Tayflar	1979, Oca. 9, Patlamadan azalma evresinde, poz süresi 10 dakika, 1 tayf. 1979, Ara. 29, Sakin evrede, poz süresi 20 dakika, 1 tayf. 1980, Ara. 30, Optik akının yükselme evresi, poz süresi 8 dakika, 1 tayf.
Teleskop	Cassegrain odak, 1.9 m SAAO
Tayfçeker A/mm)	Radcliff unit (ayırma gücü 10
Tayflar	1980, Ağu. 8, sakın evrede, poz süresi 17 dakika. 1 tayf.

Schwarzenberg ve ark. (1985)

Teleskop	Cassegrain odak, 3.9 m AAT
Tayfçeker	RGO (ayırma gücü 5 A/mm)
Dalgaboyu aralığı	3300-6600 Å.
Tayflar	1982, Oca. 4, poz süresi 27 dakika, Oca. 5, 27 dakika, Bu iki tayf normal patlamanın yükselme evresinde, Oca. 6, 18 dakika, Oca. 8, 33 dakika, bu iki tayf da normal patlamanın azalma evresinde alınmış.
Bu çalışma	
Teleskop	Cassegrain odak, 1.52 m ESO
Tayfçeker A/mm)	Boller-Chivens (ayırma gücü 172
Dalgaboyu aralığı	3600-7200 Å.
Tayflar	1985, Ara. 5, 10 tayf, Ara. 6, 13
Tayf, poz süresi bütün tayflar için ortalama 8 dakika ve hepside sakın evre	

3. SONUÇLAR

Yukarıda ele alınan makalelerden en önemli sonuç olarak, VW Hyi'nin bazı tayflarında P Cygni profillerinin gözlenmesi ve x-işinleri bölgesindeki incelemeye sistemi çevreleyen sıcak bir koronanın teklif edilmesidir. P Cygni tipi profiller VW Hyi için alışılmış bir davranıştır. Gözlenmiş olması ve özellikle bu yıldızın herhangi birkaç gözlem anında ve çeşitli yörunge evrelerinde gözlenmiş olması, yukarıda giriş bölümünde belirttiğimiz iki farklı çalışma arasındaki sonuçların farklılığını açıklamasına yardımcı olacaktır. Pek çok spektrumu alınmış böyle bir sistemin yalnızca belli bir zamanında gözlenmiş P Cygni profili, belli bir zamanda buna neden olan maddenin sistemi çevrelediğini gösterir. Ayrıca, x-işinleri bölgesinde yapılan çalışmadan teklif edilen sistemi çevreleyen böyle sıcak bir koronanın etkisinin uzun süre etkili olabileceğini, dolası ile sistemin patlamasının bitmesinden sonra bile bazı etkilerin kalıcı olabileceğini gösterir.

Teşekkür

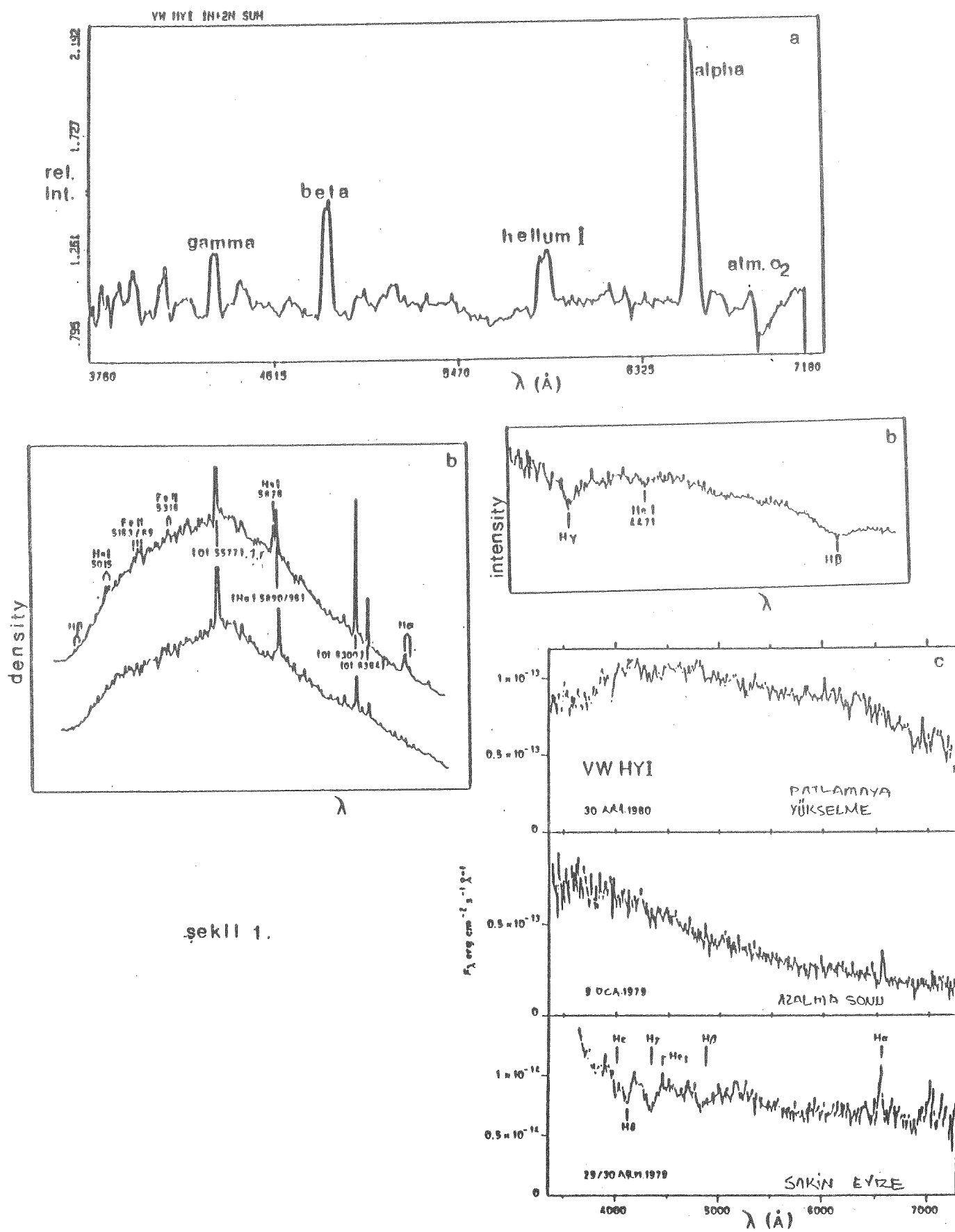
Bu çalışma İstanbul Üniversitesi Araştırma Fonu tarafından Fen 335/041287 kod ve numaralı proje içerisinde desteklenmektedir.

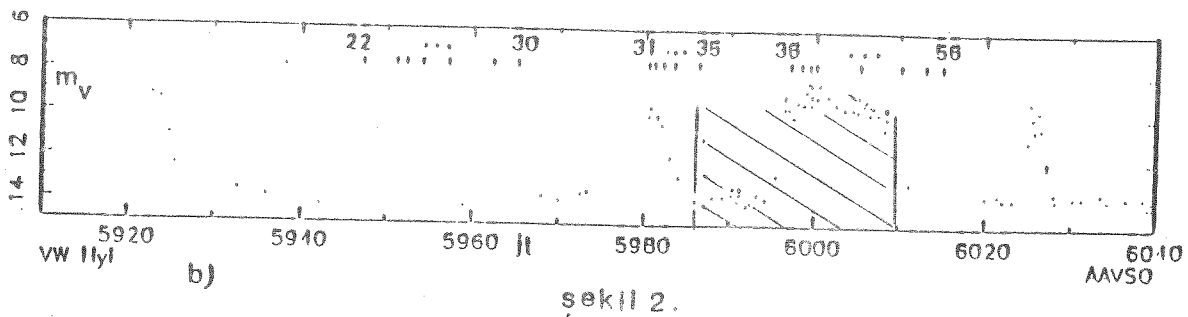
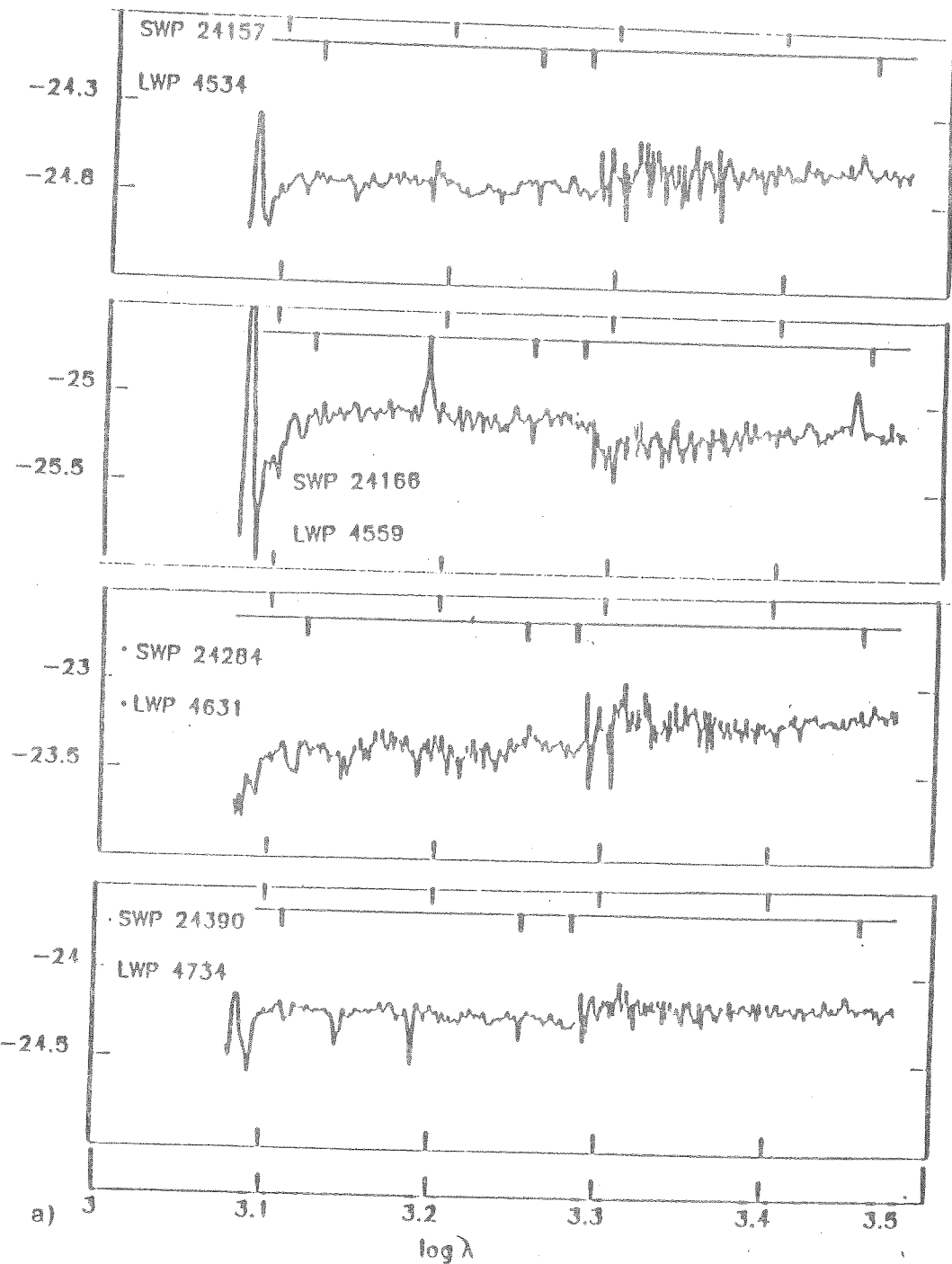
Şekil alt yazıları;

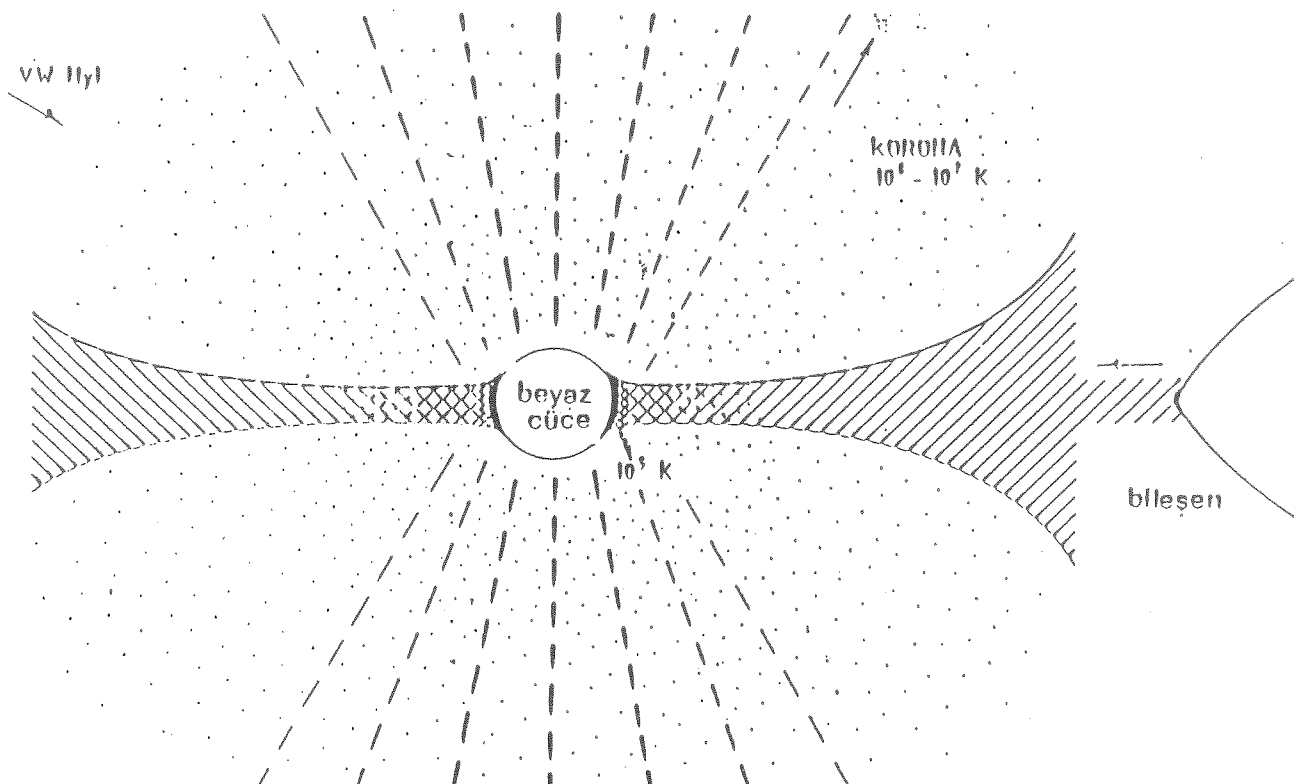
Şekil 1. VW Hyi'nin farklı çalışmalarda ele alınmış tayf örnekleri. a) Bu çalışma, b) Schoembs ve Vogt (1981), c) Hassall ve ark. (1983).

Şekil 2. a) P Cygni profilleri (Verbunt ve ark., 1987), b) Bu tayfların alındığı tarihlere karşılık ışık eğrisi. Tayflar ışık eğrisinde taralı alan olarak gösterilen bölgede alınmış olup, normal patlama sonrası sakin evre ile süperpatlama evresini kapsar (la Dous, 1989).

Şekil 3. VW Hyi'nin süperpatlama evresinde yumuşak x-işinleri ve sistemi çevreleyen korona (van der Woerd, 1986).







sekil 3.

KAYNAKLAR

- Bond, H. E., 1981, Santa Cruz Summer Workshop in Astronomy and Astrophysics.
- Chalonge, D., Divan, L., Mirzoyan, L. V., 1968, Astrofizika, 4, 603
- Cook, M. C., 1982, PhD thesis, University of Cambridge
- Faulkner, J., Lin, D. N. C., Papaloizou, J., 1983, MNRAS, 205, 159
- Haefner, R., Schoembs, R., Vogt, N., 1979, A. A., 77, 7
- Hassall, B. J. M., Pringle, J. E., Schwarzenberg-Czerny, A., Wade, R. A., Whelan, J. A. J., 1983, MNRAS, 203, 865
- La Dous, C., 1989, An Atlas of Low Resolution IUE Spectra of Dwarf Novae and Nova-Like Stars
- Mantle, V., 1984, PhD thesis, Oxford University
- Mateo, M., Szkody, P., 1984, Astr. J., 89, 863
- Papaloizou, J., Pringle, J. E., 1978, A. A., 70, L65
- Papaloizou, J., Faulkner, J., Lin, D. N. C., 1983, MNRAS, 205, 487
- Saygaç, A. T., 1989, IBVS No. 3340
- Schoembs, R., Vogt, N., 1981, A. A., 97, 185
- Schwarzenberg-Czerny, A., Ward, M., Hanes, D. A., Jones, D. H. P.
- Pringle, J. E., Verbunt, F., Wade, R. A., 1985, MNRAS, 212, 645
- Stover, R. J., Robinson, E. L., Nather, R. E., 1981, Ap. J. 248, 696
- Stromgren, B., 1963, Basic Astronomical Data. p. 123. ed.
Strand, K. Aa. Chicago University Press.
- Van der Woerd, H., 1987, Astrophys. Space Sci., 130, 225
- Verbunt, F., 1987, Astron. Astrophys. Suppl. Ser., 71, 339
- Verbunt, F., Hassall, B. J. M., Pringle, J., Warner, B., Marang, F
MNRAS, 225, 113
- Vogt, N., 1974, A. A., 36, 369

E.DERMAN: Beyaz cücenin kütlesini tayin etmişsiniz, nasıl tayin ettiğinizi göremedim.

T.SAYGAC: Burada veremedim, daha önceki bir çalışmada verilmişti. Çok fazla detay olacaktı ve 15 dakikaya süzmazdı.

E.DERMAN: Görsel spektrumdan yararlanarak mı?

T.SAYGAC: Evet.

E.DERMAN: Anladığım kadarıyla iki spektrumunuz vardı.

T.SAYGAC: İki içinde toplam 23 spektrum var.

E.DERMAN: Tüm evreyi tariyor yani.

T.SAYGAC: Evet buradaki spektrum da 23 spektrumun üstüste toplanmasıyla elde edilen tek bir spektrum olarak gösteriliyor. Tüm evreyi tariyor.

E.DERMAN: ikinci olarak, $H\alpha$, $H\beta$, $H\gamma$ da verdığınız γ hızlarının (-) ve (+) olmasına herhangi bir yorum getirmeden bırakınız mı? Yorumunuz var mı?

T.SAYGAC: Henüz bu yorumları burada söyleyebilecek durumda değilim. Son derece dağınık, diğerleriyle bağlanması gerekiyor.

E.DERMAN: Yorumlar dağınık değil. Gayet güzel anlattınız.

T.SAYGAC: Diğerleriyle bağlanması gereklidir. Sadece Wien kanunundan yola çıkarak $H\alpha$, $H\beta$ ve $H\gamma$ nin hangi sıcaklık bölgelerinde oluştuğuna bakacak olursak, hepsi de aşağı yukarı disk içinde kalıyor. Hepsi disk içerisindeki bölgelerde oluşuyor ama $H\alpha$ -79 km/sn'lik bir γ hızını nasıl gösteriyor, $H\beta$ ile $H\gamma$ birisi 83 diğer 63 km/sn'lik γ hızlarını nasıl gösteriyor?

E.DERMAN: Çizgilerin oluşum bölgelerini de düşünerek belki bir yorum getirebilirsiniz. Bize düşük dispersiyonlu IUE tayflarında P Cygni profilleri gösterdiniz. Düşük dispersiyonlu tayflarla çalışırken çok dikkat etmek gerekiyor. Bunlardan sadece en alttaki P Cygni tipi bir profil, diğerlerini gürültünün içerisinde kalan bilgiler olarak alırsanız daha yararlı olur sanırım.

T.SAYGAC: Aslında haklısınız fakat şunu göstersem belki biraz daha iyi olacak(bildirideki spektrum). Bu bizim şu anda çalıştığımız spektrumlar, diğer La Dous'un kataloğundan alınmış. Onlar, akılarda bir katsayı kullandıkları için spektrumlar oldukça basık kalıyor. Burada görmek birhayli zor belki ama bu P Cygni profillerini Verbunt da vurgulamış ve bazilarının mavi bölgede 400 km/sn'lik hızlara sahip olduğunu söylüyor. Yani Verbunt da çalışagina göre bunları ister istemez göz önünde tutmak zorundayız.

N.KIZILOGLU: Süper patlama nedir acaba, nasıl oluyor?

T.SAYGAC: Nasıl olduğu bilinmiyor. Fakat normal patlamalar için iki model var. İlk, bileşen yıldızdan gelen madde miktarındaki ani değişikliğin neden olduğu patlamalar. İkincisi ise, diskin viskozitesindeki ani değişimden neden olduğu patlamalar. Normal patlamalardan 1 kadir kadar daha parlak olan süper patlamaların tetikleyici mekanizması olarak bir önceki normal patlama kabul edilebilmektedir.

GK PER'İN MOROTESİ SPEKTRUMU*

Hasan H. ESENOĞLU

İstanbul Üniversitesi, Fen Fakültesi,
Astronomi ve Uzay Bilimleri Bölümü,
34452 Üniversite-İstanbul

Özet. GK Per (Persei, HD 21629), yaşlı novalardan olup kataklismik değişenler içerisinde uzun peryodlu iki sisteminde bir tanesidir. Yüksek eksite emisyon çizgilerine rağmen morotesi kontinyum nadir olarak zayıf ve düzdür. Uzun dalgaboyu spektrumunda 2798-2802 Å'da MgII'nin kuvvetli rezonans çizgisi mevcuttur. Bu kromosferik çizgi diğer novalarda gözlenmemiştir. Ayrıca Lyα, HeII, CIV, NV ve NIVI de belirgin emisyon çizgileridir. Baş yıldız beyaz cüce olup, bileşen yıldız KO spektrel tipinden bir alt dev'dir. Uzaklılığı en iyi bilinen sistemdir. Bu makalede, GK Per'e ait SWP, LWP ve LWR'den toplam 28 spektrum üzerinde çalışılmıştır. Kataklismik değişen çift yıldızlarda ortaya çıkan spektrel çizgilerin identifikasiyonu yapıldıktan sonra aki-dalgaboyu ve faz-çizgi sayısı arasındaki ilişkiler araştırılmıştır.

1. Giriş

Kataklismik değişen çift yıldızlar içerisinde cüce nova ve nova benzeri yıldızlardan sonra en kalabalık sınıfı klasik novalar oluşturmaktadır. Bundan dolayı novalar üzerinde yapılan çalışmalar önem arz etmektedir. Novaların parlaklıkları 7^m ile 16^m arasında değişmekte olup, ışık eğrilerindeki farklılıklar gözönüne alınarak üç sınıf tanımlanmıştır (Hoffmeister, Richter, Wenzel, 1985); hızlı novalar (Na), yavaş novalar (Nb) ve çok yavaş novalar (Nc). GK Per hızlı novalar grubuna girer. Hızlı novaların ışık eğrilerine bakıldığında yükselme çok diktir ve bir yada çoğu zaman bir kaç gün sürer. Iniş, en çok 110 günlük bir zamanda tamamlanır ve bu arada parlaklık 3^m kadar azalır.

GK Per aynı zamanda yaşlı nova olup 1901 yılından beri bilinmektedir ve bu yıldızla ilgili günümüzde kadar pek çok çalışma yapılmıştır. Rosino ve ark. (1982), GK Per'in morotesi bölgedeki SWP 6623 ve LWR 5685 numaralı spektrumlarını incelemiştir. HeII, MgII, CIV, NV ve yarı yasak NIVI emisyon çizgisinin yarıdeğer ve eşdeğer

* Bu çalışma Fen 335/041287 kod ve numaralı proje çerçevesinde İ.Ü Araştırma Fonu tarafından desteklenmiştir.

genişliği ile sürekli spektrumun şiddetini hesaplamışlardır. Diğer yaşlı novalarda gözlenmeyen MgII'nin geç tip bileşenin kromosferik aktivitesinden dolayı olabileceğini söylemiştir. Bianchini ve Sabbadin (1983), GK Per'in patlama peryodu üzerine çalışmışlardır. Patlamalar yarı periyodik olarak ~400 günlük aralıklarla tekrarlar ve bir patlama 50^d - 100^d devam eder. Parlaklık değişimini de $1''$ - $3''$ dir. Crampton ve ark. (1986), GK Per'in yörunge peryodu üzerinde çalışmışlardır. Spektroskopik gözlemlerden yörunge peryodunu $P=1.996803 \pm 0.000007$ olarak bulmuşlardır. Wu ve ark. (1989), GK Per'in 20 adet spektrumunu spektroskopik ve fotometrik olarak incelemiştir. GK Per'in bir toz bölgesini içermesi gerektiğini ve bundan dolayı morötesi akının sona erdiğini bildirmiştirlerdir. Bu çalışmada, GK Per'in düşük dispersiyonlu IUE spektrumları ele alınmıştır. Sistemin özellikleri Çizelge I'de özetlenmiştir.

Çizelge I
GK Per ile ilgili veriler.

Alternatif isim	N Per.1901	(1)
Koordinatlar: a (1980)	$3^h 27^m 47.^s_2$	(1)
δ	$43^\circ 44' 04'' 4''$	
Tipi	NA, DN, DQ, XS	(1)
Minimumda max. parlaklığι	$10.^m_2$	(1)
Minimumda min. parlaklığι	$14.^m_0$	(1)
Patlamada max. parlaklığι	$0.^m_2$	(1)
Patlama peryodu	Yarı periyodik, 400^d 50^d - 100^d	(2)
Patlama süresi	1.996803^d	(2)
Yörunge peryodu: P	$351.^s_{34}$	(1)
Beyaz cücenin peryodu		
Spektroskopik çiftin tipi	Çift çizgili spektroskopik sistem	(1)
Bileşenin spektral tipi	KO IV	(1)
M ₁ / M ₂	3.6 ± 0.5	(1)
Sistemin eğimi: i	$<73^\circ$	(1)
Baş yıldızın kütlesi	$0.9 \pm 0.2 M_\odot$	(1)
Bileşen yıldızın kütlesi	$0.25 M_\odot$	(1)
Rengi: B-V	$0.^m_{81}$	(3)
U-B	$-0.^m_{50}$	(4)
Renk eksesi: ECB-V	$0.^m_2$	(4)
Uzaklığı: d	490 pc	(3)

NA: Hızlı nova
DN: Cüce nova
DQ: DQ Her yıldızı
XS: X-işinim kaynağı

(1) Ritter, (1987).
(2) Bianchini ve
Sabbadin, (1983)
(3) Schaefer, (1988).
(4) Bruch, (1984).

2. Gözlem Materyali

Çalışmamızda kataklismik çift yıldızların 1979-1987 tarihleri arasında IUE uydusuna bağlı SWP (Short Wavelength Prime), LWP (Long Wavelength Prime) ve LWR (Long Wavelength Redundant) kameraları ile elde edilen morötesi (1200-3150 Å) spektrumlarını kullandık. Kısa ve uzun dalgalaboyalarının üç kısımları gürültülü olduğundan dataların bu kısımları alınmamıştır. Spektrumlarda işaretelli bölgeler emisyon veya absorpsiyon biçiminde bile olsa, başka nedenlerle oluşan hatalardır. Bu sebeple, spektrumlardaki bu bölgeler değerlendirmeye dışı bırakılmıştır. Çalıştığımız spektrumlarda dispersiyon 2 Å/mm^{-1} dir.

Spektrumlardan çizgi idantifikasiyonu yapılrken yıldızın görüm doğrultusu boyunca hareketininin göz önünde bulundurulması gereklidir. Bu harekette, Arz'ın yörünge hızı (30 km/s) ile uydunun dünya çevresindeki yörünge hızı (4 km/s) etkindir. Birincisi, spektrumda en fazla $\pm 0.3 \text{ Å}$ 'lık bir Doppler kaymasına neden olur. ikinci etki 0.04 Å olup diğer hataların yanında küçük olmasından dolayı önemli bir rol oynamaz. Arz'ın yörünge hızı, sadece düşük dispersiyonlu spektrumlara göre daha duyarlı olan yüksek ayırma gücü spektrumlarda gözönüne alınır (IUE-Image Processing Information Manual V.2, p.8-18, 1987). Çalıştığımız spektrumlar düşük ayırma gücü olduğundan bu etki çizgi idantifikasiyonunda dikkate alınmamıştır.

GK Per'in bu çalışması, kısa dalgalaboyalarında SWP (1150-1975 Å) ile uzun dalgalaboyalarında LWP ve LWR'den (1950-3150 Å) alınan toplam 26 spektrumdan oluşmuştur. Spektrumların alınış tarihleri, poz süreleri ve fazları farklıdır. Çizelge II'de spektrumların özellikleri verilmiştir. Faz hesabı gözlem sürelerinin ortasında,

JD Hel. 2444 912.966+1.996803 E
değerleri kullanılarak yapılmıştır (Crampton ve ark. 1986).

3. Spektrum

3.1. ÇİZGİ İDANTİFİKASYONU

GK Per'in morötesi bölgede (1200-3150 Å) tesbit edilebilir görünümdeki emisyon çizgilerinin idantifikasiyonunu yaptık. Bu işlem için C.E. Moore'un katalogundan yarılandık. Kullandığımız datalar düşük dispersiyonlu olduğundan, poz süresince Arz'ın hareketinden doğan radyal hız değerleri gözönüne alınmamıştır. Doğrudan doğruya, datalarda mevcut olan dalgalaboyalarından gözlemsel dalgalaboyu (λ_{obs}) değerleri elde edildi. yıldızların bilinen spektrumlardan farklı olarak, kataklismik çift yıldızların morötesi spektrumlarda çizgi sayısı oldukça azdır. Bu yıldıza ait SWP 13, LWP 9 ve LWR'den de 4 adet olmak üzere toplam 26 spektrum üzerinde çalışıldı. Çizelge III de idantifikasiyonu yapılan çizgiler verilmiştir ve

bu çizgilerin 8 farklı elemente ait olduğu görülmektedir. Büyük çoğunluğu sırasıyla Lyα, CIV, Nv, HeII, MgII ve SiIV'e ait olup Lyα oldukça kuvvetli emisyon çizgisidir.

GK Per'in spektrumlarında görülen çizgilerin literatürde bilinen çizgiler olması çizgi idantifikasiyon işlemini kolaylaştırmıştır. Bununla beraber, LWP'lerin tamamında ve LWR 991'i spektrumunda gözlemeden karışıklık idantifikasiyonda zorluk çıkarmaktadır. Spektrumlarda işaretli kısımlar idantifikasiyonda gözönüne alınmayan hatalı datalardır. Ayrıca, LWR spektrumlarında dikkati çeken 2200 Å'daki pik, yıldızlararası söñümleme çizgisidir (Meyer ve Savage, 1981).

3.2. MONOKROMATİK AKI

GK Per'in 1200-3150 Å arasındaki spektrel bölgeyi içeren spektrumları üzerinde ölçülebilir görünümdeki emisyon çizgilerin idantifikasiyonunu yaptıktan sonra, bu çizgilerdeki monokromatik ağıt,

$$F_\lambda = \frac{FN}{t} S_\lambda^{-1}$$

bağıntısı ile hesaplanmaktadır. Bu formül düşük dispersiyonlu spektrumlar için geçerlidir. Burada FN, IUE ağıt sayısı (Flux Number) olup, fon (background) ve dalgaboyu eşeli için düzeltilmiştir. t, saniye cinsinden poz süresidir (Böylece FN/t, saniyedeki ağıt sayısını verir). S_λ^{-1} , aygitin düşük ayırma güçlüğü spektrumlarından çıkarılan duyarlılık fonksiyonudur.

S_λ^{-1} fonksiyonu bazı standart yıldızların düşük ayırma güçlüğü IUE gözlemlerinden (ESA'nın IUE Image Prosessing Information Manual, Version 2.0, 1987) elde edilmiştir. 25 ve 50 Å aralıklarla hesaplanmış olan S_λ^{-1} değerleri SWP, LWP ve LWR için tablolar halinde verilmiştir. Ancak idantifikasiyonunu yaptığımız spektrel çizgilerin dalgaboyları genellikle tablodaki değerlerin arasına düşüğünden daha duyarlı sonuçlar elde etmek amacıyla lineer interpolasyon yapılmıştır.

Böylece IUE dataları (SWP, LWP ve LWR) için, spektrum üzerinde herhangi bir noktaya denk düşen monokromatik ağıtı hesaplayan bilgisayar programını hazırlayarak spektrumların çizdirilmesi sağlanmıştır. Ayrıca spektrumlara ait kontinyum eğrisi çizdirmek ve spektrel çizgilerin fona denk düşen akılarını hesaplamak için de bir program hazırlanmıştır. Burada kontinyum eğrisi için "yürüyen ortalaması" (Tokdemir ve ark., 1985) yöntemini kullandık.

GK Per'in spektrumlarında idantifikasiyonunu yaptığımız spektrel çizgi merkezlerine ait monokromatik akıları (F_λ), bu çizgi merkezlerine denk düşen sürekli fona ait akılar (F_c) Çizelge III'de verilmiştir.

ÇİZELGE II
GK Per'in Düşük Dispersiyonlu IUE Gözlemleri

Kamera	Tarih	Poz	Hel. JD	Faz	Patlama	Gözlemci
		(dakika)	(2440000+)		Evresi	
SWP 6623	79/267	180	4141.2916	.45	sakin ^a	Rosino
SWP 7102	79/310	75	4183.8282	.15	-	Wu/Raymond
SWP 8074	80/59	30	4297.7323	.11	-	Szkody
SWP 11302	81/45	60	4649.5442	.93	çıkış ^b	Wu/Raymond
SWP 13318	81/47	120	4651.8391	.77	çıkış ^b	Schiffer
SWP 13681	81/95	45	4700.0091	.65	iniş ^b	Wu/Panek
SWP 13696	81/100	170	4705.0836	.11	iniş ^b	Wu
SWP 21326	83/296	270	5631.4587	.82	-	Wu
SWP 29791	86/336	30	6767.0775	.54	-	Cassatella
SWP 29871	86/347	25	6778.1792	.10	-	Cassatella
SWP 29920	86/353	30	6784.1528	.09	-	Cassatella
SWP 30031	87/6	70	6801.8596	.96	-	Cassatella
SWP 30139	87/22	120	6817.9963	.04	-	Selvelli
LWP 9612	86/334	30	6765.2444	.62	-	Cassatella
LWP 9617	86/336	30	6767.0882	.54	-	Cassatella
LWP 9618	86/336	12	6767.1410	.57	-	Cassatella
LWP 9705	86/347	8	6778.1956	.11	-	Cassatella
LWP 9731	86/353	5	6784.1736	.10	-	Cassatella
LWP 9732	86/353	3	6784.1992	.11	-	Cassatella
LWP 9869	87/6	20	6801.8472	.95	-	Cassatella
LWP 9943	87/16	20	6811.9915	.03	-	Talavera
LWP 9989	87/22	47	6818.0840	.08	-	Selvelli
LWR 9911	81/48	60	4649.5451	.92	çıkış ^b	Wu/Raymond
LWR 9926	81/48	120	4652.6207	.38	çıkış ^b	Schiffer
LWR 10143	81/74	39	4679.0584	.14	maksimum ^b	Wu
LWR 10332	81/100	65	4705.2271	.04	iniş ^b	Wu

(a) Patlama evresi Rosino ve ark. (1982)'den alınmıştır.

(b) Patlama evresi Wu ve ark. (1989)'dan alınmıştır.

ÇİZELGE III
GK Per'in İdentifikasiyon ve akıları

λ_{lab} (Å)	$\lambda_{ölf}$ (Å)	Akı (10^{-14} erg cm $^{-2}$ s $^{-1}$ Å $^{-1}$)		
		F _c	F _λ	
SWP 6623				
1215.674	H(I)	1214.2	15.842	95.5635
1238.800	N(V(I))	1236.0	9.082	1.3679
1485-88 ¹	N(V)	1488.8	0.615	1.2024
1548.195	CIV(I)	1548.8	0.780	1.9452
1640.332	HeII(I2)	1639.4	0.641	1.9974
SWP 7102				
1215.674	H(I)	1213.2	5.173	119.5844
1242.778	N(V(I))	1245.2	5.525	1.6269
1548.195	CIV(I)	1547.8	0.647	2.2204
SWP 8074				
1215.674	H(I)	1213.2	5.204	112.8496
1YÇ		1316.4	0.618	2.4021
1485-88 ¹	N(V)	1487.2	0.585	3.5147
1550.768	CIV(I)	1553.6	0.735	2.3749
1575 ¹	[NeV]	1577.4	0.642	2.8465
1YÇ		1633.2	0.542	2.4387
SWP 11302				
1215.674	H(I)	1214.2	22.402	95.5545
1238.800	N(V(I))	1237.8	8.147	7.5065
1368 ¹	S(III)	1368.8	2.207	10.8651
1393.73	SII V(I)	1393.6	2.047	3.8010
1548.195	CIV(I)	1548.0	2.807	8.0371
1640.332	HeII(I2)	1639.0	3.411	9.3588
SWP 13318				
1215.674	H(I)	1214.2	26.083	103.3009
1238.800	N(V(I))	1239.0	9.914	8.4043
1393.73	SII V(I)	1395.8	3.957	5.3277
1548.195	CIV(I)	1549.2	5.854	9.9495
1640.332	HeII(I2)	1640.0	7.273	16.3888
SWP 13661				
1215.674	H(I)	1214.8	14.507	59.2137
1238.800	N(V(I))	1240.6	6.130	6.6638
1393.73	SII V(I)	1394.0	4.057	5.5540
1YÇ		1508.6	5.834	23.2261
1550.768	CIV(I)	1549.8	5.699	9.7697
1640.490	HeII(I2)	1640.6	6.000	10.0262
SWP 13696				
1215.674	H(I)	1214.8	17.459	72.1734
1238.800	N(V(I))	1240.6	5.733	4.7385
1393.73	SII V(I)	1394.0	2.084	3.0857
1550.768	CIV(I)	1549.8	2.667	5.6649
1640.490	HeII(I2)	1641.8	3.030	6.2994

Çizelge III'ün devamı.

λ_{lab} (Å)	λ_{obs} (Å)	Ak ₁ ($10^{-14} \text{ erg cm}^{-2} \text{ s}^{-1} \text{ Å}^{-1}$)		
		F _c	F _λ	
SWP 21326*				
1215.674	H C I D	1214.8	-	-
1550.768	C I V C I D	1552.2	0.611	1.3573
SWP 29791				
1215.674	H C I D	1215.8	23.993	65.1297
1242.778	N V C I D	1244.2	20.919	32.8949
1355.605	O I C I D	1355.2	20.582	24.6731
1393.73	S I I V C I D	1395.2	22.829	26.4712
1526.70	S I I I C I D	1526.2	28.149	32.6705
1550.768	C I V C I D	1553.4	31.901	48.2280
1593 ¹	[Ne V]	1592.2	29.977	35.9578
1640.490	He II C (12)	1644.2	41.593	80.5969
SWP 29871				
1215.674	H C I D	1213.6	22.544	49.6906
1242.778	N V C I D	1244.2	34.135	60.5955
1550.768*	C I V C I D	1553.4	56.366	78.0396
1640.490	He II C (12)	1643.0	-	-
SWP 29920				
1215.674	H C I D	1214.8	20.262	49.2890
1242.778	N V C I D	1244.2	24.096	41.3106
1550.768	C I V C I D	1553.4	39.542	57.8232
1640.490	He II C (12)	1643.0	47.866	84.6971
SWP 30031				
1215.674	H C I D	1214.8	16.343	59.4558
1238.800	N V C I D	1238.4	9.877	13.8048
1402.73	S I I V C I D	1398.8	7.336	9.6608
1548.195	C I V C I D	1546.2	11.468	20.8763
1640.332	He II C (12)	1637.0	13.441	29.9009
SWP 30139				
1215.674	H C I D	1214.8	10.531	45.7420
1238.800	N V C I D	1239.4	3.390 ²	3.7072
1550.768	C I V C I D	1551.0	2.175	5.5342
1640.332	He II C (12)	1639.4	2.423	5.6117
LWP 9612				
	Hiç bir çizgi belirlenmemiştir.			
LWP 9617				
	Hiç bir çizgi belirlenmemiştir.			
LWP 9618				
	Hiç bir çizgi belirlenmemiştir.			
LWP 9705				
	Hiç bir çizgi belirlenmemiştir.			
LWP 9731				
	Hiç bir çizgi belirlenmemiştir.			

Çizelge III'ün devamı.

$\lambda_{\text{lab}} (\text{\AA})$	$\lambda^* (\text{\AA})$	Akı ($10^{-14} \text{erg cm}^{-2} \text{s}^{-1} \text{\AA}^{-1}$)		
		F_c	F_λ	
LWP 9732				
2797. 989	MgII(3)	2796. 8	41. 306	51. 7150
LWP 9860				
2733. 34	OII(20)	2733. 4	11. 463	13. 7212
2797. 989	MgII(3)	2796. 8	11. 872	13. 9032
LWP 9943				
2802. 698	MgIIC(1)	2800. 8	3. 803	5. 1924
LWP 9989				
2802. 698	MgIIC(1)	2800. 8	2. 725	4. 2040
LWR 9911				
2797. 989	MgIIC(3)	2796. 8	3. 193	5. 8372
LWR 9926				
2797. 989	MgIII(3)	2797. 0	7. 694	6. 4546
LWR 10143*				
2795. 523*	MgIIC(1)	2795. 4	-	-
LWR 10332				
2797. 989	MgII(3)	2797. 0	3. 958	6. 4546

(*) "Reseau" olarak isimlendirilen ve yıldız'a ait olmayan hatalı çizgiler.

1YC İdentifikasiyonu yapılamayan çizgi.

(1) Değerleri Rasino ve ark., (1982)'den alınmıştır.

(2) Değerleri "Yürüyen Ortalama" dan dolayı Lyα'nın F_λ akısından etkilenmiştir.

4. Tartışma ve Sonuçlar

Çalışmamızda kataklismik çift yıldızlardan klasik nova GK Per'in sakin durumda, maksimumda, patlamadan önce ve sonraki kollarına ait spektrel davranışları incelendi. Bunun için düşük ayırma gücü, morötesi bölgesini (1200-3150 Å) içeren toplam 26 spektrum kullanıldı.

Yapılan literatür taramasında bu spektrumlardan, üzerinde çalışılmamış spektrumlari da gözönüne alarak yaptığımız irdeleme sonunda bazı gözlemeel özellikler ortaya konabilir.

Şekil 1'de örnek olarak verildiği gibi GK Per'in tüm spektrumlarında spektrel çizgiler emisyon durumundadır. Yani, GK Per'in bir emisyon spektrumu olduğu görülmektedir.

GK Per'in her bir spektrumunda az sayıda spektrel çizgi olduğundan emisyon çizgilerine ait akı değerleri ile dalgaboyunun nasıl değiştiğini söylemek güçtür. Buna

rağmen F_{λ} aki değerlerinin GK Per'in tüm spektrumlarını gözönüne alındığında dalgaboyu ile değişmediği görülmektedir. Bu durumu daha iyi belirtmek için aki, dalgaboyunun fonksiyonu olarak Şekil 2'de gösterilmiştir. Şekillerden bu yıldızın farklı tüm spektrumları için akıların dalgaboyuya değişmediği görülmektedir.

Ayrıca, bu sisteme ait akının dalgaboyu ile olan ilişkisi tespit edilirken, GK Per'in evreleri bilinenlerin yanında hangi safhada olduğunu literatürde bulamadığımız farklı patlama aşamalarını içeren spektrumlar olması da gözönünde bulundurulmalıdır. Buna göre, farklı evreleri içermesinden dolayı GK Per'deki aki-dalgaboyu ilişkisinin, patlama safhalarına bağlı olmadığı söylenebilir.

GK Per'in spektrumlarından, gözönüne alınan aralıkta sürekli fona ait F_{ν} akılarını hesapladık (Çizelge III). Bu akıdan en küçük kareler yöntemi ile elde ettiğimiz doğruları Şekil 2 Üzerine taşıdık.

Şekil 2, spektrel çizgi akılarının dalgaboyu ile bu sistemin sürekli ışınımına benzer bir değişim gösterdiği ni ortaya koymaktadır.

Gözönüne aldığımız spektrel bölgede aki değerlerini hesapladığımız bu çizgiler daha çok iyonlaşmış elementlere ($\text{N}\bar{\text{V}}$, $[\text{Ne}\bar{\text{V}}]$, SiIV , CIV , NIV), SiIII , HeII , OII , MgII) ve az sayıda da nötral elementlere ($\text{Ly}\alpha$, OI) ait çizgilerdir. En fazla sayıdaki spektrel çizgi, sırasıyla CIV , $\text{Ly}\alpha$, $\text{N}\bar{\text{V}}$, HeII , MgII ve SiIV olarak görülmektedir ki, bu çizgiler daha önce yapılan çalışmalarla uyum içersindedir (Rosino ve ark., 1982; Wu ve ark. 1989). GK Per'in aktif evresi (çıkış, maksimum ve iniş) ile sakin evre spektrumlarında her bir elemente ait toplam ve ortalama aki değerleri arasındaki farkları görebilmek için bunları hesaplayarak sonuçları Çizelge IV'de gösterdik. Burada n , her bir elemente ait çizgi sayısını göstermektedir.

Çizelge IV'den her bir elemente denk düşen gerek toplam ($\sum F_{\lambda}$) gerekse ortalama (F_{λ}) aki değerlerinin, aktif evrenin sakin evreye göre büyük olduğu açıkça görülmektedir. $\text{Ly}\alpha$ çizgisi bir jeokoronal emisyon olduğu için değerlendirilmedi.

GK Per'in spektrumlarında idantifikasiyonu yapılan çizgi sayısı faz ile karşılaştırıldığında, sistemin eğimine de bağlı olarak ($i < 73^\circ$; Ritter, 1987) çizgi sayısının beyaz cüceyi gösteren ~ 0.5 civarında arttığı görülmektedir (Şekil 3).

GK Per'in toplam 28 spektrumundan 9 tanesi çeşitli araştırmacılar tarafından incelenmiştir. Çalışılan bu spektrumların patlama evreleri sakin, çıkış, maksimum ve inişi içermektedir. 17 spektrumun Üzerinde ise herhangi bir çalışmaya literatürde rastlanılmamıştır. GK Per'e ait fotometrik veriler elimizde olmadığından bu spektrumların evrelerini belirlemek güçtür. Bununla birlikte, evreleri bilinen spektrumların kontinyum akısı ile alınış tarihleri gözönüne alınarak bir tahmin yapılabilir. Buna göre, patlama evresi bilinmeyen 17 spektrumdan SWP 7102, 8074, ve 21328 sakin evrede, diğerleri ise sakin evrede olmayıp

aktif durumda (iniş, çıkış veya maksimum) olabileceği söylenebilir.

Daha önce yapılan çalışmaları gözönüne alarak yukarıdaki tartışmadan bu sisteme ilişkin sonuçlar aşağıdaki gibi özetlenebilir.

1-GK Per bir emisyon spektrumu gösterir.

2-GK Per'in tüm spektrumları ele alındığında genel olarak monokromatik akıların dalgaboyu ile değiştiği görülmektedir.

3-GK Per'in spektrumlarında ortaya çıkan çizgi sayısı beyaz cüceyi gören ~0.5 fazında artmaktadır.

4-Çalışmamızda GK Per'in 28 spektrumundan 4'ü sakin durumda, 4 tanesi patlamadan önceki çıkış kolu 1'i maksimumda ve 3 tanesi de patlama sonrası iniş kolu na ait olduğu ve geriye kalan 14 spektrumunun da en azından sakin duruma karşılık gelmediği belirlendi.

5-GK Per'de ortalama aki, aktif evrede sakin evreye göre daha büyük olmaktadır.

Çizelge IV

GK Per'in aktif ve sakin evredeki toplam ve ortalama akılarının karşılaştırılması.

Element	n	AKTİF		SAKİN		
		$\sum F_\lambda \times 10^{-14}$	$\bar{F}_\lambda \times 10^{-14}$	n	$\sum F_\lambda \times 10^{-14}$	$\bar{F}_\lambda \times 10^{-14}$
CIV	9	243. 9225	27. 1025	4	7. 8978	1. 9744
NV	9	179. 6261	19. 9585	2	2. 9948	1. 4974
HeII	8	242. 8798	30. 3600	1	1. 9974	1. 9974

Kaynaklar

- BIANCHINI, A., SABBADIN, F., HAMZAOĞLU, E. Astron. Astrophys. 106, 178-178, (1982).
- BIANCHINI, A., SABBADIN, F., Astron. Astrophys. 125, 112-116, (1983).
- BIANCHINI, A., SABBADIN, F., FAVERO, G.C., and DALMERI, I. Astron. Astrophys. 160, 367-373, (1986).
- BRUCH, A., Astron. Astrophys. 56, 441-448 (1984).
- CRAMPTON, D., COWLEY, A.P., and FISHER, W.A., Astrophys. J., 300, 788-793, (1986).
- ESENOĞLU, HASAN H., İst. Üniv. Fen Bilimleri Ens. Yüksek Lisans Tezi (1990).
- HOFFMEISTER, C., RICHTER, G., and WENZEL, W., "Variable Star" Springer-Verlag Berlin Heidelberg, (1985).
- MEYER, D.M and SAVAGE, B.D., Astrophys. J., 248, 545, (1981).

- MEYER, F., MEYER-HOFMEISTER, E., Astron. Astrophys. 104, L.10, (1981).
- MOORE, C. E., An Ultraviolet Multiplet Table, Section 3,4,5, (1962).
- PATTERSON, J., Astrophys. J. Supp., 54, 443-493, (1964).
- RITTER, H., Astron. Astrophys. Suppl. Ser. 70, 335-367, (1987).
- ROSINO, L., BIANCHINI, A., and RAFANELLI, P. Astron. Astrophys. 108, 243-248, (1982).
- SCHAEFER, B. E., Astrophys. J. 327, 347-349, (1988).
- TOKDEMİR, F., KIZILOĞLU, Ü., DERMİN, E., Ulusal Astronomi Toplantısı Tebliğleri, Boğaziçi Univ. Kandilli Rasathanesi Yayıni, (1985).
- WADE, R. A., and WARD, M. J., Interacting Binary Stars J.E. Pringle and R.A. WADE Cambridge University Press. 130-178, (1985).
- WU, C. C., PANEK, R. J., HOLM, A. V., RAYMOND, J. C., HARTMAN and SWANK, J. H., Astrophys. J. 339, 443-454, (1989).

C. AYDIN: Bir patlama öncesinden söz ediliyor. Patlamaları nasıl tespit ettiniz, yani ne gördünüz de patlama olduğuna karar verdiniz.

H. ESENOĞLU: Patlama aşamasında, madde aktarımından dolayı emisyon çizgileri absorbsiyon oluyor. Öncelikle onun varlığına baktık, öyle bir şey yoktu. İkinci olarak da mesela bir makalede bulduğum spektrumlardan bir tanesi de sakin evredeydi, onun akışına baktım, acaba aynı akıya sahip başka bir spektrum var mı? Buradaki akı değerleri küçük değerdeydi dolayısıyla bunlar sakin evrede olamaz. Bir de bunu belirlerken spektrumun alınış tarihine baktım.

C. AYDIN: 26 spektrumda 96 çizgi gibi bir rakam verdiniz. Bu ne demek?

H. ESENOĞLU: Bunlar 11 farklı element'e ait çizgilerdir.

C. AYDIN: Bir spektrumda kaç tane çizgi var?

H. ESENOĞLU: En fazla 4-5 tane.

C. AYDIN: Hangi kataloğu kullandınız?

H. ESENOĞLU: Moore'un kataloğunu kullandım.

E. DERMİN: Her çizgi her tayfta gözükmüyor dediniz, mesela 1450-1500 Å'daki diyelim C IV çizgisi bir gün alınan tayfta var ertesi gün alınan tayfta yok. Bu evreye bir bağımlılık mı yoksa kameraya bağlılık mı? Tablolardan bu görülmüyor. SWP kamerasıyla alınan tayfta 1 tane var. Başka bir kameralıyla alınan bir tayfta 28 tane var.

H. ESENOĞLU: Hayır, öyle bir şey söylemedim.

C. AYDIN: Eğer emisyondan absorpsiyona geçiş varsa bu olabilir.

H. ESENOĞLU: Geçiş yok, dolayısıyla çalıştığımız spektrumlar tam patlama aşamasındaki evreye karşılık gelmiyor. Ya patlamaya yakın ya da sakin evre.

C. AYDIN: İster sakin ister aktif olsun çizgiler aynı görüntüde değil mi?

H. ESENOĞLU: Değil. Aki ve şiddet farkı var. Yani aktif aşamada, mesela C IV çizgisinin akısı daha büyük oysa sakin evrede aki o kadar büyük değil. Fark var.

C. AYDIN: Peki bu durumda patlamaya nasıl karar veriyorsunuz? Şu kadar şiddetin Üstünde olursa patlama var mı diyorsunuz?

H. ESENOĞLU: Evet. Akiya baktım. Söylediğim gibi bir tane spektrum vardı, 6623 literatürde sakin evre olarak geçiyor, oysa 10 mertebesinden küçüktü. Diğerlerinde ise çok çok büyük, 60-70 çarpanı kadar fark vardı.

E. DERMAN: Ama sakinliğin de bir kriteri olur. Patlama da sakin olabilir.

H. ESENOĞLU: Ben kesin bir sınırlama koymadım. Sakin'e yakın ve patlamaya yakın olarak ayırdım. Kesin bir sınır koymadım. Neye göre yapacağım öyle bir kriter yok.

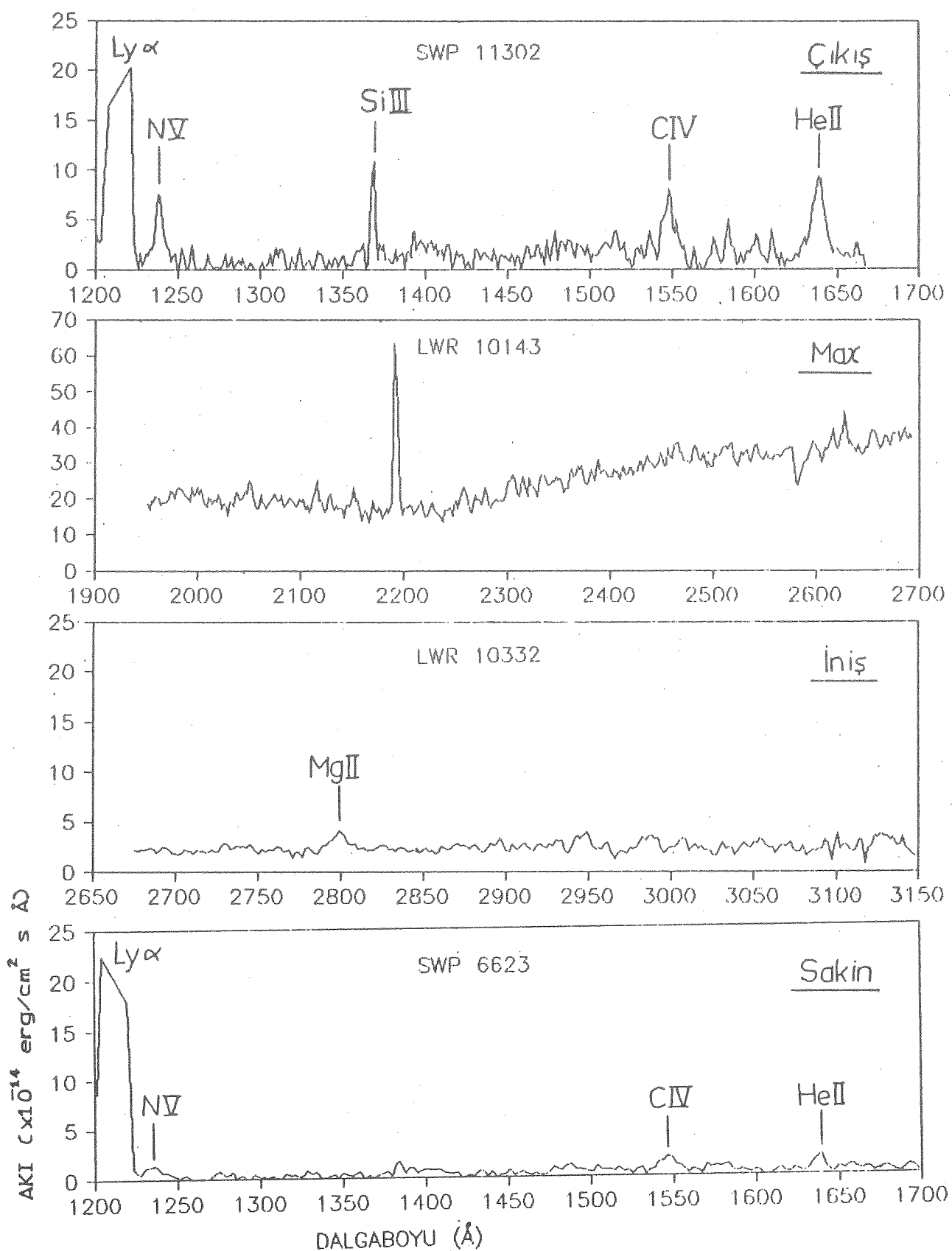
E. DERMAN: Çizgi şiddetlerini hesapladım dediniz. Bir F_c vardı, bir de F_λ vardı. Herhalde biri sürekli spektruma karşılık geliyor.

H. ESENOĞLU: F_c kontinyum'a karşılık gelen aki. Diğeride pik'in maksimumundaki akiya karşılık geliyor.

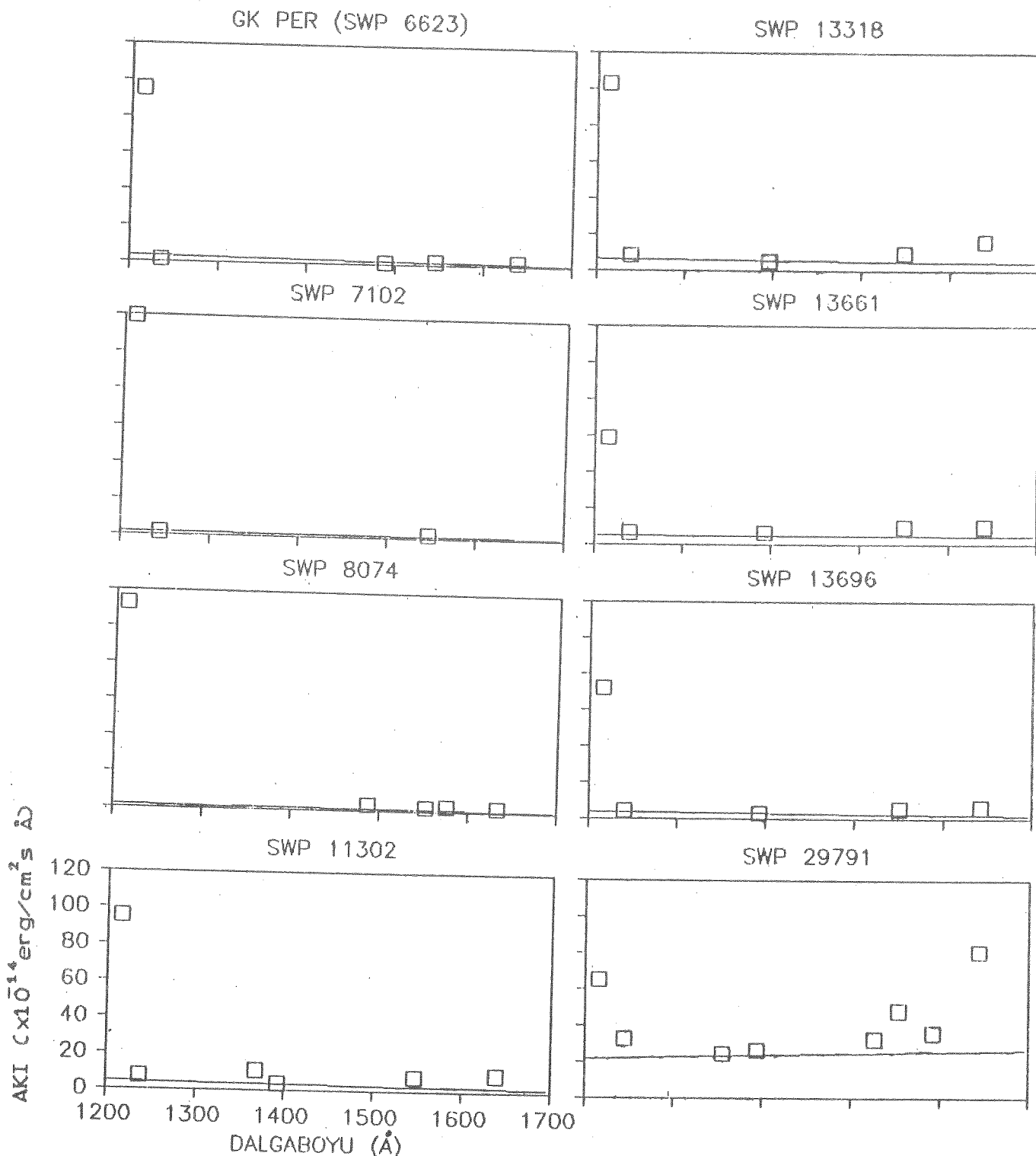
E. DERMAN: Yani çizgi içindeki akiyi hesaplamadınız.

H. ESENOĞLU: Hayır hesaplamadım. Sadecce merkezi derinliğine baktım.

E. DERMAN: Bu görsel bölgede rahat yapılacak bir teknik ama morotesi tayflarda, özellikle böyle patladı patlayacak olan yıldızlarda yapmak biraz tehlikeli. Çünkü bazen bir yıldızlararası çizgi gayet keskin ve dik olabilir, yıldıza ait bir çizgi geniş olabilir. Dolayısıyla oradan şiddete gitmek biraz zor. Bunun için çizgi içindeki akının değerini hesaplarsanız çok daha iyi sonuç alırsınız.

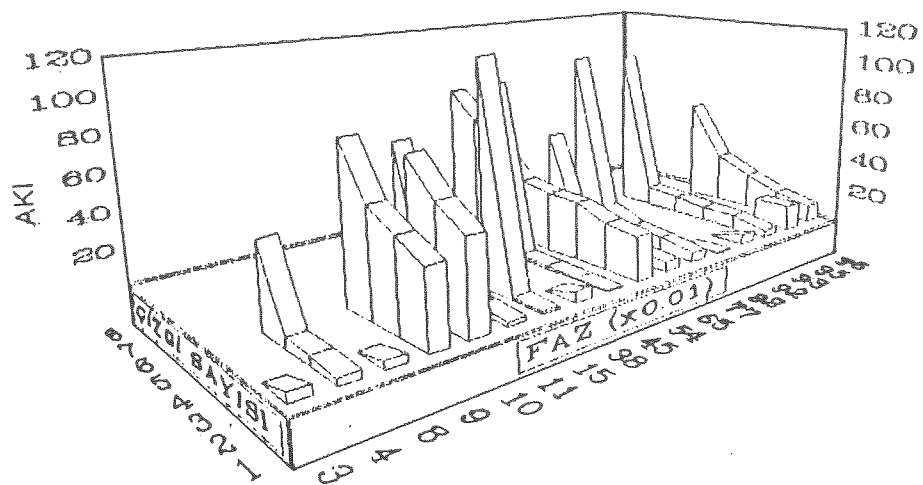
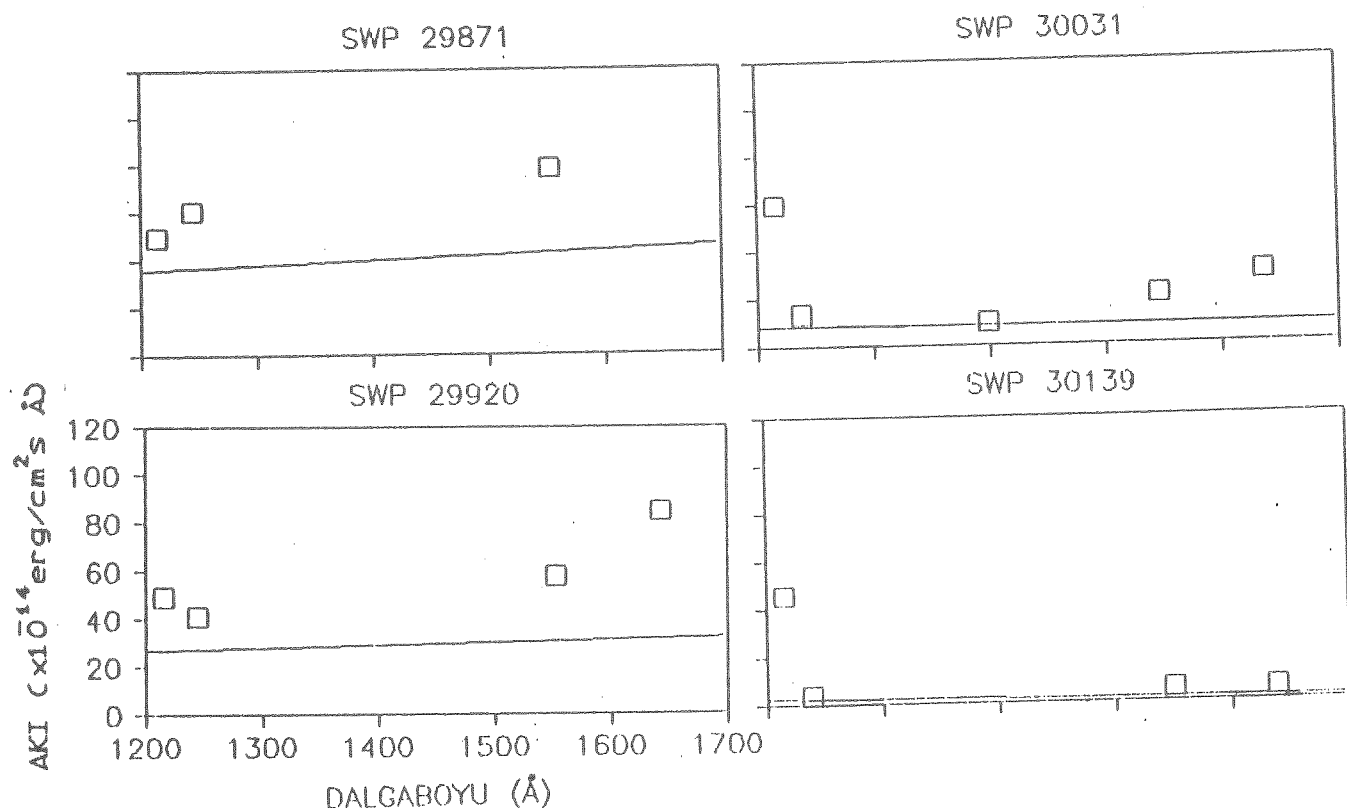


Şekil 1. GK Per'in IUE spektrumlarından 4 örneği görülmektedir.



Şekil 2. GK Per için belirlediğimiz emisyon çizgi akılarının, kontinyum akısı ve dalgaboyu ilişkisi.

Şekil 2'nin devamı.



Şekil 3. GK Per'in spektrumlarında belirlenen emisyon çizgi sayılarının faz ile olan ilişkisi.

**UV Psc ve ER Vul ÖRTEN ÇİFT YILDIZLARININ
BOZULMUŞ İŞIK EĞRİLERİNİN ANALİZİ**

C. İbanoğlu, Z. Tunca, S. Evren, M. C. Akan, V. Keskin
E.U.F.F. Astronomi ve Uzay Bilimleri Bölümü

1. GİRİŞ

UV Psc ve ER Vul örten çift yıldızları kısa dönemli RS Canum Venaticorum türü yıldızlardır. Bu dizgelerin bileşenleri aynı tayf türündeki öteki yıldızlara göre daha kuvvetli kalsiyum salması gösterirler. Öte yandan, fotosferlerindeki etkinliklerden dolayı ışık eğrilerinde dalga benzeri bir bozulma vardır (Hall, 1976). Dalga benzeri bu bozulma kimi dizgelerde zamanla azalan evrelere doğru kayar. Bu kaymanın kimi dizgelerde dönemi olduğu da bilinmektedir. Işık eğrilerinin analizlerini yaptığımız UV Psc ve ER Vul örten çift yıldızlarının da ışık eğrilerinde dalga benzeri bozulmalar vardır.

İncelenen iki yıldıza ilişkin daha önce yapılan araştırmaları kısaca vermek istiyoruz:

a) UV Psc

İlk ışık eğrisi fotoğrafik yöntemle Huth (1959) tarafından elde edilmiştir. Oliver (1974)'in araştırmalarına dayanılarak dizge Hall (1976) tarafından kısa dönemli RS CVn türü dizgeler içeresine alınmıştır. Popper (1976)'ın yaptığı tayfsal araştırmalar her iki bileşenin de CaII H ve K salması gösterdiğini ortaya koymustur. İlk fotoelektrik ışık eğrisi Sadık (1979) tarafından yayınlanmış, ışık eğrisindeki bozulmalar bileşenlerden birisinin yüzeyindeki sıcak noktaya dayandırılmıştır. Daha sonra Zeilik ve ark. (1981, 1982a) art ardına elde ettikleri ışık eğrilerini yayınlamışlardır. Bu ışık eğrileri bakışsız (asimetrik) bir dalga benzeri bozulma göstermektedir. Vivekananda Rao ve Sarma (1984), elde ettikleri üç renk ışık eğrilerine dayanarak dizgedeki sıcak bileşenin fiziksel değişen olabileceğini ileri sürmüşlerdir. Kırmızıöte gözlemlerinden de benzer bir sonuç çıkartılmıştır (Antonopoulou, 1987). İbanoğlu (1987) ve Keskin ve ark. (1987) 1981 ile 1987 yılları arasında elde ettikleri ışık eğrilerinden dalga benzeri bozulmanın döneminin 1.5 ile 2 yıl arasında olabileceğini önermişlerdir. Akan (1988), dizgenin 1988 yılına kadar elde edilen tüm ışık eğrileri üzerinde yaptığı bir çalışmayla dalga benzeri bozulmanın genliğinin 4-5 yıl, dalga minimumunun kayma dönemini de 0.4 ile 2.3 yıl arasında olabileceğini önermiştir.

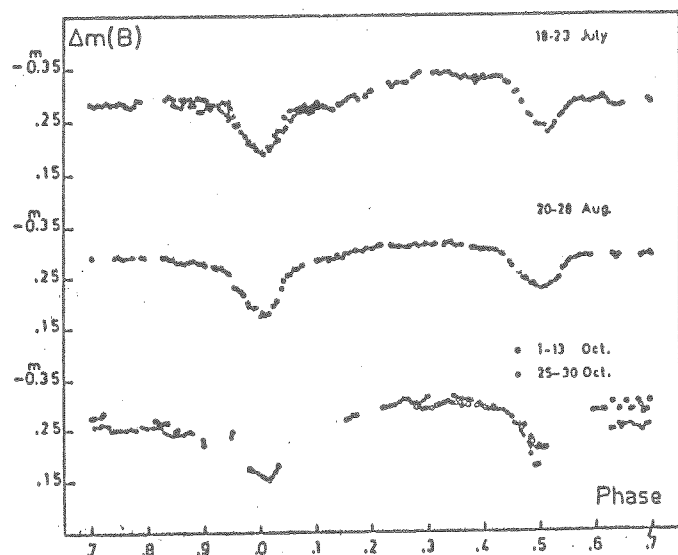
b) ER Vul

Northcott ve Bakos (1956) tarafından bir tayfsal çift olduğu bulunmuştur. Aynı araştırmacılar daha sonra yaptıkları fotoelektrik gözlemlerle hem örten çift özelliğini buldular hem de ilk ışık eğrisini elde ettiler (Northcott ve Bakos, 1967). Aynı yıllarda dizge Abrami ve Cester (1963) tarafından da gözlenerek ışık eğrisi elde edildi. Bu iki ışık eğrisi birbirinden oldukça farklı, hatta minimumlar yer değiştirmiş gibi görülmektedir. Northcott ve Bakos'un ışık eğrisinde 0.5 ile 0.8 evre aralığında bir bozulma görülmektedir. Bu bozulmayı, iki yıldız arasında, geçirgenliği zamanla değişen gaz bulutunun oluşturduğu ileri sürülmüştür. Ancak, tayfsal gözlemler böyle bir bulutun varlığına ilişkin herhangi bir kanıt göstermemiştir. Alınan tayflar incelemesinde, soğurma çizgilerinin kimi zaman keskin, kimi zaman da sıç ve belirsiz olduğu görülmüştür. Bond (1970)'un aldığı tayflar CaII H ve K çizgilerinin her iki bileşende soğurma değil, salma olduğunu göstermiştir. ER Vul'un kısa dönemli RS CVn yıldızları içersine alınmasından sonra Kadouri (1981), Al-Naimiy (1981), Zeilik ve ark. (1982b,c), Arevalo ve Fuensalida (1985) ve Arevalo ve ark. (1988) tarafından farklı zamanlarda elde edilen ışık eğrileri yayınlanmıştır. Bu ışık eğrileri birbirinden oldukça farklıdır. Işık eğrilerindeki bu farklılıklar kimi araştırmacılar tarafından bileşenlerden birisi veya her ikisinin yüzeyindeki lekelerle açıklanmaya çalışılırken, kimisi de bileşenler arasındaki maddeye bağlı olmuştur. McLean (1982)'nin 1980 yılında aldığı tayflarda özellikle başyıldızı ilişkin çizgilerin yoğunlığının zamanla değiştiği görülmüştür.

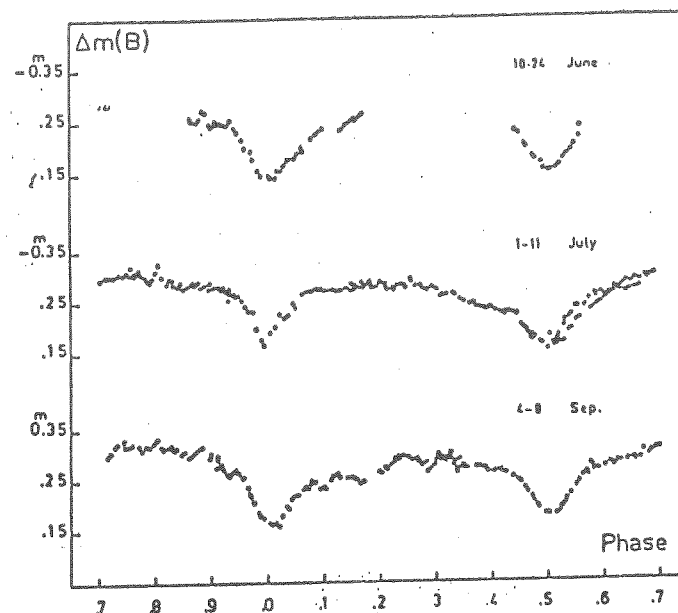
Işık eğrileri ilginç değişimler gösteren bu iki dizgeden UV Psc 1981-1989, ER Vul ise 1981-1986 yılları arasında E.U. Rasathanesinde düzenli olarak gözlenmiştir. UV Psc'in iki renkte 14, ER Vul'un da 22 ışık eğrisi elde edilmiştir. Bu ışık eğrilerinden bazıları İbanoğlu ve ark. (1985, 1987), Evren (1988), İbanoğlu (1987), Keskin ve ark. (1987) ve Akan (1988) tarafından yayınlanmıştır. Bu çalışmada da bozulmuş ışık eğrileri yaklaştırma yöntemiyle analiz edilerek her iki dizgenin bileşenlerinin yarıçap, kütle ve yörunge eğıклиği bulunmaya çalışılmıştır.

2. IŞIK EĞRİLERİ

RS CVn türü örten çift yıldızların özellikleri anlaşılmaya başlandıkça ışık eğrilerinin önemi artmış, ışık eğrilerindeki dalga benzeri bozulmanın genliği ve kayma dönemi belirlenmeye çalışılmıştır. Bozucu etkinin kaynağını bulabilmek için geniş bir zaman dilimi içersine yayılmış ışık eğrilerinin birbiriyle karşılaşması gerekmistiştir. Bu nedenle bu iki dizge aynı aletle düzenli bir gözlem programına alınmıştır. ER Vul'un ışık eğrilerinin bir gözlem dönemi içersinde hızlı değişimler gösterdiği görülmüştür. Işık eğrisinin genel görünümünde kısa zaman aralığında meydana gelen değişimleri gözden kaçırırmak için bir gözlem mevsimi içersinde iki veya üç ışık eğrisi elde edilmiştir.



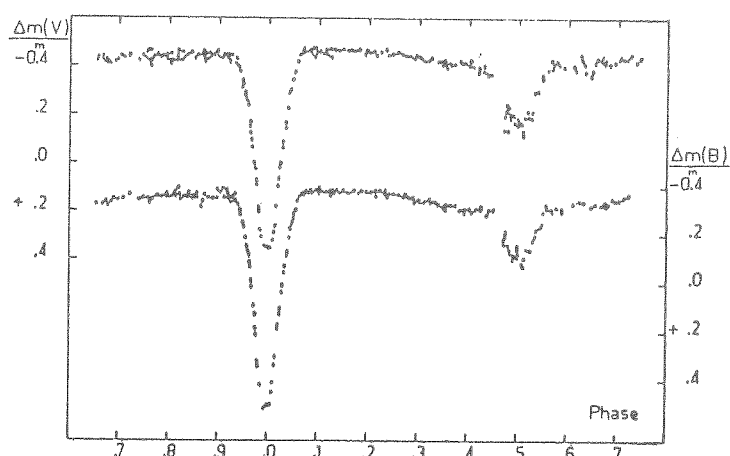
Sekil 1. ER Vul'ün 1984 yılı ışık eğrileri



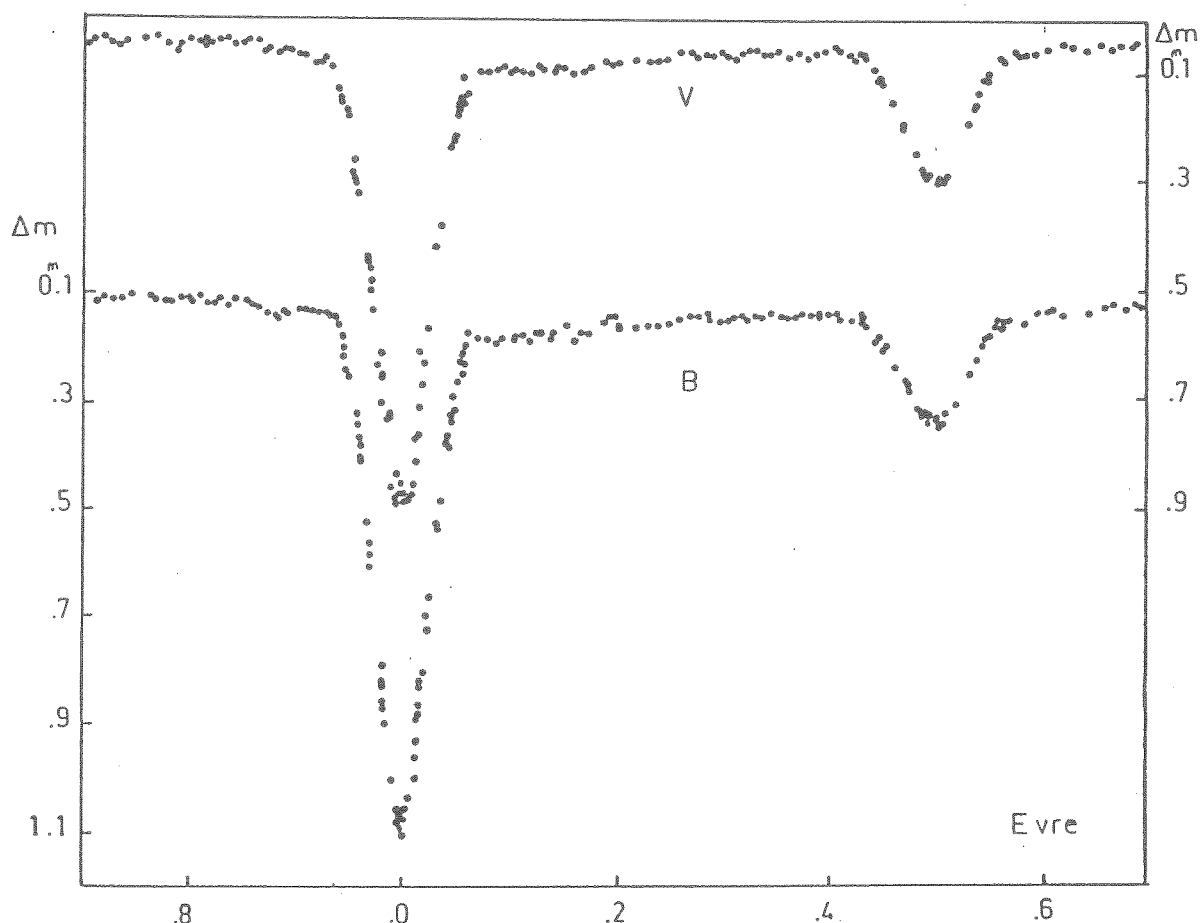
Sekil 2. ER Vul'ün 1985 yılı ışık eğrileri

ER Vul'un 1984 yılında farklı dönemlerde elde edilen üç ışık eğrisi Şekil 1'de gösterilmiştir. Temmuz ayı ışık eğrisinde baş minimumun her iki yanında ve yan minimumdan hemen sonra bir çöküntü görülmektedir. Dizgenin toplam parlaklığı baş minimumdan sonra 0.35 evreye doğru düzgün bir şekilde artmaktadır. Bundan başka tutulmaların sıç, tutulma içlerinde ve dışında kısa süreli parlaklık değişimleri görülmektedir. Yaklaşık bir ay sonra Ağustos ayında elde edilen ışık eğrisi ise daha bakışık, dizge daha sakin, yani kısa süreli parlaklık değişimleri yok gibidir. Ekim ayında elde edilen ışık eğrileri bir ay gibi kısa bir zaman aralığında ışık eğrisindeki değişimeyi ortaya koyması açısından ilginçtir. Bir yıl sonra elde edilen üç ışık eğrisi de Şekil 2'de gösterilmiştir. Dizgenin toplam parlaklığı Temmuz ışık eğrisinde yan minimuma doğru azalırken Eylül ışık eğrisinde bu azalma baş minimumun hemen arkasına kaymıştır. Dizgenin tutulmalar dışındaki parlaklığında meydana gelen kısa süreli değişimler açık bir şekilde görülmektedir.

UV Psc'nin ışık eğrilerinde de dalga benzeri bozulma açık bir şekilde görülmektedir (Şekil 3). Buna ek olarak kısa süreli parlaklık değişimleri de meydana gelmektedir. Baş minimum derin olduğundan, bu kısa süreli parlaklık değişimleri minimumdaki büyük parlaklık değişimini yanında göze çarpmaktadır. Dizgenin 1988 yılında elde edilen ışık eğrileri de Şekil 4'te gösterilmiştir. Bu eğriler hemen hemen bakışık, kısa süreli parlaklık değişimleri yok denenecek kadar azdır.



Şekil 3. UV Psc'in 1985 yılı ışık eğrileri.



Şekil 4. UV Psc'in 1988 yılı ışık eğrileri.

3. İŞIK EĞRİLERİNİN ÇÖZÜMÜ

RS CVn türü örten çiftlerin ışık eğrilerinin çözümü için henüz bir yöntem geliştirilememiştir. Ancak lekelerden ileri gelen parlaklık değişimini gözönüne alan, bu etkiyi gidermeye çalışan kimi yöntemler vardır (Eaton ve Hall, 1979), Wilson (1978). ER Vul'un ışık eğrilerinde tutulmalardan dolayı parlaklık değişimi oldukça az, yani minimumlar sığdır. Dolayısıyla dalga biçimini bozulma minimum içlerinde daha da etkili olmaktadır. Üstelik, tutulma ve dalga benzeri bozulmalar dışındaki 0.03'e varan değişimler tutulma içlerinde meydana geldiğinde minimum kollarında büyük değişimler yaratmaktadır. UV Psc durumunda bu olay yörüngeye ilişkin ögelerin bulunmasında önemli bir güçlük doğurmaz; çünkü minimumların derinliği bozucu etkiye göre yeterince fazladır. Kısa süreli parlaklık değişiminin önemli olmaması, genliklerinin ve kaynaklarının bilinmemesi bu etkilerin ortadan kaldırılmasını olanaksız kılmaktadır. Bu nedenlerle başlangıç olarak, dalga benzeri bozulmanın da çok fazla olmadığı ışık eğrilerinden seçilmesine dikkat edilmiştir. Bu koşula en yakın olan ışık eğrileri ER Vul'un 1984 Ağustos ışık eğrisi ile UV Psc'nin 1988 yılı ışık eğrisidir.

Esas olarak bu yıldızların ışık eğrileri tutulma, yakınlık, dalga benzeri bozulma ve kısa süreli parlaklık değişimlerinden oluşmaktadır. Sonuncu etkiyi belirleme ve ışık eğrilerinden arındırma olanağı yoktur. Dalga benzeri bozulmayı ışık eğrilerinden arındırabilse ışık eğrilerini istenilen yöntemle çözme olanağını bulabiliyoruz. Tutulmalar dışını ele alırsak buradaki parlaklık değişimini yakınlık etkileri (yansıma ve basıklık) ile dalga benzeri bozulmadan ileri gelmelidir. Yakınlık etkileri de bileşen yıldızların fiziksel ve geometrik yapılarına bağlıdır. Bu değerler bilinmediğinden yakınlık etkilerini hesaplama olanağı yoktur. Bileşen yıldızların fiziksel ve geometrik öğelerini bulabilmek için ışık eğrisinin çözümüne gereksinim vardır. Daha önce yapılan çözümlere bağlı kalma yerine burada söyle bir yol izlenmiştir:

Gözlenen ışık eğrisi verileri

Çözüm (Wood Yöntemi)

→ Yakınlık etkileri

Gözlem - Yakınlık = Tutulma + Bozulma

Bozulma - Fourier serisiyle temsil

Gözlem - Bozulma = Yakınlık + Tutulma

Çözüm - İlk öğeler

Seçilen ışık eğrisi, her bir işlem uygulanmadan Wood (1972,1978) yöntemiyle çözülmüştür. Bulunan ilk öğelerle yakınlık etkileri hesaplanmıştır. Tutulmalar dışında yakınlıktan ileri gelen etkiler,

$$I = A_0 + A_1 \cos\theta + A_2 \cos 2\theta + B_1 \sin\theta + B_2 \sin 2\theta$$

birimindeki Fourier serisiyle temsil edilerek katsayılar bulunmuştur. Her gözlem noktası için yakınlıktan ileri gelen parlaklık yukarıdaki katsayılarla hesaplanarak gözlemlerden çıkartıldığından geriye dalga benzeri bozulmanın kalacağı düşünülmüştür. Bu değişim yeniden Fourier serisiyle temsil edilerek gözlenen parlaklıklardan çıkartıldığından tutulma ve yakınlık etkilerinden oluşan ışık eğrilerinin kaldığı varsayılmıştır. Bu ışık eğrileri Wood yöntemiyle yeniden çözülerek dizgenin gerçeğe biraz daha yakın öğeleri elde edilmiştir. Bu işlem, başlangıç olarak alınan öğeler ile çözüm sonuçları yanlış sınırları içersinde uyuşuncaya degein sürdürülülmüştür.

İşik eğrilerinin çözümüne başlamadan önce, her iki dizgenin tayf-sal verilerinden kütle oranları, bileşenlerin kenar kararma katsayıları, baş yıldızların sıcaklıklarını vb. sabit olarak girilen öğeler Çizelge 1'de verilmiştir. Derin minimumda örtülen yıldızın yarıçapı (r_A), yarıçaplar oranı ($k = r_B/r_A$), yörunge eğikliği (i) ve soğuk yıldızın sıcaklığı (T_B) düzeltilebilir öğe olarak alınmıştır. Art arda üç yaklaşımla UV Psc, dört yaklaşımla ER Vul'un çözüm sonuçlarının uyuştuğu görülmüş ve yaklaştırma işlemi durdurulmuştur.

Her iki yıldız için bozulmaların en az olduğu, en iyi gözlenmiş birer ışık eğrisi seçilerek çözüme başlanmıştır. Bu eğriler UV Psc'in 1988 yılı ışık eğrisi ile ER Vul'un 1984 Ağustos ayında elde edilen ışık eğrileridir. Bu ışık eğrileri art arda yaklaştırma yöntemiyle

çözülerek dizgelere ve bileşenlerine ilişkin ögeler bulunmuştur. Bu ögelerle kuramsal ışık eğrileri hesaplatılarak yakınlık etkilerinden oluşan parlaklık değişimleri bulunmuştur. Bu değişim Fourier serisiyle temsil edilerek her iki dizgenin yakınlık etkilerine karşılık gelen Fourier katsayıları Çizelge 2'de verilmiştir.

Çizelge 1. Çözümde sabit olarak alınan ögeler

Öge	E R V u l			U V P s c		
	B	B, V	V	B	B, V	V
u _A	0.73		0.61	0.8		0.6
u _B	0.78		0.65	0.8		0.8
λ	4350 Å		5500 Å	4350 Å		5500 Å
T _A		6000 K			5520 K	
β _A		0.08			0.08	
β _B		0.08			0.08	
q		0.98			0.75	
log g _A		4.27			4.33	
log g _B		4.30			4.46	

Çizelge 2. Kuramsal ışık eğrilerinin Fourier katsayıları

	E R V u l			U V P s c		
	B	V	B	V		
A ₀	0.974648 ±636	0.978014 ±1018	0.982952 ±1002	0.985741 ±1358		
A ₁	0.000000 ±470	0.000002 ±152	-0.000000 ±732	-0.000000 ±992		
B ₁	-0.000004 ±340	-0.000023 ±543	-0.000004 ±514	-0.000004 ±696		
A ₂	-0.025356 ±508	-0.022009 ±813	-0.017052 ±801	-0.014263 ±1085		
B ₂	0.000000 ±353	0.000003 ±565	-0.000020 ±540	-0.000153 ±732		

Yansıtmayı gösteren A₁ katsayısı her iki dizge için sıfıra yakındır. O halde tutulmalar dışındaki parlaklık değişimini esas olarak bileşenlerin basıklığından kaynaklanmaktadır. B₁ ve B₂ katsayılarının

sıfıra yakın olması ise ışık eğrilerinin bozucu etkilerden yeterince iyi arındırıldığıının bir kanıtı olarak alınabilir.

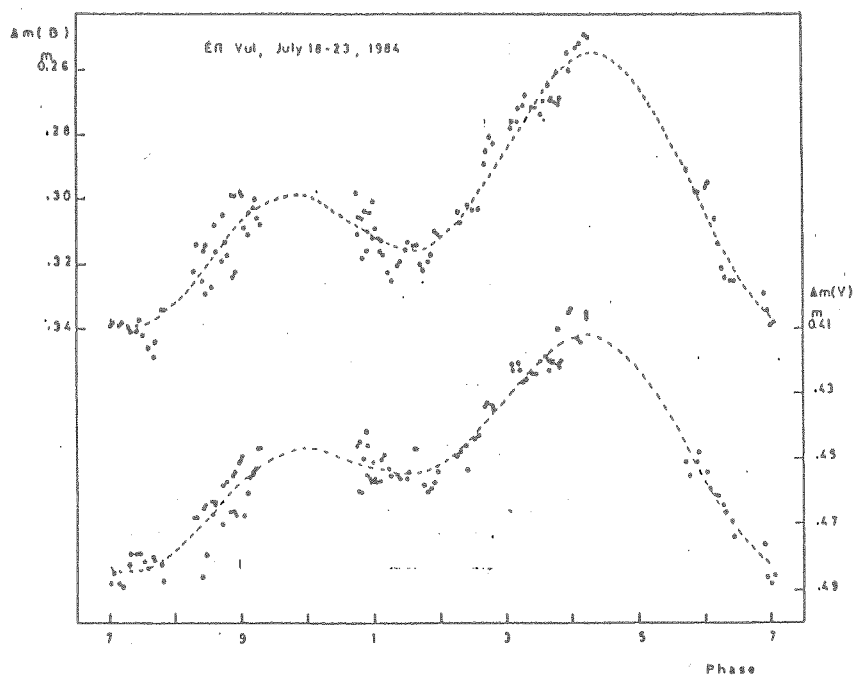
Bu katsayılar kullanılarak gözlenen tüm ışık eğrileri yakınık etkilerinden arındırılmıştır. Tutulmalar dışında kalan parlaklık değişimlerinden bazıları Şekil 5,6,7 ve 8'de gösterilmiştir. Bu eğriler kimi zaman bir, kimi zaman da iki minimum içermektedir. Bu eğrilerin her biri ayrı ayrı Fourier serisiyle temsil edilerek gözlenen ışık eğrilerinden bozucu etkiye karşılık gelen parlaklık azalması çıkartılarak bozucu etkilerden arındırılmış ışık eğrileri elde edilmiştir. Dalga benzeri bozulmadan arındırılmış tüm ışık eğrilerinin çözümüyle elde edilen ögelerin değişim aralıkları Çizelge 3'de verilmiştir.

Çizelge 3. Ögelerin değişim aralığı

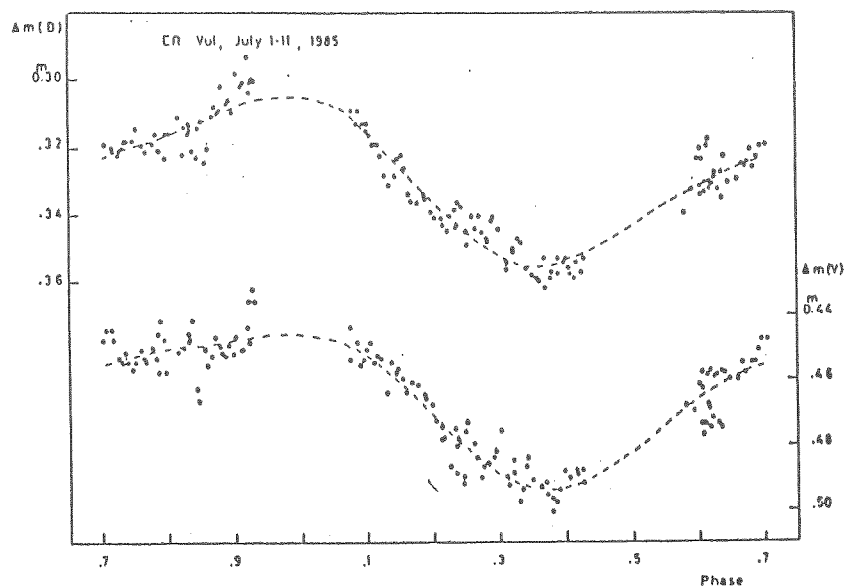
Ö g e	E R	V u l	U V	P s c
i	88°5 - 89°8		65°3 - 68°2	
r _A	0.239 - 0.246		0.225 - 0.302	
k	0.75 - 0.78		0.82 - 1.29	

Bulunan temel ögelerin değişim aralığı UV Psc'de oldukça küçük iken ER Vul'da geniş bir aralığı kapsamaktadır. Bundan başka ER Vul'un derin olan baş minimumu kimi zaman örtme kimi zaman da örtülme olarak karşımıza çıkmaktadır. Bu değişim, oldukça sığ olan minimumların biçimlerinin kısa süreli parlaklık değişimlerinden çok fazla etkilenmesinden kaynaklanabilir. Şekil 9'da görüldüğü gibi 4-8 Eylül 1985 tarihlerinde elde edilen ve bozucu etkiden arındırılmış ışık eğrileri üzerinde, kısa süreli parlaklık değişimleri durumlarını koruyabilmektedir. Bozucu etkiden arındırılmış parlaklıklarla kuramsal parlaklıklar arasındaki 0-C sapmalarının dağılımı da 0°01'i geçen bu kısa süreli değişimleri açık bir şekilde göstermektedir. Burada uygulanan yöntem, büyük genlikli ve uzun süreli değişimleri ortadan kaldırmaya yöneliktedir. Yörunge eğikliğinin küçük olması nedeniyle, tutulmalardan oluşan minimumlar oldukça sığdır. Bu nedenle, kısa süreli parlaklık değişimleri minimumların biçimini önemli ölçüde bozabilmekte ve bizi farklı çözüm sonuçlarına götürebilmektedir. UV Psc'in çözüm sonuçları ise eğriye fazla bir değişim göstermemektedir. Dalga benzeri bozulmadan arındırılmış 1988 yılı ışık eğrileri ile çözüm sonucu bulunan ögelerle kuramsal olarak elde edilen ışık eğrileri Şekil 10'da gösterilmiştir.

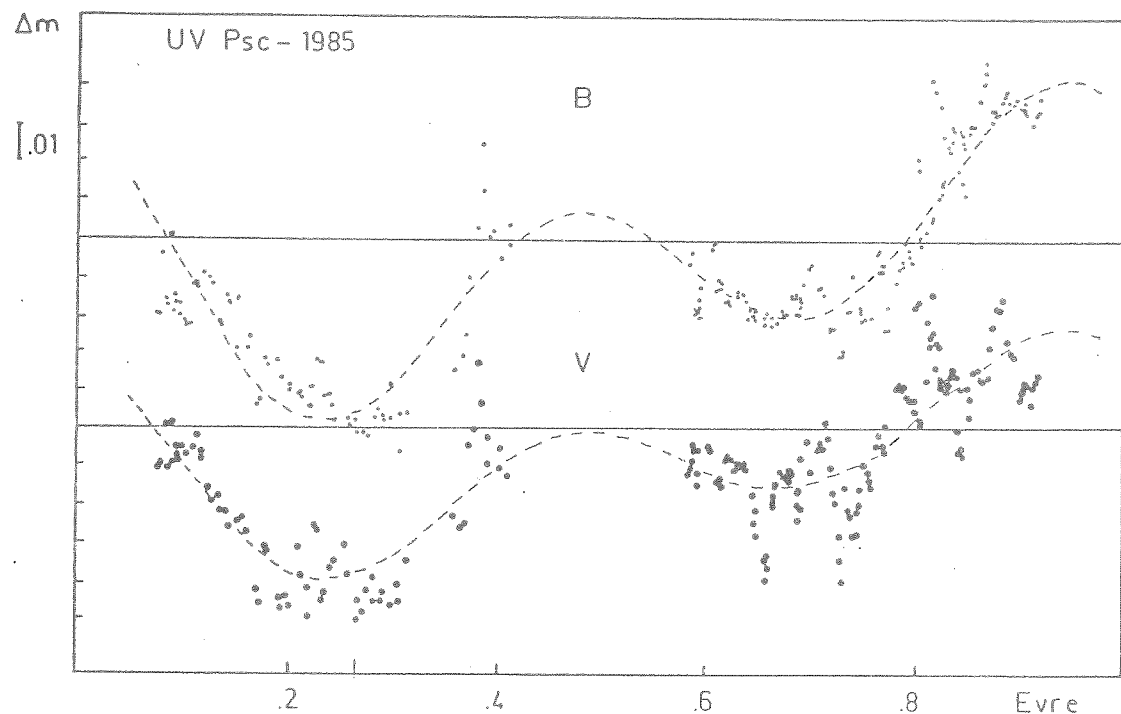
İki dizgenin çözümle bulunan ögelerinin ortalaması Çizelge 4'te verilmiştir. İncelenen iki dizgenin ışık eğrileri daha önce başka araştırmacılar tarafından da çözülmüştür. Burada ER Vul için bulunan değerler önceki değerlerden oldukça farklıdır. Örneğin Al-Naimiy (1981) $i=69^\circ$, $r_A=0.299$, $r_B=0.281$, $k=0.94$ ve $T_B=5520$ K değerlerini vermektedir. Dalga benzeri bozulmanın ögeler üzerinde ne denli değişiklik yaptığı açık bir şekilde görülmektedir.



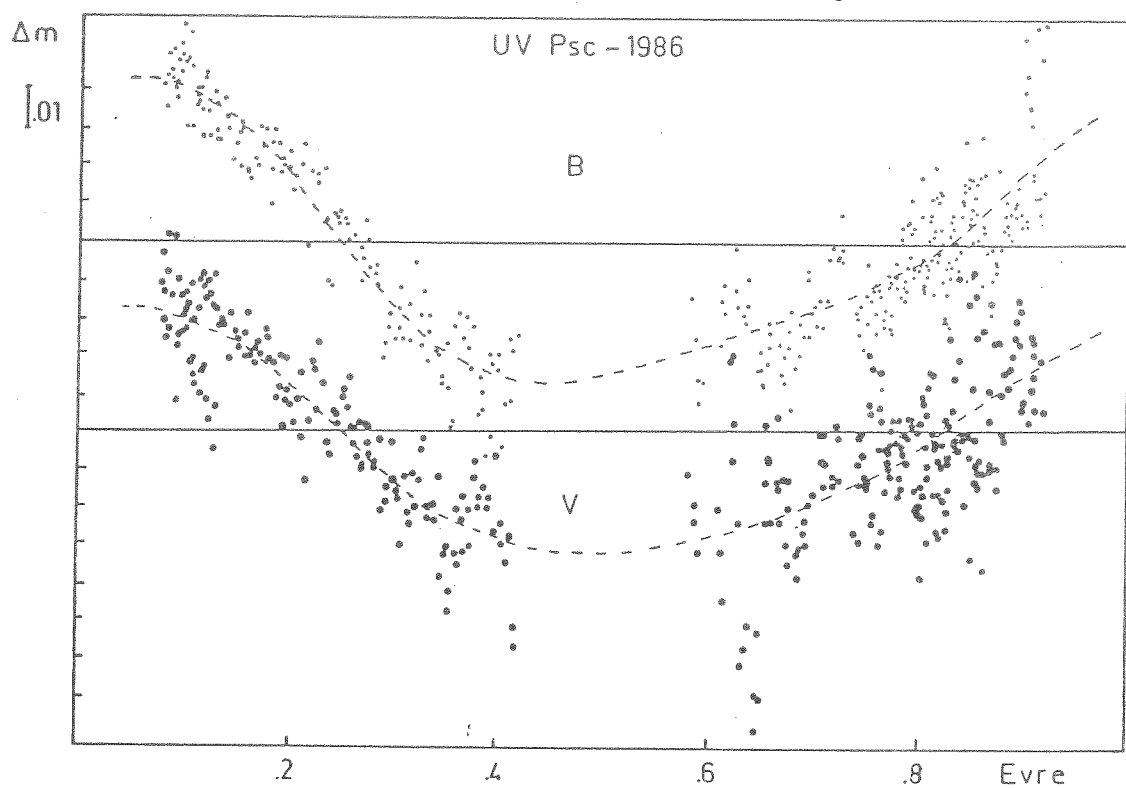
Şekil 5. ER Vul Temmuz 1984 ışık eğrisinde dalga benzeri bozulma.



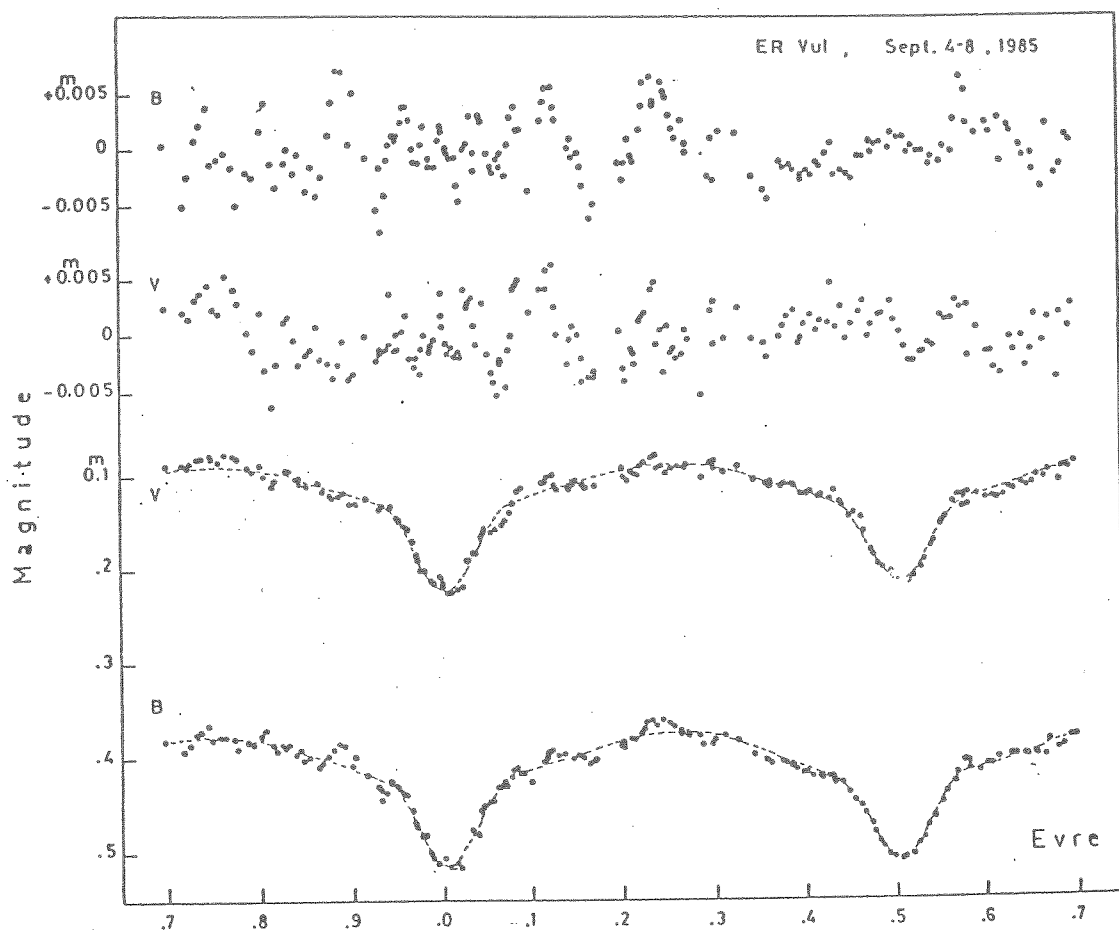
Şekil 6. ER Vul 1985 Temmuz ışık eğrisinde dalga benzeri bozulma.



Şekil 7. UV Psc 1985 yılı ışık eğrisinde dalga benzeri bozulma.



Şekil 8. UV Psc 1986 yılı ışık eğrisinde dalga benzeri bozulma.

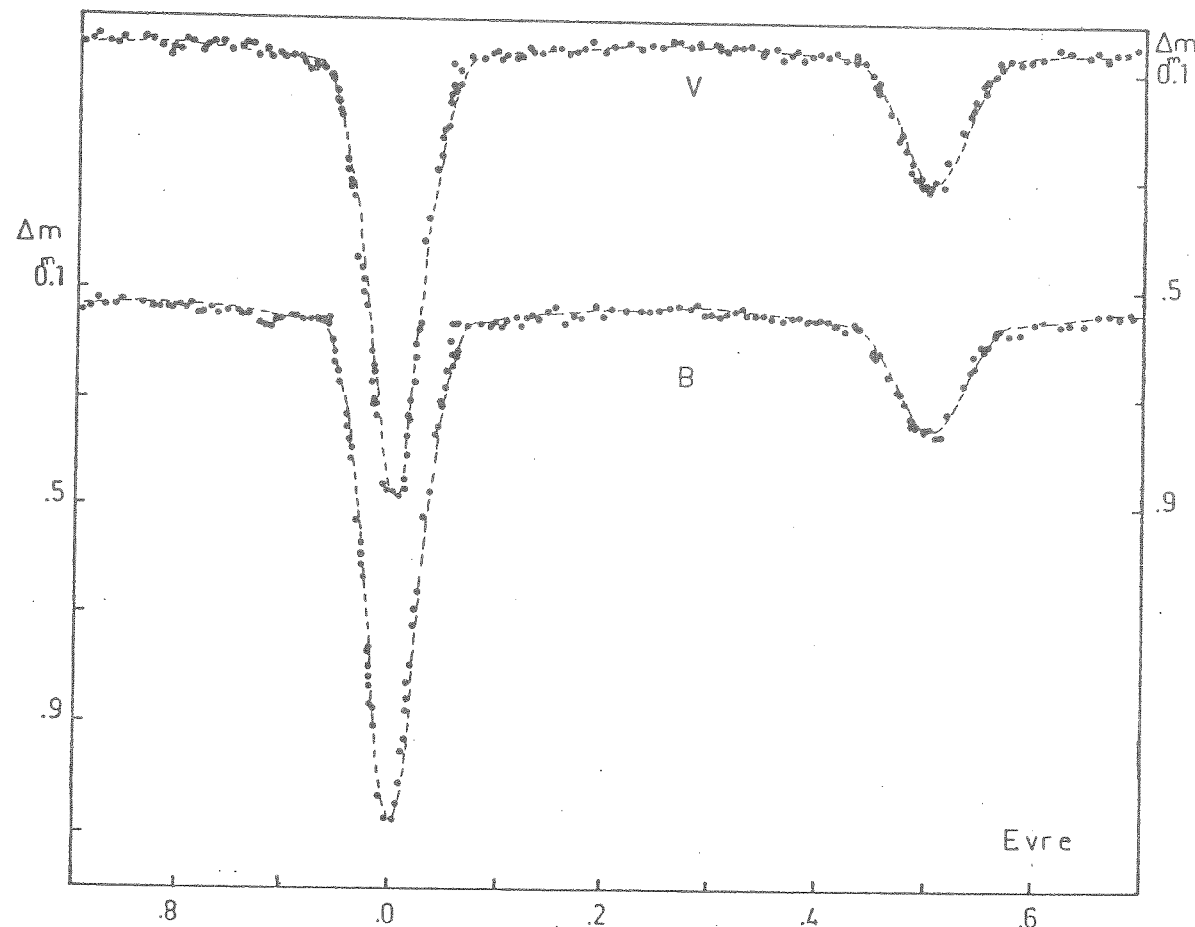


Şekil 9. ER Vul 1985 Eylül ışık eğrileri ve kuramsal eğriden sapmalar.

Çizelge 4. ER Vul ve UV Psc'in ortalama öğeleri

Öğe	ER	Vul	UV	Psc
i	66°32'	0.35	66°32'	0.35
r _A	0.2713	0.0113	0.2713	0.0113
r _B	0.2756	0.0326	0.2756	0.0326
k=r _A /r _B	1.016	0.078	1.016	0.078
T _A	6000 K		6000 K	
T _B	5883 ± 52 K		5883 ± 52 K	

ER Vul'un dikine hız eğrisinin çözümü McLean (1982) tarafından, UV Psc'inki de Popper (1976) tarafından verilmiştir. Çözüm sonucu bulunan değerler dikine hız eğrisiyle bulunan öğelerle birleştirilerek bileşenlerin salt boyutları hesaplanmış ve Çizelge 5'te verilmistir.



Şekil 10. UV Psc'in 1988 yılı dalgı benzeri bozulmadan arındırılmış ışık eğrileri ve kuramsal eğriler.

Çizelge 5. ER Vul ve UV Psc'in
bileşenlerinin salt
boyutları

Öge	ER Vul	UV Psc
R_A/R_\odot	1.24	1.13
R_B/R_\odot	0.93	1.15
m_A/m_\odot	1.20	0.99
m_B/m_\odot	0.90	0.98
T_A	5520 K	6000 K
T_B	4900 K	5583 K

4. SONUÇLAR VE TARTIŞMA

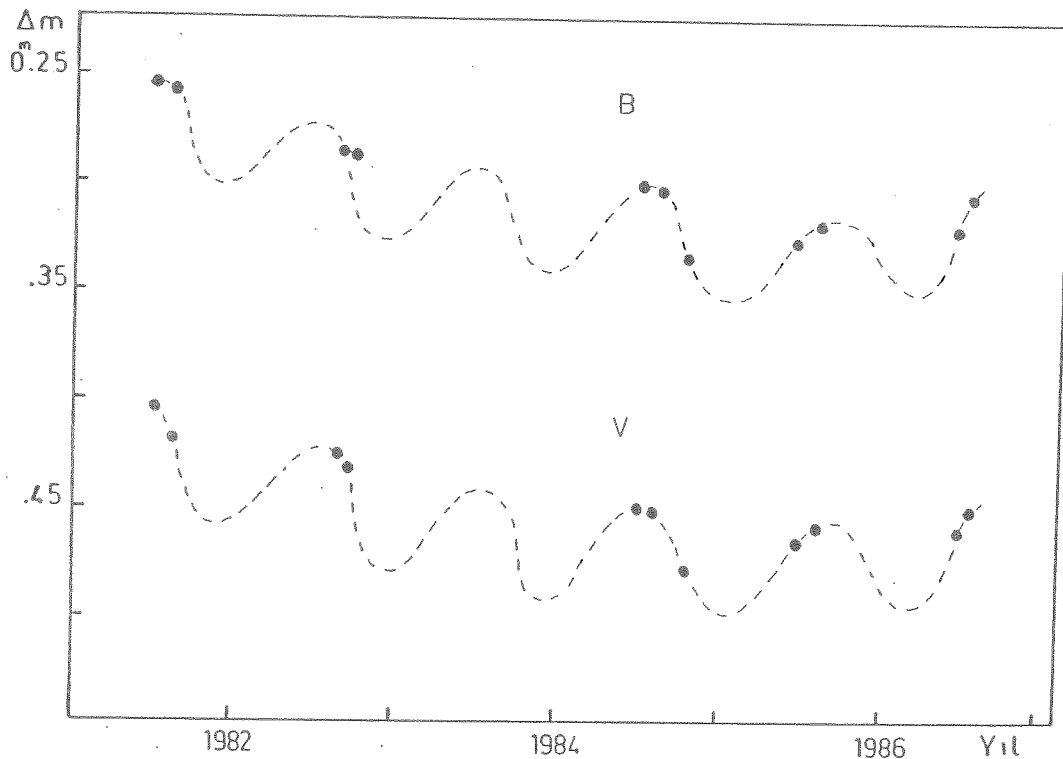
Işık eğrilerinde dalga benzeri bozulma gösteren RS CVn türü yıldızların ışık eğrilerinin çözümü oldukça zordur. Burada dalga benzeri bozulmaların gözlemle elde edilen ışık eğrilerinden çıkartılarak ışık eğrilerinin çözümü için yeni bir yaklaşım verilmektedir. Ele alınan iki dizgeden ER Vul'un ışık eğrilerinde, yakınlık etkileriyle dalga benzeri bozulmanın girişimine ek olarak genlikleri 0^m.03'e varan kısa süreli parlaklık değişimleri vardır. Uygulanan yöntemle, bu tür parlaklık değişimini ortadan kaldırmak hemen hemen olansızdır. Bu değişimler ne bir düzen içersinde olmakta ne de genlikleri sabit kalmaktadır.

İzlenen yol, ışık eğrilerindeki dalga benzeri bozulmayı büyük bir yaklaşılıkla arındırabilmektedir. ER Vul'da olduğu gibi kısa süreli parlaklık değişimleri ortadan kaldırılamamaktadır. Böylece değişimler sığ minimumlu eğrilerin biçimini bozmakta, bu eğrilerden bulunacak öğeleri gözden uzak tutulamayacak denli değiştirmektedir.

ER Vul'da bileşen yıldızlar hemen hemen aynı kütle ve yarıçaplara sahiptirler. Kütleleri güneş kütlesine yakınmasına karşın yarıçapları daha büyük, dolayısıyla ışıtmaları güneşinkinden 1.5 kat daha fazladır. Bileşenler hem kütle-yarıçap hem de kütle-ışıtma bağıntılarında sıfır yaşı anakolu üst kısmında yer almaktadır. Bulunan yarıçapların doğru olduğu varsayılırsa, her iki bileşenin anakol gelişimini tamammış, aynı zamanda bir miktar kütle kaybetmiş olmaları gereklidir. Bileşenlerin şimdiki yarıçapları kendilerine karşılık gelen Roche yarıçaplarından %17 daha küçük olup kütle aktarımı yapabilecek konumda değildir.

McLean (1982) baş yıldızın tayfında soğurma çizgilerinin yeşiliklerinin önemli olarak değiştğini bulmuştur. Bu değişimyi, baş yıldız yüzeyinin %50'sini kaplayan lekelerin oluşturulabileceği, böyle bir leke grubunun parlaklıktı gözlenen 0^m.01-0^m.02'den çok daha büyük değişimler doğuracağı, dolayısıyla çizgi yeşiliklerindeki değişimelerin yalnızca lekelerle açıklanamayacağı sonucuna varılmaktadır. Bu durumda baş yıldız çevresindeki bir maddenin varlığından söz edilmektedir. Arevalo ve Lazaro (1990) dizgenin J-K renk ölçüğünün G0+G5V tayf bileşimine göre 0^m.08 kadar daha kırmızı olduğunu, yani bir kırmızıôte artığının varlığını göstermişlerdir. Mennella (1990) dizgenin 1985 Temmuz, Ağustos ve Eylül aylarında elde edilen ışık eğrilerinden 10 yıllık bir göç dönemi çıkarmaktadır. Halbuki, uzun bir zaman aralığında elde edilen ve yakınlık etkileri arındırılarak bulunan dalga benzeri bozulmalar bir dönem içerisinde genellikle iki minimum göstermektedir. Bu durumda dalga benzeri bozulmaların göç dönemini belirlemek hemen hemen olansızlaşmaktadır.

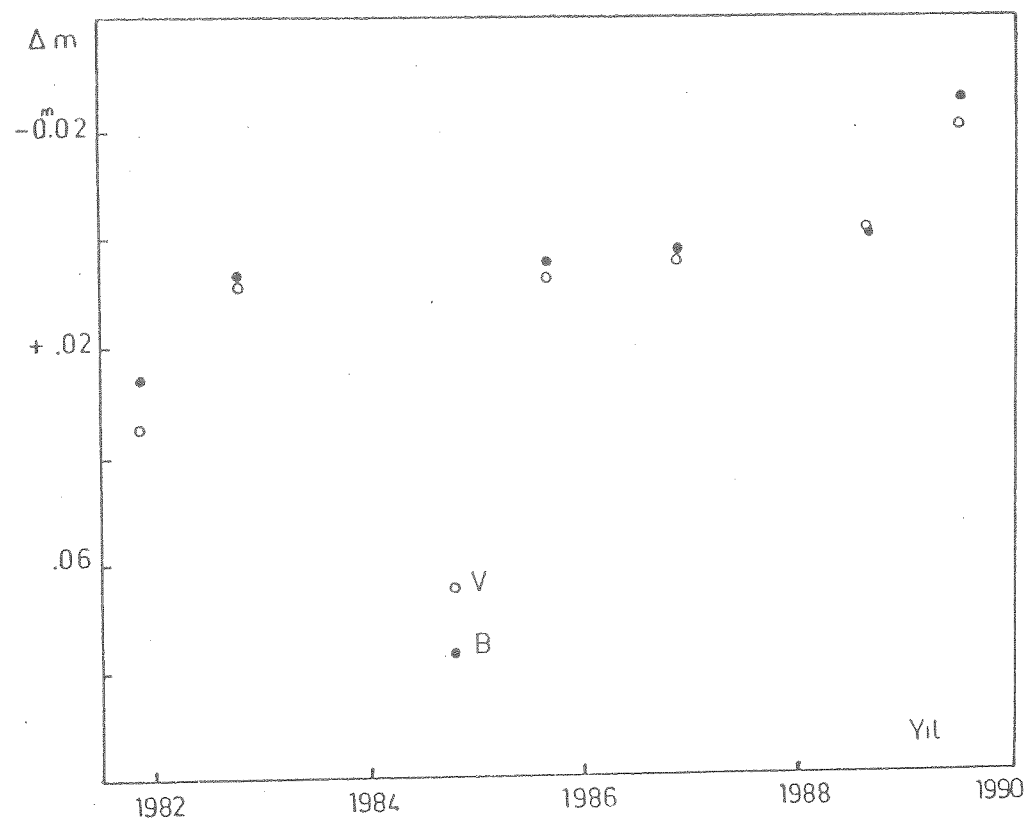
ER Vul'un tutulmalar dışındaki ortalamaya parlaklığını ışık eğrisinin elde edildiği tarihe göre noktalananarak Şekil 11'de gösterilmiştir. Ortalamaya parlaklık zamana göre değişmekte, yaklaşık olarak 1 yıllık bir dönem içermektedir.



Şekil 11. ER Vul'un ortalama parlaklığının yıllara göre değişimi.

UV Psc'in ışık eğrilerinin çözümüyle bulunan öğeler hemen hemen yanlışlı sınırları içersinde kalmaktadır. Bileşenler, kendilerine karşılık gelen Roche yüzeylerinden %35 ve %44 daha küçüktürler. Bu çalışmaya bulunan sonuçlar önceki bulgularla karşılaştırıldığında bileşenlerin yarıçaplarının 0.01 daha küçük olduğu görülmektedir. Bu farkın, ışık eğrisindeki dalga benzeri bozulmanın, tutulmaların özellikle başlangıç noktalarını bozmadan kaynaklanabilir. Önceki çalışmalarda dalga benzeri bozulmanın arındırılması ele alınmamıştır. Antonopoulou (1987)'nin kırmızıöte JHK ışıkölçümü tutulmalar dışında önemli saçılımalar olduğunu ortaya koymuştur. Bu parlaklık değişiminin bileşenlerden birinin yüzeyindeki lekelerden kaynaklanamayacağı sonucuna varılmışta ve dizgenin bir bileşeninin bünyesel değişen olabileceği önerilmektedir.

Dizgenin tutulmalar dışındaki parlaklık değişimi Şekil 12'de gösterilmiştir. Bu şekil, ortalama parlaklığın 1984 yılı dışında düzenli olarak arttığını göstermektedir. Dizgenin ortalama parlaklığı 1984 yılında, 1982 ve 1985 yıllarına göre 0.07 daha sönütür. Dalga benzeri bozulma eğrisi ise 1984 yılında oldukça küçük genlikli ve birisi 0.30, öteki 0.75 evrede olmak üzere iki minimumludur. 1985 yılı dalga eğrilerinde de hemen hemen aynı evrelerde daha büyük genlikli iki minimum vardır. Dizgede bu denli büyük değişme ya lekelerin kaplandığı alanların çok fazla büyüğü ya da dizgede bir fiziksel değişmenin olduğu şeklinde açıklanabilir.



Şekil 12. UV Psc'in ortalama parlaklığının yıllara göre değişimi.

KAYNAKLAR

- Abrami,A. ve Cester,B.:1963, Oss. Astron. Trieste, No.320.
- Akan,M.C.:1988, *Astrophys. Space Sci.*, **143**, 367.
- Al-Naimiy,H.M.K.:1981, *Astron. Astrophys. Suppl. Ser.*, **43**, 85.
- Antonopoulou,E.:1987, *Astrophys. Space Sci.*, **135**, 335.
- Arevalo,M.J. ve Fuensalida,J.J.:1985, *Inf. Bull. Var. Stars*, No.2831.
- Arevalo,M.J., Lazaro,C. ve Fuensalida,J.J.:1988, *Astron. J.*, **96**, 1061.
- Arevalo,M.J. ve Lazaro,C.:1990, in *Active Close Binaries*
(ed. C. İbanoğlu), Kluwer Academic Publishers, p.501.
- Bond,H.E.:1970, *Publ. Astron. Soc. Pacific*, **82**, 321.
- Evren,S.:1988, *Astrophys. Space Sci.*, **140**, 125.
- Eaton,J.A. ve Hall,D.S.:1979, *Astrophys. J.*, **227**, 907.
- Hall,D.S.:1976, Proc. of IAU Colloq., No.29, Budapest, Part 1, p.287.
- Huth,H.:1959, *Mitteilungen über veränderliche Sterne*, No.424.
- İbanoğlu,C.:1987, *Astrophys. Space Sci.*, **139**, 139.
- İbanoğlu,C.,Akan,M.C.,Evren,S. ve Tunca,Z.:1985, *Inf. Bull. Var. Stars*, No.2782.
- İbanoğlu,C.,Evren,S. ve Tunca,Z.:1987, *Astrophys. Space Sci.*, **136**, 225.
- Kadouri,T.H.:1981, *Inf. Bull. Var. Stars*, No.2057.
- Keskin,V.,Akan,M.C.,İbanoğlu,C.,Tunca,Z. ve Evren,S.:1987, *Inf. Bull. Var. Stars*, No.3060.
- McLean,B.J.:1982, *Mon. Not. R. Astron. Soc.*, **201**, 421.
- Mennella,V.:1990, *Astron. Astrophys.*, **234**, 203.
- Northcott,R.J. ve Bakos,G.A.:1956, *Astron. J.*, **61**, 188.
- Northcott,R.J. ve Bakos,G.A.:1967, *Astron. J.*, **72**, 89.
- Oliver,J.P.:1974, Ph.D. Thesis, Univ. of California, Los Angeles.
- Popper,D.M.:1976, *Inf. Bull. Var. Stars*, No.1083.
- Sadık,A.R.:1979, *Astrophys. Space Sci.*, **63**, 319.
- Vivekananda Rao,P. ve Sarma,M.B.K.:1984, *Astrophys. Space Sci.*, **99**, 239.
- Wood,D.B.:1972, Goddard Space Flight Center, Report X-110-72-473.
- Wood,D.B.:1978, WINK Status Reports, No.1-10.
- Zeilik,M.,Elston,R.,Henson,G.,Smith,P.:1981, *Inf. Bull. Var. Stars*, No. 2006.
- Zeilik,M.,Elston,R.,Henson,G.,Schmolke,P.,Smith,P.:1982a, *Inf. Bull. Var. Stars*, No. 2089.
- Zeilik,M.,Elston,R.,Henson,G.,Schmolke,P.,Smith,P.:1982b, *Inf. Bull. Var. Stars*, No. 2107.
- Zeilik,M.,Baca,B.,Batuski,D.,Burke,S.,Elston,R.,Smith,P.:1982c, *Inf. Bull. Var. Stars*, No. 2221.

S. SELAM: Işık eğrilerinden tutulmalar çıkarılırken temel kriter olarak ne kullanılıyor.

C. İBANOĞLU: Işık eğrilerinden tutulma başlangıcı hesaplanabiliyor.

Z. ASLAN: Tutulmalar sırasında renk değişimine bakıldı mı?

C. İBANOĞLU: Renk değişimini incelemeydi.

E. DERMAN: Bazı parlamaların varlığını gösterdiniz ve bunların kısa süreli fler olarak yorumlanabileceğini ifade ettiniz. Bunu işık eğrisi üzerinde nasıl gösterdiniz? Ben tüm işık eğrisi üzerinde böyle üç olay tespit ettim, üçünü de fler olarak saptamak biraz zor. Çünkü, bunlarda gerçekten fler oluyor ama o kadar sık değil, daha geniş aralıklarda oluyor. Bir de, pek olası değil ama, bozulma dalgasına bir dönem analizi uyguladınız mı? Yani, imkânsız gibi görünüyor ama, yörunge dönemleriyle fotometrik dönem birbirinden farklı olabilir mi?

C. İBANOĞLU: Onu uygulamadık. Bir İtalyan bilim adamı 1983'de uygulamış ve 10 yıl gibi bir periyot çıkartmışdı. Yani rotasyon periyodu ile dönme periyotlarının birbirinden farklı olduğu sonucunu çıkartmış.

E. DERMAN: Ama o yörunge dönemde yakın bir dönemde çıkıştı lâzım.

C. İBANOĞLU: Yörunge dönemde çok yakın çıkıştı lâzım.

E. DERMAN: Orada bir bilgi var, 0.8 civarında.

O. DEMİRCAN: İzin verirseniz ben önce bir düzeltme yapacağım. Geliştirmeyen çalıştığımız dediğiniz yöntem yeni değil. Sanırım 1974-1976'lerden bu yana birkaç farklı grup tarafından kullanılıyor. Size de yöntemi 1982 yılında öneren benim.

C. İBANOĞLU: Ben hiç duymadım. Eğer arkadaşlar duyduysa.

O. DEMİRCAN: Bu kısa dönemli RSCVn neden anakol bandının içerisinde?

C. İBANOĞLU: Anakolun biraz daha dışında. Yani sapmış.

O. DEMİRCAN: Birkaç yıldır işık değişimine üçüncü bir katkı olarak kütle aktarımı öneriliyor. Roche lobalarını doldurmamışlar, ancak hem kuramsal hem de gözlemsel çalışmalar gösteriyor ki bileşenlerden bir tanesi %60-70'ini doldurduğu zaman kütle aktarımı başlıyor. Galiba bu sistemlerde bileşenlerden bir tanesi kütle aktarımına başlamış. Işık eğrilerindeki o yorumlayamadığımız karmaşık değişimlere bir katkı da buradan geliyor.

C. İBANOĞLU: O, kıızılıtesi gözlemleriyle ER Vul'da ortaya çıkarılmış. ER Vul'da kıızılıtesi katkı var ve bu kıızılıtesi katkı her iki bileşeni çevreleyen bir gaz ortamın varlığını gösteriyor. Ama eğer teori ile karşılaşırırsak her iki yıldız da Roche lobunun çok çok altında. Yani %40 civarında doldurmuş. Buna rağmen bileşenler arasında kütle aktarımı olabilir.

E. DERMAN: Bu analiz yöntemini kullanarak yakınık etkileriyle bozulma dalgasını birbirinden tamamen ayırmak

mümkün mü? Sanırım mümkün değil. Çünkü ER Vul'da yakınlık etkisi fazla olduğu için onda bulduğunuz aralık çok çok geniş, bu dikkatimi çekti. Dolayısıyla, sanki yönteminiz bunun ikisini birbirinden ayırmıyor gibi gözükar.

C. İBANOĞLU: Tabii o bulduğunuz parametrelerin ne derece sağlıklı olduğuna bağlı. Ne kadar sağlıklı ise, yakınlık etkilerini o kadar doğru hesaplıyorsunuz demektir.

E. DERMAN: Meselâ ER Vul'da bir yarıçapta bulduğunuz aralık çok geniş. Nedeni ER Vul'da yakınlık etkisinin fazla olması mı acaba?

C. İBANOĞLU: Hayır. Relatif bir bozulma var. Eğer sakin evrede ışık eğrisi gözlenseydi aralık çok dar olacaktı. Ama aktif evrede gözlendiği için ışık eğrisinde bulunan değerler çok. Tutulma sığ, dolayısıyla aktiflik minimumla karşılaşırabilecek kadar büyük.

E. DERMAN: Dolayısıyla çözümü bozuyor.

C. İBANOĞLU: Çözümü bozuyor. Olay aktiflikten kaynaklanıyor.

E. DERMAN: Ama aktifliği de ayıryorsunuz.

C. İBANOĞLU: Ama ayırdığımız aktiflik uzun periyotlu aktiflik. Bir dönem içerisinde olan aktifliği ayıryoruz. Halbuki küçük periyotlu, 30-40 dakikalık olaylara giremiyoruz.

E. DERMAN: O olaylar da çözümümüzü etkiliyor diyorsunuz. Bende yakınlık etkileriyle bozulma dalgasını iterasyon sırasında birbirinden ayırma imkânı olmadığı düşüncesi uyuyor.

O. DEMİRCAN: Olmasa da iterasyonlar doğru yönde gelişiyor.

Z. ASLAN: Aynı yönde bir şey söyleyeceğim. Siz yarıçaplar için iki yıldızda da bir aralık buldunuz. Bu aralık, herhalde yıldızın yarıçapı bu zaman içinde bu şekilde değişiyor anlamında değil.

C. İBANOĞLU: Değil.

Z. ASLAN: O halde siz bunları sabitleştirme yoluna gitmediniz mi?

C. İBANOĞLU: Ne yapabiliriz. Biz elimizdeki gözlemden bilgi çıkartmaya çalışıyoruz. Parametreleri zorlayabiliyoruz ama yanlış yapmış oluruz.

Z. TUNCA: Zeki bey'e cevap vermek istiyorum. 1987 A'da yapılan çalışmada çok farklı seneler için farklı çözümler bulundu. Ethem bey'in sözünü ettiği o tutulmalar dışındaki dönemde ufak değişimler var. Başlangıçta yola çıkarken başlangıç kuramsal eğrisi dediğimiz bir çözümümüz var. Bu, tutulma ile ışık değişimlerinin en az olduğu, saçılımaların en az olduğu ışık eğrisinden yola çıkıyoruz. Eğer ışık eğrisinin minimum noktasında ufak değişimler varsa başlangıç olarak aldığımız o ilk kuramsal eğriye biraz bozucu etki olarak gözükar. Tutulma dışında bunu görmeyebilirsiniz. Başlangıçta aldığınız ışık eğrisini çözdünüz, arka arkaya yaklaşımından sonra bir kuramsal sonuç elde ediyorsunuz. Bu sonucu tüm yıllar için yeniden çıkartıyorsunuz. Çıkarttiktan sonra bozucu etkiler kendiliğinden her yıl için çıkar. Yani farklı senelerde elde ettiğiniz ışık eğrisinden tek bir kuramsal

sonuca ilişkin teorik ışık eğrinizi çıkarttığınızda, elde ettiğiniz kalan gözlemleri farklı farklı tekrar çözduğunuzda, sonuçların birbirine yakın olması biraz da yönteminizin duyarlığını gösteriyor. Eğer aynı sonucu bulursanız arındırmayı çok iyi yaptınız, bulamıyorsanız, aralığınız ne kadar genişse, arındırmayı yapamıyorsunuz demektir. Bunun nedeni de başlangıçta ele alınan ışık eğrisinde, minimum uçlarında çözümle etki eden ufak değişimler. Onu arındıramıyorsunuz. Yani onun etkisi başlangıçtaki çözümde kendisini gösteriyor.

O. DEMİRCAN: O kısa süreli değişimleri bir yolla atlayabilirsiniz; oraya en baştan ya Fourier serisini tatbik edeceksiniz, veya söz konusu kuramsal eğriyi tekrar çözeceksiniz. O zaman o etkiyi doğru bir şekilde dışlamış olursunuz.

C. İBANOĞLU: O zaman yapılacak iş belki ışık eğrisinde çok kısa zaman aralıklarını tercih etmek. Çünkü genlikleri de farklı olacak.

O. DEMİRCAN: Yani fler olmasaydı nasıl olurdu diyeceksiniz ve onu çözeceksiniz.

M. ÖZEL: Burada bir noktaya dikkatinizi çekmek istiyorum. Bugün dinlediğimiz konuşmalarda iki tane dil var sanki. Bir morötesi ve kozmoloji konularında dinlediğimiz zaman zaman İngilizce'den olduğu gibi aktarılan, halbuki Türkçesinin olduğunu bildiğimiz, terimlerle kelimeler var ama bir de Cafer İbanoğlu'nun özenle gösterdiği herşeyi Türkçe yerleşmiş şekliyle kullanma çabası var. Bunun kaynağını araştırırsak belki Abdullah Kızılırmak hocanın baştan beri bu konuya gösterdiği özen kadar orada yetişen arkadaşların buna dikkat etmesi de önemli. Diğer gruptaki arkadaşlar da, yani morötesi ve kozmoloji çalışan arkadaşlar, bu konuların belki yeni olmasından, terimleri şimdilik olduğu gibi almayı tercih ediyorlar. Ama eminim biraz gayret gösterirsek onlar için de güzel terimler bulabiliriz ve daha az tırmalayıcı bir tebliğ veya konuşma dinleyebiliriz. Ben arkadaşlardan bu konuda da bundan sonra dikkatli olmalarını, gerekirse hep birlikte terim arayabileceğimizi söylemek isterim.

RS CVn YILDIZLARINDA GÖRÜLEN YÜZEV AKTİVİTESİNİN YILDIZ PARAMETRELERİYLE OLAN İLİŞKİSİ

Serdar EVREN

Ege Üniv. Fen Fakültesi, Astronomi ve Uzay Bilimleri Bölümü
Bornova - İzmir

1. GİRİŞ

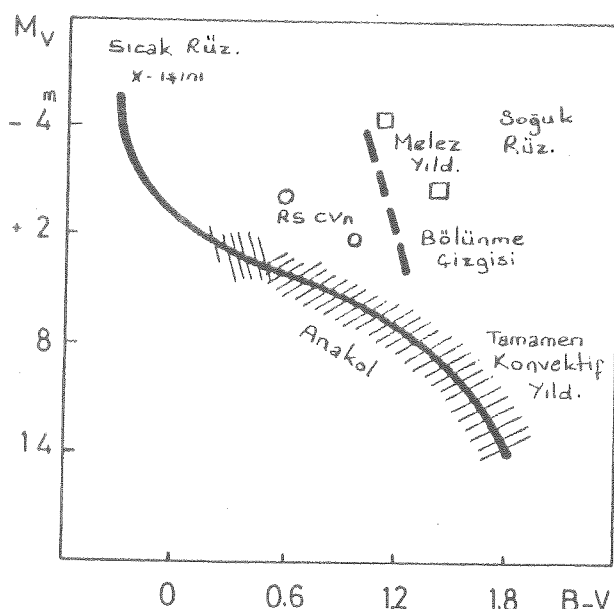
Yıldız yüzeyinde görülen aktivite ile ilgilenme, güneş diskinde gözlenen siyah lekelerle başlamıştır. Bu aktivitenin birçok belirtileri vardır (Basri, 1987):

- Karanlık lekelerden parlak aktif bölgelere,
- Isınmış kromosferin varlığı,
- Yüksek ısılı koronanın varlığı,
- Yıldız rüzgarlarının varlığı.

Güneş diskinde aktivite gözlenirken, diğer yıldızlarda da böyle bir aktivitenin varlığından söz edilmelidir. Yıldız kromosferlerinin bulunduğu Ca II nin kuvvetli salma çizgilerinin gözlenmesine, koronanın bulunduğu ise yalnız çok hassas X-ışını gözlemlerine bağlıdır. Son yıllarda yıldız aktivitesi çalışmalarında büyük bir artış olmuştur. Bütün konvektif yıldızların aktivite gösterdiği açıkça bellidir ve güneş aslında çok aktif olmayan yıldızlardan biridir.

Once, yıldız aktivitesi ne anlama geliyor bunu belirlemek gereklidir. Konuya genelde dış katmanlardaki plazmanın ısınması olarak bakılmaktadır. Tüm elektromanyetik tayf incelendiğinde çeşitli yıldız aktivitesi teşhisleri bulunur. Bunlardan bilinenleri elbette ki tayfin görünen bölgesindedir. Elde edilen değişkenliklerin iki sebebi vardır: Birinci yıldız lekelerinden kaynaklanan dönemli değişimler, ikincisi flarelerin sebeb olduğu düzensiz değişimlerdir. Bazı RS CVn yıldızları da flare göstermektedir. Leke olayı benzer tür yıldızlarda çoğunlukla gözlemlenmektedir. Bunun bir nedeni de, fotosferik ışının gücü soğuk yıldızlarda en düşük buna karşın aktivite en fazladır. Bununla beraber, şu da doğrudur ki, bu yıldızlarda en kuvvetli aktivite vardır. Bazı durumlarda gözlemler karanlık lekelerden ziyade parlak bölgelerle daha çok uyum sağlar.

Yıldız aktivitelerinin ana özellikleri Şekil 1'de verilen H-R diagramında gösterilmiştir. Aktivite anakol boyunca, en parlak yıldızlarda yıldız rüzgarları ve konvektif yıldızlarda güneş benzeri aktivite olarak görünür. Benzer aktivite anakoldan uzakta kırmızı dev kolu yakındanki bölünme çizgisinin solunda gözlemlenmektedir. Burada yüksek sıcaklıklı materyal gözlemleri sona erer ve kütle kaybı başlar. Bu çizgi yakınında birkaç melez yıldız vardır. Bunlar sıcak geçiş bölgesi materyalleri ve soğuk genişlemiş kromosfer delillerinin her ikisini de gösterir.



Şekil 1. H-R Diagramında yıldız aktivitesi

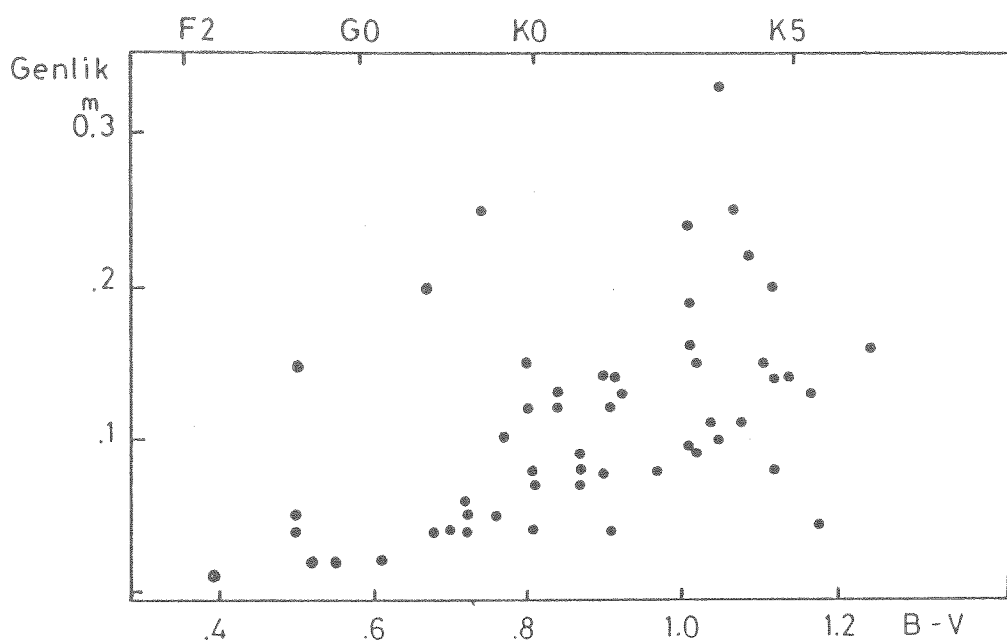
Bu çalışmada, RS CVn yıldızlarının fotoelektrik gözlemleri sonucunda elde edilen ışık eğrilerinden faydalananın amaçlanmıştır. ışık eğrilerinden elde edilen dalga biçimi bozulmaların genliğini ya da lekelerin yüzeyde kapladığı alanları yüzey aktivitesi olarak ele aldık. Böylece bir aktivite ölçüsü olarak kabul edebileceğimiz bu değerleri bu yıldızların tayf türü, yarıçap, kütle, göç dönemi ve dönme dönemi gibi parametreleri ile nasıl değiştigini araştırdık.

2. VERİLER

Bu çalışmada çeşitli parametreleri belli olan 78 tane RS CVn türü yıldız seçilmiştir. Seçilen yıldızların dalga biçimi bozulma genlerinin saptanmış olmasına rağmen her bir yıldız için verilen genlik değerleri zamanla değiştiğinden aynı yıldıza ilişkin farklı zamanlar için birden fazla genlik değeri mevcuttur. Onun için böyle yıldızların genlik değerleri saptanırken onların ortalama değerleri alınmış ve diagramlarda bu değerler noktalanmıştır. Ortalama genlik değerleri genellikle 0.10 - 0.15 kadir aralığında toplanırken 0.30 - 0.35 kadir'e varan ortalama genlik değerleri de gözlenmiştir. Kendi gözlem sonuçlarından elde ettiğimiz veriler tüm verilerin %25 - 30 'unu kaplarken geri kalanı çeşitli kaynaklardan (Ambruster et all., 1987; Eker, 1984; Hall, 1976; Popper ve Ulrich, 1976; Strassmeier et all., 1988) bulduğumuz verilerdir.

3. GENLİK - TAYF TÜRÜ İLİŞKİSİ

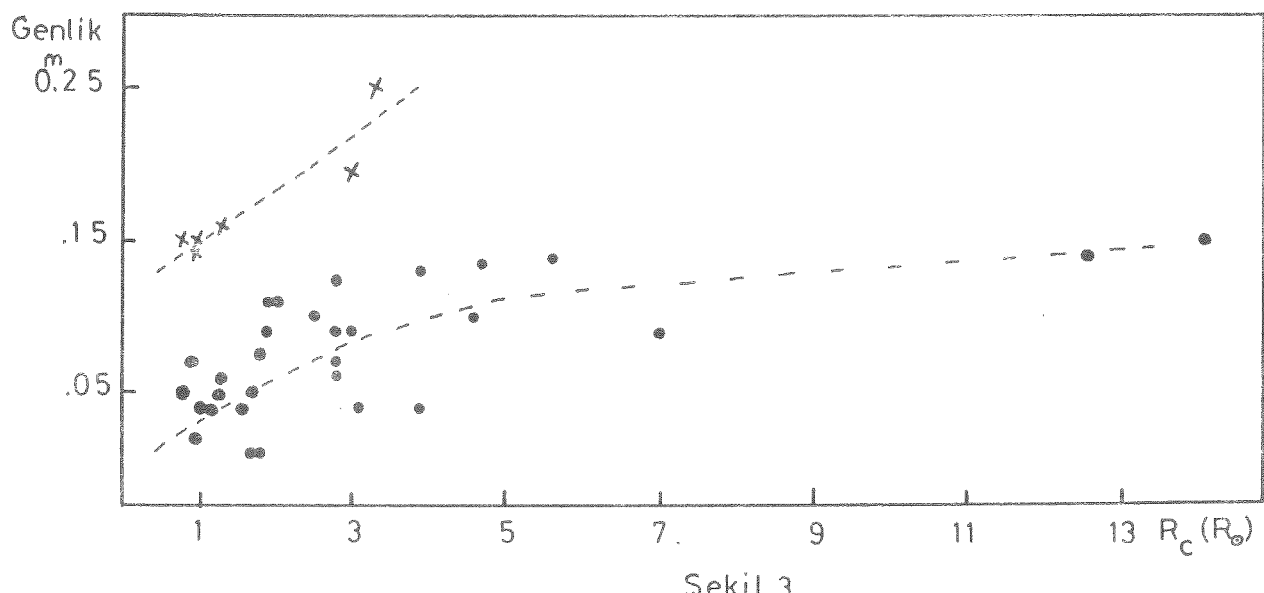
Seçilen yıldızlar içinden genlik değeri ve tayf türü aynı anda helli olan yıldızların sayısı 53 tane olup bunların verdikleri değişim Şekil 2' de gösterilmiştir. Bu sekilden de görüldüğü gibi geri tayf türüne doğru gittikçe genlik değerleri artmaktadır ve K3-K4 tayf türünden sonra azalmaktadır. Dikkat edilirse bu tür yıldızlar F2 - K5 tayf türü aralığına yayılmışlardır. K tayf türünden yıldız sayısı oldukça fazla olup en fazla yıldız K4 tayf türünde bulunmaktadır.



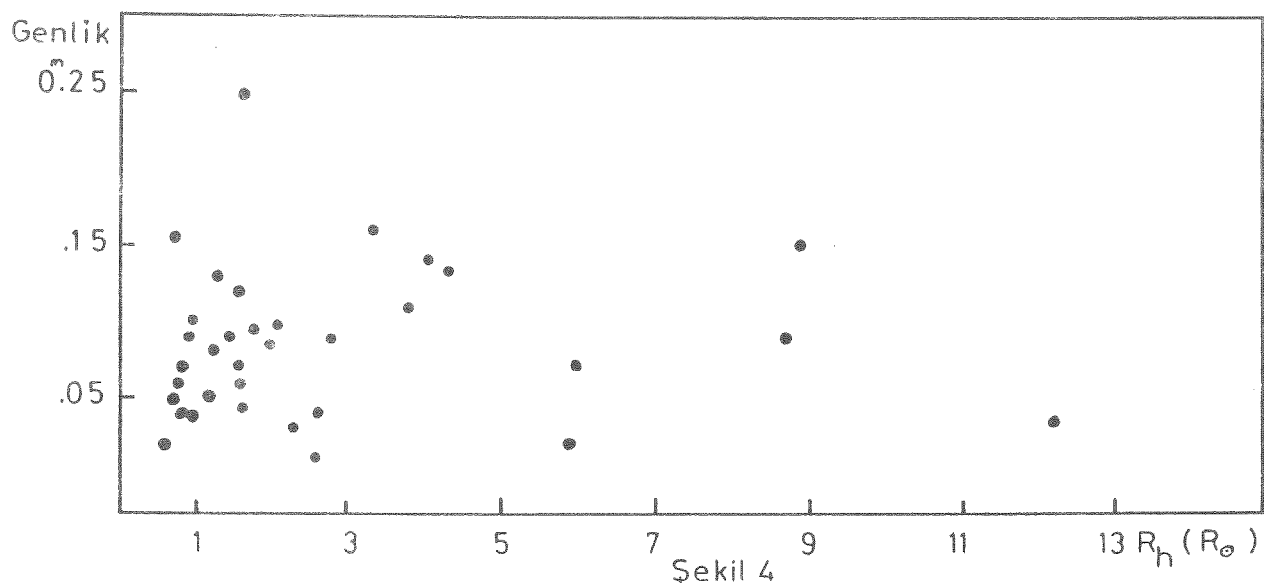
Sekil 2. Genlik - tayf türü ilişkisi.

4. GENLİK - YARIÇAP İLİŞKİSİ

Dalga benzeri bozulma genliği ile bileşenlerinin yarıçapları belli olan 36 yıldızın verdikleri değişim Şekil 3 ve 4 de ayrı ayrı gösterilmiştir. Şekil 3' de genlik değerlerinin sistemin soğuk bileşenine göre değişimi gösterilirken Şekil 4' de aynı değerlerin sıcak bileşenin yarıçapına göre değişimi gösterilmektedir. Bu şekillerden de anlaşıla-çağı gibi yıldızların yüzey aktiviteleri soğuk bileşenlerle ilgiliidir. Soğuk yıldızın yarıçapı arttıkça aktivite artar. $5R_{\odot}$ yarıçaplı yıldızlardan sonra genlik değerleri hemen hemen sabit kalmaktadır. Şekil 3'e dikkat edilirse çarpı işaretini gösteren bazı yıldızlar aynı yarıçap değerine sahip diğer yıldızlardan yaklaşık 0.1 kadar daha fazla aktiflerdir ve ayrı bir grup oluştururlar.



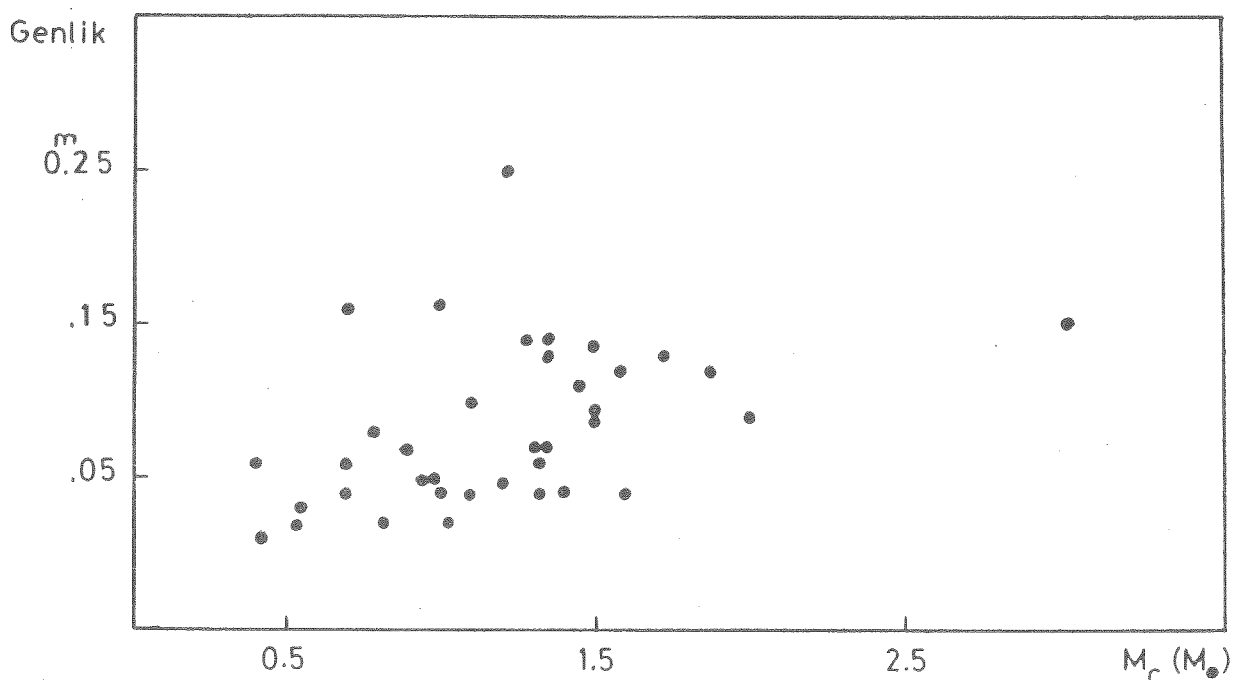
Sekil 3



Sekil 3 ve 4. Genlik - yarıçap ilişkisi.

5. GENLİK - KÜTLE İLİŞKİSİ

Genlik - Yarıçap ilişkisine benzer olarak genlik ve kütle değerleri belli olan 37 yıldızın verdikleri ilişki Şekil 5 'de gösterilmiştir. Kütleler soğuk bileşenin kütlesi olup kütleler arttıkça genlik değerleri de artmaktadır. Yalnız $1.4 M_\odot$ kütleli yıldızlardan sonra bu değerler yine hemen hemen sabit kalmaktadır.



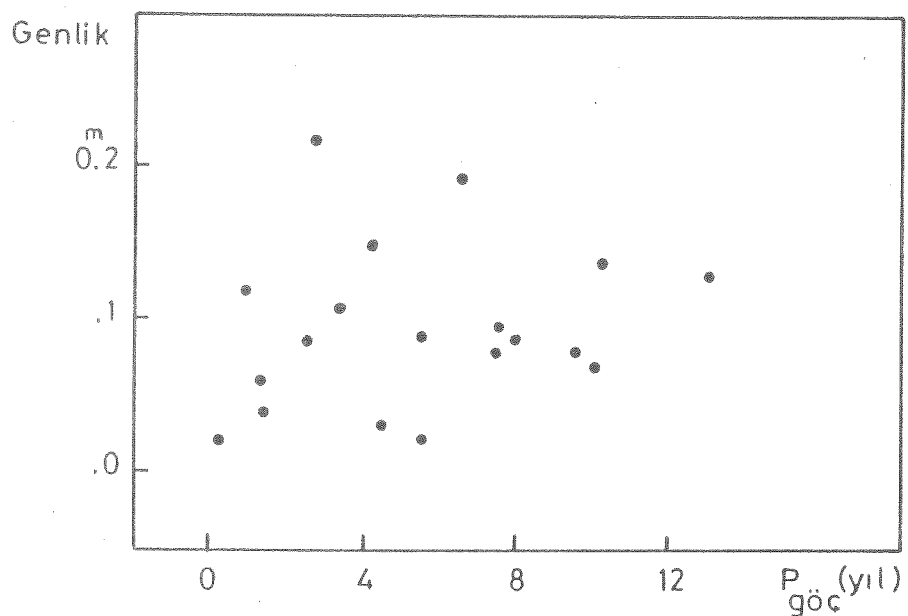
Sekil 5. Genlik - kütle ilişkisi.

6. GENLİK - GÖÇ DÖNEMİ İLİŞKİSİ

Bu tür yıldızların ışık eğrilerinde görülen dalga benzeri bozulmaların zamanla biçim ve genlik değiştirmeleri yıldızın aktivitesi ile ilgili olduğu kabul edilir. Bu bozulmaları temsil eden eğrilerin minimumlarının da zamanla azalan evrelere doğru kayması (göç) ise sistemin soğuk bileşeninin yüzeyinde varlığı kabul edilen lekelerin yıldızın diferansiyel dönmesinden dolayı yer değiştirmesine dayandırılmaktadır. Bu nedenle genlik ile göç dönemi arasında bir ilişkinin olup olmadığı araştırıldığından Sekil 6 'da görülen düzensiz bir değişim göze çarpar. Unutmamak gereklidir ki bu tür yıldızların göç dönemlerinin belirlenebilmesi için gerçekten çok uzun süreli ve güvenilir gözlemlere gerek vardır. Sekil 6 'dan da anlaşılacek gibi genlik değerleri belli olduğu halde göç dönemleri belli olan yalnız 19 yıldız vardır ve bu değerlerin de henüz hiç biri kesin değerler değildir. Yani yüzey aktivitesi ile göç dönemi arasındaki bağlılık açık değildir.

7. GENLİK - DÖNME DÖNEMİ İLİŞKİSİ

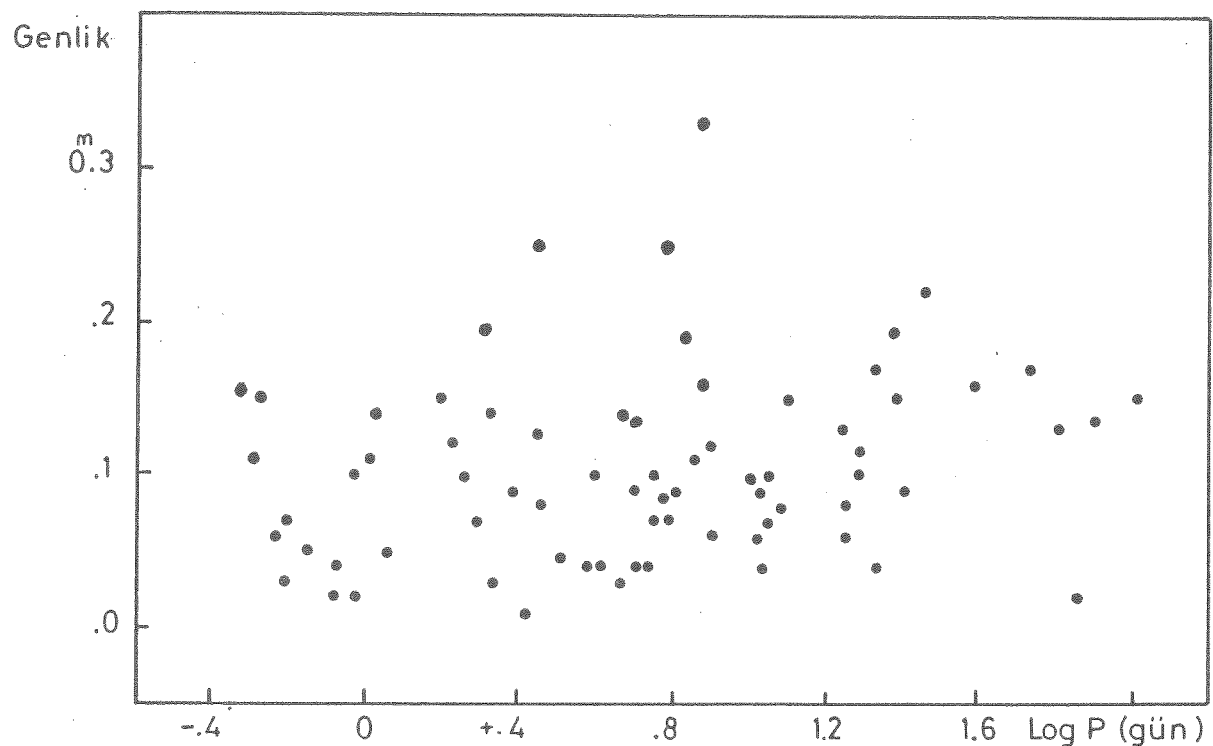
Seçilen yıldızların hemen hemen hepsinin (73 tane) dönme dönemleri belli olduğundan bu değerler genlik değerlerine göre noktalandığında Sekil 7 'de görülen düzensiz bir değişim göze çarpar. Ancak genliğin dönme dönemine göre bağımlılığı belirli B - V aralıkları için araştırılırsa durum farklıdır. Bu tür yıldızlarda görülen yüzey aktivitesi ile dönem arasındaki ilişki tayf türüne bağlıdır. Sekil 8 geri tayf türlerine doğru gittikçe dönmenin etkisinin yüzey aktivitesi üzerinde azaldığını göstermektedir. Yaklaşık G8 tayf türünden sonra ($B-V > 0.75$) bu etki sabit gitmektedir. Bu sonuç geri tayf türünden anakol yıldızları için bulunan sonuçla benzerlik göstermektedir (Marilli, 1986).



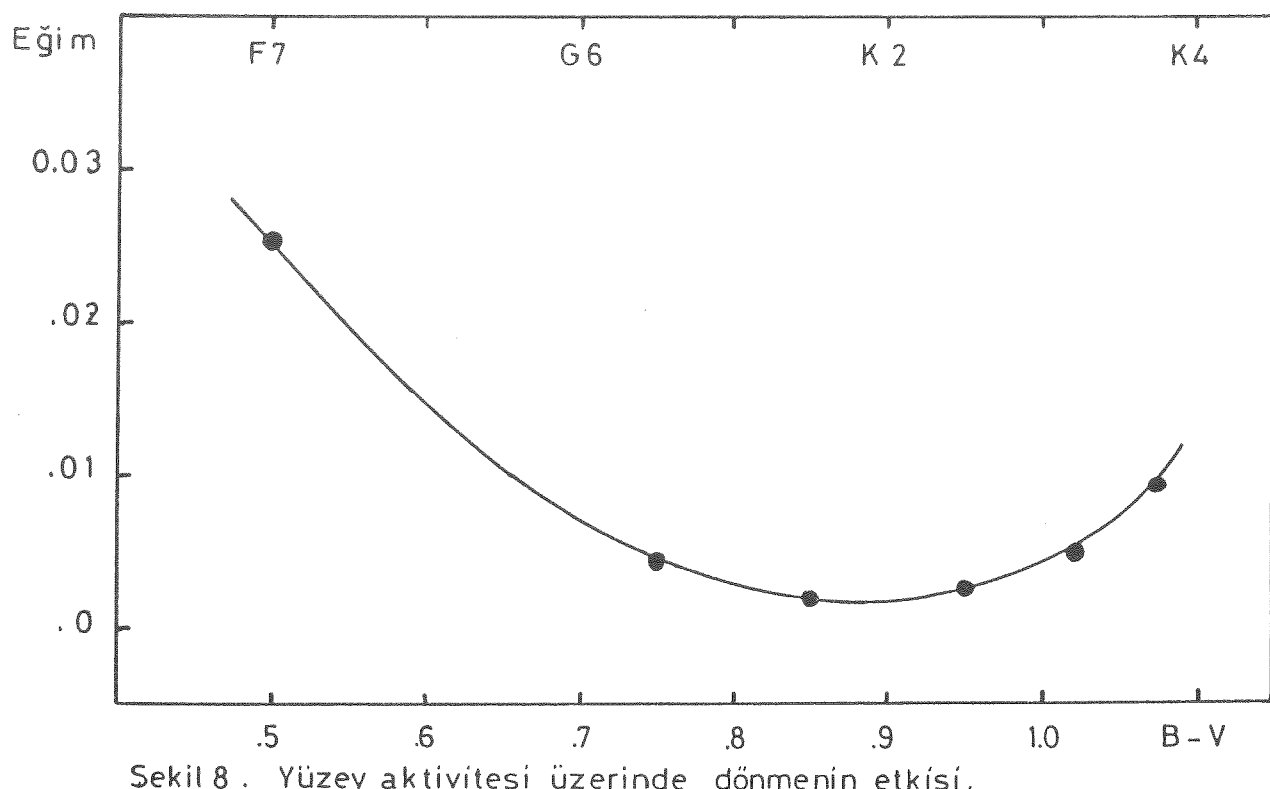
Sekil 6. Genlik-göç dönemi ilişkisi.

8. SONUÇLAR

RS CVn yıldızlarında geri tayf türüne doğru gittikçe artan yıldız aktivitesi en çok K0-K5 tayf aralığında görülür. Soğuk bileşenle ilgili olan aktivite, bileşenin yarıçapı ve kütlesi ile doğru orantılıdır. Aktivite ile göç dönemi arasındaki bağılılığın varlığı ancak sistemlerin göç dönemlerinin güvenilir derecede saptanabilmesinden sonra açıklığa kavuşabilir. Yüzey aktivitesi ile dönem arasındaki ilişki tayf türüne bağlıdır. Dönem arttıkça aktivite azalır. Geri tayf türlerine doğru gittikçe dönmenin etkisi yüzey aktivitesi üzerinde azalmaktadır.



Sekil 7. Genlik - dönme dönemi ilişkisi.



Sekil 8 . Yüzey aktivitesi üzerinde dönmenin etkisi.

K A Y N A K L A R

1. Ambruster, C.W., Sciortino, S. ve Golub, L.: 1987, *Astrophys. J. Suppl. Ser.* 65, 273.
2. Basri, G.: 1987, in "Protostars and Molecular Clouds", Eds. T. Montmerle & C. Bertout.
3. Eker, Z.: 1984, *Wisconsin Astrophys.* 212.
4. Hall, D.S.: 1976, *Proceedings of the IAU Colloquim No.29,* Vol.1, p.287.
5. Marilli, E., Catalano, S. ve Trigilio, C.: 1986, *Astron. Astrophys.* 167, 297.
6. Popper, D.M. ve Ulrich, R.K.: 1976, *UCLA Astron. Astrophys. preprint No. 5.*
7. Strassmeier, K.G., Hall, D.S., Zeilik,M., Nelson, E., Eker,Z. ve Fekel, F.C.: 1988, *Astron. Astrophys. Suppl. Ser.* 72, 291.

T. SAYGAC: Renk eğrisinin küçük aralıkları için çizdiğiniz dönem ile genlik arasındaki diyagramlarda örnek sayısı birdenbire azalıyor. Bunlardan mesela birinde üç tane örnek vardı, ortalama bir eğri geçirdiniz. Üstelik bu üç yıldızın gözlemleri yeterince hassas değilse, buradan elde edilen sonuçlar ne derece doğrudur?

S. EVREN: Bu söylediğiniz şeyler tamamen şu ana kadar (B-V)'si ve aynı zamanda genlik değerleri belli olan yıldızlar için. Yani elimizde bu kadar veri olduğu için ancak bunları söyleyebiliyoruz. Veri sayısı arttığı zaman daha iyi sonuçlar alabiliriz.

E. DERMAN: Bilim adamlarının çok kullandığı bir yöntemdir, ben onu psikolojik baskı olarak tanımlıyorum. Dört noktadan bir doğru geçiriyorsunuz, üçü bir yerde bir tanesi yok, gerçekten bir ile üç birleşikleri zaman biz hemen orada bir bağıntı olduğunun anıyoruz. Bu istatistikte çok söylenen "rakamların üzerinde istediğiniz gibi oynarsınız" a çok uygun. Gerçekten psikolojik baskı da yaratıyor. Benim söylemek istediğim şey şu: ΔV'yi alırken ortalama genliği almakta ziyade gözlenen maksimum genliği almakta yarar yokmuydu? Çünkü bunu biz aktivite parametresi olarak alıyoruz, maksimum genlige ulaşan yıldız en aktif yıldızdır diyemez miyiz?

S. EVREN: Dediğiniz doğru da, o zaman her yıldızın en aktif olduğu konuma göre herşeyi çözmemiz gerekecek, o zaman da ben tahmin etmiyorum ki bu tür şeylerin içinden çıkalıbsın.

E. DERMAN: Yani yaptınız çıkmadı mı?

S.EVREN: Hayır yapmadım, ama öyle tahmin ediyorum. Tam olarak bir genlik değeri almak isterseniz, o yıldızın belli bir dönem içindeki genel aktivite düzeyi, yani bir yıldız elbetteki belli bir zaman içinde daha aktif olabilir, ama bu, genelde normal olarak bir aktiflik düzeyi varsa, çıktığı en yüksek değer alınacak demek degildir.

E.DERMAN: Ama en aktif oluyor demektir.

S.EVREN: Ama bir de onun genel durumu vardır.

H.KIRBIYIK: Gözlemsel parametreler arasında birçok ilişkiler gösterdiniz. Aktivitenin nasıl değiştigini, nereden kaynaklandığını söylemisiniz?

S.EVREN: Aktivite tamamen kromosferden kaynaklanıyor. Esasında konvektif bölgeden geliyor. Yani iç taraflardan itibaren tamamen konvektif bölgedeki gaz hareketlerine ve bu konvektif bölgenin fotosferden koronaya kadar etkisini gösteriyor. Her bir bölgede inceleme yapıldığında, kromosferdeki ya da onun üstündeki geçiş bölgelerinde tek tek inceleme yapıldığında, hangi bölgenin ne kadar daha aktif olduğu çıkarılabiliyor ve bunun görünüşü değişiyor; fotosferde leke olarak, kromosferde CaII olarak, koronada X-ışını olarak görülebiliyor. Yani kökeni esasında konvektif yıldızlar.

H.KIRBIYIK: Yer olarak sormadım. Aktivitenin, bölgedeki yıldızın herhangi bir yerindeki durumu değil de, model olarak nedir? Çalışmalarda, leke midir, yoksa yıldızın iç yapısı ile ilgili bir şey mi?

S.EVREN: Şu ana kadar ortaya konulan şeyler leke olarak ele alınıyor. Ama bu aktivite, esasında çok geniş bir konu, yani RS CVn yıldızlarında bu, leke olarak ele alınıyor, ama O ve B tayf türünden yıldızlarda sıcak yıldız rüzgarları olarak ele alınıyor. Melez yıldızlarda koronadaki, geçiş bölgelerindeki ani değişiklikler olarak ele alınıyor; yani her bir yıldız türü için, mesela T Tauri, her bir yıldızın kendine has bir aktivitesi oluyor. RS CVn yıldızlarındaki aktivite lekeye dayandırılıyor.

N.KIZILOGLU: Aktivite konvektif bölge ile ilgili olduğuna göre düşük kütlelere doğru gidildiği zaman aktivitenin artması lazımlı. Ama sizin orada gösterdiğiniz grafikte kütle büyümükçe artıyor. Yani aktivite artışı nereden ileri geliyor?

S.EVREN: K tayf türü yıldızlardan sonra aktivite düşüyor. Yani mesela B tayf türü yıldızlarda bu tür olayları görmeyiz.

LS Delphini (HD 199497) YAKIN ÇIFT YILDIZININ DÖNEM ANALİZİ

Selim SELAM, Osman DEMİRCAN, İ. Ethem DERMAN

A.Ü. Fen Fak. Astronomi ve Uzay Bilimleri Bölümü 06100 Beşevler, ANKARA

ÖZET

Kısa dönemli ($P= 0.3638$ gün) değişen bir çift yıldız olan LS Delphini, Ankara Üniversitesi Ahlatlıbel Gözlemevi'nde 1987, 1988 ve 1989 yıllarında, UBV bantlarında fotoelektrik olarak gözlenmiştir. Toplam 22 gecelik gözlem verileri indirgenmiş ve UBV bantlarında ışık eğrileri elde edilmiştir. Gözlenen 1. ve 2. minimum zamanlarından O-C analizi yapılarak, sisteme ilişkin yeni ışık elemanları belirlenmiştir.

1. GİRİŞ

LS Delphini (HD 199497 = BD+19°4574) sistemi, 1966 da prizma objektifli tayıfçeker ile elde edilmiş plaklar üzerinde gösterdiği yaygın tayıf çizgileri vasıtası ile Bond (1976) tarafından keşfedilmiştir ve Strömgren y filtresinde fotoelektrik olarak gözlenmiştir. Bond elde ettiği 28 noktalı fotometrik ışık eğrisine dayanarak sistemin yeni bir W UMa türü örten çift olduğunu, ışık değişim genliğini 0.15 kadir ve yörüngे dönemini 0.3638 gün olarak belirlemiştir.

Sistem HD kataloğuna göre G5 tayıf türündedir. Sistemin fotoelektrik gözlemleri Bond (1976), Sezer vd. (1984), Ruyou vd. (1987), ve Wieck ve Wunder (1989) tarafından yayınlanmıştır. Fotometrik gözlemlerin analizi Sezer vd. (1985) ve Liu vd. (bkz. Leung, 1988) tarafından yapılmıştır. Çizelge 1. de verilen analiz sonuçlarına göre sistemin yörüngे eğimi ve kütle oram için çözümler aşağı yukarı aynı olurken potansiyeller ve dolagısıyla bileşen yarıçapları oldukça farklı bulunmuş, sonuçta Sezer vd. (1985) sistemi degen bir çift yıldız, Liu vd. ise "Reverse Algol" olarak belirlemiştir. Bu bakımından iki ayrı çözümde sistemin karakteri

farklıdır. Minimum derinliklerinin çok farklı olmaması degen çift yıldız modelini desteklesse de çift yıldızların evrimi açısından önemli olması nedeniyle sistemin türünü belirlemek için gözlemlerin yeniden ve dikkatle analiz edilmesi gerekmektedir.

Çizelge 1. LS Del'in fotometrik analiz sonuçları.

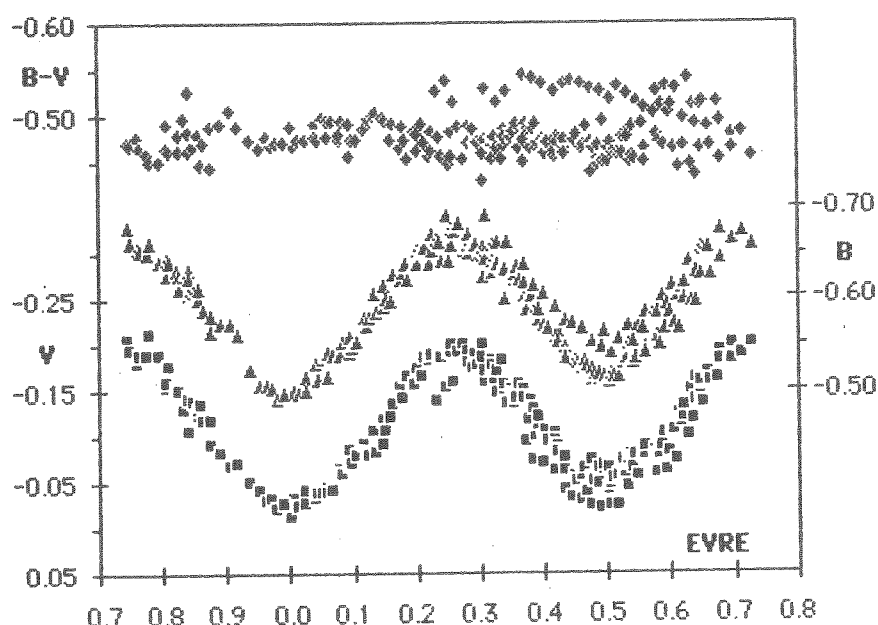
	Sezer vd.		Liu vd.	
	B	V	V	V
i	47.6	48.5	52.7	
q	1.72	1.78	1.66	
L _b	0.449	0.384	0.50	
α	4.8555	4.9305	5.44, 4.76	
T _b (°K)	5780	5780	5520	
T _e (°K)	5487	5704	4718	
r _b	0.331	0.328	0.267	
r _e	0.427	0.429	0.422	
Tür	Değen çift yıldız		"Reverse Algol"	

2. YENİ GÖZLEMLER

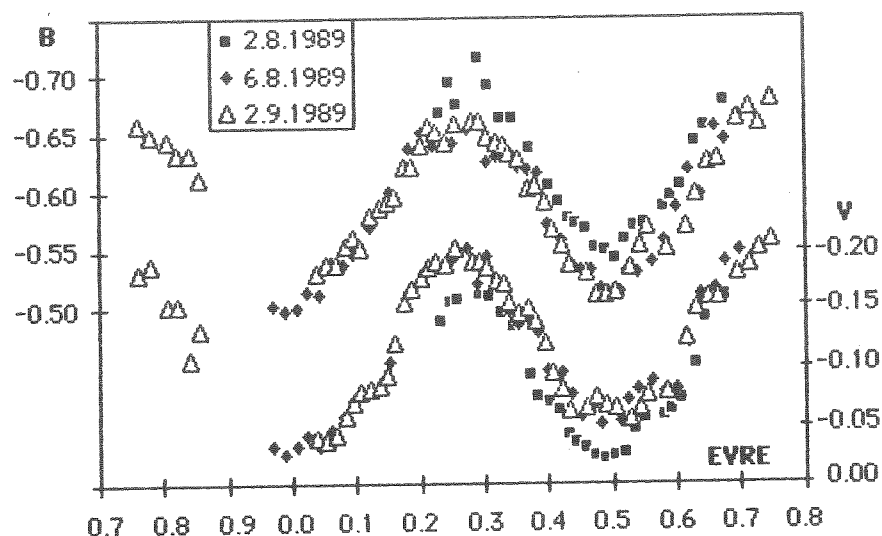
LS Delphini çift yıldız sistemi 1987, 1988, ve 1989 yıllarında toplam 22 gece A.Ü. Ahlatlıbel Gözlemevi'nde UBV bantlarında fotoelektrik olarak gözlenmiştir. Gözlemler, 30 cm Maksutov-Cassegrain teleskopu ve EMI 9789 QB fotokallandırıcı kullanılarak yapılmıştır. Mukayese yıldızı olarak BD+19°4568 (KO), denet yıldızı olarak BD+19°4576 (KO) kullanılmıştır. Gözlem süreleri içinde mukayese yıldızının denet yıldızına oranla belirli bir değişim göstermediği görülmüştür.

1987 ve 1988 yıllarında yapılan 14 gecelik 170 gözlem noktasından ilk iki gecelik 15 gözlem noktası, kötü gözlem koşulları nedeniyle kullanılmamıştır. Sistemin U bandında ilk kez elde edilen ışık eğrileri, minimum derinliklerinin renge fazla bağlı olmadığı göstermektedir. 1987 ve 1988 yıllarında yapılan gözlemler daha kısa sürelidir ve gözlem kaliteleri 1989 gözlemlerine göre daha düşüktür. 1989 yılında alınan bir gözlem noktasının ortalı hatası U,B ve V renklerinde sırasıyla 0.05, 0.03 ve 0.02 kadir iken, 1987 ve 1988 yıllarında yapılan daha kısa süreli gözlemler için bu hatalar biraz daha büyüktür. U gözlemleri ışık değişiminin irdelenmesinde yararlanılmamayacak durumdadır. 1989 gözlemleri B ve V bantlarında Şekil 1. de renk eğrisi ile beraber gösterilmiştir.

Uzun süreli gecelik gözlemlerde minimum ve maksimum seviyelerinin geceden geceye 0.01 - 0.03 kadirlik değişimler gösterdiği



Şekil 1. LS Del 1989 ışık eğrileri



Şekil 2. 1989 da uzun süreli üç gecelik gözlemler.

belirlenmiştir. 1989 gözlemlerinde minimum derinliklerinin ortalama değeri B'de 0.16 ve 0.15 kadirken, Y'de 0.17 ve 0.14 kadirdir. Buna göre minimum seviyeleri arasındaki fark B'de 0.01 ve Y'de 0.03 kadirdir. 1989 da 2 ve 6 Ağustos geceleriyle 2 Eylül gecesi yapılan uzun süreli gözlemler Şekil 2. de gösterilmiştir. Bu gözlemlerde ilginç bazı noktalar dikkat çekmektedir. Öncelikle, ikinci maksimum seviyesi 6 Ağustos ve 2 Eylül gözlemlerinde her iki renkte de aynı olurken 2 Ağustos gözlemlerinde Y renginde 0.04 kadir daha sönükk, B renginde 0.03 kadir daha parlaktır. Birinci maksimumda da aynı durum gözlenmektedir. Şekle göre sistemin 2-6 Ağustos arasında, 2 Ağustos gözlemlerine göre, Y renginde en az 0.03 kadir parladığı ve B renginde de aynı mikarda sönümlendiği anlaşılmaktadır. İkinci olarak 0.14-0.18, 0.38-0.40 ve 0.56-0.64 evre aralıklarında farklı gecelere ait Y gözlemlerinin dağılımı eğri üzerinde benzer değişim göstermektedir. Bu değişimler B renginde fazla belirgin değildir. Bunların, ilgili evrelerde ek soğurma yapan soğuk bölgelerden kaynaklandığı söylenebilir.

Sistemin $\Delta(B-Y)$ rengi evreden bağımsız ve -0.46 dir. Değen çift yıldız olarak, anakol yıldızı olması gereken LS Del için G5 tayıf türü kabul edilirse $(B-Y)=0.66$ olmalıdır (Popper 1980).

$$(B-Y)_{\text{değ.}} - (B-Y)_{\text{muk.}} = -0.46$$

bağıntısından mukayese olarak kullanılan ve KO tayıf türünden olan BD+19°4568 yıldızı için $(B-Y)_{\text{muk.}}=1.12$ bulunur ki bu değer (Flower 1977 tablolarına göre) onun dev olmasını gerektirdiğini göstermektedir.

LS Del'in ışık eğrilerinde kısa süreli kararsız değişimlerin dışında W UMa türü ışık değişimini sağlayan etkileri belirleyebilmek için sistemin 1989 gözlemlerine

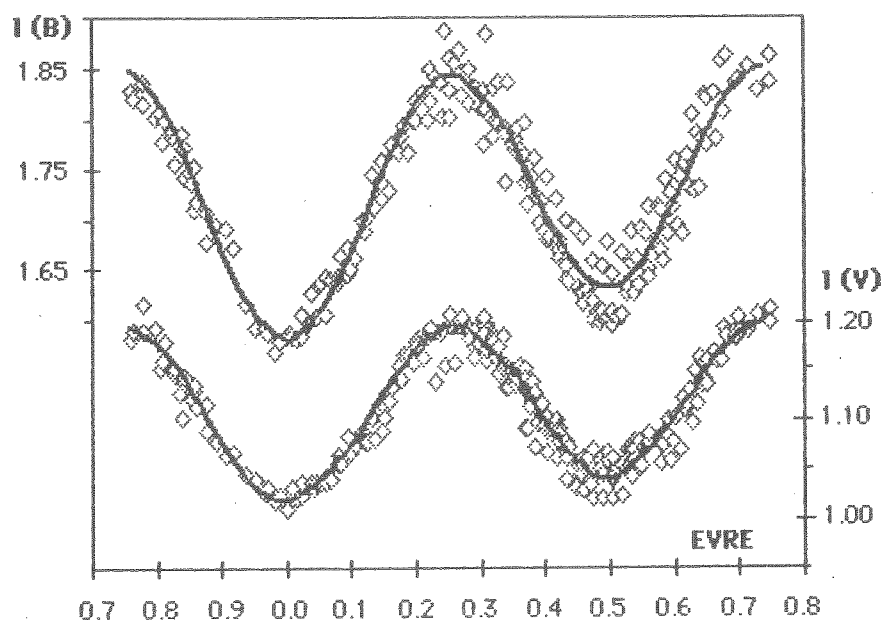
$$I = A_0 + A_1 \cos \theta + A_2 \cos 2\theta + B_1 \sin \theta$$

şeklinde bir Fourier serisi fit edilmiştir. Bu fitler Şekil 3. de gösterilmiştir. Fitleri temsil eden Fourier katsayıları Çizelge 2. de gösterilmiştir. Fourier katsayılarından A_1 yansima etkisinin ölçü, A_2

Çizelge 2. 1989 gözlemlerine fit edilen Fourier serilerinin katsayıları

	A_0	A_1	A_2	B_1
B Rengi :	1.7260	-0.0253	-0.1204	-0.0047
Y Rengi :	1.1105	-0.0141	-0.0795	-0.0045

basıklık etkisinin ölçü ve B_1 de asimetri ölçü olarak bilinmektedir. Yapılan uygulamada B_1 değerleri gözlem yamılgaları mertebesinden daha



Şekil 3. 1989 gözlemlerine uygulanan Fourier fitleri

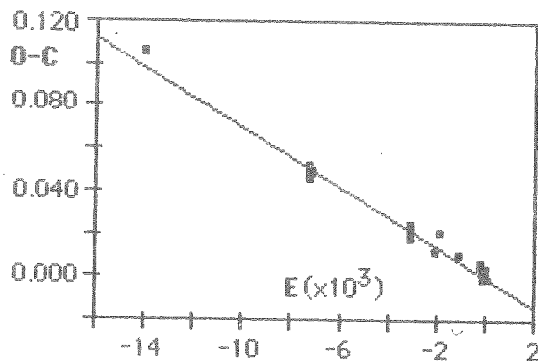
küçük bulunmuştur. A_2/A_1 ise B renginde 5 ve V renginde 6 yöresindedir. Buradan LS Del'in ışık eğrilerinde basıkkılık etkisinin yansımaya etkisine göre 5-6 kat daha fazla olduğu söylenebilir.

3. FOTOMETRİK DÖNEM

1987 ve 1988 gözlemlerinden 2, 1989 gözlemlerinden 5 tane olmak üzere toplam 7 minimum zamanı bulunmaktadır. Bulardan 2 tanesi I. min, 5 tanesi II. min'a aittir. 1989 gözlemlerinden elde edilen minimum zamanlarından ortalama olarak bulunan epoch ve dönem analizi ile elde edilen dönem kullanılarak tüm minimum zamanları için O-C analizi yapılmıştır. Bu analizde Bond'un minimumu Sezer vd. (1984)'nin belirttiği gibi min I değil, min II olarak ele alınmıştır. Şekil 4. de sistemin tüm minimum zamanlarına ait O-C grafiği görülmektedir. Bu verilere yapılan lineer fit sonucu, dönem ve epoch düzeltmesi yapılarak, sistemin yeni ışık elemanları;

$$\begin{aligned} \text{HJD (I. Min)} &= 2447790.4247 + 0.3638384 * E \\ &\pm .0011 \quad \pm .0000002 \end{aligned}$$

olarak belirlenmiştir. Şekil 1., 2. ve 3. de gösterilen ışık eğrileri için evre hesabı bu elemanlarla yapılmıştır.



Şekil 4. Minimum zamanlarına ilişkin O-C grafiği

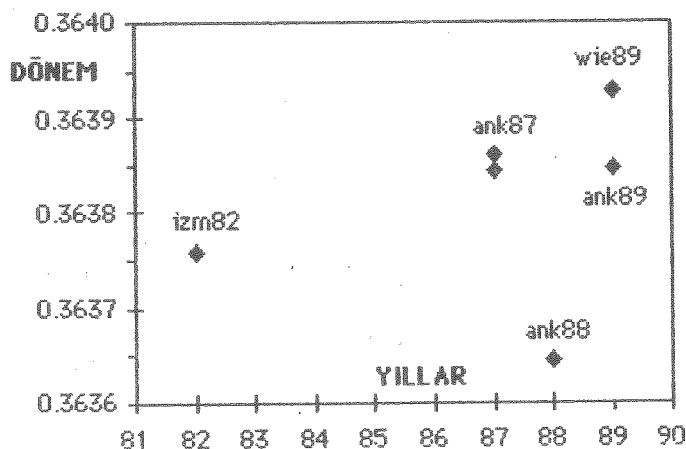
LS Del'in ışık eğrilerine ayrı ayrı dönem analizi uygulanarak, her ışık eğrisi için fotometrik dönem, minimum zamanlarını kullanmadan ayrıca bulunmuştur. Dönem analizinde Belserene (1982)'nin algoritması kullanılmıştır. Bu algoritma Lafler ve Kinman (1965)'in sıralama yöntemini temel almaktadır. Bu yönteme göre, olaşı dönemin içinde yer alacağı bir dönem aralığı seçilmektedir. Bu aralık, yine seçime bağlı bir duyarlılıkla iteratif olarak taramaktadır. Arduşik gözlem noktaları arasındaki koordinat farklarının kareleri toplamı minimum olan ışık eğrisine karşılık gelen dönem, sistemin dönemi olarak alınmaktadır. Bu yöntem LS Del için elde edilebilen tüm ışık eğrilerine uygulanmıştır. Sonuçlar çizelge 3'de görülmektedir.

Çizelge 3. Farklı ışık eğrilerine uygulanan dönem analizinin sonuçları.

İşık Eğrisi	Bant	Duyarlık	Dönem
Sezer vd.(1984)	B	0.000005	0.363760
>>	Y	>>	0.363760
A.Ü. Gözlemevi 1987	B	>>	0.363860
>>	Y	>>	0.363845
A.Ü. Gözlemevi 1988	B	>>	0.363645
>>	Y	>>	0.363645
A.Ü. Gözlemevi 1989	B	0.0000001	0.3638453
>>	Y	>>	0.3638460
Wieck ve Wunder (1989)	Y	0.000005	0.363930

Şekil 5'te elde edilen dönem değerlerinin, ait oldukları yıllara göre dağılımı görülmektedir. Şekilden de anlaşıılacağı gibi dönemin yıllara göre düzensiz bir değişim gösterdiği görülmektedir. Sistemin B bandında, 1989

gözlemlerinden, dönem analizi sonucu elde edilen değer, O-C analizinde kullanılmıştır.



Şekil 5. Dönem analizi sonuçlarının yıllara göre dağılımı.

Çizelge 3. deki dönemlerin ortalaması $P_{\text{ort}}=0.363793 \pm 0.000098$ gündür. Çizelge 3. den ve şekil 5. deki dağılımdan da anlaşıılacağı gibi fotometrik dönem çok kısa sürelerle ve büyük olasılıkla ışık eğrisindeki değişimlere bağlı olarak onbinde bir gün mertebesinde ($\Delta P = 0.0001 \text{gün} = 8.6 \text{sн.}$) değişmektedir. Ard arda yapılan uzun süreli gecelik gözlemlerin dönem analizi de bunu göstermektedir. Dönem analizi ile bulunan ortalama dönemle, O-C analizinden bulunan ortalama dönem arasındaki fark 0.000045 gündür. Sistemin yaşınlanmış fotometrik dönemleri, bu çalışmada bulunanlarla beraber çizelge 4. de verilmiştir. Çizelgede parantez içindeki sayılar son basamaklarındaki standart hataları vermektedir.

Çizelge 4. LS Del'in fotometrik dönemleri.

P (gün)	Kaynak
0.3638	Bond (1976)
0.3638368(4)	Sezer vd. (1984)
0.3639207(3)	Ruyou vd. (1987)
0.36383792(16)	Wieck ve Wunder (1989)
0.3638384(2)	O-C analizi (bu çalışma)
0.363793(98)	dönem analizi (bu çalışma)

4. SONUÇLAR

Bu çalışmada ulaşılan sonuçlar maddeler halinde aşağıda verilmiştir:

- a) Sistemin ışık eğrisinde kısa zaman aralıklarında 0.01 - 0.04 kadırlık düzensiz değişimler olmaktadır. Dolayısıyla minimum ve maksimum seviyeleri ve minimum derinlikleri aynı ölçüde düzensiz değişimle ugramaktadır.
 - b) Işık eğrilerindeki kısa süreli değişimler ve minimum derinliklerinin çok küçük olması ($\approx 0.14\text{--}0.17$ kadır) nedeniyle ışık eğrisi analizlerinin sahîkli sonuc vermesi beklenmemelidir. Bu nedenle Sezer vd. (1985) sistemi W-türü degen çift yıldız olarak bulurken Liu vd. (bkz. Leung 1988) sistemi "reverse algol" olarak belirlemiştir. Sistemin türü daha kısa sürede tamamlanan, sürekli ve daha duyarlı gözlemlerin analiziyle saptanabilir.
 - c) Düzensiz görünen değişimlerin gerçekten düzensiz olup olmadığı ve fotometrik dönemi ne kadar etkilediği daha duyarlı ve sürekli gözlemlerle saptanabilir.
 - d) Sistemin W UMa türü ışık değişiminde asıl katkının başıkkık etkisinden geldiği, ortalama eğrilerde asimetrinin boşlanacak kadar düşük olduğu Fourier analizi ile belirlenmiştir.
 - e) Fourier analizine göre toplam ışık değişiminin enaz %20'si "yansıma" etkisinden kaynaklanmaktadır. W UMa türü sistemler için bu değer oldukça büyütür. Büyüük olasılıkla bileşenler arası sıcak bir bölgenin ışınımı, ışık eğrilerinde "yansıma" etkisi olarak görülmektedir.
 - f) Sistemin evreye bağlı olmayan sabit $\Delta(B-Y) = -0.46$ değeri ve GSV tayıf türüne karşılık gelen $(B-Y)=0.66$ renk indisini kullanılarak mukayese yıldızı BD+19°4568'in KO III devi olduğu saptanmıştır.
 - g) Sistemin fotometrik döneminde çok kısa sürelerde ve büyük olasılıkla ışık eğrisindeki değişimlere bağlı olarak onbinde bir gün mertebesinde değişimler olduğu saptanmıştır. Bu nedenle farklı eğrilerden bulunan dönem analizi sonuçları virgülden sonra dört basamaktan sonra farklıdır. Sistemin yeni ışık elementleri,
- $HJD (I. Min) = 2447790.4247 + 0.3638384 * E$
 $\pm .0011 \quad \pm .0000002$
- olarak bulunmuştur.
- h) Gecelik V gözlemlerinde belli evrelerde görülen sistematik değişimlerin düzenli gözlenmesi, dönem değişiminin ve sistemin fiziksel yapısının daha iyi anlaşılmamasına ışık tutabilir.

KAYNAKLAR

- Belserene, E.P., 1982, IAPPP Commun., no:8, 19
 Bond, H.E., 1976, IBVS, no: 1214
 Flower, P.J., 1977, Astron. and Astrophys., 54, 31
 Laffler, J. ve Kinman, T.D., 1965, Astrophys. Jour. Suppl., 11, 216
 Leung, K.C., 1988, "Critical Observations Versus Physical Models for Close Binary Systems" Editör: Leung, K.C., Gordon & Breach: New York, sayfa:93
 Popper, D.M., 1980, Ann. Rev. Astron. and Astrophys., 18, 115
 Ruyou, W., Wenxian, L. ve Qingyuan, F., 1987, IBVS, no: 2982
 Sezer, C., Gülmən, Ö. ve Güdür, N., 1984, IBVS, no:2553
 Sezer, C., Gülmən, Ö. ve Güdür, N., 1985, Astrophys. and Sp. Sci. 115, 309
 Wieck, M. ve Wunder, E., 1989, IBVS, no:3406

C. İBANOĞLU: B ile V ters yöne gidiyor, ona hiç bir yorum getirmediniz değil mi?

S. SELAM: Onu yorumlamadım. Ölçü hatası değil, oldukça kaliteli bir gecenin gözlemi o.

Z. ASLAN: Ben, bu renk tayfına bağlı gözlemden tayf turunu BOIII buldunuz ona takıldım biraz, onu pek anlamadım. Anlamak için şunu sormak istiyorum, yıldızın uzaklığın hakkında bir fikriniz var mı? Mukayese ile birleştirdiğinizde görünen kadiri kaç?

S. SELAM: 9.8 kadir civarı.

Z. ASLAN: Bu, aşağı yukarı ana kol yıldızı olsa GV-GIV, S. kadirden bir yıldız, uzaklık modülü nedir, şu anda hatırlamıyorum ama ben sizin burada bulduğunuz tayf turunu biraz kuşku ile karşılıyorum. Sebebini yıldızlar arası kızışma oluşturabilir. Eğer yıldız yeteri kadar uzak ise, siz sadece mukayese ile aradaki farkını alarak renk buldunuz. Mukayese ile ikisinin arasındaki uzaklık farklı olabilir. Bu durumda yıldızlar arası kızışma az bile olsa etkiler. KOIII dev bölgesindeki bir dev yıldızın renk göstergesi, Üçüncü sınıftan bir yıldız aşağı yukarı G8 civarında bir ana kol yıldızına denk. Buradaki fark bundan kaynaklanabilir.

OO AQUILAE DEĞEN ÇİFT YILDIZI
Osman Demircan
A.Ü. Fen Fak., Astronomi ve Uzay Bil. Bölümü
06100 Tandoğan, Ankara

ÖZET:

00 Aql degen çift yıldızının ışık eğrileri Roche modeline göre analiz edilmiştir. sistemin hem A-türü hem de W-türü görülebileceği saptanmış, bileşen yıldızlar için elde edilen salt parametreler kütle m-yarıçap R, kütle oranı q-yarıçap oranı k ve dönem p-açsal momentum J gibi diyagramlarda yerine konarak sistemin evrim durumu tartışılmıştır.

Ayrıca 00 Aql'nın yayınlanmış minimum zamanları literatürden toplanıp sistemin yörunge dönenindeki değişimler için analiz edilmiştir. 1960 yılında sistemin döneminde ani bir düşme olduğu ve dönemin küçük genlikli salınımlar yaptığı kanıtlanmıştır. Dönemdeki küçük genlikli salınımlar sistemde üçüncü bir cismin varlığı ve sistemin magnetik etkinliği açısından irdelenmiştir.

GİRİŞ

00 Aql 1932'den beri bilinen (Hoffleit, 1932) parlak bir degen çift yıldızıdır. Fotoelektrik B ve V gözlemleri Binnendijk (1968), Demircan ve Güdür (1981, bundan sonra DG), Lafta ve Gringer (1985, bundan sonra LG) tarafından yayınlanmıştır. Ankara Üniversitesi Gözlemevinde 1987'den bu yana yapılan U, B ve V gözlemleri henüz indirgeme aşamasındadır. Binnendijk (1968) kendi gözlemlerini Russel ve Merrill (1952) yöntemiyle analiz ederek beklenenin tersine sistemin A türünden olduğunu (derin minimumda büyük ve sıcak yıldızın örtüldüğünü) göstermiştir. Twigg (bkz. Mochnacki, 1981) ve Hrivnak (1984) Binnendijk'in gözlemlerini analiz etmişler, Twigg sistemi W-türü bulurken Hrivnak A-türü olması gerektiğini dikine hız eğrileriyle kanıtlamıştır. Bileşinlerin dikine hız eğrileri ilk kez 4000-4270[°]A aralığında alınmış 69 orta ayırma gücü ($15^{\circ}\text{A mm}^{-1}$) tayftan "cross-correlation" teknigiyle elde edilmiş ve sistemin kütle oranı $q = m_2/m_1 = 0.843$, Twigg'in bulduğu $q = 0.824$ fotometrik değerinden biraz büyük bulunmuştur. Sistemin fotometrik analiz sonuçları Çizelge 1'de, tayfsal analiz sonuçları Çizelge 2'de ve diğer özellikleri Çizelge 3'de özetlenmiştir.

Çizelge 1. 00 Aquila'nın V renginde fotometrik analiz sonuçları

	Binnendijk (1968)	Twigg (1981)	Niarchos (1981)	Jabbar, Kopal (1983)	Lafta, Gringer (1985)	Hrivnak (1989)
r_1	.39	.402	.377	.454	.417	.416
r_2	.31	.368	.304	.298	.345	.386
i	$82^{\circ}.0$	87.2	$77^{\circ}.2$	$70^{\circ}.1$	$.87.05$	90.0
k	0.80	0.915	0.810	0.660	0.829	0.928
q	—	0.824	—	—	0.849	0.843
L_1	0.610	—	0.690	0.632	0.650	0.550

Çizelge 2. 00 Aquila'nın tayfsal analiz sonuçları.

(Hrivnak 1989'tan alınmıştır)

$V_0 \text{ kms}^{-1}$	-45.2 ± 0.9
$K_1 \text{kms}^{-1}$	151.9 ± 1.2
$K_2 \text{kms}^{-1}$	180.2 ± 1.3
$a_1 \text{sini } (R_0)$	1.521 ± 0.012
$a_2 \text{sini } (R_0)$	1.804 ± 0.013
$M_1 \sin i (M_\odot)$	1.041 ± 0.018
$M_2 \sin i (M_\odot)$	0.877 ± 0.015
$q = M_2/M_1$	0.843 ± 0.008

Çizelge 3. 00 Aquila'nın diğer özellikleri.

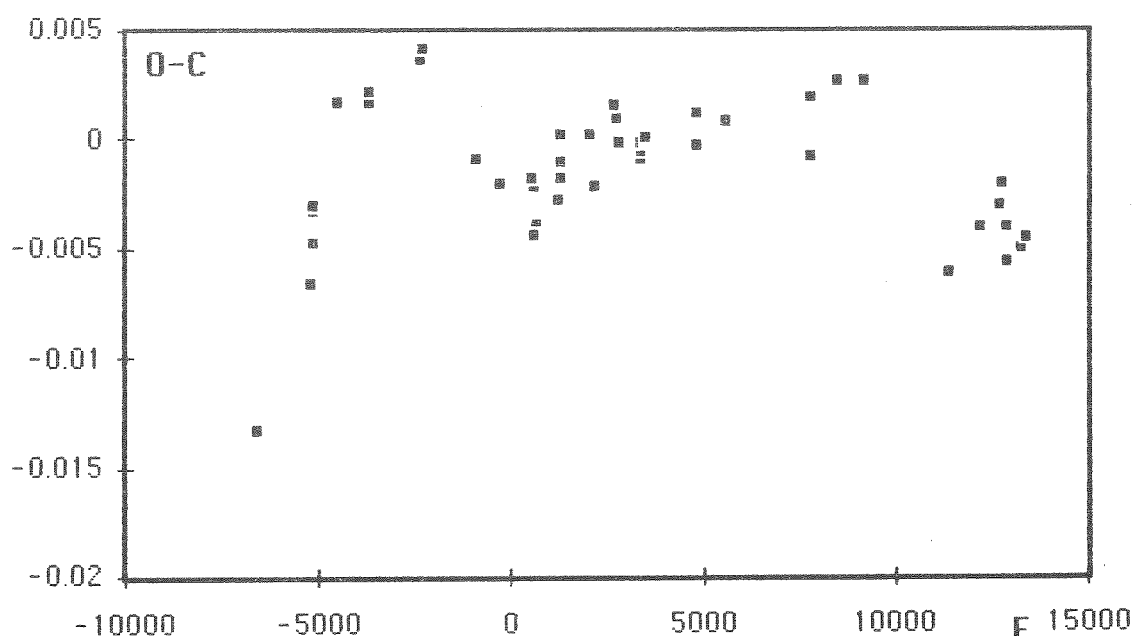
Dönem P(gün)	0.506789	
Tayf türü	G5V	Roman (1956, Hrivnak (1989))
B-V	0.76	Eggen (1967)
U-B	0.26	Eggen (1967)
b-y	0.46	Rucinski, Kaluzny (1981)
V	9.31	Rucinski, Kaluzny (1981)
E(B-V)	0.0	Rucinski, Kaluzny (1981)
M_V	4.8	Eggen (1967)
$V_0 - M_V$	4.8	Eggen (1967)
uzaklık (parsek)	136	Hrivnak(1989)

Sistemin yörengi döneminde 1960'lı yılların başında ani bir düşme olduğu Binnendijk (1968) tarafından gösterilmiş, DG tarafından kanıtlanmıştır. DG döneminde bu ani düşmeyi sisteme kütle kaybı olmaması halinde büyük kütleli bileşenden küçük kütleli bileşene $\approx 5.56 \cdot 10^{-5} M_{\odot}$ madde aktarımıyla açıklamışlardır. DG ayrıca dönemin küçük genlikli (≈ 0.005 gün) ve ≈ 6 yıl dönemle salınımlar yaptığı göstermiş ve bunun sisteme bağlı 3. bir cisim varlığından veya görelî yörügenin salım yapmasından kaynaklanmış olabileceğini vurgulamışlardır. Sistemin tayfında manyetik etkinlik belirteci olan CaII ve MgII salmaları fazla belirgin değil ve X ışın gözlemi hiç yapılmamış (Hrivnak 1989).

Bu çalışmada, 1981'den bu yana gözlenen yeni minimum zamanları da dikkate alınarak dönemde küçük genlikli salınımların varlığı kanıtlanmış ve var olabilecek üçüncü cisimin özelliklerini irdelendikten sonra salınımların oluşumu için yeni bir görüş üzerinde durulmuştur. Çalışmanın ikinci kısmında birbirinden oldukça farklı olan ışık eğrileri Wilson ve Dewinney (1971) yöntemiyle analiz edilerek ışık eğrisindeki değişimlerin nedenleri üzerinde durulmuştur. Sonuç bölümünde sistemin evrim durumu tartışılmıştır.

2. DÖNEM DEĞİŞİMİ

00 Aquila'nın sadece fotoelektrik gözlemlerden oluşan (O-C) eğrisi Şekil 1 de gösterilmiştir. Sistemin döneminde 1960 yılında ani bir düşme ($\Delta P/P = 10^{-4}$) olduğu ve dönemin küçük genlikli salınımlar (sadece iki çevrim) yaptığı şeilden görülmektedir. 1960 yılından sonra gözlenen ilk salının anı dönem



Şekil 1. 00 Aql'nın fotoelektrik gözlemlerden oluşan O-C eğrisi.

azalmasından etkilendiği düşünülürse ikinci salinimdan salinim döneminin en az 20 yıl olması gerektiği görülür. Yeni gözlemlere göre salinim genliğinin zamanla arttiği ve son salinimda ≈ 0.008 gün yöresinde olduğu görülmüştür. 1960'lı yıllarda kendini gösteren ani dönem düşmesinin etkisi nedeniyle gözlenen iki çevrimden salinim dönemi ve genliğinin doğru değerlerini saptamak mümkün değildir. Bu yıllarda dönem, salinimin minimum evresindedir. Büyük kütleli bileşenden küçük kütleli bileşene kütle aktarımı olursa (O-C) eğrisi düşmeye devam edecek olmazsa dönem artmaya başlayacak ve salinima devam edecektir. Bu salinimin sisteme 3. bir cisim varlığından kaynaklandığı kabul edilirse 3. cisme ait kütle fonksiyonu 0.007 bulunur ve 3. cismin kütlesi bu cisme ait yörüngenin eğimine bağlı olarak $i > 30^\circ$ ise $m_3 < 0.8 M_\odot$ olur. Sistemde var olduğu kabul edilen üçüncü yıldız bir anakol yıldızı ise kütle işinim bağıntısına göre bolometrik salt parlaklı $M_{bol} > 6.5$ kadir olması gereklidir. Sistemin uzaklığı da 136 parsek olarak bilişine göre 3. yıldızın OO Aql'dan $0''.01$ uzakta ve 12-15 kadir parlaklığında görünmesi beklenir. Şimdiye kadar sisteme böyle bir bileşen yıldızın varlığı rapor edilmemiştir.

1960 yılından sonra belirlenen fotoelektrik minimum zamanlarının analizinden sistemin yeni ortalama ışık elemanları

$$\text{Hel. Min } I = 24\ 40\ 522.2934 + 0.50678858 \times E \\ \pm 0.0005 \quad \pm 0.00000007$$

olarak bulunmuştur.

Diğer taraftan yeni bir görüşe göre (Applegate, 1989) bir çift yıldız bileşeninde magnetik çevrim nedeniyle dönemli yapı değişikliği çekimsel bağlılık sonucu yörüngede dönemine yansiyabilir. Bir çift yıldız bileşeninin konvektif katmanında üretilen magnetik alan, katmandaki toplam basıncı dolayısıyla madde dağılımını ve eşpotansiyelli yüzeyleri etkiler ve bu etki magnetik çevrim nedeniyle dönemli olarak değişir. Bağlı olarak dönme açısal momentumu da dönemli olarak değişir. Bileşen yıldız çekimsel olarak yörüngeye kilitli olduğu için yörüngede açısal momentumu da dönemli bir değişimle zorlanır ve sonuçta yörüngede dönemi magnetik etkinlik dönemiyle küçük genlikli salinimlar yapar. OO Aql'nin döneminde gözlenen küçük genlikli salinimlar bu modelle açıklanabilir. Ancak bu durumda salinimların, magnetik etkinlik belirteçleriyle beraber bir korelasyon içinde olması beklenir.

3. İŞIK EĞRİSİNDE ŞEKİL DEĞİŞMELERİ

OO Aql'nın ışık eğrilerinde şekil değişikliği ve O'Connell etkisi ilk kez Binnendijk (1968) tarafından not edilmiştir. Bu çalışmada sistemin tüm ışık eğrileri toplanarak değişimlerin niteliği incelenmiştir. Değişimler (i) minimum derinliklerinin değişmesi, (ii) maksimum seviyelerinin değişmesi ve (iii)

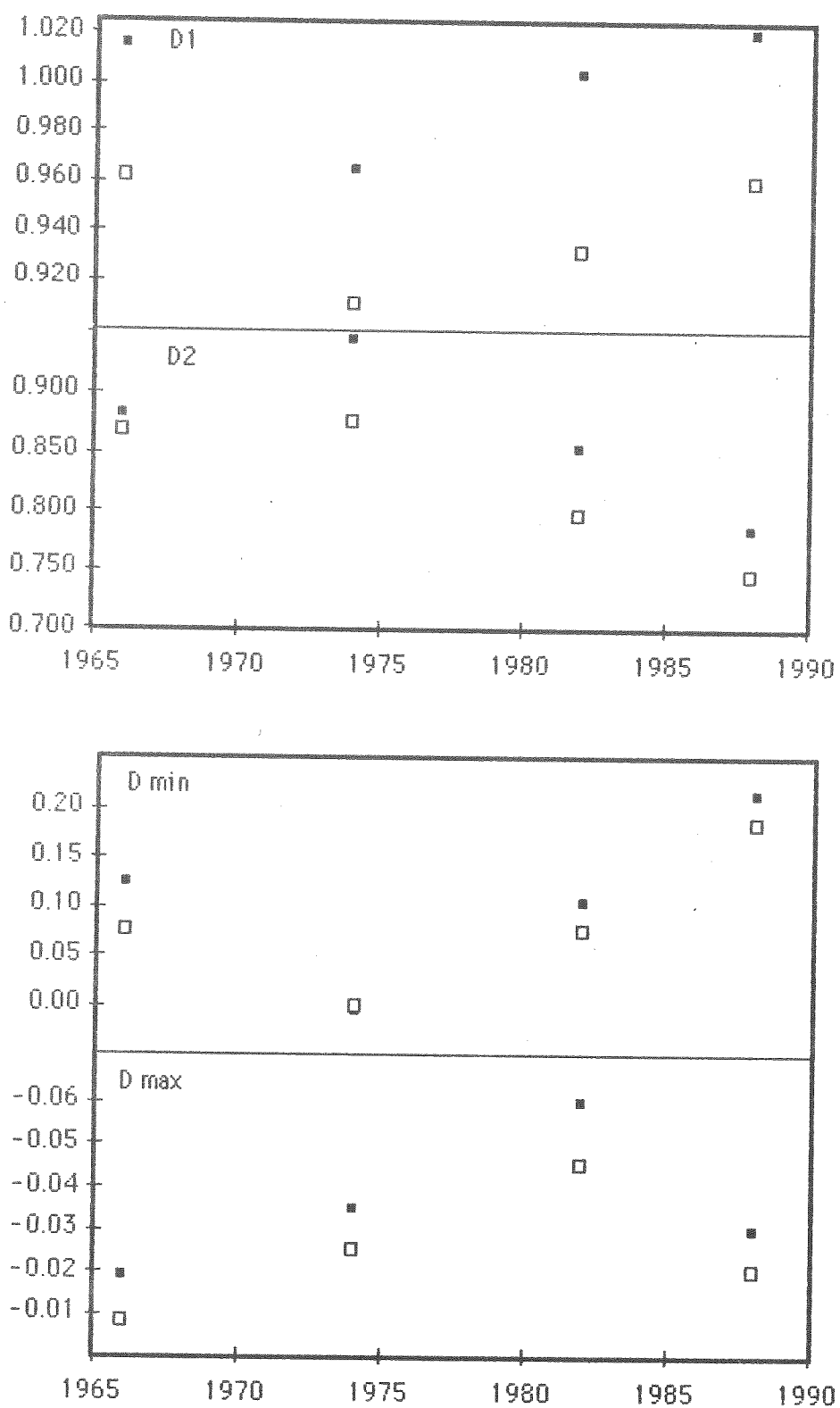
omuzlarda yarıayırik çift yıldızlara özgü küçük çıkışlarının varlığı şeklinde kendini göstermektedir. Son değişimi şimdilik bir yana bırakarak ilk iki değişimin niteliğini anlamak için toplanan her ışık eğrisinden minimum ve maksimum seviyeleri okunduktan sonra

$$\Delta_{\min} = \text{mag. (min. I)} - \text{mag. (min. II)}$$

$$\Delta_{\max} = \text{mag. (max.I)} - \text{mag. (max. II)}$$

$$D_{1,2} = \text{mag. (min. I, II)} - \text{mag. (max. I, II)}$$

büyükükleri oluşturuldu ve bunların zamanla değişimine bakıldı (Şekil 2). Şekilden görüldüğü gibi bu asimetri ölçülerini birbirine bağlı olarak düzenli bir değişim göstermektedir. Min. I derinliği D_1 azalırken min. II derinliği D_2 artmakta, min. seviyeleri arasındaki fark Δ_{\min} azalmakta ve max. seviyeleri arasındaki fark Δ_{\max} artmaktadır. Eldeki verilere göre düzenli değişimin dönemi 25-40 yıl arasındadır. İlginçtir ki bu değişim dönemi tahmin edilen yörünge döneminin salınınmından çok farklı değildir. Bu nedenle her iki değişimin nedeni de aynı olabilir. Bu olasılık dikkate alınarak dönem değişimleriyle asimetri ölçülerinin değişimleri arasında korelasyon arandı ve hiçbir korelasyon bulunumadı. Δ_{\max} değişimini hariç diğer asimetri ölçülerini 1974 te minimum veya maksimum değerdeyken, yörünge dönemi ≈ 1969 yılında minimumda ve ≈ 1978 yılında da maksimumda görünülmektedir. Bu durumda asimetri değişimlerinin ve dönem salınımlarının aynı nedenden kaynaklanmış olabileceğini söylemek mümkün görünmemektedir. Diğer taraftan Şekil 2 ye dikkatli bakılırsa Δ_{\max} değişiminin de diğer asimetri değişimleriyle tam bir korelasyon içinde olmadığı görülür. Buna göre minimum derinliklerinin ve seviyelerinin O'Connell etkisine fazla bağlı olmadan değişmiş olabileceği anlaşılmaktadır. O'Connell etkisinin dolayısıyla Δ_{\max} değişiminin nedeni magnetik leke çevrimi ise minimum seviyelerinin değişim nedeni bileşen yıldızlardan birinin parlaklığındaki başka bir nedenle (örneğin kütle aktarımı nedeniyle) değişim olmalıdır.



Şekil 2.00 Aql'nın ışık eğrilerinde Δmin , Δmax , ve $D_{1,2}$ değerlerinin zamanla değişimi

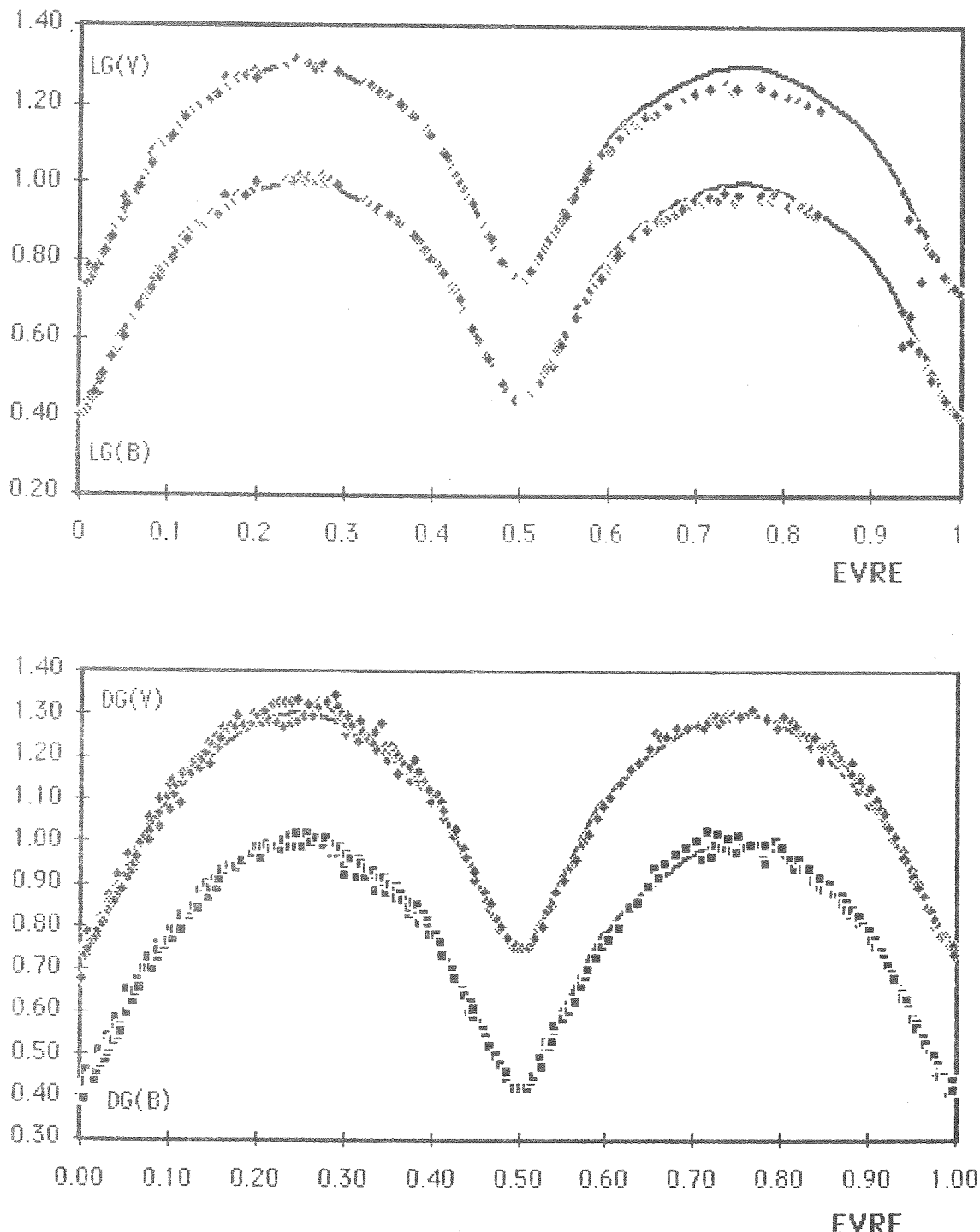
Alternatif olarak Δmax değişiminin nedeni madde aktarımı sonucu parlaklık değişimi ise minimum seviyelerinin değişim nedeni magnetik leke çevrimi

olabilir. Minimum seviyeleri daha düzgün bir değişim gösterdiği için bu alternatif görüşün doğru olma olasılığı daha fazladır. Bu konuda daha kesin yargı için sistemin daha uzun yıllar düzenli gözlenmesi gerekmektedir.

4. IŞIK EĞRİSİ ANALİZİ.

Bu çalışmada birbirinden oldukça farklı görünen DG'nin B ve V ışık eğrileriyle LG'nin B ve V ışık eğrileri Wilson ve Dewinney (1971) yöntemiyle analiz edilmiştir. Analizin amacı sisteme ilişkin parametrelerin çözümünden çok ışık eğrilerinin farklı oluşunun anlaşılmasıdır. DG'nin ışık eğrilerinde iki maksimum seviyesi arasındaki fark ≈ 0.03 kadir, ve iki minimum seviyeleri arasındaki fark ≈ 0.00 kadir yoresindeyken bu farklar LG'nin ışık eğrilerinde V renginde ≈ 0.050 ve 0.06 kadir ve B renginde ≈ 0.05 ve ≈ 0.104 kadirdır. DG'nin ışık eğrilerinde birinci minimumu n türünü, dolayısıyla sistemin A türü mü , W türü mü olduğunu belirlemek mümkün değildir. Hatta DG'nin B rengindeki ışık eğrisinde eski ışık elemanlarına göre ikinci minimum olması gereken minimum biraz daha derin görülmektedir.

Gözlem noktaları arasında çizilen ortalama eğri üzerinden 0.01 evre aralıklarıyla yapay noktalar okunmuş, DG'nin ışık eğrileri için 0.50-0.00 evre aralığındaki yapay noktalar, LG'nin V rengindeki ışık eğrisi için 0.00-0.50 evre aralığındaki yapay noktalar ve LG'nin B rengindeki ışık eğrisi için de ortalama bir maksimumla tüm ışık egrisini temsil eden yapay noktalar analize sokulmuştur.



Şekil 3.00 Aql'ının DG ve LG'ye ait ışık eğrileri. En iyi çözümleri (bkz. çizelge 4) temel alan kuramsal eğriler gözlemler arasında çizilmiştir.

Çözümler "mode 3" e göre ayrı ayrı yapılmış, kütle oranı q Twigg'in çözümünden 0.824 sabit alınmış, bolometrik albedolar $A_1 = A_2$ ve çekim sabitleri $g_1 = g_2$ konvektif dış katmanı olan yıldızlar için teorik değerleri olarak sırasıyla 0.5 (Rucinski, 1969) ve 0.32 (Lucy, 1965¹) alınmıştır. Üçüncü ışık $I_3 = 0.00$ ve kenar kararma sabitleri $x_1 = x_2$ Al-Naimiy'nin (1978) tablolarından

G5V tayıf türü için sabit alınmıştır. İkinci bileşenin (birinci minimumda örten yıldız) sıcaklığı $T_2 = 6250^{\circ}\text{K}$ (bkz. Lafta ve Gringer, 1982) alınmıştır. Analizde serbest bırakılan parametreler: yörunge eğikliği i , birinci bileşenin sıcaklığı T_1 , ortak yüzey potansiyeli $\Omega_1 = \Omega_2$ ve birinci bileşenin kesirsel işinum gücü L_1 dir. En iyi çözümler Çizelge 4'te verilmiş ve bu çözümleri temel alan kuramsal eğriler Şekil 3 de gözlemler üzerine çizilmiştir. Şekillerden de görüldüğü gibi gözlemlisel ve kuramsal eğriler dikkate alınan evre aralıklarında oldukça iyi bir uyum içindedir. Çizelge 4 incelendiğinde, DG ışık eğrileri için birinci bileşenin daha soğuk, bileşen boyutlarının daha büyük ve yörunge eğiminin daha küçük olduğu, LG ışık eğrileri içinse birinci bileşenin daha sıcak, bileşen boyutlarının daha küçük ve yörunge eğiminin daha büyük (90° ye çok yakın) olduğu görülür. Geometrik büyüklüklerin kısa sürede değişimi fizikal olarak mümkün görülmemiği için bu büyüklüklerin en olası değerleri olarak ortalama değerler standart sapmalarıyla beraber Çizelge 4'ün son sütununda verilmiştir.

Çizelge 4. OO Aquila'nın ışık eğrisi çözümleri.

	DG V	LG V	DG B	LG B	ORTALAMA
$T_{1,2}(\text{K}^{\circ})$	6174, 6250	6280, 6250	6174, 6250	6270, 6250	—
$\Omega_{1,2}$	3.3680	3.4100	3.3520	3.4150	—
$L_{1,2}$.530, .470	.549, .451	.554, .446	.548, .452	—
$\Gamma_{1,2}(\text{pole})$.385, .352	.379, .346	.387, .355	.378, .346	.382±0.004, .350±0.005
$\Gamma_{1,2}(\text{side})$.407, .371	.400, .364	.410, .374	.399, .363	.404±0.005, .368±0.005
$\Gamma_{1,2}(\text{back})$.444, .410	.433, .399	.448, .415	.432, .398	.439±0.008, .406±0.008
$\Gamma_{1,2}(\text{mean})$.411, .377	.403, .369	.414, .381	.402, .368	.408±0.006, .374±0.006
i	$86^{\circ}.02$	$87^{\circ}.84$	$86^{\circ}.75$	$90^{\circ}.00$	$87^{\circ}.7\pm1.7$
χ^2	0.00018	0.00012	0.0014	0.00029	—

DG ve LG ışık eğrilerinin oldukça arasındaki farklı olmasının nedeni birinci bileşenin 1974 te ikinci bileşenden daha soğuk ve 1982 de de ikinci bileşenden daha sıcak olması şeklinde ortaya çıkmaktadır. Bu bakımdan sistem 1974 yılında W-türü görünürken, 1982 de A-türü görünülmektedir. Önceki bölümdeki tartışmadan da anlaşıldığı kadariyla büyük kütleli büyük yarıçaplı birinci bileşen büyük olasılıkla maksimum etkinlik döneminde soğuk lekelerle kaplandığı için ikinci bileşenden biraz daha soğuk olabilmekte ve minimum etkinlik döneminde de üzerinde leke olmadığı için ikinci bileşenden daha sıcak olabilmektedir. Çizelge 4 ten de görüldüğü gibi birinci bileşenin etkinlik çevrimi nedeniyle ortalama sıcaklık değişimi $\approx 100^{\circ}\text{K}$ kadardır. Şekil 2 de Δm değişiminden anlaşıldığı kadariyla OO Aqui sadece maksimum etkinlik dönemlerinde kısa bir süre W-türü görülmekte diğer zamanlarda A-türü bir sistem olmaktadır.

5. EVRİM DURUMU VE SONUÇLAR

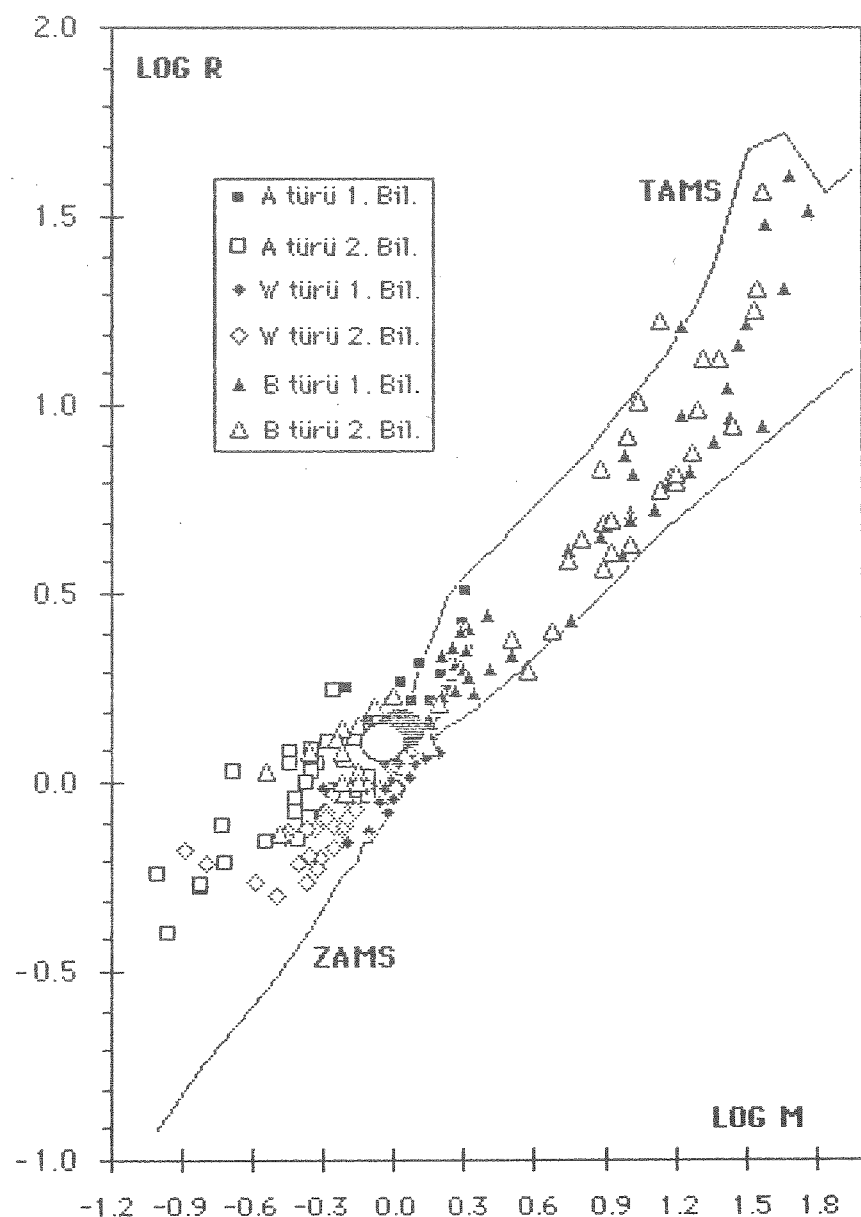
OO Aql'nın evrim durumunu inceleyebilmek için önceki bölümde bulunan ortalama geometrik büyüklüklerle (çizelge 4) sisteme ilişkin tayfsal analiz sonuçları (Çizelge 2) birleştirilerek bileşen yıldızların ayrı ayrı küteleri, yarıçapları, yüzey çekimleri, ortalama yoğunlukları ve yörünge yarıçapları bulundu. Sonuçlar Çizelge 5'te listelenmiştir.

Çizelge 5. OO Aquila'nın salt parametreleri.

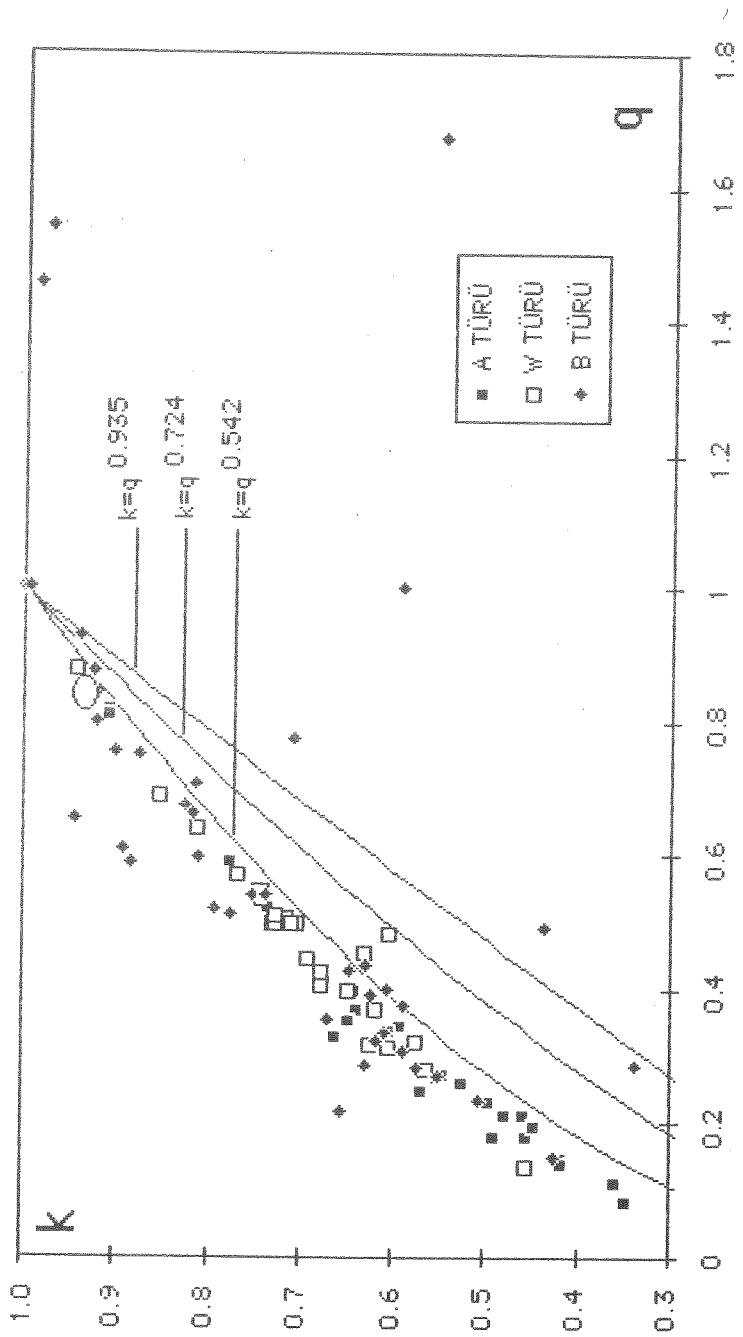
	Birinci Bileşen	İkinci Bileşen
Kütle (Mo)	1.04	0.88
Yarıçap (Ro)	1.36	1.25
log g(cgs)	4.19	4.19
Yoğunluk ρ (cgs)	0.58	0.63
Yörünge yarıçapı (Ro)		3.33

Sistemin işinimsal özellikleri zamanla değiştiği dolayısıyla bulunan değerler büyük yanılıclar içerdığı için bu değerler burada verilmemiştir. Çizelge 5'te verilen parametrelere ek olarak sistemin görelî yörünge açısal momentumu da hesaplanıp tüm bu değerler, salt parametreleri sağlamlı bilinen diğer değer ve degmeye yakın çift yıldızlarla beraber kütle M-yarıçap R, kütle oranı q-yarıçap oranı k, dönem P-açısal momentum J diyagramlarında nokalanmıştır (Şekil 4, 5 ve 6). Diyagramlardan görüldüğü gibi OO Aql sistemi değer ve degmeye yakın çift yıldız sistemleri arasında en büyük k, q ve J değerlerine sahip olan sistemlerden biridir. Küçük küteli çift yıldızların $q \approx 1$ kütle oraniyla oluşturuları ve OO Aql'nın da büyük q ve J değerlere sahip olduğu dikkate alınırsa sistemde şimdije kadar fazla kütle aktarımı ve kütle kaybı olmadığı görülür. Dolayısıyla Mochnacki'nin (1981) başka kanıtlarla iddia ettiği gibi önceden ayrık bir çift yıldız olan OO Aql'nın biraz büyük küteli birinci bileşeni kritik Roche lobunu doldurunca çift yıldız durumuna gelmiş ve büyük küteli bileşenden zaman zaman kütle akmaya başlamıştır. Bileşen yıldızların ortalama yoğunluklarına bakılırsa birinci bileşenin doğal olarak daha fazla evrimleşmiş olduğu görülür. Bileşen yıldızların Şekil 4'teki konumlarına göre her iki bileşen de TAMS'a çok yakın konumdadır. Merkezde hidrojen yanması bitmiş veya bitmek üzeredir.

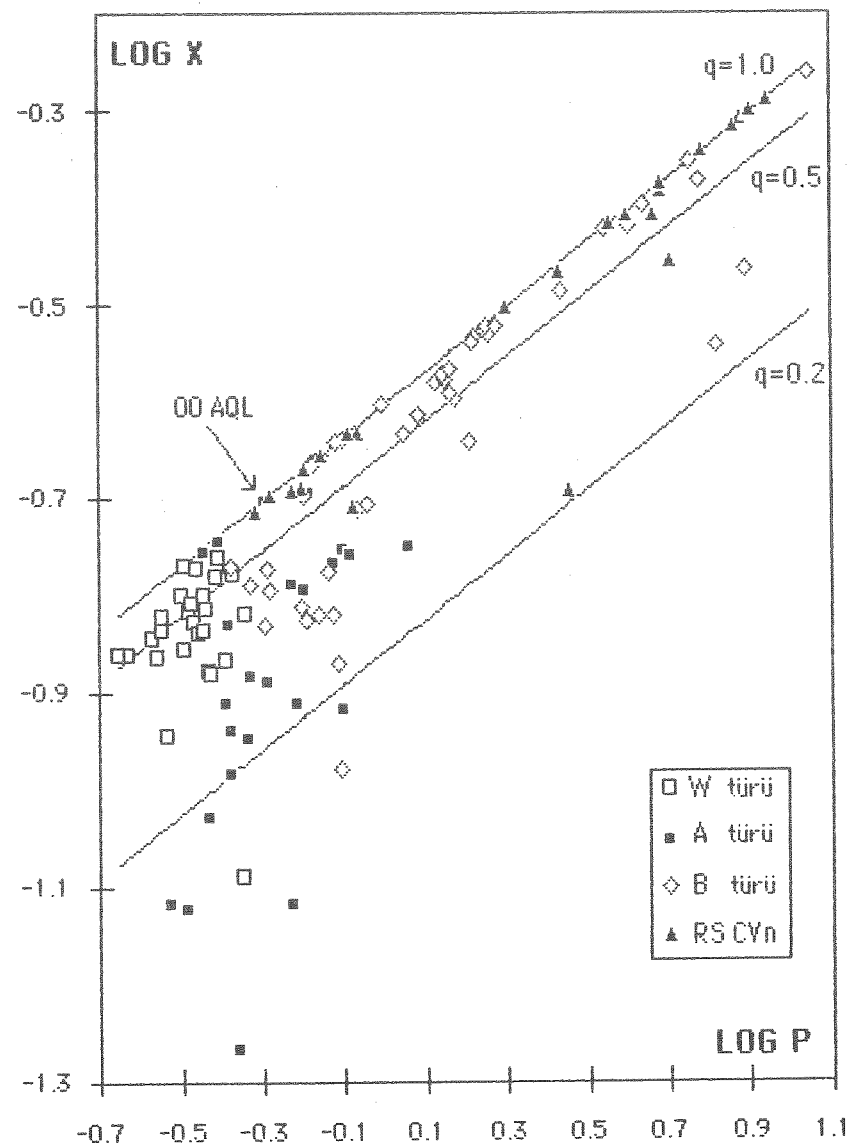
Bu çalışmanın değişik aşamalarındaki yardımları için E. Derman'a, F. Ekmekçi'ye ve G. Kahraman'a teşekkür ederim.



Şekil 4. Değen ve degmeye yakın çift yıldızların M-R diyagramı (Selam ve Demircan 1990 dan alınmıştır). Diyagramda 00 Aql'mın birinci bileşeni ● ve ikinci bileşeni ○ sembollerleri ile gösterilmiştir.



Şekil 5. Değin ve dejmeye yakın çift yıldızların k - q diyagramı
(Selam ve Demircan 1990 dan alınmıştır). Diyagramda
00 Aql'ının yeri \odot simbolu ile gösterilmiştir.



Şekil 6. Değeri ve değmeye yakınlı çift yıldızların $\text{Log } P$ - $\text{Log } J$ diyagramı (Selam ve Demircan 1990 dan alınmıştır).
OO Aql'ın yeri okla gösterilmiştir.

KAYNAKLAR

- Al-Naimiy, H. M. K., 1978, Ap. Space Sci., , 181.
- Applegate, J. H.; 1989, Ap. J., , 865.
- Binnendijk, L., 1968, A. J., , 32.
- Demircan, O., Güdür, N., 1981 in Photometric and Spectroscopic binary systems. Ed. E. B. Carling and Z. Kopal, D. Reidel Publ. Co., Holland.
- Eggen, O. J., 1967, Mem. R. Astr. Soc., , 11.
- Hoffleit, D., 1932, Harvard Bull. No: 887, 9.
- Hrivnak, B., 1989, Ap. J., , 458.
- Jabbar, S. R., Kopal, Z., 1983, Ap. Space Sci., , 99.
- Lafta, S. J., Gringer, J. F., 1985, Ap. Space Sci., , 23.
- Lucy, L. B., 1967, Zs. F. Ap., , 89.
- Mochnacki, S. W., 1981, Ap. J., , 650.
- Niarchos, P. G. 1981 in Photometric and Spectroscopic binary systems. Ed. E. B. Carling and Z. Kopal, D. Reidel Publ. Co., Holland.
- Roman, N. G., 1956, Ap. J., , 247.
- Rucinski, S. M., 1969, Acta A., , 245.
- Rucinski, S. M., Kaluzny, J., 1981, Acta A., , 409.
- Russell, H. N., Merrill, J. E., 1952, Cent. Princeton Univ. Obs., NO:
- Selam, S., Demircan, O., 1990 Bu toplantıda sunulan tebliğ.
- Wilson, R. E., Dewinney, E. J., 1971, Ap. J., , 605.

N. GUDUR: Bu eğrilerin omuz kısımlarındaki bozulmaları tekrar gördünüz mü?

O. DEMİRCAN: Yeni gözlemler o amaçla değerlendirilmedi; sadece minimum, maksimum seviyelerini kullandık. O da Algollere özgü bir belirteçti, kütle aktarımının bir belirteci, galiba OO Aql.da da o durum kendini gösteriyor.

TÜRKİYE'DE ASTRONOMİ ÇALIŞMALARI. II

Ethem DERMAN

A. Ü. Fen Fakültesi Astronomi ve Uzay Bilimleri Bölümü
06100 Besevler, ANKARA

1. GİRİŞ

Astronomların bilimsel üretimlerinin istatistik çalışmaları son yıllarda birçok bilim adamı tarafından incelenmiştir (Bkz. Abt 1983, Trimble 1986 ve Peterson 1988). Bilimölçme adı da verilen bu tür çalışmalar, astronomların ilgisini çekmekte ve bu alanda yayınlanan makalelerin sayısı gün geçikçe artmaktadır. Bazı araştırmacılar dergi sayfalarını, bazıları makale sayılarını sayarken birçoğu da makalelerin kalitesini ölçmek için ona yapılan başvuruları saymaktadır. Bilimsel araştırmmanın üç noktası bir makale yayımlamaktır. Dönemsel yayınlanan bilim dergileri ise bu araştırmaları bir tür arşivler, keşifleri, verileri ve yeni kuramları yazarlarına göre kaydeden dergilerdir. Dergiler ayrıca, bilimsel gerçekler konusunda yeni düşüncelerin tartışıldığı bir forum ortamı da oluştururlar. Dolayısıyla bilimsel yayınların istatistik çalışmaları bize araştırmaların gelişimi konusunda ayrıntılı bilgi verir.

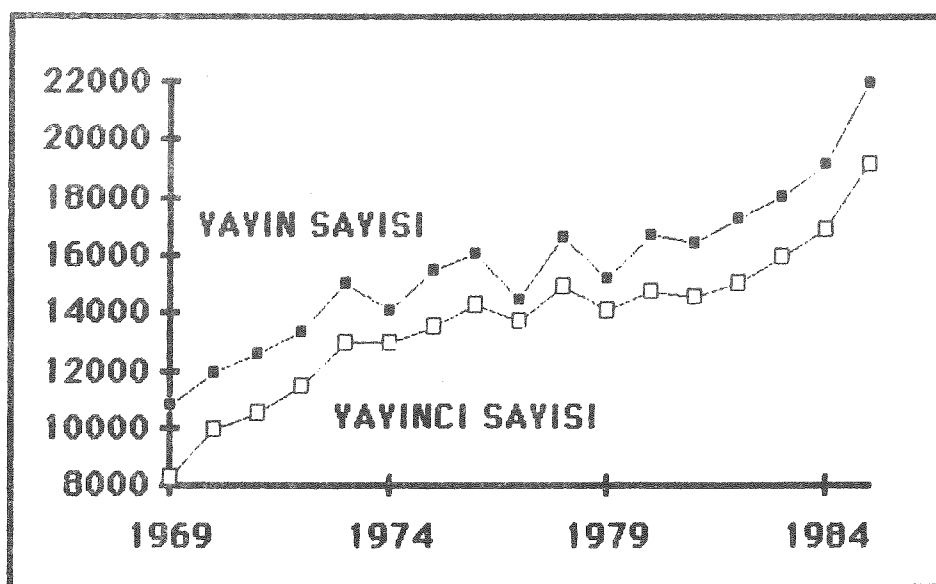
Bu tür çalışmalardan bazı ilginç sonuçlar, Çizelge 1 ve Şekil 1'de görülmektedir (Davoust ve Schmadel 1987). Çizelge 1'deki veriler, "Astronomy and Astrophysics Abstracts (AAA)"ların taranması ile eide edilmiştir. 1969-1985 yılları arasında yayınlanan AAA'ların sayfa sayısı ikinci sütunda daha sonra ise yayınların (YY), yazarların (YZ) ve AAA'daki yazar dizin (YZ DZ SY) sayıları yer almaktadır. Son üç sütunda ise bu sayıların oranları görülmektedir. Bu yıllar arasında, çalışmaların sayısı yılda 10800 den 17 yılda yaklaşık iki katına 21900 ulaşmışken, araştırmacı sayısı 1969 da 8278 iken 1985 de 19208 olmuştur. Bu çalışmalarında adı olan araştırmacıların sayısı ise çizelgenin beşinci sütunundan görüldüğü gibi 16049 dan 48086 ya yükselmiştir. Çizelge 1 deki YY/YZ oranı ise yazar başına yıllık ortalamaya makale sayısını göstermektedir. Bu oran ortalaması 1.1 yörenindedir ve yıllara göre büyük değişim göstermemektedir. O zaman makale sayısındaki büyük artış, astronomların üretiminin artmasına değil, astronomların sayısının artmasına bağlıdır diyebiliriz.

Çizelge 1'deki YZ DZ SY/YY oranı yani yayın başına düşen yazar sayısı 1969 da 1.49 iken 1985 de 2.19 olmaktadır. Bunun sonucunda ise makale başına düşen yazar sayısında büyük bir artım olduğunu, kollektif çalışmaların arttığını söyleyebiliriz. Son yıllarda yapılan bilimsel araştırmalar genellikle çok karmaşık ve uzaydan yapılan gözlemleri de dikkate alırsak pahalı aletler isteyen türdendir ve bir araştırmacı değil bir takım çalışması

gerektirmektedir. Bu oranın artmasındaki diğer nedenler ise koordineli gözlemlerin artması, astronomlar arasındaki iletişim kolaylaşması ve bilimsel toplantıların sık yapılması olabilir. Son sütundaki YZ DZ SY/YZ oranı ise bir araştırmacının bireysel üretimini vermektedir. Bu oranın yavaş da olsa bir artım gösterdiğini ve 1985 yılında 2.5 değerine ulaştığını görüyoruz.

YIL	AAA SF SY	YAYIN	YAZAR	YZ DZ SY	YY/YZ	YZ DZ SY/YY	YZ DZ SY/YZ
1969	792	10800	8278	16049	1.30	1.49	1.94
1970	848	11950	10000	20160	1.20	1.69	2.02
1971	855	12600	10548	21051	1.19	1.67	2.00
1972	891	13400	11491	22895	1.17	1.71	1.99
1973	1005	15100	12999	28177	1.16	1.87	2.17
1974	1004	14100	13022	26855	1.08	1.90	2.06
1975	1093	15480	13524	27577	1.08	1.89	2.04
1976	1137	16043	14279	31511	1.12	1.96	2.21
1977	1124	14485	13749	27686	1.05	1.91	2.01
1978	1147	16650	14963	32447	1.11	1.95	2.17
1979	1266	15235	14127	30001	1.08	1.97	2.12
1980	1320	16770	14772	33668	1.14	2.01	2.28
1981	1315	16442	14559	33641	1.13	2.05	2.31
1982	1399	17262	15093	35532	1.14	2.06	2.35
1983	1455	18015	16029	37160	1.12	2.06	2.32
1984	1554	19135	16928	39739	1.13	2.08	2.35
1985	1839	21978	19208	48086	1.14	2.19	2.50

Çizelge 1. "Astronomy and Astrophysics Abstracts"ların taraması sonucu elde edilen istatistik değerler.



Şekil 1. Tüm dünyada astronomi alanında yayınlanan makalelerin ve yayın yapan yazarların sayısının yıllara göre dağılımı

Türk astronomlarının verimini istatistik olarak ilk araştıran Demircan (1989), "Institute for Scientific Information" tarafından yayınlanan "Source Index" (SI) ve "Citation Index" (CI) in 1975-1984 yılları arasındaki ciltlerini taramıştır. Bu aralikta 35 Türk astronomunun 120 makalesinin SI'ye girdiğini dolayısıla kişi başına yıllık ortalama 0.34 makale sayısının düşüğünü bulmuştur. Toplam 120 makaleyi yazar sayısına göre, Türkiye'de veya dışında yapılanlara göre ve yayınların yapıldığı kurumiara göre incelemiştir. Ayrıca CI taramasında 40 Türk astronomunun seçkin dergilerden başvuru aldığı ve bu sayının 681 olduğunu bulmuştur. Doktoralı Türk astronomlarının %33'ünün hiç başvuru almadığını ve verimsiz çalışmalarını ortaya koymuştur. Sonuç olarak Türkiye'de sürdürülen bilimsel araştırmalardaki verim ve kalitenin zeka ve kapasiteden çok sağlanan olanaklara bağlı olduğunu, gelişmiş batı olanaklarını kullanan Türk astronomlarının verim ve kalite yönünden oldukça başarılı oldukları vurgulamıştır.

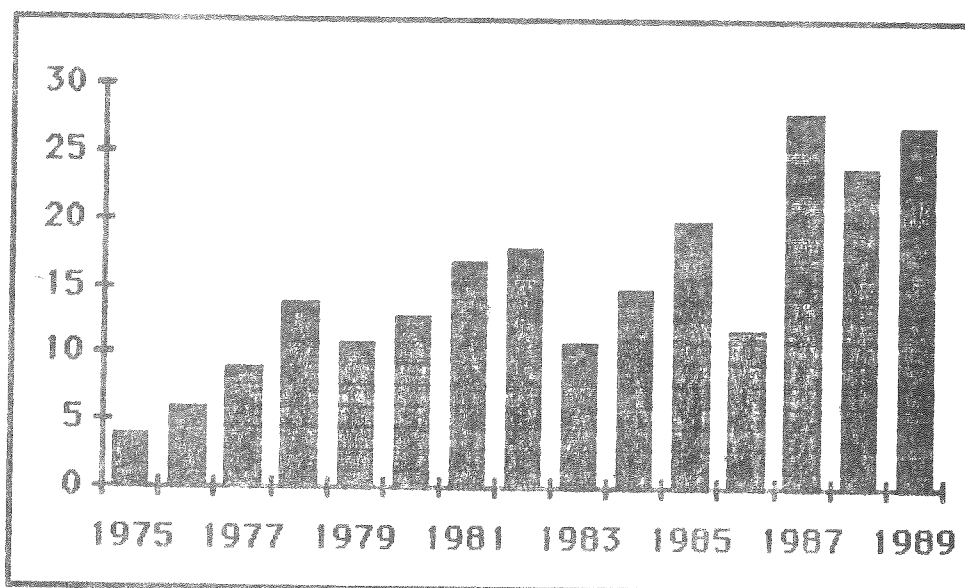
Bu çalışma, Demircan'ın (1989) çalışmasının bir devamı olup son beş yılın CI ve SI taraması eklenmiş, dolayısıla Türk astronomlarının son 15 yıldaki üretimleri nicelik ve nitelik yönünden araştırılmıştır. Yapılan diğer bir çalışma da Türk astronomlarının ortak hazırladığı fakat ilk isim olmadığı makaleleri için de CI taramasının yapılmasıdır.

2. BİLİMSEL ARAŞTIRMADA VERİM

SI bittiği gibi astronomi alanında 33 dergiyi taramaktadır. Bu dergilerin içinde sadece "Astronomy and Astrophysics Supplement Series" adlı yayın bulunmamaktadır. Rasathaneye yayınıları ve IBVS gibi hakemsiz yayınılar da bu 33 derginin içinde bulunmamaktadır. Bunun yanında, temel bilimler ile ilgili tüm ciddi dergiler SI tarafından taranmaktadır, dolayısıla bu gibi dergilerde çıkan Türk astronomlarına ait yayınılar da listemize girmektedir.

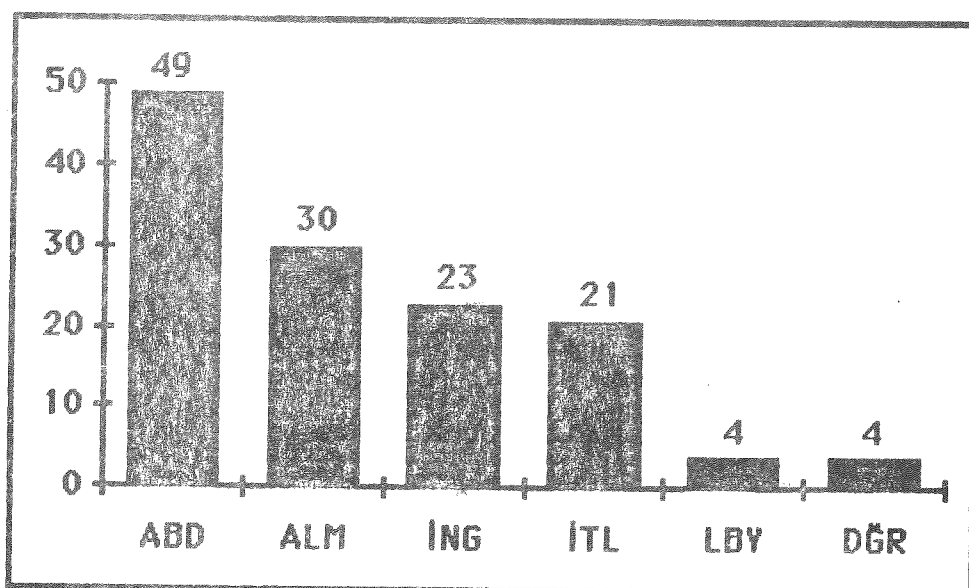
Onbeş yıllık SI taramasına göre, bu dönemde Türk astronomlarının 52 tanesinin tek başına veya ortak yayınladığı toplam 229 makale SI'ye girmiştir. 52 Türk astronomundan 45'i doktorosunu yapmış öğretim elemanıdır. Toplam doktoralı Türk astronomlarının sayısı 74 olduğuna göre 28'inin son onbeş yılda SI'ye giren yayını bulunmamaktadır. Bu 28 astronomdan 2'si ölmüş, 5'i emekli olmuş, 4'ü çeşitli nedenlerle üniversiteden ayrılmış, 4'ü çok yakın zamanda doktorasını tamamlamış, 6'sı ise üretimleri olmasına karşın A and A Suppl'de üretim yaptıkları için SI'ye girememiştir. Fakat geri kalan 7 astronom halen üniversitelerde görev yapmaktadır.

Yayın yapan astronomları gözönüne alırsak kişi başına yıllık SI'ye giren makale sayısı 0.33 iken bu sayı doktoralı 74 Türk astronom için 0.21



Şekil 2. Türk astronomlarının 1975-1989 yılları arasında yayınladıkları çalışmaların yıllara göre dağılımı

yöresindedir. Yayın yapan astronomların yıllık 0.33 oranı *Astrophysical Journal*'da yayın yapan astronomlar için bulunan 0.70 oranından (Abt, 1981) çok düşüktür. *Astronomy and Astrophysics Abstracts* taramasından çıkan, astronom başına yıllık yayın sayısı ise daha önce gördüğümüz gibi 1.30 ile 1.14 arasında değişmekteydi.

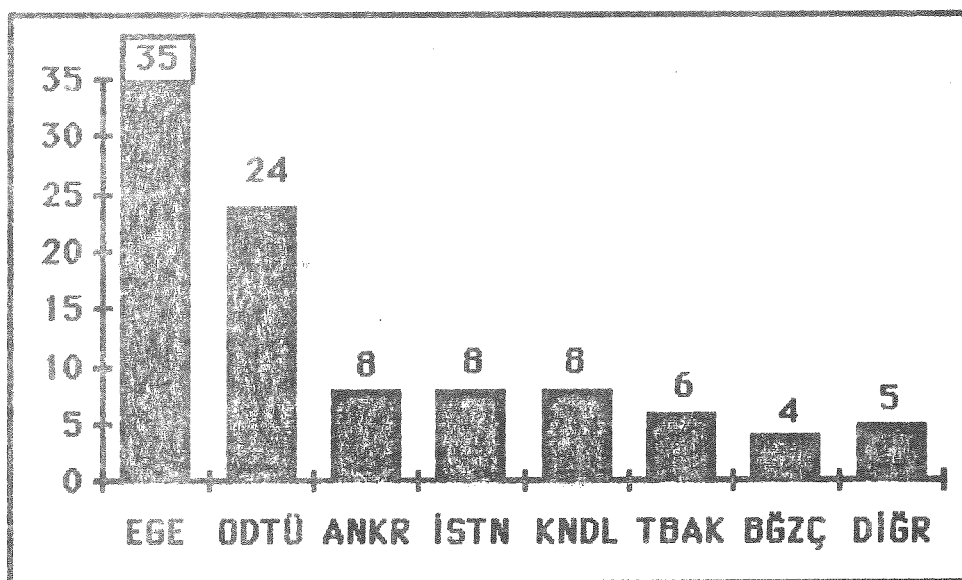


Şekil 3. Yurtdışı olanaklar ile yapılan çalışmaların ülkelere göre dağılımı.

Şekil 2'de Türk astronomlarının yaptığıları yayınların yıllara göre dağılımı görülmektedir. İlk gözle çarpan özellik genelde yayın sayısında bir artış olduğunu düşündürmektedir. Bu artım miktarı dünyada yayınlanan astronomi makalelerinin

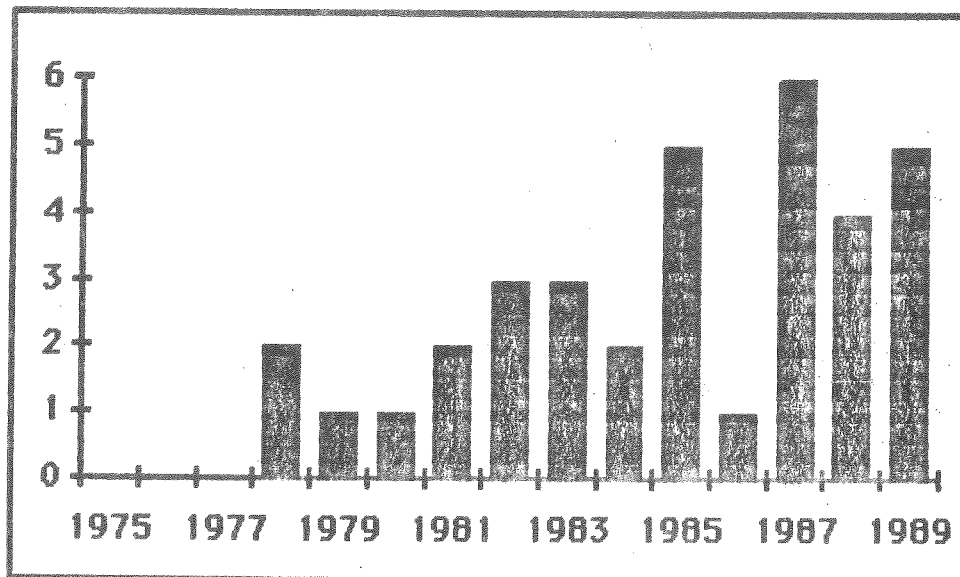
artım hızından daha büyüktür. Örneğin, 1975 ve 1985 yıllarında, dünyada yapılan yayınların artımı 0.15 iken bu miktar Türk astronomları için 0.4'dür. Bu ise bize Türk astronomlarının üretimlerinin hızının arttığını göstermektedir. Grafikte 1983 ile 1986 yılları arasındaki göreceli düşüş YÖK'ün etkisine bağlanabilir.

Yayınlanan makalelerde ilk yazarın verdiği adresten çıkardığımız sonuçlara göre 229 yayından 98'i Türkiye'de, geri kalan 131'i ise yurtdışında yapılmıştır. Şekil 3'de yurtdışında yapılan makalelerin ülkelere göre dağılımı görülmektedir. Bu ülkelerin oianaklarıyla yapılan çalışmalarda Türk astronomlarının sayısı aslında fazla değildir. Örneğin, 15 yılda ABD'nde gerçekleştirilen 49 makalenin % 95 inde sadece 5 Türk astronomunun adı vardır. Türkiye'nin oianakları ile hazırlanan 98 yayının kurumiara göre dağılımı ise Şekil 4'de görülmektedir. Ege ve ODTÜ toplam yayınların %60'ını gerçekleştirken bu üniversitelerden çok önce kurulmuş Ankara ve İstanbul Üniversiteleri ile Kandilli Rasathanesi sadece 8'er yayınla sıralamaya girmektedirler. Bu üç köklü kurum için yayın sayısının az olmasının çeşitli nedenleri vardır ve bu nedenler Demircan (1989) tarafından gerçekçi bir açıdan yorumlanmıştır. Boğaziçi Üniversitesi için etkin astronom sayısının az olmasını, bir neden olarak gösterebiliriz.



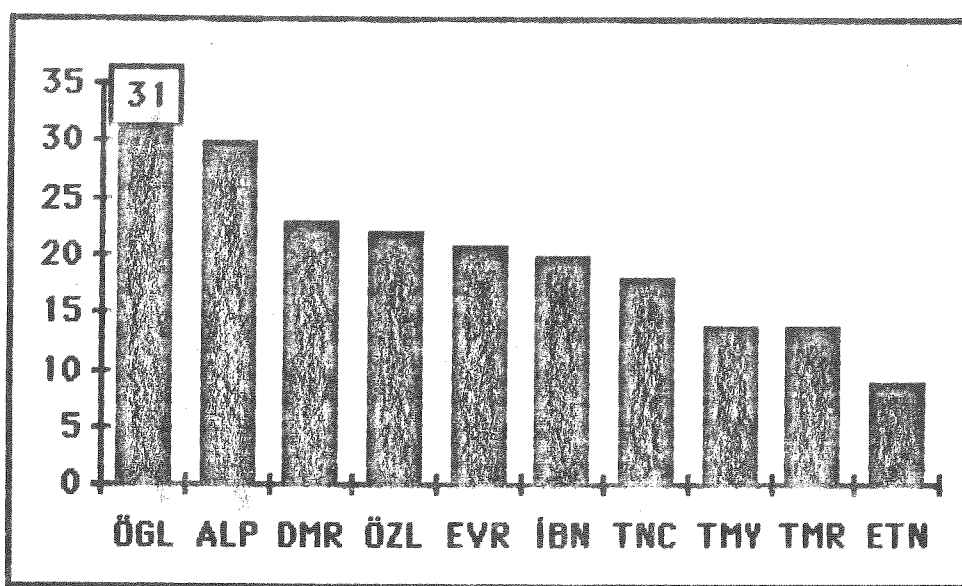
Şekil 4. Türkiye oianakları ile yapılan yayınların kurumlara göre dağılımı.

Şekil 5'de Türkiye oianakları ile en çok yayın yapan Ege Üniversitesi'nin yayınlarının yiliara göre dağılımı görülmektedir. 1986 yılı hariç bu kurumda yapılan çalışmaların sayısında genelde hızlı bir artış olduğu şeklinde yorumlayabiliriz.



Şekil 5. Ege Üniversitesi elemanlarında yapılan yayınların dağılımı.

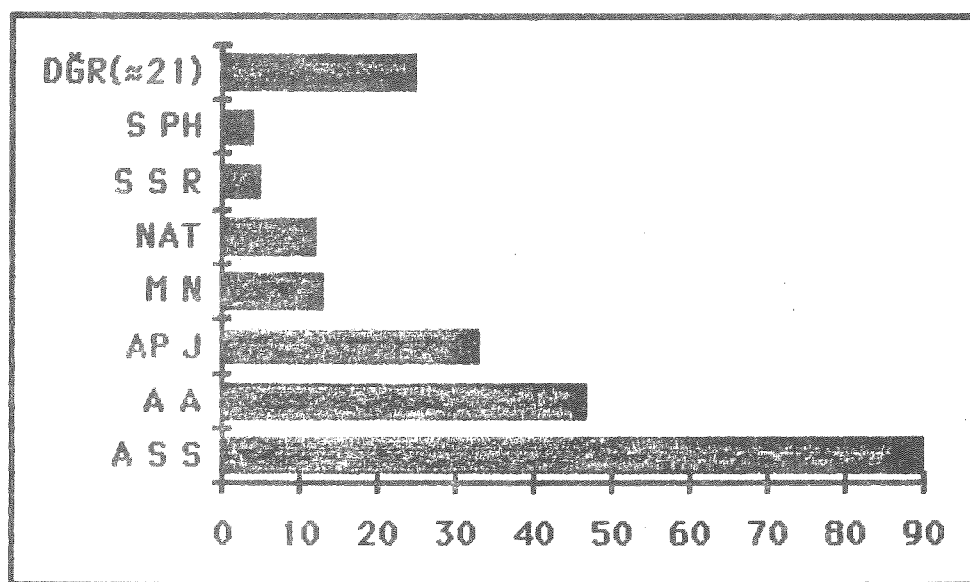
Astronomların yayın sayısı ise Şekil 6'da verilmektedir. Bu sıralamada Ögelman'ın toplam 229 yayınının 31'inde imzası bulunmaktadır. Görüldüğü gibi kısmen Demircan hariç ilk dört isim bu son 15 yılda, yurt dışı olanakları en iyi kullanan Türk astronomlarına aittir. Daha sonraki dört kişi ise sadece Türkiye olanaklarını kullanan ve en çok yayın yapan Ege Üniversitesi'nin elemanlarıdır. Yine kısmen Demircan'ı hariç tutarsak listede yer alan 10 astronom Ege ve ODTÜ kurumlarında çalışmaktadır. Son iki astronom Tümer ve Ertan ise daha doktoralarını yapamadan üniversiteden ayrılmak zorunda kalmışlardır.



Şekil 6. 15 yıllık evrede astronomların yayın sayıları.

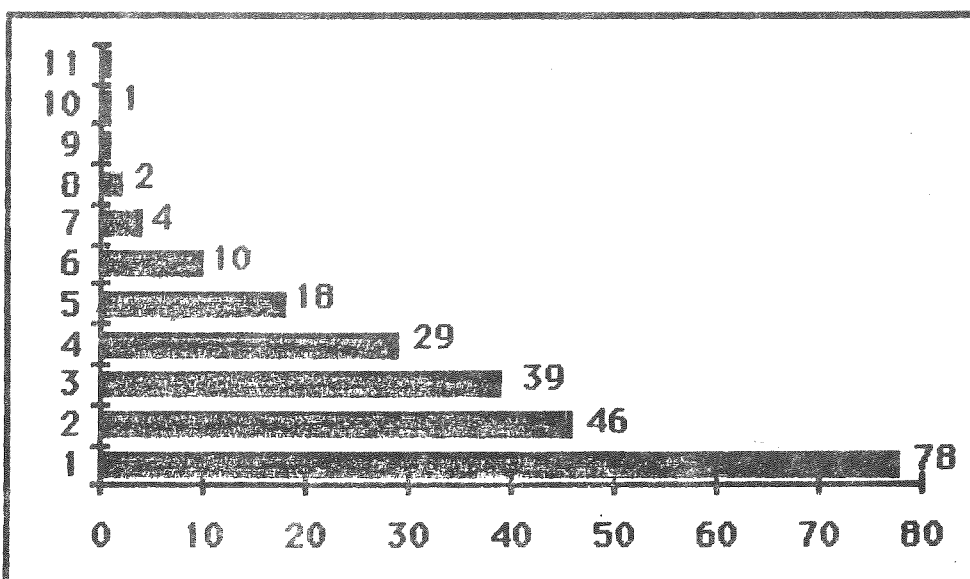
Astronomların yayın yaptığı dergilerin dağılımı ise Şekil 7 de görülmektedir. 226 yayından yaklaşık %40'ı olan 90'ını Astrophysics and

Space Science dergisinde yayınlanmıştır. Ege ve İstanbul yayınılarının hemen hemen tamamı, son 5 yılda ODTÜ yayınıların tamamı ve Ankara ile



Şekil 7. Türk astronomlarının yaptıkları yayınların dergilere göre dağılımı.

Kandilli yayınılarının %25'i bu dergide yayınlanmıştır. Astrophysics and Space Science gibi bir Avrupa dergisi olan ve yine onun gibi sayfa ücreti (page charge) istemeyen Astronomy and Astrophysics dergisinin, yukarıda sözü edilen kurumlardaki astronomlar tarafından tercih edilmemesi, Astrophysics and Space Science dergisinde hakem müessesesinin iyi çalışmamasına bağlanabilir.



Şekil 8. Ortak çalışmaların sayılarının yazar sayısına göre dağılımı.

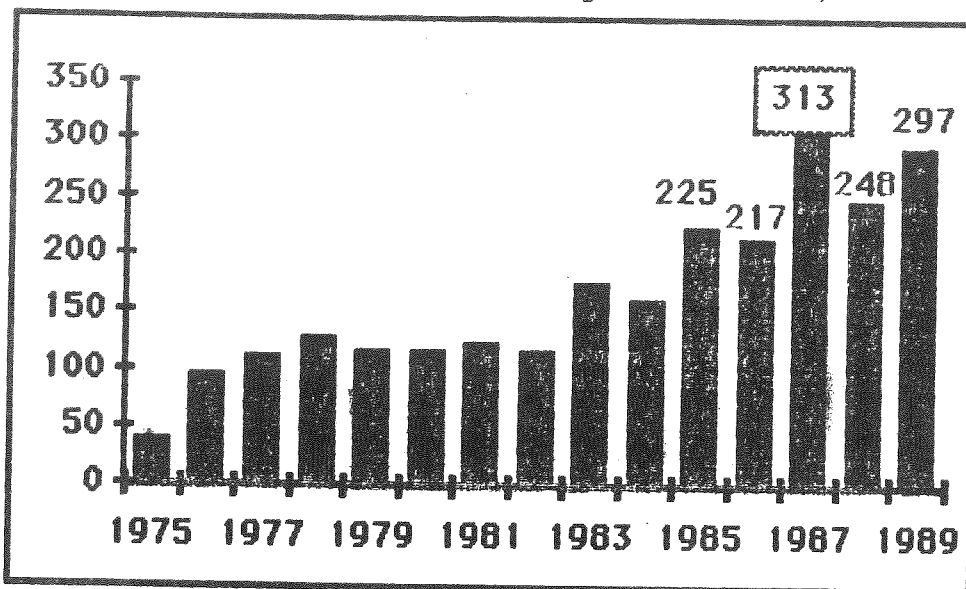
Şekil 8'de Türk astronomlarının ortak hazırladıkları yayınıların yazar sayısına göre dağılımı görülmektedir. Ortak çalışmaların çoğu yurt dışında

yapılan yayınlardır. Ayrıca, Ege ve son zamanlarda diğer kurumlarda da ortak çalışmaların sayısı artmaktadır.

3. BİLİMSEL ARAŞTIRMADA KALİTE

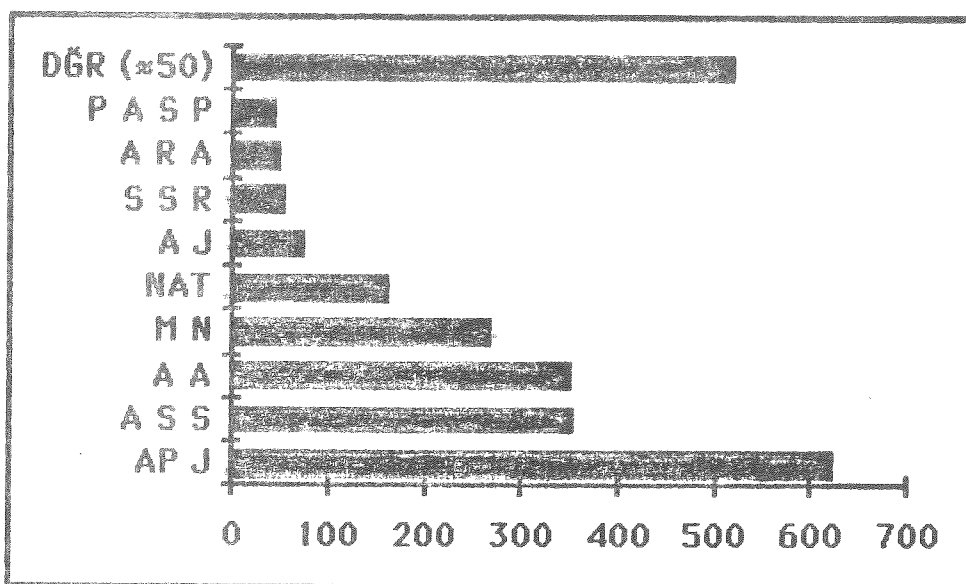
Yararlılık bilimsel çalışmada kalitenin ölçüsüdür. Her araştırma, büyük bir keşfin yapılmasında bir temel taş oluşturmalıdır. Diğer araştırmacılar yayınlanan bir makaleyi, nedeni ne olursa olsun kullanıyorsa bu makale yararlıdır diyebiliriz. Bu nedenle yayılara yapılan başvurular o yayınların ne denli yararlı olduğunu veya diğer bir deyişle o yayınların ne denli kaliteli olduğunu gösterir.

Türk astronomları tarafından yapılan yayınlar, bu incelemede hem nicelik hem de nitelik yönünden ele alınmıştır. CI yıllıkları taranarak son 15 yılda Türk astronomlarının aldığı başvuru sayısı saptanmıştır. Ayrıca Türk astronomlarının birinci isim olarak yer almadığı, yabancılarla ortak yapılan makaleler için de CI taranarak bu yayınların 15 yılda aldığı başvuru sayısı elde edilmiştir. Demircan (1989), 10 yıllık taraması sonucunda Türk astronomlarının aldığı başvuru sayısını 681 olarak bulmuştı. O dönemi kapsayan ve son beş yıllık taramamızla, toplam başvuru sayısını 1626 olarak belirledik. Yani son beş yıldaki başvuru sayısı, ondan önceki on yılda yapılan başvuru sayısının yaklaşık 2.5 katıdır. Bu sevindirici bir sonuctur. Buna ek olarak Türk astronomlarının ortak olduğu, ilk ad olarak yabancı bir astronomun yer aldığı 53 makalede toplam 883 başvuru almıştır. Başvuru sayısındaki bu artış ne yazık ki tüm Türk astronomlarının çabasıyla hep beraber ulaşılmış bir başarı değil sadece birkaç astronomun



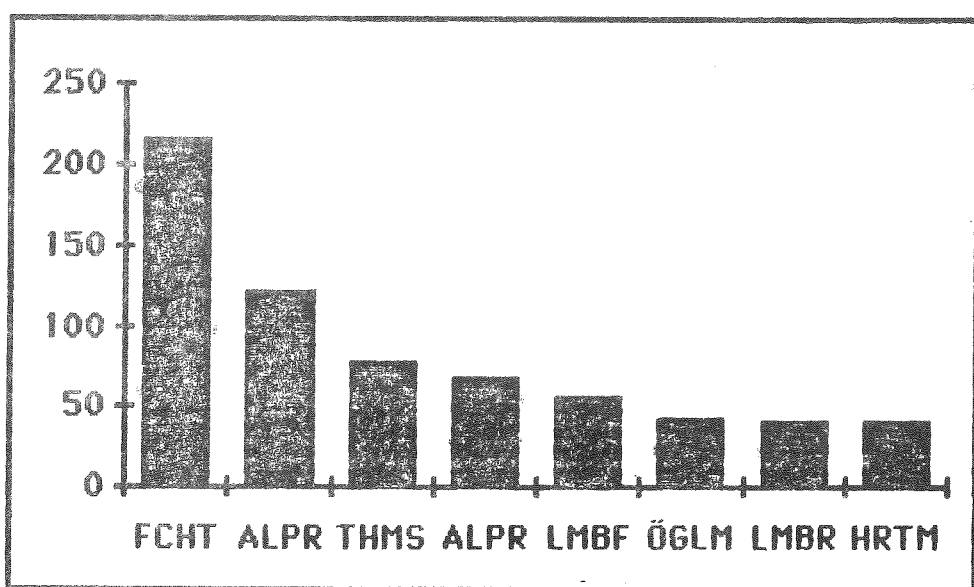
Şekil 9. Türk astronomlara yapılan başvuruların sayılarının yıllara göre dağılımı. Yabancı adla başlayan yayılara yapılan başvurular da dikkate alınmıştır.

üstün başarısı ile gerçekleşmiştir. İkinci bir etkende, Ege Üniversitesi yayınlarının birikmesi sonucu alınan başvuru sayısı, ilk on yıla göre 2-3 katına çıkmıştır.



Şekil 10. Yapılan başvuruların yer aldığı dergilerin dağılımı.

Toplam 2509 başvurunun yıllara göre dağılımı Şekil 9'da görülmektedir. 1987 yılının, toplam 313 başvuru ile maksimuma ulaşlığını, 1976-1982 arasında alınan başvuru sayısının hemen hemen sabit iken 1985 den başlayarak ne denli hızlı arttığını görmekteyiz. Grafikden, bundan sonraki yıllarda başvuru sayısında artmanın devam edeceği yönünde bir kestirim yapabiliriz. Şekil 10'da ise, bu başvuruların yapıldığı çalışmaların



Şekil 11. En çok başvuru alan çalışmalar.

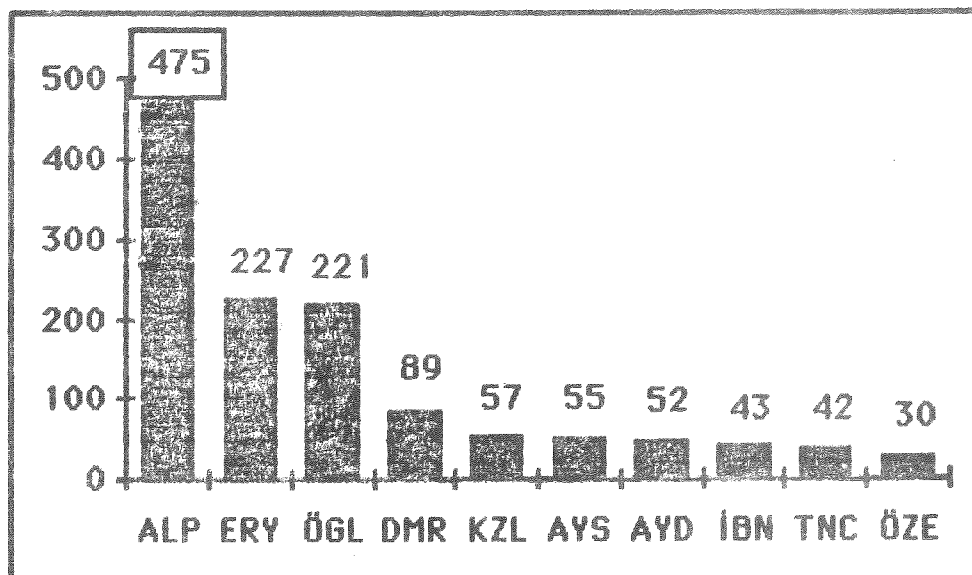
yayınlandıkları dergilerin dağılımı görülmektedir. 623 başvuru ile Astrophysical Journal başta gelmektedir. Türk astronomlarının en çok yayın yaptıkları Astrophysics and Space Science dergisinde yayınlanan makalelerin yaptıkları başvuru sayısı ise 355 de kalmaktadır. 50 yöresinde fizik alanında yayınlanan dergiden de astronomlar 522 başvuru almışlardır.

En çok başvuru alan Türk astronomlarından önce en çok başvuru alan makalelere bakalım. Şekil 11'de bu dağılım görülmektedir. Bu grafikte bulunan makalelerin listesi Çizelge 2'de verilmiştir. Birinci isim Fichtel olmak üzere Ögelman, Özel ve T. Tümer'in ortak olduğu ve ODTÜ de 1975 yılında yapılan çalışma 216 başvuru ile ön sırada bulunmaktadır. İlginçtir ki şekilde görülen 8 makalenin tümü, yabancı araştırmacılar ile ortak yapılan çalışmalarlardır. Çok isimli makalelerin fazla başvuru aldığı ve genellikle 3-4 sayfa yöresinde kısa makaleler olduğu daha önce Abt(1984) tarafından gösterilmiştir. Gerçekten bu 8 çalışmayı gözönüne alırsak makale başına yazar sayısı 4.63 dür ve bu çalışmalarдан 4 tanesi boyut olarak 4 sayfadan azdır. Bu bulgumuz da genel eğilime uymaktadır.

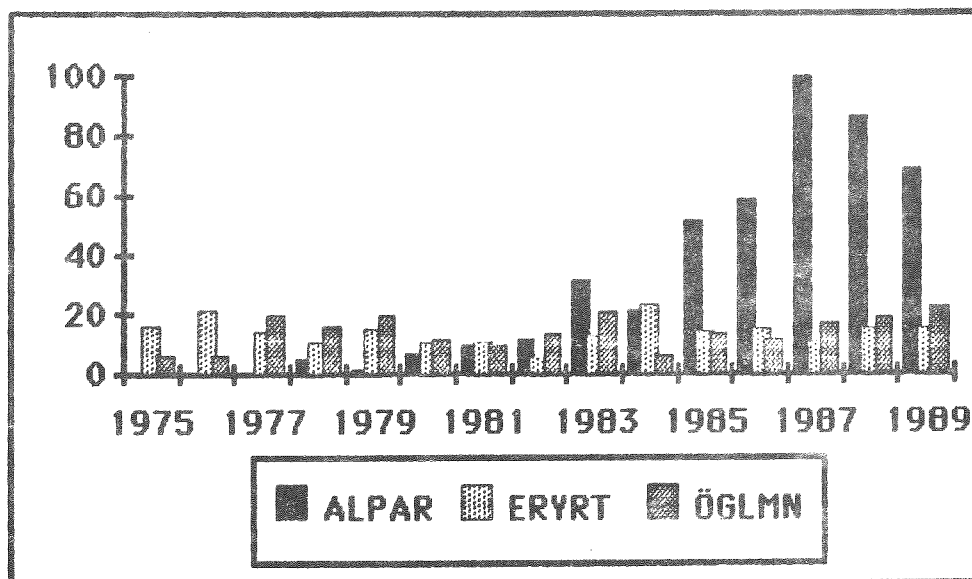
-
1. — Fichtel, C. E., Hartman, R. C., Kniffen, D. A., Thompson, D. J., Bignami, G. F., Ögelman, H., Özel, M. E., Tümer, T.: 1975, *Astrophys. J.*, **198**, 163. "High energy gamma-ray results from second small astronomy satellite".
 2. — Alpar, M. A., Cheng, A. F., Ruderman, M. A., Shaham, J.: 1982, *Nature*, **300**, 728. "A new class of radio pulsars".
 3. — Thompson, D. J., Fichtel, C. E., Kniffen, D. A., Ögelman, H.: 1975, *Astrophys. J.*, **200**, L79. "SAS-2 high energy gamma-ray observations of Vela pulsars".
 4. — Alpar, M. A., Shaham, J.: 1985, *Nature*, **326**, 239. "Is GK5-1 a millisecond pulsar".
 5. — Lamb, F. K., Shibazak, N., Alpar, M. A., Shaham, J.: 1985, *Nature*, **317**, 681. "Quasi-periodic oscillations in bright galactic bulge X-ray sources".
 6. — Ögelman, H., Maran, S. P.: 1976, *Astrophys. J.*, **209**, 124. "Origin of OB association and extended regions of high-energy activity in galaxy through supernova cascade processes".
 7. — Lamb, R. C., Godfrey, C. P., Wheaton, W. A., Tümer, T.: 1982, *Nature*, **296**, 543. "Cygnus-X-3 observed at photon energies above 500-gev".
 8. — Hartman, R. C., Kniffen, D. A., Thompson, D. J., Fichtel, C. E., Ögelman, H., Tümer, T., Özel, M. E.: 1979, *Astrophys. J.*, **230**, 597. "Galactic plane gamma-radiation".
-

Çizelge 2. Sırası ile en çok başvuru alan çalışmaların listesi.

Şekil 12 de en çok başvuru alan astronomlar görülmektedir. Alpar kendisinden sonra en çok başvuru alan astronomdan iki kat daha fazla başvuru almıştır. İlk üç astronom, geçmişte ve/veya bugün yurt dışı olanakları çok iyi kullanan ve yabancı astronomlara ortak yayın yapan kişilerdir. Buna bir ölçüde Demircan, Ayaslı ve Aydın'ı da katabiliriz. Geri kalan dört astronom ise en çok yayın yapan Ege Üniversitesi'nin elemanlarıdır. Buradaki ilginç bir olgu da Kızılırmak, hemen hemen tüm başvurularını, minimum zamanlarını yayınıadığı SI'e girmeyen hakemsiz



Şekil 12. İlk ada göre alınan başvuruların astronomlara göre dağılımı



Şekil 13. En çok başvuru alan astronomların başvurularının yıllara göre dağılımı.

bir yayın olan "Information Bulletin on Variable Stars" adlı dergide yayınlanan çalışmalarından almıştır. Şekil 13'de ise en çok başvuru alan üç

astronomun aldığıları başvuruların yıllara göre dağılımı görülmektedir. Eryurt ve Ögelman'ın son 15 yılda ortalama başvuru sayıları 15-20 arasında kahrken ilk başvurusunu 1977'de alan Alpar'ın son yıllarda yaptığı atak, açıkça görülmektedir. Buradan vardığımız sonuç, Türk astronomlarının son yıllarda aldığıları başvuruların artma nedeninin, tek bir astronom olduğunu söyleyebiliriz. Gerçekten de Türk astronomlarının aldığı toplam 1624 başvurunun 475'i Alpar'a aittir.

4. SONUÇ

Bir kaç hariç Türk astronomlarının yaklaşık %95'i kaliteli yayın yapamamaktadır. Bunların ayrıntılı nedenleri Demircan (1989) tarafından verilmiştir. Bu nedenlere ekleyeceğimiz bir olgu da Astrophysics and Space Science dergisinde yapılan yayınların az başvuru aldığıdır. Peterson (1988), astronomi dergilerinde yapılan başvuruların, dergilere göre dağılımini araştırdığında, Astrophysics and Space Science dergisinin ortalama %3.5 yöresinde olduğunu görmüştür. Astrophysical Journal ve Astronomy and Astrophysics ise en çok başvuru alan dergiler olarak görülmektedir. Bu nedenle Türk astronomların, Astrophysics and Space Science'dan ziyade bu dergilerde yayın yapabilmek için koşullarını zorlamaları gerektiği ortaya çıkmaktadır. Son yıllarda, etkin bir şekilde çalışmaya başlayan Üniversite Araştırma Fonlarının, astronomlar tarafından etkin bir şekilde kullanılması, ortak projelerin geliştirilmesi, IUE, Uzay Teleskobu, EXOSAT ve gelecekte ROSAT gibi uydu verilerinin kullanılması ile yapılacak yayınların nicelik ve nitelik yönünden bir patlama yapacağı umudunu taşıyoruz. Bu hedefe ulaşmak için yöneticilerimizin her türlü çabayı göstereceği, genç elemanlara daha fazla olanak tanıyalacağı, bilimsel araştırma yapan elemanlara her yönden destek verecekleri kuşkusuzdur.

TEŞEKKÜR

Bu çalışmanın her aşamasında değerli yardımlarını ve yorumlarını esirgemeyen O. Demircan'a teşekkür ederim.

KAYNAKÇA

- Abt, H. A. : 1983, Publ. Astr. Soc. Pacific, **95**, 113.
Abt, H. A. : 1984, Publ. Astr. Soc. Pacific, **96**, 746.
Davoust, E. ve Schmadel, L. D.:1987, Publ. Astr. Soc. Pacific, **99**, 617.
Demircan, O.:1989, VI. Ulusal Astronomi Kongresi Tebliğleri, 14-16 Eylül
1088, ed. İ. Yavuz, İzmir p. 431.
Peterson, C. J.:1988, Publ. Astr. Soc. Pacific, **100**, 106.
Science Citation Index: 1975-1989 yıllıkları, Institut for Scientific
Information, Philadelphia, USA.
Science Source Index: 1975-1989 yıllıkları, Institut for Scientific
Information, Philadelphia, USA.
Trimble, V.: 1986, Publ. Astr. Soc. Pacific, **98**, 1347.

GAMMA İŞİNLARI ASTROFİZİĞİNDE SON GELİŞMELER

Mehmet Emin Özel
Çukurova Üniversitesi Fizik Bölümü

I. Giriş:

Gamma işinları elektromanyetik yelpazenin çok geniş bir bölümünü kaplar. Bu nedenle kayıt teknikleri, foton enerjisine bağlı olarak, büyük değişiklikler gösterir. Gamma işinları astronomisinde en önemli gelişmeler, genellikle uydularla atmosfer dışında bir yörüngeye yerleştirilen, gamma işininden çift yaratma ve olusan elektron/pozitronun bir dizi kivilcim odası ile takibi temelli araçlarla ve 100 MeV foton enerjileri civarında gerçekleşmiştir. 1990'lı yıllarda, NASA'nın öncülük etiği Gamma Ray Observatory (GRO) ve Sovyetlerin öncülüğündeki GAMMA-1 uydusu sistemlerinin bu alanda önemli sonuçlar getirmeleri beklenmektedir. Bu nedenle, gamma işinları astrofiziğindeki güncel sorunları gözden geçirmek için uygun bir zamandayız. Daha düşük (0.1-30 MeV) ve daha yüksek (30 GeV'e kadar) foton enerji bölgeleri de bu uydularda -ilk kez- hemzaman olarak gözlenebilecektir. Uydulara konan duyaçların daha önceki benzerlerinden en az bir mertebe daha duyarlı ve açısal çözümleme gücü yüksek şekilde inşa edildiklerini de göz önüne alırsak önmüzdeki yılların gamma işinları astrofiziğinde çok önemli gelişmelere gebe olduğunu söyleyebiliriz.

II. Tanımlar ve Teknikler:

Elektromanyetik yelpazenin yaklaşık 0.1 MeV'den yüksek enerjili fotonlara karşılık gelen bölgesi gamma işinları olarak isimlendirilmektedir. Foton enerjisine bağlı olarak, kayıt teknikleri ve buna bağlı olarak, yapılan duyaçların açısal ve enerji çözümleme düzeyleri değişmekte ve her bölgedeki genel bilgi birikimi ve gelişme düzeyleri önemli farklılıklar göstermektedir. Şekil 1'de değişen foton enerjilerinde kullanılan kayıt teknikleri ve kullanımındaki kimi duyaç özellikleri özetlenmektedir.

Diger taraftan, yer atmosferi gamma işinlarını bütünü ile soğurduğundan, yaptığımız gamma işin duyaçlarını atmosferin yukarı tabakalarına ve mümkünse dışına taşımak zorundayız. Şekil 2'de elektromanyetik yelpazenin çeşitli bölgelerinde (bu arada gamma işinlarında) yer atmosferinin bu anlamdaki foton geçirgenliği özetle verilmektedir. Görüldüğü gibi, düşük ve orta enerjilerde, atmosferin 30-40 km yukarılarına çıkabilecek balonlarla gamma işin gözlemleri yapılmaktadır. 100 MeV ile 1 GeV civarında ise yapma uydular en uygun taşıyıcı araçlar durumundadır.

Yelpazenin en yüksek (1 TeV ve yukarısı) enerjili bölgesinde kozmik gamma işin akıları çok azaldığından uydularla taşınabilecek duyaçlar pratik olmaktan çıkmaktadırlar. Bu,

enerjilerdeki fotonlar atmosferle etkileserek yeryüzüne kadar ulasan Cerenkov ışımacı ve parçacık yağmurları (air showers) yaratmaya başlarlar. Gamma ışınlarının kendileri yerine bu ikinci etkilerini yeryüzüne kurulacak duyaç sistemleri ile algılamak mümkündür. Dolayısı ile, çok yüksek gamma ışınları için ayaklarımıza tekrar yeryüzüne basmamız gerekmektedir! Bu enerji bölgesinin de foton başlangıçlı ışımalarla proton ve diğer kozmik ışın başlangıçlı ışima ve 'yağmur'ları ayırma, yerel ışık ve diğer ışima kaynaklarını dışlama gereksinimi gibi özel sorunları söz konusudur.

III. Düşük ve orta enerjilerde durum:

10 MeV'den düşük enerjilerde nükleer gamma ışın çizgilerinin gözlenmesi en önemli hedeflerdendir. Bunun için ya fotoelektrik etkileşmeleri veya Compton etkileşmelerini temel alan duyaçlar kullanılır. Samanyolu Merkezi genel bölgesinden gözlenen ve zamanla değişme gösteren 0.511 MeV elektron/pozitron yokolma çizgisi ile 1.809 MeV'deki Alüminyum 26 çizgisi, son yıllarda özellikle balon uçuşları ile gerçekleştirilmiş NaI(Tl) kristalli deneylerin en önemli sonuçlarıdır. Açısal belirsizliklerin yüksek olması nedeni ile bunlarla ilgili kaynak bölgesi büyülüğü hakkında sağılıklı tahminlerde bulunmak zordur. Özellikle ikinci çizginin, Samanyolu Merkezi civarındaki yüksek süpernova oluşum hızı ve/veya Wolf-Rayet/O tipi yoğun rüzgarlı yıldızların çöklüğü ile açıklanabilecegi düşünülmektedir.

Bu bölgedeki diğer önemli bulgular arasında Büyük Macellan Bulutu (LMC) diye bilinen en yakın (55 kpc uzaklıkta) komşu gökadamızdaki 1987 süpernovasının (SN 1987 A) beklenene yakın oranlarda yapmış olduğu Fe ve Co kökenli çekirdeksel ışima çizgileridir. Böylece süpernova ışık eğrisi ve süpernovanın kendisinin oluşumu ile ilgili teorik kuramlarımız önemli ölçüde doğrulanmaktadır, elementlerin yıldızların merkez bölgelerinde, öngördüğümüz çekirdeksel zincir etkileşmelerle oluşturukları savi - kaydedilen nötrino atılımı ile birlikte ele alındığında- yeni ve çok önemli destekler kazanmaktadır. Patlama sonrasında beklenen atarca'nın niye hâlâ gözlenemediği, patlama başlangıcı olarak kabul edilen nötrino atılıminin enerji ve zaman dağılımindaki yapılar ve özellikler, patlayan mavi devin evrim sürecindeki kimi ayrıntılar ve süpernova ışık eğrisindeki olağandisiliklerin nedenleri gibi sorunlar gökbilimcileri olduğu kadar teorik fizikçileri de uzun yıllar mesgul edeceğe benzemektedir.

Uydu ve balon gözlemleri birleştirildiğinde, > 1 MeV foton enerjilerinde, Evren'in her yönünden geldiği (isotropic) hesaplanan bir gamma ışın ardalı ışımاسının varlığı bilinmektedir. Sözkonusu "evrensel yaygın gamma ışıması"nın foton spektrumu Şekil 3'te verilmektedir. Bu ışımının kökeni ve özel olarak ta, spektrumdaki 1-10 MeV bölgesindeki düzleşmenin nedeni henüz anlasılmış değildir. Birbiri ile yarışan açıklamalar - mesela, bu düzgün evrenin genç dönemlerindeki ($z \approx 100$) bir kozmik ışın atılımı sonucu oluşan yüksüz pionların gamma'ya dönüşümü ve 70 MeV civarında beklenen tepe noktasının Hubble

genişlemesi nedeniyle 1-10 MeV bölgесine taşınmış olabileceğи tezi ve diğer evrenbilim kökenli savlar (1,2) - henüz kesinlik kazanmamıştır. Yeni gözlemlerin ve teorik çalışmaların bu konuya da açıklığa kavuşturması beklenmektedir.

Bu foton enerji bölgesinde isıma yaptığı bilinen bir dizi Samanyolu-içi (SYi) ve Samanyolu-Ötesi (SYÖ) kaynak vardır. Bunların en önemlileri Crab ve Vela atarcaları, Cyg X-1 adlı çift yıldız sistemi ve kara-delik adayı, kuasar 3C273, etkin gökadalar NGC4151, Cen A ve NGC1275...dir. Bu kaynakların doğaları ve gamma işin üretmede kullandıkları mekanizmalar da yoğun araştırma konuları arasındadır.

(Bu enerjilerde ve diğer daha yüksek enerjilerdeki gamma işinları astrofiziği, kullanılan kayıt teknikleri ve ilgili sonuçlar Fichtel/Trombka'nın (2) ve Ramana-Murty/Wolfendale'in (3) kitaplarından takip edilebilir.)

IV. Yüksek enerjili gamma işinlarındaki gelişmeler:

Enerjisi 30 MeV'den yüksek fotonların kaydi çift yaratma ve yaratılan çiftin bir dizi kivilcim odaları sistemi ile takibi temeline dayanır. Bu teknikle ilk önemli sonuçlar, 1972-73'te 6 ay süreyle çalışan NASA'nın SAS-2 uydusu ile elde edilmiş (4), SYi ve SYÖ yaygın gamma işimalarının varlığı ile SYi nokta kaynaklar ilk kez kesinlik kazanmıştır. Gamma işinları ile yıldızları değil yıldızlararası ortamı (YAO) gördüğümüzü göz önüne alırsak bu gözlemlerin Samanyolunun yapısını anlamadaki önemi ortaya çıkar. YAO'in dinamiginde çok önemli yeri olan kozmik işinların (yüksek enerjili protonlar ve diğer çekirdekler) güneş sistemi ötesinde gözlemebilmesi ancak yarattıkları gamma işinları yardımı ile olmaktadır. Kozmik işinların kaynakları ve hızlandırılma mekanizmaları henüz bütüle anlaşılamamış yoğun araştırma konuları arasındadır.

SAS-2 ile bir dizi nokta kaynak ta gözlenmiştir. Bunlardan Crab ve Vela atarcaları sahip oldukları zaman imzaları ile optik ve radyo dalga boylarında gözlenen 33 ve 89 milisaniyelik atarcalar (ki bunlar hızla dönen genç nötron yıldızlarıdır) ile özdeşleştirilebilmektedirler. Üçüncü noktasal SAS-2 kaynagi ise Samanyolu koordinat sistemindeki yeri nedeni ile Gamma 195+5 olarak isimlendirilmiştir. Gamma enerji spektrumu Crab ve Vela atarcalarından daha "sert"tir (yüksek enerjili fotonlar daha yüksek orandadırlar). Daha sonraki COS-B uydusu gözlemleriyle de varlığı doğrulanın bu kaynak, ilk keşfedilmesinden bu yana geçen 18 yılda, bölgenin optik, X-ışını, IR ve radyo dalga boylarında çok derin olarak taramış olmasına rağmen henüz hiç bir başka gök cismi ile eşleştirilememiş ve doğası anlaşılamamıştır. (COS-B gözlemlerinden sonra bu gamma işin kaynağı daha çok "Geminga" adıyla tanınmıştır).

1975'te uzaya fırlatılan ESA'nın gamma işinları uydusu COS-B 1982'ye kadar görev yaptı. Bu sırada Samanyolu diskini uzun süreler gözleyerek ayrıntılı bir haritasını elde etmemizi sağladı

(Şekil 4). Bu disk üzerinde 20'den fazla parlak nokta keşfederek noktasal gamma işin kaynakları sayısını arttırdı. Bu kaynaklara "ikinci COS-B gamma katalogu" anlamında 2CG kaynakları adı verilmektedir(5). Bunların doğası üzerine yapılan ve genellikle diğer foton enerjilerinde eşlendirmeye dayalı çalışmalar yarınan fazlasının Samanyolu içindeki hidrojen molekülü bulutları olduğunu ortaya çıkardı. Ancak, kısaca UGO'lar (unidentified gamma ray objects) olarak isimlendirilen geri kalan bölümünün ne türden cisimler olduğu konusu, bu kaynakları, yeni gamma işin deneylerinin önemli hedefleri arasına koymaktadır.

COS-B bu enerji bölgesindeki ilk gökadamız-ötesi gamma işin kaynağını (3C273 kuasarı) keşfederek bu enerjilerde SYÖ Gamma İşinləri Astronomisini de başlatmış oldu(6). Gelecek deney ve gözlemlerle SYÖ gök cisimlerinin sayısının bu enerji bölgesinde de artması beklenmektedir. Mesela, bir bölüm çalışmada (7,8,9) Andromeda gökadası, Büyük ve Küçük Macellan Bulutları (LMC,SMC) ve en yakın etkin gökada olan M82'nin 100 MeV bölgesinde yapmaları beklenen gamma işiması seviyelerinin GRO ve GAMMA-1'ce gözlenebilecek düzeylerde olacağı ve bu gözlemlerin kendi gökadamızı anlamamıza da çok önemli katkılarda bulunacağı hesaplanmaktadır.

SAS-2 deneyinin veri analiz ve yorum çalışmalarına ODTÜ Fizik Bölümü öğretim üyeleri, Dr. H.Ögelman'ın başkanlığında, deneyin hazırlanması, kalibrasyonu, yörüngeye yerleştirilmesi, verilerin kaba ve ayrıntılı analizleri ve yorumu sahalarında rol alarak bu deneyden elde edilen sonuçlara doğrudan katkıda bulunmuşlardır. TUBITAK da verilen projelere sağladığı maddi desteklerle bu katılıma yardımcı olmuştur (10).

V. Çok yüksek enerjilerde gamma işinleri astronomisi:

Gamma işin fotonları 1 trilyon elektron-volt (TeV) civarında veya üzerinde enerjilerde ise, atmosferdeki parçacıklara çarparak yeryüzüne doğru bir elektromanyetik parçacık sahanlığı oluştururlar. Bu sahanakta, foton e^-/e^+ çiftine dönüşür, bu çift tekrar, genellikle frenleme işiması yoluyla, yeni gamma işinleri, o işinlar tekrar e^-/e^+ çiftleri... yaratarak kendi kendini besleyen bir parçacık-foton heyelanını başlatır. Başlatıcı fotonun enerjisi yeteri kadar yüksekse parçacık yağmurları yeryüzüne kadar devam edebilir. Amaç, bu heyelani, içindeki parçacıkları veya onların yarattıkları kimi yan etkileri (mesela Çerenkov işimasını) kaydederek başlatıcı foton hakkında bilgi edinmektir.

Heyelan içindeki elektron ve pozitronların enerjisi atmosferde Çerenkov işiması sınırının üzerinde enerjiye (> 21 MeV) sahip oldukları süre içinde kısa süreli (birkaç milisaniye) bir ışık atılımı oluştururlar. Bu ışığa duyarlı fotoçogaltıcı tüpler kullanılarak yapılacak kayıtlarla heyelani başlatan fotonun yönü 1 derece kadar doğrulukla, enerjisi ise %50 kadar hata ile hesaplanabilmektedir.

Bu yükseklikteki enerjilerde kullanılan diğer bir yöntem, atmosfere çarpan yüksek enerjili fotonların yaratacagi flöresans

etkisinden oluşan ikincil işimayı kaydetmeye dayanır. Ulaşılabilen enerji ve açısal çözümleme düzeyleri Çerenkov işiması tekniklerine yakındır.

Yeryüzüne konuşlandırıldıği için bu türlerden gamma işin gözlemevlerinin sayısı epey kabariktır. Bunların en önemlileri arasında, ABD Arizona'daki Whipple Gözlemevi (11 metrelük çanak yansıtıcılı, $E > 0.1$ TeV eşik enerjisine sahip olup Çerenkov ışığına duyarlıdır), ABD Utah'daki Fly's Eye (Sinek Gözü) Gözlemevi (floresans işimasına duyarlı olup bütün bir yarıküreye aynı anda bakabilmektedir) ve yine Utah'daki Dugway Çerenkov Gözlemevi (ki University College, Dublin ve Hawaï University tarafından işletilmektedir) sayılabilir. Bu gün yeryüzünde kuzey ve güney yarıkürelere dağılmış 30 kadar bu türden ve daha yüksek enerjilerde duyarlı gamma işinları ve kozmik parçacık kaydı amaçlı gözlemevi vardır (11).

Cök yüksek foton enerjileri bölgesinde birden fazla gözlemevince kaydedilen nokta kaynaklar arasında Crab atarcası, Cyg X-3, Her X-1, Vela X-1, 4U0115+61 ve LMC X-4 X-ışın çift yıldızları ile M87 ve benzeri etkin gökadalar vardır. Dikkat edileceği gibi, X-ışın çift yıldızları, bir sınıf olarak çok yüksek enerjilerde fotonlar yaratmaya yetenekli görülmektedirler. Gözlenen sinyallerin taşıdığı kimi olağandışı özellikler (örnek olarak, Cyg X-3 sinyallerinin gamma işin fotonlarının gerektirdiğinden fazla müonlar içermesi (12), Her X-1 sinyalının sistemeeki nötron yıldızının dönme periodundan biraz farklı bir zamanlama göstermesi (13) ve gamma atılıminin nötron yıldızının diğer yıldızca örtüldüğü bir evrede gözlenmesi (14)... gösterilebilir) ve çoğu gözlemevlerince elde edilen sonuçların istatistiksel güvenilirliğinin 3 sigmaın üzerine bir türlü çıkmaması, sonuçların tekrarlanmasındaki zorluklar... bu enerjilerde ilk akla gelen önemli sorunlar olarak belirmektedir. Ancak, Whipple Gözlemevi araştırmacılarinka son zamanlarda ulaşılan 9 sigma güvenilirlikteki Crab atarcası gözlemleri ve bu gözlemlerin, diğer gözlemcilerinin raporları işliğinde beklenenin aksine, atarca dönme periodu olan 33 milisaniyeyi göstermemesi, bu alanda da yeni gelişmelerin esigidinde olduğumuza işaret etmektedir.

1970-1982 yılları arasında Ankara ODTÜ Fizik Bölümünde de atmosferik floresans tetiklemeli, parçacıklara ve Çerenkov ışığına duyarlı bir dizi sistem geliştirilerek işletilmiş (15,16) ve önemli kimi bulgular elde edilmiştir. Bunlar arasında 1972'de patlamış olan NGC5253 gökadasi süpernovası ile ilgili kayıt ile 1973'te IMP-6 uydusu tarafından kaydedilen gamma işin patlaması ile hemzaman kayıt belirtilebilir (17). Ankara sisteminin kayıt eşik enerjisi 50 TeV civarındaydı. Başlatıcı fotonun veya dalga zarfinin yönü 10-15 derece doğrulukla saptanabiliyordu. Bu bakımından şimdiki duyac sistemleri ile karşılaştırıldığında gerçekten "ilk-el" bir sistem söz konusudur. Ancak, 1970'lerde bütün dünyada, bu türden 2 veya 3 sistem vardı ve bu ilk el ilk sistemlerin gelişkinlik düzeyleri genellikle Ankaradakilerden pek farklı değildi.

VI. Yeni Gelişmeler:

GRO ve GAMMA-1 uyduları önumüzdeki yıllarda gamma ışınları astrofiziğinin gündemini dolduracak önemli gözlemler yapacaklardır. Bunlardan ikincisi Temmuz 1990'da uzaya fırlatılarak, ekvatora yakın bir yörüngeye oturtulmuştur. İki yıl görev yapacağı planlanan GAMMA-1 bir Fransız-Sovyet ortak deneyidir. 100 keV'den 1 GeV'e kadar olan fotonlara duyarlı 3 ayrı duyac sisteminden oluşan uydı ilk yilda öncelikle Samanyolu içindeki 'UGO' tipi kaynakları gözleyecek ve Samanyolu diskini hakkındaki bilgilerimizi artıracaktır. 2. yilda ise SYÖ kaynaklar ve diğer hedefler taranacaktır. Uydunun duyarlığı SAS-2'den 2 ila 5 kat daha iyidir. Uydu ayrıca x-ışınları bölgesinde uygulanan "kodlanmış maske" (coded mask) ile yön belirleme tekniğini gamma ışınları bölgesinde ilk kez deneyecektir.

NASA'nın Gamma Işinleri Gözlemevi GRO ise, enerji duyarlılıklarını 100 keV'den 30 GeV'e kadar uzanan bölgeyi 4 ayrı deneyle hemzaman olarak gözlemeyi hedefleyen çok gelişkin bir duyacalar toplamıdır. Sistemi oluşturan 4 ayrı deney (OSSE, BATSE, COMPTEL ve EGRET), bunların ana hedefleri ve bunlara katılan araştırma grupları Tablo 1'de verilmektedir. Gözlemevi platformu, Şubat 1991'de ekvatorla 28 derecelik bir açı yapan oldukça eğik bir yörüngeye oturtulacaktır. Gözlem programının birinci yılı bütün-gökyüzü (all-sky) taramasına ayrılmıştır. İkinci yıl özel hedefler (UGO'lar, yakın gökadalar, diğer SYÖ kaynaklar...) ayrıntılı olarak gözlenecektir. GRO'nun hemzaman olarak gözleyeceği geniş yelpaze bölgesi, geliştirilmiş duyarlık, enerji ve açısal çözümleme gücü kadar, gamma ışınları için ilk kez yapılabilecek olan "kutuplanma" (polarization) seviyesi ölçümleri ile de GRO'nun bize yepyeni bilgiler ve sürprizler taşıması beklenmektedir (Şekil 5).

Gamma ışınlarının 10 GeV ile 1 TeV arasında kalan bölümünü pratik olarak henüz gözlenmemiştir. Bu enerjiler bazi sert spektrumlu nokta kaynakları (2CG013+00, Geminga gibi) parlak olacakları bu bölgede incelemek ve yapılarını anlamak, SYÖ astronomide önemli bir sorun olan "kararlık madde"yi oluşturması parçacık fizikçilerince teklif edilen yeni ve "ekzotik" parçacıkların muhtemel bozunum ve dolaylı gözlenme bölgesi olarak öngörülmesi nedeni ile giderek önem kazanmaktadır. 1 GeV - 1 TeV enerji aralığı GTE bölgesi olarak da isimlendirilmektedir.

GTE bölgesinde duyarlı olacak bir dizi araç planlanmaktadır. Bunlardan biri olan ASTROGAM, NASA'nın 90'lı yılların ikinci yarısında tamamlayacağı hesaplanan Uzay İstasyonu "Freedom" üzerine kurulmak üzere teklif edilmektedir. Uzay İstasyonu üzerine, temel fizik, plazma fiziği ve astrofizik deneyleri için kullanılabilecek (proje adı ASTROMAG) olan süperiletken bir mıknatis konuşlandıracaktır. ASTROGAM, bu mıknatısın manyetik alanının, gamma ışınınından yaratılan çift için bir kütle spektrometresi olarak kullanımına dayanmaktadır. Mıknatıs, 1 metreküp mertebesinde kullanım oylumuna ve 2 kilogauss civarında manyetik alana sahip olacaktır. Gamma ışınlarının ASTROGAM oylumu içinde yarataceği çiftler, manyetik alan yardımıyla

ayrıstırılacak ve alan içindeki yörüngeleri "sürüklenme etkili tüpler" (drift tubes) den oluşan bir dizi katmanca çok hassas olarak takip edilecektir. Sonuçta, çift oluşumunun yeniden "insası" (reconstruction), gamma işininin yönünü 1 yay dakikasından daha hassas olarak, enerjisini de % 1 doğrulukla belirleme olanağı vermektedir. Bu deneye katılan araştırma grupları ile deneyin bazı temel özellikleri Tablo 2'den takip edilebilir (Şekil 6).

VII. Sonuç:

Önümüzdeki onyılın gamma işinları astrofizigi açısından çok verimli ve heyecanlı geleceğe açiktır. Elde edilecek bulguların, yalnızca astronomi ve astrofizik açısından değil, parçacık fizigi, kozmoloji ve genel bilimsel tartışma ortamı açısından da çok önemli sonuçlar getirmesini beklemekteyiz. Yeni gözlem araçlarımızın duyarlıklarını ve bir dizi özelliği açısından geçmişteki benzerlerinde birkaç mertebe daha gelişkin durumda olması, bir bölümü su an öngöremeyecek yeni bulgular ve sonuçlara hazır olamamızı bize hatırlatıyor...

VIII. Kaynakça:

- (1) Stecker, F., 1971, "Cosmic Gamma Rays", NASA SP-249.
- (2) Fichtel,C., Trombka, J., 1981, "Gamma Ray Astrophysics", NASA SP-453.
- (3) Ramana-Murty,P.V.,Wolfendale,A., 1986, "Gamma Ray Astronomy", Cambridge University Press, Cambridge, England
- (4) Fichtel,C.,Hartman,R.,Thompson,D.,Bertsch,D.,Bignami,G., Ögelman,H.,Özel,M.E.,Tümer,T.,1975,Astrophys.J.,198,163.
- (5) Swannenburg et al., (COS-B collaboration), 1981, Astrophys.J.L., 243, L69.
- (6) Bignami,G.,Hermsen,W.,1983,Ann.Rev.Astron.Astrophys.,21.
- (7) Özel,M.E.,Berkhuijsen,E.,1987,Astron.Astrophys.,172,378.
- (8) Özel,M.E., Fichtel,C., 1988, Astrophys.J.,335,135
- (9) Akyüz,A., Broulliet,N., Özel, M.E., 1990, "M82 in gamma rays", hazırlanıyor.
- (10) TUBITAK Temel Bilimler Araştırma Grubunca desteklenen TBAG-136 (1975),TBAG-227 (1976) ve TBAG-353 (1981) nolu projeler kesin raporları, Ankara.
- (11) "Techniques in ultra high energy gamma ray astronomy", 1985, 19. ICRC proceedings, special working group, Physics Department, University of Adelaide, Avustralya, s.111.
- (12) Dingus et al., 1988, Phys.Rev.Lett., 61, 1906.
- (13) Gorham et al., 1986, Astrophys.J., 309, 114.
- (14) Gorham et al., 1986, Astrophys.J.L., 308, L11.
- (15) Özel,M.E., "A particle density detector for detection of ultra high energy photon pulses from supernovae", 1972, M.Sc. Thesis, ODTU Fizik Bölümü.
- (16) Kızılıoglu,U., 1979, "An automated system for detection of atmospheric fluorescence pulses from supernovae", Ph.D.Thesis, ODTU Fizik Bölümü.
- (17) Ögelman, H., Kızılıoglu, U., Özel, M.E., 1973, "Uzayda oluşan kısa süreli patlamaların tesbiti", TUBITAK IV. Bilim Kongresi tebliği, 5-8 Kasım, Ankara.

E.DERMAN: γ 195+5 in ne olduğu hakkında zannedersem bir iki makale yayınlandı ama onun hakkında kesin bir şey söylemediniz.

M.ÖZEL: Söyledim, çünkü ne olduğu konusunda fikir ve rivayet muhtelif ama gerçeği kimse bilmiyor. O konuda 1979 da bir radyo taramasını ben kendim yaptım ama ilginç olabilecek bir kaynak ne yazık ki bulamadım. Daha sonra çok daha duyarlı radyo taramaları yapıldı, yine sonuç olumsuz. Son olarak Einstein X-işinleri Gözlemevi'ni kullanarak İtalyan grubunun yaptığı taramalarda ortaya çıkmış bir X-işin kaynağı var. Yani γ -işin hata kutusunun içinde bir X-işin kaynağı var ve İtalyanlara sorarsanız kesinlikle aday bu. Fakat daha sonra Almanların yaptığı radyo taramasında böyle önemsiz sayılabilenek bir kuasar çıktı, onlarda bunu iddia ediyor. Yani gerçekten γ işinini yayan cismin diğer dalga boylarındaki bileşeni nedir? Onu kesin olarak bildiğimizi söyleyemeyiz.

E.DERMAN: Yani atarca mı? Kuasar mı belli değil.

M.ÖZEL: Belli değil.

TABLO 1:

GAMMA RAY OBSERVATORY: DENEYLER, GRUPLAR, HEDEFLER

I. OSSE: Oriented Scintillation Spectrometer Experiment
(Yönlendirilmiş Sintilasyon Spektrometresi)

Naval Research Laboratory (NRL) arastiriciları Kurfes ve arkadaslarinca hazırlanmış olan deney 0.1-10 MeV gamma ışınlarına duyarlıdır. 4 adet NaI "phoswich" sistemi, 3.8×11.4 derecekarelik bir görüş alanına sahiptir. Enerji saptamadaki hata % 8 civarındadır. Gamma ışın çizgilerini, yaygın ışımı, günesten gelen gamma ışınları ile nötronları gözleyecektir.

II. BATSE: Burst and Transient Source Experiment
(Kozmik patlamalar ve geçici kaynaklar deneyi)

Marshal Space Flight Center arastiriciları Fishman ve arkadaşlarının sorumluluğunda bulunan deney 20 keV - 30 MeV arası duyarlı bir spektrometre ile 50 keV - 1 MeV arasına duyarlı bir geniş alanlı, bütün uzayı aynı anda görebilen 8 adet NaI(Tl) temelli sintilasyon duyacından olusmaktadır. Yönü ve zamanı önceden bilinemeyen gamma ışın patlamaları ile geçici kaynakların yönünü ve spektrumlarını saptamayı hedeflemektedir.

III. COMPTEL: Imaging Compton Telescope
(Görüntüleyici "çift-sağılmalı" Compton Teleskopu)

Max Planck Extraterrestrische Physik, Münih (Fed. Almanya), Univ. of New Hampshire, Durham, (USA), Lab. for Space Research, Leiden (Hollanda) ve ESA Space Science Department, Noordwijk (Hollanda) tarafından ortak olarak yürütülen bu deneyin yönetmenliğini Dr.V.Schönfelder (Münih) üstlenmiştir. 1-30 MeV enerjili gamma ışınlarına duyarlı olan teleskop, 1 steradianlık olay kabul açısı (Field of View,FOV) ile 1-2 derece mertebesinde yön saptama gücüne sahiptir. Enerji tayini % 5-8 arasında hata ile yapılmaktadır. Noktasal gamma ışın kaynakları, yaygın evrensel ışima, günesten gelen gammalar ve gökada-içi yaygın ışima basılıca gözlem hedefleri arasındadır. Ayrıca, deney, gelen gamma ışınlarının polarizasyon yönünü saptayabilecek kabiliyettedir ki gamma ışınlarında polarizasyon ölçümleri ilk kez mümkün olacaktır.

IV. EGRET: Energetic Gamma Ray Experiment Telescope
(Yüksek enerjili gamma ışınları deney teleskopu)

Bas sorumluluğunu Dr.C.Fichtel'in (GSFC) üstlendiği bu deney, Goddard Space Flight Center, Max Planck Extraterrestrische Physik (Münih) ve Stanford University (USA) tarafından ortaklaşa yürütülmektedir. 20 MeV - 30 GeV arasındaki gamma ışınlarını hedef alan deney, kivilcim odalarına ek olarak, enerji tayini için NaI(Tl)'lar da kullanmaktadır. Açısal çözme gücü $1/2$ derece kadar olup görüş açısı (FOV) 45 derecedir. Gözlem hedefleri Comptel deneyi ile oldukça çakışmaktadır. Yakın gökadaların gözlemleri ve bütün gökyüzü taraması ayrıca belirtilmeme değer.

ASTROGAM: GAMMA RAY ASTRONOMY WITH A MAGNETIC RIGIDITY SPECTROMETERI. Deneye katılanlar:

J.H. Adams, Jr.¹, S.P. Ahlen², L.M. Barbier³, J.J. Beatty², P. Carlson⁴,
 H.J. Crawford⁵, R.L. Golden⁶, K.E. Krombel⁷, R.C. Lamb⁸,
 J. Lloyd-Evans⁹, A.A. Mari², J.F. Ormes³, M.E. Özello¹⁰, G.F. Smoot⁵,
 R.E. Streitmatter³, A.J. Tylka⁷, B. Zhou²

II. Katılan kurumlar:

¹E.O. Hulbert Center for Space Research, Naval Research Laboratory,
 Washington, DC 20375-5000 USA

²Boston University, Boston, MA 02215 USA

³NASA Goddard Space Flight Center, Greenbelt MD 20771 USA

⁴Manne Siegbahn Institute of Physics, Stockholm, Sweden

⁵University of California at Berkeley, Berkeley, CA 94720 USA

⁶New Mexico State University, Las Cruces, NM 88003 USA

⁷Universities Space Research Association, Columbia MD 21044 USA

⁸Iowa State University, Ames, IA 50011 USA

⁹University of Southampton, Southampton SO9 5HH UK

¹⁰Cukurova University, Adana 01330 Turkey

III. Abstract

We present a new concept for a high energy gamma ray telescope with an extended energy range and excellent energy and angular resolution. Astrogam is a pair production telescope which was designed to use the magnetic field of the Space Station Freedom Astromag facility to separate the e^+e^- pair and accurately measure the momentum of each particle (Eichler and Adams 1987). Astrogam will extend spectral measurements to higher energies, thus closing the gap between satellite and ground-based observations.

IV. Astrogam Parameters

Energy Range: 100 MeV to 1 TeV

Source Location Precision: 5-10 arcsec (bright sources)

Single Photon Angular Resolution: 20 arcmin (at 2 GeV)

Energy Resolution: 1% (1 to 100 GeV).

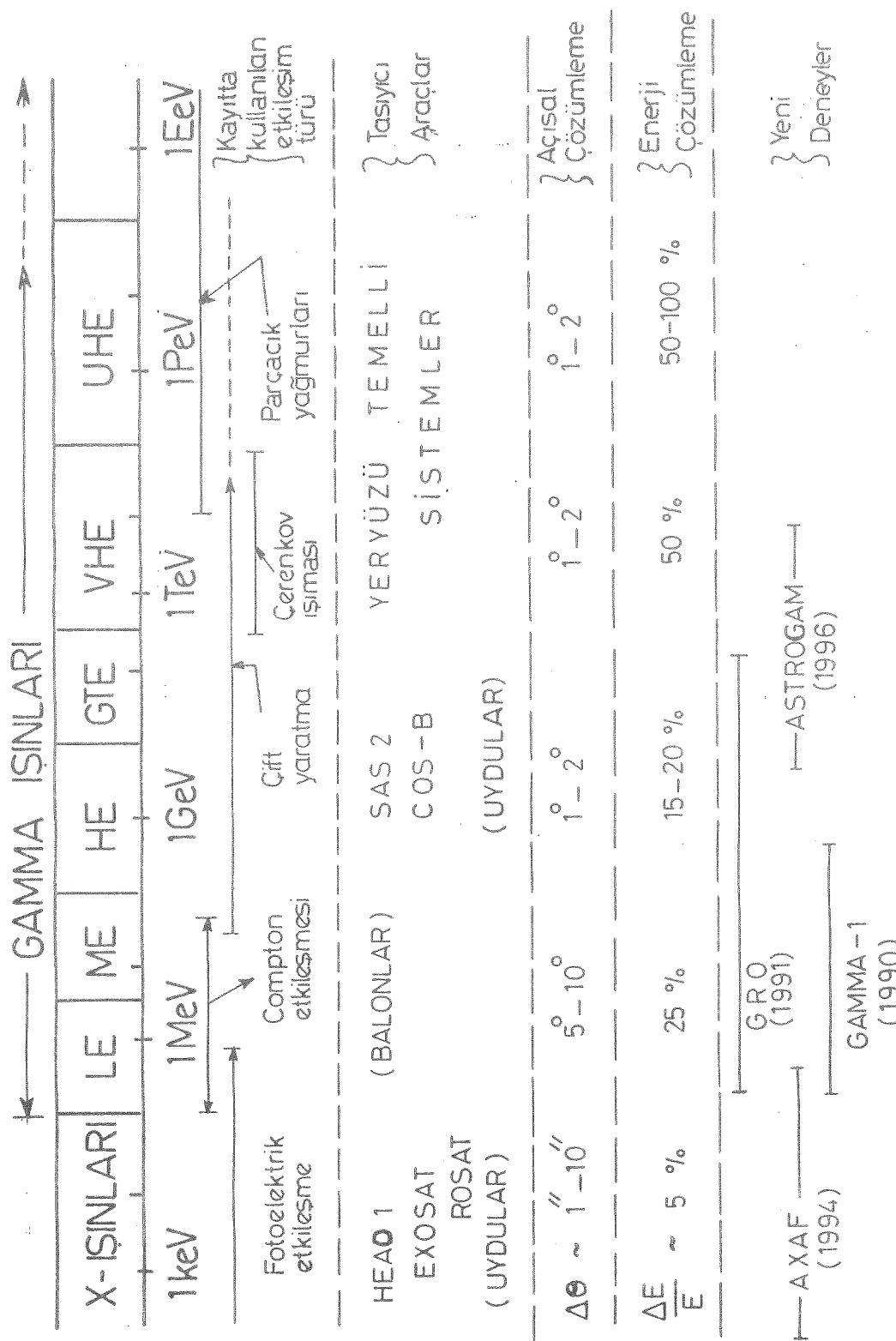
Geometry Factor - Efficiency Product: 7000 cm²-sr

Equivalent Area¹ for a Point Source: 500 cm² (at 40° declination)

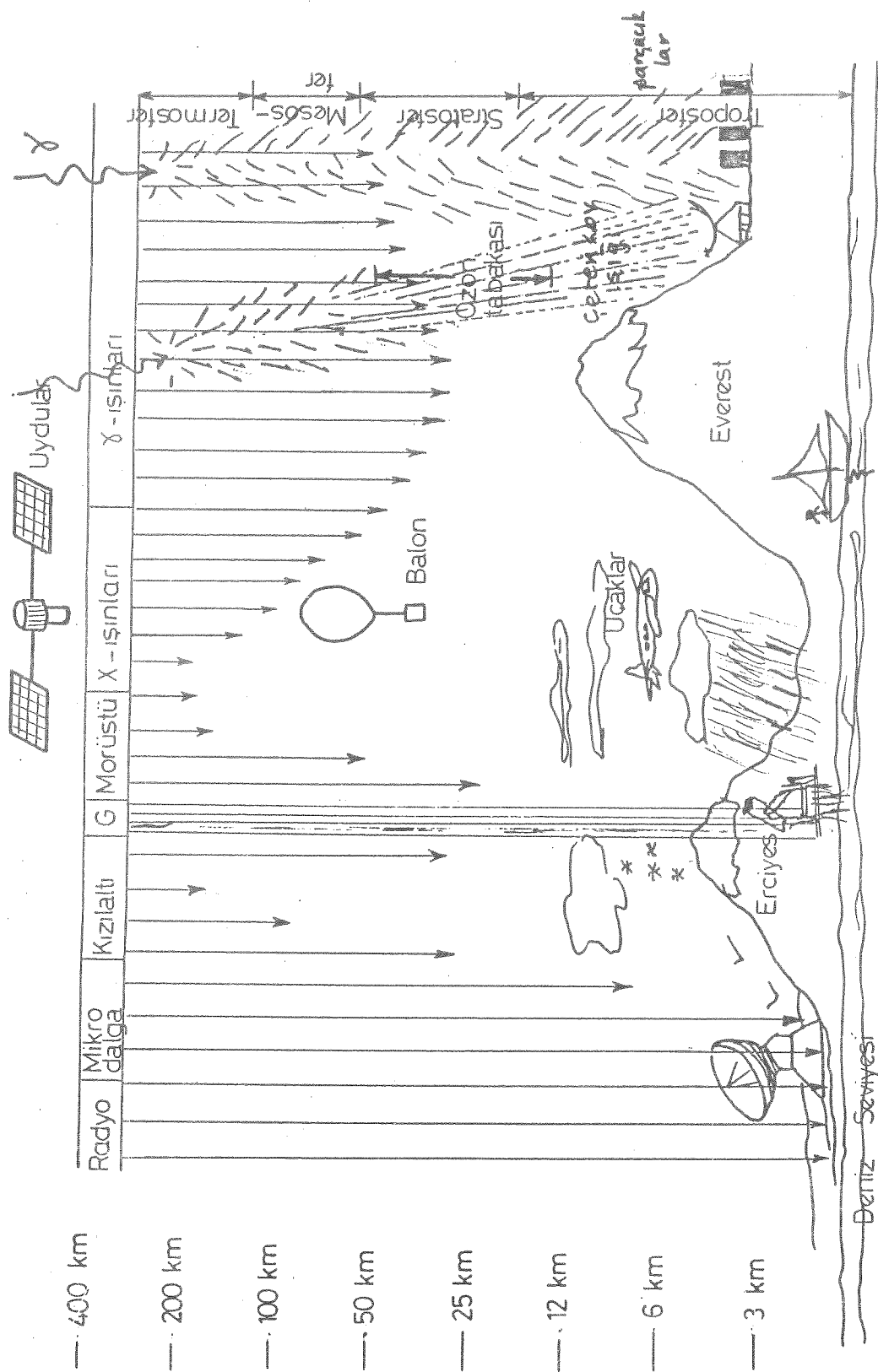
Field of View: 70° FWHM

Arrival Time Precision: 0.1 ms

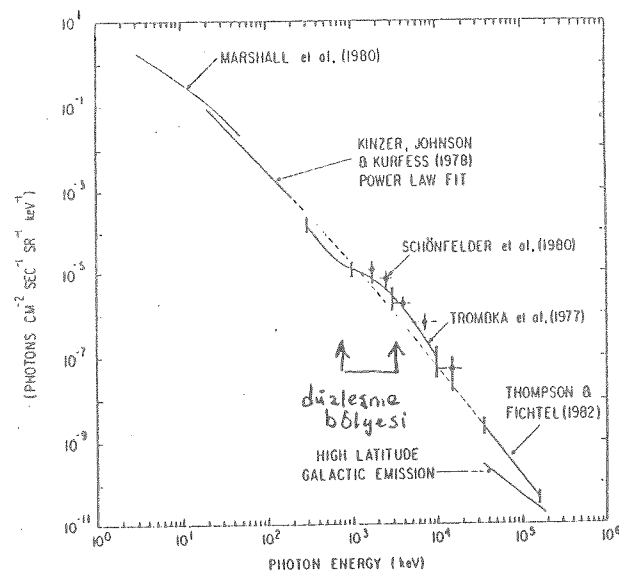
¹ Astrogam is a scanning instrument which surveys the entire celestial sphere. It observes a particular source only part of the time, with a collecting area which depends upon the declination of the source. The "equivalent" area is that of an instrument which would collect as many photons as Astrogam by always pointing exactly at the source and detecting every incident photon.



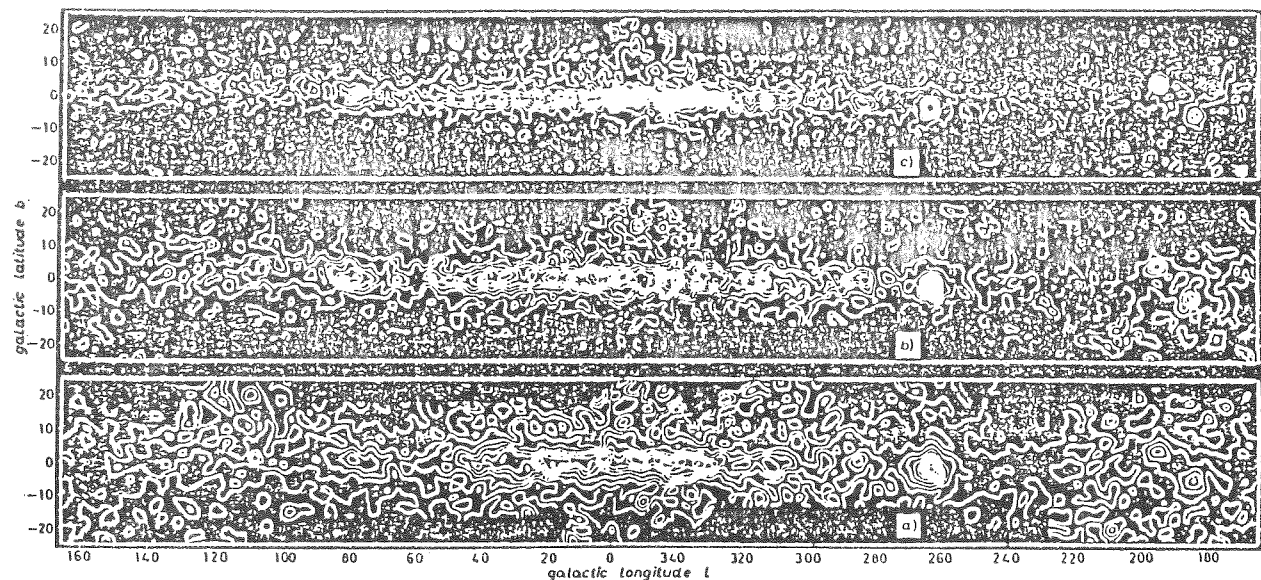
Şekil-1. X ve γ -ışın bölgelerinde kayıt, teknik ve duyaç özellikleri.



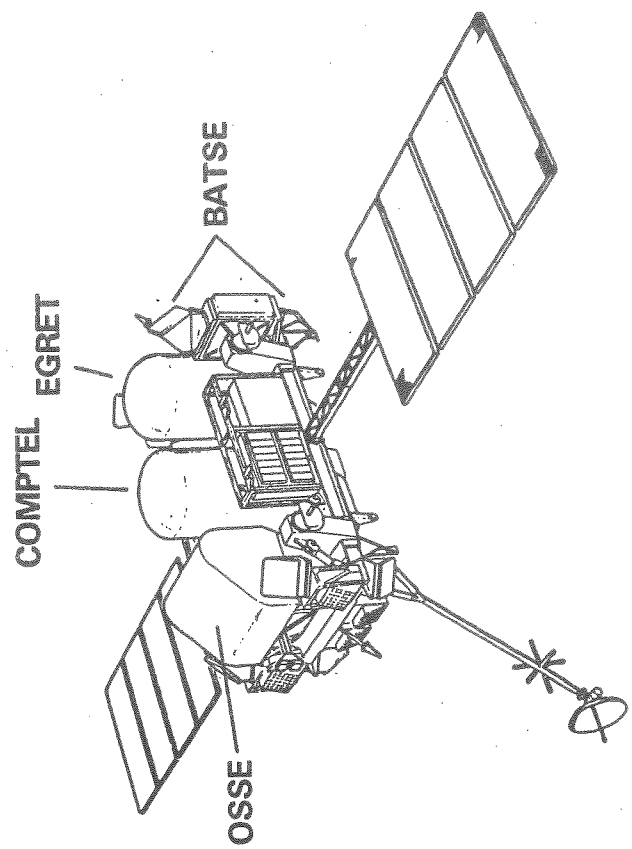
Şekil 2. Elektromanyetik yelpazede ışınların ulastığı ölçü (Yükseklik ölçüğü linear değildir.)



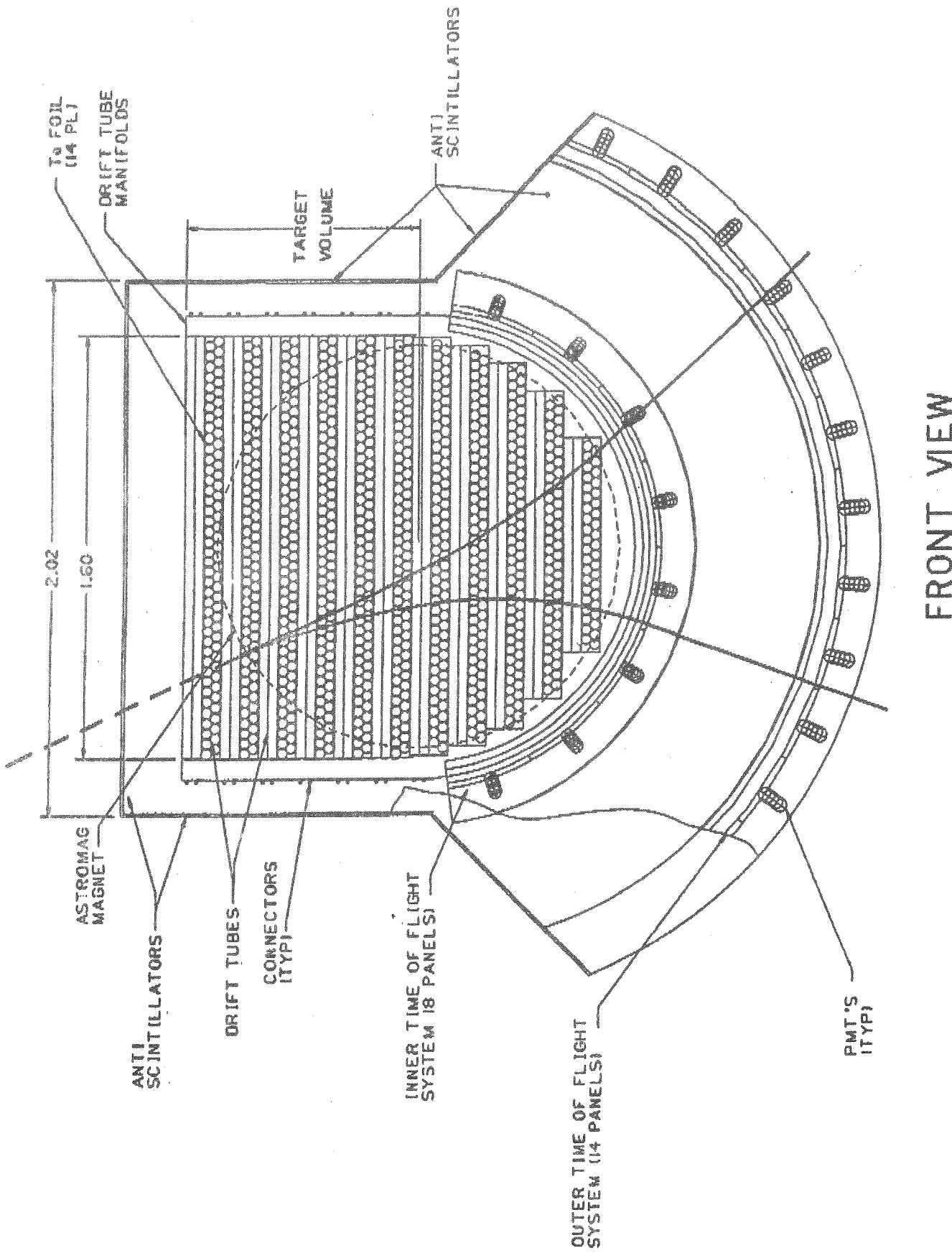
Şekil 3. Evrensel yaygın gama ışınması foton spektrumu



Şekil 4. Üç enerji bölgesinde Samanyolu γ -ışınının eş şiddet çizgileri. (a) 0-150 MeV, (b) 150-300 MeV, (c) 300 MeV-5 GeV. COS-B duyarıcının açısal çözme gücündeki enerjiye bağlılık göze çarpmaktadır.



Sekil 5 : GRO , perspektif



FRONT VIEW

Sekil 6: ASTROSAM, kesit.

RADYO ATARCALARI İŞİNİM SÜREÇLERİ

Pekünlü, E. Rennan

E.Ü.F.F. Astronomi ve Uzay Bilimleri Bölümü

İZMİR

I. ÖZET

Radyo atarcalarının 10^{26} K değerine ulaşan ışınım parlaklık sıcaklığını uyumlu (coherent) ışınım süreçleri açıklanmaktadır. Bu ışınım süreçlerinden eğrilik ışınımı (curvature radiation), relativistik plazma ışınımı ve serbest elektron maser ışınımı, uçlak bölgesi boş koni modeli (polar gap hollow cone) çerçevesinde ele alınmaktadır.

II. GİRİŞ

Gökbilimde radyo kaynakları ısisal, ısisal olmayan (non-thermal), uyumlu veya uyumsuz (incoherent) olarak tanımlanır. ısisal kaynaklardan gelen ışınımın parlaklık sıcaklığı Maxwell hız dağılımı gösteren parçacıkların T sıcaklığından büyük olamaz. Bu nedenle, örneğin, 10^6 K sıcaklığındaki Güneş tacından gelen ve $\sim 10^{18}$ K parlaklık sıcaklığındaki III. tür radyo patlamaları ısisal olmayan süreçlerle açıklanabilir.

$\text{OH}, \text{H}_2\text{O}, \text{SiO}$ gibi yıldızlararası molekül bulutlarından gelen ve maser (microwave amplification by stimulated emission of radiation) süreçlerle açıklanabilir.

ted emission of radiation) süreciyle salınan ışınınım parlaklık sıcaklığı $\sim 10^{15}$ K ;atarca radyo ışınınımı parlaklık sıcaklığı $\sim 10^{26}$ K değerlerine ulaşabildiğine göre bu ışınınım kaynakları da ancak ısisal olmayan,uyumlu ışınınım kaynaklarıdır.

Uyumlu ışınınım sürecinde,ortamdaki nokta kaynaklardan yayılan dalgaların aynı evrede salınması gereklidir.Uyum,maser, elektrik yüklü parçacık kümelenmesi (bunching) veya plazma dalgalarının elektromanyetik dalgalara etkin bir dönüşümüyle gerçekleşebilir.

Uyumlu süreçler,genel olarak,plazma kararsızlıklarını(instability) sonucunda ortaya çıkar.Plazmada,elektrik yüklü parçacıkların düzensiz deviniminden kaynaklanan ısisal erke,düzenli deviniminden gelen kinetik erke, elektrik erke ve manyetik erke depoları vardır. Bu erke depoları,uzay yük ayrimı ve bu ayrimdan kaynaklanan akım ve elektromanyetik alanlarla eşleşmiş(coupling)durumdadır.Bu erke depoları arasındaki geçişler eşit dağılımlı olabileceği gibi tek yönlüde olabilir. Tek yönlü erke akışı, ortamdaki özgür erkeyi ortaya çıkarır.Özgür erke kaynağı olarak,elektrik yüklü parçacıkların kümelenmesi, Maxwell hız dağılımindan sapma,iki akım kararsızlığı(two_stream instability) gibi süreçler önerilmektedir. Bu özgür erke, erke dağıtıçı çarpışmalar sonucunda ortamda soğurulabilir, Landau sönükleşmesine (damping) uğrayabilir veya plazma kararsızlığına

neden olur.

Radyo atarcalarının ıshınım süreçlerinin kaynağı plazma kararsızlıklarıdır.

III. İSHİNİM SÜREÇLERİ

1.Uyumlu Eğrilik Isınımı: Atarcanın manyetik alanının(gradient,diverjans ve shear terimlerinin yanısıra varolan) eğrilik bileşeninin elektrik yüklü parçacıklara kazandırdığı ivmelenme sonucunda relativistik elektron veya pozitronların bir de evre uzayda (phase_space) kümelenmeleri bu ıshınima neden olur. Salınan ıshınımın toplam yoğunluğu, ıshınima katılan parçacık sayısı N olmak üzere, bir tek parçacığın saldığı ıshınımın yoğunlığının N^2 katıdır. Evre uzayındaki kümelenmenin hacim boyutları salınan ıshınımın dalga boyundan daha küçükse parçacıklar uyumlu ıshınım yaparlar.

Ginzburg ve Zhelenzyakov(1975), Buschauer ve Benford(1976,1983), Kirk(1980) tarafından önerilen ve ayrıntılı olarak incelenen bu ıshınım sürecinin zayıf yanları vardır. Kuram, hız dağılmasını(velocity dispersion)dikkate almamaktadır. Ayrıca parçacık kümelenmesi, bu kümenin manyetik alan eğriliğindeki tutumu iyi açıklanamamıştır.

2.Relativistik Plazma Isınımı: Güneş radyo patlamaları ve atarca radyo ıshınımı için önerilen bu süreç iki aşamalıdır:
a)Plazma tedirginlikleri(turbulence)sonucunda elektrostatik Langmuir dalgaları üretilir, b)Langmuir dalgalarının

bir kısmı elektromanyetik dalgalara dönüşür. Plazma ortamından kurtulabilen bu dalgalar gözlemciye radyo dalgaları olarak ulaşır. Uyum, birinci aşamada, plazma tedirginliğinin yüksek etkinlik sıcaklığı nedeniyle ortaya çıkar. Relativistik e^+e^- plazmasının atarca ortamındaki dağılma özelilikleri (dispersion properties) Canuto ve Ventura (1972), Hardee ve Rose (1976, 1978), Melrose ve Stoneham (1977), Arons ve Barnard (1986), Beskin ve ark. (1986, 1988) tarafından incelenmiştir.

Beskin ve arkadaşlarının sunduğu en gelişmiş modelde manyetik alan eğriliği, bu eğriliğin dağılma bağıntısında (dispersion relation) ortaya çıkardığı kararsız dalga biçimleri ve bu dalgaların doğrusal olmayan süreçlerle ortamdan kurtulan ışınımı dönüşmesi ayrıntılı bir biçimde ele alınmıştır.

3. Serbest Elektron Maser Işınımı: Bu modelde dış manyetik alana koşut bir elektrik alanın relativistik parçacıkları ivmelendirdiği ve ışınımı neden olduğu önerilmektedir. [Cocke (1973), Melrose (1978), Kroll ve McMullin (1979)]. Zamanla değişen elektrik alan parçacıklarının devinimini düzenler ve serbest elektron maser düzeneğinde olduğu gibi plazma ortamında ters topluluk (inverted population) yaratır. Maser ışınımı da eğrilik ışınımı gibi dolaysız bir ışınım sürecidir. Relativistik plazma ışınımının tersine, ortamdan kurtulmadan önce dönüşüme uğramazlar. Bu ışınım süreci için

gerekli olan serbest erke kaynağı ve maser'in doyuma ulaşması(saturation) sorunları iyi anlaşılmış olmasına karşın, kuram gereklili elektrik alanı üretmekte zorlanmaktadır.

IV. SONUÇ

Radyo atarcalarının parlaklık sıcaklığı,uçlaşma (polarisation) özellikleri,tayfi,uçlak bölgesi boş koni modeli çerçevesinde uyumlu işinim süreçleriyle açıklanabilemektedir.

NOT: Bu bildiri IAU'nun 128 no'lu Colloquium'unda sunulan bilgilerden derlenmiştir.

KAYNAKLAR.

- Arons,J. ve Barnard,J.J.(1986),Ap.J.302,120
- Beskin,V.S. ve ark.(1988),Astrophys.Space Sci.146,205
- Buschauer,R. ve Benford,G.(1976),MNRAS,177,109
- Buschauer,R. ve Benford,G.(1983),Astron Ap.118,358
- Canuto,V. ve Ventura,J.(1972),Astrophys.Space Sci.18,104
- Cocke,W.J.(1973),Ap.J.184,291
- Ginzburg,V.L. ve Zheleznyakov,V.V.(1975),Ann.Rev.Astron.Aophys.13,511
- Hardee,P.E. ve Rose,W.K.(1976),Ap.J.210,533
- Hardee,P.E. ve Rose,W.K.(1978),Ap.J.219,274
- Kirk,J.G.(1980),Astron Ap.82,262
- Kroll,N.M. ve McMullin,W.A.(1979),Ap.J.231,425
- Melrose,D.B.(1978),Ap.J.225,557
- Melrose,D.B. ve Stoneham,R.J.(1977),Proc.Astron.Soc.Australia.3,120

2CG013 : AYNI ENERJİDE KOZMİK İŞİNLER KAYNAĞI MI?

M. E. Özel⁽¹⁾ J. F. Ormes⁽²⁾ A. Akyüz⁽¹⁾⁽¹⁾ Çukurova Üniversitesi Fen-Edebiyat Fakültesi Fizik Bölümü⁽²⁾ NASA/Goddard Space Flight Center, Code 662, Greenbelt, MD20771, USA

1. Giriş

COS-B gama ışın uyduyu gözlemleri sonunda Samanyolu içinde, yüksek enerjili ($E > 100$ MeV) foton ışıması yapan iki düzine kadar gamma ışın kaynağı ortaya çıkarılmıştır (Swanenburg et al., 1981). Bu gök cisimlerinin yapısı ile ilgili sorular astrofizikçilerin gündeminde uzun süredir önemli bir yer işgal etmektedir. Bu kaynaklar arasında 2CG013+00 bilinen en sert (yüksek enerjili gamma ışınlarının göreli olarak en yüksek orana sahip olduğu) olagandası enerji spektrumu ile ayrıca dikkati çekmektedir. Bu durum, Şekil 1'de kendileri hakkında spektral bilgiye sahip olduğumuz kaynakların spektral parametre değerlerinin sıkılık dağılımında açıkça görülmektedir. (Spektral parametre, tanım olarak, bir kaynaktan gelen ve enerjisi 300 MeV'den yüksek olan fotonların sayısının aynı kaynaktan gözlenen toplam gamma fotonları sayısına olan oranıdır). Bu parametre çoğu kaynak için beklenen 0.30 değeri civarında dolasırken, 2CG013+00 için 0.68'dir (yani, olagan kaynaklar için, gözlenen > 300 MeV enerjili fotonların oranı yaklaşık 1/3 iken bu kaynaktaki 2/3'tür). Bu çalışmada, bu kaynağın özellikleri daha yakından incelenerek, bu kadar sert bir spektral çıktıyi oluşturmanın astrofiziksel yolları araştırılmaktadır.

2. COS-B gamma ışın kaynağı 2CG013+00

Bu kaynağın koordinatları $\alpha = 18^{\circ} 10'$, $\delta = 16^{\circ} 45'$ ($\ell = 13^{\circ} 7$ $b = 0^{\circ} 6$) olarak verilmektedir. Bu bölge Bonn Effelsberg radyo teleskopu ile gözlenerek bölgedeki radyo kaynakları saptanmıştır (Özel et al., 1988). Şekil 2'de 11cm'de kaynak bölgesinin radyo haritası verilmektedir. Kaynak 2 yıl ara

ile yapılan COS-B γ -ışın gözlemlerinde, ölçülebilen özelliklerinde herhangi bir değişme göstermemiştir (Pollock et al., 1985). Kaynaga en iyi uyum gösteren esdeger üssel (power-law) foton sayı spektrumu, E fotonların enerjisini temsil etmek üzere,

$$I(E) = k E^{-a} \quad a = 1.1 \pm 0.3$$

olmaktadır (Ormes et al., 1988).

3. Monte Carlo benzesim yöntemi ile astrofiziksel koşullarda γ -ışın üretimi

Çeşitli spektrumlarda kozmik ışın çekirdeklerini, bilinen yıldızlararası ortam koşullarında, değişik madde miktarlı hedeflerle etkileştiren bir Monte Carlo benzesim (simulation) programı hesaplarının sonuçları bu sertlikte bir gamma enerji dağılımını gerçekçi şartlar altında yaratmanın çok zor olduğunu göstermektedir. Yalnızca kozmik elektronları kullanarak yapılan benzesim çalışmaları da aynı olumsuz sonucu vermiştir.

Bu sertlikte bir gamma ışıması spektrumu ancak, geniş bir enerji aralığına dağılmak yerine, hemen hepsi aynı enerjide kozmik ışınlardan oluşmuş, tek enerjide ("monoenergetic") bir parçacık hüzmesini ince bir hedef üzerine göndermek suretiyle elde edilebilmektedir. Hüzme enerjisi arttıkça, enerji spektrumundaki değişim Şekil 3'de verilmektedir. Hüzme enerjisi 100 GeV'e ulaştığında oluşan fotonlar gözlenen sertlikte bir enerji spektrumu vermektedirler (Şekil 4). Nasıl bir gök cismi bu türden bir mekanizmayı oluşturmuş olabilir?

Nötron yıldızı içeren x-ışın çift yıldızlarının, taşıdıkları çok yüksek gravitasyonel ve manyetik alanlar nedeni ile parçacık hızlandırmak ve hüzme yaratmak gibi özellikleri olabileceği literatürde kabul görmektedir (Kazanas and Ellison, 1986). Bazı x-ışın çiftlerinden gözlenen düzensiz aralıklı radyo atılımları buna işaret sayılmaktadır (Grindley ve Seaquist, 1986). Bu bakımından, 2CG013+00'in hata çemberi içinde bulunan ve zaman zaman radyo ışıması yaptığı da bilinen GX13+1 x-ışın çift yıldızı gözlenen gamma ışımasının da kaynagi olmaya en güçlü adaydır. GX13+1'de hiç bir dönemselligin gözlenmemiş olması (Ponman, 1982) sistemin çevresinde (hüzme

için hedef görevi görecek ve gamma ışınları yaratabilecek) uygun kalınlıkta bir madde bolluguña işaret etmektedir.

4. TeV Bölgesinde beklenen akı

Şekil 5'te verilmekte olan, hata çemberi içindeki ilginç cisimlerin ortak enerji spektrumu da GX13+1 ile 2CG013+00'in aynı gök cismi olabileceği tezini güçlendirmektedir. PeV (10^{18} eV) bölgesinde Protheroe et al (1984) tarafından verilmekte . . . üst sınırlarından da yararlanarak, TeV enerji bölgesinde bu γ -ışın kaynaklarından beklenebilecek akı degeri

$$I (> 10^{11}\text{eV}) = 3-10 \quad 10^{-11}\text{ph/cm}^2\text{-s}$$

civarında olmalıdır. Varolan Čerenkov ışınması dedektörleri, akı degeri $10^{-11}\text{ph/cm}^2\text{-s}$ olan gök cisimlerini görebilmektedirler. (Lamb ve Weeks, 1986; 1987). Bu nedenle bu bölgenin benzer araçlarla gözlenmesi kaynak hakkında yeni bilgiler getirebilir.

5-Sonuç

Her X-1 ve Cyg X-3 gibi X-ışın çiftlerinde varlığı ileri sürülen (Fichtel ve Linsley, 1986; Kazanas ve Ellison, 1986; Gorham ve Learned, 1986) hüzmelere benzer şekilde GX13+1 sisteminde bir "tek enerjide" kozmik ışın hüzmesi gözlenen γ -ışınlarının nedeni olabilir. Benzesim hesapları hüzmenin enerjisinin >100 GeV olması gerektigine işaret ediyor. TeV gözlemleri bu enerji üzerine bir üst sınır getirebilir. GRO ve GAMMA-1 gibi yeni γ -ışın deneylerinin 2CG013+00 bölgesini tekrar gözlemleyerek ve γ -ışınları hata kutusunu küçülterek, tartışılan eşleştirme adaylarından bazılarını dışlayarak sorunun çözümüne yardımcı olması beklenmektedir.

Kaynaklar

- Cassiday, A., 1985, Ann. Rev. Nucl. Part. Sci., 35, 321
 Fichtel, C., Linsley, J., 1986, Astrophys. J., 300, 474
 Gorham, P., Learned, J., 1986, Nature., 323, 422
 Grindley, J. E., Seaquist, W., 1986, Astrophys. J., 310, 17
 Hjellming, R., Johnston, K., 1985, in "Radio Stars", Reidel, Dordrecht, s. 309
- Kazanas, D., Ellison, D., 1986, Nature., 319, 380
 Lamb, R. C., Weeks, T. C., 1986, Astrophys. J. Letters., 25, 73
 Lamb, R. C., Weeks, T. C., 1987, Science., 238, 1483
 Ormes, J. F., özel, M. E., Morris, D., 1988, Astrophys. J., 334, 722
 özel, M. E., Schlickeiser, R., Sieber, V., Younis, S., 1988,
 Astron. Astrophys., 200, 195
 Pollock et al., 1985, Astron. Astrophys., 146, 352
 Ponman, T., 1982, MNRAS., 201, 769
 Protheroe, R., Clay, R., 1984, Proc. ASA, 5 (4), 586
 Swanenburg et al., 1981, Astrophys. J., 243, L69

E. DERMAN: Böyle bir kaynaktan gelen foton sayısını söylemişiniz?

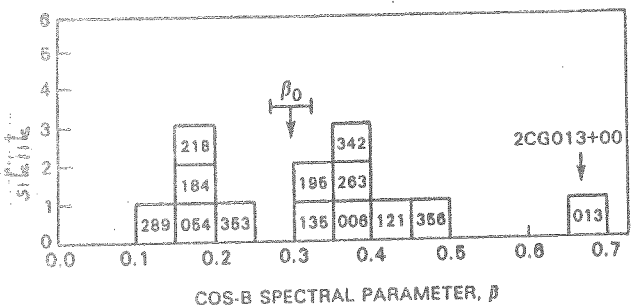
M. ÖZEL: Aşağı yukarı ayda yüz kadar. Yani günde üç foton mertebesinde bu bölgeden geldiğini düşünüyoruz ama civarından, onun yakınından mesela 20 foton geliyor. Dolayısıyla yirmi gelen yerden yüz gelen yeri ayırt edebiliyoruz.

E. DERMAN: Gürültünün üzerine.

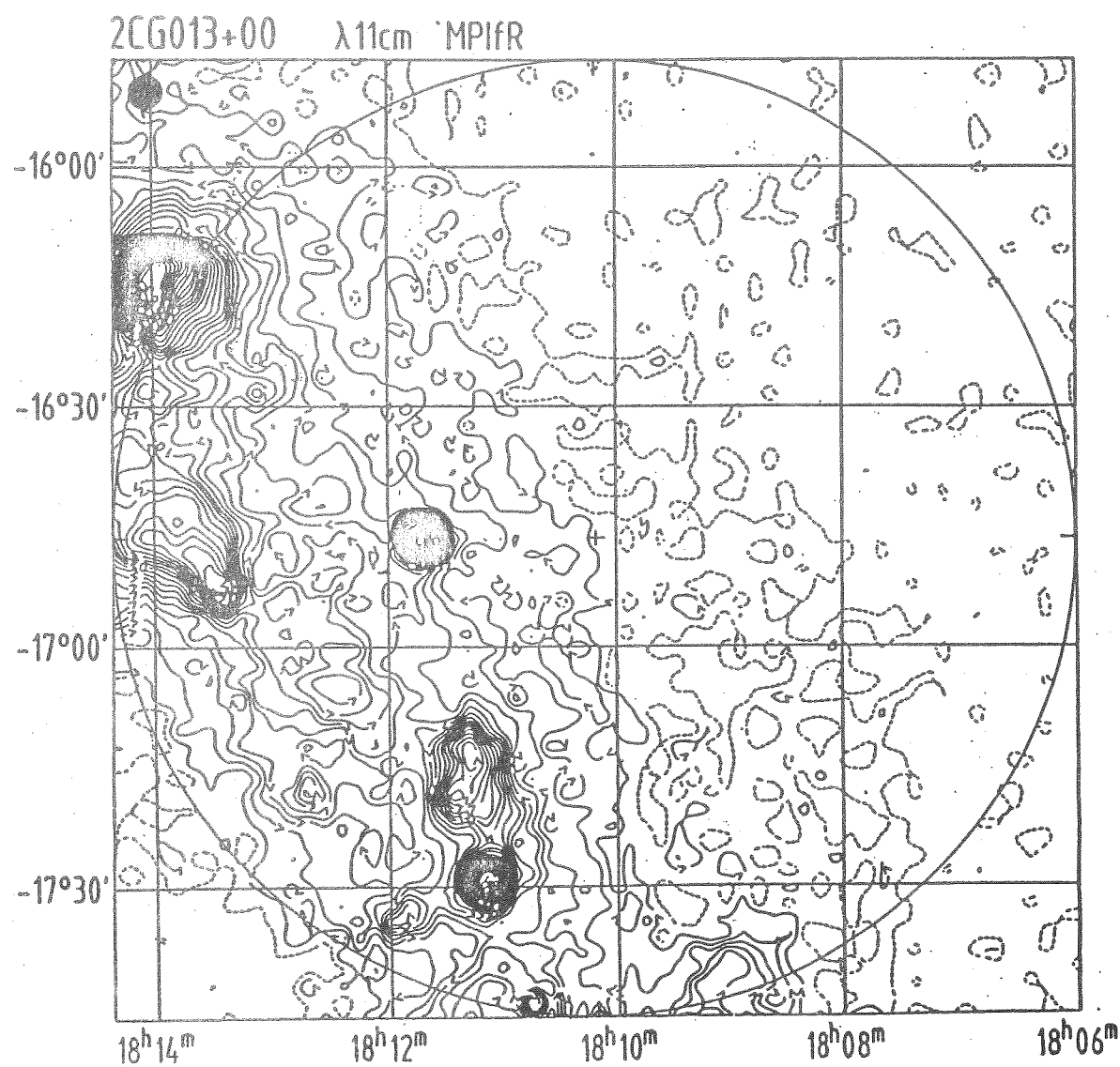
M. ÖZEL: Evet.

R. PEKUNLU: Bu yeni atılacak olan uydularda atarcalara bakmak düşünüluyor mu? Programda var mı?

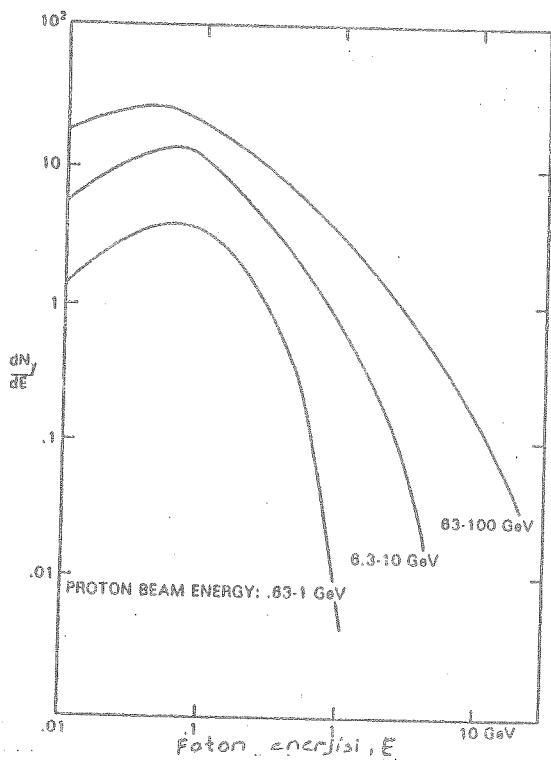
M. ÖZEL: Evet düşünülüyor. γ -Işınları Gözlemevi GRO uydusunun programları arasında radyo gözlemevleriyle atarcaları hem zamanlı olarak gözlemek. Çünkü γ -işinlerinin sayma hızıyla, yani saatte bir fotonla, bir milisaniye veya on milisaniye mertebesindeki periyotları bulmanın imkanı yok. Ancak tam periyodu bilişeniz ve katlamayı doğru olarak yapabilirseniz bir atarcanın varlığını görebilirsiniz, yani imzasını.



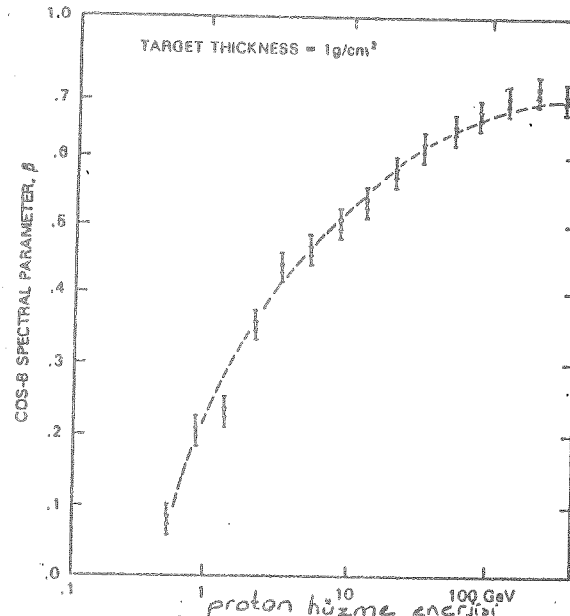
Şekil 1. COS-B spektral parametre değerlerinin sıkılık dağılımı. 3 rakamlı sayılar kaynağın gökada boylamını gösterir. 2CG013-00 diğer kaynaklardan ayrı olarak en sağ uçdadır. Spektral parametre değeri β_0 , $E^{-2.0}$ foton spektrumuna karşılık gelmektedir.



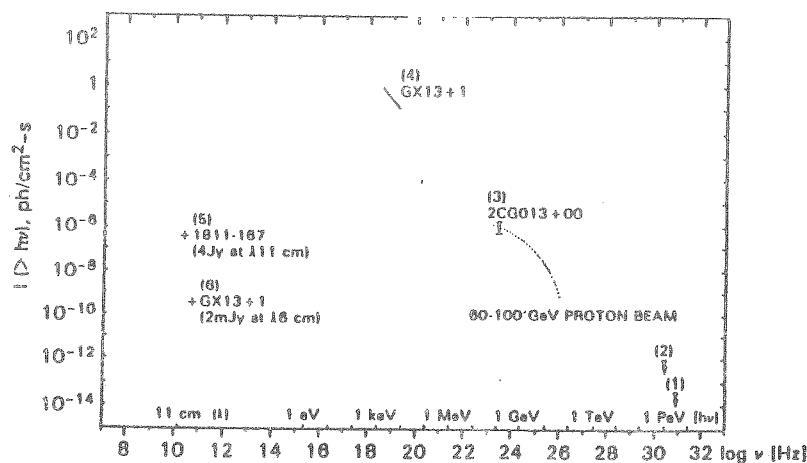
Şekil 2. 2G013 - 00 hata çemberi bölgesinin λ 11cm de, Effelsberg teleskopu ile yapılmış radyo haritası. Sol üst köşede teleskopun çözme gücünü belirleyen daire görülmektedir. 1811-167 radyo kaynağı Özel et al. (1988) tarafından 2G013 - 00 için olası radyo eşi olarak teklif edilmiştir.



Şekil 3. "Monoenergetic" proton hüzmesinin 1 g/cm^2 kalınlığında hedef maddede gerçekleşen gönderilmesi ile Monte Carlo programından elde edilen foton spektrumları. Hüzme enerjisi yükseldikçe spektrumun sertleştiği görülmektedir.



Şekil 4. "Monoenergetic" hüzme enerjisini fonksiyonu olarak spektral parametrenin evrimi. 100 GeV civarında hüzme enerjisi, $2\text{CG013} + 00$ için gereken $\beta \approx 0.70$ değerine ulaşmaktadır.



Şekil 5. 2CG013 + 00 hata çemberi bölgesindeki bazı gök cisimlerinin integral foton akıları. γ -ığın kaynağı ile GX13-1' in spektrumları birbiri ile uyusuzluk göstermemektedir. Parantez içindeki rakamlar şu referanslara karşılık gelmektedir. (1) Protheroe et al., 1984; (2) Cassiday, 1985 ; (3) Swanenburg et al., 1981; (4) Bradt and McClintock, 1983; (5) Özel et al., 1988; (6) Grindlay and Seaquist, 1986

ARIEL 4 UYDUSU VERİLERİYLE CUSP BÖLGESİ SINIRLARININ SAPTANMASI

Gülçin KANDEMİR ve Yurdanur TULUNAY

İ.T.Ü. Fen-Edebiyat Fakültesi, İstanbul

İ.T.Ü. Uçak ve Uzay Bilimleri Fakültesi, İstanbul

ÖZET. Yerel öğle saatlerinde birkaç saatlik bir aralıkta yukarı enlemlere yumuşak parçacıklar yağmaktadır. Gezegenlerarası magnetik alanla yer magnetik alanının etkileşimi sonucu bu parçacıkların yer atmosferine girebileceği bu nötr bölgeye buradaki magnetik alan çizgilerinin biçimini nedeniyle "cusp" adı verilmiştir. Daha önce elektron yoğunluğunun 78° ve 82° invariant enlemelerinde birer maksimum gösterdiği ve bu enlemler arasında ise düzensiz yoğunluk değişimleri olduğu gözlenmiştir (1).

Bu çalışmada 3 Şubat-7 Mayıs 1972 tarihlerini kapsayan Ariel 4 uydusu verileri kullanılarak cusp'ın sınırları olduğu varsayılan bu enlemlerde elektron yoğunlukları incelenmiştir.

I. GİRİŞ

Gezegenlerin magnetik alanı güneş rüzgarına karşı bir kalkan görevi yapar. Güneş rüzgarı süpersonik olduğundan güneş tarafında parabolik yakın biçimde bir şok dalgası oluşur. Gündüz tarafında magnetik alan çizgilerinin kapalı olmasına karşın gece tarafındaki bir kuyruk oluşturur (Şekil 1, (2)). Bunların arasında kalan magnetik alanın zayıf olduğu hilal ucu biçimindeki bölgeye "cusp" adı verilir. Cusptan girebileceği düşünülen güneş rüzgarı parçacıklarının atmosferin neresine kadar girdiği ve magnetosfer plazmasına hangi oranda katkıda bulunduğu bugün hala tam olarak bilinmemektedir. Yerel zamanla öğlen saatlerinde birkaç saatlik dar bir bölgeyi kapsayan cuspta (Şekil 2,(3)) parçacık sayısının artışı, fakat buraya daha az enerjili parçacıkların yağmakta olduğu bilinmektedir.

II. CUSP BÖLGESİNİN SINIRLARI

Muldrew (1) cusp bölgesini 200 - 1400 km arasında değişen yüksekliklerde incelediğinde 4° - 9° A (invariant enlem) genişliğinde bir bölgeyi kapsadığını gördü. Ayrıca cusp bölgesinin sınırlarında elektron yoğunluğunun iki yerde maksimum olduğunu, bunların arasında ise genel bir artma gösteren yoğunluk değişimlerinin düzensiz olduğunu gözlemdi. 73° - 78° A daki birinci maksimumu cuspın ekvator tarafındaki sınırı, 82° deki ikinci maksimumu ise cuspın kutup tarafındaki sınırı olarak yorumladı.

Bu çalışmada Ariel 4 uydusu verileri (4) kullanılarak cusp bölgesinin konumu yeniden incelenmiştir.

Dönem süresi 95 dakika olan Ariel 4 uydusunun yüksekliği 471 km-611 km arasında değişmekteydi. Bu çalışmada, Ariel 4 uydusu elektron yoğunluğu verilerinin 3 Şubat-7 Mayıs 1972 tarihleri arasındaki bütün yerel zamanları kapsayan 94 günlük kısmı kullanılmıştır.

III. VERİLERİN ÇÖZÜMLENMESİ

Bu çalışmada öğlen saatlerinde ve yüksek invariant enlemlerdeki elektron yoğunlukları incelenmiştir. Aynı yerel (LT) ve jeomagnetik yerel (GMLT) saatlere ait veriler seçilerek güneş rüzgarı ile jeomagnetik alanın birbirini bozucu etkileri yok edilmeye çalışıldı. Aynı LT ve GMLT saatlerinin kullanımı cusp bölgesinin daha iyi belirlenmesine yardımcı oldu. Çizelge 1 de evrensel zaman (UT) ve 10° lik invariant enlem aralıkları için elektron yoğunluklarının bir saatlik ortalamaları verilmektedir. Veri azlığı nedeniyle şekillerde gözönüne alınan aynı LT ve GMLT saatlerine ait veriler ayrıca evrensel zaman gruplarına ayrılamamıştır. Halbuki farklı evrensel zamanlarda elektron yoğunluklarında farklılıklar olduğu bilinmektedir (5).

Çizelge 2de 1972nin 35inci-126inci günleri için her günlük veri sayısı 10-15 arasındaki GMLT saatleri için verilmektedir.

Şekil 3de 30° - 90° A için aynı LT ve GMLT saatlerindeki verilerin tümü görülmektedir. 70° - 80° A arasındaki değerlerin yüksek olduğu

ve $90^\circ \Lambda$ yakınında yoğunluğun düşüğü gözleniyor.

Şekil 4 ve 5, K_p magnetik indisinin elektron yoğunluğuna etkisini gösteriyor. Şekil 4, K_p nin 0 olduğu sakin günler için, şekil 5 ise K_p nin 5 olduğu aktif günler için çizilmiştir. Fırtınalı günlerde şekil 3 deki genel trendin kaybolduğu gözleniyor.

Şekil 6-9 da LT ve GMLTnin her ikisinin de $11^h, 12^h, 13^h$ ve 14^h olduğu zamanlarda invariant enleme göre elektron yoğunluğu değişimleri verilmektedir. Veri azlığı nedeniyle 11^h ve 14^h için anlamlı bir sonuca varılamamaktadır. 12^h ve 13^h e ait şekiller ise şekil 3deki genel trendi vermektedir.

Cuspı belirlemesini beklediğimiz şekil 7, $GMLT = 12^h$ ve $LT = 12^h$ için çizilmiş olup, $76^\circ - 77^\circ \Lambda$ da başlayan yüksek değerlerin $82^\circ \Lambda$ ya kadar devam ettiğini görüyoruz. Bu sınırlar daha önceki çalışmalara (1) uygunluk göstermektedir ve elektron yoğunluğunun $5^\circ - 6^\circ$ lik bir bölgede fazlalık göstermesi Ariel 4ün bulunduğu $\sim 500 - 600$ km lik yükseklikler için uygundur.

IV. SONUÇ

- 1- Cuspın gerek ekvator tarafındaki, gerek kutup tarafındaki sınırları daha önceki çalışmalara uygun olarak saptanmıştır.
- 2- $GMLT = 12^h$ ve $LT = 12^h$ için elektron yoğunlığında yüksek enlemlerde gözlenen fazlalık yalnız $LT = 12^h$ alınıp tüm GMLT değerleri ile incelendiğinde görülememektedir. Güneş rüzgarı ile yer magnetik alanının verileri farklı etkileyişini bu çalışmadaği yöntemle gidermek mümkün gibi görünmektedir.

Gizelgeler

Çizelge 1. Her bir evrensel saat için ve $10^0 \Lambda$ aralıkları için elektron yoğunluklarının saatlik ortalamaları.

Çizelge 2. 10-15 arası GMLT saatleri için her bir güne ait veri sayısı.

Sekiller

Şekil 1. Yer magnetosferinin kesiti(2).

Şekil 2. Viking uydusunun parçacık verileri kullanılarak bulunmuş olan cusp ve çevresindeki cleft bölgesinin yapısı(3).

Şekil 3. Tüm veriler için elektron yoğunluğunun invariant enleme göre değişimi.

Şekil 4. $K_p = 0$ olan günler için elektron yoğunluğunun invariant enleme göre değişimi.

Şekil 5. $K_p = 5$ olan günler için elektron yoğunluğunun invariant enleme göre değişimi.

Şekil 6. $GMLT = 11$ ve $LT = 11$ saatleri için elektron yoğunluğunun invariant enleme göre değişimi.

Şekil 7. $GMLT = 12$ ve $LT = 12$ saatleri için elektron yoğunluğunun invariant enleme göre değişimi.

Şekil 8. $GMLT = 13$ ve $LT = 13$ saatleri için elektron yoğunluğunun invariant enleme göre değişimi.

Şekil 9. $GMLT = 14$ ve $LT = 14$ saatleri için elektron yoğunluğunun invariant enleme göre değişimi.

Kaynaklar

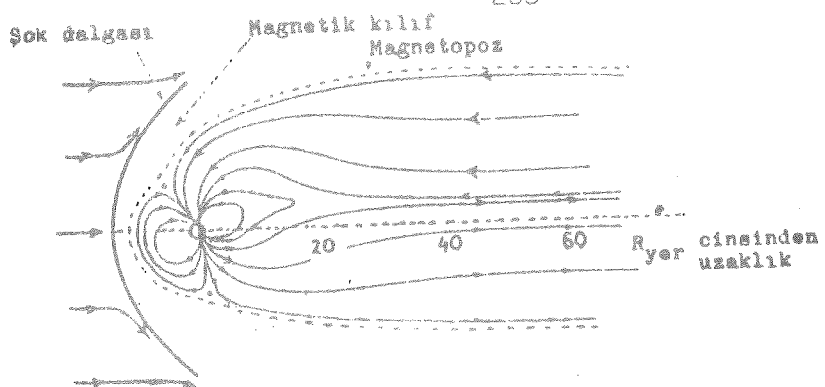
- 1- Muldrew, D.B., The Polar Cusp, (J.-A. Holttet and A. Egeland eds.), pp 377-386, D. Reidel Pub. Co., Holland, 1985
- 2- Ratcliffe, J.A., An Introduction to the Ionosphere and Magnetosphere, Cambridge Univ. Press, 1972
- 3- Lundin, R., Space Science Reviews, 48, pp 263-320, 1988
- 4- Goodall, C.V., J. Wall and H.D. Hopkins, J. Brit. Inter. Soc., 26, 135, 1973
- 5- Oke G. and Y. Tulinay, "A Further Investigation of the Time Dependence on the Ariel 4 Ambient Electron Densities"
(yayınlanacak)

HVLA													
	30-40		40-50		50-60		60-70		70-80		TOTAL	Avg	
UNT	N	Avg	N	Avg	N	Avg	N	Avg	N	Avg			
1	1	9	1	1.4E+05	6	1.1E+05	9	8.6E+04	38	7.8E+04	112	7.7E+04	
1	2	0	1	0.0E+00	0	0.0E+00	4	7.0E+04	9	5.9E+04	74	7.1E+04	
1	3	5	1	1.2E+05	3	7.7E+04	3	7.2E+04	17	7.6E+04	123	7.0E+04	
1	4	6	1	1.0E+05	10	9.2E+04	12	6.6E+04	18	7.6E+04	98	7.4E+04	
1	5	6	1	1.3E+05	9	9.1E+04	8	8.5E+04	37	8.4E+04	62	7.5E+04	
1	6	19	1	1.2E+05	10	9.1E+04	15	8.4E+04	37	7.7E+04	48	6.3E+04	
1	7	22	1	1.2E+05	14	1.0E+05	11	9.5E+04	42	8.4E+04	32	7.9E+04	
1	8	6	1	1.2E+05	10	9.9E+04	19	8.9E+04	41	8.6E+04	9	9.3E+04	
1	9	19	1	1.2E+05	18	9.6E+04	14	8.2E+04	24	8.0E+04	5	8.0E+04	
1	10	8	1	1.3E+05	5	9.7E+04	8	8.4E+04	17	7.3E+04	10	6.0E+04	
1	11	8	1	1.2E+05	10	9.0E+04	11	9.0E+04	17	7.7E+04	16	9.2E+04	
1	12	11	1	1.3E+05	2	9.7E+04	1	9.2E+04	8	6.8E+04	9	7.7E+04	
1	13	7	1	1.1E+05	1	9.2E+04	0	0.0E+00	9	7.5E+04	21	8.4E+04	
1	14	7	1	1.0E+05	4	9.4E+04	3	5.7E+04	12	5.9E+04	12	8.7E+04	
1	15	28	1	1.5E+05	8	1.0E+05	13	7.9E+04	23	6.7E+04	19	9.4E+04	
1	16	5	1	7.1E+04	17	1.0E+05	13	7.6E+04	14	6.1E+04	19	7.1E+04	
1	17	3	1	1.9E+05	7	1.5E+05	7	9.8E+04	13	9.1E+04	7	9.1E+04	
1	18	20	1	2.2E+04	4	1.6E+05	0	0.0E+00	14	9.7E+04	43	7.4E+04	
1	19	9	1	2.8E+05	2	1.8E+05	5	1.1E+05	7	1.2E+05	26	8.6E+04	
1	20	1	9	2.0E+05	15	1.6E+05	15	1.3E+05	20	9.5E+04	54	8.3E+04	
1	21	3	1	1.8E+05	6	1.6E+05	3	1.5E+05	12	7.7E+04	26	9.6E+04	
1	22	7	1	2.1E+05	4	1.7E+05	9	1.2E+05	20	9.1E+04	22	7.8E+04	
1	23	2	1	2.1E+05	1	9.2E+04	1	7.5E+04	15	7.1E+04	28	8.0E+04	
1	24	0	1	0.0E+00	0	0.0E+00	0	0.0E+00	3	7.0E+04	11	7.5E+04	
	TOTAL	219			164		184		1465		1886		1910
	AVG				1.3E+05		1.1E+05		7.9E+04		7.9E+04		9.4E+04

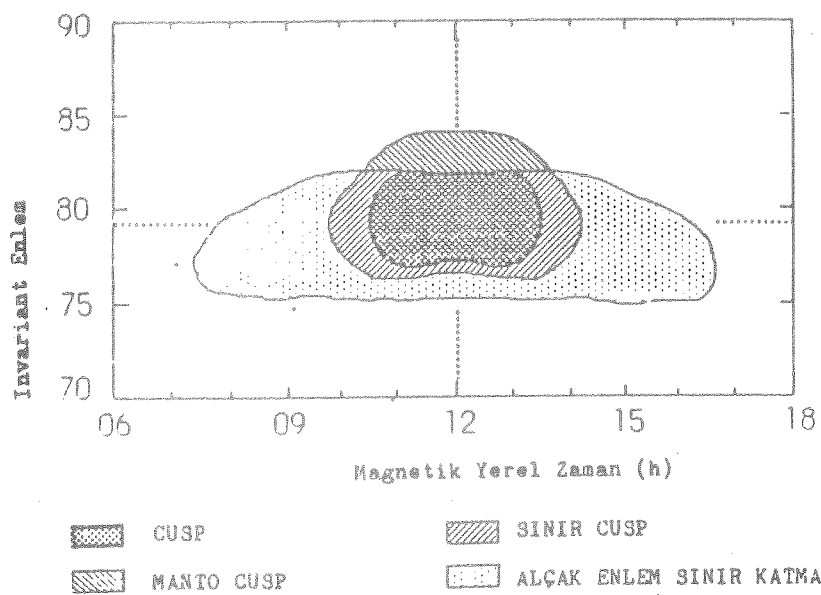
Çizelge 1. Her bir evrensel saat için ve 10^0A aralıkları için elektron yoğunluklarının saatlik ortalamaları.

DAY	G M L T					TOTAL	
	10	11	12	13	14		
35						4	
36						0	
37						4	
38						14	
39						15	
40						17	
45						0	
46						4	
47						0	
48						0	
49						0	
50						0	
51						0	
52						0	
53						0	
54						0	
56						0	
57						0	
58						0	
59						0	
60						0	
61						0	
62						0	
63						0	
64						0	
65						0	
74						0	
75						0	
76						0	
77						0	
78						0	
79						0	
80						0	
81						0	
82						0	
83						0	
84						0	
85						0	
86						0	
87						0	
88						0	
89						0	
90						0	
91						0	
92						0	
93						0	
94						0	
95						0	
96						0	
97						0	
98						0	
99						0	
100						0	
101						0	
102						0	
103						0	
104						0	
117						0	
118						0	
119						0	
120						0	
121						0	
122						0	
123						0	
124						0	
125						0	
126						0	
TOTAL	112	302	529	644	324	7	1918

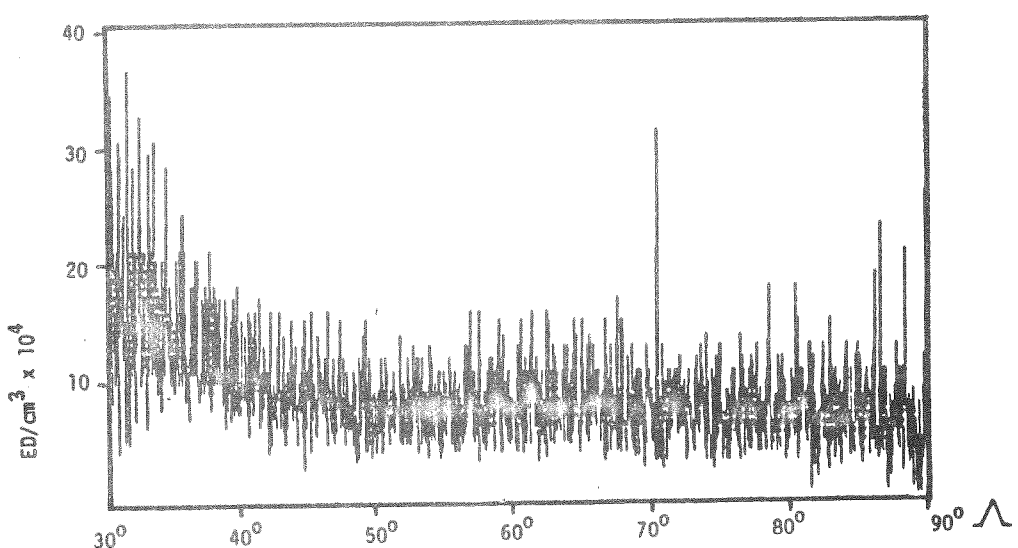
Çizelge 2. 10-15 arası GMLT saatleri için her güne ait veri sayısı.



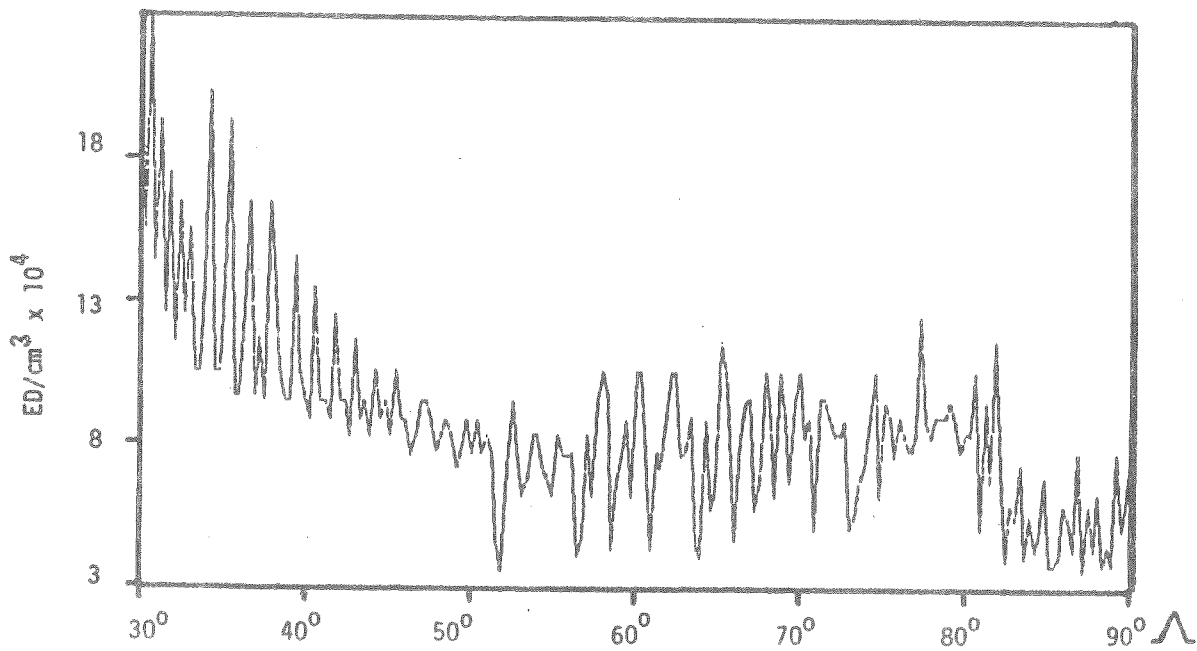
Şekil 1. Yer magnetosferinin kesiti(2).



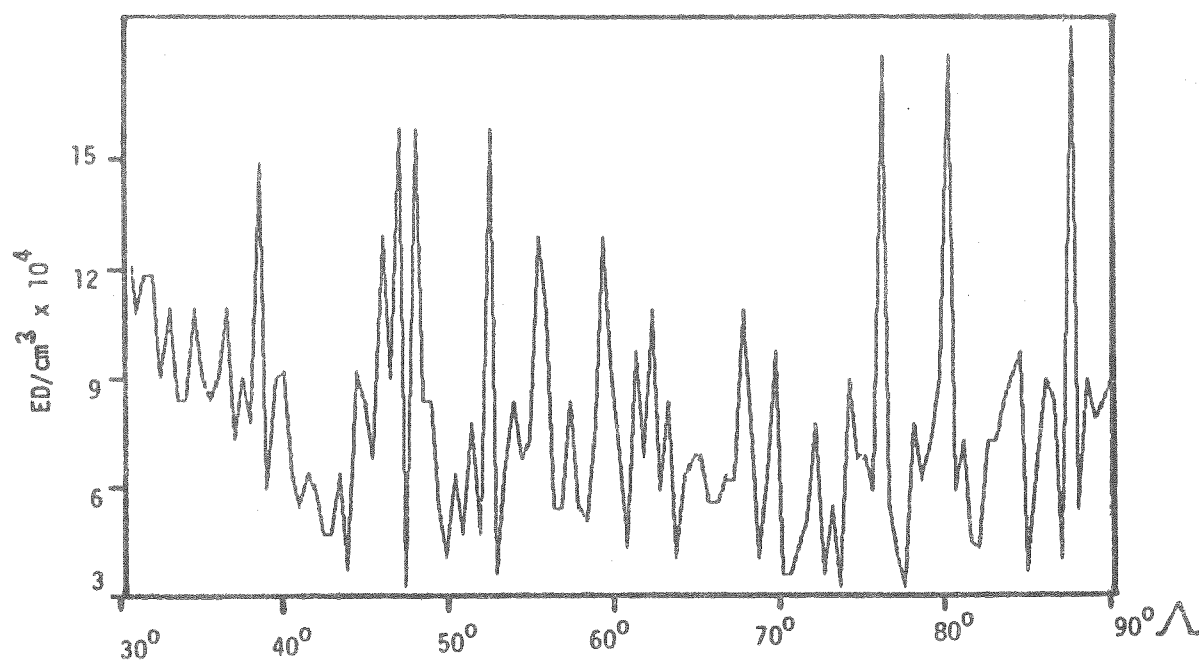
Şekil 2. Viking uydusunun parçacık verileri kullanılarak bulunmuş olan cusp ve çevresindeki cleft bölgesinin yapısı(3).



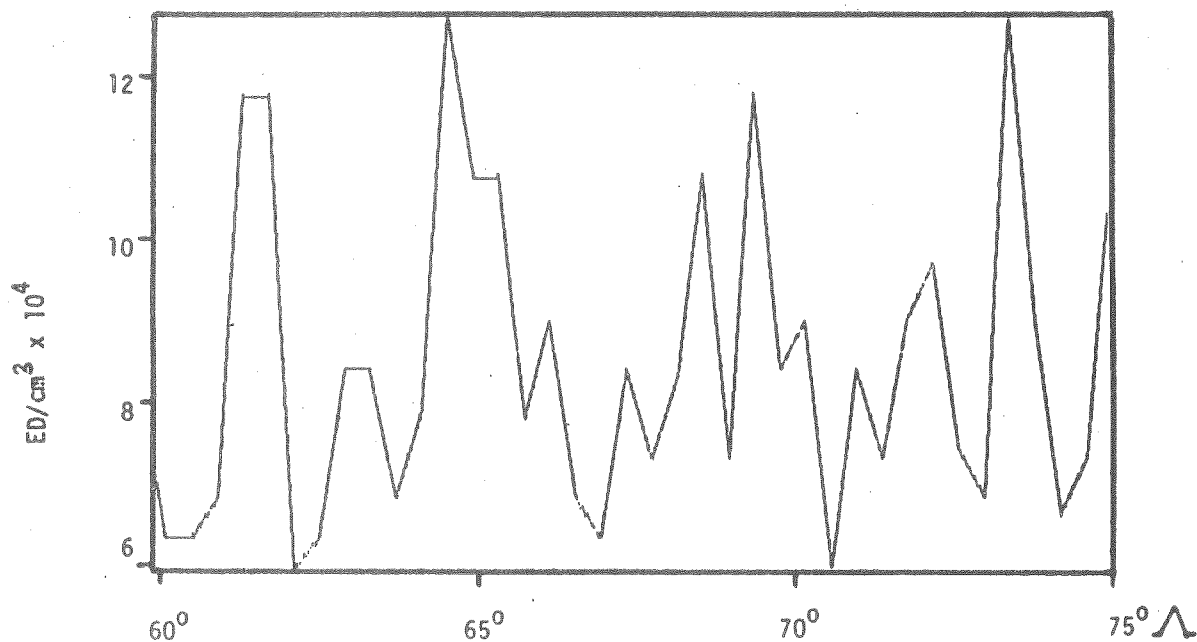
Şekil 3. Tüm veriler için elektron yoğunluğunun invariant enleme göre değişimi.



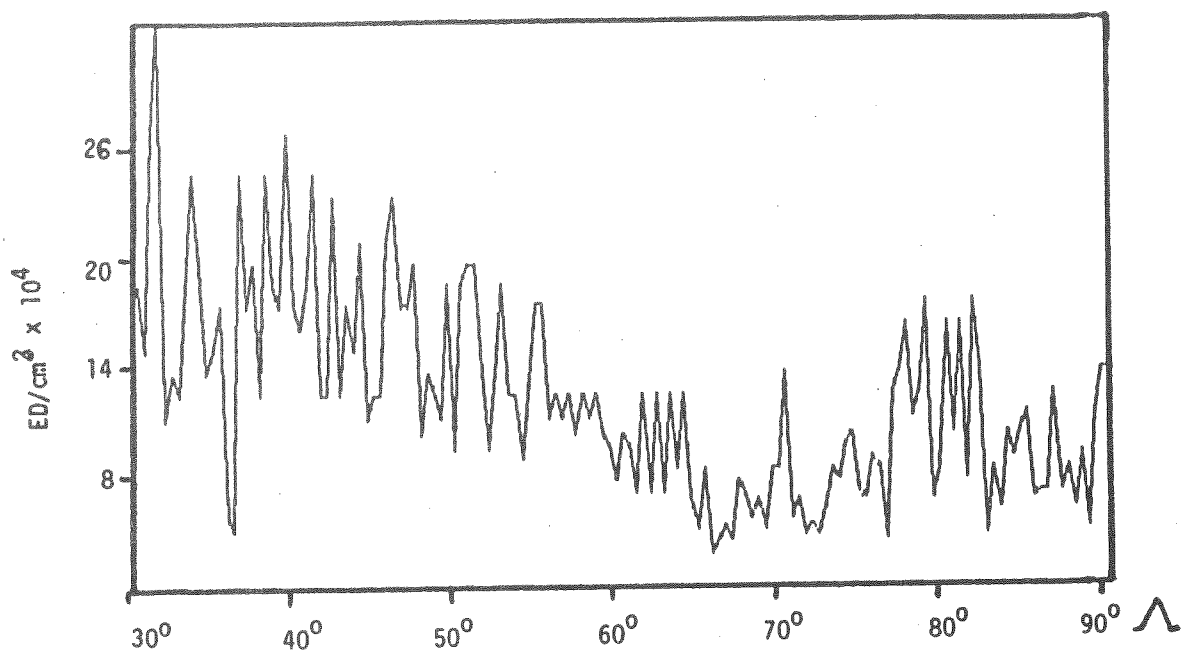
Şekil 4. $K_p=0$ olan günler için elektron yoğunluğunun invariant enleme göre değişimi.



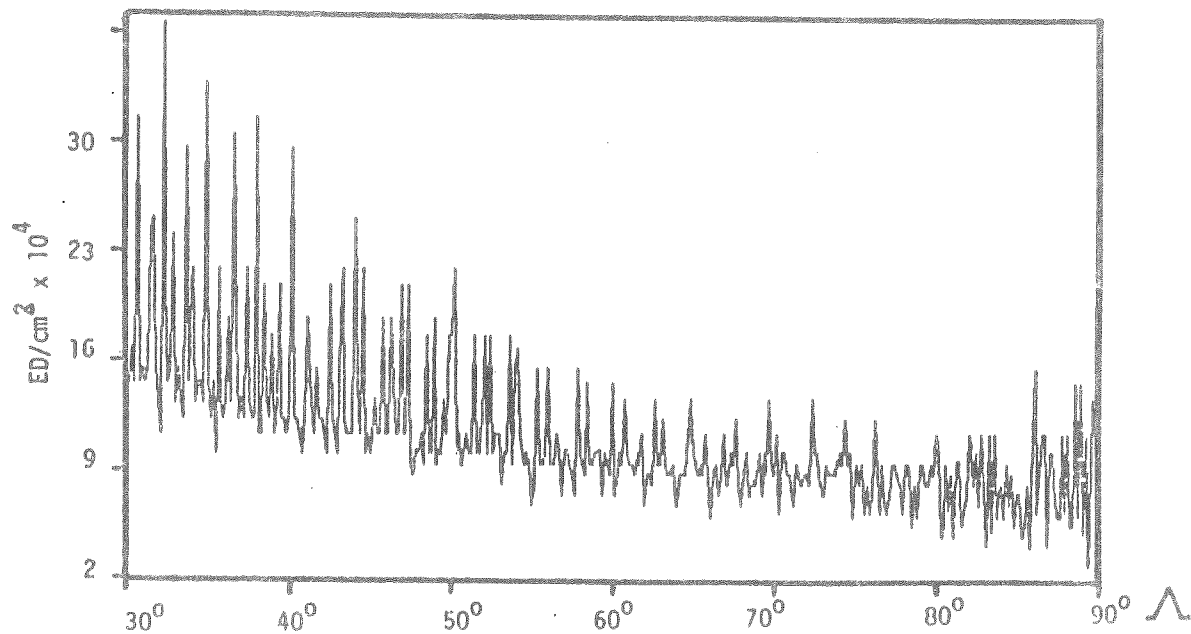
Şekil 5. $K_p=5$ olan günler için elektron yoğunluğunun invariant enleme göre değişimi.



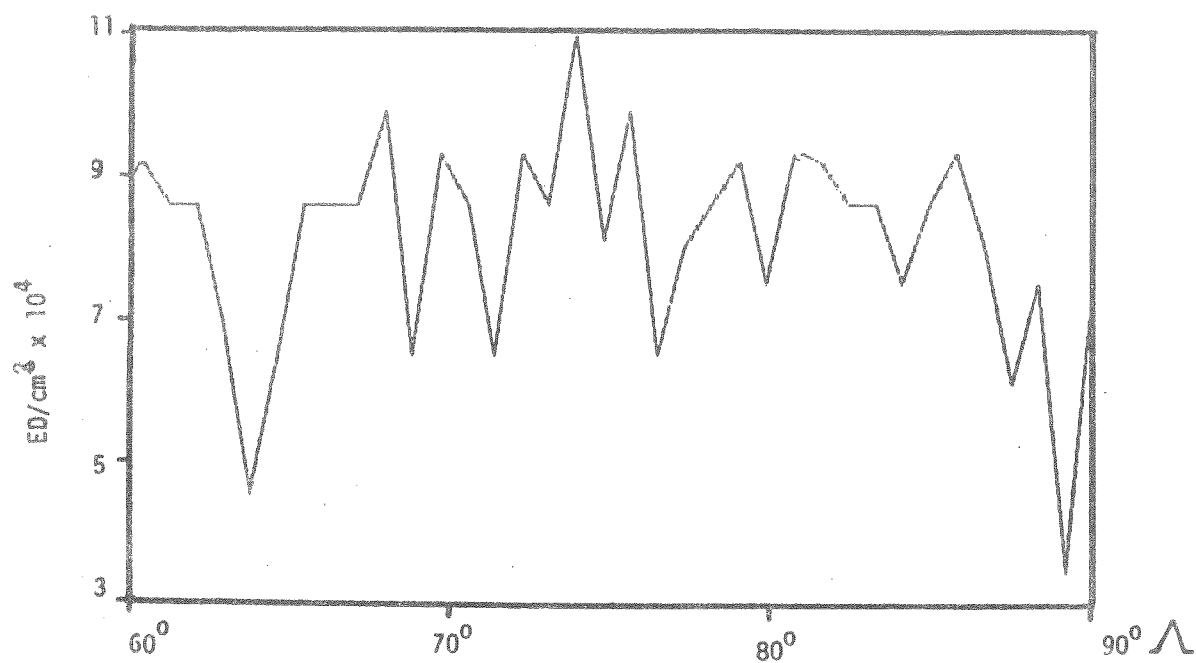
Şekil 6. GMLT = 11 ve LT = 11 saatleri için elektron yoğunluğunun invariant enleme göre değişimi.



Şekil 7. GMLT = 12 ve LT = 12 saatleri için elektron yoğunluğunun invariant enleme göre değişimi.



Sekil 8. GMLT = 13 ve LT = 13 saatleri için elektron yoğunluğunun invariant enleme göre değişimi.



Sekil 9. GMLT = 14 ve LT = 14 saatleri için elektron yoğunluğunun invariant enleme göre değişimi.

R. PEKUNLU: Bu sınırlarınız gezegenler arası magnetik alan sektör yapısı sınırlarını geçmesi sırasında önemli bir değişiklik gösteriyor mu?

G. KANDEMİR: Onu kontrol etmedik, aslında etmek lazım. Fakat 94 gün belki aynı kalmış olabilir, bileyemiyorum. Bu 1972 yılında ya iki ya dört sektör geçmiş olması lazım.

E. DERMAN: Geomagnetik genel zaman, yeni öğrendiğimiz yeni gördüğümüz bir kavram. Tanımı nasıl acaba.

G. KANDEMİR: Güneş yerel zamanı biz coğrafi boylama göre tanımlıyoruz. Burada geomagnetik boylama göre tanımlıyorsunuz. Aynı tanımı Dünyanın dönmeye ekseni yerine magnetik eksene göre yapmış oluyorsunuz.

E. DERMAN: Bayağı uzundur herhalde değil mi?. Yani gün olarak aynı mı?

G. KANDEMİR: Aynı.

A. ÖKTEN: Sıfır meridyeni nereden geçiyor?

G. KANDEMİR: Aynı yerden.

M. ÖZEL: Bu ham verilerin üzerinde 70° de bir maximum var. Elektron yoğunluğu acaba orada neden artıyor? Aynı yapı daha sonraki Cusp bölgesinde bulduğunuz şeyin 70° inde de yine bir maximum var. Elektron yoğunluğu neden artmış olabilir?

G. KANDEMİR: Uydu verilerinin 70° de aslında bir azalma bekleniyor. İste onun üzerine superpoze olarak birşey varsa o yağan elektronlardır.

M. ÖZEL: Bu bir günlük veri mi?

G. KANDEMİR: Hayır hepsi 94 günlük veri.

**OB YILDIZLARI DOĞRULTUSUNDAKİ KOLON YOĞUNLUKLARI
İLE KIZARMA ARASINDAKİ İLİŞKİ**

H. Hüseyin MENTEŞE
İstanbul Üniversitesi, Fen Fakültesi,
Astronomi ve Uzay Bilimleri Bölümü,
34452 Üniversite-İstanbul

Bu çalışmada, OB spektrel tipten yıldızlar doğrultusunda tayin edilen kolon yoğunlukları ile yıldızlararası kızarma, galaktik koordinatlar, mutlak bolometrik parlaklık, uzaklık, rotasyon hız ve kütle kaybı oranı gibi atmosferik parametreler arasında bir ilişki olup olmadığı araştırıldı.

Bu amaç için, galaksidə farklı doğrultularda ve farklı kızarma değerlerine sahip 18 O ve 8 B spektrel tipten olmak üzere toplam 24 yıldız çalışıldı. Çalışılan 24 yıldız ve bu yıldızlara ait temel bilgiler çizelge I de verilmiştir.

Cizelge I de görülen 18 O ve 8 B spektrel tipten yıldız doğrultusunda, gerek Kopernik, gerekse IUE (International Ultraviolet Explorer) uydusu verilerinden tayin edilen AlIII, SiIII, SII, FeII, NiIII ve ZnII iyonlarına ait kolon yoğunlukları literatürden alındı.

Literatürden alınan bu iyonlara ait kolon yoğunlukları ve alındıkları kaynaklar cizelge II de görülmektedir.

AlIII, SiIII, SII, FeII, NiIII ve ZnII iyonlarına ait bu kolon yoğunlukları kullanılarak herbir yıldız için $\log(N/N_{\text{H}_2})_{\text{is}} - \log(N/N_{\text{H}_2})_{\odot}$ değerleri hesaplandı.

Hesaplanan bu $\log(N/N_{\text{H}_2})_{\text{is}} - \log(N/N_{\text{H}_2})_{\odot}$ değerleri ordinat ekseni, galaktik koordinatlar, mutlak bolometrik parlaklık, uzaklık, rotasyon hız, kütle kaybı oranı ve yıldızlararası kızarma değerleri de absis eksene gelecek şekilde bir koordinat sistemine yerleştirildi.

Elde edilen şekillerden, OB yıldızları doğrultusunda gerek Kopernik, gerekse IUE uydusu verilerinden tayin edilen kolon yoğunlukları ile galaktik koordinatlar, mutlak bolometrik parlaklık, uzaklık, rotasyon hız ve kütle kaybı oranı arasında, şekil 1 ve 2 de de olduğu gibi herhangi bir ilişkinin olmadığı, fakat şekil 3a, 3b ve 3c de görüleceği gibi yıldızlararası kızarma ile elementlerin iyonik bollukları arasında bir ilişkinin varlığı gözlenmektedir.

Bu çalışmanın sonuçları aşağıdaki şekilde özetlenebilir.

1- Yıldızlararası element bolluğu ile galaktik koordinatlar, mutlak bolometrik parlaklık, uzaklık, rotasyon hız ve kütle kaybı oranı arasında herhangi bir ilişki yoktur.

2- Element bolluğu ile yıldızlararası kızarma arasında açık tersine meyleden bir bağıntı vardır.

ÖZELGE I

Çalışılan OB Yıldızları: Hakkında Temel Bilgiler

HD	Yıldız Spektrum	$\log L$	b_{II}	$E(B-V)$	$r(\text{pc})$	$v_{\text{sin} i}$	$-\log \dot{M}$	$-M_{\text{bol}}$
2905	α Cas B1 Ia	121	0	0.35	C1D	1009	C1D	5.94 C5D
23180	θ Per B1 III	160	-18	0.30	C1D	239	C1D	6.73 C5D
24398	ζ Per B1 Ib	162	-17	0.33	C1D	394	C1D	-
24912	ξ Per 07.5 IIIIf	180	-13	0.33	C1D	538	C1D	6.23 C5D
30614	α Cam 09.5 Ia	144	14	0.32	C1D	1164	C1D	5.80 C5D
34078	AE Aur 08.5 V	172	-2	0.76	C2D	321	C2D	5.29 C5D
38486	6 Ori 08.5 II	204	-18	0.07	C1D	384	C1D	7.71 C5D
38861	λ Ori 08.1 IIIf	295	-12	0.12	C1D	532	C1D	9.42 C5D
37041	θ Ori A 08.0 V	208	-19	0.20	C2D	501	C2D	7.05 C10D
37128	ϵ Ori BO Ia	205	-17	0.08	C1D	409	C1D	7.22 C8D
37742	ζ Ori 09.7 Ib	206	-17	0.08	C1D	352	C1D	9.38 C5D
HDE 269696	SDO	209	-32	0.00	C3D	70	C3D	5.50 C5D
38866	μ Col 09.5 V	237	-27	0.01	C1D	701	C1D	6.17 C5D
57061	τ CMa 08 II	238	-6	0.15	C1D	933	C1D	6.10 C5D
66811	ζ Pub 04 Inf	256	-5	0.05	C1D	668	C1D	8.08 C5D
68273	ν_2 vel 08.0 I	283	-8	0.05	C1D	377	C1D	9.18 C5D
112244	08.5 Tabf	304	6	0.34	C1D	1854	C1D	6.23 C5D
116658	α Vir B1 IV	318	51	0.03	C1D	70	C7D	7.70 C5D
149757	ζ Oph 08.5 V	6	24	0.32	C1D	138	C1D	5.99 C5D
158926	λ Sco B1.5 IV	352	-2	0.03	C1D	102	C1D	5.28 C5D
164794	9 Sgr 04 Vf	7	-1	0.35	C2D	1585	C2D	7.97 C5D
164816	08.5 III-Ivn	8	-1	0.29	C3D	2160	C4D	-
210839	λ Cep 08 Imfp	104	3	0.57	C2D	832	C2D	10.2 C5D
214680	10 Lag 08 V	97	-17	0.11	C1D	589	C1D	5.52 C9D

- C12 Sayage et al. (1977).
 C22 Shull and Van Steenberg (1986).
 C30 Mentegi (1982).
 C43 Cruz-Gonzales et al. (1974).
 C50 Lamers (1981).
- C60 Snow and Morton (1976).
 C70 Conti and Ebbets (1977).
 C80 Conti and Garmann (1980).
 C90 Hutchings (1976).
 C100 Conti and Burnichom (1976).

GİZELGE II

OB Yıldızı Spektrum log N log N log N log N log N log N log N
HD (MI) (ALLI) (SII) (SIII) (FIII) (NIII) (ZIII)

HD	Yıldızı	Spektrum	log N	log N	log N	log N	log N	log N	log N
2905	π Cas	B1 Ia	2120 a	14.67	15.52	16.07	13.83	13.32	13.34C12
23180	θ Per	B1 III	2090 a	-	14.78	15.26	14.34	12.51	- C22
24398	ζ Per	B1 Ib	2081 a	-	16.64	16.29	14.25	-	- C33
24912	ξ Per	07.5 IIIIf	2111 a	13.17	14.85	15.17	13.50	13.27	12.81C12
30614	α Cam	09.5 Ia	2090 a	13.50	15.52	15.70	14.15	13.50	13.33C12
34078	AE Aur	08.5 V	2130 b	12.76	15.28	15.43	13.73	13.46	13.23C42
36486	6 Ori	08.5 II	2023 a	13.08	15.08	15.42	13.73	13.26	13.11C12
36881	λ Ori	08 IIIIf	2078 a	13.30	14.95	15.33	13.65	13.27	12.93C12
37041	θ^2 Ori A	08.0 V	2138 b	13.78	15.33	16.03	14.03	13.66	13.16C42
37128	ϵ Ori	BO Ia	2045 a	-	14.55	15.45	14.24	-	- C52
37742	ζ Ori	08.7 Ib	2041 a	13.45	14.90	15.33	13.65	13.33	12.83C12
HDE 269966	Sao	SDO	1992 c	13.30	15.22	15.13	13.97	-	12.66C12
38666	μ Col	08.5 V	1985 a	13.43	15.11	15.17	13.63	-	12.65C12
57061	τ Cyg	08 II	2070 a	13.63	15.58	15.56	14.10	13.46	13.21C12
66811	ζ Pub	04 Inf	1999 a	13.25	15.03	15.55	13.65	-	12.40C12
68273	ν_2 Vel	08.0 I	1978 a	13.47	14.82	15.39	14.09	-	- C62
1122244	08.5 Iabf	2108 a	-	15.75	15.90	14.15	13.50	-	13.45C12
116658	α Vir	B1 IV	1900 a	11.49	13.65	14.51	13.35	12.60	11.70C72
149757	ζ Oph	09.5 V	2072 a	13.37	15.17	16.00	14.29	13.17	13.51C82
158926	λ Sco	B1.5 IV	1938 a	12.30	13.80	14.50	13.50	-	- C62
164794	9 Sgr	04 Vf	2134 b	13.52	15.72	15.45	13.97	13.75	13.27C12
164816	09.5 III-IVn	2057 c	13.30	15.25	15.78	13.80	13.55	13.04C12	
210839	λ Cep	08 Imf	2120 b	13.80	15.55	15.58	14.48	13.55	13.74C12
214660	10 Lac	08 V	2070 a	13.30	15.10	15.95	13.78	-	13.21C12
	Sun	G2 V	1200	6.40	7.55	7.21	7.40	6.28	4.42C102

The values of log N were taken from (c2) Savage et al. (1977); (c3) Shull and Menteşe (1982).

^{HD}

- (c1) Menteşe (1988).
- (c2) Snow (1976).
- (c3) Snow (1977).
- (c4) Avcioglu and Menteşe (1989).
- (c5) Shull (1979).
- (c6) Morton (1979).
- (c7) York and Kinahan (1979).
- (c8) Pva and Pottash (1986).
- (c9) York (1975).
- (c10) Withbroe (1971).

Kaynaklar

- 1) Avcıoğlu, K. and Menteşe, H.H. :1989, *Astrophys. Space Sci.* **151**, 227.
- 2) Chaffee JR, F.H. and Dunham JR, T. :1979, *Astrophys. J.* **233**, 568.
- 3) Conti, P.S. and Burnichom, M.L. :1978, *Astron. Astrophys.* **38**, 467.
- 4) Conti, P.S. and Ebbets, D. :1977, *Astrophys. J.* **213**, 438.
- 5) Conti, P.S. and Garmany, C.D. :1980, *Astrophys. J.* **238**, 190.
- 6) Cruz-Gonzales, C., Recillas-Cruz., Costero, R., Piembert., M., and Torres-Piembert, S. :1974, *Rev. Mexicana Astron. Astrof.* **1**, 211.
- 7) Hutchigs, J.B. :1976, *Astrophys. J.* **203**, 438.
- 8) Lamers, H.G.L.M. :1981, *Astrophys. J.* **245**, 593.
- 9) Menteşe, H.H. :1982, *Astrophys. Space Sci.* **82**, 173.
- 10) Menteşe, H.H. :1988, *Astrophys. Space Sci.* **146**, 27.
- 11) Morton, D.C. :1979, *Astrophys. J.* **228**, 147.
- 12) Pwa, H. and Pottash, R. :1986, *Astron. Astrophys.* **164**, 118.
- 13) Savage, B.D., Bohlin, R.C., Drake, J.F., and Budich, W. :1977, *Astrophys. J.* **216**, 291.
- 14) Shull, J.M. :1979, *Astrophys. J.* **233**, 182.
- 15) Shull, J.M., and Van Steenberg, M.L. :1985, *Astrophys. J.* **294**, 599.
- 16) Snow, JR, T.P. :1978, *Astrophys. J.* **204**, 759.
- 17) Snow, JR, T.P. :1977, *Astrophys. J.* **216**, 724.
- 18) Snow, JR, T.P. and Morton, D.C. :1978, *Astrophys. J. Suppl.* **32**, 429.
- 19) York, D.G. :1978, *Astrophys. J.* **198**, L103.
- 20) York, D.G. and Kinahan, B.F. :1979, *Astrophys. J.* **228**, 127.
- 21) Withbroe, G.L. :1971,in K.B. Gebbie (ed.), *The Menzel Symposium*, NBS Spec. publ. 353, p.127.

E.DERMAN: Yıldızlar arasındaki ortamın bolluğu ile gözlediğimiz yıldızın salt parlaklığı ve dönmesi arasında ilişki arıyorsunuz ve ilişki olmadığını söyleyorsunuz. Zaten ilişki yok değil mi? Beklemiyorsunuz böyle bir ilişki, çünkü yıldızlararası ortamla yıldıza ilişkin parametreler arasında bir ilişki zaten olamaz değil mi?

H.MENTEŞE: Olabilir, yıldızlararası ortam değil, yıldız doğrultusunda.

E.DERMAN: Bulduğunuz, yıldız doğrultusundaki, ama yıldızla sizin aranızdaki ortama ilişkin bolluk değil mi?

H.MENTEŞE: Tabii.

E.DERMAN: O bollukla, yıldıza ilişkin parametre arasında bir ilişki olabilir mi? Bekliyor musunuz böyle bir şey? Yani beklediniz de bulmadınız mı?

H.MENTEŞE: Ben bu karşılaşmayı yaparken, daha ziyade rotasyon hızı ve kütle kaybı oranı ile bir ilişkinin olabileceğinden hareketle yola çıktım. Fakat bunu da görmek istedim. Yani böyle bir karşılaşma neyi verir? Ayrıca galaktik koordinatlarla da aynı işlemi yaptım. Fakat, hiç birinde böyle bir ilişki söz konusu değil.

E.DERMAN: Kızarma ile iyonik bolluğun arttığını...

H.MENTEŞE: Hayır. Tam tersine azaldığını. İyonik bolluğun arttığı yerde, dikkat ederseniz, kızarma azalıyor. Kızarmanın arttığı yerde iyonik bolluk azalıyor.

E.DERMAN: Bunun fiziksel yorumunu ne şekilde yapıyorsunuz? Yani kızarma arttığı zaman benim bildiğim, bolluk azalıyor.

H.MENTEŞE: Bu herşeyden önce istatistik bir çalışma. 24 yıldız örneği alınmış, fakat istatistik bir neticeye varmak için bu sayının olması lazım.

Z.ASLAN: Bakış doğrultusundaki yıldızlarla kütle kaybı, arasında, yıldız rüzgarları fazlaysa belki bir ilişki aranabilir, ama buradaki ilişki oradaki bir noktaya bağlı yani bir dağılım var. Bu bana ters geliyor ama kızarmanın fazla olması demek bakış doğrultusunda birim kesitteki madde miktarının fazla olması demektir. Bunun anlamı: Eğer iyonik yoğunlıklar azalıyorsa, kızarma arttıkça, bu da iyonik yoğunluğun maddeyle ters olarak dağılması anlamına gelir. Onun da belki bir fiziksel nedeni vardır.

C.İBANOĞLU: Orada kütle kaybı var. Onunla ilişkisi yok diyorsunuz. Ama kütle kaybının hangi yıldızda ne kadar olduğunu biliyor musunuz?

H.MENTEŞE: Bunlar aşağı yukarı kütle kaybının en yüksek olduğu yıldızlar. Birinci çizelgede, dikkat edilirse, kütle kaybı değeri $10^{-6} M / \text{yıl}$ mertebesinde, örneğin, Pup.

C.İBANOĞLU: Orada verdığınız kütle kaybının hatalı nedir? Aslında bu çok büyük bir rakam.

H.MENTEŞE: O kadar çok nedenler işin içine giriyor ki. O yıldız doğrultusundaki yıldızlararası nötral hidrojen bolluğu da işin içine giriyor. Bunlar tabii hatalı, fakat bu kadar hataların içerisinde bile açık bir ilişki söz

konusu.

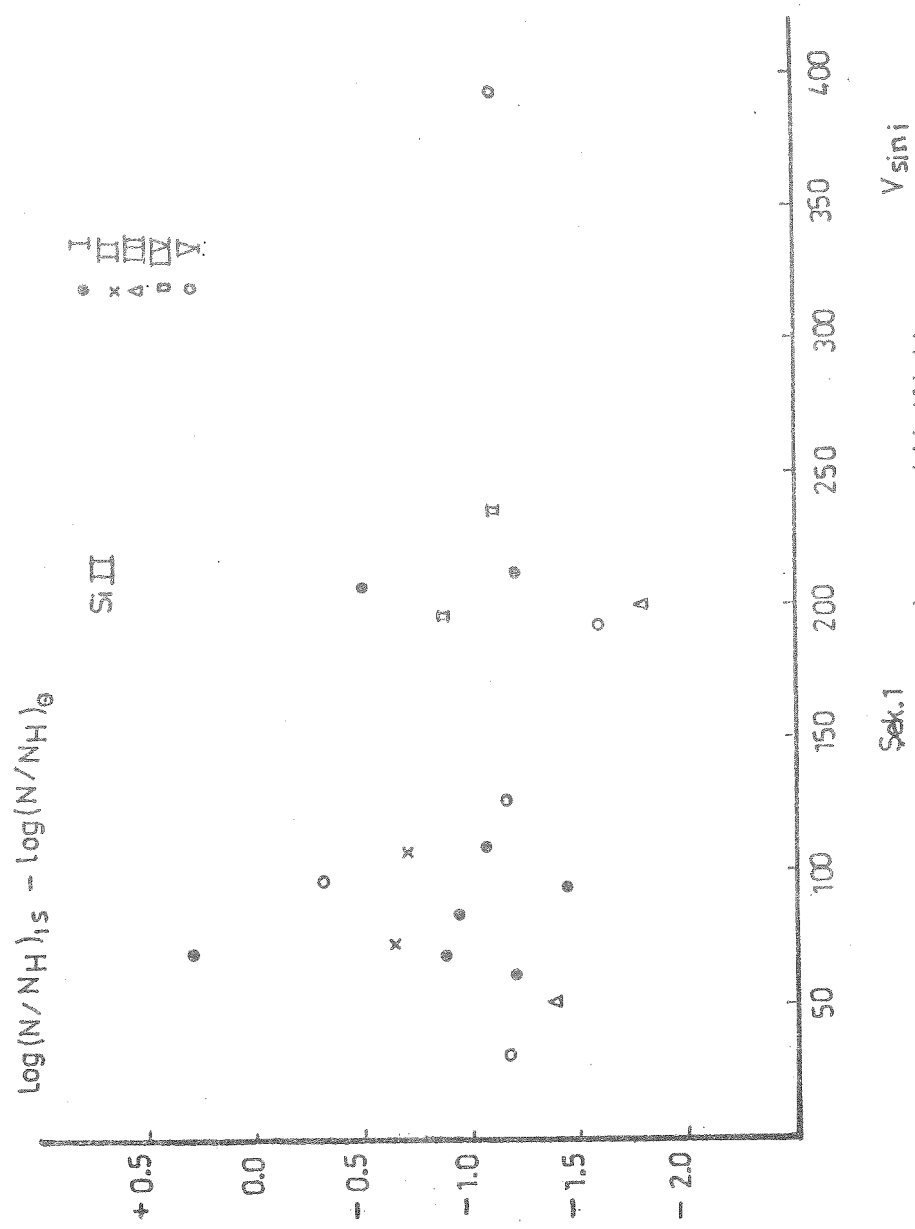
N. GUDUR: Ben sadece bir öneri yapmak istiyorum, dikkat ettim diyagramlar üzerinde hem O yıldızları hem B yıldızları ve işitme sınıfları hepsi birlikte yerleştirilmiş. Acaba işitme sınıflarına göre yıldızlar ayrılsa daha belirgin bağıntılar çıkabilir mi?

H. MENTEŞE: Yıldız sayısı 24. Veri az.

T. SAYGAÇ : Belki Necdet beyin söylediğiniz doğru, farklılık son gösterdiğiniz diyagramda var. 24 yıldızın hepsindeki bir ilişkiden ziyade, çok bariz olarak iki ayrı kümelenme görülüyor. Belki yıldızlara da bağlı olarak iki ayrı ilişki söz konusu.

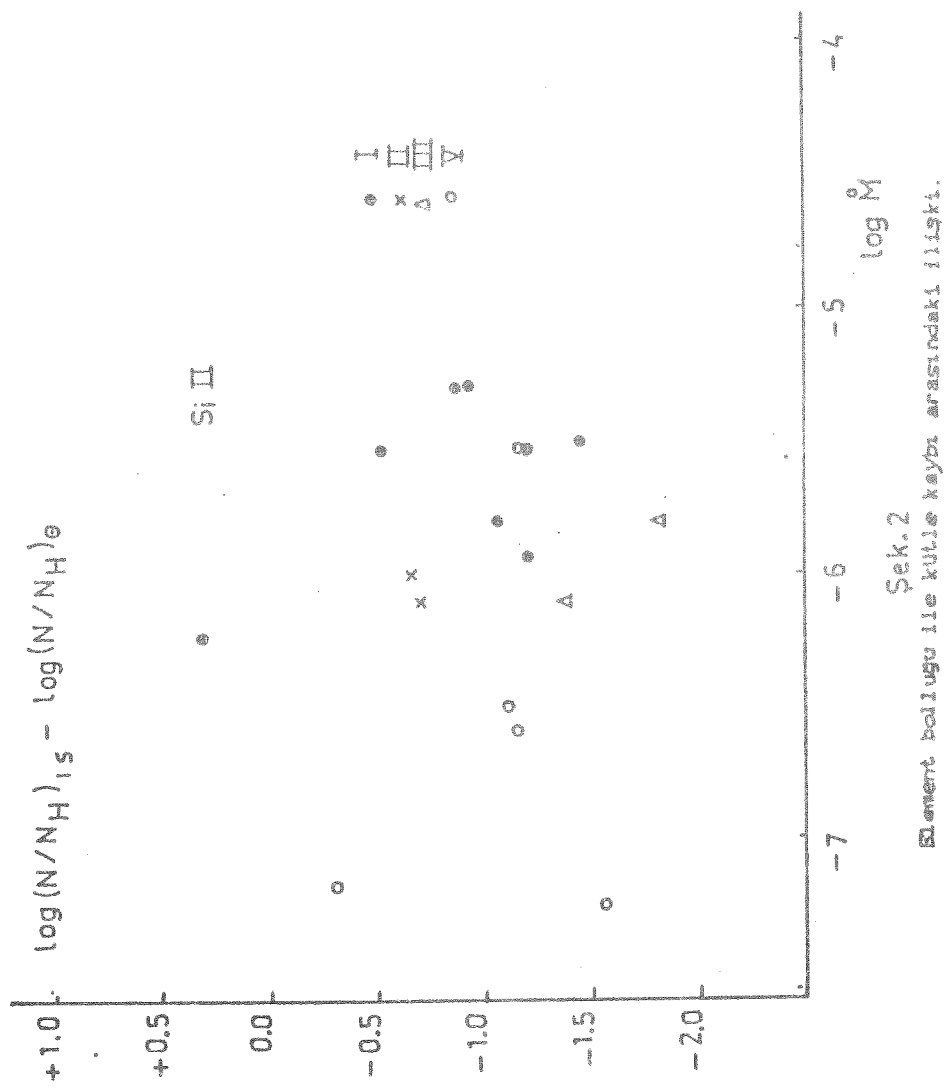
E. DERMAN : Bu bulgulardaki hata miktarını zannedersem arkadaşımız belirtmediği için, hata miktarı çok fazla. Bildiğim kadarıyla büyümeye eğrisi yöntemi kullanılıyor. Büyümeye eğrisi kullanıldığı zaman elimizde ya 4 ya da 5 nokta vardır. Hatırladığım kadarıyla bu defa kullanılacak kolon yoğunluklarındaki hata miktarı çok fazla olduğu için 24 yıldızla anlamlı bir sonuca varmak, zannediyorum imkansız.

H. MENTEŞE : O kadar çeşitli hatalara rağmen böyle bir ilişki mevcutsa neden imkansız olsun.

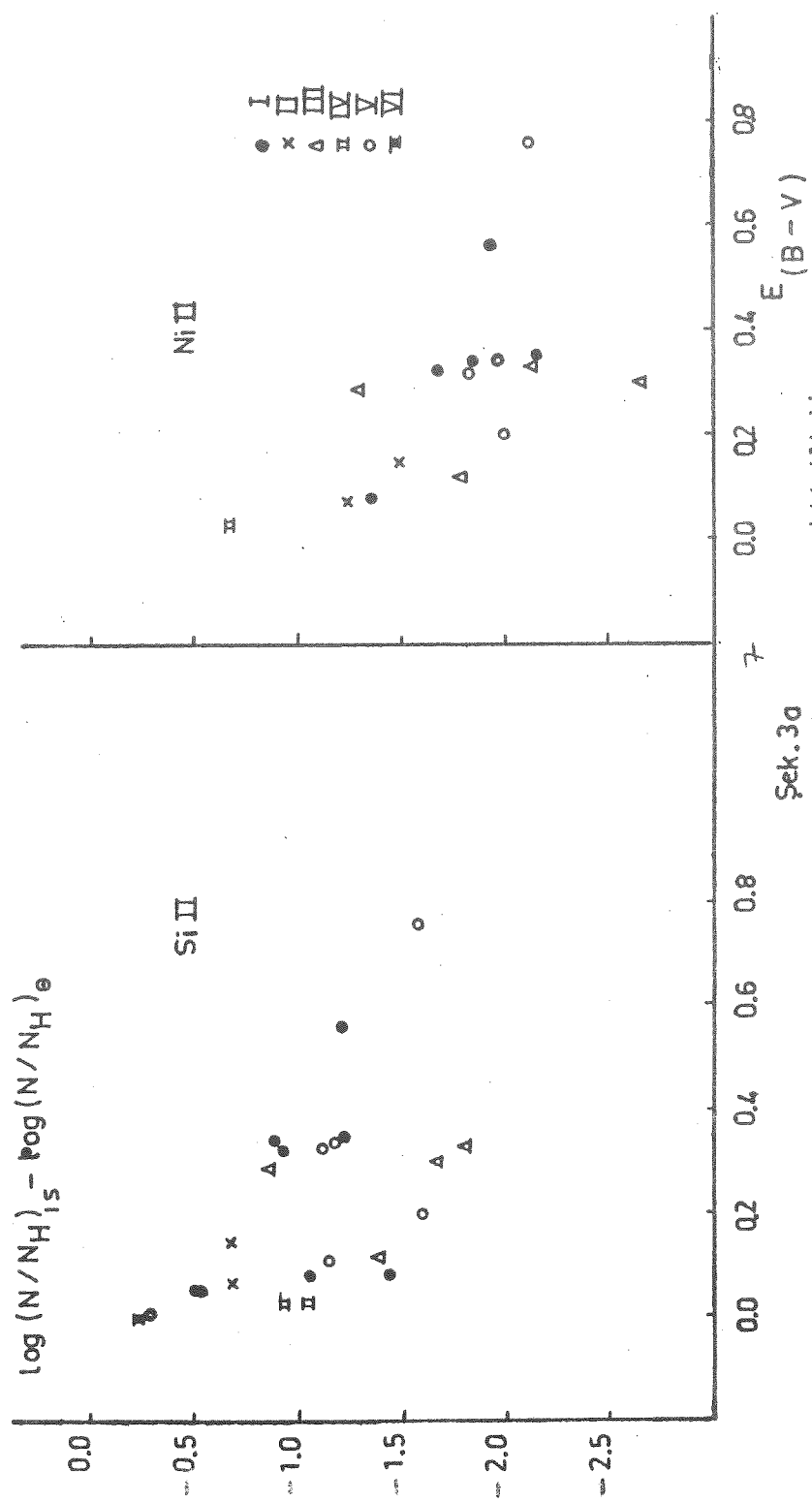


Sek.1
Element boluluğu ile rotasyon hızı arasındaki ilişki.

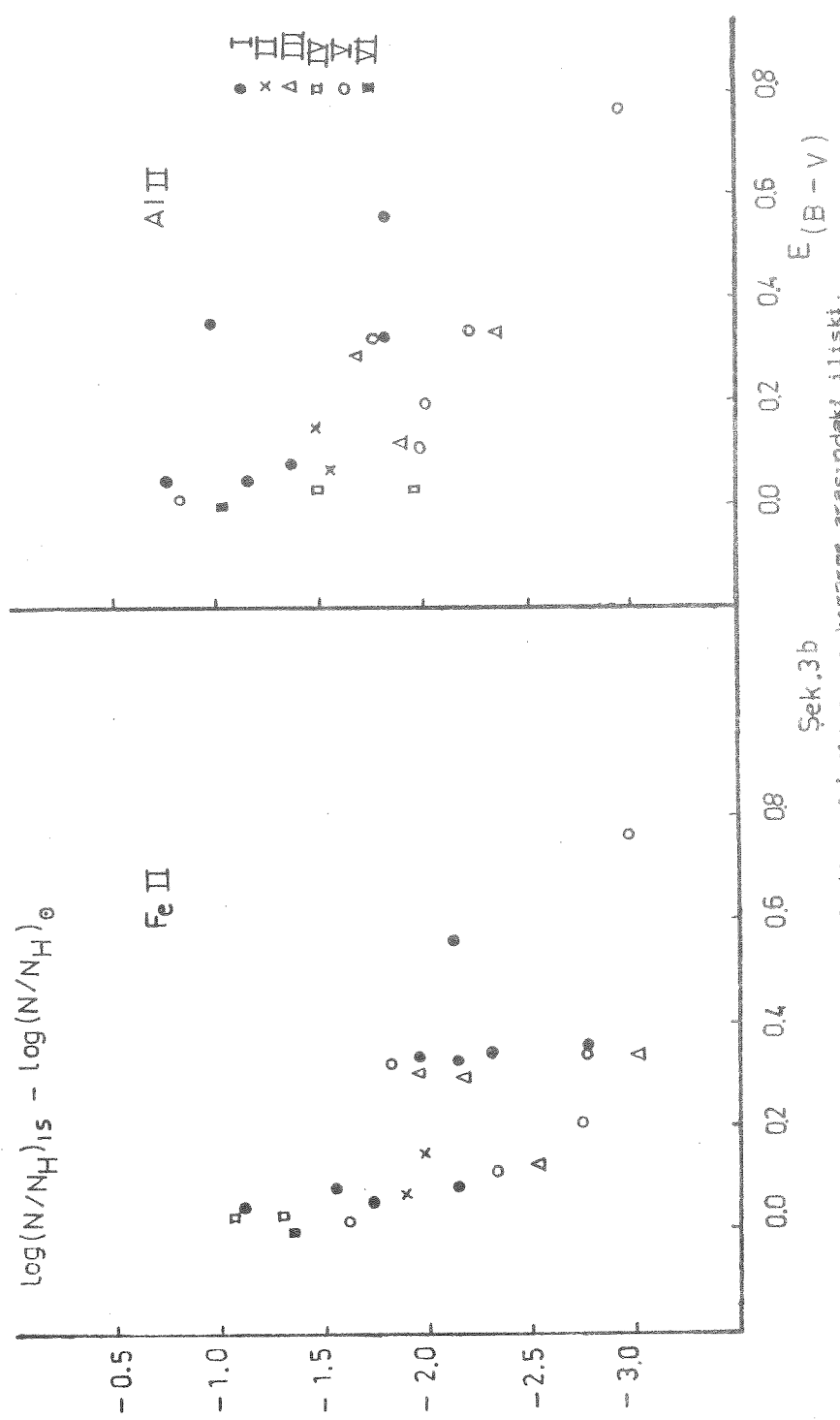
V sin i

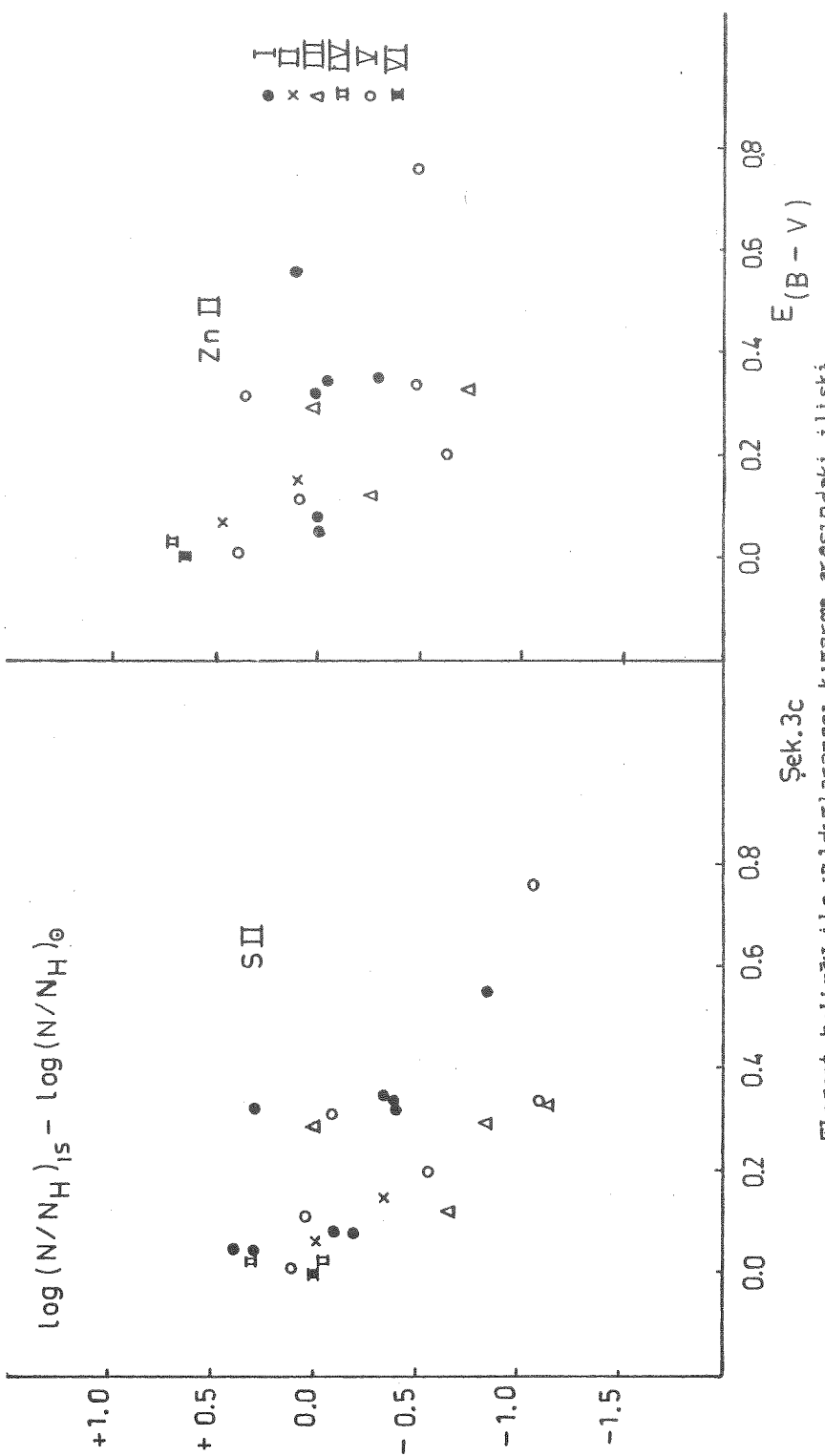


Sek. 2
Element bolullugu ile kütü keyfi arasındaki ilişkisi.



Sek. 30
Element bolıgrı ile yıldızlararası kızarmal arasındaki ilişkiler.
Element bolıgrı ile yıldızlararası kızarmal arasındaki ilişkiler.





Element belirgisi ile yıldızlararası kızarmış arasındaki ilişkisi.

22. GÜNEŞ LEKE ÇEVİRİMİNİN ÇIKIŞ KOLUNUN İNCELENMESİ

ÜKTEN, A.

İstanbul Üniversitesi Fen Fakültesi
 Astronomi ve Uzay Bilimleri Bölümü
 34452 Universite-İstanbul

ÖZET: 22. Güneş leke çevriminin aktivite seviyesinin ne olacağı ve çevrimin çıkış kolunun nasıl seyir gösterdiği İstanbul Üniversite Gözlemevinde yapılan güneş leke gözlemleri kullanılarak incelenmiştir. Çevrim tahmin edildiği gibi orta şiddette bir çevrim olmamış aksine ilk beş yıl yüksek bir aktivite göstermiştir. Çıkış kolu süresince relatif sayı (R) önceki üç çevrimin ($19.$, $20.$ ve $21.$ çevrim) R değerlerini $4.$ yılda yakalامış ve geçmiştir ($R=209.8$). 1990 ının son sekiz aylık ortalaması ise 193.0 ile $20.$ ve $21.$ çevrimlerin hala üzerindedir (Şekil 1a). Yıllık grup sayısı ortalamasına bakıldığından $20.$ çevrimin $4.$ ve $5.$ yılı hariç $22.$ çevrim sürekli daha az grup sayısı göstermiştir (Şekil 1b). Bu durum leke gruplarının uzun ömürlü olduklarına işaret etmektedir. Yıllık toplam grup sayısına bakıldığından ise son çevrim diğer üç çevrimden daha az grup sayısına sahiptir. Relatif sayının yüksek, grup sayısının düşük olması bizi şöyle bir sonuca götürür: Mevcut gruptardaki leke sayısı çok fazladır. Bu da fiziksel olarak olayın nedenlerini araştırmaya değer bir sonuçtur.

Son çevrimin leke gruplarının enlemsel dağılımı ise (Şekil 2) çevrimin ilk iki yılında leke gruplarının 25° - 35° enlem kuşağında, $3.$ ve $4.$ yılında 20° enlem kuşağında çıktığını göstermektedir.

1. 22. ÇEVİRİMİN LEKE AKTİVİTE SEVİYESİNİN TAHMİNİ

22. Çevrim başlamadan, 1986 yılı öncesi yeni çevrimin orta şiddette bir çevrim olacağı tahmin ediliyordu. Relatif sayı ($R=10g+f$, g grup sayısı, f leke sayısı) için verilen değer $100-140$, maksimum epok ise $1990-1991$ yıllarıydı. Fakat diğer bazı araştırmacılar $R<100$ ve maksimum epok $1992-1995$ olacağını söylüyorlardı. Bununla birlikte birkaç araştırmacıda çevrimin tarihsel kayıtları bozabilecek kadar son derece düşük olacağını iddia ettiler. Yaklaşık 30 makaleden bir kaçı çevrimin yüksek aktivite göstereceğini iddia etti. Fakat birinci yılın sonunda yapılan tahminlerde çevrimin yüksek bir aktivite göstereceği düşünüldü.

Çizelge 1

Yazar	Tahmin edilen Rmak	Epok
Brown	174 ±35	
Gonzaleg	163 ±40	1990
Kane	185 ±40	1988-1989
Schatten	170 ±25	1990 ±1
McNish ve Lincoln	186	1989.12-1990.3
Solar Bulletin	178	1990.3-1990.4

İlk dört yazar 21. ve önceki çevrimlerin dolaylı manyetik alan gözlemlerini kullanarak tahminde bulundular. Tahminde bulumak için diğer bir yol benzer çevrimleri karşılaştırmaktır. Çevrimin çıkış hızına göre daha hassas tahminlerde bulunmakta mümkündür. İleriye dönük 12 aylık bir tahmin yapmak için McNish-Lincoln metodu iyi sonuç verir.

Çevrim aktivitesinin nasıl gideceğini gösteren metodların etkinliği sınırlı fizik anımlarından gelir. Geleneksel dinamo teorisinde diferansiyel rotasyonlar güneşin manyetik alanını toroidal alanlara dönüştürür, bu da lekelerin oluşmasını ve güneş aktivitesini ortaya koyar. Schatten ve ark. (1987) göre relativ sayı ve çevrimin minimumuna yakın kutup manyetik alanlarının şiddeti arasında bazı bağıntılar vardır. Bu yazarlara göre manyetik alan değerleri bir sonraki çevrimin maksimum değeri ile lineer bir ilişkiye sahiptir. Aynı grup, 1986 daki kutup manyetik alan gözlemlerini kullanarak $R_{mak}=180$ elde ettiler.

Kutup alanlarını direk olarak gözlemek nispeten zordur. Bunları dolaylı gözlemek için üç gözlem metodu vardır.

1- Geomanyetik indisleri kullanarak.

2- Güneşin minimum dönemine yakın kutup manyetik alanların şiddeti ile ilgili helyosferik akım yapraklarının geometrisinden faydalananarak,

(Mart-Eylül 1986 da yapılan ölçümler $R_{mak}=170±30$ verir.)

3- Tam güneş tutulması sırasında elde edilen kutup manyetik alanının eğilme açısından faydalananarak R_{mak} tahmini yapılır.

(1984-Kasım tam güneş tutulma gözlemleri $R_{mak}=150$ verir.)

**2. 22. ÇEVİRİMİN ÇIKIŞ KOLUNUN GÖZLENEN KARAKTERİSTİKLERİ
VE 19., 20., 21. ÇEVİRİMLERLE KARŞILAŞTIRILMASI**

McIntosh 22. çevrimin ilk lekesinin Nisan-1983 de görüldüğünü rapor eder. W. Marquette yeni çevrimin aktif bölgelerinin Ekim-1986 dan itibareneskiye hakim olduğunu, minimum peryodun Mayıs'tan Eylül'e kadar uzandığını ve eski çevrime ait küçük lekelerin en azından Mart-1988 kadar oluşmaya devam edeceğini bildirdi. Farklı aktivite parametrelerine baktığımızda minimumun farklı zamanlarda olduğunu görüyoruz. Geçici aktif bölgeler leke fazı ile hemen hemen aynı fazda güneş leke minimumundan yaklaşık bir yıl önce minimum değerine ulaştılar. Fotosferik çizgilerin eşdeğer genişliği ve Ca K, minimumun 1985 den önce olduğunu gösterdi. CN bantlarından elde edilen data da McIntosh'u desteklemektedir.

Bu çalışmada İstanbul Üniversitesi Gözlemevinde yapılan güneş leke gözlemleri kullanılmıştır. 19, 20 ve 21. çevirimlere ait istatistik değerler A. Ökten'in (1989) çalışmasından alınmıştır.

Dört çevrime ait R relatif sayı, N yıllık toplam grup sayısı ve g yıllık grup sayısı ortalamasına ait değerler Çizelge 2 de ve bunlara ait grafiklerde Şekil 1 de verilmiştir.

Çizelge 2

	19.	20.	21.	22.
a)	1954 (1) 5.4	1965 18.2	1976 15.6	1986 12.0
	1955 (2) 49.0	1966 60.9	1977 35.2	1987 29.6
	1956 (3) 162.6	1967 133.4	1978 133.4	1988 118.3
	1957 (4) 197.5	1968 125.8	1979 199.2	1989 208.9
	1958 (5) 223.6	1969 117.2	1980 181.4	1990.8 193.0
b)	19.	20.	21.	22.
	1954 (1) 52	1965 114	1976 75	1986 48
	1955 (2) 221	1966 260	1977 152	1987 123
	1956 (3) 529	1967 625	1978 615	1988 393
	1957 (4) 698	1968 482	1979 709	1989 485
	1958 (5) 819	1969 486	1980 597	1990.8 444
c)	19.	20.	21.	22.
	1954 (1) 0.4	1965 1.2	1976 1.1	1986 0.7
	1955 (2) 3.0	1966 3.5	1977 2.2	1987 1.8
	1956 (3) 9.1	1967 7.6	1978 7.1	1988 6.5
	1957 (4) 11.1	1968 7.0	1979 12.0	1989 10.6
	1958 (5) 12.5	1969 7.1	1980 9.9	1990.8 10.5

Çizelge 2. 19., 20., 21. ve 22. çevirimlerin ilk beş yılina ait a) R, b) N, c) g nin değerleri.

3. SONUÇLAR

1) Relatif sayının yillara göre ortamalası (Şekil 1a) 4. yilda, önceki üç çevrimin değerini geçmiştir. 5. yilda R hala yüksektir (R'in 8 aylık ortalaması 193 dür.)

2) Yıllık toplam grup sayısı ilk üç yıl (Şekil 1b) dört çevrimde de aynı düzeyde, son iki yıl 19. ve 21. çevrimin altındadır.

3) Yıllık grup sayısı ortalaması (Şekil 1c) diğer çevrimlerle karşılaştırıldığında son çevrim en az grup sayısına sahiptir.

Birinci maddeyi gözönüne aldigımızda yani R'ın büyük olması ve buna karşılık g'nin küçük olması leke sayılarının fazla olduğunu gösterir.

4) Son çevrimin enlemsel dağılımında (Şekil 2) kuzey ve güney yarımküreler arasında fazda ve grup sayısında önemli bir asimetri yoktur. İlk iki yıl 25°-35° enlem kuşağı, dördüncü yıl 20° enlem kuşağı aktiviteye hakim.

5) Büyuk alanlı leke grupları bir önceki çevrimle karşılaştırıldığında 22. çevrim çok etkin.

6) Bu çevrimin ilk beş yılı içinde bir kaç rotasyon yaşayan ve özellikle yüksek enlemelerde büyük alanlı leke grupları çok fazla çıkmıştır.

REFERANSLAR

- Brown, G. M. (1988) Nature, 333, 121.
 Gonzalez, G. ve Schatten, K. H. (1987) Solar Phys., 114, 189.
 Kane, R. P. (1987) Solar Phys., 108, 415.
 McNish ve Lincoln (1987) S.G.D. Part I, 131.
 Ökten, A. (1989) University Of Istanbul Faculty Of Science The Journal Of Astronomy And Physics, Vol.54, 91-121.
 Schatten, K. H. ve Sofia, S. (1987) Geophys. Res. Lett., 14, 632.
 Solar Bulletin (1988), No. 6., 44.

N. GÜDÜR: Grup sayıları ve leke sayılarının yıllara göre dağılım grafiklerini 5. yıla getirip orada kesmişsiniz. Herbiri ayrı ayrı çevrimlere karşılık geliyor değil mi?

A. ÖKTEN: Tabii, çevrimleri kestim orada. Onlar burada ayrı ayrı var. Öbür çevrimler 11 yıllık. Sadece çıkış kolu olduğu için diğer çevrimlerin ilk 5 yılını aldım.

N. GUDUR: En son gösterdiğiniz şekilde, çevrimde yıl ilerledikçe grup sayılarının maksimumları daha düşük enlemlere doğru kayıyor sanırım.

A. ÖKTEN: Ama onu söylemedim. Bu arada küçük enlemlerde aktivite başlamıştır. Bunun katkısından dolayı olay bir yanılıgı gibi görülüyor.

N. GUDUR: Oraya doğru kaymamış mı maksimumlar?

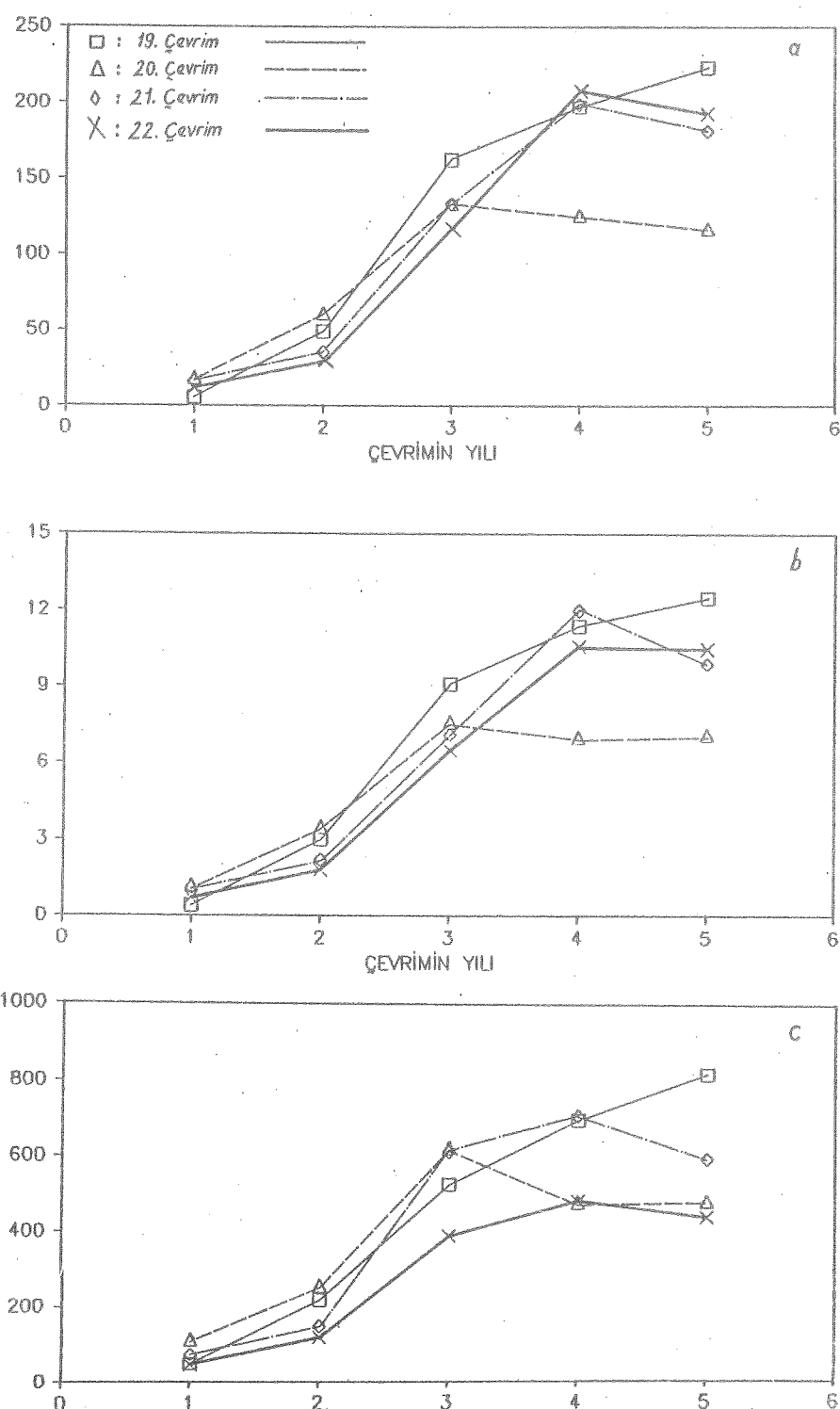
A. ÖKTEN: Tamam. Yani şuradaki yükselseme kayma değilde birdenbire sıçrama şeklinde. Yani bir dalga 25-30° enlem kuşağına doğru lekeleri yayıyor, ikinci dalga, benim beklediğim, 10-15° ye vuracak. Lekeler oradan alçak enlemlere yayılacak. Ona ilişkin sonuç kayma şeklinde görülüyor. Bana göre öyle değil.

Z. ASLAN: Rölatif sayı dediniz. Güneşi daha iyi anlamak için diğer parametrelerle ilişkisini aramak mümkün mü?

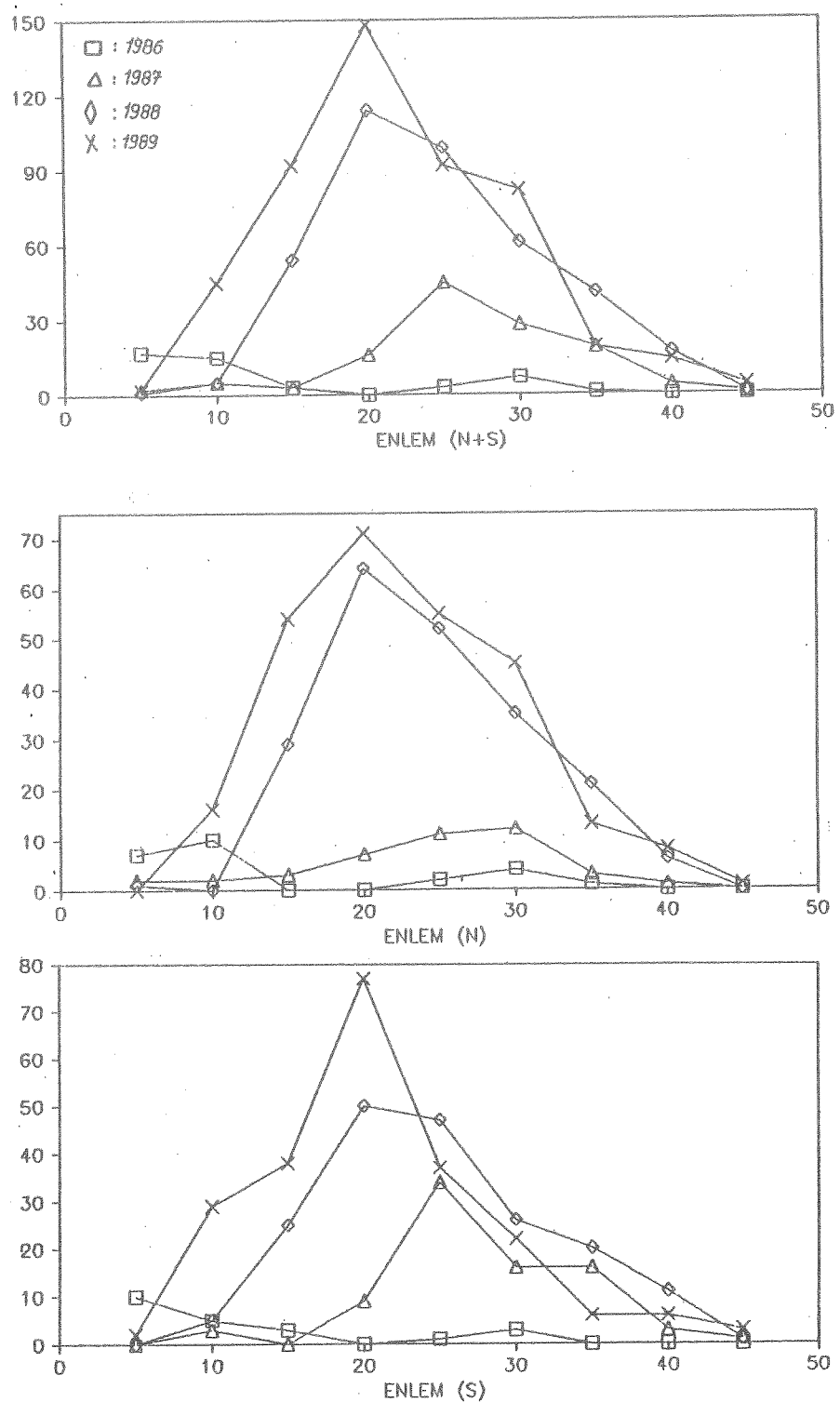
A. ÖKTEN: Var tabii, en belirgini koronadaki 5303 A çizgisi.

Z. ASLAN: Yani elinizde var mı?

A. ÖKTEN: Şu anda yok. O kapsamlı bir çalışma gerektiriyor.



Şekil 1. Son dört çevrinin çıkış kolu için a) relativ sayıyı (RD) b) yıllık grup ortalamasını (g) c) doğan yıllık grup sayısını göstermektedir.



Şekil 2. Son çevrimin leke gruplarının enlemsel dağılımı.

**GÜNEŞ LEKE GRUPLARININ OLUŞUMUNDA
CORIOLIS KUVVETİNİN ETKİSİ**

Gülseçen, H.

İstanbul Üniversitesi Fen Fakültesi
Astronomi ve Uzay Bilimleri Bölümü
34452 Üniversite -İSTANBUL

Güneş lekeleri ve güneşin yapısı ile ilgili çalışmalar Galileo'nun güneşini ilk defa 1611 yılında durbunla gözetlemesi ile başlamıştır. Fakat bu konudaki gelişmeler sürekli ve düzenli bir gelişme yerine, teknik alandaki ve fizik bilimindeki gelişmelere bağlı olarak, zaman zaman artma göstermiştir. 1611'den itibaren yaklaşık ikibuçuk asır, güneş sadece durbun ile beyaz ışıkta gözlenmiş ve bu süre içinde sadece güneş lekeleri hakkında veri elde edilmiştir. 1850'den itibaren güneşin spektroheliyograf ile incelenmesi sonucu, araştırma şeklinde önemli değişiklikler ortaya çıkmıştır. 1920'den itibaren ise, kuantum teorisinin ortaya çıkması ile elde edilen gözlemlerin yorumu farklı bir görüş ile ele alınmaya başlanmıştır.

Güneş lekeleri ilk kez 1611 yılında gözlenmeye beraber, güneş lekelerinin bir çevrime sahip olduğuna dair ilk bilimsel iddia 1843'de Schawabe tarafından yapılmış; bunu Wolf'un 1852'de çevrim süresinin 11.1 yıl olduğunu bildirmesi izlemiştir. Böylece güneş lekelerinin kendileri kadar, leke çevrimi de ilgi çekmiş ve yirminci asırın başlarına kadar güneş lekelerine ait çalışmalar, çevrime ait özellikler ile özdeleşmiştir. Çevrim süresinin ardından, önce Carrington tarafından, daha sonra da ayrıntıları Spörer tarafından verilen bir çevrim boyunca lekelerin enlem kayması gösterdiği bulgusu ortaya konmuştur. Diğer taraftan, lekeler yardım ile güneş rotasyonunun enleme bağlı olduğu yine ilk defa Carrington tarafından fark edilmiş; daha sonradan bu konu spektroskopik olarak da ele alınıp, enleme bağlı açısal hız değerleri bulunmuştur.

Lekelerlarındaki çalışmalarda fiziksel dönem, lekelerin spektrumlarının incelenmeye başlanması ile gündeme gelmiştir. Bir güneş lekesine ait büyük dispersiyonlu spektrum fotoğrafı ilk defa 1906'da çekilmiştir. Bu spektrumda, güneş yüzeyi spektrumuna göre, bazı spektral çizgilerin gözlenmemesine karşın, bazı ek çizgiler görülmüş; kimi çizgilerinde genişlemiş olduğu ve bunun gibi özellikler saptanmıştır. Bu gözlemlerin yorumu yapıldığında leke içindeki sıcaklığın güneş yüzeyi sıcaklığından daha düşük olduğu sonucu bulunmuştur. Böylece, lekeler hakkında istatistik bilgiler dışında, ilk fiziksel bilgi elde

edilmiştir. Bununla beraber, spektrumdaki bazı spektral çizgilerin genişlemesi olması, bazlarının da çift çizgi olarak gözlenmesi açıklanamamıştır. Bir süre sonra çift çizgi olarak gözlenen spektral çizgilerin her birinin zıt yönde polarizlenmiş olduğunun anlaşılması, Zeeman olayının varlığını ortaya koymuş ve bunun sonucu olarak da lekelerin kuvvetli bir manyetik alana sahip oldukları anlaşılmıştır. Bu bulguların ardından, Hale manyetik alan polaritesine ait ve polarite kuralları adı verilen üç özellik ortaya koymuştur;

1) Güneşin aynı yarımküresinde bulunan bütün leke gruplarının manyetik polariteleri aynıdır.

2) Bir yarımküredeki leke gruplarının manyetik polariteleri diğer yarımküredeki manyetik polaritenin tersidir.

3) Birbirini izleyen çevrimlerde, bir yarımküredeki manyetik polarite özelliği, diğer yarımküre lekelerinin özelliği ile yer değiştirir.

Bu bilgilerin yanı sıra H ve Ca'nın Ha ve K α spektrohelyogramlarının leke bölgeleri civarında "Karanlık fakula" alanları denilen bölgelerinin girdap şekilli görüntü vermesi, lekelerde de girdap şeklinde bir hareket olup olmadığı sorusunu ortaya çıkarmıştır. Bu sorunun cevabı kısa zamanda yanıtlanmıştır. Evershed tarafından kenara yakın lekeler içinde demir çizgilerinde Doppler kayması saptanarak lekenin içinden, lekenin yüzeyi üzerinde kalmak üzere, dışa doğru gaz akımı olduğu anlaşılmıştır. Güneşin görünen merkezine yakın lekelerde böyle bir olayın gözlenmemesi gaz hareketinin güneş yüzeyine dik olmayıp, yüzeye teğetsel olmasından kaynaklanmaktadır.

Lekelere ait bu fiziksel bulgulara paralel olarak, güneşle ait diğer fiziksel bulgularda ortaya çıkmıştır. Buna bireysel de güneşin genel manyetik alanıdır. Lekeler dışında güneşin genel bir manyetik alana sahip olduğu önce Hale ve arkadaşları tarafından ileri sürülmüş ve daha sonra Babcock tarafından 1 Gauss ile 60 Gauss arasında değişen genel bir manyetik alan olduğu ölçülmüştür.

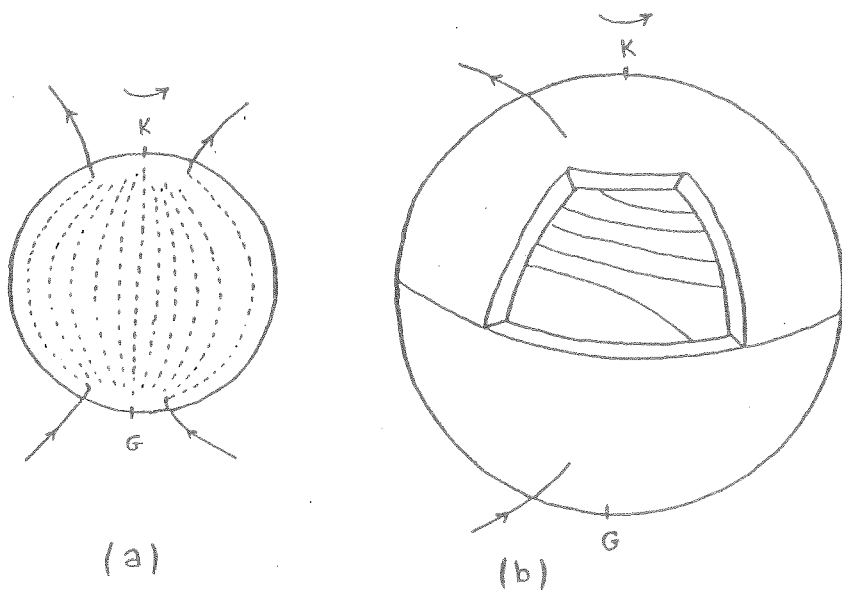
Güneş lekeleri, güneş yüzeyinde ilk gözlenen olaylar olduğundan, ne oldukları merak edilip, bu konuda, hallerinde açıklama girişimlerinde bulunulan ilk olaylar olması da doğaldır. Başlangıçta çevrim özellikleri ile lekeler hemen hemen özdeleşmiş olduğundan lekeler hakkındaki teorilerin çevrim özelliklerini açıklayabilmesine özen gösterilmiştir. Bu teorileri, dayandıkları fizik esaslar bakımından ikiye ayırmak mümkündür. Birincisi, lekelerdeki soğuma olayını esas olay olarak ele alıp, bunu açıklayacak mekanizmayı ortaya koyarken, manyetik alanın bir yan olay olarak ortaya çıktığını varsayan teoriler. Bu tür teorilere en iyi örnek 1928 yılında Bjerkness tarafından ileri sürülen teoridir. Bu teoriye göre manyetik alan lekelerin faaliyeti sonucu meydana gelmektedir. İkincisi ise, manyetik alanı temel olay olarak kabul edip,

lekelerin manyetik alanın bir ürünü olduğunu ileri süren teorilerdir. Bu teorilerin en tanınmışsı 1955 yılında Biermann tarafından ortaya atılmıştır. Teori, lekelerin güneş yüzeyine göre daha soğuk olmasını açıklamasına rağmen manyetik alanın orijinini açıklayamamaktadır. Ancak yine 1955 yılında Babcock, güneşin genel bir manyetik alana sahip olduğunu ispatlayarak, Babcock teorisini ortaya atmıştır. Güneş lekelerinin 11.1 yıllık çevriminin varlığı uzun zamanдан beri bilinmekteydi. Ancak bu çevrimin ne şekilde ortaya çıktığı bilinmiyordu. 1961 yılında Babcock, lekeler, lekelerin manyetik alanı ve leke çevrimi üzerine yaptığı çalışmalarından çıkardığı sonuçları yayınladı. Bugün Babcock teorisi olarak bilinen bu sonuçlar, güneş lekelerinin oluşumunu, lekelerdeki manyetik kutupluğun değişimini ve 11.1 yıllık leke çevrimini güneşin genel manyetik alanına bağlıyordu. Ancak lekelerin manyetik alanı güneşin genel manyetik alanından çok daha kuvvetli idi. Nasıl oluyor da zayıf bir genel manyetik alan, lekelerde kuvvetli bir manyetik alan meydana getirebiliyordu. Lekeler bilindiği gibi fotosferde görünen olaylardı, fotosferde konvektif bölgeen en üst sınırında bulunuyordu. O halde güneşin genel manyetik alanı fotosferde güçlenneli ve kendisini bir leke şeklinde göstermeliydi. Ancak genel manyetik alana ait kuvvet çizgileri güneşin fotosferinde çeşitli kuvvetlerden dolayı bir tedirginlige uğramamalıydı. Halbuki fotosfer türbülans hızlarının çok yüksek olduğu hareketli bir tabakadır. Bu nedenle en kararlı ve türbülans hızlarının son derece küçük olduğu konvektif bölgeen dibinde bir genel manyetik alan olabilirdi. Bu zayıf genel alanın kuvvet çizgileri başlangıçta güneşin kuzey-güney doğrultusunda yani güneş boyamlarına paralel olarak bulunmaliydi. Zayıf manyetik alan kuvvet çizgileri zamanla diferansiyel rotasyon tarafından sürüklenecekti. Böylece zaman içinde manyetik alan kuvvet çizgileri güneş ekvatoruna göre bir eğime sahip olacaktı, Şekil 1'deki gibi.

Başlangıçta zayıf olan kuvvet çizgileri diferansiyel rotasyon tarafından kendi üzerlerine sarılarak kuvvetlenerekler artık belli bir yarıçap'a sahip manyetik halat şeklini alacaklardır. Bunlara manyetik tüp de denilebilir. Örneğin başlangıçtan (Şekil 1a) üç yıllık bir süre sonra ekvator çevresi $+55^{\circ}$ enlemlerine göre 5.6 fazla dönme yapar. Bu manyetik kuvvet çizgilerinin kendi üzerlerine 5.6 defa sarılması demektir. Böylece konvektif bölgeen tabanında birçok manyetik halattan oluşan bir tabaka meydana gelir. Her manyetik halat, içinde bulunduğu konvektif bölgeye bir basınçla karşı koyar. Manyetik halat içindeki manyetik alan şiddetti, halatın dik kesitiyle ters orantılıdır. Bir manyetik akı tüpünün veya halatının içindeki ve dışındaki gaz basıncı P_i ve P_e ise, bu durumda

$$P_e = P_i + \frac{B^2}{8\pi}$$

dir. Burada $\frac{B^2}{8\pi}$ manyetik basınç terimi, daima pozitiftir. Dolayısıyla $P_e > P_i$ dir. Eğer tüp içi ile tüp dışı aynı



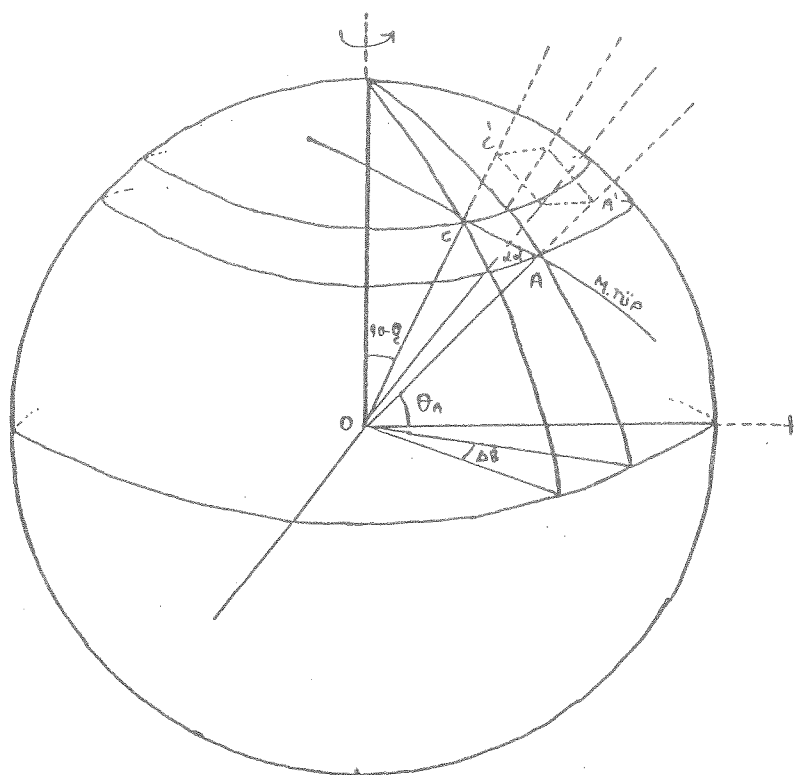
Şekil 1

- a) Bir leke çevrimi başlamadan 4-5 yıl öncesi 1 ile 60 Gauss arasındaki genel manyetik alan çizgilerinin konvektif bölgenin tabanındaki durumu.
- b) Konvektif bölgenin tabanında diferansiyel rotasyon tarafından sarılmış ve ekvatorla bir eğim yapmış olan manyetik kuvvet çizgileri.

sıcaklığa sahipseler, içerdeki yoğunluk dışardakinden küçüktür. Bundan dolayı manyetik aki tüpü yükselmek ister. Tüpün yükselmesi manyetik alan şiddetine bağlıdır. Tüp teki şiddet ne kadar büyük ise; yükselme, diğer aki tüplerine nazaran daha önce başlar. Yükselen manyetik aki tüpleri fotosferin altında kendilerini aktif bölgeler olarak gösterirler ve aki tüplerinin fotosferi kestiği noktalarda, gerekli manyetik şiddete sahipseler güneş lekeleri olarak görünürler. Ancak başlangıçta konvektif bölgenin dibinde gömülü halde bulunan manyetik aki tüplerindeki manyetik alan şiddeti tüp boyunca düzenli ve eşit şiddette olmayıpabilir. Konveksiyondan dolayı akışkanın (konvektif bölgedeki gaz) hareketinde meydana gelen bölgesel bozulmalar, tüpte kopolmalar, kırılmalar ve burulmalar meydana getirebilir. Bunun sonucu olarak manyetik alanda da bozulmalar ve rasgele yığılmalara meydana gelir. Şekil 2'de görüldüğü gibi konvektif bölgenin dibinde ekvatorla α eğim açısına sahip bir manyetik aki tüpünün bulunduğu varsayılsın. Bu tüpün farklı iki enlemdeki birim kesitlerinin konvektif bölge boyunca yükselmesi esnasında, başlangıç koordinatlarından olan kayma miktarlarının

ölçülmesi temel hedeftir. Bu iki kesitin birbirleriyle olan bağlantısındaki bölgesel bozulmalar dikkate alınmamıştır. Manyetik aki tüpünün güneş üzerindeki genel durumu da önemli değildir.

Babcock teorisi 11.1 yıllık leke çevrimini ve bazı olayları kısmen açıklayabilmektedir. Ancak güneşteki leke çevrimini, lekelerin yapısını ve genel manyetik alanın özelliklerini tam manasıyla ortaya koyan bir teori bugüne kadar yapılamamıştır. Bunun yerine bugün güneşteki olaylar ayrı ayrı incelenmektedir. Örneğin bir leke tek başına bir olay olarak ele alınmaktadır. İnceleme yöntemi ise oluşum ve gelişimi bir model ile göstermektir. Böyle bir leke modeli oluşturmak için ise detaylı bir konvektif bölge modeline ve çeşitli derinliklerdeki konvektif bölge parametrelerine ihtiyaç vardır. Bugün, Spruit'in (1974, 1977) konvektif bölge modeli bu tür çalışmalarada en çok kullanılan modeldir. Güneşte çeşitli konularda çalışanlar tarafından bu model esas alınmaktadır.



Şekil 2.
Konvektif bölgenin tabanında yatay manyetik aki tüpünün durumu ve ilkel eğim açısı.

Bu çalışmada da Spruit'in(1977) konvektif bölge modeli esas alınarak, leke gruplarının fotosferde görüldüğü andaki eğimlerine, coriolis kuvvetinin etkisinin araştırılması amaçlanmıştır. Araştırmanın yöntemi ise şöyle özetlenebilir:

Spruit'in konvektif bölge modelinin en alt sınırında (otosferden yaklaşık 19800km derinlikte) belli bir uzunlukta ve belli bir eğimde bir manyetik akı tüpü olduğu varsayılmıştır. Bu manyetik akı tüpünde birbirlerinden belli uzaklıklarda ve farklı enlemlerde iki kesit alınmıştır. Bu kesitlerin her birine birer tane dik koordinat sistemi yerleştirilmiştir. Koordinat sistemlerinin X eksenini güneş boyamlarına paralel ve güney doğrultusunda (güneşin kuzey yarımküresi için), Y eksenini güneş enlem çizgilerine paralel ve güneşin dönme yönünün ters yönünde, Z eksenini de güneş çekim ivmesine zıt yönde yani güneş yüzeyine dik almıştır. Manyetik akı tüpü fotosfere doğru harekete başlamadan evvel koordinat sistemlerinin orijinleri güneşin enlem ve boyamları cinsinden belirlenmiştir. Ayrıca iki koordinat sistemlerinin orijinlerini birleştiren doğrunun uzunluğu, bu doğrunun güneş ekvatoruya yaptığı açı hesaplanmıştır. Buna "ilkel eğim" denmiştir. Daha sonra manyetik akı tüpünün birim kesitleri koordinat sistemlerinin Z eksenini yönünde hareket ettirilmiştir. Çeşitli kuvvetlerin etkisinde kalan manyetik akı tüpü sonuçta zenit yönünde bir a ivmesiyle harekete başlar. Bu yükselme hareketi fotosfere kadar devam eder. Sonuçta manyetik akı tüpü üzerinde alınan bu iki kesit fotosferde iki kutuplu bir leke grubu meydana getirir. Bu leke grubunun uzanımı ve bu uzanının güneş ekvatoruya yaptığı eğim hesaplanır. Buna "gözlenen eğim" denir. Gözlenen eğim ile ilkel eğim arasında bir fark olmuştur. Bu farkı meydana getiren çeşitli etkenler vardır. Bunlardan bir tanesi ilkel eğimi küçültmeye çalışan diferansiyel rotasyondur. Çünkü güneşte alçak enlemler yüksek enlemlere nazaran daha büyük bir açısal hızı sahiptir. İkincisi ise ilkel eğimi büyütmeye çalışan coriolis kuvvetidir. Dikey haraketler için coriolis kuvvetinin güneş dönmesinin aksi yönündeki bileşeni küçük enlemlerde daha büyüktür.

Güneşte bu iki kutuplu leke grubu görünmeye başladığı an (yani manyetik akı tüpünün hesaplamalar için alınan kesitleri fotosfere geldiği zaman) yükselme durmuş demektir. Artık zenit yönünde bir hareket olmadığı için lekelere güneşin dönme yönünün ters istikametinde etki eden coriolis kuvveti sıfırlanmış olur. Bu noktadan itibaren leke grubunun eğimini değiştiren başlıca etken diferansiyel rotasyon ve lekelerin öz hareketleridir. Leke grubunun doğduğu andan kaybolana kadar geçen sürede diferansiyel rotasyon leke grubunun eğimini küçültür.

Evershed olayında lekeden çıkan gazlar sözkonusu koordinat sisteminin (otosferde leke merkezine kurulan koordinat sistemi) XY düzleminde bir gaz rüzgarına neden olursa da, bu hareketten dolayı oluşan coriolis kuvvetinin XY düzlemindeki bileşenleri bu düzlemede lekenin çok küçük

bir enlem kaymasına neden olur. Bu yatay coriolis kuvvetleri leke civarında girdap şeklinde bir gaz akımı oluştururlar. Lekelerdeki bu girdaplı gaz akımından dolayı oluşan enlem kaymasının leke grubu ilk gözleendiği andaki "gözlenen eğimine" etkisi son derece küçüktür.

Konvektif bölge dibindeki manyetik akı tüpü zenit yönünde hareket ederken, ilkel eğimi coriolis kuvveti ve diferansiyel rotasyonun etkisi ile değişecektir. Böylece tüpün hesaplamalar için alınan kesitleri fotosfere vardığındaki (leke oluştuğundaki) eğimi, ilkel eğimden farklı olacaktır. Bu eğim farkına coriolis kuvvetinin etki derecesinin saptanması, bu çalışmanın amacını oluşturmaktadır. Gözlenen eğimin değişimi ve leke gruplarının yok olana kadar yaptıkları enlem kayması bu çalışmanın içeriğine girmemektedir. Diferansiyel rotasyonun derinlik ile değişimi, bugün bile çözümlenmiş bir problem olmadığı için herhangi bir enlemdeki diferansiyel rotasyon hızı ilgili enlemede tüm derinlikler için (konvektif bölgede) aynı kabul edilmiştir. Amaç coriolis kuvvetinin etkisi olduğundan diğer kuvvetlerin etkisi, örneğin manyetik akı tüpünün elektrik alanından dolayı oluşan kuvvetler, ekvatoral sürüklene, viskozite kuvvetleri ve merkezkaç kuvvetleri dikkate alınmamıştır. Bunun sebebi bazı kuvvetlerin coriolis kuvvetinin yanında çok küçük kalmaları ve bazı kuvvetlerin hesabı için ise gerekli olan konvektif bölgeye ait kimi parametrelerin olmamasıdır.

Yapılan çalışmanın sonuçlarına geçmeden evvel Spruitin konvektif bölge modelinin çözümleri için izin verdiği sınırları belirtmek gerekmektedir. Çözümler sadece konvektif bölgeyi içermekte ve konvektif bölgenin üzerindeki yaklaşık 1250 km^2 lik bölgeyi kapsamamaktadır. Çözümlerde tüp yarıçapları ile manyetik şiddetleri uyumu tüm konvektif bölgeyi kapsayacak şekilde seçilmiştir. Ayrıca tüpün yükselmesi herhangi bir kesintiye uğratılmamıştır. Yani tüpün yükselmesi sürekliidir. Tüp modellerinin seçimi için şu olanaklar vardır:

a) Tüpçi ile konvektif bölge sıcaklığı aynı kabul edilerek çözümlere gidilirse manyetik şiddetler için sınırlar şu şekilde olmalıdır. Konvektif bölgenin en üst sınırında yaklaşık 1670 km^2 den küçük bir yarıçap'a sahip bir lekede manyetik şiddet enaz 527 Gauss, en fazla 1852 gauss olmalıdır. Bu sınırlar arasında bir lekeyi oluşturacak manyetik tüpün manyetik şiddeti ise konvektif bölgenin tabanında 1455 G ile 5150 G arasında olmalıdır. Eğer minimum değer olan 1455 G 'lık bir tüp konvektif bölgenin tabanından yükselmeye başlarsa, tüp konvektif bölgenin en üst sınırından yaklaşık 149200 km^2 lik bir derinlikte 9000 gaussluk bir şiddete sahip olmalıdır. Başlangıç manyetik şiddeti arttırıldıkça bu değerde artmaktadır. Ancak konvektif bölgenin tabanında herhangibir yarıçap'a sahip tüpün manyetik şiddeti $5150 \text{ gausstan da büyük olabilir}$. Fakat bu durumda bazı sorunlar oluşur. Tüpü harekete

zorlayan bir manyetik kaldırma kuvveti yine mevcuttur. Fakat tüpün yükselmesi sürekli değildir. Özellikle konvektif bölgenin üst katmanlarına doğru tüpün yükselme hızı düşmekte bazen sıfır olmaktadır. Bu noktada ise konvektif bölgenin türbulans basıncı, tüpün manyetik basıncından büyükse tüp dağılmaktadır. Eğer tüp, konvektif bölgenin en üstündeki granül bölgenin altında daha büyük boyutlu granül hücrelerin arakesitleri arasında bulunuyorsa, hücre arakesitleri arasında türbulans hareketler daha zayıf olduğundan, manyetik tüp kararlı yapısını koruyabilir. Böyle bir durumda tüp yarıçapında bir küçülmeye veya manyetik şiddetinde bir büyümeye olursa tüp tekrardan yükselmeye başlayabilir. Ancak bu çeşitli boyutlardaki granül hücrelerin arakesitleri arasındaki tüpün dinlenme zamanını tespit etmeye olanak yoktur. Böyle bir çalışmada (manyetik tüpün duraklayarak yükselmesi) için konvektif bölgedeki bütün granül hücrelerin boyutlarının ve hücre içlerindeki türbulans hızlarının bilinmesi gerekmektedir. Bu çalışmada konvektif bölgenin çeşitli boyutlarda granül hücrelerden olduğu varsayımlı dikkate alınmadığı için bütün çözümlerde sürekli bir yükselme sağlayacak şekilde çözüm gidilmiş ve yukarıdaki sınır şartlarının dışında bir çözüm aranmamıştır.

b) Tüpçinin konvektif bölgeden daha sıcak olduğu kabul edilerek yapılan çalışmalarda görülmüştür ki, iç sıcaklığının konvektif bölgeden fazla olması genellikle tüpün daha hızlı bir şekilde yükselmesine neden olmaktadır. Bu durumda tüpün yükselme hızının artmasıyla, tüpün parçalanma ihtimalide artmaktadır. Bu nedenle farklı sıcaklık şartı altında kararlı manyetik tüpler, manyetik şiddetlerine bağlı olarak başlangıç yarıçapları 1000 km'nin altında ise kararlı olabilmektedir.

c) Tüpçinin konvektif bölgeden daha soğuk olabileceği düşüncesiyle, böyle bir şart altında da çözüm aranmıştır. Örneğin 1455 gaussluk bir manyetik şiddetle ve tüpçinin konvektif bölgeden daha soğuk olduğu kabul edilerek bir çalışma yapılmış fakat uygun bir çözüm bulunamamıştır. Böyle bir durumda tüp yarıçaplarının ve manyetik şiddetlerinin çok büyük olması gerekmektedir. Ayrıca iç sıcaklığı belirleyecek bir yöntemde bulunamamıştır. Bu şart altında tüpün yükselmesi bir tek katmanda değil, konvektif bölgenin farklı katmanlarında kesilmekte yükselme hızı düşmekte ve sıfır olmaktadır. Tüp içini konvektif bölgeden daha soğuk kabul ederek yapılan çözümler Spruit'in konvektif bölge parametrelerine uymamaktadır. Bu nedenle en kararlı çözümler tüpçi ile konvektif bölge sıcaklığını eşit olarak alındığı durumdaki çözümlerdir. Böyle bir çözümde manyetik şiddetler için bir sınırlama varken, leke yarıçapları için ise herhangibir sınırlama yoktur. Ancak karşılaşılma yapabilmek için (eşit ve farklı sıcaklık durumlarında) çok büyük yarıçaplı lekeler ele alınmamıştır. Örnek 1'deki çözümler sadece eşit sıcaklık

altındaki çözümleri göstermektedir. Bu örneklerin farklı sıcaklık altındaki çözümleri ise sağlıklı olmamaktadır. Çünkü manyetik tüp konvektif bölgenin üstlerine doğru kararlı yapısını değiştirmekte ve dağılma eğilimi göstermektedir.

Yukarıdaki koşullar altında yapılan çözümlerden sonra elde edilen ilkel eğim ve gözlenen leke grubu eğimleriyle ilgili sonuçlar ise şöyledir:

Örneklerde gösterilen ilkel eğim ve gözlenen leke grubu eğim açıları, leke grubu ve tüp kesitlerinin bulunduğu düzleme dik doğrultuda bakıldığı zamanki değerlerdir. Bu çalışmada iki tüp kesiti birbirlerinden bağımsız olarak incelenmiştir. Bu nedenle örneklerde elde edilen yükselseme zamanları, ilgili çözüm şartları altında elde edilmesi gereken minimum sürelerdir. Yani çözümlerde elde edilen yükselseme süresinden daha az bir sürede yükselseme olamaz. Eğer tüp kesitleri aynı bir tüpün farklı enlemlerdeki kesitleriyse (yada tüpün tamamı hesaba katılırsa) yükselseme zamanını uzatan çeşitli faktörler işin içine girmektedir. Böyle bir durumda (tek bir tüp üzerinde çalışıldığında) tüpün eğrilik yarıçapından dolayı manyetik gerilim diye adlandırılan bir kuvvet daha ortaya çıkmaktadır. Bu kuvvet tüpün yükselmesini frenlemeye çalışacaktır. Ayrıca tüp içinde de bir konvektif akım mevcut olabileceği için tüp kendi ekseni etrafında bir burulma hareketi yapabilir. Böylece tüp (yatay tüp), içindeki gazların hareketi nedeniyle silindir şeklindeki görünümünden uzaklaşır, kesiti bir elips olan basık silindir şeklini alır. Sonuçta bu gibi değişimler aynı konvektif bölge derinliğinde manyetik tüp boyunca tüpün yarıçapının değişimine neden olmakta ve tüpün parçalanma ihtimalini artırmaktadır.

Bu çalışmada sadece manyetik tüpün zenit yönündeki hareketi incelenmiştir ve şu sonuçlar elde edilmiştir:

- 1) Herhangibir tüp kesiti için coriolis kuvvetinin etkisi küçük enlemlerden büyük enlemlere doğru azalmaktadır.
- 2) Bir ilkel eğimin değişimine coriolis kuvveti ve diferansiyel rotasyon birlikte etki etmektedir. Diferansiyel rotasyon devamlı olarak ilkel eğimi küçültmeye çalışmaktadır.

3) Bir leke grubunu oluşturacak tüp kesitlerinin konvektif bölge içinde yükselmesi sırasında oluşan coriolis kuvvetleri ise ilgili derinlikteki ilkel eğimleri daima büyütme eğilimindedir.

4) Bir leke grubunun ön ve arka lekelerinin doğuşları arasındaki zaman farkı küçükse, leke grubunun gözlenen eğimi, konvektif bölgenin tabanındaki ilkel eğimden büyük olabilir. Lekelerin doğuşları arasındaki zaman farkı gözlenen leke grubu eğimlerinde önemli bir rol oynamaktadır.

5) Lekelerin doğuşları arasındaki zaman farkı büyük olursa, gözlenen leke grubu eğimi daha küçük olmaktadır. Bu durumda coriolis kuvvetinin etkisi diferansiyel rotasyondan daha fazladır. ve her ikiside gözlenen leke grubu eğimini küçültür.

6) Bir manyetik tüpe etki eden kaldırma kuvveti, tüpün manyetik şiddetine ve yarıçapına bağlıdır. Ancak yarıçap, manyetik şiddete göre daha az etkilidir.

7) Bir manyetik tüpün yarıçapı küçüldükçe kararlı olma ihtiyalî artmaktadır.

8) Spruit'in konvektif bölge modeli kullanıldığında manyetik tüplerin sürekli yükselmesi için tüp yarıçap ve manyetik şiddetlerinde sınırlandırmalar ortaya çıkmaktadır. Bu sınırlar dışında bir tüp için sürekli yükselme durumu ortadan kalktıgından manyetik tüpün yükselmesinin durduğu bölgeler, konvektif bölgedeki dev granül hücre arakesitleri olarak düşünülebilir. Böylece konvektif bölgede bazı derinliklerde türbülans basıncı yeterince düşüğünden, dev granül hücre arakesitleri arasında yeni manyetik tüpler meydana gelebilir.

9) Konvektif bölgedeki türbülans basıncı dikkate alınmadan yapılan çözümler sağlıklı olmamaktadır. Bu çalışmada konvektif bölgenin gaz basıncı ve türbülans basıncı dikkate alınarak çözümlere gidilmiştir. Sıcaklığın derinlikle arttığı düşünülürse, konvektif bölgenin derinliklerinde elektron basıncı büyük rol oynamaktadır. Elektron basıncında içine alın çözümlerde daha güçlü manyetik şiddete sahip tüpler elde edilebilir.

Sonuç olarak, bir leke grubunun ilk doğduğu andaki gözlenen eğimine coriolis kuvvetinin etkisi, leke grubundaki lekelerin doğuş süreleri arasındaki zaman farkına göre değişmektedir. Tüp kesitlerinin fotosfere varış hızları arttıkça coriolis kuvvetinin etkisi artmaktadır. Lekeler arasındaki enlem farkında coriolis kuvvetinin etkisini artırmaktadır.

KAYNAKLAR

- BABCOCK, H. W.: 1961, *Astrophys. J.* 133, 572
 PARKER, E. N.: 1976, *Astrophys. J.* 204, 259
 PARKER, E. N.: 1979, *Cosmical Magnetic Fields*, Clarendon Press, Oxford.
 SCHÜSSLER, M.: 1977, *Astron. Astrophys.* 56, 439
 SCHÜSSLER, M.: 1979, *Astron. Astrophys.* 71, 79
 SCHÜSSLER, M.: 1980, *Astron. Astrophys.* 89, 26
 SPRUIT, H. C.: 1974, *Solar Phys.* 34, 277
 SPRUIT, H. C.: 1976, *Solar Phys.* 50, 269
 SPRUIT, H. C.: 1977, *Ph.D. Thesis. Utrecht*.
 WELLS, D. A.: 1967, *Lagrangian Dynamics*, McGraw-Hill B. Com.

C. İBANOĞLU: Güneşte turbulans hareketi için 29 günlük bir dönem verdiniz değil mi? RS CVn yıldızlarında, güneş benzeri yıldızlarda bu hareket için üç değişik çalışma ve konvektif hareket için de üç değişik teorik çalışma var ve turbulans 20-21 gün. Arada çok büyük bir fark var. Acaba onlarda konvektif bölge çok daha sık mı?

H. GULSEÇEN: Bir konvektif bölge modeli yapılrken mixing length'in seçimi son derece önemli. Onu değiştirdikçe turbulans süresi de değişir. Bu yapılanlarda üç değişik mixing length modeli düşünülmüş. Şu anda hangisinin kullanıldığını ben de hatırlıyorum. 29 günlük bir süre bana esasında az geliyor. Daha yüksek olması lazım.

O. DEMİRCAN: Ben önce güzel bir çalışma olduğunu söyleyeyim. Bu çalışmalarla olayların fiziğini daha iyi anlayacağım. Konvektif çevrim tamamen yıldızın H-R diyagramındaki yeri ile ilgili. Hatta çevrimin yönü bile yıldızdan yıldıza farklı. Konvektif çevrimin süresinde yıldızın çift yıldız bileşeni olup olmaması da çok fazla etkilidir.

M. ÖZEL: Siz modelde magnetik alanın değerini 1457.7 Gauss olarak veriyorsunuz. Gerçekten model bu kadar duyarlı mı? Yani 1458 yada 1500 demek daha doğal değil mi?

H. GULSEÇEN: Magnetik kaldırma kuvvetinin turbulans basincını yenmesi gereklidir. Yani bu oradaki turbulans basincına karşılık gelen magnetik şiddettir.

M. ÖZEL: Yani 1457 degilde 1400 Gauss deseniz daha iyi.

H. GULSEÇEN: Tabii olabilir.

H. KIRBIYIK: Ben de Osman beye katılıyorum, çok güzel bir çalışma. Ancak bir hatırlatmadan bulunmak istiyorum. Kullandığınız modeli Türkiye'de de bulabilirsiniz ve hatta geliştirebilirsiniz. ODTÜ'de benim bildiğim kadarı ile sizin için kullanılabilcek güneş modellerimiz var. Sayın Eryurt-Kızılıoğlu'nun çalışmalarının olduğunu biliyorum. Bunun da ötesinde bilmiyorum kullanığınız modelde dönme evriye dahil edilmiş midir? Bir sonrası, belki çalışmanızın daha gelişmiş şekli, dönme de dahil edilerek modele, konvektif bölgedeki yapı hakkında daha sağlıklı bilgi edinebilirsiniz. İkinci bir şeyi ihmali ediyorsunuz, onları kontrol edebilirsiniz. Meridyensel strüktürlemeyi ihmali ettik dediniz, eğer konvektif altüst olma zamanını veya madde hücresinin hızını biliyorsanız, meridyensel dolanım hızını da biliyorsunuz. Oradan biraz ihmali edilebiliyor olduğunu bulabilirsiniz.

H. GULSEÇEN: Amaç tüpü kendi ekseni etrafında döndürmemektir. Çünkü o zaman manyetik çizgilerde bir burulma meydana gelecektir. İşin içine Lorentz kuvvetleri girecektir, elektrik alan girecektir. Amaç o yüklerden kurtulmak olduğu için ihmali edildi.

ÖRNEK ÇÖZÜM 1a

KONVEKTİF BÖLGENİN TABANINDA
MANYETİK AKI TÜPÜ
TCKOND = TCTÜP)

A KESİTİ

ENLEM	:	20°	:	22°
BOYLM	:	35°	:	30°
YARIÇAP	:	5000 Km.	:	5000 Km.
MAN. ŞİDDET	:	1924 Gauss	:	1782 Gauss
İLKEL EĞİM	:	23°11' 57.3		

C KESİTİ

FOTOSFERDEKİ LEKE GRUBU

ÖN LEKE

ARKA LEKE

ENLEM	:	20°	:	22°
BOYLM	:	34°17' 11.8	:	29°13' 07.53
YARIÇAP	:	8311 Km.	:	8311 Km.
MAN. ŞİDDET	:	697 Gauss	:	645 Gauss
VARIŞ HIZI	:	0.887 Km/sn.	:	0.820 Km/sn.
ÖN LEKENİN YÜKSELME SÜRESİ:		57 gün, 09 saat, 33 dak, 23 sn.		
ARKA LEKENİN YÜKS. SÜRESİ :		61 gün, 23 saat, 55 dak, 52 sa.		
ZAMAN FARKI	:	4 gün, 14 saat, 22 dak, 29 sn.		
YÜKSEKLİK EĞİM AÇISI	:	58°54' 48.0		
GÖZLENEN LEKE GRUBU EĞİMİ (Cor. Kuv+Dif. Rot.)	:	22°55' 15.6		
GÖZLENEN LEKE GRUBU EĞİMİ (Dif. Rot.)	:	23°03' 42.58		

ÖRNEK ÇÖZÜM 1b

KONVEKTİF BÖLGENİN TABANINDA
MANYETİK AKI TÜPÜ
TCKOND = TCTÜP)

A KESİTİ

ENLEM	:	20°	:	22°
BOYLM	:	35°	:	30°
YARIÇAP	:	1500 Km.	:	1500
MAN. ŞİDDET	:	3780 Gauss	:	3709 Gauss
İLKEL EĞİM	:	23°11' 57.3		

C KESİTİ

FOTOSFERDEKİ LEKE GRUBU

ÖN LEKE

ARKA LEKE

ENLEM	:	20°	:	22°
BOYLM	:	34°38' 19.2	:	29°37' 58.5
YARIÇAP	:	2493 Km.	:	2493 Km.
MAN. ŞİDDET	:	1368 Gauss	:	1342 Gauss
VARIŞ HIZI	:	7.647 Km/sn.	:	3.983 Km/sn.
ÖN LEKENİN YÜKSELME SÜRESİ:		29 gün, 04 saat, 48 dak, 26 sn		
ARKA LEKENİN YÜKS. SÜRESİ :		29 gün, 18 saat, 09 dak, 30 sn		
ZAMAN FARKI	:	13 saat, 21 dak, 4 sn.		
YÜKSEKLİK EĞİM AÇISI	:	33°40' 29.0		
GÖZLENEN LEKE GRUBU EĞİMİ (Cor. Kuv+Dif. Rot.)	:	23°10' 31.7		
GÖZLENEN LEKE GRUBU EĞİMİ (Dif. Rot.)	:	23°07' 59.2		

ÖRNEK ÇÖZÜM 2a

KONVEKTİF BÖLGENİN TABANINDA
 MANYETİK AKI TÜPÜ
 TCKOND = TC(TÜP)

	A KESİTİ	C KESİTİ
ENLEM	: 25°	: 27°
BOYLAM	: 40°	: 30°
YARIÇAP	: 480 Km.	: 480 Km.
MAN. ŞİDDET	: 3779 Gauss	: 3709 Gauss
İLKEL EĞİM	: 12°33'10.3	

FOTOSFERDEKİ LEKE GRUBU
 ÖN LEKE ARKA LEKE

ENLEM	: 25°	: 27°
BOYLAM	: 39°39'07.77	: 29°38'49.7
YARIÇAP	: 798 Km.	: 798 Km.
MAN. ŞİDDET	: 1368 Gauss	: 1342 Gauss
VARIŞ HIZI	: 9.420 Km/sn.	: 5.710 Km/sn.
ÖN LEKENİN YÜKSELME SÜRESİ	: 29 gün, 04 saat, 42 dak, 48 sn	
ARKA LEKENİN YÜKS. SÜRESİ	: 29 gün, 18 saat, 03 dak, 42 sn	
ZAMAN FARKI	: 13 saat, 20 dak, 58 sn.	
YÜKSEKLİK EĞİM AÇISI	: 20°11'26.7	
GÖZLENEN LEKE GRUBU EĞİMİ (Cor. Kuv+Dif. Rot.)	: 12°32'48.5	
GÖZLENEN LEKE GRUBU EĞİMİ (Dif. Rot.)		: 12°31'38.2

KONVEKTİF BÖLGENİN TABANINDA
 MANYETİK AKI TÜPÜ
 TCKOND < TC(TÜP)

	A KESİTİ	C KESİTİ
ENLEM	: 25°	: 27°
BOYLAM	: 40°	: 30°
YARIÇAP	: 480 Km.	: 480 Km.
MAN. ŞİDDET	: 3779 Gauss	: 3709 Gauss
İLKEL EĞİM	: 12°33'10.3	

FOTOSFERDEKİ LEKE GRUBU
 ÖN LEKE ARKA LEKE

ENLEM	: 25°	: 27°
BOYLAM	: 39°39'09.27	: 29°38'55.7
YARIÇAP	: 798 Km.	: 798 Km.
MAN. ŞİDDET	: 1368 Gauss	: 1342 Gauss
VARIŞ HIZI	: 10.266 Km/sn.	: 6.074 Km/sn.
ÖN LEKENİN YÜKSELME SÜRESİ	: 29 gün, 11 saat, 40 dak, 49 sn	
ARKA LEKENİN YÜKS. SÜRESİ	: 30 gün, 00 saat, 25 dak, 58 sn	
ZAMAN FARKI	: 12 saat, 45 dak, 9 sn.	
YÜKSEKLİK EĞİM AÇISI	: 21°07'49.05	
GÖZLENEN LEKE GRUBU EĞİMİ (Cor. Kuv+Dif. Rot.)	: 21°32'05.9	
GÖZLENEN LEKE GRUBU EĞİMİ (Dif. Rot.)		: 12°31'37.4

ÖRNEK ÇÖZÜM 2b

KONVEKTİF BÖLGENİN TABANINDA
 MANYETİK AKI TÜPÜ
 TCKOND = T(TÜP)

A KESİTİ C KESİTİ

ENLEM	: 30°	: 32°
BOYLAM	: 40°	: 30°
YARIÇAP	: 800 Km.	: 800 Km.
MAN. ŞİDDET	: 3637 Gauss	: 3412 Gauss
İLKEL EĞİM	: $13^{\circ}08'17.76$	

FOTOSFERDEKİ LEKE GRUBU
 ÖN LEKE ARKA LEKE

ENLEM	: 30°	: 32°
BOYLAM	: $39^{\circ}38'02.83$: $29^{\circ}36'27.7$
YARIÇAP	: 1330 Km.	: 1330 Km.
MAN. ŞİDDET	: 1316 Gauss	: 1235 Gauss
VARIŞ HIZI	: 4.884 Km/sn.	: 4.043 Km/sn.
ÖN LEKENİN YÜKSELME SÜRESİ	: 30 gün, 08 saat, 13 dak, 44 sn	
ARKA LEKENİN YÜKS. SÜRESİ	: 32 gün, 08 saat, 17 dak, 42 sn	
ZAMAN FARKI	: 2 gün, 0 saat, 3 dak, 58 sn	
YÜKSEKLİK EĞİM AÇISI	: $39^{\circ}55'11.3$	
GÖZLENEN LEKE GRUBU EĞİMİ(Cor. Kuv+Dif. Rot.)	: $13^{\circ}08'17.31$	
GÖZLENEN LEKE GRUBU EĞİMİ(Dif. Rot.)		: $13^{\circ}08'06.17$

KONVEKTİF BÖLGENİN TABANINDA
 MANYETİK AKI TÜPÜ
 TCKOND < T(TÜP)

A KESİTİ C KESİTİ

ENLEM	: 30°	: 32°
BOYLAM	: 40°	: 30°
YARIÇAP	: 800 Km.	: 800 Km.
MAN. ŞİDDET	: 3637 Gauss	: 3412 Gauss
İLKEL EĞİM	: $13^{\circ}08'17.76$	

FOTOSFERDEKİ LEKE GRUBU
 ÖN LEKE ARKA LEKE

ENLEM	: 30°	: 32°
BOYLAM	: $39^{\circ}38'13.8$: $29^{\circ}36'58.1$
YARIÇAP	: 1330 Km.	: 1330 Km.
MAN. ŞİDDET	: 1316 Gauss	: 1235 Gauss
VARIŞ HIZI	: 5.251 Km/sn.	: 4.326 Km/sn.
ÖN LEKENİN YÜKSELME SÜRESİ	: 30 gün, 13 saat, 55 dak, 55 sn	
ARKA LEKENİN YÜKS. SÜRESİ	: 32 gün, 11 saat, 28 dak	
ZAMAN FARKI	: 1 gün, 21 saat, 32 dak, 05 sn	
YÜKSEKLİK EĞİM AÇISI	: $40^{\circ}50'29.2$	
GÖZLENEN LEKE GRUBU EĞİMİ(Cor. Kuv+Dif. Rot.)	: $13^{\circ}08'41.94$	
GÖZLENEN LEKE GRUBU EĞİMİ(Dif. Rot.)		: $13^{\circ}08'05.61$

ÖRNEK ÇÖZÜM 2c

KONVEKTİF BÖLGENİN TABANINDA
MANYETİK AKI TÜPÜ
 $T_{CKOND} = T_{CTÜP}$

A KESİTİ

ENLEM	: 30°
BOYLM	: 90°
YARIÇAP	: 100 Km
MAN. ŞİDDET	: 1455 Gauss
İLKEL EĞİM	: $30^{\circ}40' 53.94$

C KESİTİ

: 35°
: 80°
: 1000 Km
: 1455 Gauss

FOTOSFERDEKİ LEKE GRUBU

ÖN LEKE

ARKA LEKE

ENLEM	: 30°	: 35°
BOYLM	: $89^{\circ}06' 34.65$: $79^{\circ}07' 32.47$
YARIÇAP	: 166 Km.	: 1662 Km.
MAN. ŞİDDET	: 527 Gauss	: 527 Gauss
VARIŞ HIZI	: 3.430 Km/sn.	: 1.653 Km/sn.
ÖN LEKENİN YÜKSELME SÜRESİ	: 75 gün, 20 saat, 28 dak, 28 sn	
ARKA LEKENİN YÜKS. SÜRESİ	: 75 gün, 20 saat, 36 dak, 36 sn	
ZAMAN FARKI	: 08 dak, 08 sn.	
YÜKSEKLİK EĞİM AÇISI	: $00^{\circ}18' 46.94$	
GÖZLENEN LEKE GRUBU EĞİMİ (Cor. Kuv+Dif. Rot.)	: $30^{\circ}43' 19.4$	
GÖZLENEN LEKE GRUBU EĞİMİ (Dif. Rot.)		: $30^{\circ}14' 04.9$

KONVEKTİF BÖLGENİN TABANINDA
MANYETİK AKI TÜPÜ
 $T_{CKOND} < T_{CTÜP}$

A KESİTİ

ENLEM	: 30°
BOYLM	: 90°
YARIÇAP	: 100 Km.
MAN. ŞİDDET	: 1455 Gauss
İLKEL EĞİM	: $30^{\circ}40' 53.94$

C KESİTİ

: 35°
: 80°
: 1000 Km.
: 1455 Gauss

FOTOSFERDEKİ LEKE GRUBU

ÖN LEKE

ARKA LEKE

ENLEM	: 30°	: 35°
BOYLM	: $89^{\circ}20' 43.1$: $79^{\circ}21' 25.7$
YARIÇAP	: 166 Km.	: 1662 Km.
MAN. ŞİDDET	: 527 Gauss	: 527 Gauss
VARIŞ HIZI	: 5.902 Km/sn.	: 2.312 Km/sn.
ÖN LEKENİN YÜKSELME SÜRESİ	: 69 gün, 21 saat, 15 dak, 29 sn	
ARKA LEKENİN YÜKS. SÜRESİ	: 69 gün, 21 saat, 21 dak, 17 sn	
ZAMAN FARKI	: 05 dak, 48 sn.	
YÜKSEKLİK EĞİM AÇISI	: $00^{\circ}24' 52.87$	
GÖZLENEN LEKE GRUBU EĞİMİ (Cor. Kuv+Dif. Rot.)	: $30^{\circ}42' 40.9$	
GÖZLENEN LEKE GRUBU EĞİMİ (Dif. Rot.)		: $30^{\circ}16' 09.9$

FOTOMETRİK GÖZLEMLER, İNDİRGENMESİ ve DEĞERLENDİRİLMESİ

Prof. Dr. Necdet Güdür
 E.Ü. Fen Fakültesi
 Astronomi ve Uzay Bilimleri Bölümü
 Bornova - İzmir.

1. TARİHÇE
2. ÖRNEK BİR FOTOMETRE
3. TELESKOP
4. GÖZLEM TEKNİĞİ
5. ALETSEL PARLAKLIK ve RENK ÖLÇEĞİ
6. İNDİRGENME
- 6.1. ATMOSFER SÖNÜKLEŞTİRME DÜZELTMESİ
- 6.2. GÖZLEM ZAMANININ İNDİRGENMESİ
7. STANDARD PARLAKLIKLAR ve RENKLER
8. FOTOELEKTRİK FOTOMETRİDEKİ GELİŞMELER
 KAYNAKLAR

1. TARİHÇE

Yıldızların görünen parlaklıkları birbirinden çok farklıdır. Bu farklılığı teleskop ve fotometreler olmadan çiplak gözle de görebiliriz. Bu nedenle, teleskoptan çok daha önceleri, yıldızları görünen parlaklıklarına göre sınıflandırma işlemleri yapılmıştır. Günümüzden 2000 yıl kadar önce Hipparchus, çiplak gözle görülebilen yıldızları altı sınıfa ayırmış ve içinde 1000 den fazla yıldız bulunan bir katolog hazırlamıştı. M.S. 180 yıllarında Claudius, Ptolemy ve Hipparchus'un çalışmalarını geliştirerek parlaklıklar için "Kadir" birimini kullanmıştır. N.R. Pogson, 1856 yılında, daha önce Herschel'in bulduğu ve 1.kadirle 6. kadirden iki yıldızın ışık akıları arasında 100 kat fark olduğu sonucunu onaylamıştır. Yani,

$$m_2 - m_1 = 5^{\text{m}} \text{ lik fark için } F_1/F_2 = 100,$$

$$m_2 - m_1 = 1^{\text{m}} \text{ lik fark için } F_1/F_2 = 100^{1/5} = 10^{2/5} = 2.512$$

olmaktadır. Böylece, genel olarak,

$$\frac{F_1}{F_2} = (10^{2/5})^{m_2 - m_1} \dots \dots \dots \quad (1)$$

veya logaritma alınarak,

$$m_1 - m_2 = -2.5 \log \frac{F_1}{F_2} \dots \dots \dots \quad (2)$$

birimindeki "Pogson formülü" yazılabilmektedir. Bu denklem bize,

eşit parlaklık farklarının eşit aki oranlarına karşılık geldiğini göstermektedir. İnsan gözü, genel olarak, yakın iki yıldızın parlaklık farkını $0^m.2$ e kadar fark edebilmektedir. Nitekim, 19.yüzyıl başlarında Alman Astronom Argelander, geliştirdiği bir yöntemle görsel olarak birçok değişen yıldız keşfetmiştir. Zöllner ise yapay bir değişen yıldız kullanarak duyarlığı $0^m.1$ kadar düşürmüştür(bkz. Miczaika and Sinton,1961).

Harward Üniversitesinde Bond(1850), fotoğrafçılığı ışıkölçümeye uygulamıştır. Yöntemin yanılıgısı $0^m.02$ mertebesinde olup günümüzde halen kullanılmaktadır. Yanılıgı biraz büyük olmakla birlikte, bir pozda plak üzerinde binlerce yıldızın kaydedilmesi büyük bir avantajdır.

19.yüzyılın sonlarına doğru, fotoelektrik yöntemle yıldız parlaklıklarının ölçülmeye başlanması, Astronomide yeni bir dönem başlattı denilebilir. Bu konudaki ilk çalışmalar örnek olarak Minchin(1895)'nin Selenuum fotoiletken hücreler kullanarak yaptığı fotometreyi, Stebbins ve Brown(1907)'in katkılarını verebiliyoruz. Stebbins(1910), bu yolla Algolün yeni bir ışık eğrisini elde etmiştir. Bu eğriyle, daha önce görsel olarak gözlenemiyen, sığ bir yan minimum olduğu ortaya çıkmıştır. Daha sonraları Whitford(1932), elektronik yükselticileri kullanarak yeni gelişmeler sağlamıştır. Yine, Whitford ve Kron(1937), fotokatlandırıcı tüp kullanmışlardır. RCA firması ikinci Dünya Savaşı sırasında fotokatlandırıcı tüpleri geliştirerek 931 ve 1P21 tüplerini yapmışlardır. Bu fotokatlandırıcı tüpler ilk kez Kron(1946) tarafından astronomide kullanılmıştır.

Son yıllarda, değişik filtre kombinezonları ve yeni fotokatlandırıcı tüpler yapılarak yakın moröteden yakın kırmızıöteye kadar ölçümler yapılır duruma gelmiştir.

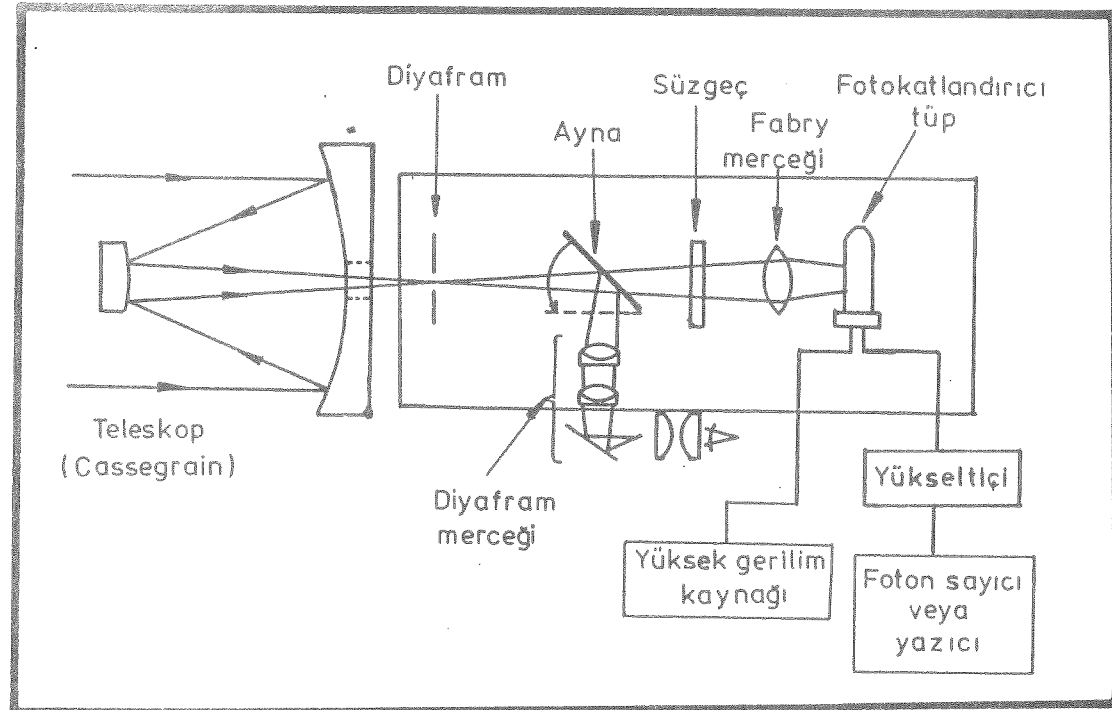
2. ÖRNEK BİR FOTOMETRE

Herhangibir fotometrenin kalbi "ışık dedektörü" dür. Bu araç için, yüzeyine gelen ışık akısıyla orantılı olarak elektrik akımı üreten alet tanımını yapabiliriz. Dedektörün çıkışındaki elektrik akımı bir yazıcıya veya foton sayıcıya verilmeden önce bir yükselticiyle yükseltilir. Şekil 1 de bir fotoelektrik fotometrenin belli başlı parçalarını görüyoruz.

Şekildeki ışık dedektörü fotokatlandırıcı tüptür. Teloskop ve fotometre kafası ölçekli olmayıp kafa ve içindeki parçalar büyütülerek çizilmiştir.

Kafa içinfeki ilk parça dairesel bir "diyafram"dır. Görevi, gözlenen yıldızı çevreleyen küçük bir bölge dışındaki gökyüzü parlaklığını dışarıda tutmaktır. Fakat yine de gözlemlerde yıldızla birlikte diyaframa giren gökyüzü parlaklığını da ölçüldüğü için bu parlaklık ayrıca ölçülerek yıldızın ölçümlerinden çıkarılır. Gökyüzü parlaklığının etkisini en aza indirmek için elden geldiğince küçük diyafram seçilir. Diyafram teloskopun odağındadır.

İkinci parça, "diyaframı görme düzeneği"dir. Bu bölüm, haraketli bir ayna, iki mercek ve bir göz merceğiinden oluşur. Bu bölümün görevi, gözleminin, yıldızı diyaframda uygun şekilde ortalamasını sağlamaktır. Yıldızın görüntüsü ortalanınca, bir anahtar yardımıyla ayna indirilerek ışık süzgece gönderilir.



Sekil 1. Örnek bir fotometre.

Üçüncü parça "süzgeçler"dir. Süzgecin seçimi ölçüm yapılacak tayf bölgесine ve amaca göre yapılır.

Dördüncü parça "Fabry merceği" dir. Bu basit mercek çok önemli olup süzgeçten geçen ışığı dedektör üzerine hep aynı noktaya düşürmek için kullanılır. Fotokatlandırıcı tüplerin yüzeylerinin her yeri ışığa karşı eş duyarlılıkta yapılamadığından her seferinde ışığın hep aynı noktaya düşürülmesine çok dikkat edilir. Aksi halde ölçümlerde yanılıgı olur.

Fotometre kafasındaki son parça "fotokatlandırıcı tüp"tür. Genel olarak tüp, çevre ışıklarından korunmuş, soğutulmuş ve manyetik koruyucu ile kaplı özel bir bölmede bulunur.

3. TELESKOP

Her teleskop fotometre için tam uygun olmayabilir. Odak düzlemine konacak olan fotometre kafasını taşıyabilmelidir. Soğutulmamış dedektör içeren en basit bir fotometre kafası bile 4-5 kg ağırlığındadır. Teleskop, bu yükü taşıyabilecek şekilde dengeleştirilmeli ve yıldızı düzgün olarak izleyecek yeterli bir güdücü mekanizmasına sahip olmalıdır. Aniden ortaya çıkacak şiddetli rüzgarlardan ve binanın sarsıntılarından etkilenmeyecek sağlam bir kurgusu bulunmalıdır.

Teleskopun her iki ekseni için de yavaş yönlendirme(ince haraket) olanakları olmalıdır. Hatta bunların motorize edilerek tek elle yönetilebilir durumda olmaları çok uygun olur.

Optik teleskoplarda odak oranının büyük olması tercih edilir. Çünkü küçük odak oranı ya da F- oranı, kafa içinde çok hızlı yayılan ışık konisi oluşturur. Bu durumda da parçaları birbirine

çok yakın yerleştirmek zorunluluğu doğar. En çok önerilen F-oranı 8 ya da daha büyük olanlarıdır. Örneğin, Ege Üniversitesi Rasathanesindeki 48 cm lik Cassegrain teleskopun F-oranı 13'dür. Büyük F-oranının başka bir avantajı da diyafram açıklığının elden geldiğince küçük tutulabilmesidir. Teleskopun odak düzlemine diyafram yerleştirebilmelidir.

Merceklilere oranla aynalı teleskoplar daha çok tercih edilmektedir. Çünkü mercekliler morötesi ışığı geçirmezler ve UBV düzeneğinin U süzgecinde gözlemler yapılamaz. Ancak, aynalı teleskopların kaplamaları da çoğu kez silikon monoksit içerir. Kaplama eskidikçe SiO , SiO_2 ye dönüşür ve moröte ışığı yansıtma兹. Bu nedenle, kaplama her zaman taze tutulmalı veya U da ölçüm yapılmamalıdır.

4. GÖZLEM TEKNİĞİ

Herhangibir yıldız fotoelektrik fotometre düzeneği ile gözlenirken genel olarak aşağıdaki yol izlenmelidir:

4.1. Bir "bölge haritası" yapılmalıdır. Parlak Yıldızları gökyüzünde bulmak kolaydır. Sönüük yıldızlara doğru gidildikçe bulma işlemi zorlaşır. Bir yıldızın tanınması ya da tanıtılması da bölge haritalarıyla yapılır. Gözlenecek yıldızın parlaklığına ve teleskop düzeneğinin durumuna göre bölge haritası uygun atlaslardan yararlanılarak elde edilir. Örneğin 9^m ve 10^m parlaklığında yıldızlar için: Bonner Atlası(BD), Cordoba Atlası(CD), Atlas Borealis, Eclipticalis and Australis gibi atlaslar kullanılabilir. 9^m den daha sünük yıldızlar için fotoğrafik atlaslardan yararlanılır(bkz. Henden and Kaitchuck,1982, p. 203). Bölge haritasının teleskoptaki görüntüye uygun olması tercih edilmelidir. Genellikle, harita ile teloskoptaki manzara birbirinin tersi olur. Bu durumda bölge haritası geçirgen saydam bir kağıda çizilmeli ve tersinden bakılmalıdır. Bölge haritası üzerinde koordinatların yönü ve ölçüği belirtilmelidir. En kullanışlı haritalar, fotoğrafik atlasların negatif kopyalarıdır. Bunun yanında, ilgilenilen yıldızla ilgili olarak yayınlanmış bölge haritaları varsa onlardan da yararlanılabilir. Örneğin, 10^m.5 den daha parlak değişen yıldızların bölge haritaları AAVSO Variable Star Atlas adıyla American Association of Variable Stars Observers tarafından yayınlanmıştır. Bu konuda en geniş kaynak GCVS(General Catalogue of Variable Stars,1983) dir.

4.2. Uygun bir "mukayese yıldızı" seçilmelidir. Bu seçim şöyleden faydalari vardır:

a) İki yıldızı da eşdeğerde etkilediği için atmosferdeki yavaş değişimlerin etkisi ayıklanmış olur.

b) Birinci mertebeden sökükleştirme düzeltmeleri iki yıldız için de yaklaşık olarak aynı mertebeden olup fark ışıkölçümünde önemsiz olur. Ancak, mukayese yıldızının parlaklığını standard sisteme dönüştürecek sek sökükleştirme düzeltmesi önem kazanır.

c) Eğer başka gözlemcilerle aynı mukayese yıldızı kullanılmışsa sıfır noktası farklı ortadan kalkar.

d) Eğer değişen ile mukayese yıldızı aynı renkte iseler dönüşüm denklemlerindeki yanılıqların etkisi daha da azalır.

e) Eğer değişene yakın parlaklıktaki bir mukayese yıldızı kullanılmış ise fotometrede her ikisini de aynı kazanç basamağın-

da gözlemek mümkün olabilir.

f) Farklı hava kütlelerinde ölçümler yapıldıysa ikinci merkebeden sökükleştirme katkısı da otomatik olarak gözönüne alınabilir.

g) Fark ışıkölçümü yardımıyla gözlem yanılıgısı $0^m.01$ den daha küçük yapılabılır. Bu durum düşük genlikli değişen yıldız gözlemlerinde önemlidir. Ayrıca, bu özellikler mukayese yıldızının seçim kurallarını da belirlemektedir. 10^m den daha parlak yıldızlarda, benzer renkte bir mukayese yıldızı bulmada Henry Draper(HD) katoloğu kullanılabilir. Eğer katologlardan ve literatürden yakın renkte ve paralalıkta bir mukayese yıldızı bulunamazsa program yıldızının çevresindeki yıldızlardan deneme yoluyla kendimiz uygun bir yıldız bulabiliyoruz. Genellikle, birisi "denetleme yıldızı" olmak üzere iki tane mukayese seçilmelidir. Mukayesinin, denet yıldızına göre parlaklığı, gece boyunca birkaç kez ölçülmeli ve sabit kalıp kalmadığına bakılmalıdır. Gecelik yanılıgı $0^m.02$ den küçük olmalıdır. Herhangibir süzgeçte elde edilecek bir gözlem noktası için genelde şöyle bir sıra izlenmesi önerilir:

1. Gök
2. Mukayese
3. Değişen
4. Değişen
5. Mukayese
6. Gök

Daha sonra, değerlendirmede 3 ve 4. adım arasından ortalama alınmalıdır.

4.3. DİYAFRAM SEÇİMİ:

Diyaframlar, metal plak üzerine delinmiş küçük çaplı deliklerdir. Bir diyaframin boyutu, teleskopun odak düzleminde görmemize izin vereceği görüş alanının açısal boyutuyla birlikte söylenir. Buna "plak ölçüği" denir.

$$\text{Plak ölçüği} = \frac{20626}{F(\text{cm})} \quad "/\text{mm} \quad \dots \quad (3)$$

biriminde verilir. Örneğin Ege Üniversitesi Rasathanesindeki 48 cm çaplı teleskop için,

$$\text{Açıklık: } D = 48 \text{ cm} = \frac{F}{13}$$

olup odak uzaklığı: $F = 13 \times 48 = 624 \text{ cm}$ dir. Bu durumda,

$$\text{Plak ölçüği} = \frac{20626}{624} = 33 \text{ "/mm}$$

dir. Yani,

1 mm çaplı diyafram 33" çaplı bir alanı,
0.5 mm çaplı diyafram 16".5 çaplı bir alanı görür.

Gökyüzü ışığını en aza indirmektede, profesyonel astronomlar 20" çaplı alanı görecek diyaframları önerirler. Böyle bir diyafram için 48 cm lik teleskopta fiziksel çap($=x$),

$$x = \frac{20}{33} = 0.6 \text{ mm}$$

olacak demektir. Yani bu teleskop için çapı 0.6 mm den daha küçük diyaframlar kullanılmalıdır. Bütün gözlemlerde karşılaştırmaya bilmek için gece boyunca aynı diyafram kullanılmalıdır.

Dolunaylı bir gecede 1" karelilik gökyüzü parlaklığı 3 veya 4 kadir artış gösterir. Ayrıca, ufka doğru artan sağılma nedeniyle, ufuk yakınlarındaki gökyüzü parlaklığını da zenite göre 2 ya da 3 kadir daha parlaktır. Bu nedenlerle, sönüklük yıldızların gözlemleri, Ay'sız gecelerde ve zenit yöresinde yapılmalıdır.

Gözleme başlamadan en az bir saat önce teleskopun ve kubbenin kapakları açılarak dış ortamla ısı dengesi sağlanmalıdır. Daha sonra elektronik sistemin tümü çalıştırılarak kararlı duruma getirilmelidir. Diyafram, teleskopun odak düzleminde olmalı, kenarları net görülebilecek şekilde göz merceği ayarlanmalıdır. Bu işlem için parlakça bir yıldız diyaframda merkezlenir ve odaklanır. Eğer foton sayıcı yerine doğru akım(DC) düzeneği kullanılıyorsa, yıldız için en uygun olan kazanç basamağı seçilmelidir. Bu basamağın seçiminde ölçü olarak yazıcının sapmalarına bakılır. Sapmalar yazıcı kağıdı eninin % 60ından fazla olmalıdır. Eğer gece boyunca kazanç basamağı değiştirilirse bunun mutlaka not edilmesi gereklidir.

Gözlenen yıldızın ölçülen değerleri standart sisteme dönüştüreleceğe deşisenin renk ve parlaklıklarına yakın birkaç tane standart yıldız da gözlenmelidir.

Yazıcı yerine foton sayıcı kullanılıyorsa ekranda okunan değer kaydedilecektir. Bilgisayar kullanmak işleri çok kolaylaşdıracaktır.

5. ALETSEL PARLAKLIK ve RENK ÖLÇEĞİ

Daha önce (2) de verilen Pogson formülünü tekrar yazarsak,

$$m_1 = m_2 - 2.5 \log F_1 + 2.5 \log F_2 \dots \dots \dots \quad (4)$$

olur. Burada 1. yıldız, parlaklığını bilmediğimiz ve ölçmek istedigimiz, 2. ise sıfırıncı kadirden bir mukayese yıldızı olsun. Bu durumda bağıntıyı,

$$m_1 = q - 2.5 \log F_1 \dots \dots \dots \quad (5)$$

birimde yazabiliriz. Burada q bir sabittir. Gözlemlerin belirli dalgaboyu bandlarında yapıldığını ve bulunacak parlaklıkların da o dalgaboyları için geçerli olacağını düşünerek, denklemimizi belli bir λ dalgaboyu için tek yıldıza indirgeyerek,

$$m_{\lambda} = q_{\lambda} - 2.5 \log F_{\lambda} \dots \dots \dots \dots \dots \dots \quad (6)$$

biçiminde yazabiliriz. Bu denkleme göre, alınan ışınım akısıyla parlaklık arasında basit bir bağıntı vardır. Gözlenen akı ile gerçek akı arasındaki ilişki ise oldukça karmaşıktır. Çünkü yıldız ışığı dedektöre gelinceye kadar soğurulma veya saçılma nedeniyle sökülebilir. Ayrıca, gözlemde kullanılan aletlerin hepsiinin özellikleri de birbirlerinin aynısı değildir.

Gözlenen F_{λ} akısı ile yıldızın Yer atmosferi dışındaki F_{λ}^* gerçek akısı arasında,

$$F_{\lambda} = \int_0^{\infty} \phi_A(\lambda) \cdot \phi_T(\lambda) \cdot \phi_F(\lambda) \cdot \phi_D(\lambda) \cdot F_{\lambda}^* d\lambda \dots \dots \dots \quad (7)$$

bağıntısı yazılabilir. Burada,

$\phi_A(\lambda)$ = Yer atmosferinin kesirsel geçirgenliği,

$\phi_T(\lambda)$ = Teleskopun kesirsel geçirgenliği,

$\phi_F(\lambda)$ = Kullanılan süzgeçin kesirsel geçirgenliği,

$\phi_D(\lambda)$ = Dedektörün kesirsel geçirgenliğidir.

Uygulamada, gözlemeviden gözlemevine, teleskop-süzgeç-dedektör düzenekleri arasındaki farklılıklar, her gözlemevinin ölçütiği parlaklıkları standard parlaklıklara dönüştürerek ortadan kaldırmak mümkündür.

Dedektör kullanılarak çıkışta alınan elektrik akımı ya yazılıcıya verilerek sapmalar elde edilir ya da foton sayıcı tekniğiyle saniyedeki sayılm kaydedilir. Heriki durumda da kaydedilen d_{λ} değeri yıldızdan alınan F_{λ} ışınım akısıyla doğru orantılı olup bunu,

$$F_{\lambda} = K \cdot d_{\lambda} \dots \dots \dots \dots \dots \dots \quad (8)$$

biçiminde gösterebiliriz. Burada, K oranti katsayısı olup bir sabittir. F_{λ} nin bu değerini (6) da yerine yazarsak,

$$m_{\lambda} = q_{\lambda}' - 2.5 \log K - 2.5 \log d_{\lambda} \dots \dots \dots \dots \dots \dots \quad (9)$$

veya,

$$m_{\lambda} = q_{\lambda}' - 2.5 \log d_{\lambda} \dots \dots \dots \dots \dots \dots \quad (10)$$

olar. Burada, q_{λ}' ye "aletin sıfır nokta sabiti", m_{λ} ya "aletsel parlaklık" denir. d_{λ} ise yazılıcının sapmanın miktarı ya da foton sayıcıda kaydedilen sayıdır.

Renk ölçüği ise farklı iki tayf bölgesinde ölçülen parlaklıkların farkıdır. Farklı iki tayf bölgesi için 1 ve 2 indislerini kullanacak olursak, renk ölçüği,

$$m_{\lambda_1} - m_{\lambda_2} = q_{\lambda_1}' - q_{\lambda_2}' - 2.5 \log d_{\lambda_1} + 2.5 \log d_{\lambda_2} \dots \dots \dots \dots \dots \dots \quad (11)$$

veya,

$$m_{\lambda_1} - m_{\lambda_2} = q_{\lambda_{12}} - 2.5 \log(d_{\lambda_1}/d_{\lambda_2}) \quad \dots \dots \dots \quad (12)$$

bağıntısıyla tanımlanır. Burada,

$$c = m_{\lambda_1} - m_{\lambda_2} \quad \dots \dots \dots \quad (13)$$

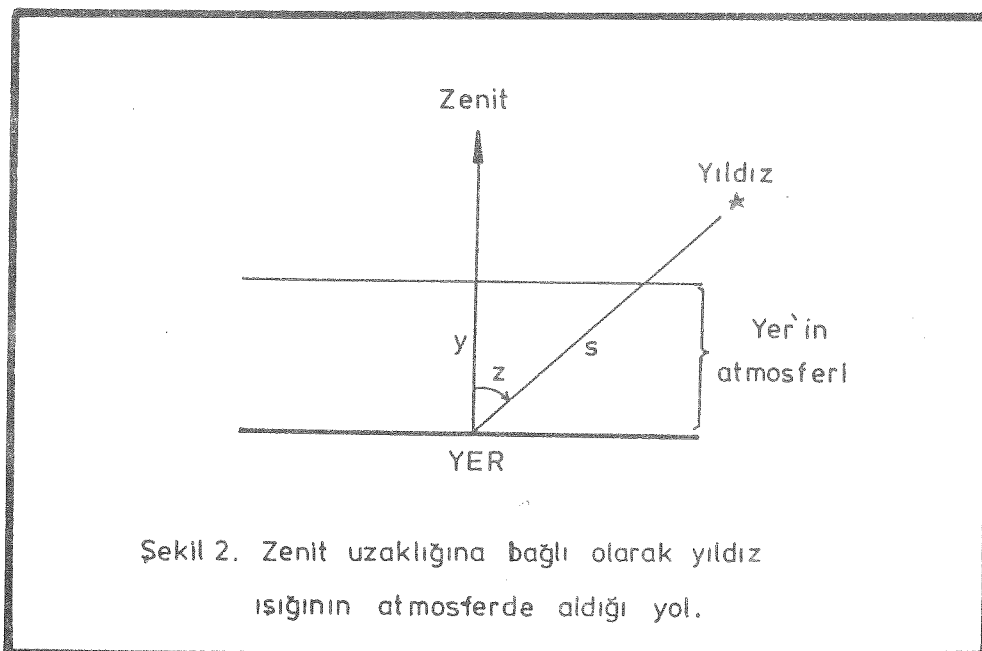
ye "aletsel renk ölçüği" denir.

6. İNDİRGENME

6.1. ATMOSFER SÖNÜKLEŞTİRME DÜZELTMESİ

Ölçülen parlaklık ve renk ölçüği değerleri, yıldızın atmosfer dışındaki gerçek görünen parlaklığı ve rengi olmayıp Yer atmosferinin sönükleştirmeye etkisinden arındırılması gereklidir.

Günümüzde en çok izlenilen ve yanılıgın sınırlarını içinde güvenilir sonuçlar veren en kolay yol Yer atmosferini şekil 2 deki gibi paralel düzlem dilimleri biçiminde kabul etmektedir. Böylece, Yer'in eğrilik yarıçapını boşlamış oluyoruz.



Yer atmosferi içindeki ds yolu boyunca ışınım akısındaki kayıp dF_λ olsun. Bu kayıp akı,

$$dF_\lambda \sim -F_\lambda \cdot ds \quad \dots \dots \dots \quad (14)$$

bağıntısıyla ifade edebileceğimiz gibi F_λ akısı ve ds yolu ile doğru orantılı olacaktır. Bu orantıyı eşitlik biçiminde yazmak istersek,

$$dF_\lambda = -\alpha_\lambda \cdot F_\lambda \cdot ds \quad \dots \dots \dots \quad (15)$$

olacaktır. Buradaki α_λ orantı katsayısı olup birim uzaklık başına soğurulan ya da kaybolan ışınım akısı miktarıdır ve buna "soğurma katsayısı" denir. Bağıntıdaki eksi işaretti ise soğurulan aki arttıkça ölçülecek olan F_λ akısının azalacağını göstermek için konmuştur. Bu bağıntı,

$$\frac{dF_\lambda}{F_\lambda} = -\alpha_\lambda \cdot ds \quad \dots \dots \dots \quad (16)$$

birimde de yazılabilir. Bunun, ışığın atmosfer boyunca geçtiği s yolu boyunca integrali alınırsa,

$$\int_0^s \frac{dF_\lambda}{F_\lambda} = - \int_0^s \alpha_\lambda \cdot ds \quad \dots \dots \dots \quad (17)$$

veya,

$$\ln\left(\frac{F_\lambda}{F_{\lambda_0}}\right) = - \int_0^s \alpha_\lambda \cdot ds \quad \dots \dots \dots \quad (18)$$

ya da,

$$\frac{F_\lambda}{F_{\lambda_0}} = e^{- \int_0^s \alpha_\lambda \cdot ds} \quad \dots \dots \dots \quad (19)$$

bulunur. Buradaki F_{λ_0} atmosfer dışındaki ışınım akısıdır. Astronomlar,

$$\int_0^s \alpha_\lambda \cdot ds = \tau_\lambda \quad \dots \dots \dots \quad (20)$$

ile gösterirler ve buna "optik derinlik" veya "optik yol" derler. Bu terim yalnızca soğurmayı yapan maddeye ve geometrik yönelime bağlı olup ışınım kaynağından bağımsızdır. Buna göre (19) bağıntısını yeniden yazacak olursak,

$$\frac{F_\lambda}{F_{\lambda_0}} = e^{-\tau_\lambda} \quad \dots \dots \dots \quad (21)$$

olur. Buradan da görüluyor ki, eğer $\tau_\lambda = 1$ olursa

$$\frac{F_\lambda}{F_{\lambda_0}} = e^{-1}$$

veya,

$$F_\lambda = \frac{1}{e} \cdot F_{\lambda_0}$$

olur. Yani, birim optik derinlik başına ölçülen aki, atmosferin üst katmanına gelen akının $1/e$ si kadar olur. Şimdi de (21) deki aki oranını parlaklığa dönüştürerek yazarsak,

$$m_\lambda - m_{\lambda_0} = -2.5 \log(F_\lambda / F_{\lambda_0})$$

veya,

$$m_\lambda - m_{\lambda_0} = -2.5 \log(e^{-\tau_\lambda}) \quad \dots \dots \dots \quad (22)$$

buluruz. Bu denklemi,

$$m_\lambda - m_{\lambda_0} = \tau_\lambda \cdot 2.5 \log e$$

ya da,

$$m_\lambda - m_{\lambda_0} = 1.086 \cdot \tau_\lambda \quad \dots \dots \dots \quad (23)$$

birimde de yazabiliriz. Burada da m_{λ_0} atmosfer dışındaki parlaklığı temsil etmektedir. Şekil 2 den,

$$\cos z = \frac{y}{s}$$

veya,

$$s = y \cdot \sec z \quad \dots \dots \dots \quad (24)$$

dir. Buradan türev alınarak,

$$ds = dy \cdot \sec z \quad \dots \dots \dots \quad (25)$$

yazılabilir. Şekilden de görüleceği gibi burada,

z = ölçüm sırasında yıldızın zenit uzaklığı,

y = zenit doğrultusunda atmosfer kalınlığı,

s = yıldıza bakış doğrultusundaki atmosfer kalınlığıdır.

(20) bağıntısındaki ds yol elamancı yerine (25) dekini yazarsak,

$$\tau_\lambda = \int_0^y \alpha_\lambda \cdot dy \cdot \sec z$$

veya,

$$\tau_\lambda = \sec z \cdot \int_0^y \alpha_\lambda \cdot dy \quad \dots \dots \dots \quad (26)$$

buluruz. Bunu da götürüp (23) de kullanırsak,

$$m_{\lambda} - m_{\lambda_0} = 1.086 \cdot \sec z \cdot \int_0^y \alpha_{\lambda} \cdot dy$$

veya, indirgenmiş parlaklık,

$$m_{\lambda_0} = m_{\lambda} - 1.086 \sec z \cdot \int_0^y \alpha_{\lambda} \cdot dy \quad \dots \dots \dots \quad (27)$$

buluruz. Burada,

$$k(\lambda) = 1.086 \int_0^y \alpha_{\lambda} \cdot dy \quad \dots \dots \dots \quad (28)$$

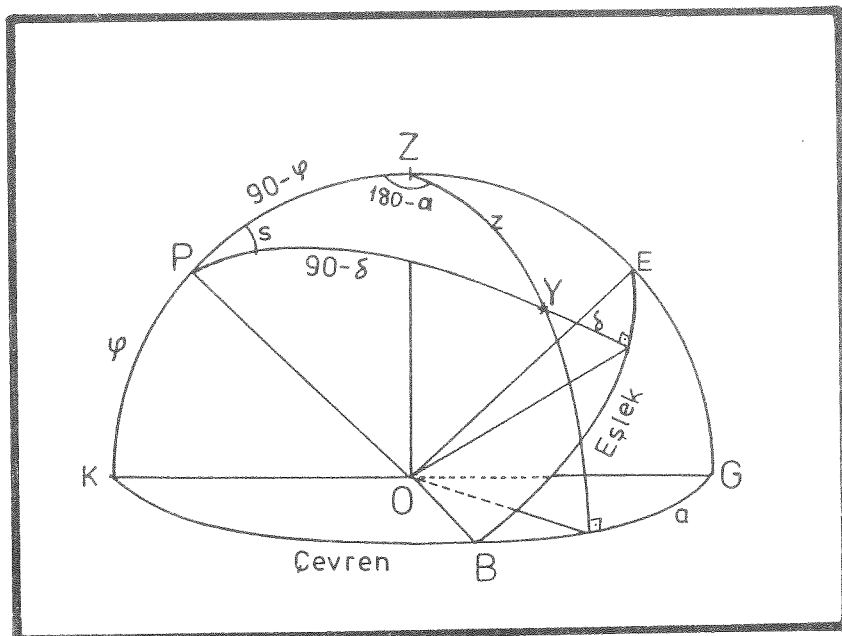
ifadesine "temel sönükleştirme katsayısı" ve,

$$M(z) = \sec z \quad \dots \dots \dots \quad (29)$$

ye de "hava kütlesi" denir. Bu durumda (27) bağıntısını,

$$m_{\lambda_0} = m_{\lambda} - k(\lambda) \cdot M(z) \quad \dots \dots \dots \quad (30)$$

şeklinde yazabiliriz. Dikkat edilecek olursa bu bağıntı, tekrenk işinim için geçerli olan doğrusal sönükleştirme yasasıdır.



Şekil 3. Bir Yıldızının saat ve çevren koordinatları.

Şekil 3 de PZY küresel üçgeninin z kenarına ilişkin kosinüs formülü yazılarak,

$$M(z) = \sec z = \frac{1}{\sin \varphi \sin \delta + \cos \varphi \cos \delta \cos s} \quad \dots \quad (31)$$

bağıntısı yardımıyla M(z) hava kütlesi bulunur. Bağıntıda,

φ = gözlem yerinin coğrafya enlemi,
 δ = yıldızın dik意识ğini(deklinasyonu),
 s = yıldızın saat açısını,
 z = yıldızın zenit uzaklığını

göstermektedir. Bu bağıntıya göre bulunacak olan hava kütlesi değerleri ancak zenit uzaklığının 60° den küçük değerleri için iyi sonuçlar verir. Daha duyarlı sonuçlar için,

$$M(z) = \sec z = -0.0018167 (\sec z - 1) - 0.002875 (\sec z - 1)^2 - 0.0008083 (\sec z - 1)^3 \dots \dots \dots \quad (32)$$

bağıntısı kullanılmalıdır(bkz. Hardie, 1962). Bu ifadeye "Bemporad formülü" denir. Buradaki z, yıldızın gerçek zenit uzaklığını değil doğrudan doğruya ölçülen ya da görülen zenit uzaklığıdır. Zenit uzaklığının 75° lik değerleri veya M(z) hava kütlesinin ~ 4 olduğu değerlerine kadar 0.005 kadirlik bir yanılıgı ile indirgeme imkanı vermektedir.

Yer atmosferinde sökükleştirmeyi yapan iki tür parçacık vardır. Bunların herbirinin dalgaboyuna bağlılığı farklıdır. En çok soğurma yapan parçacıklar moleküller olup bunlara ilişkin sökükleştirme katsayısının (k_λ) dalgaboyuna bağlılığı,

$$k_\lambda \sim \lambda^{-4}$$

biçimindedir(bkz.Golay,1974). Moleküllerin boyutları da yaklaşık olarak dalgaboyu mertebesindedir." Aeresol " denilen toz benzeri öteki parçacıkların boyutları daha büyük olup, bunlara ilişkin k katsayısunın ya bağlılığı,

$$k_\lambda \sim \lambda^{-1} \quad \text{veya} \quad k_\lambda \sim \lambda^0$$

biçimindedir. Ayrıca, bu katsayıların toplam katsayı içindeki payları da yine atmosfer koşullarına ve yıldızın zenit uzaklığına bağlı olarak değişir.

Kullanılan süzgeçin band genişliğinin etkisini de inceleyip, ikinci mertebeden sökükleştirme diyeceğimiz ve yıldızın renk ölçegine bağlı olan bir terim daha olmalıdır. Çünkü, buraya kadar izleyeceğimiz yöntemde, soğurmanın λ ya bağlı olduğunu, atmosferin paralel düzlem katmanlarından oluştuğunu ve süzgeçlerin geçirgenliklerinin çok keskin olduğunu varsayıdık. Bir bandın kapasadığı dalgaboyu aralığı içinde yıldızın sıcaklığına veya rengine göre, bazı dalgaboyları, sökükleştirmeden daha fazla etkilenir. Oysa uygulamada genellikle, bir band için ortalama bir sökükleş-

tirme katsayısı kullanılır. Bu durumda, örneğin, sıcak yıldızların akıları bandın mavi kenarına doğru arttığı için ortalama sökülestirme katsayısı sistematik olarak gerçek değerinden daha küçük olacaktır. Soğuk yıldızlarda ise aki, bandın kırmızı kenarına doğru artacak ve bu kez de band için kullanılan ortalama sökülestirme katsayısı gerçek değerinden daha büyük olacak, sonuçta yıldız daha da sökülesecektir. Başka bir deyişle, ortalama sökülestirme katsayısı kullanılmakla, parlaklık belirlenmesine sistematik bir yanılık karıştırılmış oluruz. Üstelik bu yanılık, yıldızın rengine ve gözlem sırasında hava kütlesi değerine bağlı olacaktır. Renge bağlı olan düzeltme terimini de gözönüne alarak (30) denklemini yeniden yazarsak,

$$m_{\lambda_0} = m_{\lambda} - k'_{\lambda} M(z) - k''_{\lambda} \cdot c \cdot M(z) \quad \dots \quad (33)$$

veya,

$$m_{\lambda_0} = m_{\lambda} - (k'_{\lambda} + k''_{\lambda} \cdot c) \cdot M(z) \quad \dots \quad (34)$$

elde ederiz. Burada,

k'_{λ} : ikinci mertebeden sökülestirme katsayısı,
 c : yıldızın aletsel olarak ölçülen renk ölçügöridir.

Uygulamada, k'_{λ} ve k''_{λ} sökülestirme katsayıları, bir gece boyunca farklı zenit uzaklıklarında elde edilen çok sayıdaki gözleme, α_{λ} soğurma katsayısını ya da soğurmaya ilgili gerçek fiziksel olayları bilmeye gerek olmadan, tayin edilebilmektedir. Ancak, geçici olmaları ve uzaya bağlı değişimler nedeniyle, bu katsayıların belirlenmesinde yine de bazı sorunlar bulunmaktadır. Ayrıca, gözlemlerde, mukayese yıldızı değişene çok yakın seçilir ve fark fotometrisi yapılrsa yanıkların mertebesi çok daha küçülür.

Atmosferin sökülestirmesi dalgaboyuna bağlı olduğu için, yıldızın görünen renk ölçügöri de etkilenecektir. Bu durumda, 1 ve 2 dalgaboyları için (33) denklemini ayrı ayrı yazarsak,

$$m_{\lambda_{01}} = m_{\lambda_1} - k'_{\lambda_1} M(z) - k''_{\lambda_1} \cdot c \cdot M(z), \quad \dots \quad (35)$$

$$m_{\lambda_{02}} = m_{\lambda_2} - k'_{\lambda_2} M(z) - k''_{\lambda_2} \cdot c \cdot M(z) \quad \dots \quad (36)$$

olur. Bunları yan yana çıkarırsak,

$$(m_{\lambda_{01}} - m_{\lambda_{02}}) = (m_{\lambda_1} - m_{\lambda_2}) - (k'_{\lambda_1} - k'_{\lambda_2}) \cdot M(z) \\ - c \cdot (k''_{\lambda_1} - k''_{\lambda_2}) \cdot M(z) \quad \dots \quad (37)$$

olur. Burada, (13) bağıntısına göre,

$$c = m_{\lambda_1} - m_{\lambda_2}$$

ölçülen renk ölçügöridir.

$$c_O = (m_{\lambda_1} - m_{\lambda_2}) = (m_{\lambda_1} - m_{\lambda_2})_O \quad \dots \dots \dots \quad (38)$$

ise düzelttilmiş renk ölçügedir. Ayrıca,

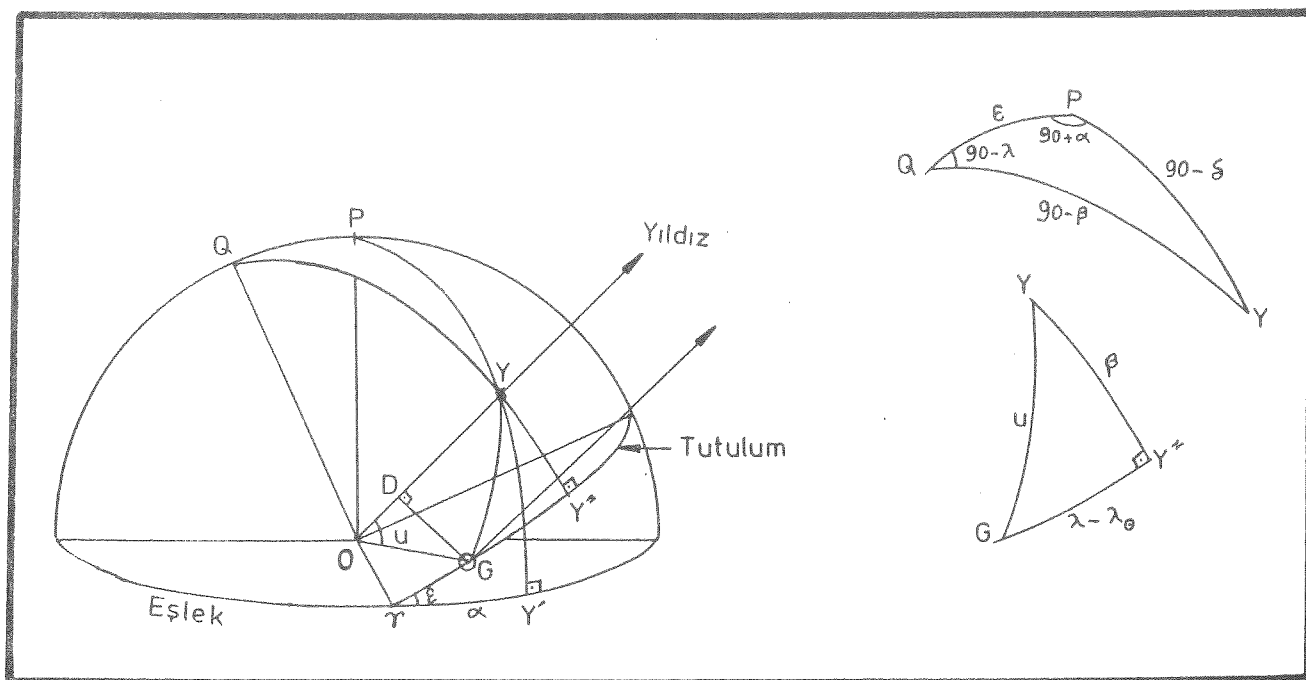
ve $k'_{\lambda_1} - k'_{\lambda_2} = k'_c$
 $k''_{\lambda_1} - k''_{\lambda_2} = k''_c$ (39)

tanımlarını da yapıp (37) bağıntısını yeniden yazarsak,

$$c_O = c - k'_c \cdot M(z) - k''_c \cdot M(z) \cdot c \quad \dots \dots \dots \quad (40)$$

bağıntısı elde edilir. Gözlenen renk ölçüği (c) de bu bağıntı yardımıyla indirgenmiş olur.

6.2. GÖZLEM ZAMANININ İNDİRGENMESİ.



Şekil 4. Işığın DO yolunu alması için gerekliliği olan süre zaman düzeltmesidir.

Ver-güneş uzaklığı ortalama 1 AB olarak kabul edilir. Işık, 1 AB uzaklığını, 0.005770 günde yani 8.3 dakikada alır. Tutulum düzleminde olan bir yıldızın ışığı güneşe ya 8.3 dakika daha erken ya da daha geç ulaşır. Biz gözlemimizi Yer'den yani O noktasından yapıyoruz. Sonra da bunu güneş merkezine indirmek istiyoruz. Bu durumda bir Y yıldızının ışığı güneşe ulaştıktan

sonra DO kadar daha yol alır ve Yer'e ulaşır. İşte yıldız ışığının Yer'e ulaşması için ışığın katetmesi gereken DO yolu için gececek olan Δt zamanı bizim düzeltme terimimiz olacaktır.

ODG dik üçgeninde $OG = 1 AB$ dir.

$$\cos u = \frac{OD}{OG}$$

veya,

$$OD = 1 AB \cdot \cos u. \quad \dots \dots \dots \quad (41)$$

dur. OD yolunun ışık zamanı olarak değeri,

$$\Delta t = 0.005770 \cdot \cos u \quad \dots \dots \dots \quad (42)$$

düzeltme terimi olacaktır (Binnendijk, 1960). Yani gözlem zamanlamızdan bu Δt terimini çıkartmamız gerekecektir.

YGY'' dik küresel üçgeninden,

$$\cos u = \cos \beta \cdot \cos(\lambda - \lambda_0) \quad \dots \dots \dots \quad (43)$$

olacaktır. Dolayısıyla düzeltme terimi,

$$\Delta t = -0.005770 \cdot \cos \beta \cdot \cos(\lambda - \lambda_0) \quad \dots \dots \dots \quad (44)$$

olacaktır. Burada, λ ve λ_0 sırasıyla yıldızın ve güneşin tutulum boylamları; β ise yıldızın tutulum enlemidir. Eğer Yer'in yörüngesi çember olsaydı bu ifade doğru olacaktı. Fakat Yer'in yörüngesi çember olmayıp eliptikdir. Şimdi bu düzeltme terimini ekvator koordinat sisteminde bulalım. Bunun için şekil 4'e bakalım.

QPY küresel üçgeninde :

a) $90-\beta$ kenarına ilişkin kosinüs formülünden,

$$\sin \beta = \cos \xi \cdot \sin \delta - \sin \xi \cos \delta \sin \alpha \quad \dots \quad (45)$$

b) sinüs formülünden,

$$\frac{\sin(90-\beta)}{\sin(90+\alpha)} = \frac{\sin(90-\delta)}{\sin(90-\lambda)}$$

ve buradan,

$$\cos \beta \cdot \cos \lambda = \cos \delta \cdot \cos \alpha, \quad \dots \dots \dots \quad (46)$$

c) sin (kenar) . cos (açı) formülünden,

$$\cos \beta \cdot \sin \lambda = \sin \xi \cdot \sin \delta + \cos \xi \cdot \cos \delta \cdot \sin \alpha \dots \dots \quad (47)$$

yazarız. (43) bağıntısını yeniden yazarsak,

$$\cos u = \cos \beta \cdot \cos \lambda \cdot \cos \lambda_0 + \cos \beta \cdot \sin \lambda \cdot \sin \lambda_0 \dots (48)$$

olur. Bu bağıntıda $\cos \beta \cdot \cos \lambda$ ve $\cos \beta \cdot \sin \lambda$ çarpımları yerine (46) ve (47) bağıntıları kullanılırsa:

$$\begin{aligned} \cos u &= (\cos \delta \cdot \cos \alpha) \cdot \cos \lambda_0 \\ &\quad + (\sin \delta \cdot \sin \alpha + \cos \delta \cdot \sin \alpha) \cdot \sin \lambda_0 \dots (49) \end{aligned}$$

olur. Bağıntının sağ yanındaki ikinci parantezi $\cos \varepsilon$ ile çarpıp bölelim :

$$\begin{aligned} \cos u &= (\cos \delta \cdot \cos \alpha) \cdot \cos \lambda_0 \\ &\quad + (\tan \varepsilon \cdot \sin \delta + \cos \delta \cdot \sin \alpha) \cos \varepsilon \cdot \sin \lambda_0 \dots (50) \end{aligned}$$

olur. Eliptik yörünge için Δt düzeltme terimini yazacak olursak, Yer-Güneş uzaklığını da AB nin kesri cinsinden R ile gösterirsek, (42) bağıntısı,

$$\Delta t = -0^g.005770 \cdot R \cdot \cos u \dots (51)$$

olacaktır. Bunu (49) bağıntısıyla birleştirirsek,

$$\begin{aligned} \Delta t &= -0^g.005770 [R \cdot \cos \lambda_0 (\cos \delta \cdot \cos \alpha) \\ &\quad + R \sin \lambda_0 \cdot \cos \varepsilon (\tan \varepsilon \cdot \sin \delta + \cos \delta \cdot \sin \alpha)] \dots (52) \end{aligned}$$

olur. Halbuki,

$$\begin{aligned} X &= R \cdot \cos \lambda_0 \\ Y &= R \cdot \sin \lambda_0 \cdot \cos \varepsilon \dots (53) \end{aligned}$$

ifadeleri Güneşin Yermerkezli dik koordinatları olup hergün için almanaklarda verilmektedir.

Eğer (52) bağıntasındaki terimleri,

$$\begin{aligned} A &= -0^g.005770 (\cos \delta \cdot \cos \alpha) \\ B &= -0^g.005770 (\tan \varepsilon \cdot \sin \delta + \cos \delta \cdot \sin \alpha) \dots (54) \end{aligned}$$

biçiminde gösterirsek,

$$\Delta t = AX + BY \dots (55)$$

olur. $\varepsilon = 23^\circ 26' 44''$ alınarak (α, δ) değerlerine göre hesaplanan A ve B değerleri çizelgeler halinde Schneller (1964) tarafından yayınlanmıştır.

7. STANDART PARLAKLIKLER ve RENKLER.

Ölçülen ve atmosferin sökükleştirme etkisinden arındırılan (34) bağıntısındaki m_λ parlaklığı "arındırılmış aletsel parlaklık" olup standart parlaklığa dönüştürülebilir. Dönüşürmede,

$$m_{\lambda} = m_{\lambda_0} + \beta_{\lambda} C + \gamma_{\lambda} \dots \dots \dots \dots \dots \dots \quad (56)$$

denklemi kullanılır. Burada,

C = yıldızın standart renk ölçüği

β_{λ} = aletin renk katsayısı

γ_{λ} = aletin sıfırlama sabitidir.

Standard renk ölçüği C ise,

$$C = S \cdot c_0 + \gamma_C \dots \dots \dots \dots \dots \dots \quad (57)$$

Denklemiyle hesaplanır. Buradaki c_0 değeri (40) denklemiyle verilen "arındırılmış aletsel renk ölçüği" dir. S bir renk katsayısı ve γ_C de sıfırlama sabitidir. Bu katsayılar ve sabitler, her ışıkölçüm sistemi için satandard yıldızların gözlemlerinden elde edilirler.

Burada, örnek olarak UBV sisteminde gözlem yaptığımızı düşünelim. Gözlemlerimizde ise uygun bir mukayese yıldızı kullandığımızı ve fark ışıkölçümü yaptığımızı kabul edelim. Dedektör çıkışında da Doğru akım(DC) yükselticisi ve yazıcı kullanmış olalım. Yazıcıda, değişen yıldız sapmaları için x , mukayese yıldızı sapmaları için de c indislerini kullanalım. Herbir sözgeç için değişen ve mukayese yıldızlarının parlaklık farkı,

$$\Delta v = -2.5 \log \frac{d_{vx}}{d_{vc}} + G_{vx} - G_{vc} , \dots \dots \dots \dots \dots \dots \quad (58)$$

$$\Delta b = -2.5 \log \frac{d_{bx}}{d_{bc}} + G_{bx} - G_{bc} , \dots \dots \dots \dots \dots \dots \quad (59)$$

$$\Delta u = -2.5 \log \frac{d_{ux}}{d_{uc}} + G_{ux} - G_{uc} \dots \dots \dots \dots \dots \dots \quad (60)$$

olacaktır. Burada d_v , d_b , d_u lar sırasıyla V, B, U sözgeçlerindeki sapmalardır. Diğer terimler ise kadir biriminde değişen ve mukayese yıldızının yükseltici kazançları arasındaki farkı vermektedir. Biz buna kısaca "logaritma basamağı farkı" diyoruz. Herbir logaritma basamak farkının parlaklık olarak kaç kadire karşılık geldiği önceden bilinir ya da denemelerle bulunabilir. Eğer hem değişen hem de mukayese yıldızı aynı logaritma basamaklarında gözlenmiş ise bu terimlere gerek kalmaz. Değişenin mukayese yıldızına göre renk ölçüği ise,

$$\Delta(b-v) = \Delta b - \Delta v \dots \dots \dots \dots \dots \dots \quad (61)$$

ve,

$$\Delta(u-b) = \Delta u - \Delta b \quad \dots \dots \dots \quad (62)$$

dir. Değişen ve mukayese yıldızları renk, parlaklık ve konum yönünden birbirlerine yakınsa (58), (59), (60), (61), (62) denklemleriyle bulunan aletsel parlaklık ve renk ölçekleri için atmosfer sönükleştirme düzeltmesi gerekmeyebilir. Eğer düzeltme gereklirse,

$$(\Delta v)_o = \Delta v - k'_v \cdot (M_X - M_C) , \quad \dots \dots \dots \quad (63)$$

$$(\Delta b)_o = \Delta b - k'_b \cdot (M_X - M_C) , \quad \dots \dots \dots \quad (64)$$

$$(\Delta u)_o = \Delta u - k'_u \cdot (M_X - M_C) \quad \dots \dots \dots \quad (65)$$

denklemleri kullanılır. Bu denklemler (30) denkleminden yaralanılarak yazılmışlardır. Burada M_X ve M_C sırasıyla, değişen ve mukayese yıldızlarının gözlemlenme anındaki hava kütleleri olup (32) denklemiyle hesaplanır. Renk ölçeklerinin düzeltmesi ise,

$$\begin{aligned} \Delta(b-v)_o &= \Delta(b-v) - k'_{bv} (M_X - M_C) \\ &\quad - k''_{bv} \Delta(b-v) \cdot \bar{M} \quad \dots \dots \dots \quad (66) \end{aligned}$$

ve,

$$\Delta(u-b)_o = \Delta(u-b) - k'_{ub} (M_X - M_C) \quad \dots \dots \dots \quad (67)$$

bağıntılarıyla yapılır. Burada \bar{M} , değişen ve mukayese yıldızlarının hava kütlelerinin ortalamasıdır. Bu şekilde elde edilen arındırılmış aletsel parlaklıklar standard UBV parlaklıklarına dönüştürülebilir. Yapılacak iş, mukayese yıldızını bazı UBV standard yıldızlarına göre gözlemeiktir. Eğer iyi yapılsa bu işlem bir gecede bitirilebilir. Böylece, önce mukayese yıldızının V , $(B-V)$ ve $(U-B)$ değerleri belirlenir. Standard sisteme değişen ve mukayese yıldızının aralarındaki parlaklık ve renk farkları ise,

$$\Delta V = (\Delta v)_o + \xi \cdot \Delta(B - V) , \quad \dots \dots \dots \quad (68)$$

$$\Delta(B - V) = \mu \cdot \Delta(b-v)_o , \quad \dots \dots \dots \quad (69)$$

$$\Delta(U - B) = \psi \cdot \Delta(u-b)_o \quad \dots \dots \dots \quad (70)$$

denklemleri yardımıyla bulunabilir, 1P21 fotokatlandırıcı tübüne ve standard UBV süzgeçlerini kullanan ışıkölçümleri için, (69) ve (70) denklemlerindeki μ ve ψ katsayıları bire yakındır. Değişen yıldızın standartlaştırılmış parlaklık ve renkleri ise,

$$V_X = V_C + \Delta V , \quad \dots \dots \dots \quad (71)$$

$$(B - V)_X = (B - V)_C + \Delta(B - V) , \quad \dots \dots \dots \quad (72)$$

$$(U - B)_X = (U - B)_C + \Delta(U - B) \quad \dots \dots \dots \quad (73)$$

denklemleriyle bulunur. Bu dönüşümün yararı, fark gözlemlerinde yapılan gözlemlerin birleştirilerek değerlendirilebilmesindedir. Örnekler için Henden and Kaitchuck(1982) ve Ghedini(1982) ye bakılabilir.

8. FOTOELEKTRİK FOTOMETRİDEKİ GELİŞMELER

A) Gözlemsel Fotoelektrik Fotometride İlerlemeler.

Küçük rasathanelerin fotometricileri, bilimsel olarak kullanışlı, duyarlı ve umut verici verileri toplayan ilk ve öncü durumda gözlemcilerdir. Eğer bu veriler toplanmasaydı ve profesyonel bilimsel literatürde yayınlanmasaydı, bugün üzerinde konuşulan ciddi bilimsel araştırmalar için sarfedilen diğer tüm çabalar o kadar yarayışlı olmazdı.

Küçük teleskopların iki yönden önemli katkısı olmuştur:

1) Önde gelen astronomi dergilerinde çok sayıda gözlem sonuçları yayınlanmıştır.

2) Bu gözlemlerin büyük çoğunluğunda küçük optik teleskoplar ve photoelektrik fotometri tekniği kullanılmıştır.

Değişen yıldızların bir bölümünde değişimin genliği o denli küçütür ki bunu vizuel olarak belirleme olanağı yoktur. Böylesi durumlarda photoelektrik fotometri gereklili duyarlığı bize sağlamaktadır. Bazen öyle kampanyalar yapılmaktadır ki istenen dönem aralığındaki gözlemlerin tamamlanmasında büyük teleskoplar yetmez. Çünkü onlar küçükler kadar uygun sayıda ve konumda yeryüzüne dağılmış durumda değildir.

Örnek: D.S.Hall tarafından başlatılan RS CVn türü çift yıldız gözlemleri, P.Harmanec tarafından örgütlenen "Be yıldızlarının photoelektrik fotometrisi", küçük rasathanelerin katkısıyla başarıya ulaşan kampanyalardan ikisidir.

B) Photoelektrik Fotometri Araçlarındaki Gelişmeler:

Küçük rasathanelerin durumları birçok yönden sorunlar da ortaya koymaktadır. Örneğin, kullanılacak olan araçlar ucuz ve hafif olmalıdır. Çünkü, genellikle küçük rasathanelerin pahalı araç satın alacak kadar paraları yoktur ve ağır araçları küçük teleskoplar taşıyamazlar. Fotometriciler ve ticari firmaların ortak çabalarıyla bu sorun çözümlenmiştir. Hem ucuz hem de hafif fotokatlandırıcılar ve fotometre araçları yapılmıştır.

Greenwich Kraliyet Rasathanesinden N.Walker, fiber optikli ve 4 kanallı bir fotometre yapmıştır.

JPL den R.Stanton, bilgisayarlı foton sayıcı sistem geliştirmiştir.

Küçük rasathaneler için ideal bir fotometre nasıl olmalıdır? Birkaç yıl önce 1982 Ağustosunda SSP-3 fotometresi (Solid State Photometer) yapılarak bu sorun da çözüldü. Bu araç hem ucuz hem de ciddi araştırmalarda kullanılacak kadar kararlı ve duyarlıdır.

Bilgisayarların geniş çapta kullanılmasıyla, günümüzde birçok küçük rasathaneler otomasyona yönelmektedirler.

Doğu akım(DC) yükselticisi kullanılan photoelektrik ışıkölçüm düzeneklerindeki sorunlardan birisi de kazanç basamaklarının ayarlanmasıdır. Devre içindeki dirençlerin toleransları ve ortamın sıcaklığındaki değişimler nedeniyle basamaklar arasının kadir

olarak değerlerinin her gözlem gecesinde sabit ışık kaynağı ile ayarlanması yanılıkları azaltır. Dupuy(1983), bu iş için duyarlı, ucuz bir sabit ışık kaynağı geliştirmiştir.

Bu konularda daha ayrıntılı bilgi edinmek için, Wolpert and Genet(1983); Hall and Genet(1982); Walker(1987) ve Lena(1988)' ya bakılmalıdır.

KAYNAKLAR

- Binnendijk, L. : 1960, Properties of Double Stars, Philadelphia: Univ. of Pennsylvania Press; pp.228-232.
- Bond,W.C. : 1850, Ann. of the Harvard College Obs.I,1,CXLIX.
- Dupuy, D.L.:1983, "An Ultra Low Drift DC Amplifier For Use With Photomultipliers", P.A.S.P. 95, 86.
- Ghedini,S.: 1982, Software for Photometric Astronomy, Willmann-Bell, Inc., Richmond,Virginia.
- Golay, M.(ed.): 1974, Introduction to Astronomical Photometry, D.Reidel Publ.Comp. , Dordrecht-Holland.
- Hall, D.S. and Genet,R.M.: 1982, Photoelectric Photometry of Variable Stars, A Practical Guide for the Smaller Observatory, Published by IAPP.
- Hardie, R.H. : 1962, In Astronomical Techniques. Ed.W.A.Hiltner, Univ. of Chicago, Chap.8.
- Henden,A. and Kaitchuck, H.(eds.) : 1982, Astronomical Photometry, Van Nostrand Reinhold Comp. New York.
- Lena, P. (ed.) : 1988, Observational Astrophysics, Springer-Verlag, Berlin.
- Kron,G.E. : 1946, *Astrophys.J.* 103, 326.
- Miczaika, C.R., and Sinton, W.M. : 1961, Tools of the Astronomer, Cambridge,Mass., Harvard Univ.Press, p.156.
- Minchin, G. M. : 1895, Proc. Roy. Soc. 58, 142.
- Schneller, H. : 1964, *Astron. Nachr.* 288,189.
- Stebbins, J. , and Brown, F. C : 1907, *Astrophys. J.* 26, 326.
- Stebbins, J. : 1910, *Astrophys. J.* 32,185.
- Walker, G. (ed.) : 1987, Astronomical Observations, An Optical Perspective, Cambridge Univ. Press, Cambridge.
- Whitford, A. E.: 1932, *Astrophys. J.* 76, 213.
- Whitford, A. E. , and Kron, G. E. : 1937, *Rev. Sci. Inst.* 8, 78.
- Wolpert, R. C. and Genet, R. M. : 1983, Advances in Photoelectric Photometry Vol. 1., Published by Fairnborn Observatory.

M. BAŞAL: Aynanın oksitlenmesinin kısa dalga boylu gözlemleri engellediğini söylediiniz. Ne kadar sürede bir sırlanması gerekiyor?

N. GUDUR: 6 ayda bir aynanın sırlanması gerekiyor. Bizim teleskopumuzun aynası maalesef 10 senedir bakıma alınmadı. Şimdi, geçen yıl dikkatimi çekti. İstanbul Üniversitesi'ndeki arkadaşlar burada gözlem yapamadıklarını söyledi. Aynı şey sizin de başınıza geldi. Sebebi bu olsa gerek.

E. DERMAN: Standart fotometrik gözlemlere, bildiğim kadariyla, Ege de geçemedi, biz de geçemedik. Bizi engelleyen ne?

N. GUDUR: Engelleyen bir şey yok. Kolayımıza geliyor.

M. ÖZEL: Kampanyadan bahsettiniz bu nedir?

N. GUDUR: İşbirliği halinde çalışmak oluyor. Tüm rasathanelerin aynı yıldızları gözlemesi. Siz gece boyunca gözlüyorsunuz. Başka bir boylamdaki gözlemci sizin bıraktığınız yerden gözleme devam ediyor.

M. ÖZEL: Başka gözlemlerden üstünlüğü nedir?

N. GUDUR: Eğer sürekli olarak kesintisiz ışık eğrisi üzerindeki değişimleri incelemek gerekiyorsa ve bu değişimlerin peryotlarını, genliklerini vs. araştırmak istiyorsanız ve çok sayıda gözleme ihtiyaç varsa bu işbirliği gereklili olur.

M. ÖZEL: Siz böyle bir kampanyaya hiç katıldınız mı?

N. GUDUR: Ben şahsen katılmadım ama başka arkadaşlar katıldı. Örneğin, Zeynel Tunca'nın katıldığı böyle bir kampanya var, RS CVn'lerle ilgili.

Z. TUNCA: β Canis Majoris Üzerine yapılan bir kampanyada 16 ayrı ülkeden 13 rasathaneye ve 37 kişiden oluşan bir ekiple.. Bu kampanyadaki amaç, örnek verecek olursak 1 gün dönemli bir yıldızın ışık eğrisini incelemek.

BX ANDROMEDAE'NİN FOTOMETRİK ANALİZİ

Ömür Gülsen, Necdet Güdür, Cengiz Sezer, Bekir Kılıç
 Ege Üniversitesi Fen Fakültesi
 Astronomi ve Uzay Bilimleri Bölümü
 Bornova - İzmir.

Kısa dönemli bir örten çift olan BX And ($BD + 40^{\circ}442 = HD = 13078$), ADS 1671 görsel çiftinin parlak bileşenidir. BX And'in değişen bir yıldız olduğu ilk kez Soloviev (1945) tarafından belirlenmiş ve ışık değişiminin Algol türü olduğu ileri sürülmüşdür. Daha sonra dizge bir çok araştırmacı tarafından foto-elektrik olarak gözlenmiştir. Svolopulos (1957) elde ettiği ışık eğrisini gözümlemeden yayınlamış, çiftin yakınında bulunan ve teleskopla ayrılamadığı için beraberce gözlenen sönükları yıldızın etkilerini tartışmıştır. Todoran (1965), Svolopulos'un gözlemlerini kullanarak dizgenin ilk yaklaşıkları yörüngede öğelerini vermiştir. Rovithis ve Rovithis - Livaniou (1984) dizgeyi B ve V renklerinde gözlemişler ve onlar da ışık eğrilerini çözümlemeden yayınlamışlardır. Son olarak Samec ve arkadaşları (1988), fotoelektrik olarak U, B, V renklerinde elde ettikleri ışık eğrilerini yayınlamışlar, dizgenin çok aktif olduğunu ve sürekli dönemde değişimi gösterebileceğini ileri sürmüşlerdir.

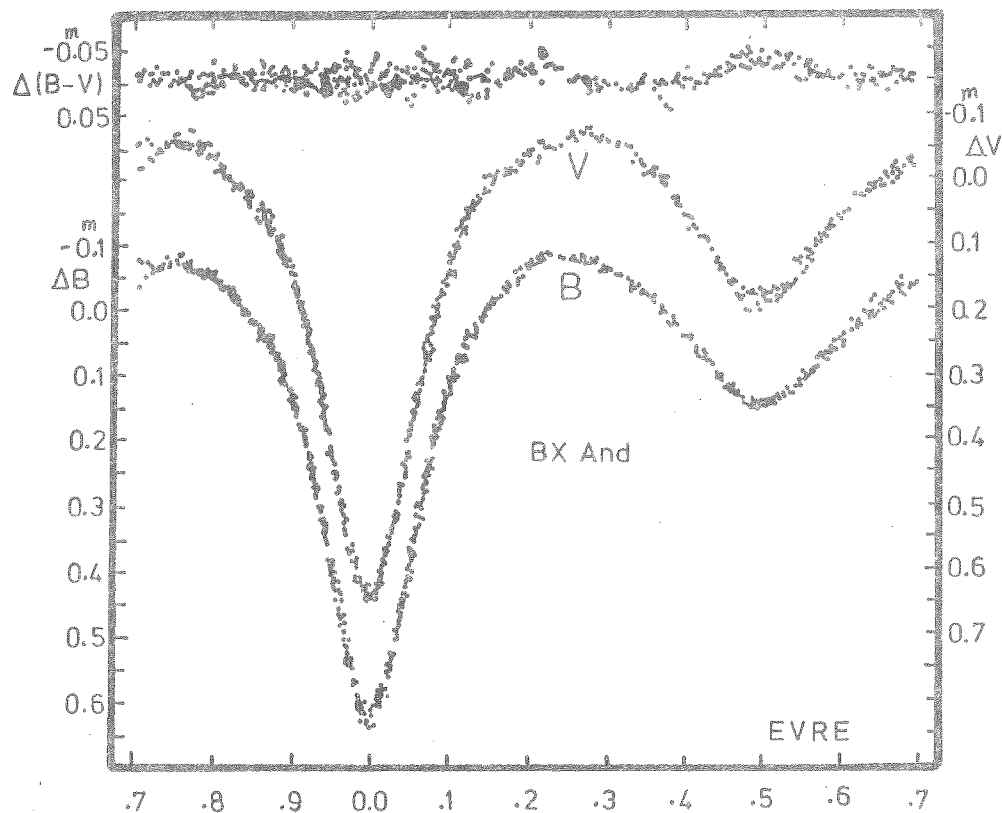
BX Andromedea yakın çifti, Ege Üniversitesi Rasathanesinde 1985 - 1988 yılları arasında toplam 10 gece olmak üzere B ve V renklerinde gözlenmiştir. Bu gözlemler sonucunda herbir renkte toplam 601 er gözlem noktasıyla ışık eğrileri elde edilmiştir. Gözlemlerde mukayese yıldızı olarak HD 13054 ve denet yıldızı olarak ise HD 13188 kullanılmış ve değişen yıldızın çok yakınında bulunan ve onun optik bileşeni olan ADS 1671 B, teleskop diyafra-mine alınarak beraberce gözlenmiştir. Bu fark parlaklıkları, bilinen yöntemle atmosfer etkisinden arındırılmıştır.

Elde edilen bu ışık eğrilerindeki ADS 1671 B görsel bileşenin etkisinin arındırılabilmesi için bu yıldızın mukayese yıldızına göre parlaklılığı olan,

$$\Delta m = m(\text{ADS } 1671 \text{ B}) - m(\text{mukayese})$$

farkı ölçülmüş ve $\Delta m(B) = 2^m.021$, $\Delta m(V) = 1^m.709$ olarak belirlenmiştir. Bu değerler kullanılarak tüm gözlem noktaları görsel bileşenin etkisinden arındırılmıştır. Böylece elde edilen yeni ışık eğrileri Şekil 1 de görülmektedir. Arındırma işleminden önceki ve sonraki ışık eğrilerinin karşılaştırmasından,

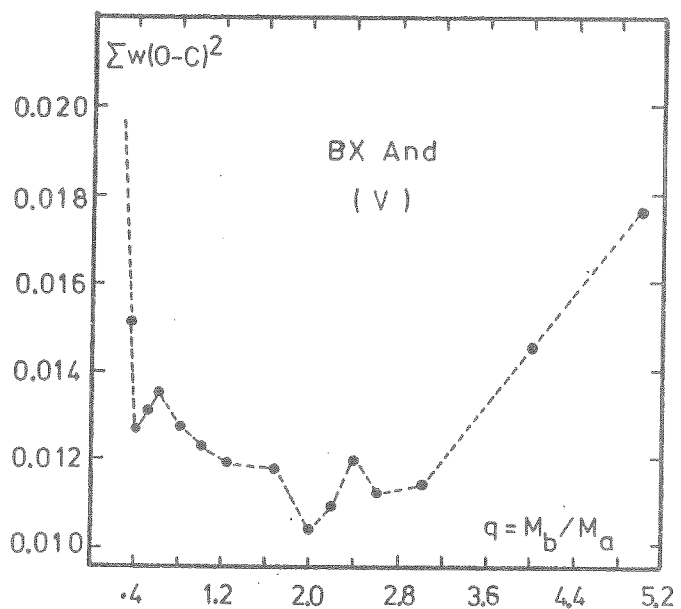
- a) Min I derinliğinin arındırmadan sonra B de $0^m.125$, V de ise $0^m.155$ arttığı,
- b) Min II derinliklerinin hemen hemen değişmediği,
- c) Bunların sonucu olarak B - V renk eğrisinin Min I yöresinde genliğinin azaldığı ancak Min II yöresindeki değişimin belirginleştiği bulunmuştur.



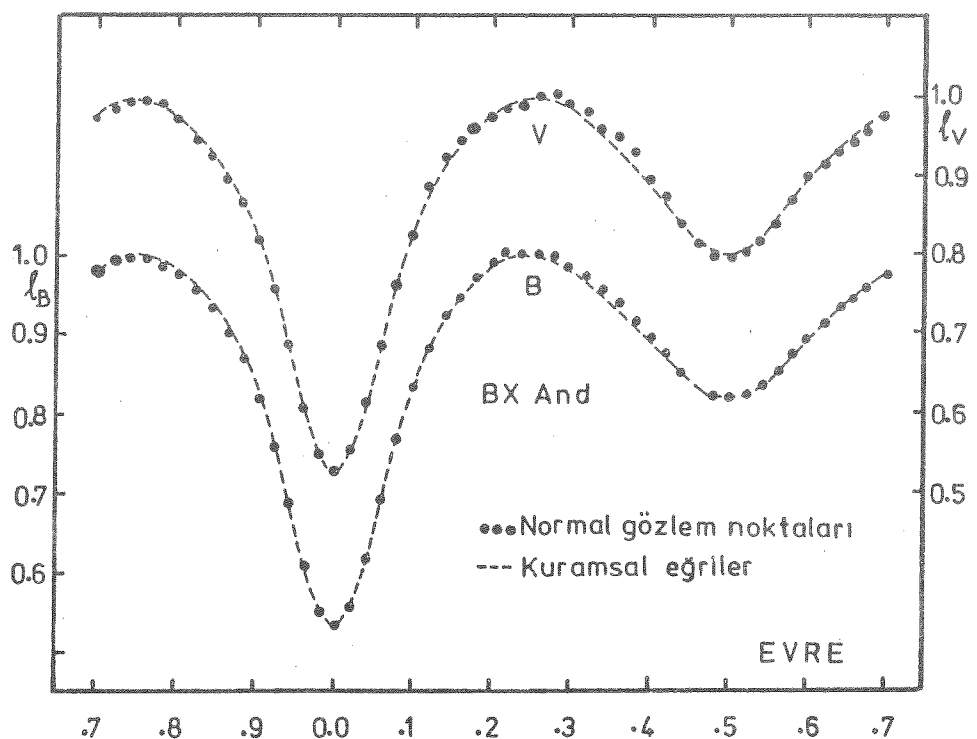
Şekil 1. BX And'ın optik bileşenin etkisi arındırılmış ışık ve renk eğrileri.

Tüm gözlemler boyunca 7 baş minimum ve 3 de yan minimum zamanı elde edilmiştir. Bu minimum zamanlarıyla literatürden bulunanlar birleştirilerek dizgenin dönem sorunu incelenmiş ve sonuçlar Gülsen ve arkadaşları (1988) tarafından yayınlanmıştır. Buna göre dizgenin döneminde 1945-1950 yılları arasında ani bir değişim olduğu doğrulanmıştır. Bundan başka dönemde 1981 yılı civarında yeni bir değişim daha olduğu ve bu azalma miktarının da ilk değişmedeki gibi $\sim 0^{\circ}.25$ olduğu bulunmuştur. Yeni ışık öğeleri de belirlenmiştir.

İşik eğrilerinin çözümü için, her bir renkteki 601 er gözlem noktasıyla 50 şer normal nokta elde edilmiş ve Wilson - Devinney yöntemiyle çözümlenmiştir. Bilindiği gibi bu yöntem, giriş ögele-riyle hesapladığı ışık eğrisini gözlenen eğriyle karşılaştırmakta ve O - C leri minimum yapacak şekilde, ayarlanabilir parametreler üzerindeki diferansiyel düzeltme miktarlarını belirlemektedir. Wilson - Devinney (1971) yöntemi Roche geometrisini kullandığından, çözümler kütle oranına çok duyarlıdır. Ancak BX And için literatürde spektroskopik ve fotometrik bir sonuç yoktur. Bu nedenle öncelikle fotometrik kütle oranının saptanmasına çalışılmıştır. Bunun için kütle oranı belli değerlerde sabit tutularak çözümler yapılmıştır. Bu çözümlerde i , T_c , Ω_h ve L_h değişken parametreler olarak alınmıştır. V renginde yapılan çözümlerden elde edilen $\Sigma W(O - C)^2$ değerlerinin kütle oranı değerlerine karşı işaretlenmesiyle bulunan eğri Şekil 2 de görülmektedir.



Şekil 2. Belli q değerleri için $\sum w(O - C)^2$ değerlerinin değişimi.



Şekil 3. Normal noktalarla teorik ışık eğrilerinin karşılaştırılması.

Çizelge 1. BX And'ın Wilson-Devinney yöntemiyle elde edilen çözüm sonuçları.

Öğeler	Mavi(B)	Sarı(V)
i	$65^{\circ}.1 \pm 0^{\circ}.2$	$67^{\circ}.5 \pm 0^{\circ}.2$
T_h	6700	6700
T_c	4355 ± 55 K	4598 ± 40 K
$\Omega_h = \Omega_c$	5.2158 ± 0.0070	5.2016 ± 0.0074
q	1.975	1.9752 ± 0.0046
$L_h/(L_h+L_c)$	0.875 ± 0.010	0.750 ± 0.008
$L_c/(L_h+L_c)$	0.125	0.250
$r_h(\text{pole})$	0.3008 ± 0.0006	0.3020 ± 0.0010
$r_h(\text{side})$	0.3140 ± 0.0007	0.3155 ± 0.0012
$r_h(\text{back})$	0.3465 ± 0.0011	0.3488 ± 0.0019
$r_c(\text{pole})$	0.4133 ± 0.0001	0.4145 ± 0.0002
$r_c(\text{side})$	0.4388 ± 0.0001	0.4403 ± 0.0003
$r_c(\text{back})$	0.4668 ± 0.0001	0.4689 ± 0.0004
x_h	0.75	0.60
x_c	1.00	0.83
A_h	0.5	0.5
A_c	0.5	0.5
g_h	0.08	0.08
g_c	0.08	0.08
$\sum w(O-C)^2$	± 0.0105	± 0.0104

Bu şekilde, eğri, $q = 2.0$ yöresinde bir minimum yapmaktadır. O halde fotometrik q değerinin 2.0 yöresinde olacağı düşüncesiyle ayarlanabilir parametreler arasına q da eklenerek V renginde denemeler yapılmış ve çözüme ulaşılmıştır. Bu çözümden elde edilen q değeri sabit alınarak B renginde de çözüm elde edilmiştir. Böylece elde edilen çözüm sonuçları her iki renkte ayrı olmak üzere Çizelge 1 de ve bu sonuçlarla elde edilen teorik eğriler normal noktalarla birlikte Şekil 3 de verilmektedir. Normal noktalarla teorik eğrilerin uyuşması oldukça iyidir.

Bugüne kadar modern yöntemlerle yörünge analizi yapılmamış olan BX And çiftinin ögeleri Wilson - Devinney yöntemiyle elde edilmiş olmaktadır. Bunun için kütle oranı fotometrik olarak saptanmıştır. Ancak bu değerin tayfsal yolla denetlenmesi uygun olacaktır. Gerek denemeler sonucu elde edilen sonuçlar ve gerekse çözümlerde elde edilen yarıçaplar toplamının ~ 0.75 oluşu, dizgenin bir yakın çift olduğu sonucunu doğrulamaktadır.

KAYNAKLAR

- Gülmen, Ö. , Güdür, N. , Sezer, C. , Eker, Z. , Keskin, V. , Kılınç, B. : 1988, Inform. Bull. Var. Stars, No. 3266.
 Rovithis, P. , Rovithis-Livaniou, H. :1984, Astrophys. Space. Sci. ,105, 171.
 Samec, R.G., Fuller, F.E. , Caitchuck, R.H.:1988, Inform. Bull. Var. Stars, No. 3230.
 Soloviev, A. : 1945, Astr. Circ. Acad. Sci. U.S.S.R. , No.44.
 Svolopoulos, S.N. : 1957, Astron. J. , 62 330.
 Todoran, I. : 1965, Stud. Cerc. Astron. Rumania, Vol. 10, No. 1, 71.
 Wilson, R.E. , Devinney, E.J. : 1971, Astrophys. J. , 66, 605.

E. DERMAN: Kuramsal eğri ile gözlemsel eğriyi çakıştırıyorsunuz. Bizde bunun yapıyoruz. Arada farklar oluyor. Örneğin şu ikinci minimuma girişte farklar var. Bunu siz gözlem hataları içerisinde mi doğru diyorsunuz? Yoksa bir yorum getirip, üçüncü bir kaynak var demek mümkün mü?

Ö. GÜLMEN: Düşündük tabii. Yani bir kere ADS 1671'in B bileşeninin arındırılmasıından ötürü gözlemlere bir takım hatalar giriyor. Dolayısı ile böyle ekstrem bir takım yorumlara, leke var gibi, dönme ekseni ile dolanma ekseni arasında şu kadar açı var gibi, bir takım yorumlara gidilebilirdi. Az miktardaki uyuşmazlığı sağlamak için böylesi birkaç hatanın üst üste bindiği bir olayda böyle yorumlara gitmek istemedim.

E. DERMAN: Gözlem hataları içerisinde kalıyor diyorsunuz.

Ö. GÜLMEN: Öyle değerlendirdiyoruz.

Z. ASLAN: Ben degen çift sistem olarak bulduğunuz sonucu biraz yorumamanızı istiyorum. Derinlikler arasında oldukça fark var. Bileşenlerin sıcaklıkları çok fazla olabilir.

Ö. GÜLMEN: $q=2$ değeri oldukça büyük bir değer aslında, o da bizi düşündürdü. Bildığınız gibi kullanılan yöntemde q fotometrik değeri ile q , spektroskopik değerini kıyasladığınız zaman 45° 'lik bir açı olduğu ve dolayısı ile yöntemin q 'yu belirlemekte oldukça iyi değerler verdiği üzerinde yaygın bir görüş var. Sonuç olarak q üzerinde bir tereddütümüz yok. Ama öte yandan degen çiftte mutlaka büyük olur mu?

O. DEMİRCAN: Ona olur diyoruz. Sıcaklık farkının fazla olması da konvektif katmanın bir özelliği.

Z. ASLAN: Yani ısı alışverişini engelleyen bir şey olmalı.

C. İBANOĞLU: O ışık eğrisinde bir uyuşmazlık vardı. Özellikle Ethem bey de değildi. Minimum birin iniş kolunda öyle bir ayrılma var. Geçeden geceye gözlemleri karşılaştırarak değişimi fark ettiniz mi? Ayrıca i 'ler arasında 2° fark var. Halbuki yöntemin hatası 0.2 , bu durumda bir soru işaretleri kalıyor.

Ö. GÜLMEN: Tabii ki gözlemleri bir band şeklinde sıraladığımız zaman ufak değişimler de var. Zaten bu ortalama eğri yakın bir yıldız olmasının sonucu. Ayrıca bizim kullandığımız yöntemde bir üçüncü cisim parametresi var. Toplantıdan önce bir süre çalışmalarımız oldu. Ama sonuçlandıramadık. izlenimim şu ki; bu parametreyi kullanarak sonuçlara gitmek mümkün. Acaba 1671 B'ni indirmesinden gelen hata bu yolla kalkar mı diye düşünemezgiz ve sanıyorum daha iyi bir uyum sağlanacak.

C. İBANOĞLU: Ben sadece bu yıldız için konuşmuyorum. i 'ler hakkında gerçekten çok büyük tartışmalar çıkıyor. Ama yöntem çok küçük bir hata veriyor. O zaman bence bulduğumuz hataya güvenemeyiz.

Ö. GÜLMEN: ikisi ortak çözülebilir; Onu da zorluyorsunuz. Oradan belli bir i 'ye gitme mümkün. Ama o zaman hatalar büyüyecek.

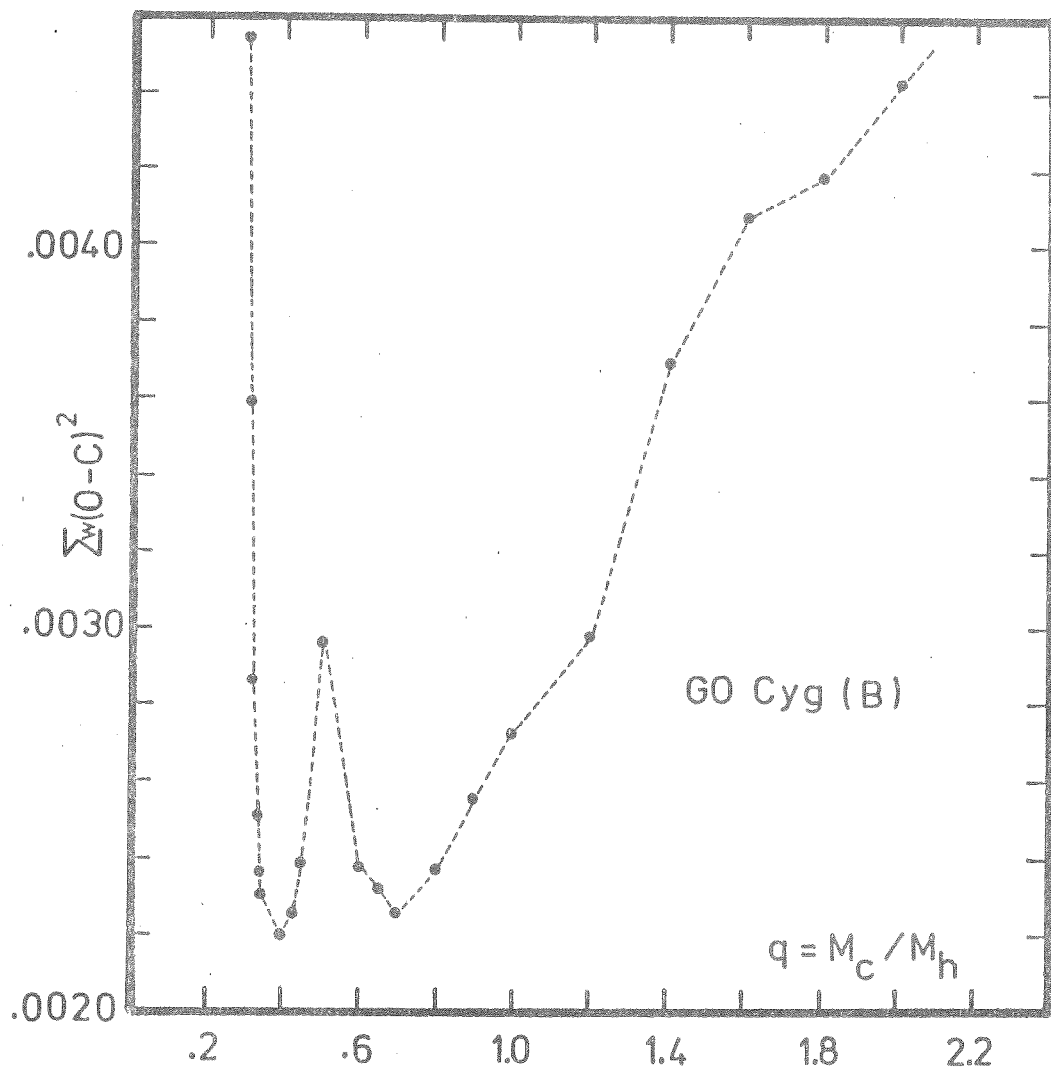
REVERSE ALGOL TÜRÜ YARI-AYRIK ÖRTEN ÇİFT GO CYGNI

Cengiz Sezer, Necdet Güdür, Ömür Gülmen
 Ege Üniversitesi Fen Fakültesi Astronomi ve Uzay
 Bilimleri Bölümü, 35100 Bornova-İzmir

ÖZET: GO Cygni örten çift yıldızının Ege Üniversitesi Rasathanesinde elde edilen fotoelektrik ışık eğrileri Wilson-Devinney yöntemiyle çözümlenmiştir. Çözüm sonuçlarına göre baş yıldız Roche lobunu doldurmuş, ikinci bileşen ise doldurmamıştır. Bu durum "Reverse Algol" konfigürasyonu olarak tanımlanmaktadır.

GO Cygni'nin değişen yıldız olduğu Schneller(1928) tarafından fotoğrafik olarak bulunmuştur. Sistem, Pearce(1933) tarafından tayfsal olarak gözlenmiş ve bileşenlerin tayf türleri B9n ve A0n olarak belirlenmiştir. GO Cygni'nin fotoelektrik gözlem ve analizleri Ovenden(1954) ve Mannino(1963) tarafından yapılmıştır.

Sistem, Ege Üniversitesi Rasathanesinde 1984-1985 yıllarında gözlenerek B ve V renklerinde ışık eğrileri elde edilmiş ve çiftin dönem sorunu incelenmiştir(Sezer ve ark. 1985). ışık eğrilerinin çözümü için yakın çiftlerde en güvenilir sonuçları veren Wilson-Devinney (1971) yöntemi kullanılmıştır. Bu modelde göre yıldızların yüzeyleri eşpotansiyelli kabul edilir. ışık eğrisi: yörunge eğikliği i , kütle oranı $q=M_C/M_h$, yüzey potansiyelleri $\Omega_{h,c}$, ortalama yüzey sıcaklıkları $T_{h,c}$, normalize edilmemiş tekrenk işitmaları, $L_{h,c}$, çekim karama katsayıları $g_{h,c}$, bolometrik albedolar $A_{h,c}$ ve kenar karama katsayıları $x_{h,c}$ nin fonksiyonu olarak hesaplanır ve gözlenen eğrilerle en iyi uyuşmayı sağlayacak parametreler ardarda yaklaşımalarla bulunur. Buradaki h ve c indisleri sırasıyla sıcak ve soğuk bileşeni göstermektedir. Çözümler herbir renkte elde edilen 416 şar gözlem noktasından oluşturulan 52 şer normal nokta ile yapılmıştır. Çözümlerdeki en etkili parametrelerden olan kütle oranının giriş değeri Pearce'-den 0.85 olarak alınmış ve birçok deneme ile ulaşılan çözümler sonucunda $q \approx 0.6$ olarak bulunmuştur. Daha sonra, Holmgren(1988)'in GO Cygni ile ilgili tayfsal çalışması özel haberleşme ile elde edildi. Holmgren, cross-correlation teknigi ile elde ettiği diki-ne hız eğrilerinden kütle oranını $q=0.426$, bileşenlerin tayf türlerini de B9.5V, F1-F3V olarak vermektedir. Kütle oranının bu yeni değeri Pearce'nin 0.85 ve bizim ilk çözümlerde bulduğumuz 0.6 değerinden çok farklıdır. Bu yüzden çözümlerin tekrar yapılmasına karar verilmiş ve ilk iş olarak q taraması yapılmıştır. Bu işlemde kütle oranı belli bir değerde sabit alınıp, yörunge eğikliği i , ikinci bileşenin sıcaklığı T_c , yüzey potansiyelleri $\Omega_{h,c}$ ve sıcak bileşenin normalize edilmemiş tekrenk işitması L_h parametreleri serbest bırakılarak çözümler elde edilmiştir. Çözümlerden bulunan $\Sigma W(O-C)^2$ değerleri kütle oranına karşılık Şekil 1 de işaretlenmiştir.



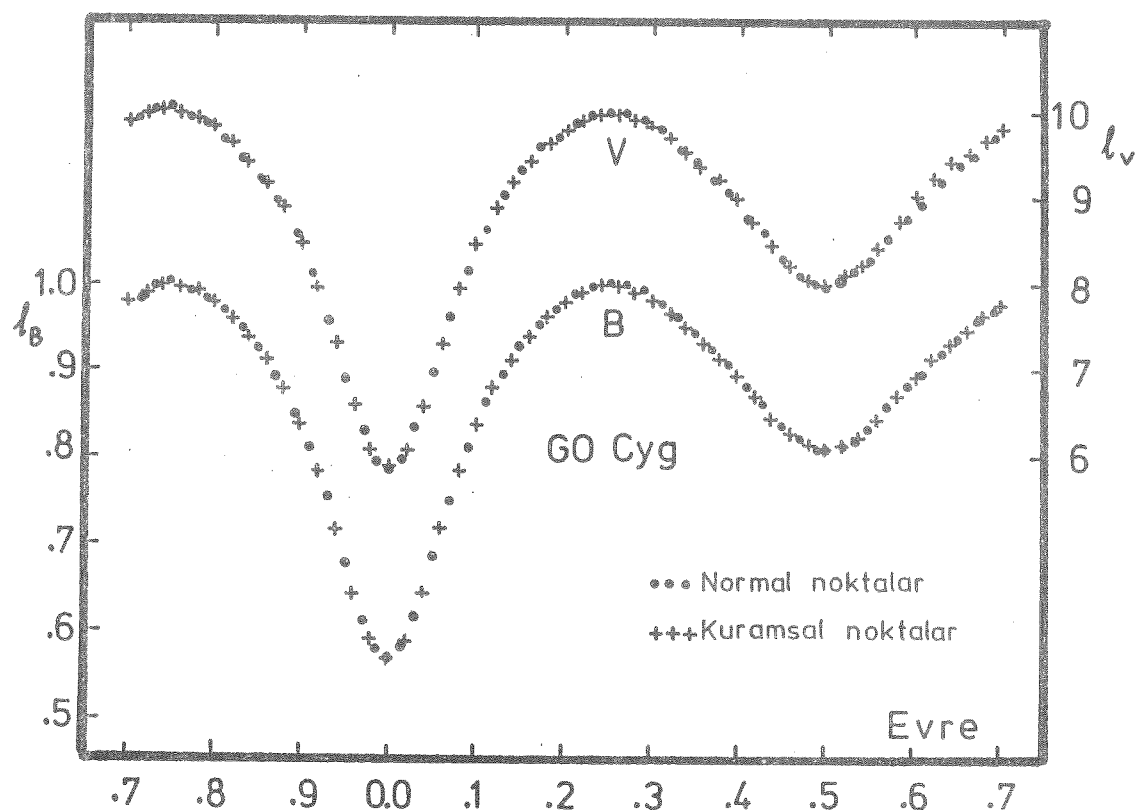
Şekil 1. Kütle oranının fonksiyonu olarak $\sum w(O-C)^2$ nin değişimi.

Şekilden görüldüğü gibi değişim eğrisi kütle oranının 0.4 ve 0.7 değerlerinde iki minimum vermektedir, ancak 0.4 deki minimum daha derindir. Bu durum, bizim ilk çözümlerimizde 0.7 civarındaki yerel minimuma düşTÜGÜMÜZÜ ve bu nedenle gerçek kütle oranına ulaşamadığımızı göstermektedir. Daha sonra kütle oranı da serbest bırakılarak Holmgren'in dikine hız eğrileri ile birlikte B ve V renklerinde eşzamanlı çözümler yapılmış ve Çizelge 1 de verilen kesin sonuçlara ulaşılmıştır. Bu çözümlerde yörunge yarı-büyük eksen uzunluğu a ve sistemin kütle merkezinin dikine hızı V_γ parametrelere değişken parametrelere eklenmiştir.

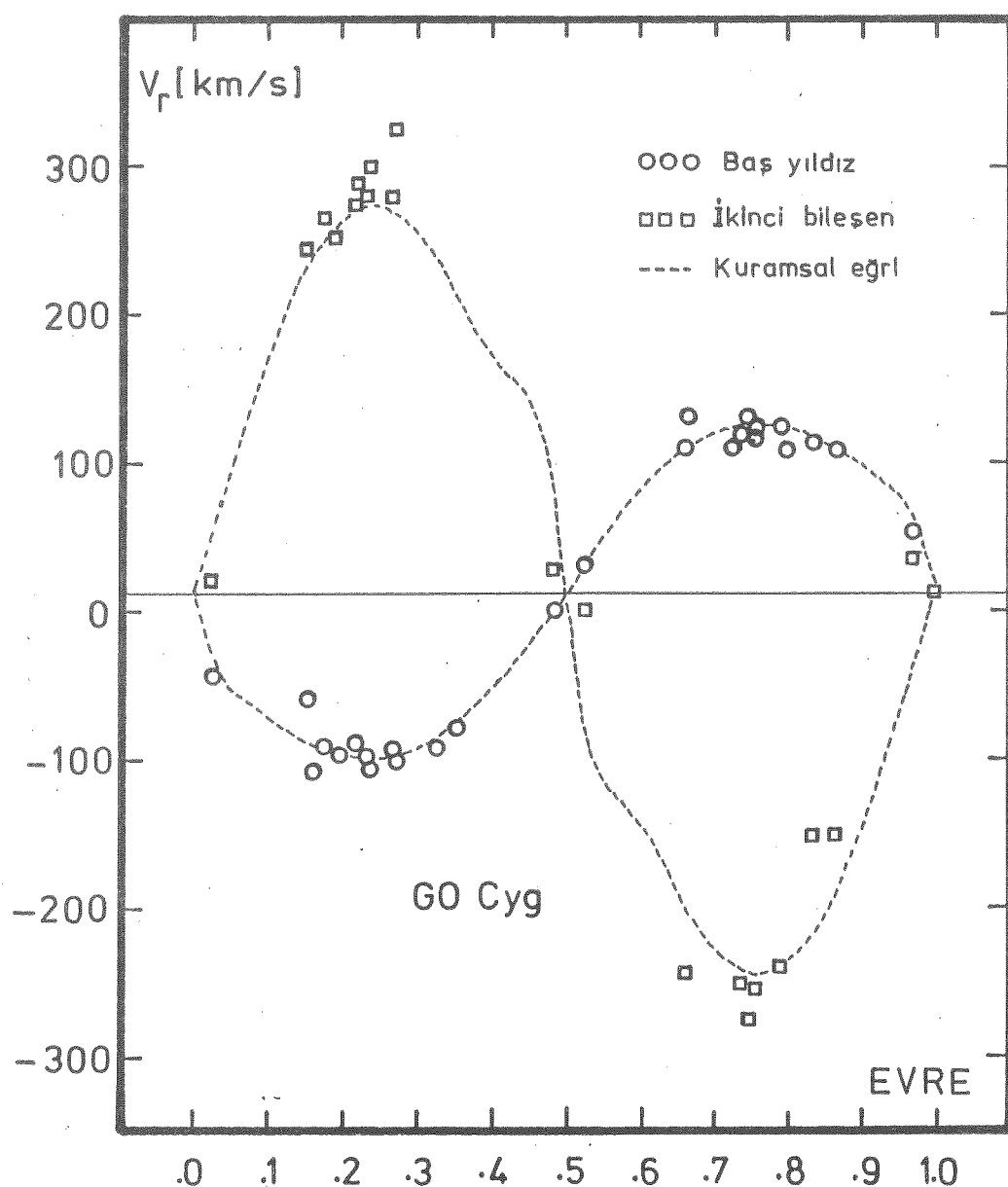
Çizelge 1. GO Cygni'nin Wilson-Devinney yöntemiyle elde edilen çözüm sonuçları.

Öğeler	Mavi(B)	Sarı(V)
i	$79^{\circ}.2 \pm 0^{\circ}.2$	$79^{\circ}.5 \pm 0^{\circ}.2$
x_h	0.55	0.45
x_c	0.79	0.62
A_h	1.0	1.0
A_c	0.5	0.5
g_h	1.0	1.0
g_c	0.32	0.32
T_h	10350 K	10350 K
T_c	5933 ± 32 K	6117 ± 35 K
Ω_h	2.7347	2.7347
Ω_c	2.920 ± 0.010	2.940 ± 0.007
q	0.428 ± 0.003	0.428
$L_h/(L_h+L_c)$	0.966 ± 0.001	0.942 ± 0.002
$L_c/(L_h+L_c)$	0.034	0.058
$r_h(\text{pole})$	0.4272	0.4272
$r_h(\text{point})$	0.5863	0.5863
$r_h(\text{side})$	0.4551	0.4551
$r_h(\text{back})$	0.4823	0.4823
$r_c(\text{pole})$	0.2570	0.2540
$r_c(\text{point})$	0.2957	0.2900
$r_c(\text{side})$	0.2646	0.2613
$r_c(\text{back})$	0.2826	0.2782
a	$(5.59 \pm 0.08)R_\odot$	$(5.57 \pm 0.10)R_\odot$
V_t	13.4 ± 1.5 km/s	13.4 ± 2.2 km/s
$\Sigma W(O-C)^2$	0.0039	0.0081

Çizelge 1 deki sonuçlarla hesaplanan kuramsal eğriler Şekil 2 de görülmektedir. Şekilden de görüldüğü gibi uyuşma oldukça iyidir. Holmgren tarafından gözlenen dikine hız eğrileriyle kuramsal olarak hesaplanan eğrilerin karşılaştırılması Şekil 3 de verilmektedir. Bunlarda oldukça iyi uyuşmaktadır.

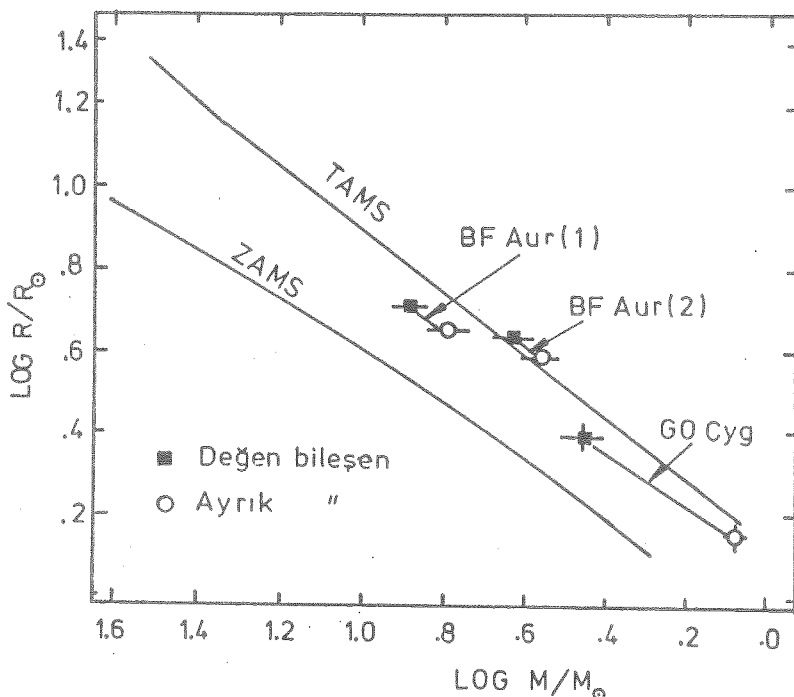


Şekil 2. GO Cygni'nin normal gözlem noktaları ve Çizelge 1. deki sonuçlara karşılık gelen kuramsal eğriler.



Şekil 3. Holmgren(1989) tarafından gözlenen dikine hız eğrileri ile Çizelge 1 deki sonuçlara karşılık gelen kuramsal eğrilerin karşılaştırılması.

Çözüm sonuçlarına göre baş yıldız Roche lobunu doldurmuş, ikinci bileşen ise doldurmamıştır. Bu durum Leung(1989) tarafından "Reverse Algol" konfigürasyonu olarak tanımlanmıştır. GO Cygni dışında bu türden beş sistem daha bulunmaktadır. Bu türün varlığı, yıldızların gelişimi açısından büyük kütleli bileşenin daha hızlı gelişerek Roche lobunu daha önce dolduracağı gerçeği ile uyuşmaktadır. Fotometrik çözümlerimizle Holmgren'in tayfsal verileri birleştirilerek sistemin salt öğeleri hesaplanmış ve GO Cygni örten çiftinin bileşenleri kütleyarıçap diyagramında işaretlenmiştir(Şekil 4).



Şekil 4. GO Cygni örten çiftinin bileşenlerinin kütle-yarıçap diyagramındaki konumları. BF Aur için verilen iki ayrı konum Leung(1989)'den alınmış olup farklı iki kütle oranına karşılık elde edilen çözümleri göstermektedir.

Bileşenleri birleştiren doğrunun eğimi Reverse Algol türü olarak bilinen ve güvenilir tayfsal ve fotometrik çözümleri bulunan BF Aur'a uymaktadır.

KAYNAKLAR

Holmgren, D. : 1988, Özel haberleşme.

Leung, K.C. : 1989, in Critical Observations Vs Physical Models, ed. K.C. Leung, Gordon and Breach, Newyork.

Mannino, G. : 1963, Publ. Univ. Bologna, Vol. 8, No. 15.

Ovenden.M.W. : 1954, Mon. Not. Roy. Astron. Soc. , 114, 569.

Pearce, J.A. :1933, J. Roy. Astron. Soc. Canada, 27, 62.

Schneller, H. : 1928, Astron. Nachr. 235, 85.

Sezer, C., Gülmən, Ö., Güdür,N. : 1985, Inform. Bull. Var. Stars, No. 2743.

Wilson, R.E., Devinney,E.J. : 1971, Astrophys. J. , 166, 605.

O.DEMİRCAN: Çözümleri zorladığımızda degen bir çift yıldızı yarı ayrık da göstermemiz mümkün oluyor. Bunlar degmeye o kadar yakın sonuçlar veriyor ki; bize şimdi yarıçaplar toplamını aldığımızda 0.75'e çok yakın, 0.75 çikması yarıçaplar toplamının degen çift yıldız olduğunu gösteriyor. 0.75'den biraz küçükse yarı ayrık diyoruz. Sizinki de 0.72, 0.75'e o kadar yakın ki bu çözüm hatasından daha büyük değil.

N.GUDUR: Ama biz yarıçaplara pek bakmıyoruz. Potansiyellere bakıyoruz.

O.DEMİRCAN: Potansiyelde de yine yanılığınız var.

N.GUDUR: Potansiyel kritik potansiyelden büyükse...

C.SEZER: Kütle oranında bir takım parametrelerde hatalar olsa bile elde ettiğimiz konfigürasyon çok duyarlı.

O.DEMİRCAN: Dün anlattığım OO Aql'deki gibi kütle aktarımının belirtileri çok kesindi. Eğer ben çözümü zorlasaydım o sistemi birazcık ayrık bulurdum. Hangisinin doğru olduğu henüz galiba kesin değil.

N.GUDUR: Sayı da zaten çok az.

E.DERMAN: Benim anlamadığım bu iki yıldız da ana kolda. Dedeniz ki biri evrimleşirken Roche lobunu dolduracak. Bu da H-R diyagramında üç noktada oluyor, A,B,C diyorlar herhalde. Büyük ihtimalle bunlar Algol ise ilk eğride doldurması gerekiyor. Fakat dolduruktan sonra gelişemiyor. Yani bir tarafa gidemiyor gibi gözükmüyor.

C.SEZER: Gelişmiş yarı ayrık sistemlerde bu eğim değişiyor.

E.DERMAN: Yani ters Algol'den ziyade niye bunlara düz Algol demiyoruz?

C.SEZER: Doğrusu o olması lazım.

E.DERMAN: Sizin çalışmanızdaki GO Cyg bizi de ilgilendiriyor sanıyorum. İnsan ters bir çukura düşüyor. Sizde burada çok ters bir çukura düşmüştünüz. Ama işin ilginç yanı kuramsal eğri ile gözlemsel eğri gene çakışıyor ama çukur ters.

N.GUDUR: Düz Algol diyemeyiz. Çünkü Algol'un kendisi öyle.

C.SEZER: İste onlara başka bir şey demek lazım.

E.DERMAN: Düz Algol diyoruz.

N.GUDUR: O Algol kendisi öyle olduğu için sonuçta bizim bulduklarımız Algol Paradoksu olarak nitelendirilmiş ve şimdi bulduğumuz bu durum Algol'un tersi olduğu için ters Algol diyoruz. Ters Algol lafi doğru ama, gelişim açısından Algol'unki ters.

DH LEO DİZGESİNDE FOTOMETRİK ETKİNLİK

Z. Aslan¹, E. Derman², A. Akaln²

¹ İnönü Üniversitesi, Fen-Edebiyat Fak. Fizik Böl. MALATYA

² Ankara Üniversitesi, Fen Fak. Astronomi ve Uzay Bilimleri Böl. ANKARA

GİRİŞ

DH leo (= HD 86590 = BD + 25 2191) RS CVn özellikleri taşıyan bir spektroskopik çift yıldızdır. Strassmeier ve ark.(1988) dizgeyi BY Draconis tipi olarak sınıflamışlardır. Spektroskopik çalışmalar (Joy ve Wilson 1949, Bopp ve Talcott 1981, Bolton ve ark. 1981, Barden 1984, Barden ve ark. 1986) dizgede kuvvetli H_{α} ve CaII H ve K kromosfer salması olduğunu; Barden (1984) ve Barden ve ark. (1986) H_{α} salmasının yörünge evresi ile değiştiğini göstermişlerdir. Fotometrik gözlemlerden (Hall ve ark. 1979, Aslan 1981, Bolton ve ark. 1981, Barden ve ark. 1986) DH Leo'nun optik işiniminde dönemi yörünge dönemine yakın, genliği v de 0.15 kadar olan bir değişim bulunmuştur. Fotometrik dönemin yörünge döneminden (%0.4'e kadar) farklı olıldığı, ışık eğrisinin biçiminde kısa dönemli (birkaç hafta) değişim olduğu görülmüştür. (Aslan 1981, Barden ve ark. 1986)

İlk spektroskopik yörünge çalışmalarında DH Leo'nun bileşeninin beyaz cüce olduğu öne sürülmüş (Aslan 1967, Bolton ve ark. 1981) ancak IUE gözlemlerinde beyaz cüce izine rastlanmamıştır. (Vilhu ve Rucinski 1983, Aslan, Kızılıoğlu ve Derman 1984) Fotometrik gözlemlerde bileşen tarafından b ve v de 0.01 kadirden büyük örtme yada örtülme belirtisi görülmemiştir (Aslan 1981, Barden ve ark. 1986).

Yüksek ayırma güçlü CCD spektroskopisinden DH Leo'nun üçlü (SB3) bir dizge olduğu sonucuna varılmıştır. (Barden 1984-1985, Strassmeier ve Fekel 1990). Barden'a göre H_{α} baş yıldızda yörünge dönemi ile değişken, 2. yıldızda sabit, 3. yıldızda ise normal (etkin olmayan) durumdadır.* Spektral tipleri Barden K0V, K7V, K5V (± 1.5 alt sınıf); Strassmeier ve Fekel ise K2V, K5V, K5V olarak vermektedir.

DH Leo'da x- ışını salması ($< 0.63 \times 10^{31}$ erg / s) gözlenmiştir (Walter ve ark 1980) ancak radyo ışınımı 2.8 cm de algılanamamıştır. (< 20 mJy) ; (bkz Bolton ve ark. 1981)

* Yeni çıkan bir makaleye göre (Newmark ve ark. Astron. J. 100, 560, 1990) baş yıldızdaki kadar olmaya bile, 2. bileşene ait H_{α} da değişkendir.

FOTOMETRİK GÖZLEMLER

Bu çalışmada Ankara Üniversitesi Ahlatibel Gözlemevinde 1972-1983 yılları arasında yapılan b,v gözlemleri kullanılarak DH Leo'nun uzun dönemli ışınım değişimi incelenecaktır.

Yörunge dönemine göre noktalanmış bütün v gözlemleri Şekil 1'de gösterilmiştir. Şekil 2 denet-mukayese (HD85428 -HD86132) farkını sergilemektedir. Bu farkın 17 gecede b, v de gözlenen ortalama değerleri söyledir.

$$\Delta v = -0.414 \pm 0.011/\sqrt{17}, \quad \Delta b = -0.086 \pm 0.008/\sqrt{17} \quad (1)$$

Görüleceği gibi mukayese yıldızında, varsa bile, geceden geceye değişim 0.01 kadirden küçüktür.

Şekil 1'den görüleceği gibi DH Leo'da fotometrik dönem yörunge döneninden farklıdır. ışınım değişimi Güneş benzeri lekelerden kaynaklanırsa en az iki leke çevriminin varlığı Şekil 1'den kolayca anlaşılmaktadır. Leke evrimi Şekil 3 de daha kolay görülmektedir. Burada gecelik ortalama parlaklıklar Julian güne göre noktalanmıştır. U B V sistemine indirgenmiş ezel sağ tarafda gösterilmiştir. Görüleceği gibi, birkaç hafta içinde dizgenin ışık eğrisinde önemli değişimler vardır. Ortalama parlaklık 1977 den 1982 ye kadar düşmüştür, sonra yeniden artmaya başlamıştır. Henüz indirgeme işlemleri tamamlanmamış olan 1987 - 1990 arasındaki gözlemler, bu artışın devam ettiğini göstermektedir. Tek bir dönme süresinde, ki yörunge dönemine yakındır, lekelerin neden olduğu modülasyon genliği v de yaklaşık 0.15 kadir kadardır. Uzun dönemde ise, ortalama parlaklıkda 0.4 kadir kadar değişim görülmektedir. Şekil 3 den uzun dönemli çevrimin 8-14 yıl arasında olduğu sonucu çıkmaktadır.

Şekil 4, b-v renginde uzun dönemli değişim görülmektedir. Ortalama B-V deki değişimde de V de olduğu gibi, en az iki ayrı çevrimin varlığı sezilmektedir. Birinci leke çevrimi 1979-80 de son bulmuş, ikincisi başlamıştır.

DH Leo'da uzun dönemli değişim ilişkin en önemli bulgu Şekil 5 de gösterildiği gibi V ile B-V arasındaki bağıntıdır. Bu K0 - K2 yöresindeki anakol bağıntısını yansıtmaktadır. Benzer değişim kısa dönemli RS CVn dizgesi olan UV Psc'in A. Ü. Ahlatibel Gözlemevinde 1976 - 1988 yılları arasında yapılan gözlemlerde de görülmektedir; ancak UV Psc'da değişim aralığı daha küçüktür.

Argue (1966) DH Leo için $V = 8.45$, $B-V = 1.02$, $U-B = 0.76$ vermektedir. Argue DH Leo'yu derin minimumda yakalamış olabilir mi? Şekil 5, $V = 4.88 + 3.3 (B-V)$ ile temsil edilebilir. Bu bağıntının uzantısı $V = 8.45$ için $B-V = 1.08$ vermektedir.

Birkaç ay içinde renkte yaklaşık 0.04 kadir kadar, bir dönme süresinde ve yaklaşık 0.15 kadir kadar değişme gözlediğine göre aradaki fark bu yolla açıklanabilir. Ancak Argue, yıldızı Eylül - Araılık 1964 de gözlemiştir. Bu tarihte, Şekil 3'deki uzun dönemli çevrime göre, DH Leo çok daha parlak olmamıştır. Nitekim Eggen'nin 1963 deki gözlemi $V = 7.75$, $B - V = 0.88$, $U - B = 0.43$ tür. (Eggen 1964). O halde Argue (1966) yanlış yıldızı , büyük bir olasılıkla HD86260'ı gözlemiş olmalıdır.

DH Leo'da yukarıda sözü edilen renk değişimi spektrel tipte yaklaşık 2 alt sınıf değişimi; etkin sıcaklık da en az 300K kadar değişim anlamına gelmektedir.O halde DH Leo'nun H-R diyagramındaki yeri gözlem anına bağlı olacaktır. Dolayısıyla elde edilecek fiziksel ve evrim parametreleri etkilenecektir. Nitekim Eggen (1984)'a göre DH Leo, diğer kromosferce etkin yıldızlar gibi Hyades anakolunun yukarısına düşmektedir. Halbuki etkin olamayanlar anakoldadırlar. Eggen (1984) bu gözlemlerini şöyle açıklayabileceğini söylemektedir.

- i. Kromosferce etkin yıldızlarda uzun dönemli değişim var ve hepsi maksimuma yakın gözlenmiş olabilir;
- ii. Kromosferce etkin yıldızlar evrim sonucu alt dev + beyaz cüce dumurdadırlar;
- iii. Sistemde benzer parlaklıktaki bileşenler var ;

Şimdi, en azından DH Leo'da görülmeyen sisteme benzer parlaklıktaki olmasa bile, hem bileşenler var hem de uzun dönemli değişim var. Eggen maksimum parlaklığını kullanıldığı burada belirtilmelidir.

LEKE ÇEVİRİMİ VE ETKİN LEKE ALANI

DH Leo'daki ışınım değişiminin güneşdekine benzer lekelерden ileri geldiği düşünülmektedir. Eğer ℓ_s ,lekeli yıldızın $S = (\lambda_1, \lambda_2)$ aralığında saldığı ışınımın lekesiz yıldızın yine S aralığında saldığı ışınımı orani olarak tanımlanırsa

$$\ell_s = 1 - aq_s \quad (2)$$

şeklinda yazılabilir. Burada a ; lekenin toplam kesirsel yüzeyi,

$$q_s = 1 - \frac{\int_{\lambda_1}^{\lambda_2} B_\lambda(T_\ell) d\lambda}{\int_{\lambda_1}^{\lambda_2} B_f(T_f) d\lambda} \quad (3)$$

dir. Burada B Planck fonksiyonunu, T_ℓ leke sıcaklığını , T_f ise fotosfer sıcaklığını temsil etmektedir. (Burada lekelerde sıcaklık dağılımı , yıldızda kenar kararması v.b hesaba katılmayacaktır.)

DH Leo'da Barden ve ark. (1976) $T_f - T_l = 800$ K hesaplamaktadır. Bunun her zaman aynı olduğunu, yanlış etkin leke alanının leke çevrimi boyunca değiştigini varsayılmı. $T = 4900$ K (Allen 1973), $T = 4100$ K için hesapladığımız q ve I değerleri Şekil 6 ve Şekil 7 de gösterilmiştir. DH Leo'nun "lekesiz" parlaklıği için $V = 7.75$, $B - V = 0.88$ alacağız (Bkn Şekil 5). Leke çevrimi boyunca v ve b deki ışık azalmaları (kadir) ve bunlardan hesaplanan ' a ' değerleri çizelge 1'de verilmiştir.

Çizelge 1:DH Leo'da etkin kesirsel leke alanı.

Yıllar	δv	a_v	δb	a_b
1977	0.00	0.00	0.00	0.00
1979	0.07	0.09	0.08	0.11
1981	0.25	0.33	0.29	0.33
1982	0.30	0.39	0.36	0.40
1985	0.19	0.25	0.20	0.24

Burada süzgeçlerin yanıt eğrileri dikdörtgen kabul edilmiş, dizgedeki bileşenlerin katkıları hesaba katılmamıştır. ışık eğrisinin tam modelleme hesabından Barden ve ark (1986) Şubat 1985 için $a = 0.16$ bulmuşlardır. Çizelge 1'den görüldüğü gibi 1982 de DH Leo'nun yüzeyinin % 40'ı lekeli idi.

Tek dönme süresinde gözlenen v 'deki yaklaşık 0.15 kadirlik değişme a 'da % 20 ye varan değişme anlamına gelmektedir.

Lekelerin yüzey dağılımı için ışık eğrisinin ayrıntılı modelleme hesabı gereklidir. Yani lekelerin yüzeydeki dağılımı değişkendir.

DH LEO'UN BİLEŞENLERİ VE H-R DİYAĞRAMI

DH Leo'nun bileşenlerinin spektral tiplerinden yararlanarak işinuma katkıları hesaplanıp gözlemlerle karşılaştırılabilir. Birinci, ikinci ve üçüncü bileşenlerin spektral tiplerini sırasıyla K0V, K7V, K5V kabul edeceğiz (Barden 1984 - 1985). Bileşenlerin beklenilen işinim oranları, bu oranlardan ve maksimum parlaklıkda gözlenen $V = 7.75$, $B-V = 0.88$, $U-B = 0.47$ değerlerinden hesaplanan parlaklık ve renkleri Çizelge 2 de verilmiştir.

Salt parlaklık için uzaklık açısı $p = 0''.031 \pm 0''.006$ kullanılmıştır. (Bkz Eggen 1984) Bileşenlerin spektrel tiplerinden beklenilen renkler (Allen 1973) parantez içinde gösterilmiştir. Çizelge 2 a'da son iki sütun gözlemlerden hesaplanan değerlerdir. Her ne kadar U, B, V sütunları, bu gözlem ağırlıklı değerlerle tam uyum içinde değilse de uzun dalga boyuna gidildikçe bileşenlerin artan katkısı açıkça sergilenmektedir. Çizelge 2-b'den görüleceği gibi dizgede 2. ve 3. yıldızlardan beklenilen katkıdan daha çok mavi ışık vardır.

Barden ve ark. (1986) da u ışık eğrisinin genliğinden, bileşenlerin katkısının % 7 beklenildiği halde % 50 kadar olması gerektiğini bulmuşlar, bunu ışık minimumda artan morötesi kromosfer çizgilerinin varlığına bağlamışlardır. Burada, bizim yukarıda verdığımız hesapların dizgenin en parlak "lekesiz" evresi için geçerli olduğu belirtilmelidir.

Çizelge 2. DH Leo dizgesinde bileşenler için beklenilen ve hesaplanan değerler

a-) Beklenilen ışınım oranları (L_i/L_{toplam})

Bileşen	u	b	v	$\lambda 6430(1)$	$H_\alpha (2)$
i = 1 K0V	0.80	0.73	0.68	0.80	0.75
2 K7V	0.06	0.09	0.12	0.08	0.10
3 K5V	0.14	0.17	0.20	0.12	0.15

(1): Strassmeier ve Fekel 1990

(2): Barden 1984

b-) U, B, V Gözlemlerinden hesaplanan değerler

Bileşen	v	M_v	b - v	u - b
1	8.17	5.63	0.89 (0.89)	0.34 (0.47)
2	10.04	7.50	1.16 (1.29)	0.83 (1.17)
3	9.49	6.95	1.04 (1.18)	0.69 (1.10)

Strassmeier ve Fekel'in sıcaklık eşeli ve Barden'in tayf türlerinden belirlenen DH Leo'nun bileşenlerinin H-R diyagramındaki yerleri Şekil-8'de gösterilmiştir. Bileşenler T Tauri bölgesine yakın düşmektedirler. Ancak ışınım güçlerinin oranlarının hesabındaki yaklaştırmalar ve sıcaklık eşelindeki olası yanılıklar nedeniyle bu temkinle karşılanmalıdır. Diğer taraftan Eggen (1984)'e göre DH Leo Hyades süper kümesinin üyesidir. Eğer bu doğru ise DH Leo'nun bileşenleri T Tauri evresinden daha yaşı olmalıdır. DH Leo'da baş yıldızla bileşenler arasındaki parlaklık farkı, bileşenlerde T Tauri yada BY Draconis türü değişimler aramayı güçlitmektedir.

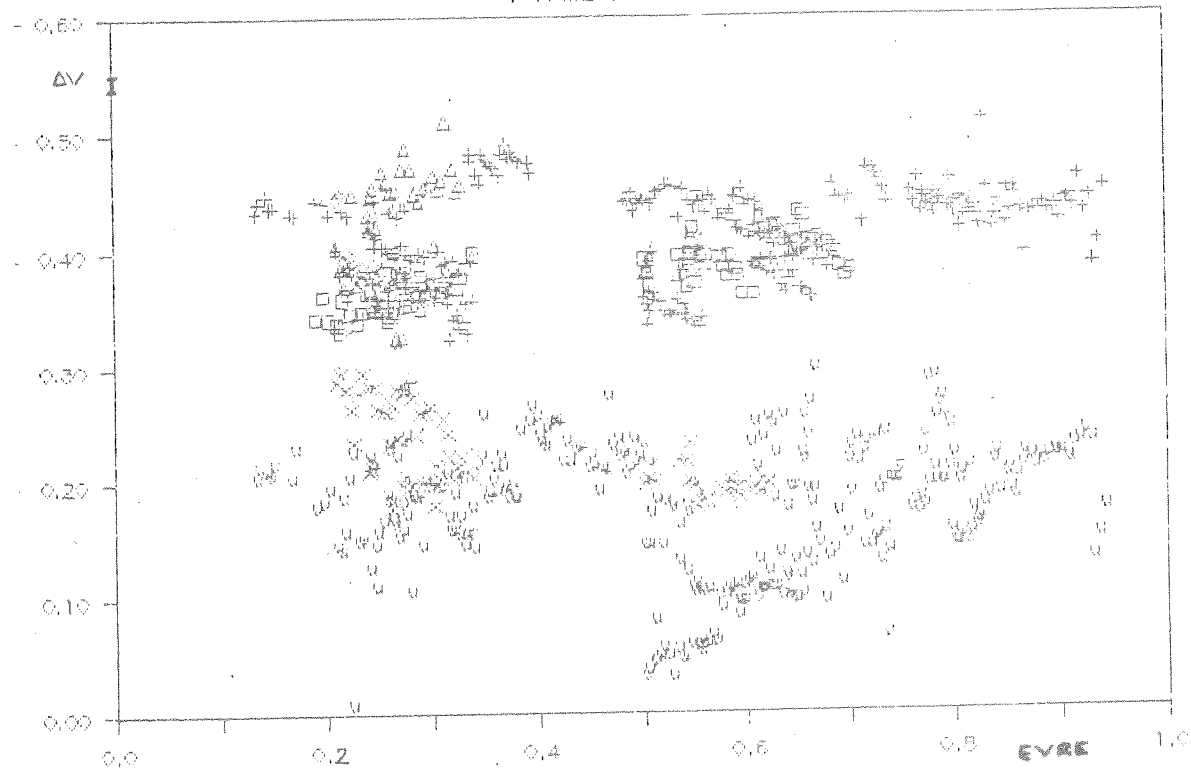
KAYNAKLAR:

- Allen, C. W.: 1973, *Astrophysical Quantities*
- Argue, : 1966, *Mon. Not. R. Astron. Soc.* **133**, 475
- Aslan, Z. : 1981, *IBVS No. 1941*
- Aslan, Z. : 1967, *M. Sc. Tezi*, Sussex Üniversitesi
- Aslan, Z. ; Kızıloğlu, Ü. ; Derman, E. : 1984, *Ulusal Astronomi Toplantısı Tebliğleri*. Kandilli Rasathanesi Yayımları. s. 107
- Barden, S. C.; Fried, R. E.; Ramsey, L. W.; Guinan, E. F.; Wacker, S. W. : 1986, *Cool Stars, Stellar Systems and The Sun*

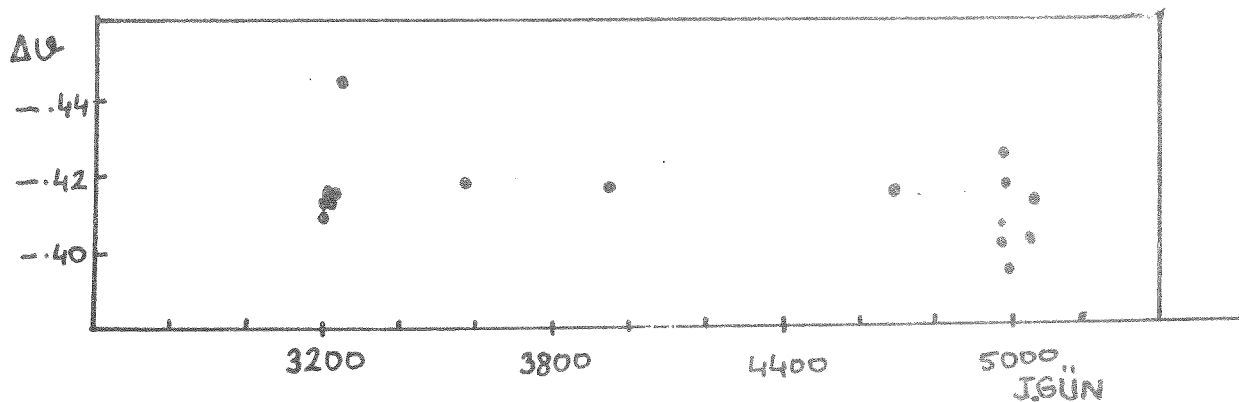
- Bolton, C. T.; Aslan, Z.; Kamper, K. W.; Lyons, R. W. :1981,
Astron. J. **86**, 1267
- Bopp, B. W.; Yalcoot, J. C. : 1978, *Astron. J.* **83**, 1517
- Eggen, O. J.: 1964, *Astron. J.* **69**, 570
- Eggen, O. J.: 1964, *Astron. J.* **89**, 1358
- Joy, A. H.; Wilson, R. E.: 1949, *Astrophys. J.* **109**, 231
- Hall, D. S.; Wancher, C. A.; Louth, H.: 1979, *IBVS* 1690
- Stassmeier, K. G.; Hall, D. C.; Zeilik, M.; Nelson, E.; Eker, Z. ;
Fekel, C. F.: 1988, *Astron. Astrophys. Suppl. Ser.* **72**, 291.
- Stassmeier, K. G.; Fekel, F. C.: 1990, *Astron. Astrophys.* **230**, 389
- Walter, F. M.; Cash, W.; Charles, P. A.;
Bowyer, C. S.: 1980, *Astrophys. J.* **236**, 212
- Wilhu, O.; Rucinski, S. M.: 1983, *Astron. Astrophys.* **127**, 5

DH LEO İŞIK EĞRİSİ

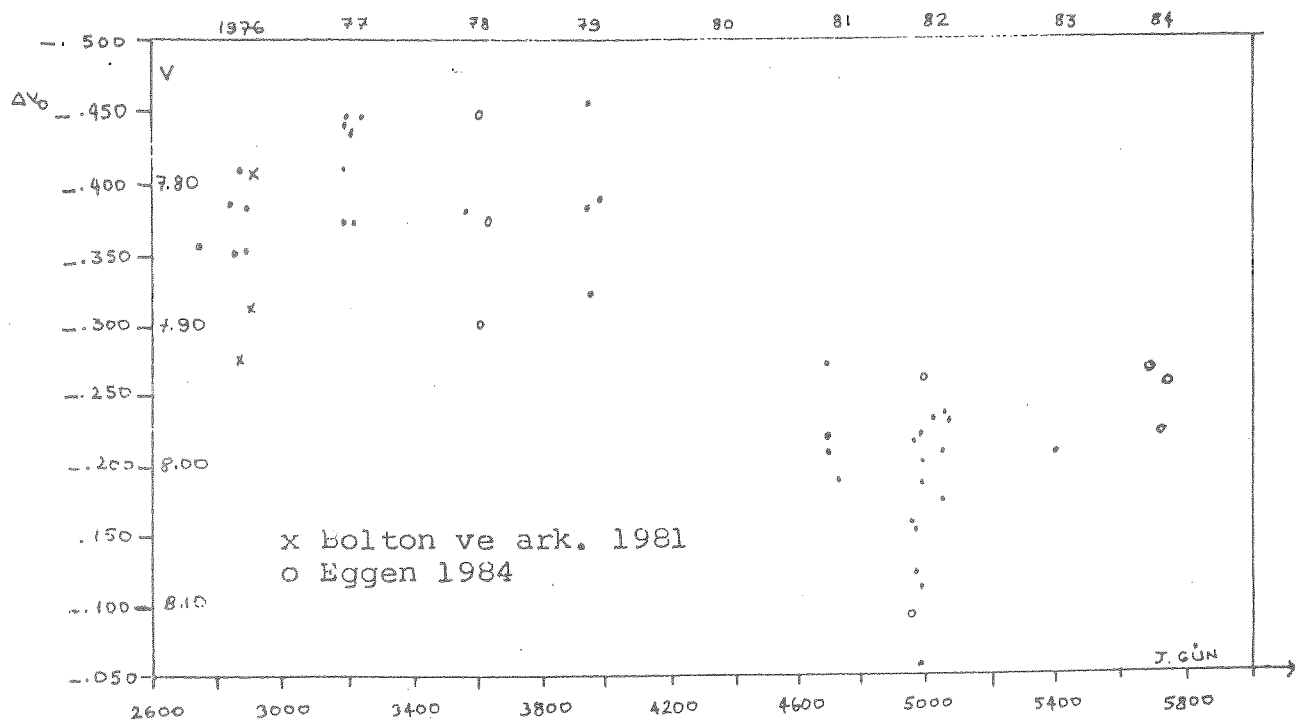
TÜM MEVSİMLER



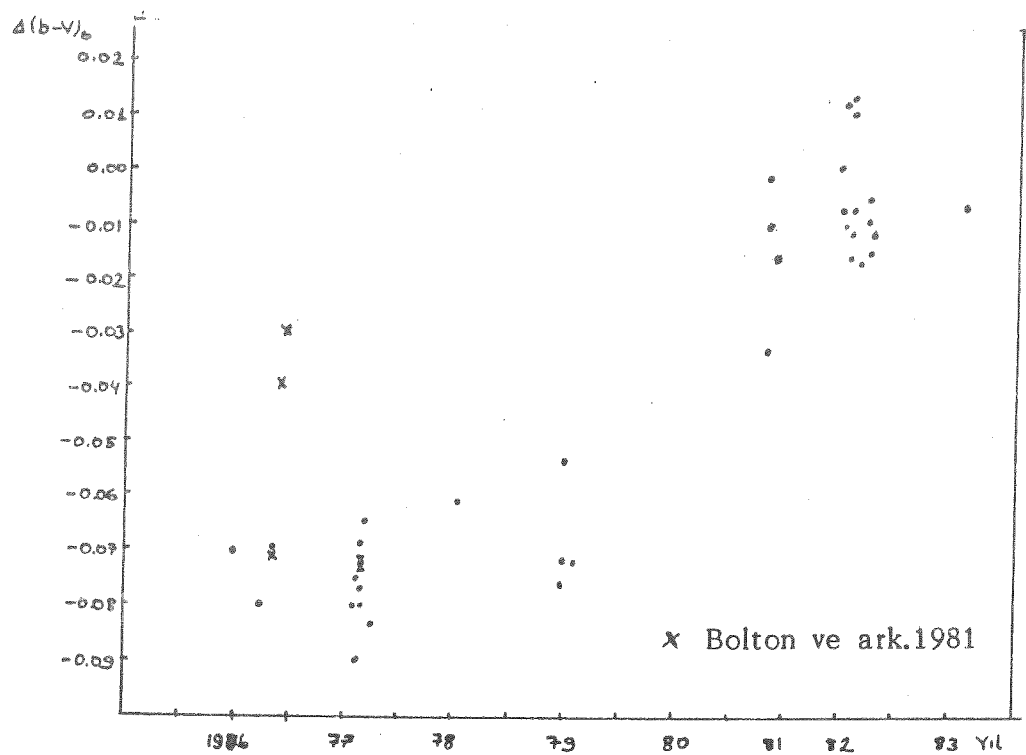
Şekil 1. DH Leo'nun 1975-1983 yılları arasındaki gözlemleri yörüngे dönemine karşı noktalanmıştır. Bir gözlemin olağan yanığı (standart hata) v ekseninde belirtilmiştir. Fotometrik dönemin yörüngे dönemi ile uyuşmadığı görülmüür.



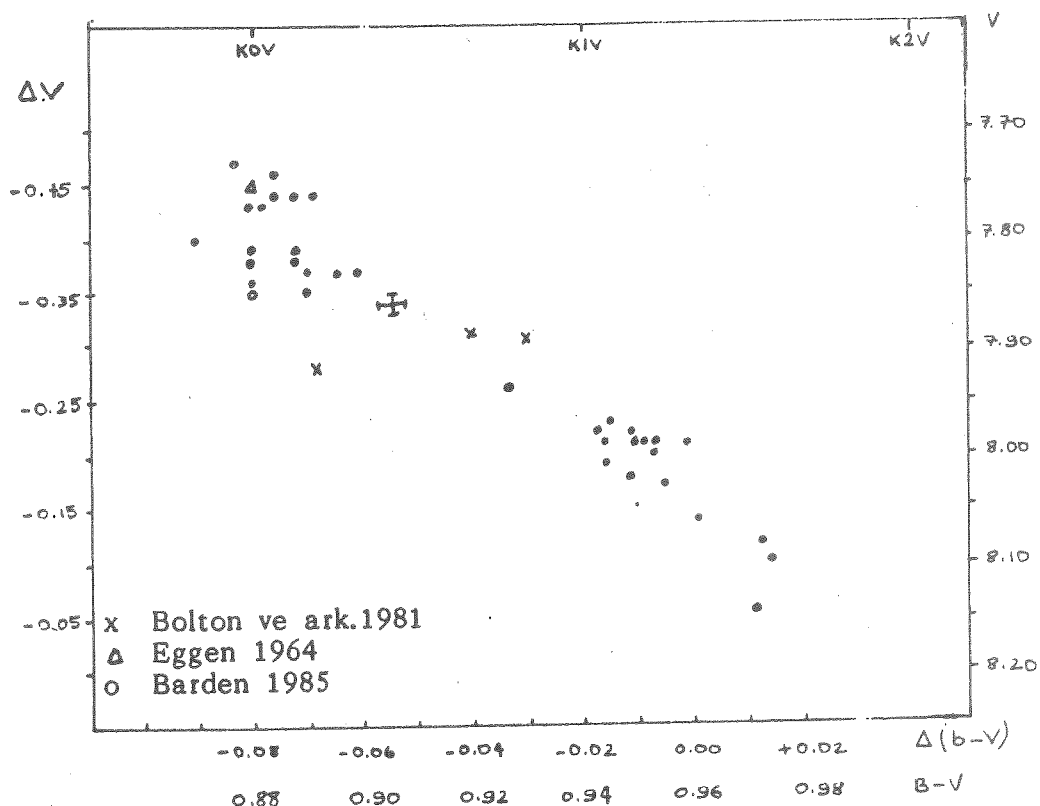
Şekil 2. Denet-mukayese farkı Julyen güne karşı noktalanmıştır.



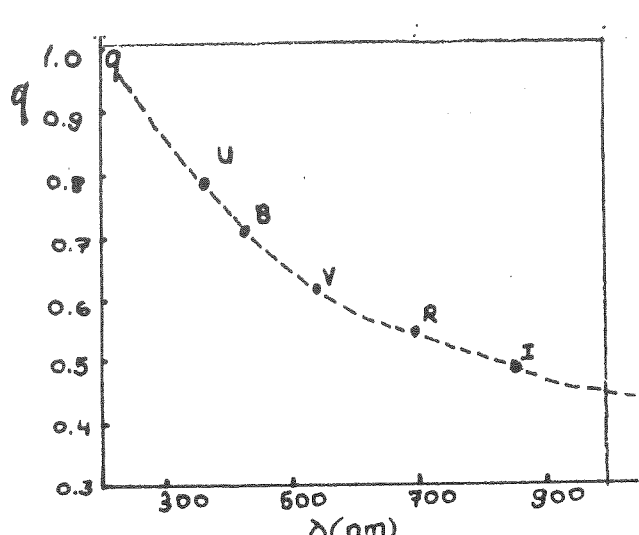
Şekil 3. DH Leo'nun gecelik ortalama parlaklığının Julyen güne göre değişimi.



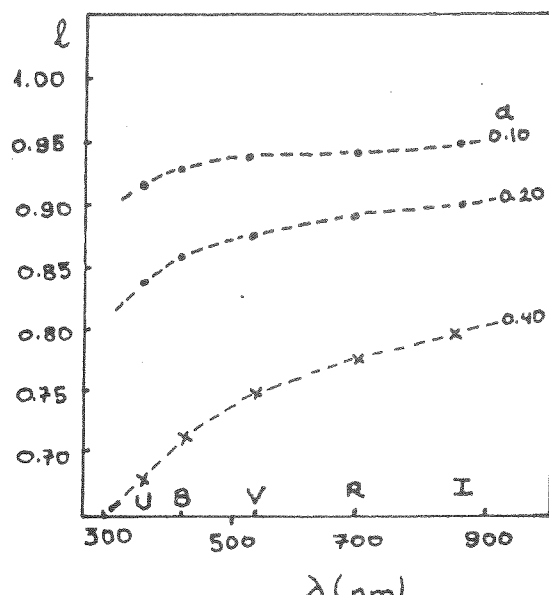
Şekil 4. DH Leo'nun b-v renginde uzun dönemli değişim.



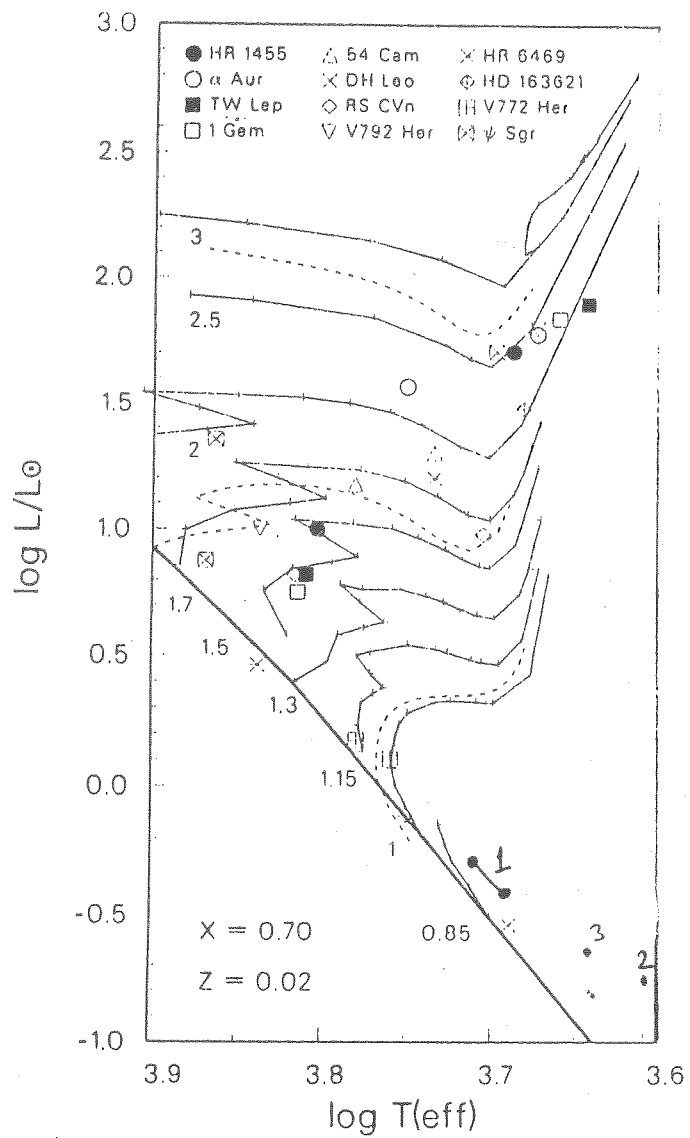
Şekil 5. DH Leo'da 1975-1983 yılları arasında renk ve parlaklık değişimi arasındaki ilişki. Tipik gözlem yanılığı $(-0.054, -0.340)$ noktası ile belirtilmiştir. Eğim, ilgili sıcaklıklarındaki anakol eğimi ile yaklaşık olarak aynıdır.



Şekil 6. $T(\text{fotosfer})=4900\text{K}$, $T(\text{leke})=4100\text{K}$ için hesaplanan kesirsel aki kaybı.



Şekil 7. $T(\text{fotosfer})=4900\text{K}$, $T(\text{leke})=4100\text{K}$ için, kesirsel lekeli yüzeyi a olan bir yıldızın lekesiz yüzeye normalize edilmiş beklenilen ışınım gücü.



Şekil 8. DH Leo'nun bileşenlerinin H-R diyagramındaki yerleri. Şekil, Strassmeier ve Fekel (1990) den alınmıştır.

Atmosferik Tutulma Gösteren Delta Sagittae Çift Yıldızı

Ayvur Akalın, S. Engin, O. Demircan, E. Derman

Ankara Üniversitesi Gözlemevi, Astronomi ve
Uzay Bilimleri Bölümü, 06100 Beşevler, Ankara.

Özet :

Bu çalışmada atmosferik tutulma gösteren çift yıldız δ Sge 'nin A.Ü. Gözlemevi'nde 26-Temmuz 1986'den 1989 sonuna kadar yapılan üç renk (U, B, V) fotoelektrik ışık ölçüm gözlemleri değerlendirilip sistemin ışık eğrisi incelenmiştir. Yörunge dolanma dönemi 3720 gün olan bu sistemin tutulma ortası 1990 yılının Mart ayında gerçekleşmiştir. Bu uzun gözlem programı sonucunda çift yıldız sisteminin tutulma öncesi ve tutulmaya giriş ışık eğrisi elde edilmiştir. 1990 yılı başından bu yana elde edilen gözlemler değerlendirme aşamasındadır. Aynı zamanda bir önceki tutulma ve tutulma dışı IUE moröte tayıflarından elde edilen sonuçlar verilmiştir. Fotometrik ışık eğrisinden, δ Sge sisteminin dev bileşeninin yaptığı pulsasyon ve pulsasyon dönemi tespit edilmiştir.

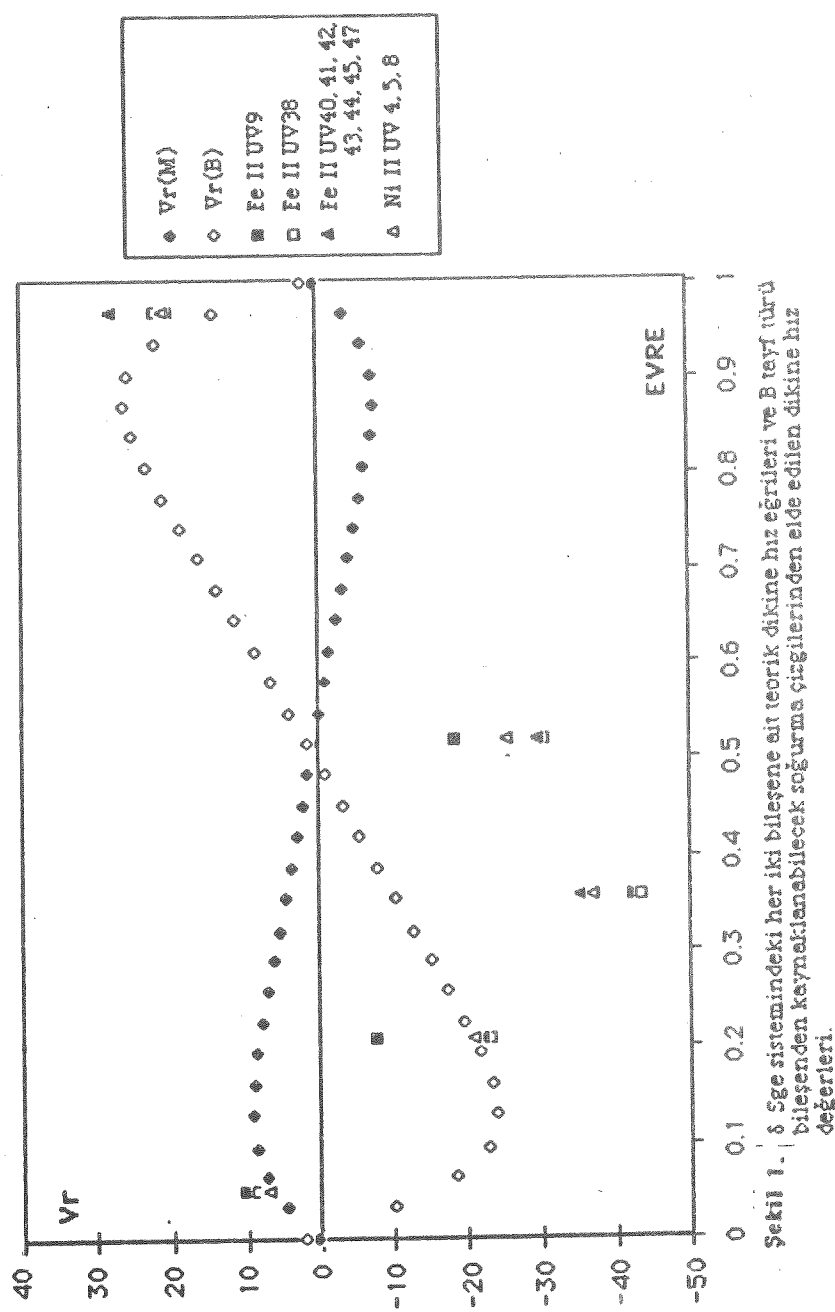
1. Giriş

Atmosferik tutulma gösleren çift yıldız δ Sge, M2 II ve geç B V tayıf türlerinden iki yıldızın birlikteliğinden oluşmuştur. Sıcak anakol bileşenin tayıf türünün A0 ile B6 arasında olabileceği Reimers ve Kudritzki (1981) tarafından belirtilmiştir. Yörunge eğiminin 70° den daha büyük olduğu ve dev bileşenin kütlesinin $8.5 M_\odot$, yoldaşın kütlesinin $2.8 M_\odot$ olduğu tahmin edilmektedir.

Batten (1986) tarafından iyileştirilen yörüngelerini ile her iki bileşene ait teorik dikine hız eğrileri elde edilmiştir (Şekil 1). Bu sistemin IUE uyduyu ile moröte bölgede elde edilmiş 12 tayfta P Cyg profili göstermeyen sadece soğurma halinde bulunan temiz çizgilerin dikine hızları ölçüldü ve Şekil 1'de işaretlendi. Şekilden görüldüğü gibi B yıldızının dikine hız değişiminden farklı bir değişim elde edildi. Bu çizgiler B yıldızının dikine hız eğrisinden 0.25P (~930 gün) kadar kaymış bir değişim göstermektedir ve genlik daha büyütür. δ Sge için rüzgar hızı 28 km/sn olarak verilmektedir (Reimers ve Schröder 1983). Gözlenen her evre için B yıldızının dikine hızı ile rüzgarın dikine hızının bileskesi Şekil 1'de gözlenen bu değişimini vermektedir. Bu çizgilerin B yıldızı civarındaki rüzgarada oluşturduğu anlaşılmıştır. Burada rüzgar B yıldızının yörungesel hareketiyle tedirgin edilmiştir.

2. Fotometrik Gözlemler ve Sonuçlar

Atmosferik tutulma gösteren çift yıldız δ Sagittae sisteminin Ankara Üniversitesi Gözlemevi'nde, EMI 9789 QB fotokatlanırıcısı ve 30 cm'lik Maksutov teleskopu kullanılarak, Temmuz 1988 tarihinden günümüze kadar fotometrik gözlemleri yapılmaktadır. Bu sistem U, B ve V filtrelerinde 1988 yılında 21 gece, 1989 yılında 85 gece gözlenmiştir. Gözlemlerde mukayese yıldızı olarak β Sge (G8 II), denet yıldızı olarak da α Sge (G0 II) kullanıldı. Denet yıldızının ışık eğrisinin gözlemler sırasında sabit olduğu ve ortalaması değerleri ile standart sapmaları $\Delta V=0.00\pm0.01$, $\Delta B=-0.27\pm0.02$, $\Delta U=-0.73\pm0.04$ olarak bulunmuştur. δ Sge yıldızına ait diferansiyel parlaklıklar, standart sökümleme katsayıları kullanılarak diferansiyel sökümleme için düzeltilmiştir. 1988 ve 1989 yıllarında elde edilen gözlemler, güneşmerkezli Jülyen gününe karşı noktalanmıştır (Şekil 2 ve Şekil 3).



Şekil 1. 8 Sge sistemindeki her iki bileyene ait teorik dikine hız eğrileri ve Breyf'ler
bileşeninden kaynaklanabilecek doğrumsa eğrilerinden elde edilen dikine hız
değerleri.

Batten (1986) tarafından verilen yörünge elementlerini kullanarak, aşağıda yapılan hesaplar ile değerlendirme evreleri saptanmaya çalışıldı.

$$R_M = 140 \text{ Re} = 140 \times 6.96 \times 10^5 \text{ km} = 9.74 \times 10^7 \text{ km} \quad (\text{Reimers vd 1983})$$

$$R_B = 2.7 \text{ Re} = 2.7 \times 6.96 \times 10^5 \text{ km} = 1.88 \times 10^6 \text{ km} \quad (\text{Schmidt-Kaler 1982})$$

$$i \geq 70^\circ$$

$$a_M \sin i = 3.9 \times 10^8 \text{ km}$$

$$\frac{M_H}{M_B} = 3 = \frac{a_B \sin i}{a_M \sin i} \quad \Rightarrow \quad a_B \sin i = a_M \sin i \times 3 = 11.7 \times 10^8 \text{ km}$$

$$a \sin i = a_M \sin i + a_B \sin i = 15.6 \times 10^8 \text{ km} \quad \Rightarrow \quad a = 16.6 \times 10^8 \text{ km}$$

$$r_M = \frac{R_M}{a} = \frac{9.74 \times 10^7}{16.6 \times 10^8} = 0.05867$$

$$r_B = \frac{R_B}{a} = \frac{1.88 \times 10^6}{16.6 \times 10^8} = 0.00113$$

Bu kesirsel yarıçaplarla tutulma başlangıç ve bitiş evrelerini aşağıdaki denklemlerle hesapladık.

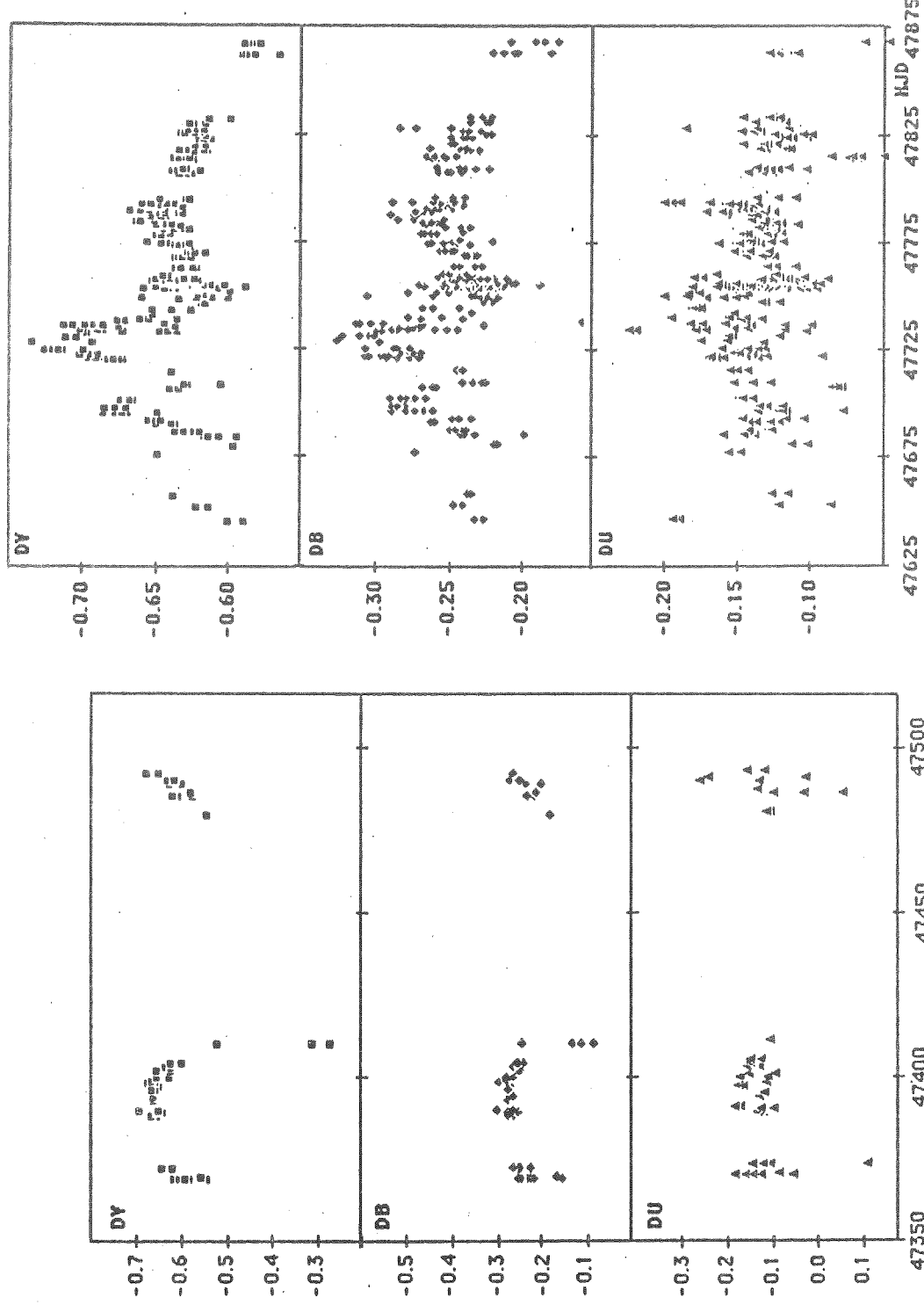
$$\sin^2 \theta_1 = \frac{(r_M + r_B)^2 - \cos^2 i}{\sin^2 i} = -0.12842$$

$$\sin^2 \theta_2 = \frac{(r_M - r_B)^2 - \cos^2 i}{\sin^2 i} = -0.12872$$

$\sin^2\theta_1$ ve $\sin^2\theta_2$ değerleri negatif bulunduğu için tutulma olmadığı anlaşılmıştır. Gözlemler sonucunda elde edilen ışık eğrisindeki parlaklık azalması, onde bulunan dev bileşenin çevresindeki atmosferin sıcak bileşeni örtmesi sonucunda oluşmuştur. Bu sisteme tutulma, atmosferik tutulmadır ve tutulmanın kısa dalgaboyu fotometrik gözlemlerde daha belirgin olması gereklidir. Fakat gözlemlerimizde kısa dalgaboylarına doğru bunun tersi görülmektedir.

1988 ve 1989 yıllarında elde edilen ışık eğrilerindeki parlaklık değişimleri oldukça dikkat çekicidir. Soğuk süperdev yıldızlarının atmosferlerindeki pulsasyonlara çok benzeyen bu değişimler, YY Cephei sisteminin hem fotometrik (Fredrick 1960) hem de tayfsal (Hutchings ve Wright 1971) gözlemlerinde tespit edilmiştir. 8 Sge 'nin 1988 yılı gözlemlerindeki parlaklık değişimine dönem analizi uygulandı ve 118 günlük dönem tespit edildi. ışık eğrisindeki bu parlaklık değişiminin genliği Mayıs 1989 'a kadar azaldı, daha sonra Temmuz sonuna kadar genlik yeniden arttı. Bu süre içerisinde değişimin dönemi ise yaklaşık 60 günden 28 güne düzgün olarak azaldı. Şekil 3 'de Y ve B bandındaki gözlemlerde, ışık değişiminin üç çevrimi açıkça görülmektedir. U bandında ise dönemli bir ışık değişimini görülmemektedir. Mayıs ile Ağustos 1989 arasında gözlenen bu üç çevrimde gözlenen dönemler gittikçe azalmıştır ve dönemler sırasıyla 37, 30 ve 28 gündür. Uzun dalgaboylarında çok daha iyi görülen bu ışık değişimlerinin nedeni dev bileşenin atmosferinin pulsasyon yapması veya sıcak bileşen çevresindeki diskin salınım yapması olabilir.

Ayrıca Mayıs ile Ağustos 1989 tarihleri arasında sistemin toplam ışığında artış olmuş ve hemen sonra parlaklıktta keskin bir düşüş görülmüştür. Bu ışık azalması atmosferik tutulma nedeniyle meydana gelmiş ise tutulma süresi 18 aydan daha fazla sürmelidir. Çünkü tutulma ortası için Mayıs 1990 tarihi tahmin edilmektedir. Bu durumda yörüngenin eğimi veya dev bileşenin boyutları tahmin edilenden daha büyük olmalıdır. Reimers ve Schröder (1983) tarafından önerilen sistem parametrelerine göre tutulmanın olmaması gerekmektedir. Sistemin dönemi de Batten (1986) tarafından verilen 3720 günden daha kısa olabilir.



Şekil 2. Delta Sagittae'nin 1988 yılı UBV gözlemleri

Şekil 3. Delta Sagittae'nin 1989 yılı UBV gözlemleri.



3. Sonuç

1990 yılında elde edilen ve değerlendirme aşamasındaki fotometrik gözlemlerin de Şekil 3'de noktalanması ile, atmosferik tutulmadan çıkışı saptayabileceğiz. Tutulmaya giriş ve çıkış zamanlarına uygun olacak r_M değeri elde edildiğinde, M2 II türü bir yıldızın sahip olamayacağı kadar büyük bir değer bulunacaktır. Bu değer ile r_M arasındaki fark, dev bileşenin atmosferinin boyutu hakkında bilgi verecektir.

Şekil 3'den sıcak bileşenin, Ağustos 1989 tarihinde soğuk bileşenin genişlemiş atmosferi ile örtülmeye başladığı söylenebilir. Tutulma dışında var olan önemli salınımların tutulma içinde de görülmesi, bu değişimlerin soğuk bileşenin pulsasyonundan ileri geldiği hipotezini doğrular.

δ Sge'nin sistem parametreleri, fotometrik gözlemler sonucunda daha da iyileştirilecektir. Ankara Üniversitesi Gözlemevi'nde bu yıldızın fotometrik gözlemleri devam etmektedir.

Kaynaklar

- Batten, A., 1986, Highlights of Astronomy, ed.J.-P. Swings, Reidel, Dordrecht, 207.
 Fredrick, L. W., 1960, Astron. Journal, Vol. 65, 10, 628.
 Hutchings, J. B., Wright, K. O., 1971, M.N.R.A.S., 155, 203.
 Reimers, D., Kudritzki, R. P., 1981, Proc. 2nd IUE Conf. (ESA SP-157), 229.
 Reimers, D., Schröder, K.-P., 1983, Astronomy and Astrophysics, 124, 241.
 Schmidt-Kaler, T., 1982, Landolt-Börnstein, Group IV, Vol. 2b, p. 15f., 18, 30ff., 453ff.

- H. MENTEŞE:** IUE spektrumlarının dalgalıboyu aralığı nedir?
A. AKALIN: Beş tanesi kısa dalga boyu, 1000-2000 Å arasında, yedi tanesi de 2000-3000 Å arasında.
H. MENTEŞE: Rüzgar hızından bahsettiniz. Nasıl buldunuz?
A. AKALIN: 28 km/sn'yi ben tespit etmedim. Reimers tarafından yapılan bir çalışmadan aldım. Fakat ben gözlemsel egriden geriye giderek 28-30 km/sn arasında hız elde edebiliyorum.

V346 AQL, KR CYG VE FG HYA ÇIFT YILDIZLARININ
IŞIK VE DÖNEM DEĞİŞİMLERİ

Z. Müyesseroğlu, O. Demircan, E. Derman

Ankara Üniversitesi, Fen Fakültesi, Astronomi ve
Uzay Bilimleri Bölümü, 06100 Beşevler-ANKARA

ÖZET:

V346 Aql (=BD+09°4425), KR Cyg (=BD+30°3915) ve FG Hya (=BD+03°1979) örten çift yıldızlarının 1988-1990 gözlem sezonu içinde UBV fotometrik gözlemleri yapıldı. Gözlemlerde A.O. Gözlemevi'nin 30 cm'lik Maksutov teleskopu ve ona bağlı EHI 9789QB fotokatlanırıcı tubü kullanıldı. Bulunan ışık eğrileri daha önceden elde edilen eğrilerle karşılaştırıldı. Farklı dalgalıboylarında, minimum derinliklerinde değişim olup olmadığını bakıldı. Gözlemler sırasında elde edilen minimum zamanları, literatürdeki minimum zamanları ile beraber kullanılarak yeni ışık öğeleri elde edildi. ışık eğrilerinin analizi çalışmaları devam etmektedir.

GİRİŞ:

V346 Aql (BD+09°4425, HD191515), ana bileşeni AO tayıf türünde anakol, yoldaşlığı geç F yada erken G tayıf türünde altdev olan bir çift yıldız sistemidir (Giuricin ve Mardirosian (1981)). Sistemin 3" yakınında ve sistemden 2°, 3° kadar daha sonük görsel bir bileşeni vardır. Bu 3. ışık sistemin ışık eğrisini de etkilemektedir.

Cristaldi ve Walter (1963) fotoelektrik ışık eğrilerinden, sistemi Algol türü olarak

tanımladılar. Tutulum dışı asimetrinin görüldüğü bu ışık eğrisini Onlar Russell-Merrill (1952) yöntemi ile çözerek kütle oranını $q=0.34$ elde ettiler.

Giuricin ve Mardirrosian (1981) aynı ışık eğrisini Wood (1972) yöntemi ile çözdüklerinde, önceki çözümün sonuçlarına çok yakın değerler buldular. Ancak iki çözümün sonucunda 3. ışığın katkısı oldukça farklıdır (C&W de $L_3=0.08$, G&M de $L_3=0.012$). Wood çözümünde ikinci bileşenin Roche şısimini doldurduğu sonucunu bulan araştırmacılar, sistemin yarı-ayrık olabileceğini ileri sürmüştür. Soğuk olan ikinci bileşen normal Algol'lerin yoldaş bileşenleri gibi, kütle ve sıcaklıklarına göre daha parlak ve daha büyük boyutludur. Çözümlerde bulunan fiziksel ve geometrik parametreler Çizelge-1'de özetlenmiştir.

KR Cyg (BD+30°3915) sisteminin değişen olduğu ilk kez Schneller (1931) tarafından keşfedildi. Gaposchkin (1953), Ceseyic (1954) ve Lassovszky (1963) tarafından görsel, Wachmann (1948) ve Nekrasova (1945) tarafından fotoğrafik ışık eğrileri yayınladı. Bu gözlemlere göre sistem, Algol türü ışık eğrisi vermektedir. Vettesnik (1963)'in iki renkte elde ettiği fotoelektrik ışık eğrileri ise sistemin B-Lyr türü olduğunu ortaya çıkarmıştır. Sistem, büyük olasılıkla, ikisi de anakol yıldızı olan, B9 ve F5 tayıf türü bileşenlerden oluşmaktadır. Vettesnik'in, Russell-Merrill (1952) yöntemi ile bulduğu kuramsal eğri, gözlenen ışık eğrisi ile pek uyuşmamakta, ayrıca iki renk için bulunduğu eğimler arasında $1^{\circ}.5$ fark bulunmaktadır.

Horak (1966a), Vettesnik'in ışık eğrisini kendi yöntemi ile (Horak, 1966b) küresel elipsoid varsayımlı altında çözdüğünde sistemin yarı-ayrık değil degen olduğunu savundu. Ancak Wilson ve Rafert (1980) aynı ışık eğrisini diferansiyel düzeltme yöntemi ile çözdüklerinde ikinci bileşeni (Vettesnik'in sonucuna göre) daha büyük

boyutlu bulmuşlardır ve bu bileşen Roche şığiminden çok az küçüktür. Buna göre de sistem kısa dönemli Algol'dur.

Çizelge-1 V346 Aql'nın Fotometrik Çözümleri

	C&W 1963	G&M 1981	G. ve ark. 1983
Tayf türü	AO	AOV+F, G	AO+GB-G9
Yöntem	RM	W	WD
i	88° .3	87° .7	---
q	0.34	0.3	0.3
k	0.908	0.909	---
r ₁	0.314	0.300	---
r ₂	0.285	0.273	---
T ₁	---	9660	9400
T ₂	---	5510	5400
L _s	0.080	0.012	---

Çizelge-2 KR Cyg'nın Fotometrik Çözümleri

	Lassv. 1936	Vet. 1965	Horak 1966	W&R 1980	Naim. ark. 1985
Tayf türü	---	B9+F5	B9	B7	B9+F5
Yöntem	---	RM	H	WD	K
i (v)	85° .5	83° .8	86° .3	---	83° .6
(b)	---	85° .3	86° .5	---	84° .6
q	---	---	---	0.48	0.49
k (v)	---	0.61	0.74	0.70	0.79
(b)	---	0.60	0.77	0.69	0.76
r ₁ (v)	---	0.40	0.38	0.43	0.39
(b)	---	0.40	0.37	0.44	0.41
r ₂ (v)	---	0.25	0.28	0.30	0.31
(b)	---	0.24'	0.29	0.30	0.31
T ₁	---	12000	---	9000	6370
T ₂	---	6500	---	3985	9120

Not: Burada, RM: Russell & Merrill (1952) yöntemi, H: Horak (1966b) Kuresel elipsoid, W: Wood (1972) yöntemi, WD: Wilson & Devinney (1971) yöntemi, K: Kopal (1979) yöntemi

Al-Naimiy ve ark. (1985) yine aynı ışık eğrisini frequency-domainde Fourier teknigi ile analiz ettilerinde sistemi yarı-ayrık gözönüne aldılar ve daha önceki çözüm sonuçlarına çok yakın değerler elde ettiler. KR Cyg için tüm çözüm sonuçları Çizelge-2'dedir.

FG Hya (BD+3° 1979)'in değişen olduğu Hoffmeister (1934) tarafından bulundu ve ilk görsel gözlemi Tsesovich (1949) tarafından yapıldı. Sistemin fotoelektrik gözlemmini yapan Smith (1955, 1963) onu W UMA türü olarak sınıflandırdı. Ana bileşen GO tayıf türünde bir anakol yıldızıdır. Bu ışık eğrisinde tam occultation olan ikinci minimumda ışığın sabit olduğu bir aralik, çok açık fark edilmektedir. Smith (1963)'in elde ettiği tayıflardan, az sayıdaki hidrojen çizgisine göre $\gamma = -42$ km/sn ve $K_1 = 92$ km/sn değerlerini saptadı. Mahdy ve ark. (1985), sistemin iki renk fotoelektrik gözlemini yaptılar. Sistemin Binnendijk (1963) tarafından elde edilen tam ışık eğrisini Lucy (1967) modeli ile çözen Mochnacki ve Doughty (1972) q Kütle oranının çok küçük olduğunu belirlediler ($q=0.145$). Bundan başka Jabbar ve ark. (1986)'da frequency-domainde Fourier analizi ile, Maceroni ve ark. (1985) Wilson-Devinney (1971) yöntemi ile, Lafta ve Grainger (1986) Kopal yöntemi optimisation teknigi ile karşılaştırmalı olarak ve en son Al-Naimiy ve ark. (1989) frequency-domainde Fourier analizini kullanarak sistemin geometrik ve fiziksel öğelerini elde etmişlerdir. Bulunan sonuçlar Çizelge-3'de verilmiştir.

Bu üç çift yıldız sistemi 1988-1990 gözlem sezonu içinde, A.O.Fen Fakültesi Ahlatlıbet Gözlemevinde 30 cm'lik Maksotov teleskopuna bağlı EMI 9789QB fotokatlandırıcı tübü kullanılarak gözlenmiştir. V346 Aql'nın 1988'de 4 gece, 1989'da 10 gece (toplam 334 nokta), KR Cyg'nin 1988'de 1 gece, 1989'da 5 gece (toplam 164 nokta) ve FG Hya'nın 1989'da 8 gece, 1990'da 4 gece (toplam 231 nokta) yapılan gözlemleri ile

Johnson'un standart sistemine yakın U, B, V bandlarında fotoelektrik ışık eğrileri elde edilmiştir. Bunlar Şekil-1,2 ve 3 de verilmiştir.

Çizelge-3 FG Hya'nın Fotometrik Çözümleri

	M&D 1972	Hamme 1982	Mac.ark. 1985	Jab.ark. 1986	Naim.ark. 1989
Tayf türü	G0V	F3	--	G0	G0
Yöntem	Lucy	---	WD	Kopal	Kopal
i (v)	88°.0	---	85°.2	78°.1	---
(b)	---	---	---	73°.1	---
q	0.145	0.15	0.142	0.08	0.145
k (v)	---	---	0.417	0.30	0.30
(b)	---	---	---	0.29	---
r ₁ (v)	---	0.57	0.59	0.53	0.53
(b)	---	---	---	0.55	---
r ₂ (v)	---	0.26	0.25	0.16	0.16
(b)	---	---	---	0.16	---
T ₁	5900	---	5900	6030	5720
T ₂	---	---	5816	---	5680
f	0.50	0.55	0.78	---	---

	L&G 1986	
Yöntem	Optim.	Kopal
i	82°.7	86°.5
q	0.19	---
k	0.45	0.57
r ₁	0.53	0.49
r ₂	0.24	0.30

V346 AQL'NIN DÖNEM DEĞİŞİMİ

V346 Aql'nın dönem değişimini incelemek için gözlenen tüm minimum zamanları (31 tane görsel,

44 tane fotoğrafik ve 5 tane fotoelektrik) toplandıktır. Bunlar 1950-1990 yılları arasındaki 12964 yörünge çevrimini içermektedir. Minimum zamanlarının tahmini C değerleri;

$$\text{Min I HeI JD} = 24\ 37499.571 + 1.1066367 E$$

ışık elemanları (C&W, 1963) yardımıyla bulunmuştur. Şekil-4' den görüldüğü gibi O-C grafiği zamana göre azalan bir eğri vermektedir. Buradan yeni bulunan ışık elemanları;

$$\begin{aligned}\text{Min I HeI JD} &= 24\ 37499.5716 + 1.1063628131 E \\ &\quad \pm 138 \qquad \qquad \qquad \pm 1356\end{aligned}$$

olmuştur. Bu yeni elemanlara göre oluşturulan O-C grafiğinden (Şekil-5), dönemli bir değişimin varlığını söylebilir. Bu değişimin genliği 0.01 gün ve dönemi 5800 gün (≈ 16 yıl) olarak tahmin edilmektedir.

KR CYG'DE DÖNEM DEĞİŞİMİ

Bu sistem için bulunan 43 tane gözlemlenmiş minimum zamanına (1929-1989 arası 26045 yörünge çevriminde 9 görsel, 18 fotoğrafik, 16 fotoelektrik) karşılık - Veteşnik (1965)'de verilen;

$$\text{Min I HeI JD} = 24\ 29106.3901 + 0.8451538 E$$

ışık elemanları kullanılarak, hesaplanmış minimum zamanları elde edildi. Böylece minimum zamanları için O-C değerleri oluşturuldu ve bu değerler Şekil-6'da gösterildi. Şekilde 1964 yılından sonra dönemde bir azalma olduğu görülmektedir. Eğrinin 1964'den sonraki kısmı için yeni ışık elemanları;

$$\begin{aligned}\text{Min I HeI JD} &= 24\ 29106.4145 + 0.8451515 E \\ &\quad \pm 35 \qquad \qquad \qquad \pm 21\end{aligned}$$

olarak hesaplandı. İlgili dönem azalmasının sistemde Roche lobunu doldurduğu tahmin edilen büyük kütleli bileşenden ikinci bileşene kütle aktarımından kaynaklandığı sanılmaktadır. Sisteme ilişkin dönem değişimi ve ilgili kutle aktarımı hakkında daha güvenilir bilgi için minimum zamanlarının daha uzun süre düzenli gözlenmesi gerekmektedir.

FG HYA'NIN DÖNEM VE İŞIK DEĞİŞİMİ

FG Hya için 1944-1990 yılları arasında 18 tane I.minimum 10 tane de II.minimum olmak üzere 1'i gorsel 27'si fotoelektrik minimum zamanları literatürden toplanmıştır. Buntara karşılık,

$$\text{Min I HeI JD} = 24\ 36968.7067 + 0.32783433 E$$

(Smith, 1963) ışık elementleri yardımıyla minimum zamanları hesaplandı ve O-C grafiği Şekil-7'de gösterildi. Bu şekilde noktalar, fotoelektrik gözlemlerden bulunduğu halde, rastgele saçılımış gibi görülmektedir.

FG Hya soğuk bileşenlere sahip aktif bir sistem olduğu için ışık eğrileri zamanda değişim göstermektedir. Bu sistemde ışık değişimlerinin dönem değişimine yansııp yansımadığını anlamak için FG Hya'nın tüm ışık eğrilerini toplayıp, her eğri için ortalamaya minimum ve maksimum seviyelerini belirledikten sonra

$$\Delta_{\text{min}} = \text{mag}(\text{min}, 1) - \text{mag}(\text{min}, 11)$$

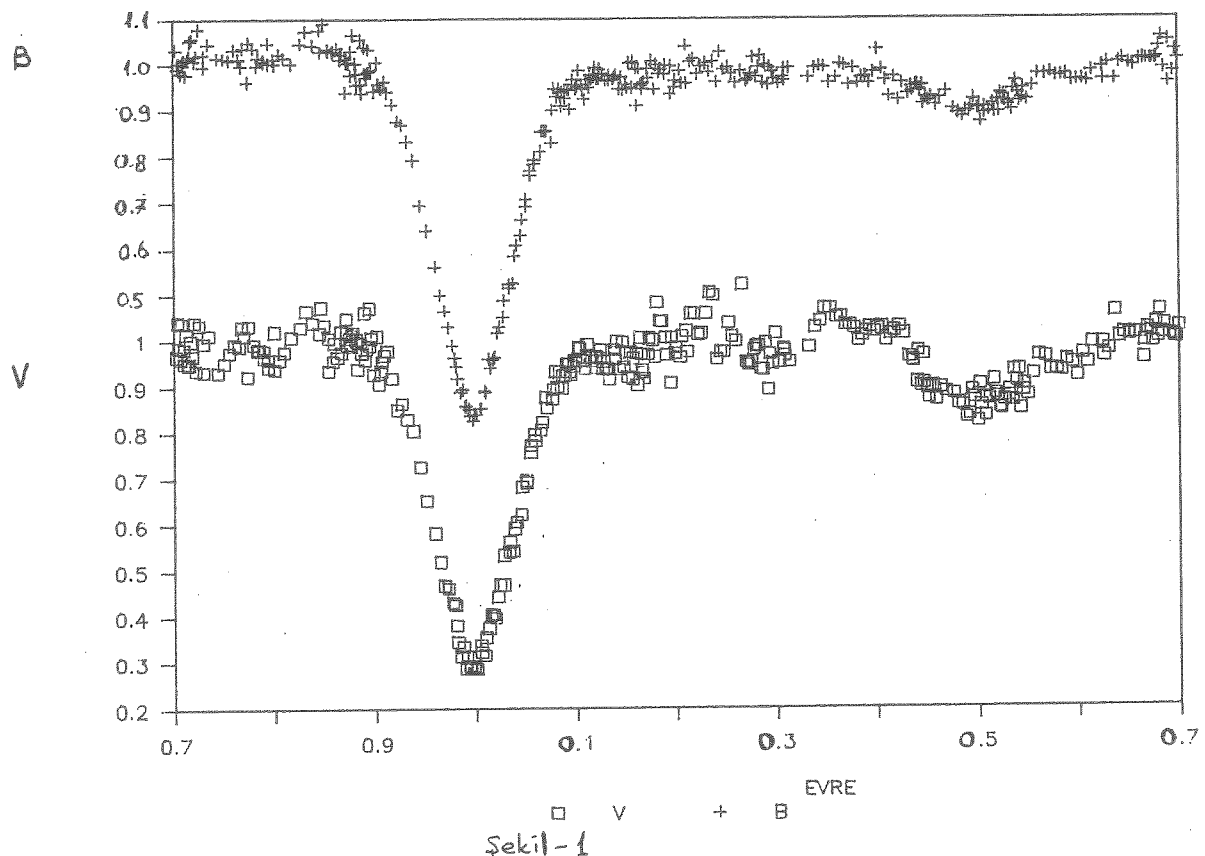
$$\Delta_{\text{max}} = \text{mag}(\text{max}, 1) - \text{mag}(\text{max}, 11)$$

$$D_{1,2} = \text{mag}(\text{min } 1, 11) - \text{mag}(\text{max } 1, 11)$$

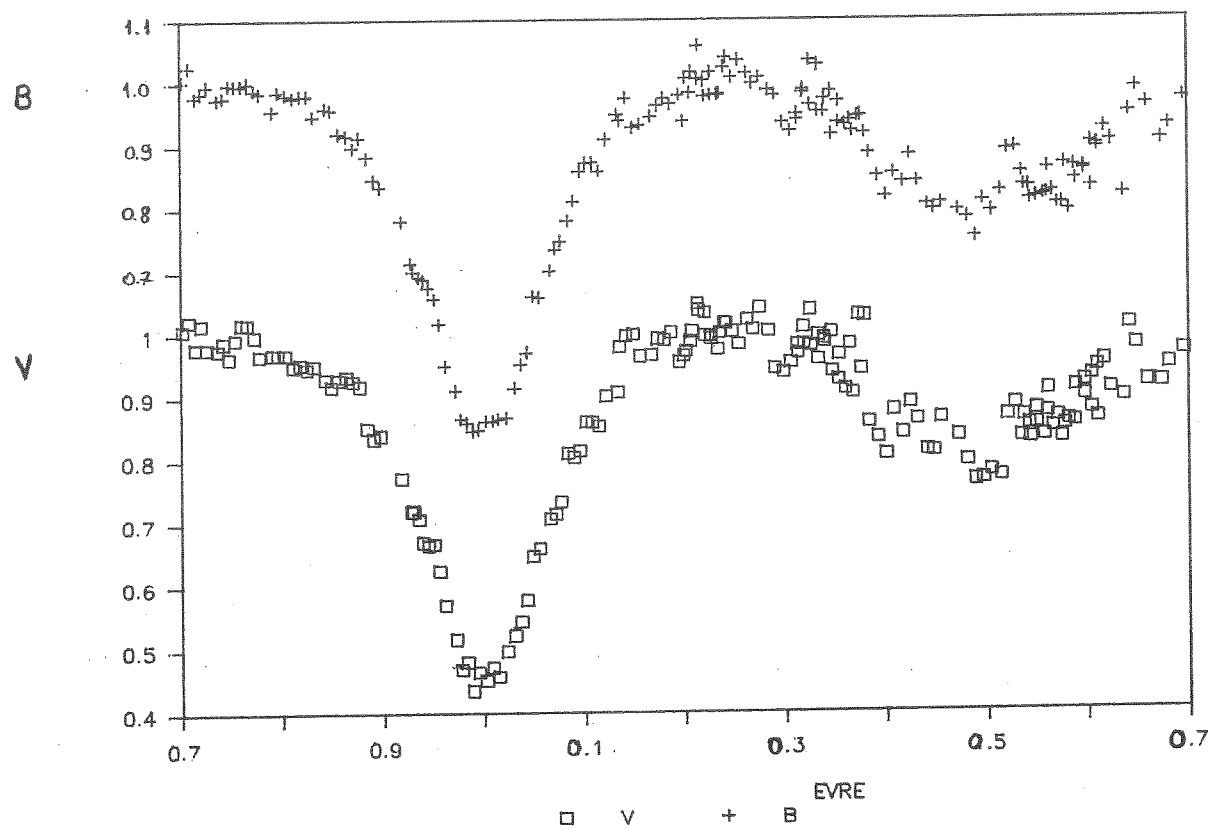
büyüklikleri oluşturuldu. Bu değerler, B ve V renklerinde ayrı ayrı Şekil-8 ve 9'da zamana karşı noktalanmıştır (Şekilde Δ_{min} , Δ_{max} , D_1 ve D_2 sırasıyla DN, DX, D1 ve D2 sembollerini ile gösterilmiştir). Magnetik etkinlik belirteci sayılan bu dört büyüğünün zamanda değişimi, genelde iki ayrı renk için uyum içindedir.

Minimum derinliği D_1 'in daha çok minimum seviyeleri arasındaki farkla (Δm_{in}) belirtendiği, değişim eğrilerinin benzerliğinden anlaşılımaktadır. O'Connell etkisinin, bu sistemde küçük olduğu ve özellikle V gözlemlerinde Δm_{in} değişimini etkilediği görülmektedir. D_1 ve D_2 derinlikleri B'de beraber artıp eksiltirken V renginde böyle bir Korelasyon görülememektedir. Ayrıca bu dört büyülügün değişiminde bir dönemlilik de görülememiştir. Asıl önemlisi bu değişimler magnetik etkinlik sonucu oluşuyorsa magnetik çevrimin dönem değişimine yansıması ve değişimlerin Korelasyon içinde olması beklenir. Ancak eldeki verilere göre söz konusu değişimler arasında bir Korelasyon bulunamamıştır. Ayrıca ne dört magnetik etkinlik belirteci değişiminde ne de dönem değişiminde bir dönemlilik görülememektedir. Dönem değişiminin magnetik etkinlik sonucu oluşup oluşmadığını anlamak için sistemin daha uzun yıllar düzenli gözlenmesi gerekmektedir.

V346 AQL ISIK EGRISI

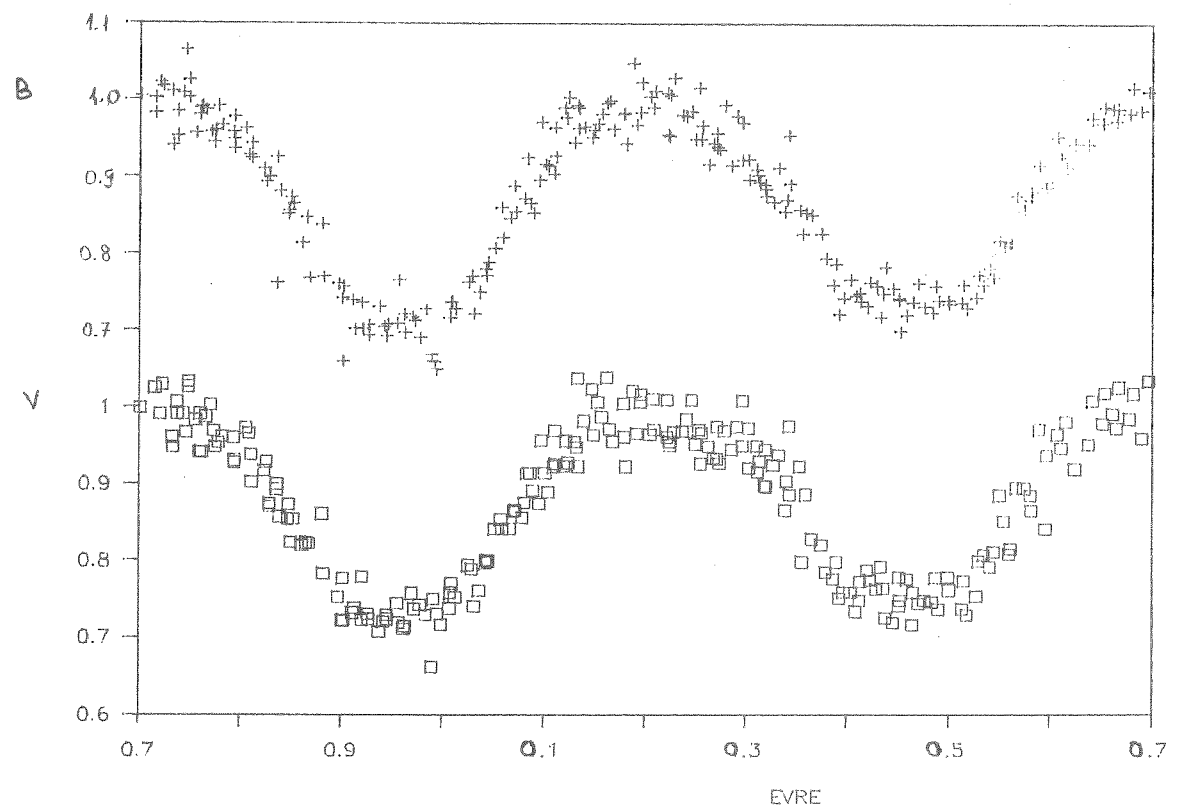


KR CYG ISIK EGRISI

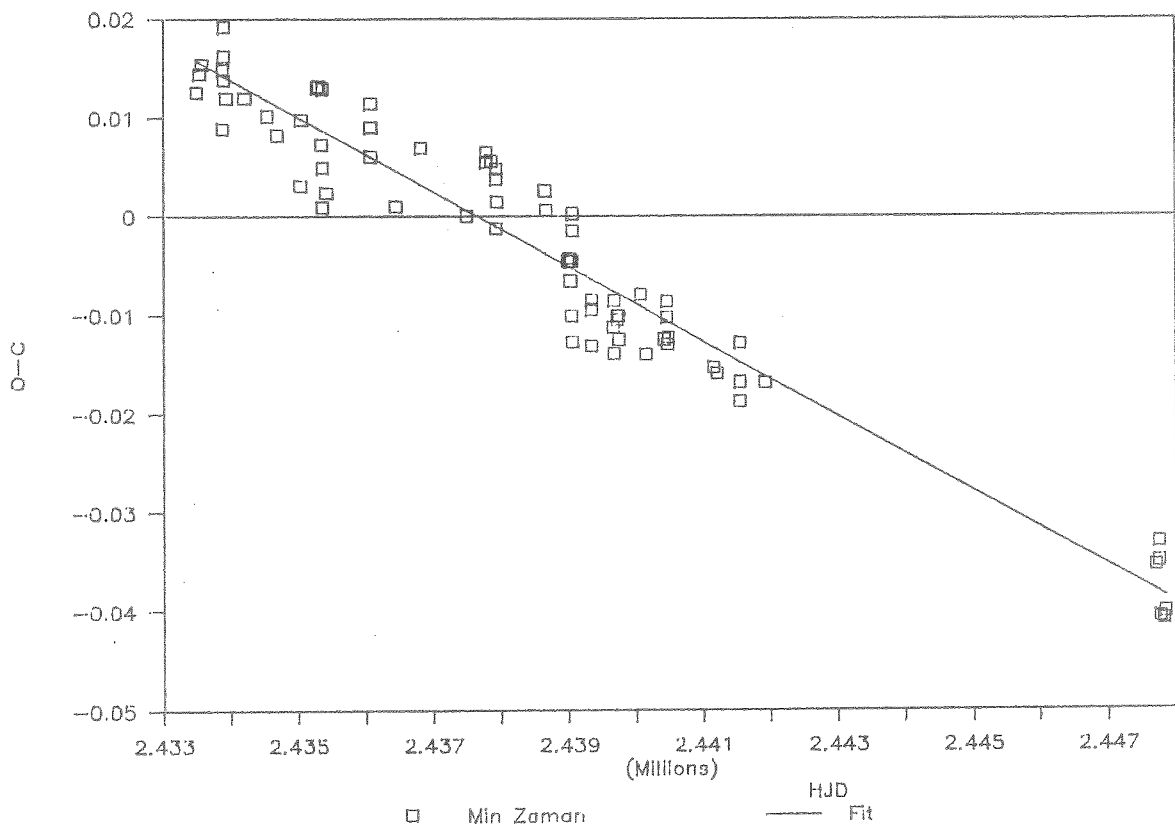


Şekil-2

FG HYA ISIK EGRISI

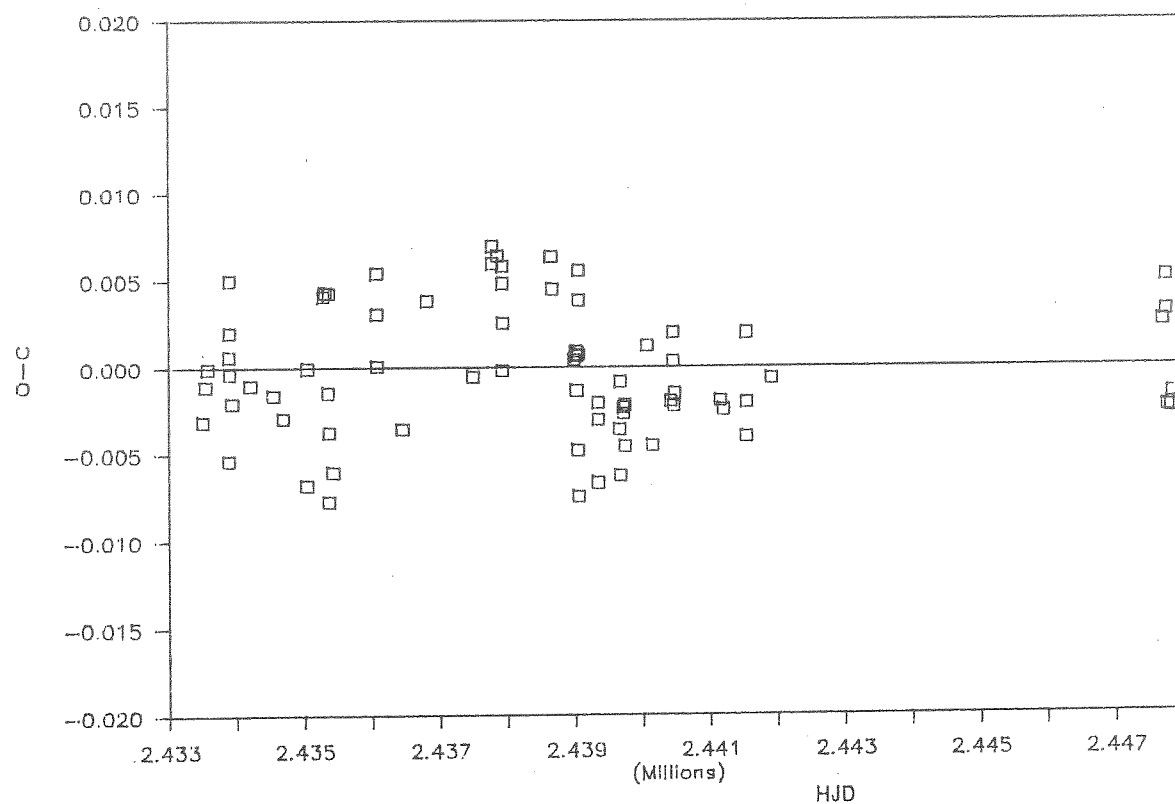


V346 AQL



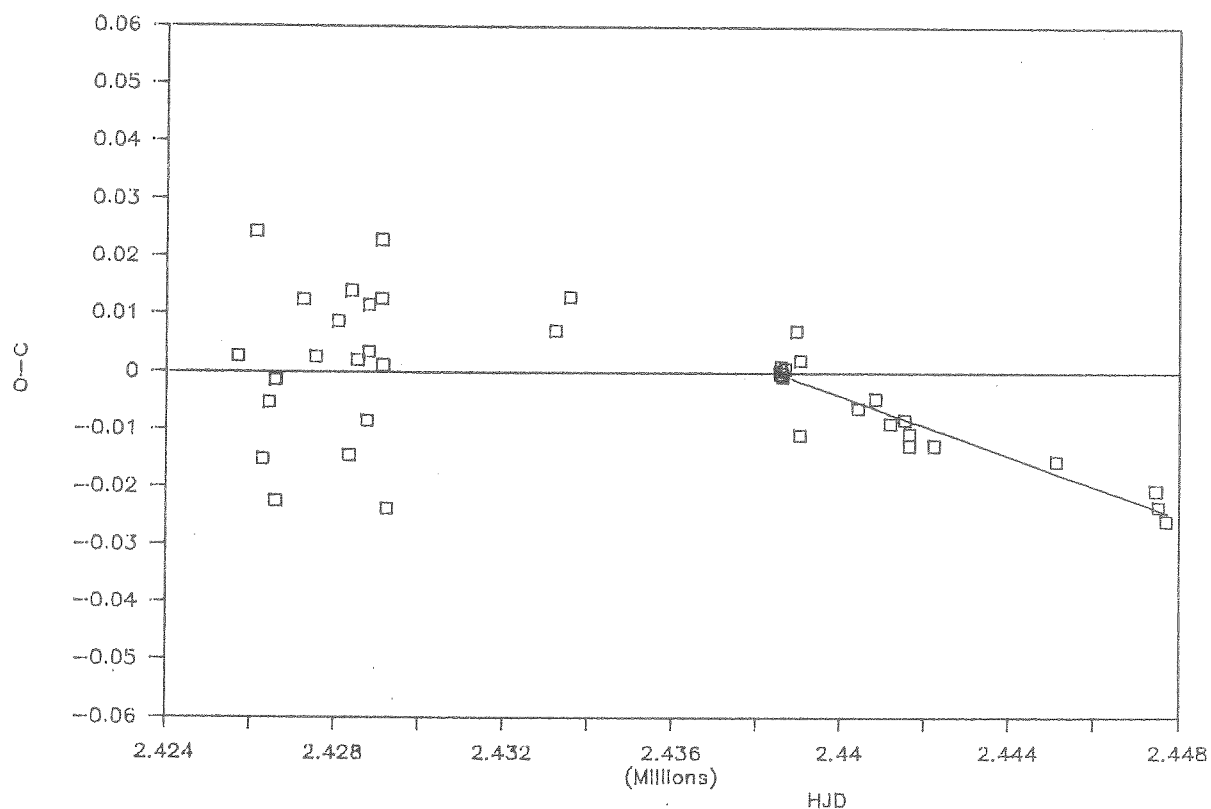
Şekil-4

V346 AQL



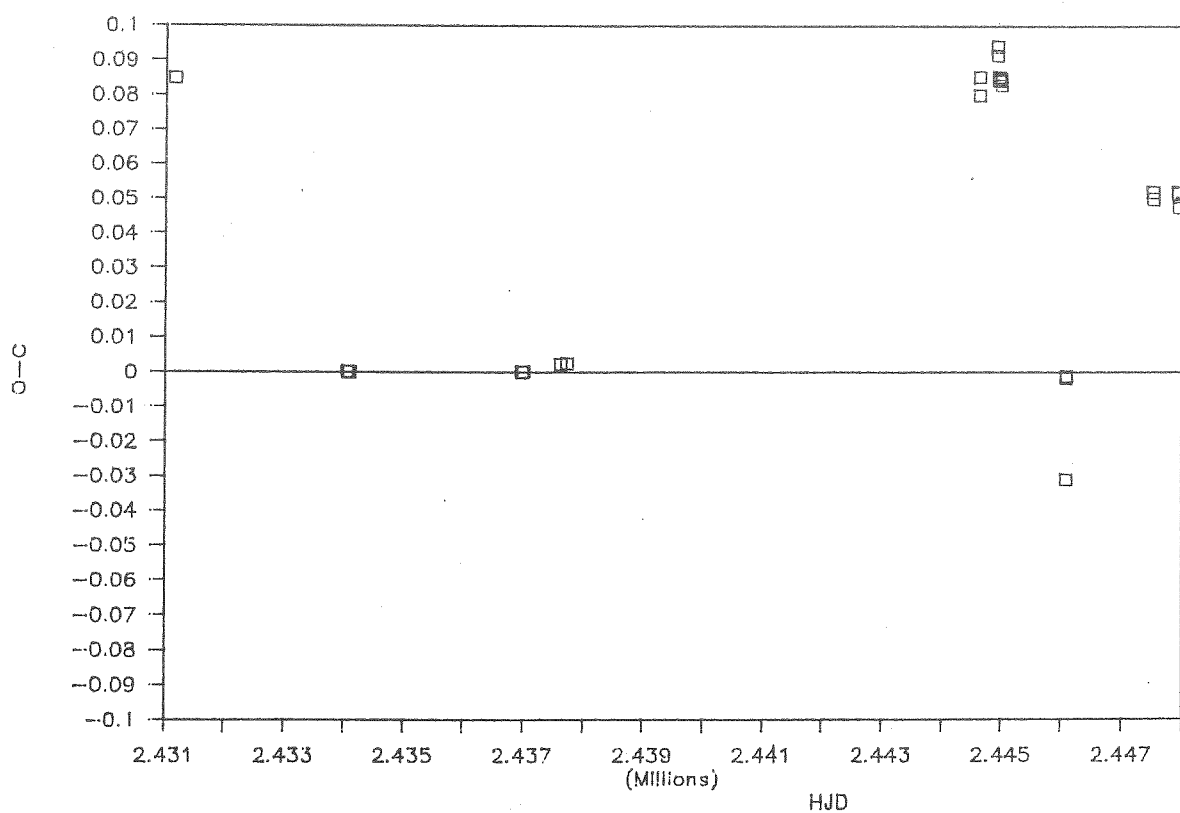
Şekil-5

KR CYG



Şekil-6

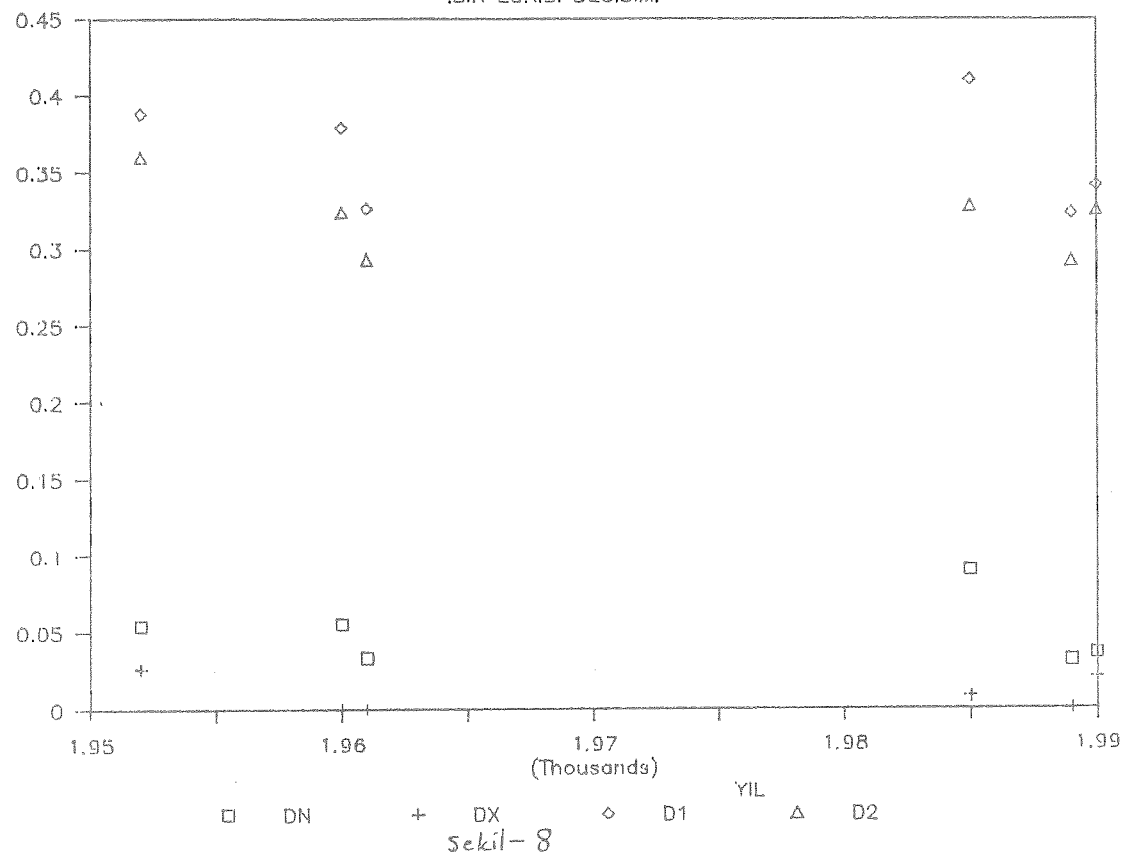
FG HYA



Şekil-7

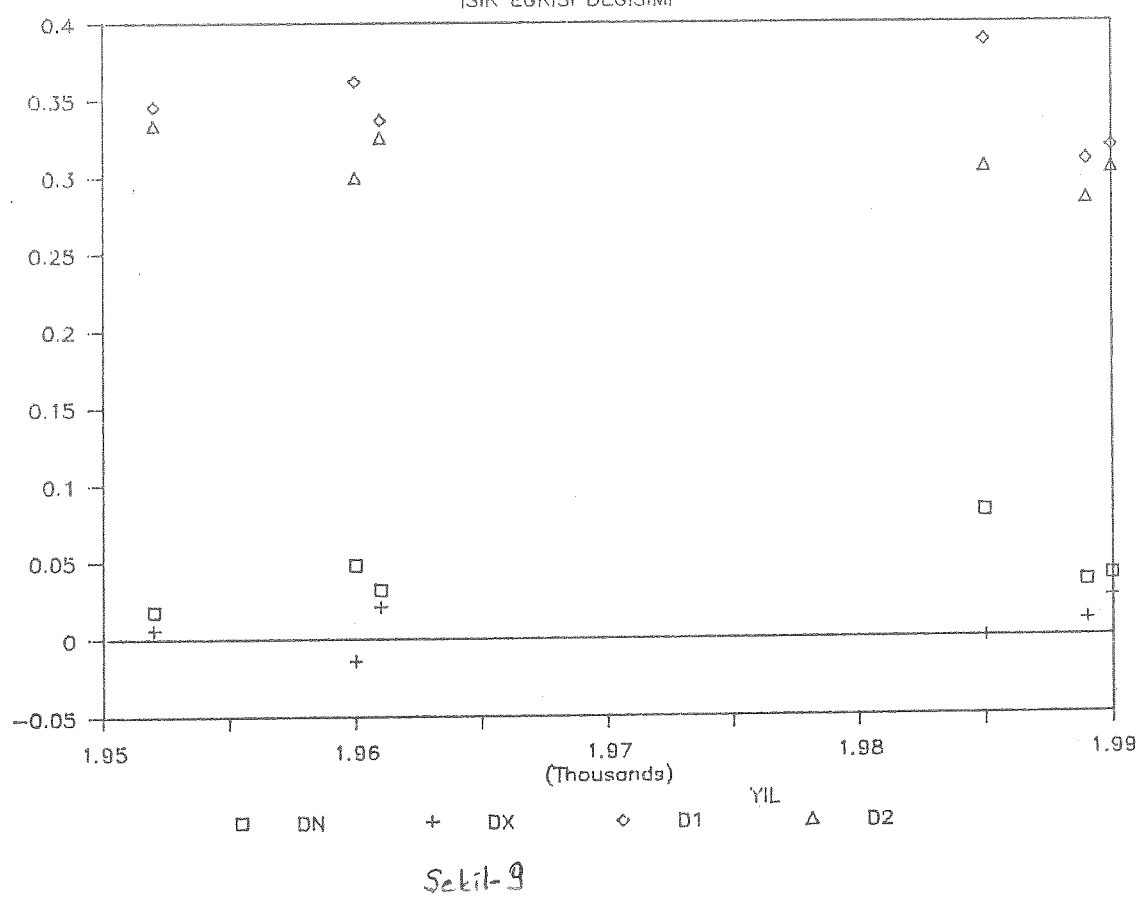
FG HYA B RENGI

ISIK EGRISI DEGISIMI



FG HYA V RENGI

ISIK EGRISI DEGISIMI



REFERANSLAR:

- Al-Naimiy, H.M.K., Al-Mahdi, H.A., Al-Sikab, A.O., Mutter, A.A., 1985. *Astroph. and Space Sci.*, 117, 351
- Al-Naimiy, H.M.K., Jabbar, S.R., Fleyeh, H.A., Al-Razzaz, J.M., 1989. *Astroph. and Space Sci.*, 153, 143
- Binnendijk, L., 1963. *Astron. J.*, 68, 30
- Cesovic, V.P., 1954. *Odessa Izv.*, 4, 263
- Cristaldi, S., Walter, K., 1963. *Astron. Nachr.*, 287, 207
- Gaposchkin, S., 1953. *H.A.*, 113, 104
- Guiricin, G., Mardirossian, F., 1981. *Astron. Astroph. Suppl. Ser.*, 45, 85
- Guiricin, G., Mardirossian, F., Mezzetti, M., 1983. *Astroph. Suppl. Ser.*, 52, 35
- Hoffmeister, C., 1934. *Astron. Nachr.*, 253, 199
- Horak, T., 1966a. *BAC*, 17, 272
- Horak, T., 1966b. *BAC*, 16, 195
- Jabbar, S.R., Fleyeh, H.A., Al-Razzaz, J.M., 1986. *Astroph. and Space Sci.*, 123, 325
- Lafta, S.J., Grainger, J.F., 1986. *Astroph. and Space Sci.*, 127, 153
- Lassovszky, K., 1936. *Astron. Nachr.*, 258, 94
- Lucy, L.B., 1967. *Z. Astrophys.*, 65, 89
- Maceroni, G., Milano, L., Rusco, G., 1985. *Mon. Not. R. Astr. Soc.*, 217, 843
- Mahdy, H., Hamdy, M., Soliman, N., 1985. *Inf. Bull. Var. Stars* No:2811
- Mochnocki, S.W., Doughty, N.A., 1972. *Mon. Not. R. Astr. Soc.*, 156, 243
- Nekrasova, C., 1945. *Pulk. Bull.*, 134, 27
- Rucinsky, S.H., Kaluzny, J., 1981. *Acta Astronomica*, 31, 409
- Russell, H.N., Merrill, J.E., 1952. *Contrib. Princeton Univ. Obs.*, No:26
- Schneller, H., 1931. *Astron. Nachr.*, 242, 180, 243, 337, 245, 43
- Smith, H.J., 1955. *Astron. J.*, 60, 179
- Smith, H.J., 1963. *Astron. J.*, 68, 39
- Tsesevic, V.P., 1949. *Peremennye Zvezdy.*, 7, 8
- Vetesnik, M., 1965. *BAC*, 16, 326

Wachmann, A.A., 1984. Astr. Abh. Erg. AN., 11 NO:5
 Wilson, R.E., Devinney, E.J., 1971. Astrophys. J.,
 166, 606
 Wilson, R.E., Rafert, J.B., 1980. Astron. Astroph.
 Suppl. Ser., 42, 195
 Wood, D.B., 1972. A Computer Program For Modeling
 Non-Spherical Eclipsing Binary Systems,
 Goddard Space Flight Center, Greenbelt,
 Maryland, USA

S. EVREN: 348 Aql ve FG Hya eğrisini tekrar gösterebilirmissiniz. Oradaki sinus eğrisi bana zorla yapılmış gibi geliyor. Bilmiyorum ama siz o kırmızı noktalari oraya çizmeseydiniz ben oradan sinus eğrisinin geçebileceğini düşünemeydim. Bir doğru üzerinde saçılmalara görüluyor. Oradaki noktaların ağırlıklarını ne kadar verdiniz bilmiyorum ama her biri aynı ağırlıktaysa oradaki noktalardan sinus eğrisinin geçeceğini sanmıyorum. Bence daha fazla gözleme ihtiyaç var.

Z. MUYESSEROĞLU: Evet, biz de sinus eğrisini emin bir şekilde geçirmedik.

S. EVREN: El ile mi çizdiniz yoksa hesaplayarak mı çıkardınız?

Z. MUYESSEROĞLU: El ile çizdik.

F. EKMEKÇİ: Minimum derinlikler ile manyetik etkinliği nasıl bağladınız?

O. DEMİRCAN: Yakın çift yıldızların fotometrik gözlemlerinde O'Connor etkisi dediğimiz bir etki var. Bu etki, maksimum seviyelerin farklı olması. Bunun birkaç nedeninden bir tanesi olarak manyetik etkinlik ileri sürüluyor. Manyetik etkinlik nedeniyle maksimumlardan biri daha yüksek, biri daha düşük seviyede oluyor ve bu zamanla dönemli olarak yer değiştirebiliyor. Manyetik etkinliğin çevrimine bağlı olarak. Eğer gerçekten durum buysa, bu bir şekilde döneme yansıyor, dönem küçük genlikle salınımlar yapabiliyor. Onun detayını yarınkı konuşmamda anlatacağım.

S. EVREN: 346 Aql ve FG Hyα eğrisini tekrar gösterebilirmissiniz. Oradaki sinus eğrisi bana zorla yapılmış gibi geliyor. Bilmiyorum ama siz o kırmızı noktaları oraya çizmemeseydiniz ben oradan sinus eğrisinin geçebileceğini düşünemem滋dim. Bir doğru üzerinde saçılmalara görüluyor. Oradaki noktaların ağırlıklarını ne kadar verdiniz bilmiyorum ama herbirri aynı ağırlıktaysa oradaki noktalardan sinus eğrisinin geçeceğini sanmıyorum. Bence daha fazla gözleme ihtiyaç var.

Z. MUYESSEROĞLU: Evet, biz de sinus eğrisini emin bir şekilde geçirmediğimiz.

S. EVREN: El ile mi çizdiniz yoksa hesaplayarak mı çıkardınız?

Z. MUYESSEROĞLU: El ile çizdik.

F. EKMEKÇİ: Minimum derinlikler ile manyetik etkinliği nasıl bağladınız?

O. DEMİRCAN: Yakın çift yıldızların fotometrik gözlemlerinde O'Connor etkisi dediğimiz bir etki var. Bu etki, maksimum seviyelerin farklı olması. Bunun birkaç nedeninden bir tanesi olarak manyetik etkinlik ileri sürüluyor. Manyetik etkinlik nedeniyle maksimumlardan biri daha yüksek, biri daha düşük seviyede oluyor ve bu zamanla dönemli olarak yer değiştirebiliyor. Manyetik etkinliğin çevrimine bağlı olarak. Eğer gerçekten durum buysa, bu bir şekilde döneme yansıyor, dönem küçük genlikle salınımlar yapabiliyor. Onun detayını yarınkı konuşmamda anlatacağım.

Galaksinin Çeşitli Parametrelerle İncelenmesi

Salih Karaali

İ.Ü. Fen Fakültesi Astronomi ve Uzay Bilimleri Bölümü

Özet: Yaklaşık 25 yıl önce Eggen, Lynden-Bell, ve Sandage (ELS, 1962) kinematik olarak seçtikleri bir yıldız örneğinden, UV artıkları çok (metal bollukları az) olan yıldızların, dışmerkezlikleri büyük olan elips yörüngeler Üzerinde dolandıkları, UV artıkları az olanların ise hemen hemen çember yörüngeler Üzerinde dolandıklarını tespit etmişler ve buradan Galaksinin oluşumu ile ilgili sonuçlara varmışlardır: Galaksi, büyük bir gaz bulutunun içe doğru çökmesinden oluşmuş ve göktükçe iç taraf metal bakımından zenginleşmiştir; bu oluşum 10^8 yılın birkaç katı kadar bir zamanda tamamlandı.

ELS nin görüşü birçok astronom tarafından tenkite uğramıştır. Örneğin Searle ve Zinn 'in (SZ, 1978), galaksi merkezinden 10 kpc. ten daha uzak küresel küme yıldızları Üzerinde yaptıkları araştırma, bu yıldızların matal bolluğu gradiyenti göstermediklerini bulmuşlardır. SZ ye göre, Galaksinin dış bölgesindeki gaz bulutları kendi yıldızlarını ve kimyasal bolluklarını oluşturmuştur, sonra daha içteki bölgelerle birlikte çökerek dinamik dengeyi sağlamışlardır.

1980 li yıllarda Gilmore, Reid, ve Wyse (GRW), Galaksimizin Disk (İnce Disk) ve Halodan başka üçüncü bir bileşeni olduğunu bulmakla (Gilmore ve Reid, 1983; Gilmore, 1984; Gilmore ve Wyse, 1985; Wyse ve Gilmore, 1986; ve Gilmore et al., 1989) ELS nin Galaksi modelinin kabul edilmemesi için daha çok delil elde edilmiş oldu. "Kalın Disk" olarak adlandırılan bu bileşen kinematik, spektroskopik, ve güneş civarındaki yoğunluk bakımından İnce Disk ile Halo arasında bulunur: galaksi düzlemine dik doğrultudaki hız bileşeni dispersiyonu 45 km. s^{-1} , metal bolluğu $[\text{Fe}/\text{H}] = -0.6$, güneş civarındaki yoğunluğu, ince disk yoğunluğunun 0.02 si ve yükseklik ölçüği

1-1.5 kpc. tir.

Norris (1987), Bidelman-Macconnel'in (BM) metal bakımından fakir yıldızlardan oluşan ve spektroskopik olarak seçilen bir örneği Üzerinde yaptığı araştırmada, kinematik verilere dayanan ELS çalışmasında seçim etkisi olduğunu tespit etmiştir.

Yıldızların kinematiği ile metal bolluğu arasında bir korelasyonun bulunmaması ve haloda metal bakımından zengin A spektral tipinde yıldızların gözlenmesi, ilkel Galaksimizin dış bölgesinde bulunan gaz bulutlarının ayrı ayrı büzüllerek kendi yıldız sistemlerini oluşturdukları veya bazı uyduların ilkel Galaksimize çarparak dinamiğini ve kimyasal yapısını etkiledikleri şeklindeki görüşlerin önemini artırıyor.

Metal' bakımından en fakir küresel kümelerin arasında yaş farkı bulunması ve aynı durumun Disk kümelerinde de gözlenmesi Galaksimizin yaşıının tayinini zorlaştırmaktadır.

Giriş. Galaksimiz farklı parametreler kullanılarak çeşitli yöntemlerle incelenmektedir. Elde edilen bilgiler ne oranda artıyorsa Galaksimizin yapısının da o oranda karışık olduğunu anlıyoruz. Sağlıklı bir bilgiye sahip olmamız için, çeşitli parametrelerle elde edilen sonuçları karşılaştırmamız gereklidir. Bu sebepten, ben burada, İstanbul Üniversitesi Fen Fakültesi Astronomi ve Uzay Bilimleri Bölümü ile Basel Üniversitesi Astronomi Enstitüsü arasındaki işbirliği çerçevesinde yürütülen ve Galaksimizin fotometrik yöntemle incelenmesine dayanan çalışmaları yaparken, başka yöntemlerle elde edilen ve göz önünde bulundurmamız gereken bazı sonuçları anlatacağım.

Galaksinin Oluşumu ile İlgili Çeşitli Galaksi Modelleri.

Bugün en çok tartışılan Galaksi modeli, 1962 yılında Eggen, Lynden-Bell, ve Sandage (ELS) tarafından ortaya atılan modeldir. Bu model, kinematik olarak seçilmiş yıldız örneklerine dayandırılmış olup $\delta(U-B)$ morötesi artığı çok olan, yani $[Fe/H]$

metal bolluğu az olan yıldızların basık elips yörüngeler Üzerinde, $\delta_{(U-B)}$ değeri az olan yani $[Fe/H]$ değeri çok olan yıldızların ise çember yörüngeler Üzerinde dolandığı tespit edilmiş ve buradan $[Fe/H]$ metal bolluğu ile yörüngelerin eşiğin merkezligi arasında bir bağıntının var olduğunu ileri sürmüştür. Bu bilgilerin ışığında ELS, Galaksimizin bir tek ilkel galaksi bulutunun hızlı bir şekilde bütünlmesi sonucunda olduğu, bütünlükce de dıştan içe doğru metal bakımından zenginleştiği sonuna varmıştır.

Birçok astronom, ELS modeline tepki göstermiştir. Örneğin Larson (1969), ilkel galaksinin birçok gaz kümesinden olduğunu ve o zamanki türbülant hızının çok yüksek olduğunu ileri sürerek bu modele itiraz etmiştir. Field (1975), bir gaz bulutunun bütünlme zamanının, gazın yoğunluğu ile orantılı olduğunu, yani $t_{\text{büyükme}} \propto (G \rho)^{-1/2}$ olduğunu, ve ilkel galaksinin her tarafındaki yoğunluğunun aynı olmaması sebebi ile farklı bölgelerin farklı zamanlarda bütünlüğünü ifade etmiştir. Diğer tarafından Toomre (1977) ye göre, Galaksimiz gibi büyük galaksiler birçok galaksinin bir araya gelmesinden oluşmuştur. Oort (1970) ve Larson (1972) galaksilerarası gazın, uzun bir zaman aralığında, var olan galaksilerin içine sürekli olarak düşüğünü ve bu gazın çögünün galaksi diskinde toplandığını ileri sürürük alternatif modeller kurmuşlardır.

Searle ve Zinn (SZ) (1978), halo y temsil eden küresel kümeler Üzerinde yaptıkları araştırmalarda, Galaksi merkezinden itibaren 10 kpc. ten daha büyük uzaklıklarda bulunan küresel kümeler için $d[Fe/H] / dR = -0.004 \pm 0.009$ olduğunu, yani metal bolluğu gradiyenti bulunmadığını tespit etmişlerdir. Bu da, metal bolluğu için, halodan diske doğru yavaş bir geçiş olduğunu ileri süren ELS modeli ile bağdaşmamaktadır.

Bundan başka SZ, küresel kümelerde bir "ikinci parametre" sorunu olduğunu bulmuştur. Metal bolluğu $[Fe/H] = -1.5$ olan küresel kümelerin renk-kadir diyagramlarındaki yatay kolla-

ri birbirine benzer iken, Galaksimizin dış bölgelerine ait küresel kümelerin yatay kolları birkaç tiptir. Bu farklılığın bir çok parametreye, bu arada yaşı olduğu tahmin edilmektedir.

Bu veriler, SZ yi ilkel galaksinin dış bölgele - rindeki gaz kümelerinin kendi yıldızlarını ve kimyasal yapıla - rını oluşturduktan sonra içteki bölgeler ile birlikte çökerek dinamik dengeyi oluşturduğu sonucunu çıkarmağa sevk etmiştir.

Freeman (1989), galaktik halonun önceden oluşmuş bazı sistemlerin birleşmesi sonucunda meydana geldiği görüşündedir.

Rodgers ve Paltoglou (1984), retrograt yörünge üzerinde dolanan ve metal bolluğu $-1.7 < [Fe/H] < -1.3$ olan bir tek büyük uydunun Galaksimizin Üzerine düşüğünü ve bu uydunun Galaksimizin yapısını çok etkilediğini iddia etmektedir. Galaktik haloda gözlenen, metal bakımından zengin A yıldızlarının kaynağının bu tür bir uydu olması çok olasıdır.

Son zamanlarda, ELS modeli ile bağdaşmayan en güzel çalışmalardan biri Norris (1987) tarafından yapılmıştır. Norris'in, Bidelman-Macconnell (BM) in spektroskopik olarak seçilen, metal bakımından fakir yıldızlardan oluşanörneğinde, metal bakımından fakir olduğu halde dışmerkezliği küçük olan yıldızlar bulunmaktadır (Şek.1). BM Örneğinde, yıldızların %20 sinin dışmerkezliğinin 0.4 ten küçük olması, ELS Örneğinde bir seçim etkisi olduğunu gösteriyor.

Cetvel la da, BM yıldızları ve diğer halo örnekleri verilmiştir; bunların hız dispersiyonlarının aynı olmadığı görülmüştür. Cetvel 1b de ise, belli bir $[Fe/H]$ tan sonra rotasyon hızı, yani $V_{rot.}$, birdenbire düşüyor; bu, rotasyonda bulunmayan bir haloya geçildiğini gösteriyor.

Yukarıda, ELS örneğinin kinematik olarak, BM örneğinin ise spektroskopik olarak seçildiğini belirtmiştim. Bu verilerin aynı popülasyonu temsil edip etmediklerini göstermek için Norris'in yaptığı karşılaştırma Cetvel 2 de verilmiştir; (a) da radyal hızlara, (b) de ise uzay hız bileşenlerine ait veriler bu-

lunuyor. Bu cetvellerde, iki farklı örneğe ait bazı farkların standart hataya oranlarının 2 den büyük olması (istatistik olarak) iki örneğin aynı popülasyonu temsil etmediğini gösteriyor. Bu durum, kinematik örneklerle kinematik olmayan örneklerden elde edeceğimiz sonuçlar için çok duyarlı olmamız gerektiğini anlıyoruz.

Norris (1987), BM örneğinde bulunan 1000 kadar yıldızı, hemen hemen aynı sayıda, 10 gruba ayırmış ve bunların rotasyon hızı ile metal bolluğu arasında bir bağıntının varlığını araştırmıştır. Şek.2 de, V_{rot} nin $[\text{Fe}/\text{H}]$ a lineer bir bağımlılığı olmadığı görülüyor. Rotasyonda bulunmayan halo'a geçişini temsil eden $[\text{Fe}/\text{H}] = -1.4$ ten daha küçük metal bolluğu değerleri ile rotasyon hızı arasında bir bağımlılık varsa, bu bağımlılık azdır.

Sandage ise ELS modelinde ısrarlıdır ve kinematik olarak seçilen yeni örneğinde metal bolluğu ile rotasyon hızları arasında lineer bir bağıntının var olduğunu iddia etmektedir (Sandage ve Fouts, 1987). Şek.3 te Sandage'in elde ettiği yeni şekil verilmiştir; Δ ile temsil edilen değerler, Şek.2 de gösterilen, Norris'e ait değerlerdir. Sandage ve Norris'in verileri arasındaki bu farklılık, V_{rot} tayininde farklı yöntemlerin kullanılmasından kaynaklanıyor.

Kalın Disk Bileşenli Galaksi Modeli

Sandage ve Fouts'un (1987) yeni verilerinin ayrik disk ve halo popülasyonları şeklinde mi yorumlanabilecegi, yoksa Galaksi için bir tek birleştirilmiş modelin mi uygun olacağı konusunda bir uyum sağlanmamış iken [Carney, Latham, ve Laird (1989), Norris ve Ryan (1989) ve Norris ve Green (1989)] son zamanlarda, Galaksinin "kalın disk" adı verilen üçüncü bir bileşenin keşfi (Gilmore, 1984; Gilmore et al., 1989) bu tartışmaları daha da zorlaştırmıştır.

Kalın disk, gözlemlsel verilerin, Galaksinin iki bileşenli Disk-Halo modeli ile uyugmaması sonucunda ortaya atılmıştır. Kalın diske ait parametreler, ince disk ile halo popülasyonu -

nunun parametreleri arasında bulunur. Örneğin, yükseklik ölgüğü $H=1-1.5$ kpc., galaksi düzlemine dik doğrultudaki hız bileşeni $\sigma_w = 45$ km./s, metal bolluğu $[Fe/H] = -0.6$ ve rotasyon hızı $V_{rot} = 190$ km./s dir.

Basel programında incelenen yıldız alanlarına ait gözlemsel verilerin uyduğu model, kalın disk bileşenini içeren Galaksi modelidir.

Kalın disk bileşeninin varlığı ile ilgili en yeni çalışmalardan biri, Carney, Latham, ve Laird (1989) in yaptıkları çalışmıştır. Şek.4 teki histogram bu çalışmadan alınmış olup mutlak değerce küçük W değerleri için (Şek.4a) yığılmanın $[m/H] \approx 0$ da olduğu, yani yıldızların çögünün ince disk yıldızı olduğu, $|W|$ büyündükce (Şek.4b,c,d) ince disk yıldızları azalırken $[m/H] \approx -0.5$ teki modun kendini belli ettiği, yani kalın disk yıldızlarının hakim olduğu ve mutlak değerce daha büyük W değerleri için, ince ve kalın disk yıldızlarının sayısının önemli derece azaldığı, buna karşılık metal bolluğu $[m/H] = -1.6$ olan sfEROİD yıldızlarının histograma hakim olduğu görülmüyor.

Rotasyon Hızı Metal BolluğuNA Bağlı Değildir.

Rotasyon hızının metal bolluğuNA bağımlılığı ile ilgili en yeni çalışma Gilmore, Wyse, ve Kuijken (1989) tarafından yapılan, derleme türünden, bir çalışmıştır. Şek.5a da, farklı çalışmalarla ait rotasyon hızı (V_{rot}) ve metal bolluğu ($[Fe/H]$) arasındaki bağıntı verilmiştir. Düz eğri, V_{rot} ile $[Fe/H]$ arasındaki düzleştirilmiş korelasyonu gösteren bir model eğrisidir. Noktalı eğri ise, $[Fe/H] = -1.0$ da bir süreksizliğin varlığını kabul eden benzer bir model eğrisidir. Şek. 5b de, Laird et al. (1988) tarafından incelenen yıldızlar için elde edilen V_{rot} ve $[Fe/H]$ arasındaki bağıntı verilmiştir. Şek.5a ve b nin karıştırılması, Şek.5a da gruplara ayrılmış yıldızların kinematiği ile metal bolluğu arasında bir korelasyonun olduğunu söylemenin zor olduğunu gösteriyor.

Her iki şekilde dikkati çeken nokta, $[Fe/H] = -1$ ve $-200 \text{ km./s} \leq V_{rot} \leq -100 \text{ km./s}$ bölgesinde rölatif olarak az

yıldızın bulunmasıdır. Norris et al. (1985) kalın disk kinematigine sahip metal bakımından fakir yıldızların varlığını tespit etmişlerdir. Diğer taraftan Morrison et al. (1989) , spektroskopik olarak seçilen G-K devlerinden disk ve halo kinematigine sahip olan eşit sayıda yıldızın metal bolluğu $[Fe/H] = -1$ olduğunu bulmuşlardır.

Yukarıdaki özellikler gözönüne alındığında, Şek.5a nın, ne bir basamak fonksiyonu ve ne de düzleştirilmiş bir bağıntı olmadığı, tersine iki farklı kümenin $[Fe/H] = -1$ de birleşmesinden oluştugu sonucu çıkıyor.

Yaş Durumu.

ELS modelinde, Galaksimizin oluşum zamanı 10^8 yılın birkaç katı olarak veriliyor. Bugün, bu değerin çok küçük olduğu bilinmektedir. Bununla beraber, Galaksimizin yaşıının tayininde çok önemli rol oynayan Galaksi kümelerinin yaşı henüz tam olarak bilinmemektedir.

Oksijenin demire göre bolluğu, yani $[O/Fe]$, dikkate alınarak evrim yolları ile tayin edilen, metal bakımından çok fakir küresel kümelerin yaşı 12-16 Gyr. (1 gyr = 1×10^9 yıl) arasında olup 4 Gyr. lik bir eşel oluşturuyorlar. Metal bolluğu, kalın diskin metal bollüğünü temsil eden 47 Tuc küreselkümesi 13-14 Gyr. lik yaşı ile en yaşlı disk kümelerinden bile daha yaşlıdır(VandenBerg, 1989). Demarque (1989), çok yaşlı disk kümelerinin aralarında yaş farkı bulunduğuunu tespit etti; gerçekten M67, NGC2420, NGC188, ve NGC6791 kümelerinin yaşları sırası ile 4,5,6,ve 7 Gyr. dır.

Bundan başka, son yıllarda, bir küresel kümeye olan Palomar 12 için bulunan yaş, Galaksinin yaş problemini daha da karışık duruma getirmiştir(Gratton ve Ortoloni, 1988; Stetson et al, 1989). Bu kümenin renk-kadir diyagramındaki anakoldan ayrılış noktası o derece parlak uçtadır ki birçok küresel kümeden %20-30 daha genç olduğu sonucunu çıkarılamamak mümkün değildir.

Yıldızların, evrim yollarından itibaren yaşlarının tayininin çok karışık ve zor olduğu bilinmektedir. Bunun

sebebi, yıldızların iç yapı probleminden kaynaklanmaktadır. Son zamanlarda, beyaz cüceler yardımını ile yaş tayinine gidilmiştir. Beyaz cücelerin iç tarafı dejeneres olmuş bir maddeden dış kısmı da ince bir H-He kabuğundan ibaret olup basit bir soğuma mekanizması vardır. Bu sebepten yaş tayini çok daha basit olarak yapılabilir. Beyaz cüceler yardımını ile Galaksinin güneş civarındaki yaşı 9.5 ± 0.6 Gyr. olarak bulunmuştur (Wood, 1989). Haloya ait beyaz cücelerin yaşı tayin edildiği zaman, Galaksimizin yaşı hakkında daha doğru bilgi elde etmiş olacağız.

Kaynaklar.

- Carney,B., Latham,D.W., ve Laird,J.B. 1989, Astron.J.97,423.
 Demarque 1989, "Kingston" toplantısı, Kanada (henüz yayınlanmadı).
- Eggen,o.J., Lynden-Bell,D.,ve Sandage,A.R. 1962, Astrophys. J. 136, 748.
- Field,G.B. 1975, "Galaxies and the Universe" eds. A. Sandage, M.Sandage, ve J. Kristian, sayfa 359.
- Freeman, K.C. 1989, "Kingston" toplantısı, Kanada (henüz yayınlanmadı).
- Gilmore,G. 1984, Mon.Not. Roy. Astron.Soc. 207,223.
- Gilmore,G. ve Reid,N. 1983, Mon.Not.Roy.Astron.Soc.202,1025.
- Gilmore,G. ve Wyse, R.F.G. 1985, Astron.J. 90, 2015.
- Gilmore,G., Wyse, R.F.G. ve Kuijken,K. 1989, Ann. Rev. Astron. Astrophys.27,555.
- Gratton, R.G. ve Ortoloni,S. 1988, Astron. Astrophys. Suppl. 73,137.
- Laird,J.B., Carney,B., ve Latham D.W. 1988, Astron.J.95,1843.
- Larson,R.B. 1969, Mon.Not.Roy.Astron.Soc. 145,405.
- Larson,R.B. 1972, Nature, 236,21.
- Norris,J. 1987, "the Galaxy", eds. G.Gilmore ve R.F.Carwell, sayfa 297.
- Norris,J. ve Green,E.M. 1989, Astrophys.J. 337,272.
- Norris,J. ve Ryan,S.G. 1989, Astrophys.J. 340,739.
- Oort,J.H. 1970, Astron.Astrophys.7,381.

- Rodgers,A.W. ve Paltoglou,G. 1984, Ap.J. (Letters) 283,L5.
- Sandage,A. ve Fouts,G. 1987, Astron.J. 93, 74.
- Searle,L. ve Zinn,R. 1978 Astrophys. J. 225, 357.
- Stetson,P.B., VandenBerg,D.A., Bolte,M.J., Hesser, J.E. ve Smith,G.H. 1990, Astron.J.97,1360.
- Toomre,A. 1977, "The Evolution of Galaxies and Stellar Populations" eds. B.M. Tinsley ve R.B.Larson,sayfa 401.
- VandenBerg,D.A. 1989, "Kingston" toplantısı, Kanada (henüz yayınlanmadı).
- Wood 1989, "Kingston" toplantısı, Kanada (henüz yayınlanmadı).
- Wyse, R.F.G. ve Gilmore,G. 1986, Astron. J. 91, 855.

Cetvel 1

Bidelman-Macconnell Yıldızlarının Kinematiği

(a) Halo Örneklerine Ait Hız Dispersyonları

Örnek	σ_U	σ_V	σ_W	Kaynak
BM	125±11	96±9	88±7	NBP, $[\text{Fe}/\text{H}] < -1.2$
Cüceler	178±22	111±39	106±32	Hartwick
Devler	140±16	108±23	55±31	Hartwick
RR Lyrae	145±19	124±22	71±26	Hartwick
Yıldızları Küresel Kü- meler	118	118	118	Hartwick

(b) Bolluğun Bir Fonksiyonu Olarak v_{rot} .

$\langle [\text{Fe}/\text{H}] \rangle$	v_{rot}
-0.85	115±33
-1.18	148±30
-1.63	79±28
-1.98	-21±33
-2.35	41±52

Cetvel 2

$[\text{Fe}/\text{H}] < -1.2$ Metal Bolluğundaki Kinematik ve Kinematik Olmayan Örneklerin Karşılaştırılması.

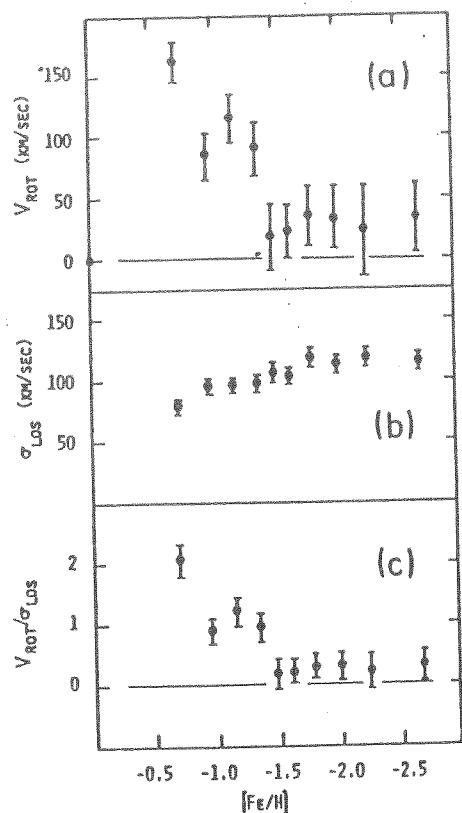
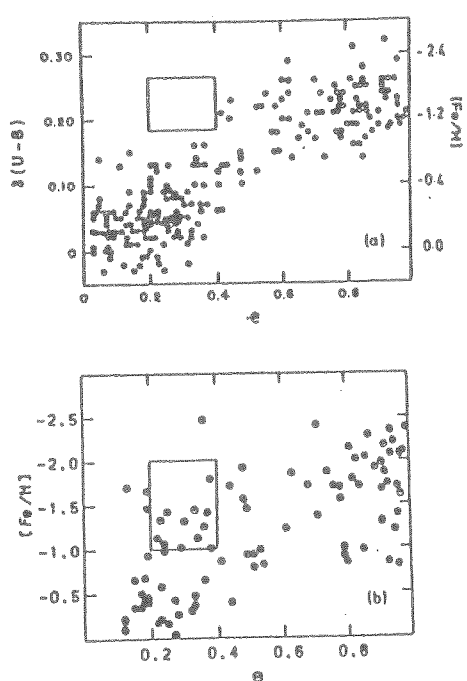
a) Sadece Radyal Hız Verileri İçin

Örnek	v_{rot}	σ_{los}	σ_r	σ_θ	σ_ϕ	n
Kinematik	73 ± 22	136 ± 8	174 ± 16	115 ± 32	102 ± 28	145
Kinematik Olmayan	37 ± 10	111 ± 3	129 ± 7	111 ± 11	97 ± 7	665
Bütün Uzaklıklar						
D/s.h.	1.5	2.9	2.6	0.1	0.2	
Kinematik	73 ± 22	136 ± 8	174 ± 16	115 ± 32	102 ± 28	145
Kinematik Olmayan	50 ± 23	110 ± 9	123 ± 22	130 ± 20	83 ± 27	78
$d < 500$ pc						
D/s.h.	0.7	2.2	1.9	0.4	0.5	

b) U,V,W Uzay Hız Bileşenleri İçin

Örnek	σ_u	σ_v	σ_w	n
Kinematik	160 ± 10	96 ± 6	99 ± 6	~ 120
Kinematik Olmayan	126 ± 8	112 ± 7	88 ± 5	~ 150
D/s.h.	2.7	1.7	1.4	

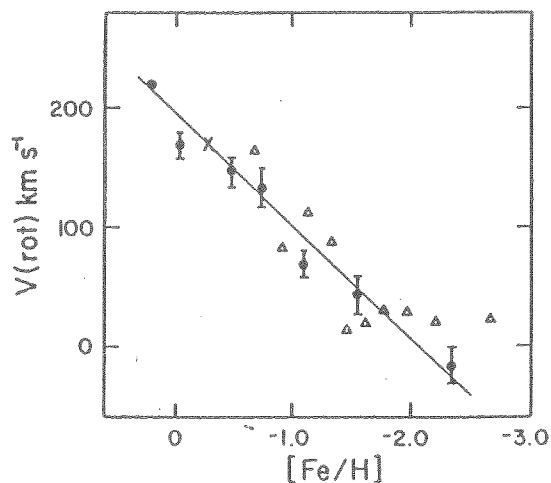
Not: D: iki örneğe ait farkı, s.h.: standart hatayı gösteriyor.



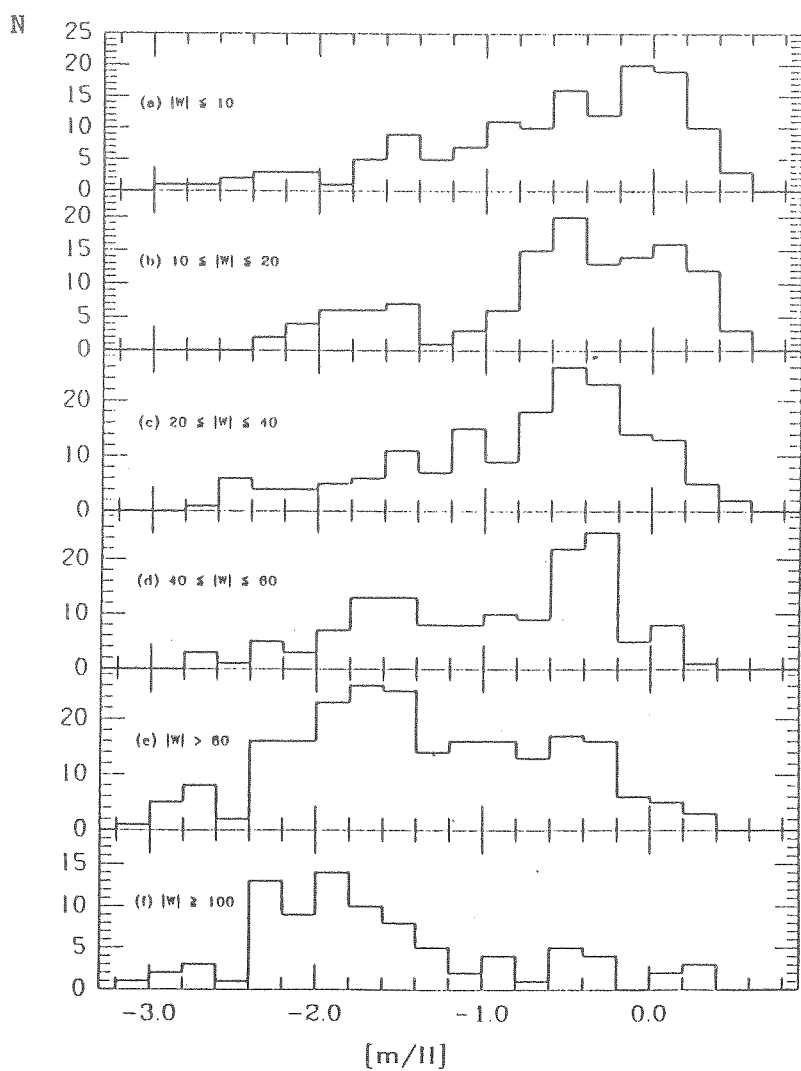
Şek.1a) ELS nin $\text{[U-B]}_{0.6, e}$] diyagramı. $-2.0 \leq \text{[Fe/H]} \leq -1.0$ ile tanımlanan kutu ve sağ taraftaki ordinat Norris tarafından eklenmiştir. Dolu ve boş daireler sırası ile büyük ve küçük hız kataloglarından alınmış yıldızları gösteriyor.

b) BM cüceleri (dolu daireler), ve devler ile kırmızı yatay kol yıldızları (açık daireler). Kutu, (a) dakine karşılık geliyor.

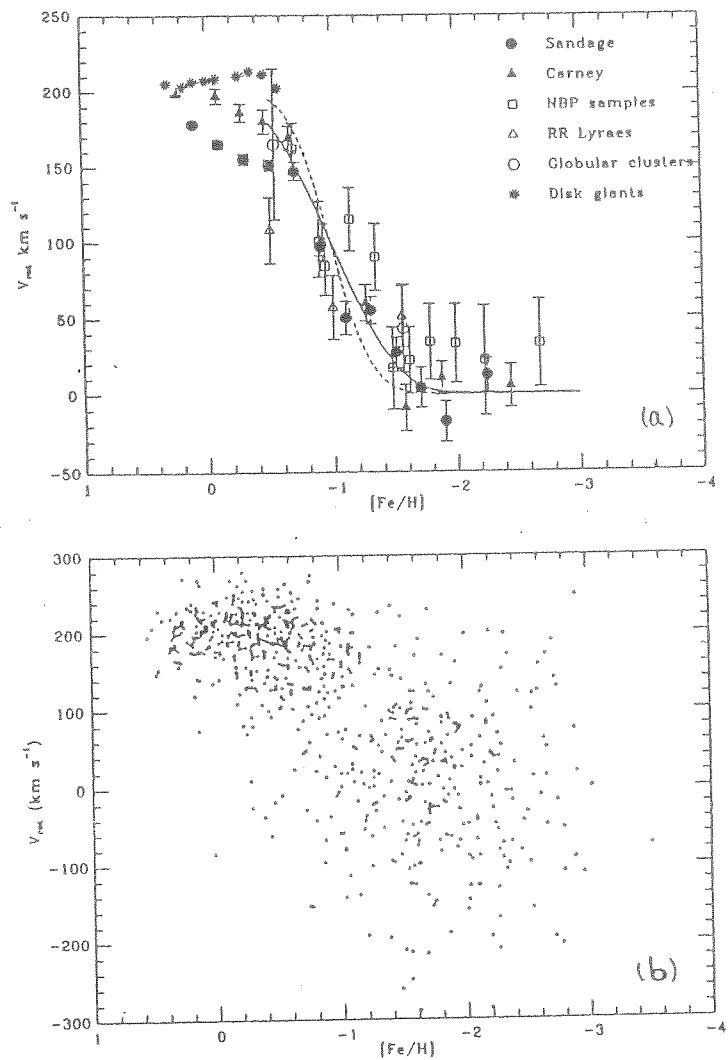
Şek.2) Kinematik olarak seçilmeyen yıldız örneği için kinematik parametrelerle metal bolluğu arasındaki bağıntı. $-2.8 \leq \text{[Fe/H]} \leq -1.4$ aralığı için, kinematik bolluğa bağlı değildir. $[\text{Fe/H}] = -1.4$ değeri, hızlı dönen bir bileşenle yavaş dönen bir bileşen arasındaki ani geçiş temsil ediyor.



Şek.3) Sandage'nin kinematik olarak tanımlanan, $|W| \geq 60 \text{ km.s}^{-1}$ değerli yıldız örneğinde V_{rot} ile $[\text{Fe}/\text{H}]$ arasındaki bağıntı, X: kalın disk, Δ Norris'e ait yıldız örneğini temsil ediyor.



Şek.4) Carney et al. in metal bolluğu histogramı. $40 \leq |W| \leq 60 \text{ km.s}^{-1}$ değerindeki yıldızların çögünün $[\text{m}/\text{H}] = -0.6$ métal bollüğünde olduğu görülmüyor.



Şek.5a) Çeşitli çalışmalara ait V_{rot} ile $[\text{Fe}/\text{H}]$ arasındaki bağıntı.

- b) Laird et al. tarafından incelenen yıldızların V_{rot} ile $[\text{Fe}/\text{H}]$ değerleri arasındaki bağıntı. V_{rot} ile $[\text{Fe}/\text{H}]$ arasında bir korelasyonun olduğunu söylemek çok zordur.

Z. ASLAN: Ben bu en son gösterdiğiniz şekilde metal bolluğu -1 olan bölge üzerinde biraz durmak istiyorum. Yani Eggen ve Sandage'in modelinde yavaş yavaş bir çökme oluyor.

S. KARAALI: Hayır, çökme yavaş değil tam tersine hızlı ama lineer olmuyor.

Z. ASLAN: Ben onu kastettim, yani burada bir süreklilik var. Metal bolluğu -1 olan yerde yıldızların az oluşunu iki ayrı kümenin birbirine girmesi şeklinde yorumladınız; oysa çökmenin hızında bir yavaşlama şeklinde yorumlanabilirdi. Yani bu evrede yıldız oluşumu yok; daha sonra çökme tekrar hızlanıyor ve yeni yıldız oluşumu başlıyor.

S. KARAALI: Sandage de öyle diyor. Anı çöktü, sonra diniendi, bir duraklama oldu diyor. Ondan sonra anı bir çökme oldu şeklinde yorumluyor. Tabii bütün bunlar, başta da söylediğim gibi galaksinin yapısını incelerken neye dikkat etmemiz gerektiğini gösteriyor. Çünkü sîrf RGU veya üç renk fotometresi ile galaksinin incelenmesi mümkün değil. Bu en son model sahibi Gilmore-Wyse'in en son makalesinden alınmış ve bir çok astronomun yorumu bu, kendi şahsi yorumum değil. Metal bolluğu -1 olan yerde hem sferoid hem de kalın disk yıldızı vardır; üstelik eşit sayıda oldukları da tespit edilmiştir. Onun için sanki iki bileşen birbirine girmiş gibi diyor. Yorum bu. Ama tartışılacak tabii.

M101 YILDIZ ALANININ GELİŞTİRİLMİŞ DÖNUŞÜM FORMÜLLERİ İLE İNCELENMESİ

GÜNGÜR, S. ; KARAALI, S.

İstanbul Üniversitesi, Fen Fakültesi
Astronomi ve Uzay Bilimleri Bölümü
34452 Universite-iSTANBUL

1. RGU FOTOMETRİSİ

M101 yıldız alanının incelenmesine geçmeden önce bu çalışmanın daha iyi anlaşılabilmesi için RGU Fotometrisi, Fotoğrafik Steinlin Sistemi ve Fotoğrafik Buser Sistemi hakkında bilgi vermek yararlı olacaktır.

Çalışmalarda kullanılan çeşitli fotometri sistemleri vardır. Bunlardan biri olan RGU Fotometrisi, bir geniş band fotometrisi olup Becker (1938) tarafından galaksinin yapısının incelenmesi amacıyla kurulmuştur. Fotoelektrik UBV Fotometrisinin tersine fotoğrafik olarak tanımlanmıştır. Bundan dolayı plakların ölçülmesinden elde edilen iris okumalarını kadırlere dönüştüren kararma eğrileri Johnson ve Morgan'ın (1953) UBV fotometri sistemi aracılığı ile çizilebilmektedir. Bu yüzden RGU Fotometrisi, UBV Fotometrisine bağlılıdır. Ancak 1983' te R,G,U kadırlarının fotoelektrik yöntemle ölçülmesine başlanmış olup deneme safhasındadır. Iris okumalarını kadırlere dönüştüren kararma eğrilerinin çizimi için standart yıldızların fotoelektrik yolla tayin edilen U,B,V kadırları R,G,U kadırlarına dönüştürülmektedir.

2. FOTOĞRAFİK STEINLIN SİSTEMİ

U,B,V kadırlarını R,G,U kadırlarına dönüştüren formüller zamanla geliştirilmiştir. 1968'de Steinlin (1968), Arp'in 1958 de elde ettiği U-B, B-V iki renk diyagramını, Becker'in deneysel olarak bulduğu U-G, G-R iki renk diyagramına görüntüleyecek şekilde, dönüşüm formüllerini bulmuştur. Bu dönüşüm formülleri cetvel 1 de verilmiştir. Steinlin'in dönüşüm formüllerinin kullanılmasında bir noktayı belirtmek gereklidir; o da kırmızı yıldızlar için ($B-V > 1^m.0$) bu formüller uygulandıktan sonra G ve R kadırlarına sırası ile $-0^m.22$ ve $-0^m.15$ kadırlık bir düzeltme yapılması gereğidir.

R,G,U kadırları tayin edilen alan yıldızları, ordinat ekseninde U-G ve apsis ekseninde G-R renk indeksi bulunan bir diyagrama yerleştirilirler ki bu diyagrama "iki-renk diyagramı" denir. Bu diyagram G_1 , G_2 görünen kadir aralıklarına göre çizilir ($G_1 < G_2$). Steinlin sis-

temindeki iki renk diyagramı, Güneş ile incelenen yıldız alanı arasındaki absorpsiyon bulutunun (veya bulutlarının) uzaklığını ve bulutun sebep olduğu absorpsiyon miktarının bulunmasında kullanıldığı gibi yıldızların disk (PopI), halo (PopII) ve geç tipten devler şeklinde populasyon tiplerine ayrılması ile bunların mutlak kadirleriinin tayininde de kullanılır. Böyle, örnek bir iki renk diyagramı şekil 1 de gösterilmiştir. Disk anakol yıldızları şekilde görülen eğri üzerinde bulunurlar. Halo anakol yıldızları ise, bilindiği gibi metal bakımından fakir yıldızlar olup, disk yıldızlarına göre morötesi (ultraviolet) fazlalığı gösterirler. Bu fazlalık derecesine göre yıldız şekilde gösterildiği gibi disk yıldızlarının yukarısında bulunur. Geç tipten devler ise şekildeki eğrinin sol alt ucunda bulunurlar. Bunların disk anakol yıldızlarından ayrimi "boşluk kriteri" ile yapılır. Ancak G de ki limit kadir daha sönük ve galaktik enlem daha büyük olduğu takdirde bu özellik kaybolmakta, mutlak kadir bakımından sönük anakol yıldızları ile geç tipten devler karışmaktadır ve hatta eğrinin sağ tarafında bile dev yıldızlar bulunabilemektedir.

Steinlin sisteminde mutlak kadirlerin tayini ise şöyle yapılır: Bir disk anakol yıldızının mutlak kadirı, yıldızın anakol eğrisine en yakın olduğu noktadaki M(G) mutlak kadiridir; halo anakol yıldızları metal bakımından fakir olup aynı mutlak kadirdeki bir disk anakol yıldızına göre eğrinin yukarısında bulunduğuundan, bunların mutlak kadirı, yıldız "blanketing vektörü" boyunca aşağıya, disk anakol yıldızlarının bulunduğu eğriye kadar kaydırılarak bulunur.

Mutlak kadirler bulunduktan sonra yoğunluk fonksiyonları çizilir. Güneşten itibaren belirli uzaklık aralıklarına karşılık gelen hacimler hesaplanır ve bu uzaklık aralıklarındaki yıldız sayısı bu hacimlere bölünür; elde edilen değerin logaritması ile sözkonusu uzaklık aralıkları arasındaki bağıntı yoğunluk fonksiyonunu verir. $CD = \log D + 10$, $D = N / \Delta V$ Steinlin sisteminde yoğunluk fonksiyonları disk ve halo yıldızları ile geç tipten devler için ve birleştirilmiş (disk + halo) olarak ayrı ayrı hesaplanır. Disk anakol yıldızları ile geç tipten dev yıldızların kısa uzaklıklar için bulunan yoğunluk değerlerinin doğruluğu, Güneş civarı için Gliese (1969) tarafından tayin edilen yoğunluk değerleri ile karşılaştırılarak sureti ile kontrol edilir. Bundan başka galaksi düzlemine dik doğrultuda çeşitli z uzaklıklarında bulunan yıldızların spektrumlarını tayin etmek sureti ile hesaplanan yoğunluk değerleri de karşılaştırmada bir ölçü olarak kullanılır. (Allan, 1973; Scheffer ve Elsasser, 1965; Upgren, 1963)

3. GALAKSİ MODELLERİ

1980'li yılların ortalarına doğru, elde edilen uzay yoğunluk değerleri, galaksi modelleri ile karşılaştırıl-

maya başlanmıştır. Bu galaksinin yapısı ile ilgili çalışmalarında yeni bir evredir. Şu ana kadar ortaya konan Uç galaksi modeli vardır:

- 1) Bahcall-Soneira modeli,
- 2) Uç Bileşenli Gilmore-Wyse modeli,
- 3) Dört Bileşenli Gilmore-Wyse modeli.

Modellere ait parametreler cetvel 2 de verilmiştir.

Cok bileşenli galaksi modelleri ile uzay yoğunluk değerlerinin karşılaştırılması ile ilgili ilk çalışmalar, del Rio ve Fenkart (1987) ile Fenkart ve Karaali (1987) tarafından yapılmıştır. Ayrıca Fenkart, Basel Halo Programı'ndaki yıldız alanlarını da modellerle karşılaştırılmıştır (Fenkart, 1989 a,b,c,d). Bu çalışmalarda Steinlin dönüşüm formülleri ve iki renk diyagramı kullanılmıştır. Gözlemeel veriler ile çeşitli modellerin karşılaştırılması sonucunda ince disk ve halo arasında bir ara popülasyon olan "kalın disk" i içeren Gilmore-Wyse'in (1985) dört bileşenli modeli en iyi model olarak seçilmiştir.

Ancak Steinlin'in dönüşüm formüllerinin sistematik bir hata içerdigi anlaşıldığından (Buser, 1978) yeni dönüşüm formüllerine ihtiyaç duyulmuştur. Bu da RGU fotometrisinde yeni bir evrenin başlamasına neden olmuştur.

4. FOTOĞRAFİK BUSER SİSTEMİ

Buser (1978) atmosfer modellerini kullanarak elde ettiği suni spektrumlara ait enerji dağılımları yardımcıla popI anakol yıldızları ve geç tipten devler için cetvel 3 te gösterilen dönüşüm formüllerini bulmuştur. Galaksimizin yapısılarındaki gelişmeleri de dikkate alan Buser, iki renk diyagramını genç ince disk, yaşlı ince disk, kalın disk ve sferoid olmak üzere dört popülasyona ayırmıştır (Buser ve Fenkart, 1990). Bu diyagram tamamen teorik olarak ve yıldız modellerinden yararlanılarak elde edilmiştir. Şekil 2 de etkin sıcaklık ve metal bolluğuına göre kalibre edilmiş böyle bir iki renk diyagramı verilmiştir. Bu iki renk diyagramına göre popülasyon tipleri belirlenen yıldızların mutlak kadirleri yine Buser'in elde ettiği renk kadir diyagramından yararlanılarak bulunur. Bu diyagram şekil 3 te gösterilmiştir. Burada her bir popülasyon tipi için farklı eğriler vardır. Yıldızların G-R renk indeksleri bilindiğinden, yıldız hangi popülasyondan ise, o popülasyona ait eğri kullanılarak yıldızın mutlak kadirı bulunur.

Buser sisteminde iki renk diyagramları yıldızları anakol ve geç tipten yıldızlar olarak ayırimına imkan verdiği gibi, anakol yıldızlarının da ince disk, kalın disk ve sferoid olarak popülasyon tiplerine ayrılmalarını sağladığından, bu farklı popülasyon tipleri için ayrı ayrı yoğunluk fonksiyonları elde edilebilir ve bunlar galaksi modelleri ile karşılaştırılabilir

Burada şunu belirtmekte yarar vardır; Steinlin sisteminde anakol yıldızlarının popülasyon tiplerine ayrılışı, bir miktar, kişiden kişiye değişmektedir. Buser sisteminde ise yıldızların popülasyon tiplerine ayrılışı me-

tal bolluguşa dayanmaka olup objektiftir.

Buser sistemi ilk defa 1987'de Fenkart ve Karaali tarafından (1990) galaktik koordinatları $\ell = 4^\circ$, $b = +47^\circ$ olan M8 yıldız alanına uygulanmış, birleştirilmiş model eğrilerinin birleştirilmiş gözlemlisel veriler ile uyuştuğu fakat bileşenler için ayrı ayrı yapılan karşılaştırmada aynı uyumun olmadığı görülmüştür. Mutlak olarak sonuk kadir aralıkları içinör; $M(G) = 6^m - 7^m$ de, özellikle kalın disk ve sferoid bileşenlerinde, daha fazla yıldız var ve bu aralık için elde edilen yoğunluk değeri Gliese'in değerinden yüksektir. Buna karşılık daha parlak kadir aralıklarında ise az yıldız var ve bu aralıklar için elde edilen yoğunluk değerleri Gliese'in değerlerinden düşütür. Daha sonra bu uyumsuzluğun diğer alanlarda da olup olmadığını anlamak için Karaali, aynı yöntemle galaksinin farklı bir doğrultusunda bulunan galaktik koordinatları $\ell = 210^\circ.6$, $b = +32^\circ.2$ olan M87 yıldız alanını inceledi (Karaali, 1990). Bu alanda da aynı uyumsuzluk tespit edilince bunun bir fizik sebebi olması gerektiği düşünülmüşdür. Gerçekten de, yaşılı olan kalın disk ve sferoid yıldızlarının bir kısmı daha parlak anakol yıldızı evresine veya alt dev koluna evrimleşmiş olabilirler.

$M(G) > 6^m$ mutlak kadirlerindeki kalın disk ve sferoid yıldızları için gözlemlerden bulunan yoğunluk değerleri, model eğrilerinden çok fazla idi. $M(G) = 10^m$ mutlak kadirine kadar hesaplanan yoğunluk fonksiyonları, güneş civarında çok sayıda kalın disk ve sferoid yıldızı bulumasını gerektiriyordu; bu ise mümkün değildir. Modellerin öngördüğü güneş civarındaki yoğunluk değerleri,

$$\text{ince disk : kalın disk : sferoid} = 1.2 : 0.02 : 0.001$$

Bu durumda kalın disk ve sferoid yıldızlarından bir kısmının evrimleşmiş olabileceği (özellikle yakın yıldızların) düşüncesi deneysel olarak ilk defa M87 alanına uygulanmış ve iyi bir sonuç alınmıştır. Böylece "evrimleşmiş yıldız" kavramı literatüre girmiştir. Ancak bu gibi deneysel çalışmaların fiziki esaslara dayandırılması gereklidir ve bunun üzerinde çalışılmaktadır.

Bu çalışmamızda, M101 doğrultusunda galaktik koordinatları $\ell = 101^\circ$, $b = +60^\circ$ olan, $G = 19^m.5$ limit kadiré kadar 1806 yıldız içeren 2 derece karelük yüksek enlemli bir yıldız alanı incelendi. Bu alanda da diğer çalışmaların uyumsuzluk gözlendi. Kalın disk ve sferoid yıldızlarının evrimleşmiş olması varsayımlı altında güneş civarına ait yoğunluk değerleri $4^m < M(G) \leq 5^m$ aralığı hariç (bu aralık evime duyarlıdır) iyi düzeye ulaşır ve gözlemlenen uzay yoğunluk değerleri Gilmore-Wyse (1985) modeli ile uyuşur. Bu çalışma ile ilgili örnek diyagramlar şekil 4 ve 5 te gösterilmiştir.

Ayrıca çalışmalarında ışıma gücü fonksiyonları da elde edilir. "Işıma gücü fonksiyonu" belirli bir uzaklık aralığı için hesaplanan yıldız yoğunluğu ile $M(G)$ mutlak kadir arasındaki bağıntıdır. Söz konusu uzaklık aralığı yine genellikle güneş civarını alır. Yıldız alanımız için

böyle bir bağıntı şekil 6 da verilmiştir. Şekil de görüldüğü gibi evrimleşmemiş durumda $6^m - 7^m$ aralığında güneş değerleri Gliese değerinden fazla, $3^m - 4^m$ aralığında ise azdır. Evrimleşmiş durumda, $4^m - 5^m$ aralığı hariç iyi bir uyum vardır.

5. SONUÇ

Buser sisteminin bir uygulaması olan bu çalışmada gözlemlisel yoğunluk değerleri Gilmore-Wyse modeline ait eğrilerle karşılaştırılmış ve yıldızlardan bir kısmının evrimleşmiş olduğu varsayımu altında, birleştirilmiş yoğunluk değerlerinden başka galaksinin farklı bileşenlerine ait değerlerinde modeller ile uyuştuğu, ışima gücü fonksiyonunun da Gliese'inki ile uyuştuğu görülmüştür. Elde edilen sonuçlar cetvel 4 te verilmiştir.

REFERANSLAR

- Allan, C. W. , 1973, *Astrophysical Quantities*, 3. Edit.
250.
- Becker, W. , 1938, *Zs. Astrophys.* 15, 225.
- Buser, R. , 1978, *Astron. Astrophys.* 62, 425.
- Buser, R. , Fenkart, R. P. , 1990, *Astron. Inst. Univ. Basel Preprint Series No.41.*
- Fenkart, R. P. , 1989a, *Astron. Astrophys. Suppl.* 78, 217.
- Fenkart, R. P. , 1989b, *Astron. Astrophys. Suppl.* 79, 51.
- Fenkart, R. P. , 1989c, *Astron. Astrophys. Suppl.* 80, 89.
- Fenkart, R. P. , 1989d, *Astron. Astrophys. Suppl.* 81, 187.
- Fenkart, R. P. , Karaali, S. , 1987, *Astron. Astrophys. Suppl.* 69, 33.
- Fenkart, R. P. , Karaali, S. , 1990, (henüz yayınlanmamış).
- Gilmore, G. , Wyse, R.F.G. , 1985, *Astron. J.* 90, 2015.
- Gliese, W. , 1969, *Veröff. Astron. Rechen Inst. Heidelberg*, No. 22.
- Johnson, H.L. , Morgan, W.W. , 1953, *Astrophys. J.* 117, 313.
- Karaali, S. , 1990, (henüz yayınlanmamış).
- del Rio, G. , Fenkart, R.P. , 1987, *Astron. Astrophys. Suppl.* 68, 397.
- Scheffer, H. , Elsasser, H. , 1965, *Landolt-Börnstein*, Ed. by H.H. Voight, VI, 1, 612.
- Steinlin, U.W. , 1968, *Zs. Astrophys.* 69, 276.
- Upgren, A.R. , 1963, *Astron. J.* 68, 475.

Z. ASLAN: M67 bir açık küme, o alanda kümenin elemanları yıldız alanındaki istatistiği bozmuyor mu? Onları birbirinden nasıl ayıriyorsunuz?

S. KARAALI: M67 kümесinin hemen yanında değil, o doğrultuda olduğu için bu ismini verdik. Küme yıldızları alanın içinde yok. Praesep'e de küme yıldızları alan yıldızlarını etkiledi ve çok büyük değerler elde ettik. O zaman alanın küme yıldızlarından etkilendiğini anladık. Küme yıldızlarını verilen yöntemlerle ayırdık.

Cetvel 1. Steinlin (1968) in Denizüm Fazılılığı

$$\begin{aligned} R &= V - 0.04(U-B) - 0.22(B-V) - 0^m.32 - 0.39 E(B-V) + 0.03 E^2(B-V) \\ G &= V - 0.08(U-B) + 0.93(B-V) - 0.12 E(B-V) + 0.045 E^2(B-V) \\ U &= U_{UBV} + 1^m.2t \end{aligned}$$

E(B-V): B-V renk indeksine ait renk eksesi

Cetvel 2. Modelle Ait Parametrelər

Model	Toplam Yığınlılık	Parametrlər	Günəş ait Toplam Yığınlılık
B.S. _{U_i} (i=1,2,3)	D(z,l,b) = D ^d _i (z,l,b) + D ^s _i (z,l,b)	n _i = 1 (i=1,2,3), n = 0.002 H ₁ = 0.1 Kpc H ₂ = 0.2 Kpc H ₃ = 0.3 Kpc	1.002
G.W _{III}	D(z,l,b) = $\frac{2}{3} \sum_{i=1}^3 D_i(z,l,b) + D(z,l,b)$	n ₁ = 0.2, n ₂ = 1, n = 0.001 H ₁ = 0.1 Kpc H ₂ = 0.3 Kpc	1.201
G.W _{IV}	D(z,l,b) = $\frac{2}{3} \sum_{i=1}^3 D_i(z,l,b) + D(z,l,b)$	n ₁ = 0.2, n ₂ = 1, n = 0.001 n ₃ = 0.02 H ₁ = 0.1 Kpc H ₂ = 0.3 Kpc H ₃ = 1.0 Kpc	1.221

Cetvel 3. Buser (1973) in Dönüştürüm Formülleri

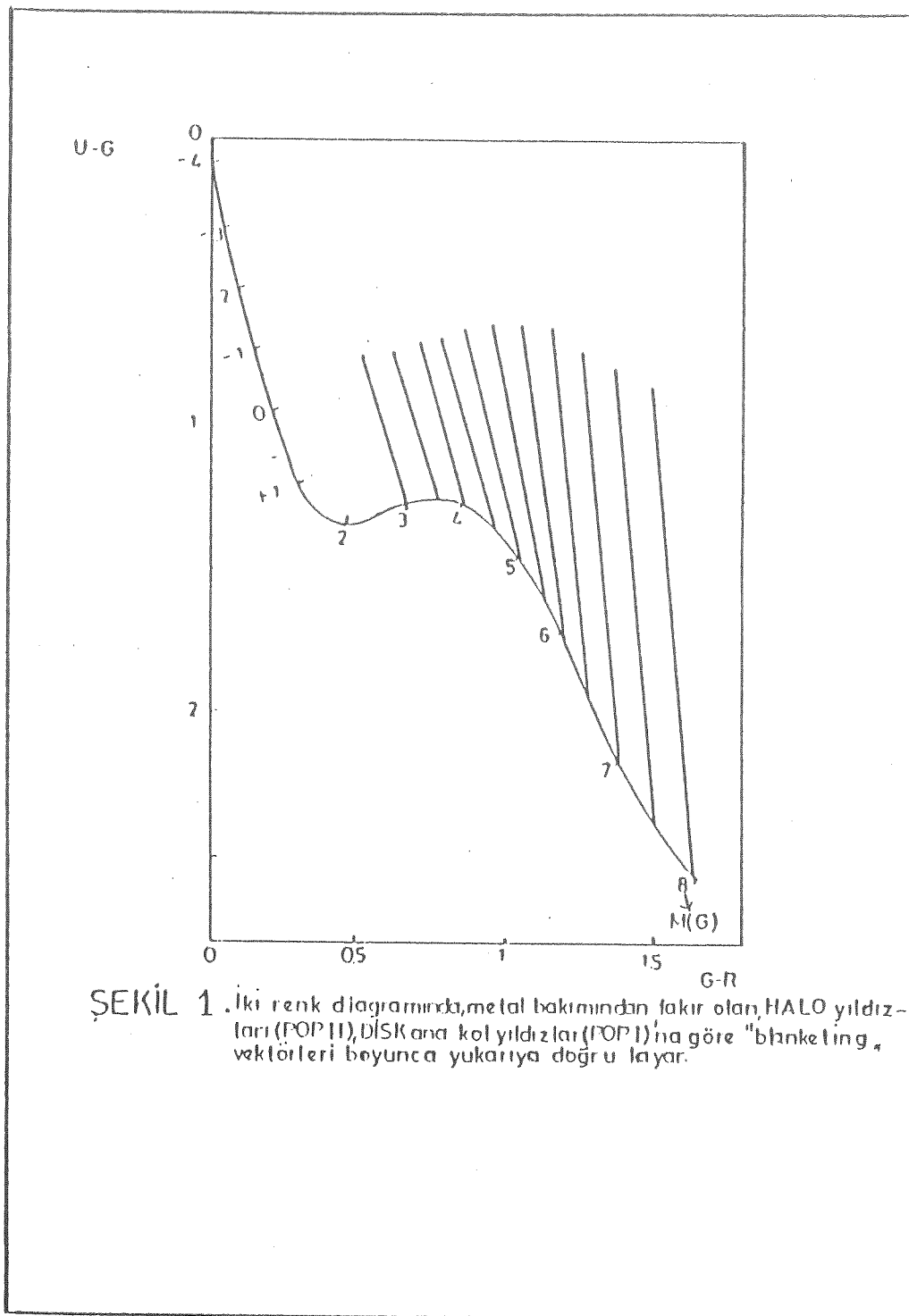
Anakol yıldızları için ;

$$\begin{aligned} U - G &= 1.17(U-B) + 0.15(B-V) + 1^m.24 + \Delta_1 \\ G - R &= 1.22(B-V) - 0.09(U-B) + 0^m.33 + \Delta_2 \\ G &= V + 0.65(B-V) - 0.02(U-B) - 0^m.01 + \Delta_3 \\ U &= V + 1.10(U-B) + 0.80(B-V) + 1^m.23 + \Delta_4 \\ R &= V - 0.57(B-V) + 0.07(U-B) - 0^m.34 + \Delta_5 \end{aligned}$$

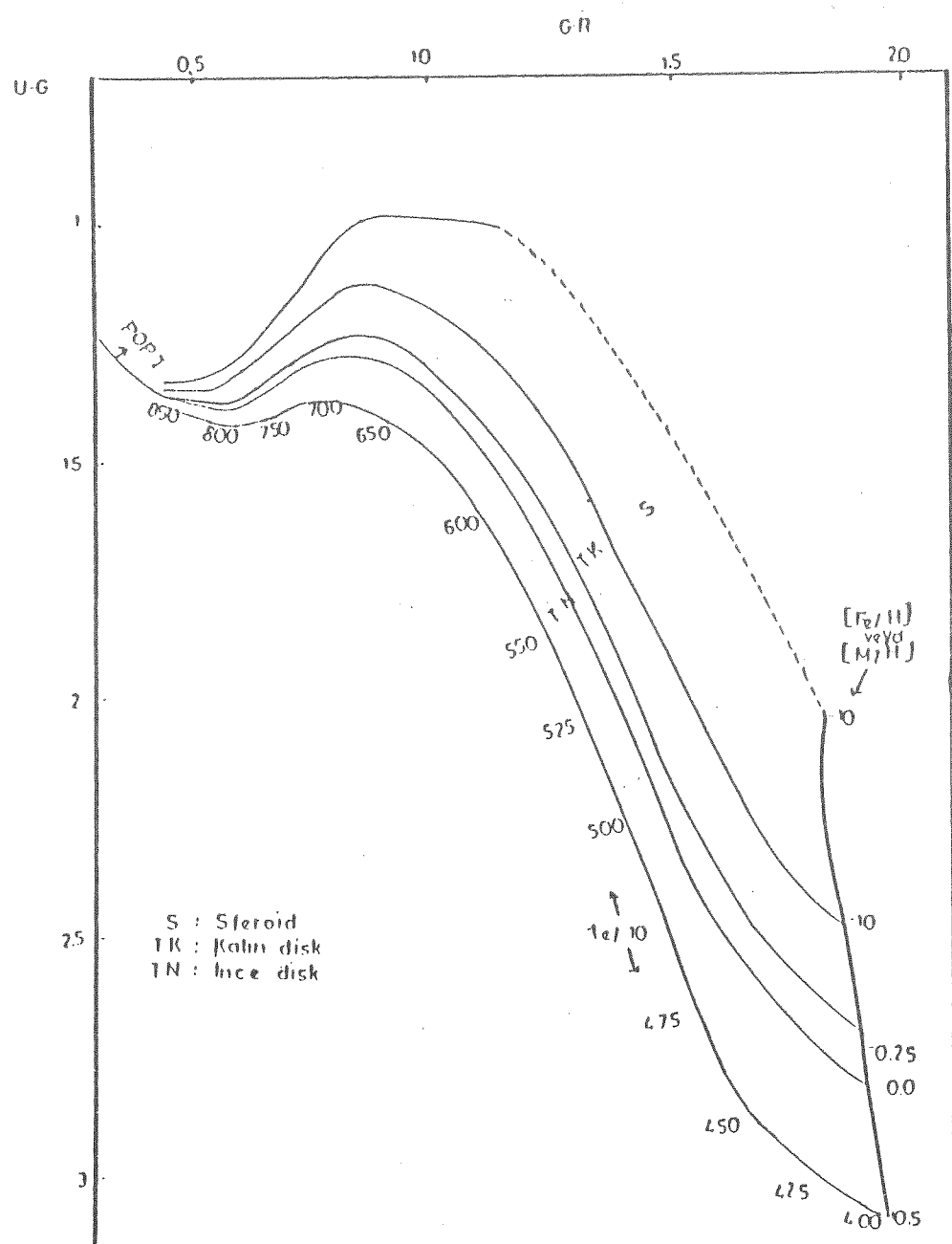
Bu eşitliklerdeki Δ_i ler $E(B-V)$ renk eksesinin bir fonksiyonu olup şöyle tanımlanmıştır ;
 $\Delta_i = \alpha_i E(B-V) + \beta_i E^2(B-V) + \gamma_i E^3(B-V)$ $\alpha_i, \beta_i, \gamma_i$ değerleri gerek $(B-V)_0$ renk indeksinin
fonksiyonu olarak cebreller halinde veriliş.

Cetvel 4. M10 Yıldız Alanının Buser ve Steinlin Sisteminde Dört Bilgeliği Gümrüt-Wyse
Modeline Göre Elde Edilen İasma Gücü Fonksiyonu Değerleri

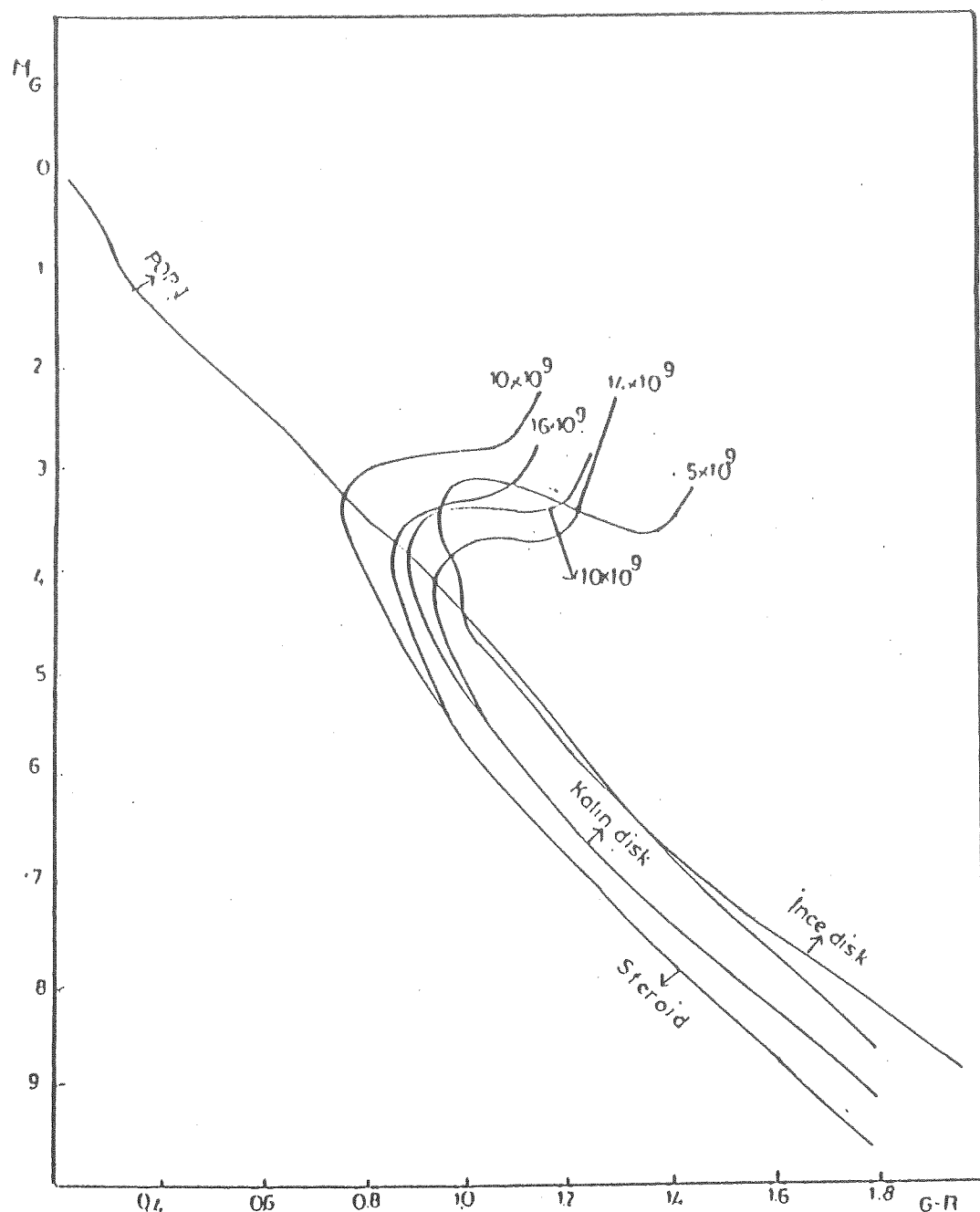
	$M(G)$ Muttak Kadir Aralıkları				
$2^m - 3^m$	$3^m - 4^m$	$4^m - 5^m$	$5^m - 6^m$	$6^m - 7^m$	$7^m - 8^m$
-	6.10	7.01	7.74	7.90	7.66
Steinlin Sistemi					6.55
Buser Sistemi	6.75	7.25	6.75	7.30	7.60
Güçsel in Gümrüt Değerleri	6.78	7.18	7.41	7.52	7.48
					7.42
					6.64



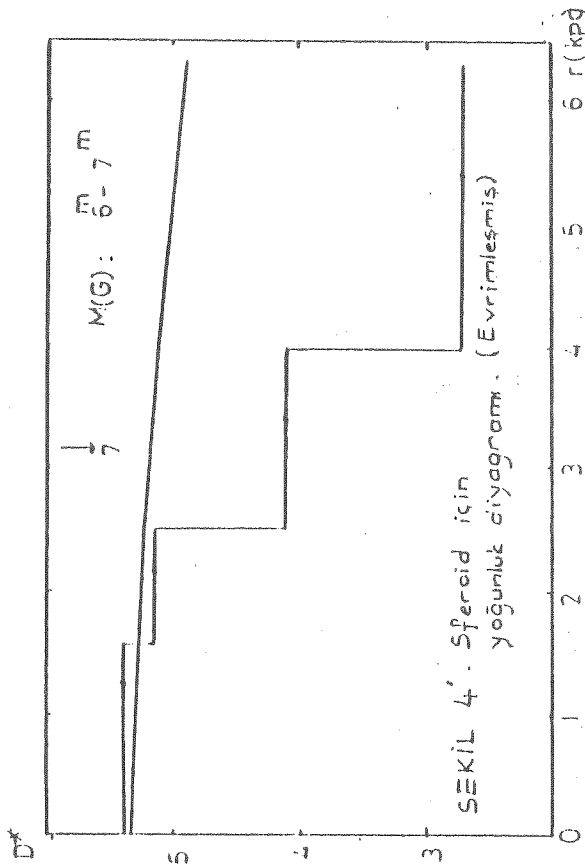
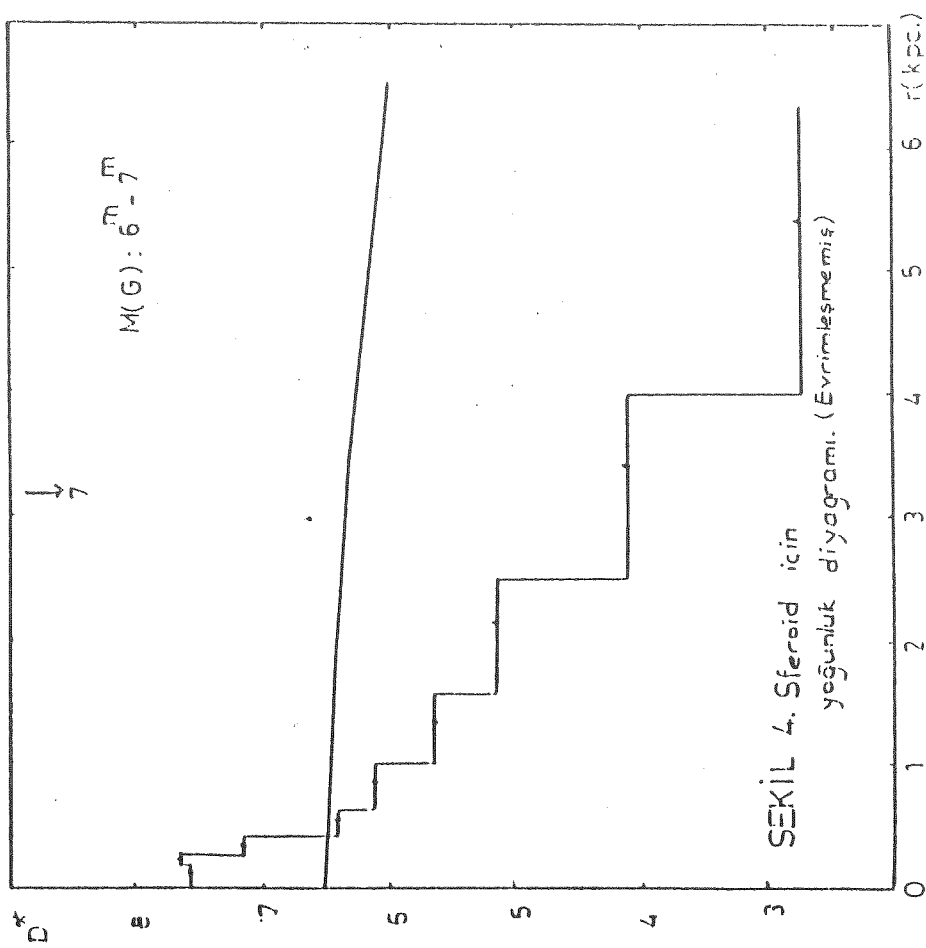
ŞEKİL 1. İki renk diagramında, metal bakırından fakir olan, HALO yıldızları (POP II), DISK ana kol yıldızları (POP I)'na göre "blanketing" vektörleri boyunca yukarıya doğru kayar.

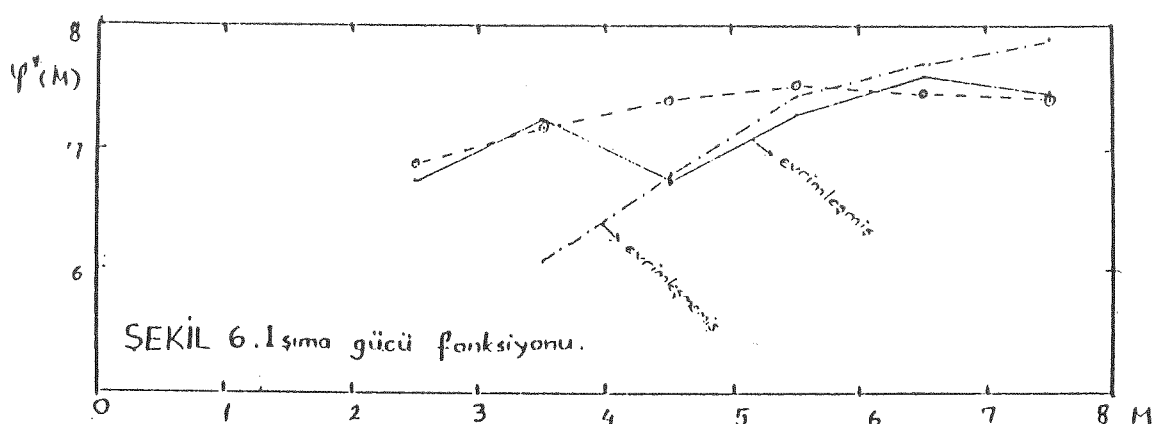
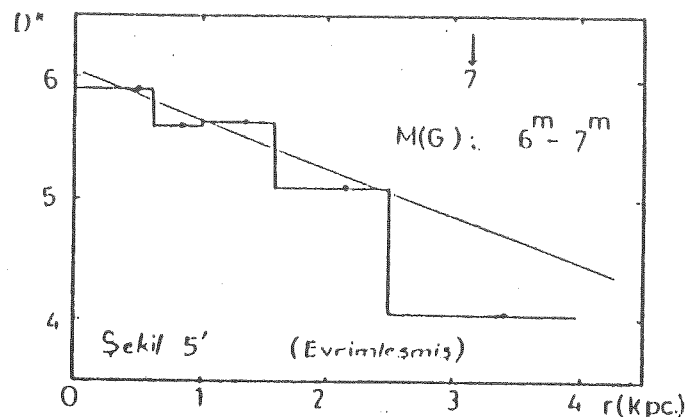
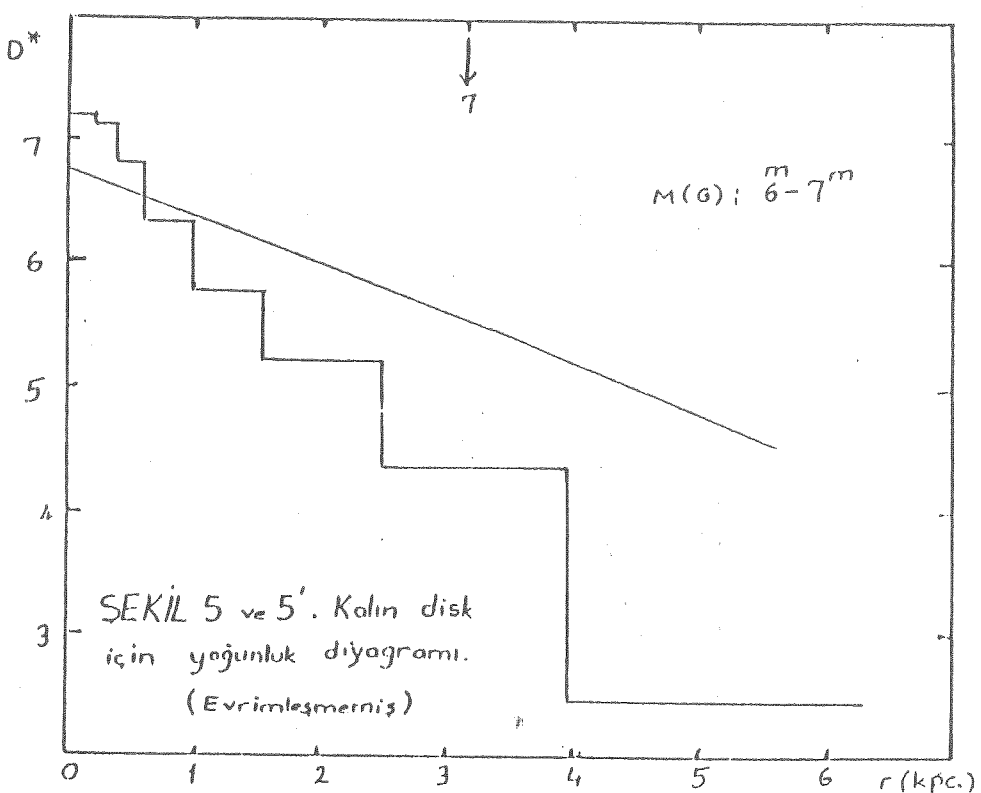


ŞEKİL 2. Buser'in populasyon tiplerine ve metallociliğe göre kalibre edilmiş teorik iki-peak diagramı.



ŞEKİL 3. Buscar'ın tarklı populasyonları için teorik renk-kadır diagramı.





PRAESEPE YILDIZ ALANININ GELİŞTİRİLMİŞ YÖNTEMLER İLE İNCELENMESİ

Karataş, Y : Karaali, S

İstanbul Üniversitesi, Fen Fakültesi
Astronomi ve Uzay Bilimleri Bölümü
34452 Üniversite - İSTANBUL

I. GİRİŞ

Del Rio ve Fenkart (1987) tarafından başlatılan, Fenkart ve Karaali (1987) tarafından devam ettirilen Basel Halo programı'ının yeni safhası çok bileşenli Galaksi modelleri ile gözlenen uzay yoğunluk gradiyentlerinin karşılaştırılmasına dayanmaktadır. Gözlemsel veriler ile çeşitli modellerin karşılaştırılması sonucunda, ince disk ve halo arasında bir ara popülasyon olan "Keban disk'i" içeren Gilmore - Wyse' in (1985) dört bileşenli modeli en iyi model olarak seçildi. Steinlin sisteminin, kusurları ve Buser sisteminin getirdiği yenilikler bu ikinci sistemin kullanılmasını zorunlu hale getirmiştir.

II. GÖZLEMLER

Praesepe yıldız alanının koordinatları;

$$\alpha = 08^{\text{h}} 34^{\text{m}}.3 \quad \delta = + 20^{\circ} 20' \quad \text{epok}(1900.0)$$

$$\ell = 205^{\circ}.9 \quad b = + 32^{\circ}.4 \quad \text{epok}(1950.0)$$

dir. Plaklar 1956-57 ve 1959 yıllarında Hamburg Rasathanesinde Schmidt teleskopu ile çekilmiştir. 3.56 derece karelik bölgede 1500 yıldız, 1962 yılında Tammann tarafından, 4 tane G, 4 tane R, 6 tane U renginde olmak üzere toplam 14 tane plak üzerinde ölçülmüştür.

Praesepe yıldız alanındaki yıldızların kadirlerini tayin etmek için M 67 Açık Kümesinde bulunan en parlak 150 yıldız, standart yıldız olarak kullanılmıştır. Bunların UBV kadirlerini RGU kadirlerine dönüşümü Buser' in (1978) dönüşüm formülleri aracılığı ile yapılmıştır.

Bu dönüşüm formülleri ile yıldızların hesaplanan R, G, U kadirleri apsis eksemnine, iris okumalarında ordinat ekseniinde olmak üzere her renk için bir tek karrarma eğrisi çizilmiş ve bu eğriler yardımını ile alan yıldızlarının iris okumaları kadirlere dönüştürülmüştür.

Standart yıldızların (U-B, B-V) iki renk diagramındaki yerlerinden, yıldız alanı doğrultusunda bir absorpsiyon bulutunun bulunmadığı anlaşılmıştır. Ölçülen yıldızların R, G, U limit kadirleri sırası ile $13^{\text{m}}.68$, $15^{\text{m}}.50$, $17^{\text{m}}.43$ dir.

III. R, G, U VERİLERİNİN STANDART ŞEKLE DÖNÜŞTÜRÜLMESİ

Fotoelektrik olarak ölçülen; Standart yıldızların U, B, V kadirlerini R, G, U kadirlerine dönüştüren Buser formülleri teoriktir. Bu formüller bulunurken

plaklar için belirli bir duyarlılık eğrisi ve filtreler için de belirli bir geçirgenlik eğrisi gözönüne alınmıştır. Ancak uygulamada bu eğrilerin teoride öngörüldüğü şekilde yapılması mümkün değildir. Yapıldan ileri gelen farkları düzeltmek için, alan yıldızlarının kararma eğrileri yardımı ile tayin edilen R, G, U kadirlerinin gözlemsel verilerinin standart şekle dönüştürülmesi gereklidir. (Buser, 1988) Bu çalışmada, gözlemsel verilerin standart şekle dönüştürülmesi için U kadirinde 105, R kadirinde 125 ve G kadirinde de 113 tane standart yıldızın gözlemsel değerleri ile, dönüşüm formülleri aracılığı ile bulunan, standart değerleri arasındaki $\Delta R = R_s - R_{obs}$, $\Delta G = G_s - G_{obs}$ ve $\Delta U = U_s - U_{obs}$ farkları (s .indisi standart, obs . indisi gözlemsel değerlere karşılık geliyor.) Sırası ile R_{obs} , G_{obs} ve U_{obs} değerleri ile karşılaştırılmış ve bu farkların sıfır civarında dağılışı görülmüştür. (Şekil I.1) Böylece alan yıldızlarının gözlemsel verilerine herhangi bir düzeltme yapmak gerekmemiştir.

IV. İKİ RENK DIAGRAMLARI VE HATALAR

Praesepe yıldız alanında bulunan yıldızların G-R ve U-G renk indeksleri tayin edildikten sonra G kadirinin şu aralıklarında iki renk diagramları çizilmiştir.

- a) $G \leq 12^m.00$, b) $12^m.01 \leq G \leq 13^m.00$, c) $13^m.01 \leq G \leq 13^m.50$, d) $13^m.51 \leq G \leq 14^m.00$, e) $14^m.01 \leq G \leq 14^m.50$, f) $14^m.51 \leq G \leq 15^m.00$, g) $15^m.01 \leq G \leq 15^m.50$

İki renk diagramlarında iki nokta dikkat çekmiştir.

- a) $G \leq 14^m.00$ kadirindeki yıldızların popülasyonI ana kolunun üst tarafına doğru beklenmeyen dağılımları (Şekil I.2)
- b) $G > 14^m.00$ kadirindeki yıldızların popülasyonI ana kolunun sol ve alt taraflına doğru anormal yoğunlamları (Şekil I.3)

V – 1. Alan Hatası

$G \leq 14^m.00$ aralığındaki yıldızların iki renk diagramları dikkatle inceleendiğinde yıldızların anormal bir dağılım gösterdikleri görülmüştür. Şekil I.2 de $13^m.01 \leq G \leq 13^m.50$ için örnek olarak verilen iki renk diagramında haloda yıldızların fazla miktarda bir dağılım gösterdikleri görülmektedir.

Şekil I.3 de verilen ve $14^m.01 \leq G \leq 14^m.50$ aralığındaki yıldızları içeren iki renk diagramında ise popülasyonI yıldızlarının beklenileninden çok olmasına karşılık popülasyonII yıldızlarının normalden az olduğu ve bir çok yıldızın da kalibre edilmiş iki renk diagramının sol alt tarafında bulunduğu görülmektedir. Alan hatasından kaynaklandığı anlaşılan bu durum, standart yıldızların çok olusandan faydalananlarak düzelttilmiştir; izlenen yöntem Karaali' nin, aynı alanı Steinlin sisteminde incelerken kullandığı yöntemdir. (Karaali, 1984)

Bu amaç için, standart yıldızların, yıldız alanının sol kenarından itibaren rektasansyon doğrultusuna olan ve çizgisel olarak ölçülen d (mm cinsinden) uzaklıklar ile III. paragraf da tanımlanan ΔR , ΔU , ve ΔG farkları karşılaştırılmıştır. (Şekil I.4) Alan hatasından dolayı yapılması gereken düzeltme miktarları aynı şekilde belirtilmiştir.

V – 2. Eşel Hatası

Alan hatası düzeltildikten sonra, $G < 14^m.00$ aralığındaki yıldızların iki renk diagramlarındaki anormal dağılımları düzeltilmiştir. (Şekil I.5: farklı görmek için Şekil I.2 ile Şekil I.5' i karşılaştırınız.) $G > 14^m.00$ aralığındaki yıldızların anormal yoğunluğunda ise bir değişiklik olmadı. (Şekil I.6) Bu durum alanımızda ikinci bir hatanın var olduğunu gösteriyor. Gerçekten kararma eğrileri incelendiğinde (Şekil I.7) $G > 14^m.00$ kadirindeki 10 yıldızdan 2 tanesinin diğer 8 yıldız'a göre farklı bir konumda bulundukları (Şekil I.7) ve bu 8 yıldızın tamamı ile, 2 yıldızdan bir tanesinin kırmızı yıldız ($B-V > 1^m.0$) olduğu anlaşılmıştır. Buser' in dönüşüm formülleri kırmızı olmayan popülasyonI ana kol yıldızları için geçerli olduğundan, G ye ait kararma eğrisinin sonük ucu, biri kırmızı olan 2 yıldız yardım ile çizilmiş, böylece $G > 14^m.00$ aralığındaki iki renk diagramlarına ait hata düzeltilmiş oldu. $G = 14^m.00$ kadirden daha parlak yıldızlarda kırmızı yıldızların sayısı çok az (5 tane) olduğundan, bunların kararma eğrisinin çizimini etkilemediği anlaşılmıştır. Şekil I.7 de başlangıçta hatalı çizilen kararma eğrisi de verilmiştir. R ve U kadirinde ise kırmızı yıldızlar için böyle bir özellik görülmemiştir.

VI. İKİ RENK DIAGRAMLARI

Alan hatası ve Eşel hatası düzeltildikten sonra ardışık $G \leq 12^m.00$, $12^m.01 \leq G \leq 13^m.00$, $13^m.01 \leq G \leq 13^m.50$, $13^m.51 \leq G \leq 14^m.00$, $14^m.01 \leq G \leq 14^m.50$, $14^m.51 \leq G \leq 15^m.00$, ve $15^m.01 \leq G \leq 15^m.50$, G kadir aralıkları için iki renk diagramları çizildiğinde istenen dağılım elde edilmiştir.

Alanımızda bulunan toplam 104 tane geç tipten dev' in ayırmı boşluk kriterine göre yapılmıştır. (Becker, 1979) mutlak kadirleri, her zaman olduğu gibi $M(G) = +1^m$ olarak alınmıştır. (Becker ve Fang, 1973)

VII. MUTLAK KADİR TAYINI

Praesepe alan yıldızlarının $M(G)$ mutlak kadirleri, Buser' in elde ettiği teorik mutlak kadir-renk diagramından yararlanılarak tayin edildi. (Şekil I.8.) Bu diagramda her popülasyon tipi için ayrı ayrı eğriler vardır. İnce disk' e ait eğri 5×10^9 yıllık yaşı için çizilmiştir. Kalın disk için, biri 10×10^9 yıl, diğer 14 $\times 10^9$ yıl olmak üzere iki ayrı eğri çizilmiştir; bunlara ait dönüm noktaları sırası ile $G - R = 0^m.91$ ve $G - R = 0^m.95$ e karşılık geliyor. Evrimleşmiş kalın disk yıldızlarının mutlak kadirleri 10×10^9 yıla karşılık gelen eğri yardım ile yapılmıştır. Sferoid' e ait mutlak kadir renk diagramı da iki eğriden oluşuyor; 10×10^9 yıla karşılık gelen eğrinin dönüm noktalarının apsisi $G - R = 0^m.77$ de 16 $\times 10^9$ yıla karşılık gelen eğrinin ki ise $G - R = 0^m.87$ dir.

VIII. YOĞUNLUK FONKSİYONLARI

Logaritmik usay yoğunlukları $D^* = \log(D) + 10$; ince disk, kalın disk,

sferoid ve birleştirilmiş ana kol yıldızları ile bütün popülasyonların geç tipten devleri için hesaplandı. Bu formülde $D = N / \Delta V$, N ise belirli uzaklık aralıklarına karşılık gelen ΔV hacmindeki yıldız sayısıdır. Yoğunluk fonksiyonları, kısmi

$$\Delta V = \left(\frac{\pi}{180}\right)^2 \left(\frac{\alpha}{3}\right) (r_2^3 - r_1^3)$$

hacminin r_1 ve r_2 uzaklık aralıklarını içeren $D^*(r_1, r_2)$ ordinatlı dilimlerden oluşan histogramlar şeklinde verildi. Burada α , yıldız alanının derece kare cinsinden alanıdır. Histogram dilimlerinin üzerindeki noktalar $\Delta V_{1,2}^{1/2}$ kısmi hacmindeki kütle merkezine karşılık gelen $\bar{r} = [(r_1^3 + r_2^3) / 2]^{1/3}$ uzaklığıdır. Yoğunluk histogramlarındaki dik oklar histogramın çizildiği mutlak kadir aralığının son değeri için limit uzaklığını gösterir.

IX – 1. İnce Disk Yıldızlarının Yoğunluk Fonksiyonları

İnce disk ana kol yıldızlarının yoğunluk fonksiyonları $2 \leq M(G) < 3$, $3 \leq M(G) < 4$, $4 \leq M(G) < 5$, $5 \leq M(G) < 6$, $6 \leq M(G) < 7$, ve $7 \leq M(G) < 8$ aralıkları için çizilmiştir. $1 \leq M(G) \leq 2$ aralığında sadece bir yıldız bulunduğuundan bunun için bir yoğunluk fonksiyonu belirlenememiştir.

IX – 2. Kalın Disk Yıldızlarının Yoğunluk Fonksiyonları

Kalın disk ana kol yıldızlarının yoğunluk fonksiyonları iki durum için çizilmiştir:

- a) Bütün yıldızlar evrimleşmemiş kabul edilerek,
- b) Yıldızlardan bir kısmının evrimleşmiş olduğunu varsayıarak

(a) durumu için $4 \leq M(G) < 9$ mutlak kadir aralıklarında yoğunluk fonksiyonları çizilmiştir. Bu şeillerin incelenmesinden, kalın disk yıldızları için beklenilenden çok fazla yoğunluk değerlerinin var olduğu anlaşılıyor. Özellikle $6 \leq M(G) < 7$, $7 \leq M(G) < 8$, ve $8 \leq M(G) < 9$ aralıklarına ait güneş civarındaki değerler, birleştirilmiş yoğunluk fonksiyonlarına ait güneş değerlerinden bile daha çok olduğu görülmektedir. Örnek olarak $M(G) = 6 - 7$ mutlak kadir aralığı gösterilmiştir (Şekil I.9a). Aynı durum M67 (Karaali, 1990) ve M101 (Fenkart, Karaali, ve Güngör, 1990) yıldız alanı içinde gözlenmiş ve yıldızların bir kısmının evrimleşmiş olabilecekleri sonucuna varılmıştır.

(b) durumu için su mutlak kadir aralıklarında yoğunluk fonksiyonları çizilmiştir. Yıldızlar $2 \leq M(G) < 3$, $3 \leq M(G) < 4$, $4 \leq M(G) < 5$, $5 \leq M(G) < 6$, $6 \leq M(G) < 7$ ve $7 \leq M(G) < 8$ yoğunluk değerleri mantıklı bir değer civarındadır. Örnek olarak $M(G) = 6 - 7$ mutlak kadir aralığı gösterilmiştir. (Şekil I.9b) (Daha fazla bilgi için Paragraf XII.ye bakınız.)

IX – 3. Sferoid Yıldızlarının Yoğunluk Fonksiyonları

Sferoid yıldızlarının ana kol yıldızları için de iki durum gösönünde bulundurularak yoğunluk fonksiyonu çizilmiştir. Yıldızların evrimleşmemiş durumu için çizilen yoğunluk fonksiyonları $5 \leq M(G) < 10$ aralıklarında bulunuyor. IX – 2. de anlatılan anormal yoğunluk değerleri sferoid yıldızları için de var olduğu görülmüştür.

İkinci durumda, sferoid yıldızlarının tamamı evrimleşmiş kabul edilmiştir. (Fazla bilgi için Paragraf XII. ye bakınız) Mutlak kadir diagramı, sadece $2 \leq M(G) \leq 3$ aralığındaki yıldızların yoğunluk tayinine imkan vermektedir. Bu aralığa ait yoğunluk değerleri de sferoid yıldızları için beklenen değerler civarındadır.

IX – 4. Birleştirilmiş Yoğunluk Fonksiyonları

İnce disk, kalın disk ve sferoide ait birleştirilmiş yoğunluk fonksiyonları, bütün ana kol yıldızların evrimleşmemiş olduğu durum için çizildiğinde en çok dikkati çeken nokta $6 \leq M(G) < 7$, $7 \leq M(G) < 8$, $8 \leq M(G) < 9$, ve $9 \leq M(G) < 10$ aralıkları için anormal derecede çok olan yoğunluk değerleridir. (Şekil I.10a da $M(G) = 6 - 7$ mutlak kadir aralığı için bu durum görülmektedir.) Yıldızlardan bir kısmının evrimleşmiş olduğu varsayıduğunda, gözlemsel yoğunluk değerlerinin modeller ile uyuştuğu ve güneş civarı için bulunan değerlerin de Gliese değerlerine yakın olduğu görülüyor. (Şekil I.10b) (Daha fazla bilgi için Paragraf XII. a bakınız) Bütün Popülasyon tiplerine ait Geç tipten devlerin yoğunluk fonksiyonlarından bulunan Güneş civarındaki değer Cetvel I.1 de verilmiştir.

X. GÖZLEMSEL YOĞUNLUK FONKSİYONLARI İLE GILMORE-WYSE MODELİNİN KARŞILAŞTIRILMASI

Birkaç alana uygulanmasından sonra (del Rio ve Fenkart, 1987; Fenkart ve Karaalı, 1987), bir "Ara Popülasyon" olan kalın disk' i içeren dört bileşenli Gilmore-Wyse modeli (1985), üç farklı ortalama yükseklik ölçüği (Scale-Height) için hesaplanan iki bileşenli Bahcall-Soneira modeli (1980), ve üç bileşenli Gilmore-Wyse modeline (1985) tercih edildi. Bununla beraber, son zamanlara kadar yapılan çalışmalarında, gözlenen uzay yoğunluk gradiyentlerinin çok bileşenli modeller ile karşılaştırılması sadece birleştirilmiş yoğunluk fonksiyonları için yapılyordu. Buser sistemi, birleştirilmiş yoğunluk fonksiyonlarından başka, farklı popülasyon tipleri için de yanı İnce disk, Kalın disk, Sferoid popülasyonları için de karşılaştırma olanağı veriyor. Çünkü bu popülasyonları ayırmak için iyi bir metallilik kriterine, ve her bir popülasyonun mutlak kadirlerini tayin etmek için iyi bir renk-kadir diagramına sahibiz. (Buser, 1988, Buser ve Fenkart, 1990)

Gözlemsel yoğunluk Fonksiyonlarını karşılaştırdığımız dört bileşenli Gilmore-Wyse model eğrileri, ordinat ekseninde,

$$\Delta \log(D_r) = \log D(r, \ell, b) - \log D(0, \ell, b)$$

apsis ekseninde de $r(\text{pc})$ değerleri alınarak çizildi. (Şekil I.11). Burada $D(r, \ell, b)$ ve $D(0, \ell, b)$ sırası ile r uzaklıgına ve Güneş civarına (Sıfır uzaklığı) ait yoğunluk değerleridir. Gözlemsel veriler ile model eğrilerinin, limit uzaklık içindeki, karşılaştırılması şöyle yapıldı: Model eğrisi, her şekildeki histogram dilimlerine ait kütle merkezlerinin model eğrisinden χ sapma miktarının toplamı sıfır oluncaya kadar, düşey olarak kaydırıldı. ve bu durum için s standart sapma hesaplandı:

$$s = \{\sum x^2 - (\sum x)^2 / n\} / (n - 1\}^{1/2}$$

Standart sapma ne kadar küçük ise gözlemsel veriler ile model eğrilerinin uyuması o derece iyidir. Hesaplanan standart sapmalar, Gilmore-Wyse modeline karşılık gelen Güneş civarındaki değerler, Gliese (1969) değerleri ile birlikte

Cetvel I.1 de verilmiştir.

XI. İŞİMA GÜCÜ FONKSİYONLARI

Alan yıldızlarımıza ait işİma gücü fonksiyonu Şekil I.12 de verilmiştir. Buna ait veriler Cetvel I.2 den alınmıştır. Aynı şekilde Gliese (1969) değerlerine ait işİma gücü fonksiyonu da verilmiştir. İşİma gücü fonksiyonumuzun tayininde, yıldızlardan bir kısmının evrimleşmiş olduğunu kabul ettiğimizi de kaydedelim. İşİma gücü değerlerimiz, $5 < M(G) < 6$, $6 < M(G) < 7$, ve $7 < M(G) < 8$ mutlak kadir aralıkları için, Gliese' in değerlerine yakındır. Daha parlak mutlak kadir aralıkları için ise değerlerimiz Gliese' in değerlerinden azdır. Evrimleşmiş kabul ettiğimiz sferoid yıldızlarının çoğunun mutlak kadir $M(G) < 2^m$ dir. Bu yıldızlardan az bir kısmı evrimleşmemiş olabilir; bu durumda $5 \leq M(G) < 8$ aralığındaki değerlerimiz, Gliese' in değerlerine daha yakın olur. Ancak çok az sayıda olan bu yıldızları tespit etme olanağımız yoktur. Yıldızların tamamının evrimleşmemiş kabul edilmesi halinde elde edilen işİma gücü fonksiyonu Cetvel I.2 ve Şekil I.13 de verilmiştir. Bu durumda $M(G) < 5^m$ mutlak kadir aralığındaki Güneş değerlerinin çok az, $M(G) > 6$ dakilerin ise,

$$\phi(M) = \log\psi(M) + 10 = 8^m \cdot 21 e \text{ varan, çok büyük olduğu görülmektedir.}$$

XII. EVRİMLEŞMİŞ YILDIZLAR

Buser sistemi ilk defa Fenkart ve Karaali (1990) tarafından M5 yıldız alanına uygulanmış, birleştirilmiş yoğunluk değerleri ile modellerin uyuştuğu görülmüş fakat galaksi bileşenlerine (ince disk, kalın disk, ve sferoid) ait gözlemsel yoğunluk değerleri, bunlara karşılık gelen model eğrileri ile karşılaştırıldığında, bir uyumsuzluk tespit edilmiştir. Özellikle $M(G) \geq 6$ mutlak kadirindeki kalın disk ve sferoid yıldızları için gözlemlerden bulunan yoğunluk değerleri, model eğrilerinden çok fazla idi. $M(G) = 10^m$ mutlak kadirine kadar hesaplanan yoğunluk fonksiyonları, Güneş civarında çok sayıda kalın disk ve sferoid yıldızı bulundurulmasını gerektiriyordu; bu ise mümkün değildir. Modelerin öngördüğü Güneş civarındaki yoğunluk değerleri,

ince disk: kalın disk: sferoid = 1.2: 0.02: 0.001 dir.

M67 doğrultusunda bulunan bir yıldız alanında aynı durumun var olduğunu gösteren Karaali (1990), yaşı olan kalın disk ve sferoid yıldızlarından bir kısmının evrimleşmiş olabileceğini düşünmüştür ve bu düşüncesini ilk defa bu alana uygulamıştır. Sonuçta, hem galaksi bileşenleri için, bulunan gözlemsel verilerin bunlara karşılık gelen, model eğrileri ile uyuştuğu ve hemde birleştirilmiş gözlemsel verilere ait Güneş değerlerinin Gliese(1969) in değerleri ile bağıdaştığı görülmüştür. Aynı uygulama M101 yıldız alanına yapılmış ve yine olumlu sonuç alınmıştır.(Fenkart, Karaali, ve Gündör, 1990)

Bu çalışmada da yıldızlardan bir kısmının evrimleşmiş olabileceğini düşündük. Yıldızların evrimleşmemiş durumu için çizilen yoğunluk histogramları ve işİma gücü fonksiyonu da bunu sorunlu kılıyor.

Gilmore-Wyse (1987) in, Galaksi düzlemine dik doğrultudaki hız dispersiyonu ($\sigma_z \equiv \sigma_w$) ile galaksi düzlemine olan uzaklık (z) arasındaki bağıntıdan (Şekil I.14) faydalananarak $r \leq 500$ pc. uzaklığındaki ($s \leq 270$ pc.) kalın disk yıldızlarının tamamının evrimleşmiş olabileceğini düşündük; bu değer söz konusu bağıntıdaki eğrinin lineerlikten ayrıldığı nokta olup bunun sebebinin kalın disk

yıldızlarından kaynaklandığını düşündük. $r > 500$ pc. uzaklıktaki kalın disk yıldızlarından bir kısmı evrimleşmiş iken bir kısmında evrimleşmemiştir.

Limit uzaklığımızı gözönüne alduğumuzda, sferoid yıldızlarının hemen hemen tamamının evrimleşmiş olabileceğini düşündük. Evrimleşmemiş olabilecek olan birkaç yıldızı, evrimleşmişlerden ayırmak mümkün değildir.

XIII. KARŞILAŞTIRMA VE SONUÇ

Buser sisteminin (tamamlanmış) üçüncü uygulaması olan bu çalışmada Gözlemeşel yoğunluk histogramları Gilmore-Wyse modeline ait eğriler ile karşılaştırılmış ve yıldızlardan bir kısmının evrimleşmiş olduğu varsayımu altında, birleştirilmiş yoğunluk değerlerinden başka galaksinin farklı bileşenlerine ait değerlerin de modeller ile uyusluğu görülmüştür. İşime gücü fonksiyonu Gliese' inki ile bağdaşıyor. Aynı yıldız alanının Steinlin sistemi ile yapılan model karşılaştırılmış çalışmasında (Fenkart, 1989) en iyi uyum Gilmore-Wyse' in (1985) dört bileşenli modeli ile olmuştur. Bu çalışma ile şimdiki çalışmamız karşılaştırıldığında elde edilen sonuçlar Cetvel I.1 de verilmiştir.

KAYNAKLAR

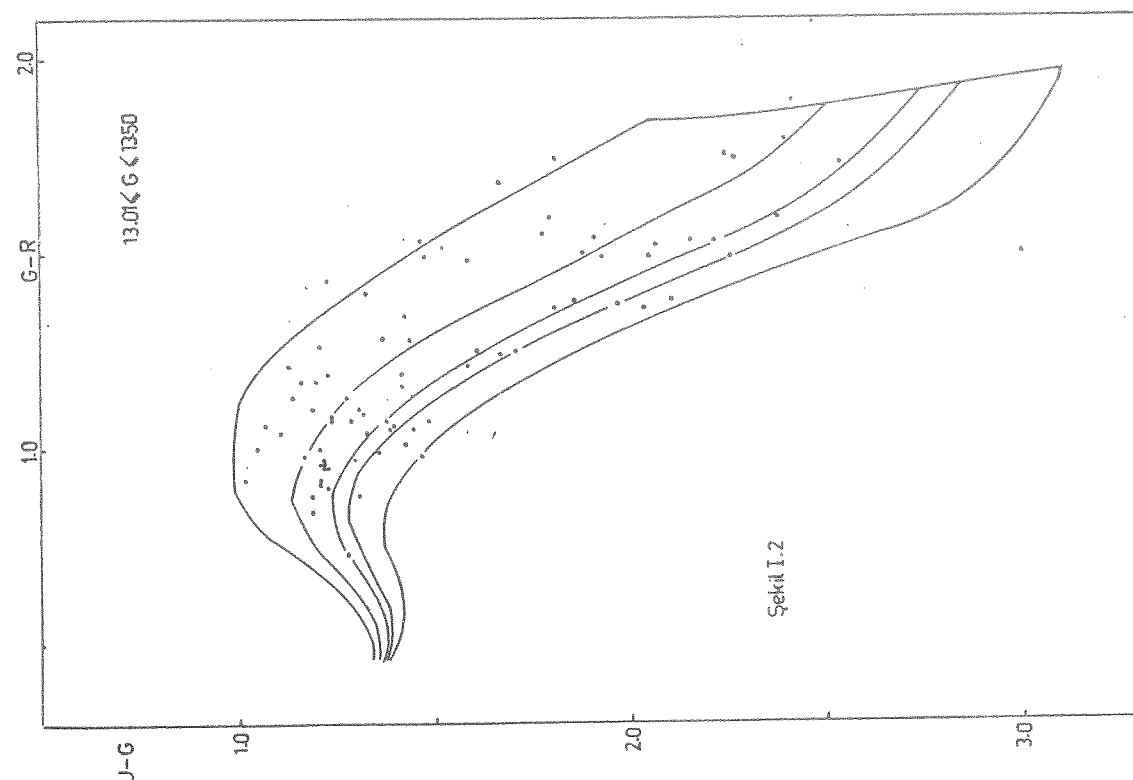
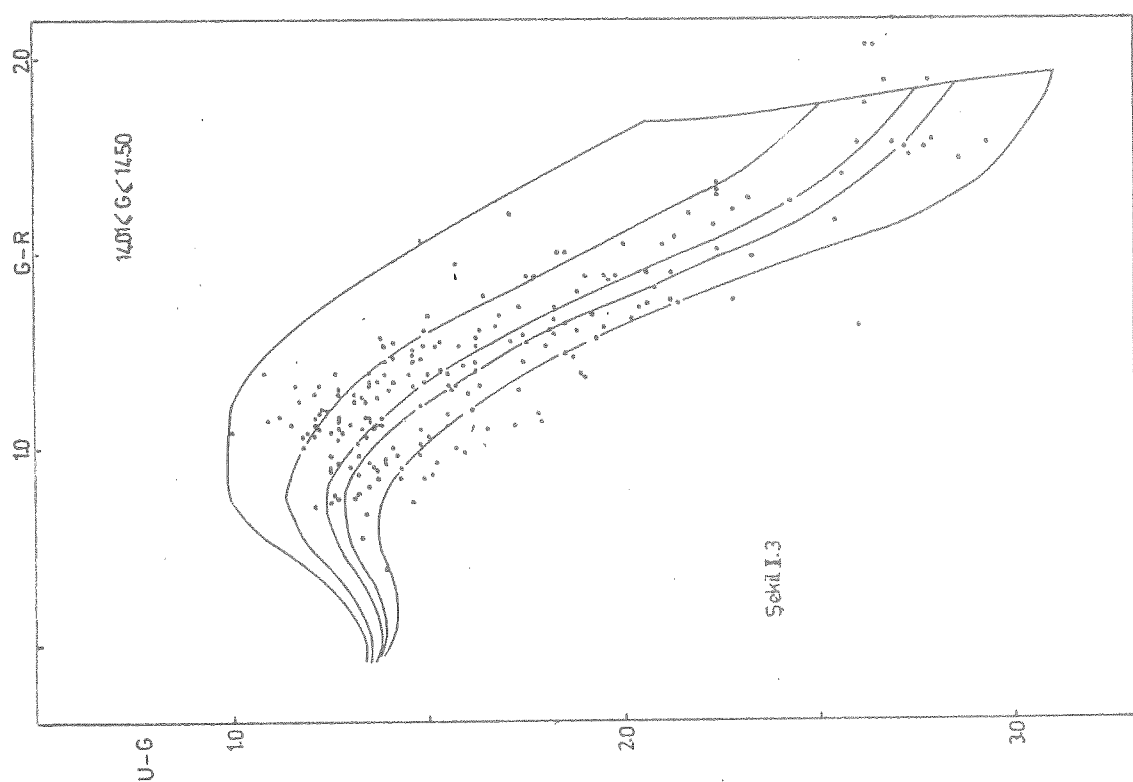
- Bahcall, J.N., Soneira, R.M., 1980, *Astrophys. J. Suppl.* 44, 73
- Bahcall, J.N., Soneira, R.M., 1984, *Astrophys. J. Suppl.* 55, 67
- Buser, R., 1978, *Astron. Astrophys.* 62, 425
- Buser, R., 1988a, (Henüz yayınlanmamış)
- Buser, R., 1988b, Astronomical Institute, University of Basel
Preprint Ser. No. 28
- R.Buser, Preprint Astron. Inst. Univ. Basel No. 2, p.5
- Fenkart, R.P., ve Karaali, S. 1987, *Astron. Astrophys. Suppl.* 69, 33
- Fenkart, R.P., ve Karaali, S. 1990, (Henüz yayınlanmamış)
- Fenkart, R.P., Karaali, S. ve Güngör, S. 1990, (Henüz yayınlanmamış)
- Gilmore, G., 1984, *Mon. Not. R. Astron. Soc.* 207, 223
- Gilmore, G., ve Reid, N., 1983, *Mon. Not. R. Astron. Soc.* 202, 1025
- Gilmore, G. ve Wyse, R.F.G., 1985, *Astron. J.* 90, 2015
- Gliese, W., 1969 *Veröff. Astron. Rechen Inst. Heidelberg*, No. 22
- Karaali, S., 1989, (Henüz yayınlanmamış)
- Del Rio, G. ve Fenkart, R.P., 1987, *Astron. Astrophys. Suppl.* 68, 397
- Steinlin, U.W., 1968, *Zs. Astrophys.* 69, 276

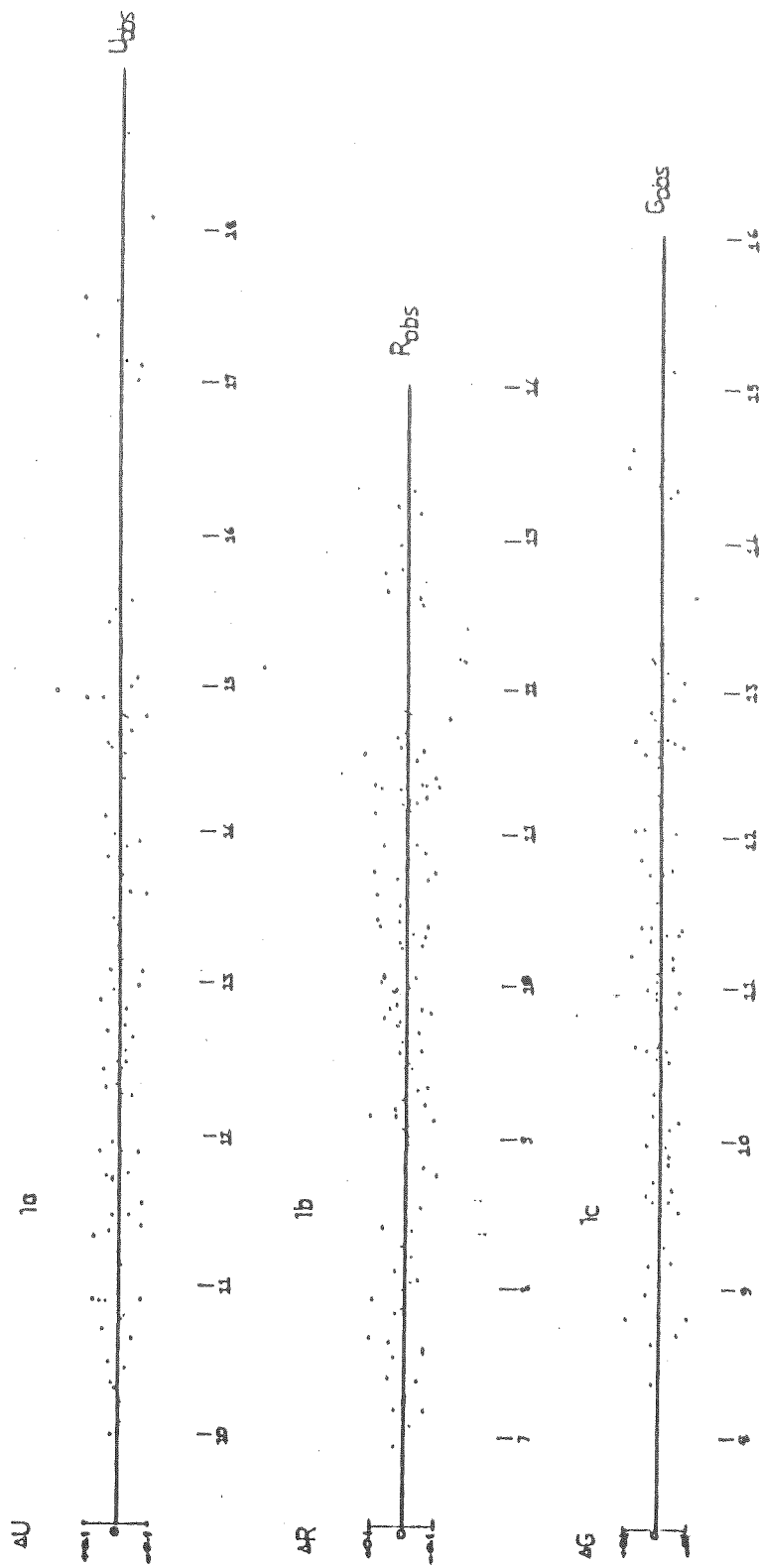
Cetvel 1.1: Dört Bileşenli Gilmore – Wyre Modeline Göre Fenkart'ın (Şemlinde) Değerleri ve Bu Çalıgnadaki (Büser Sisteminde) değerleri

	M(G) Mutlak Kadar Aralıkları						
	$2^m - 3^m$	$3^m - 4^m$	$4^m - 5^m$	$5^m - 6^m$	$6^m - 7^m$	$7^m - 8^m$	DEVLER
Fenkart'ın Değerleri	–	6.55	7.31	7.51	7.62	7.75	6.43
Bu Çalıgnadaki Değerler	–	6.90	6.89	7.41	7.34	7.28	6.46
Giese' in Güney Değerleri	7.18	7.41	7.52	7.48	7.42	7.53	

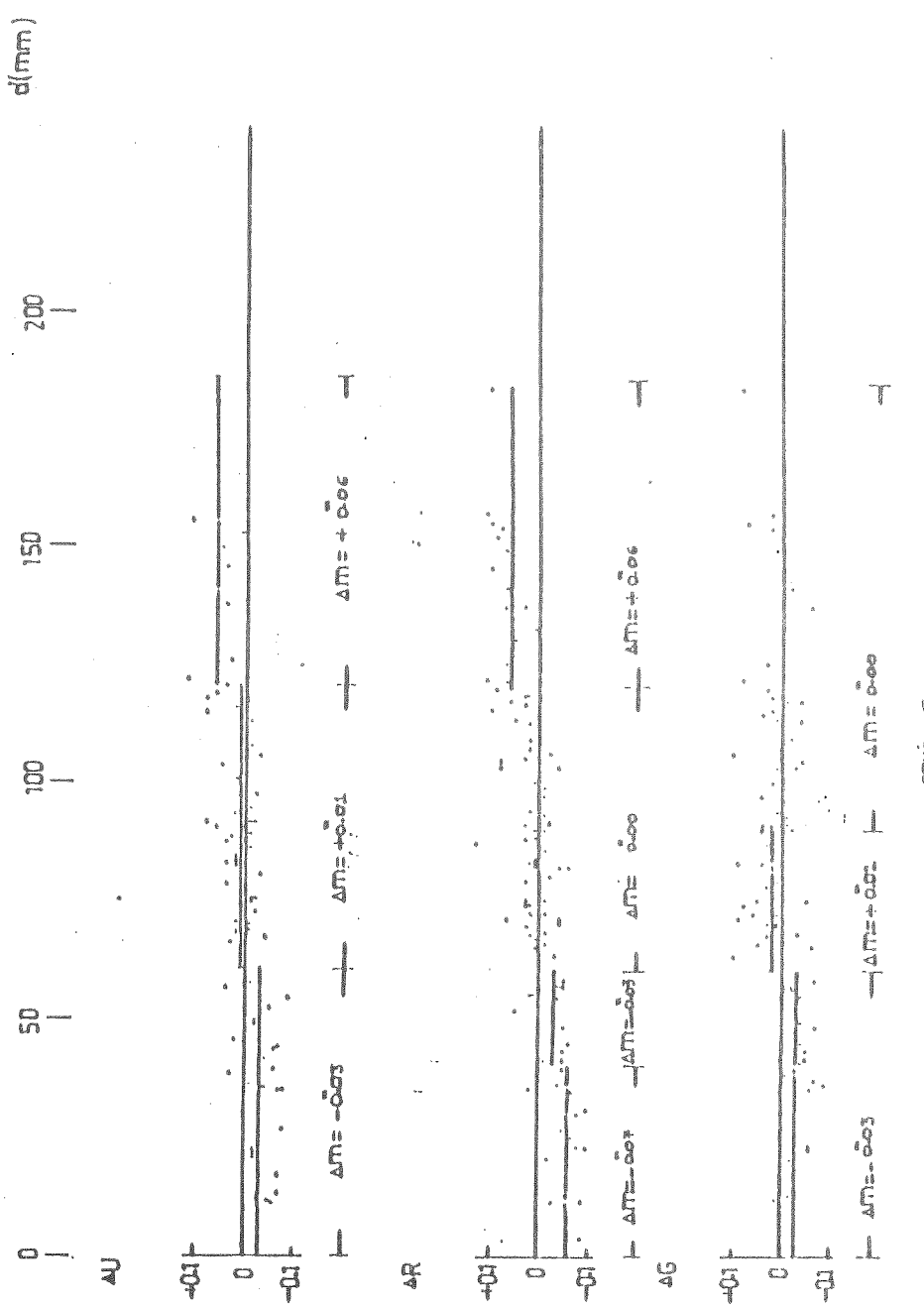
Cetvel 1.2: Gilmore-Wyre IV modeline karşılık gelen Güney çarşambası Değerler (Θ),
Standart sapmalar ve Giese' in Güney deşteri

	$\Delta M(G)$					
	$2^m - 3^m$	$3^m - 4^m$	$4^m - 5^m$	$5^m - 6^m$	$6^m - 7^m$	$7^m - 8^m$
Bileşenlerin Θ	0.9	1	0	5	0	5
Bileşenlerin Θ (Birimlesmemiş)	0.52	6.32	0.20	6.90	0.40	6.89
Giese' in Güney (Θ) Deşteri	0.16	5.81	0.51	6.50	0.42	6.94
Döşter			$E(G) = +1^m$		$\Theta = 6.46$	$Giese' Deşteri = 6.54$
						$\delta = 0.44$
						$g = 0.03$

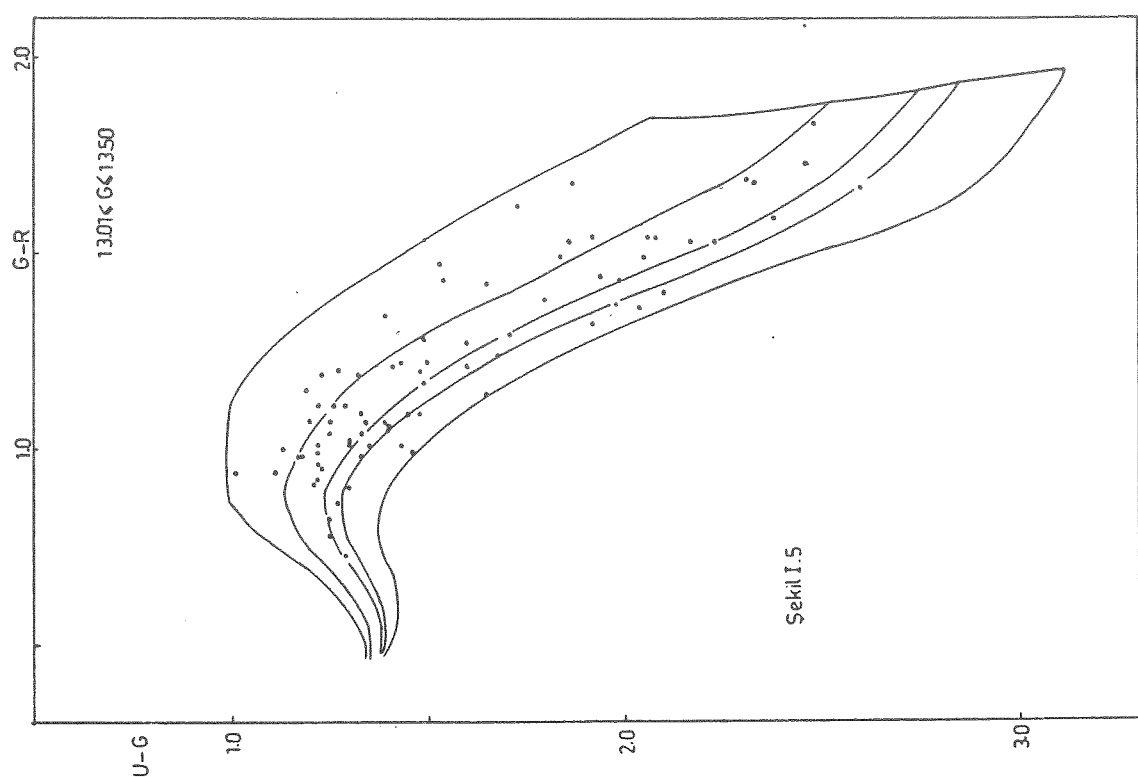
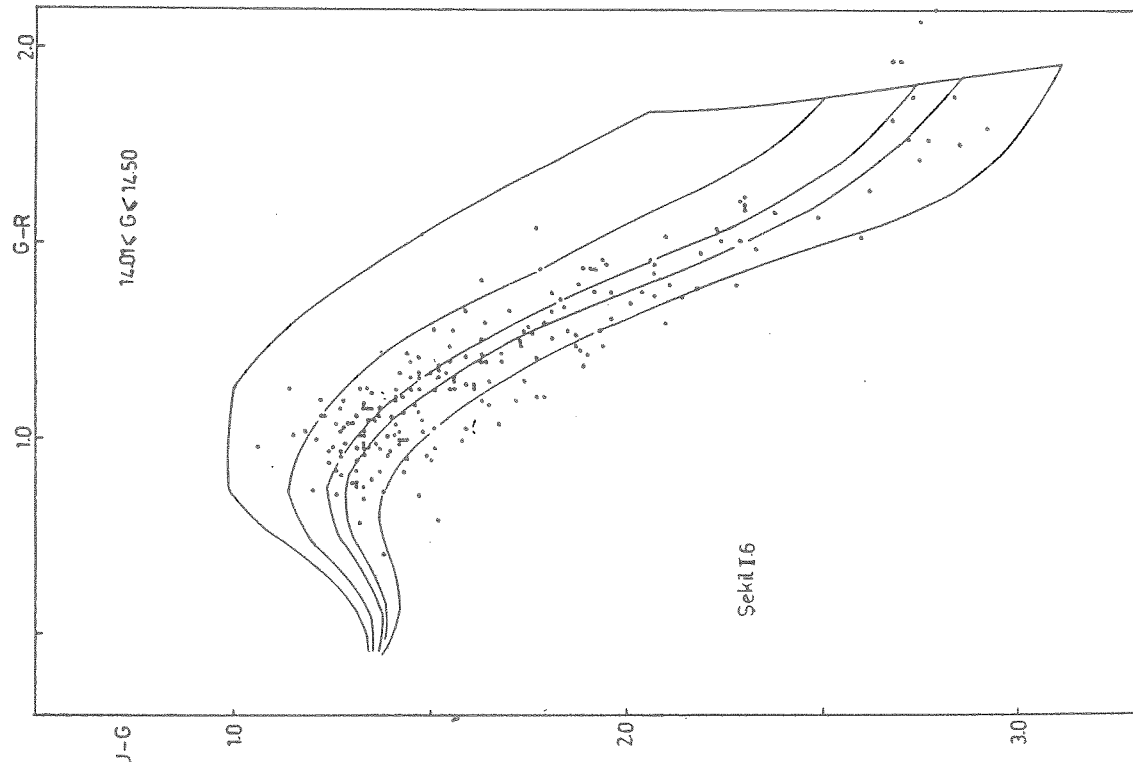


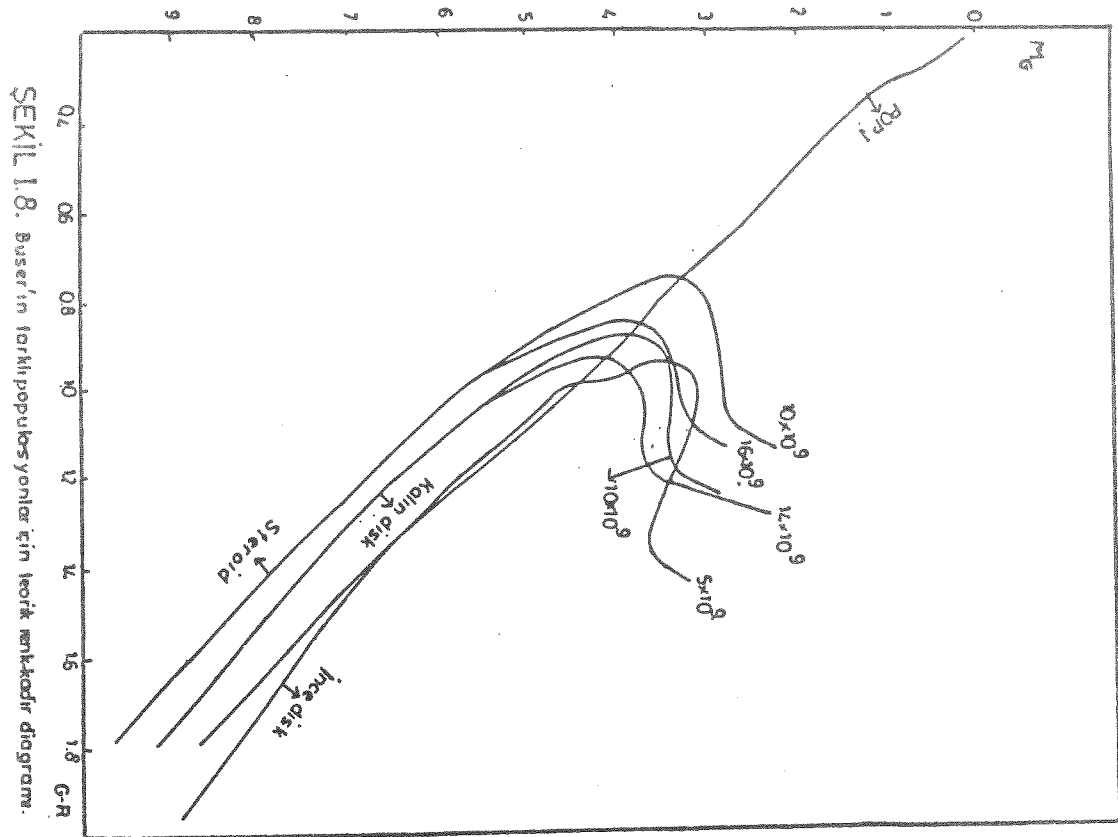
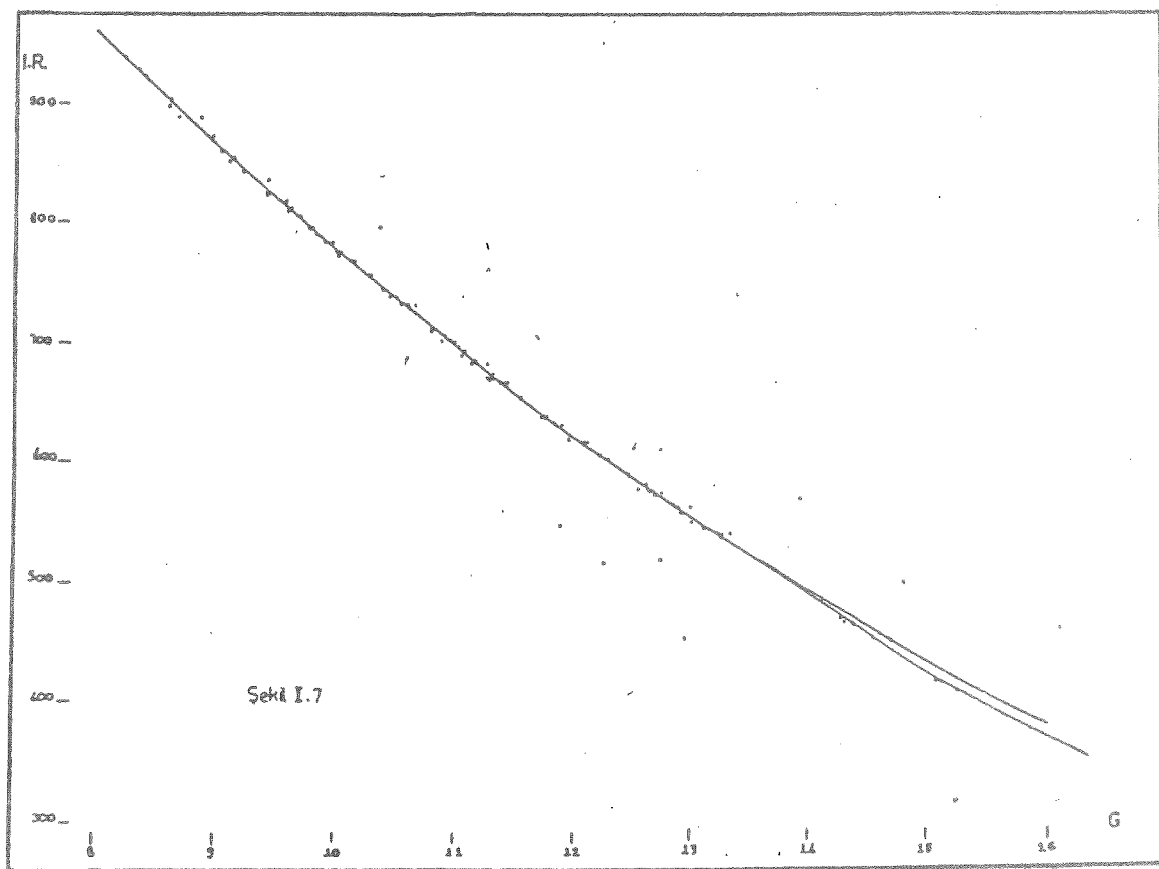


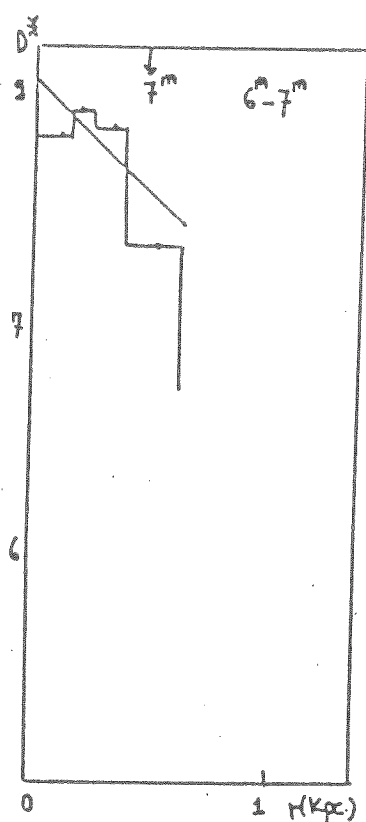
ŞEKLİ 1. 1c, 1b, 1c : standart yıldız verilerinin standartlaştırılmış



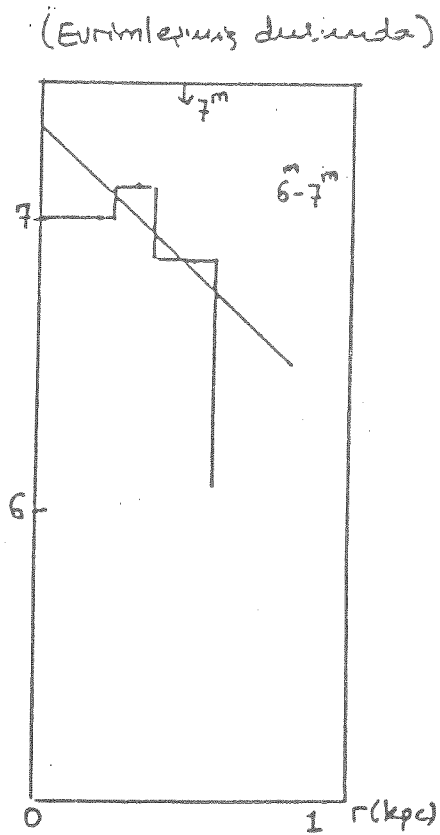
SEKL 7. 4





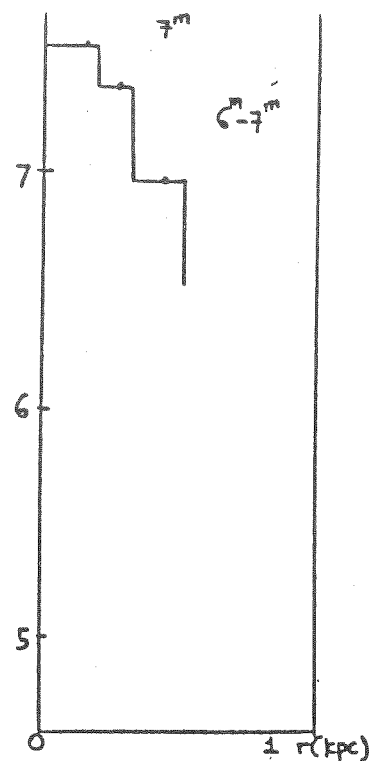


ŞEKİL 10 a

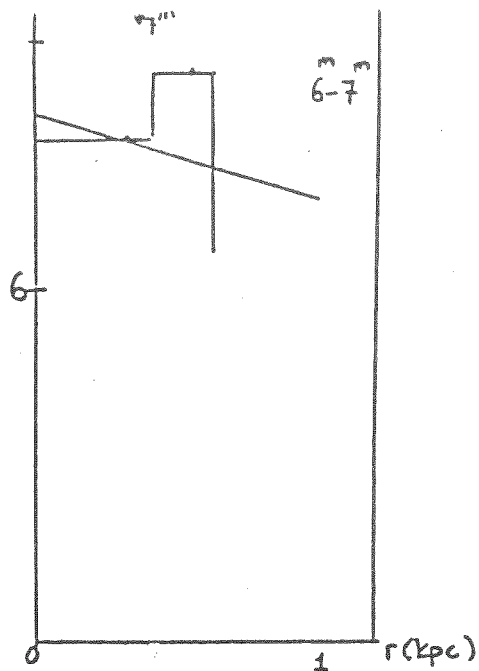


ŞEKİL 10 b

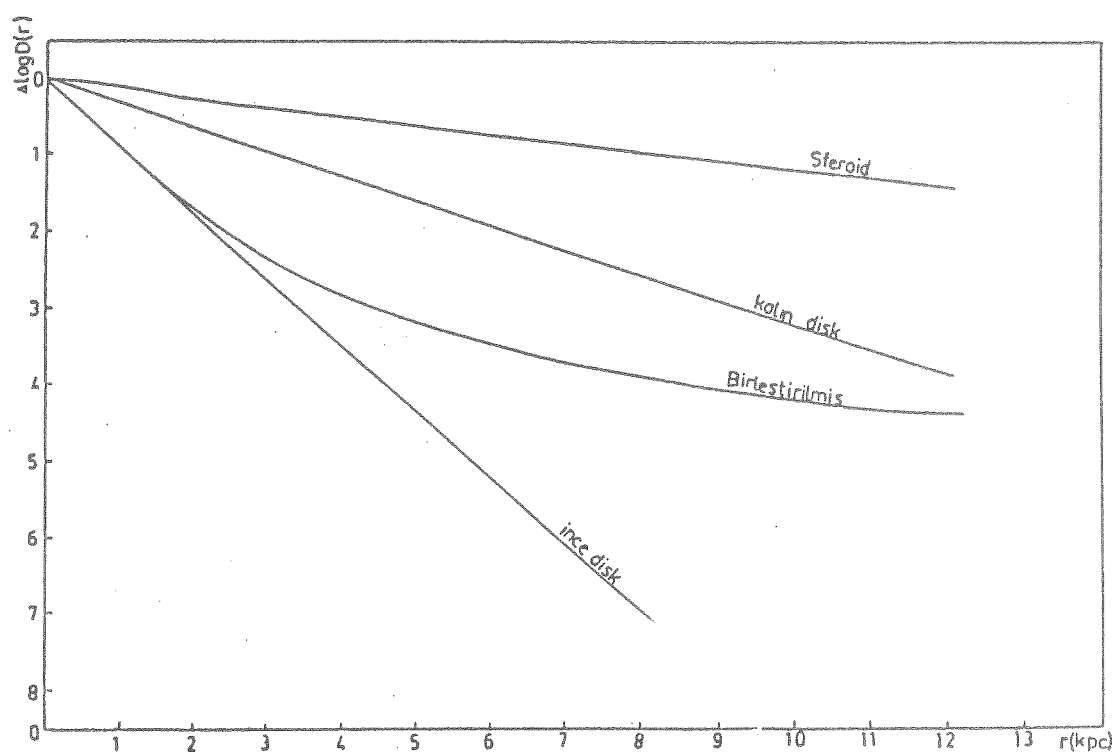
(Evrimleşmiş durumda)



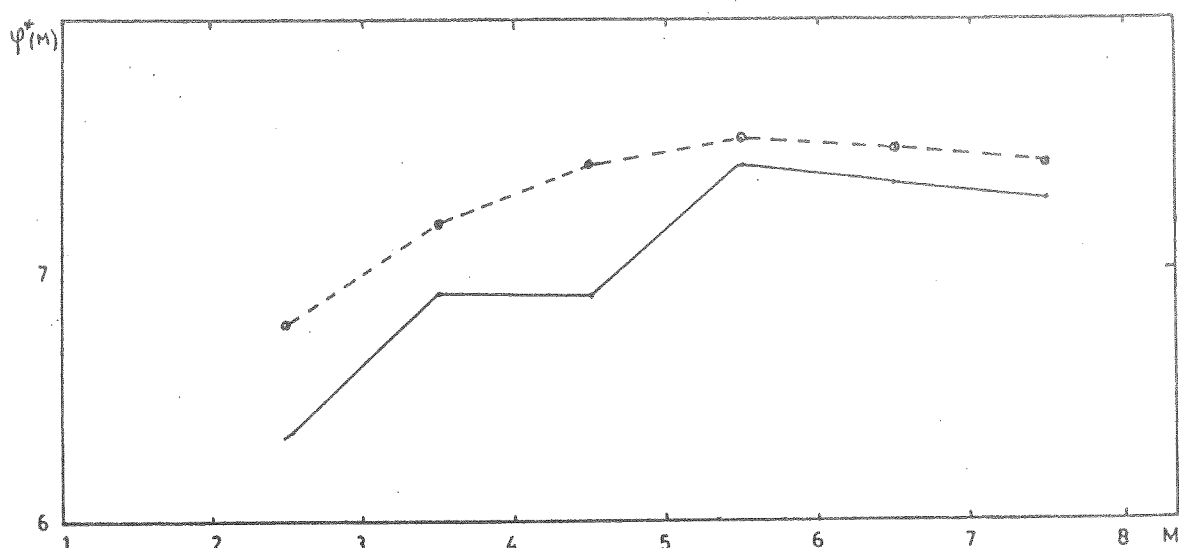
ŞEKİL 9 a

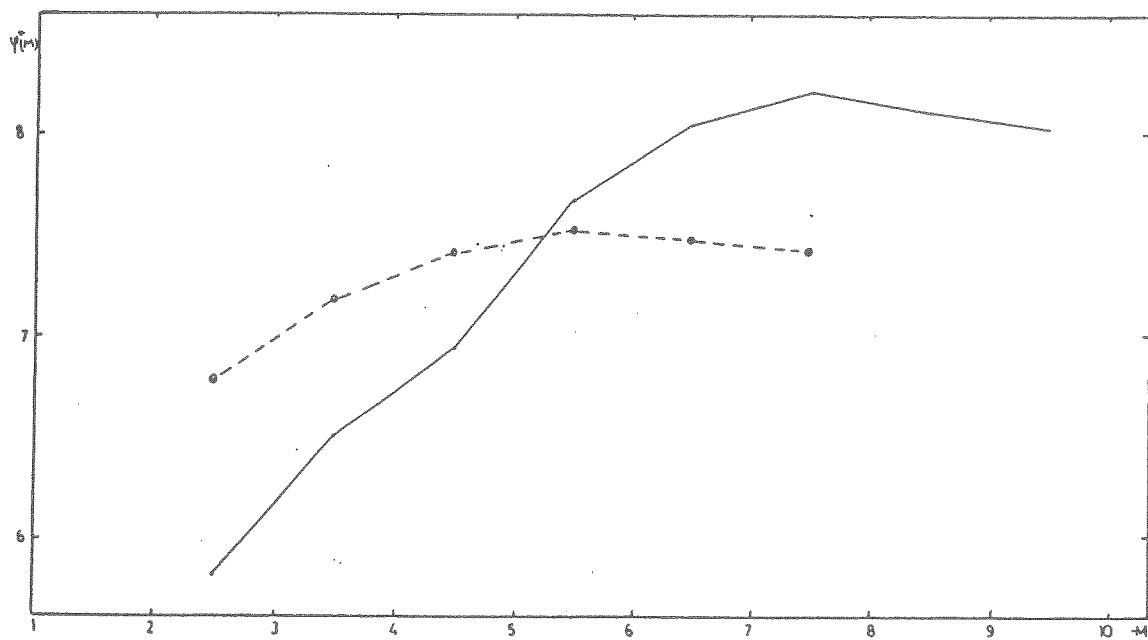


ŞEKİL 9 b

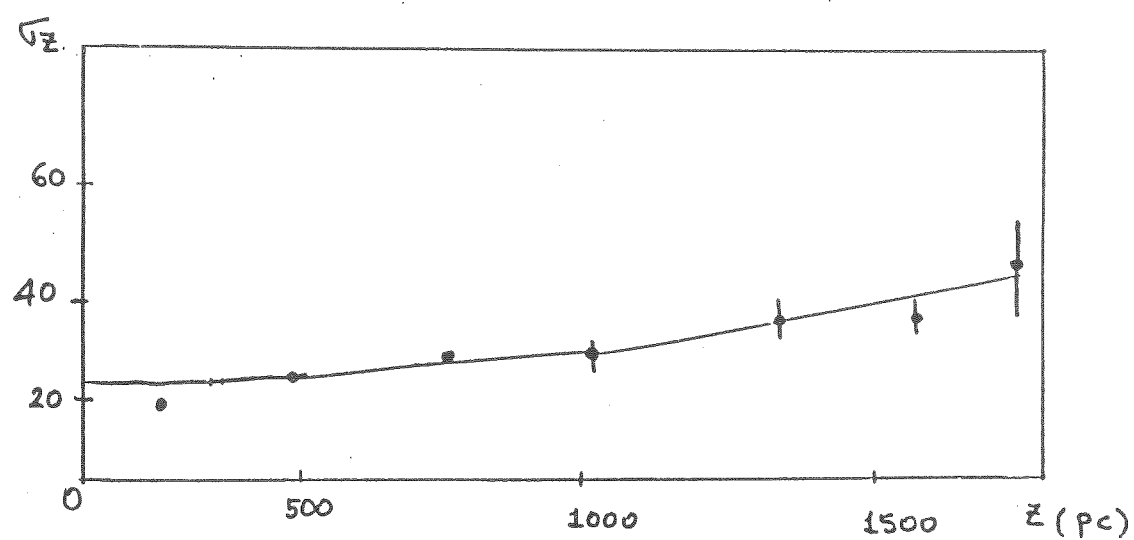


ŞEKİL 1.11 praesepa yıldız alanı için dört bileşenli Gilmore-Wyse model eğrileri

ŞEKİL 1.12 Praesepa yıldız alanı için işıma gücü fonksiyonu. ◊: Gliese'ın değerleri.
(Evrimleşmiş)



SEKİL I.13. Praesepa yıldızları için ışma gücü tansiyonu. o: Gliese'in. değerleri.(Evrimleşmemiş)



SEK.I.14. Galaksi düzlemine dik doğrultudaki hiz dispersiyonu ile Galaksi düzlemine olan uzaklık(z) arasındaki bağıntı.

AH Virginis Değen Çiftyıldızının Dönem Analizi

Osman Demircan, Ethem Derman, Ayvur Akalın

Ankara Üniversitesi Gözlemevi, Astronomi ve
Uzay Bilimleri Bölümü, 06100 Beşevler, Ankara.

Özet :

AH Virginis degen çift yıldızının yayınlanmış minimum zamanları literatürden toplamp, sistemin yörüngे dönemindenki değişimler için analiz edilmiştir. Sistemin döneminde 1955 ve 1971 yıllarında iki ani dönem artımının gerçekleştiği ve dönemin özellikle son yıllarda küçük bir genlikle (~ 0.02 gün) dönenli salımlılar yaptığı saptanmıştır. 1955 ve 1971 yıllarında gerçekleşen $\Delta P/P = 8.7 \times 10^{-6}$ ve 1.4×10^{-5} kadarlık ani dönem artımları sistemden kütle kaybı olmadıysa küçük kütleli bileşenden büyük kütleli bileşene $3 \times 10^{-6} M_{\odot}$ ve $5 \times 10^{-6} M_{\odot}$ kütle aktarımıyla açıklanabilmektedir. Dönemin küçük genlikli salımlılar göstermesi (i) sistemde üçüncü bir cisim varlığı (ii) konvektif katmanda magnetik etkinlikle bozulmalar ve (iii) bileşen yıldızların radyatif çekirdeklerinde kütle hareketleri açısından tartışılmıştır. Sistemde öngörülen üçüncü cisimin yörüngesi irdelemiş ve bunun ADS 8472B yıldızı olamayacağı görülmüştür.

Ayrıca, AH Virginis'in ışık eğrilerindeki asimetri ile dönem salımları arasında ilişki aranmış ve eldeki verilerle hiçbir ilişki bulunamamıştır. Bu durumda eğer asimetri, leke etkinliği ölçülu olarak alınırsa dönemin salımlarının magnetik etkinlikle ilişkili olabileceğini söylemek mümkün olmayacağı.

1. Giriş

AH Yir, ışık değişimi leke modeliyle açıklanan ilk W UMa sistemlerinden biridir (Binnendijk 1960). Fotoelektrik gözlemleri Binnendijk (1960); Huruhata ve Nakamura (1951); Kitamura, Tanabe ve Nakamura (1957), Kwee (1958), Bakos (1977), Hoffmann (1981), Niarchos (1983) ve Demircan (1987) tarafından yapılmıştır. Bu gözlemlere göre ışık eğrileri fazla değişim göstermektedir. Birinci minimum tari tutulma gösterdiği için sistem W-türü W UMa sistemidir. Minimum omuzlarındaki Algol-tür sistemlere özgü değişimler AH Yir de kütte aktarımını göstermektedir (Demircan 1987). Cheng (1948) tarafından $q=0.42$ olarak bulunan tayfsal kütte oranı, fotometrik kütte oranı $q=0.34$ (Kaluzny 1984), $q=0.26$ (Jabbar ve Kopal 1983) ve $q=0.32$ (Binnendijk 1984)'den biraz büyüktür. Sistemin 1948'den bu yana başka tayfsal analizi yapılmamıştır. Sistemin fotometrik analizi Lucy (1983), Hilditch (1981), Niarchos (1983), Kaluzny (1984), Jabbar ve Kopal (1983) ve Binnendijk (1984) tarafından yapılmıştır. Işık eğrilerinin fazla değişim göstermiş olması nedeniyle çözümler tutarlı değildir.

AH Yir'de AM Leo gibi bir görsel çiftin (ADS 8472) parlak bileşenidir. Binnendijk (1970)'e göre görsel bileşen AH Yir'den $1''.3$ uzakta ve 3 kadir daha sönüktür.

Sistemde ışık eğrisi değişimi, dönem değişimi, üçüncü cisimin özellikleri, kütte transferi ve magnetik etkinlik arasında ilişkiler olabileceği düşüncesiyle bu çalışmada sisteme ilişkin dönem ve ışık değişimi sistematik bir şekilde irdelenmiştir.

2. Dönem Değişimi

AH Yir'in dönem değişimi Kwee (1958), Binnendijk (1960), Herczeg (1962), Wood ve Forbes (1963), Purgathofer ve Prochazka (1957), Bakos

(1977) ve Niarchos (1983) tarafından analiz edilmiştir. Dönemin 1955 ve 1971 de ani artışlar gösterdiği bulunmuş. Sistemin Ankara Üniversitesi Gözlemevi'nde yapılan gözlemlerinden 13 yeni minimum zamanını ve önceki analizlerde dikkate alınmamış çok sayıda minimum zamanını literatürden toplayarak verileri 1927'den 1989 ortasına kadar 55000 dönemlik zaman kapsayacak şekilde genişlettik ve yeniden analiz ettik. Analiz sonucunda;

- (i) birinci ve ikinci minimumların aynı O-C dağılımının gösterdiği şartındı,
- (ii) dönemde 1955 ve 1971 de ani artımlar olduğu kanıtlandı,
- (iii) 1955 öncesi, 1955-1971 arası ve 1971 sonrası dönemin aşağı yukarı sabit olduğu şartındı ve bu 3 döneminde ortalama yörünge dönemleri $P_1=0.40751839$ gün, $P_2=0.40752193$ gün ve $P_3=0.40752778$ gün bulundu,
- (iv) Buna göre 1955 ve 1971 deki ani dönem artımları $\Delta P/P=8.7 \times 10^{-6}$ ve 1.4×10^{-5} bulunmuştur,
- (v) dönem artımlarının, küçük kütleli ($M_2 \approx 0.6 M_\odot$) bileşenden büyük kütleli ($M_1 \approx 1.4 M_\odot$) bileşene kütte transferinden kaynaklandığı kabul edilerek

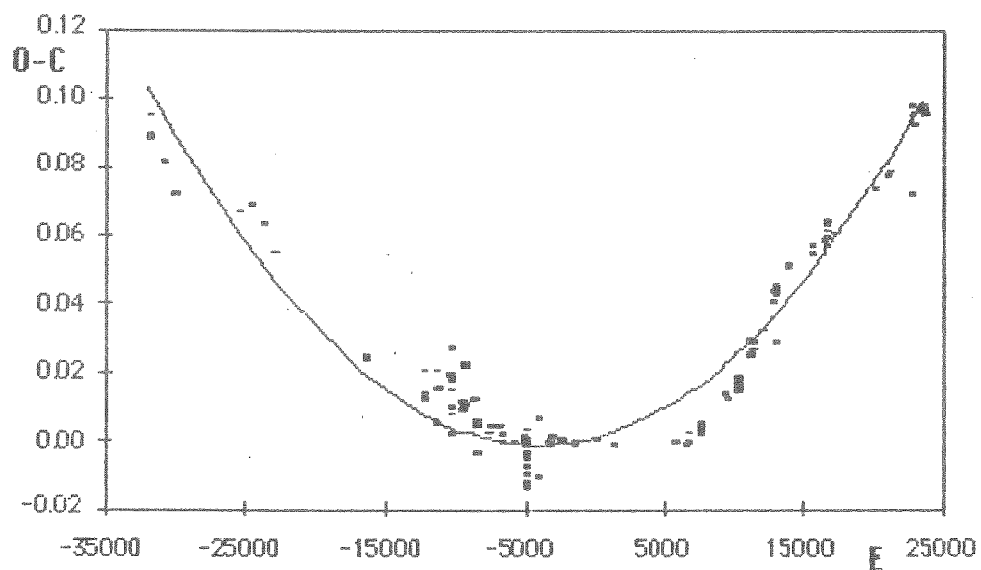
$$\frac{d \ln P}{dt} = 3 \left(\frac{M_2}{M_1} - 1 \right) \frac{d \ln M_2}{dt}$$

bağıntısından 1955 ve 1971'de sisteme $3 \times 10^{-6} M_\odot$ ve $5 \times 10^{-6} M_\odot$ madde aktarımı olduğu bulunmuştur.

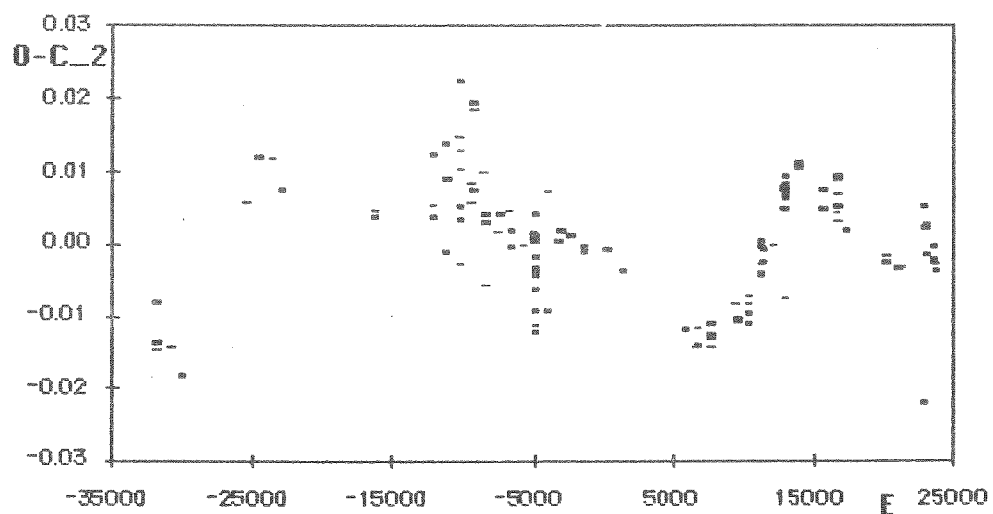
- (vi) O-C dağılımına ikinci derece polinom fit edilerek ;

$$\text{Min I} = \text{HJD } 2438026.9935 + 0.40752295.E + 1.33 \times 10^{-10}.E^2$$

bulundu (bkz. Şekil 1). Burada kareli terim dönemin zamanla değişim ölçüsünü göstermektedir. Minimum zamanlarının bu ışık elemanlarından sapmaları Şekil 2'de gösterilmiştir. Bu şeyle göre dönemin özellikle üçüncü aralıkta (1971'den sonra) küçük genlikli bir salınım yaptığı görülmektedir.

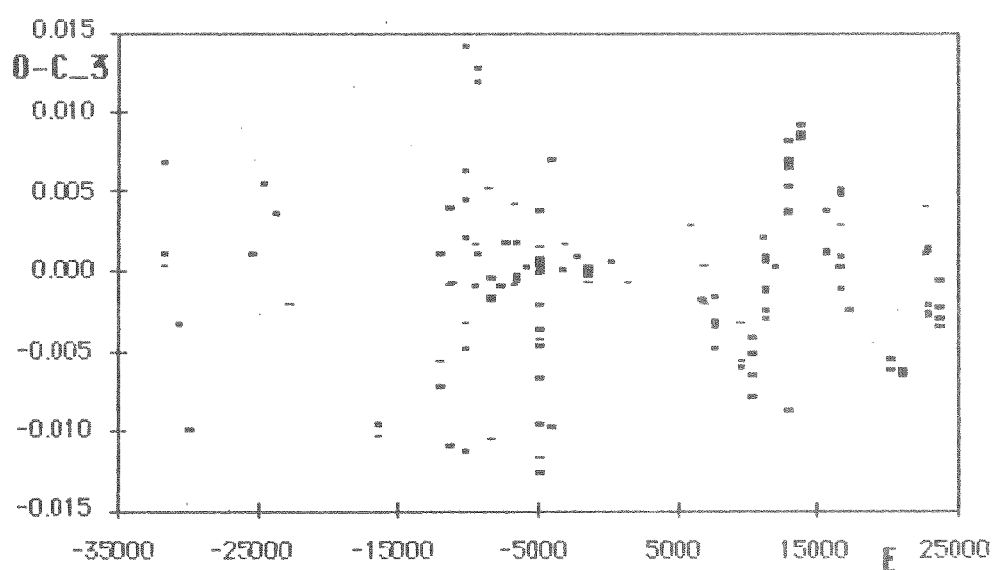


Şekil 1. AH Yir'in (0-C) dağılımına ikinci derece polinom fit edilmesi.



Şekil 2. Minimum zamanlarının, ikinci derece polinom fit edilmesi sonucunda bulunan ışık elementlerinden sapmaları.

(vii) Üç ayrı zaman aralığına (1955 öncesi, 1955-1971 arası ve 1971 sonrası) doğrusal fitler yapılarak gözlemlerin bu fitlerden sapmaları bulunmuş ve bu sapmaların zamanla değişimini Şekil 3'te gösterilmiştir. Bu şekilde de dönemin özellikle 1971 sonrası dönemli salımlılar yaptığı görülmektedir. Salımlıların genliği ~ 0.016 gün ve dönemi ~ 11 yıldır. 1971 öncesi O-C dağılımı kütle aktarımından etkilendiği için salımlı göstermemiştir.



Şekil 3. Üç ayrı zaman aralığına yapılan doğrusal fitlerin gözlemlere göre sapmaları.

Söz konusu salımlıların sisteme 3. bir cisimin varlığından kaynaklandığı varsayılrsa 3. cismin kütle fonksiyonu $0.02 M_{\odot}$ bulunur. Sistemin toplam kütlesinin $\sim 2 M_{\odot}$ alınması halinde 3. cismin kütlesi bu cisme ait dairesel kabul edilen yörüngelerin eğimine bağlı olarak $i=90^\circ$, 60° ve 30° için $M_3=0.5$, 0.6 ve $1.2 M_{\odot}$ bulunur. 3. cismin ADS 8472B olduğu kabul edilirse ADS 8472B'nin salt parlaklışı AH Yir'den ~ 3 kadir daha sönüklüğüne göre $(M_{bol})_3 \approx 7$ kadir olmalıdır.

3. cismin bir anakol yıldızı olması halinde kütlesi $M_3 \approx 0.6 M_{\odot}$ bulunur. Bu değer ise $i \approx 60^\circ$ ve $a = 2.4 \times 10^8$ km olmasını gerektirir. AH Yıldızının uzaklık modülü $\gamma - M_V = 4.5$ (Eggen 1967) kullanılarak 3. cismin AH Yıldızından $0''.02$ uzakta görülmesi gerektiği bulunan bu değer Binnendijk'in ADS 8472B için verdiği $1''.3$ değerinden çok farklıdır. Bu durumda öngörülen 3. cisim ADS 8472B olamaz. 3. cismin gerçekten var olup olmadığı astrometrik gözlemlerle gösterilebilir.

Diğer taraftan alternatif bir görüş olarak çift yıldız bileşenlerinden birinin magnetik etkinlik çevrimiyle yörüngede döneminde küçük salınımalar olabileceği Applegate (1989) tarafından irdelenmiştir. Bu görüşe göre, bir çift yıldızın bileşenlerinden birinin konvektif katmanında üretilen magnetik alan eşpotansiyelli yüzeyleri etkiler ve bu etki magnetik çevrim nedeniyle önemli olarak değişir. Bileşen yıldız çekimsel olarak yörüngeye kilitli olduğu için yörüngede açısal momentumunda da önemli değişimler olur ve sonuca yörüngede dönemi magnetik etkinlik döneminde küçük genlikli salınımalar yapar. Eğer AH Yıldızının döneminde gözlenen küçük genlikli salınımalar bu nedenden kaynaklanırsa, dönem değişimlerinin ışık eğrilerinde gözlenen magnetik etkinlik belirteçleriyle beraber aynı dönemde uyum içinde salınım göstermesi beklenir.

3. Işık Eğrisinde Şekil Değişimleri

AH Yıldızının ışık eğrilerinde geceden geceye değişimler ilk kez Binnendijk (1960) tarafından not edilmiştir. Daha sonra yapılan gözlemlerde de minimum derinliklerinin ve maksimum seviyelerinin sürekli değişim göstermesi nedeniyle bu değişimlerin niteliğini anlayabilmek için AH Yıldızı, Ankara Üniversitesi Gözlemevi'nde 1988 de gözlem programına alınmıştır. 1988 den itibaren UBY renklerinde her gözlem mevsimi birer ışık eğrisi elde edilmektedir. Işık eğrilerinde mevsimlik değişimleri sistematik olarak inceleyebilmek için, Ankara Üniversitesi Gözlemevi'nde elde edilen 1988 ve 1989 ışık eğrilerini daha önce elde

edilmiş bu sisteme ait tüm ışık eğrileriyle beraber birinci maksimumlara normalize edilmiş olarak aynı ölçekte grafiklere aktardık. Her ışık eğrisinden minimum ve maksimum seviyelerini okuduktan sonra,

$$\begin{aligned}\Delta_{\min} &= \text{mag}(\min_I) - \text{mag}(\min_{II}) \\ \Delta_{\max} &= \text{mag}(\max_I) - \text{mag}(\max_{II}) \\ D_1,2 &= \text{mag}(\min_{I,II}) - \text{mag}(\max_{I,II})\end{aligned}$$

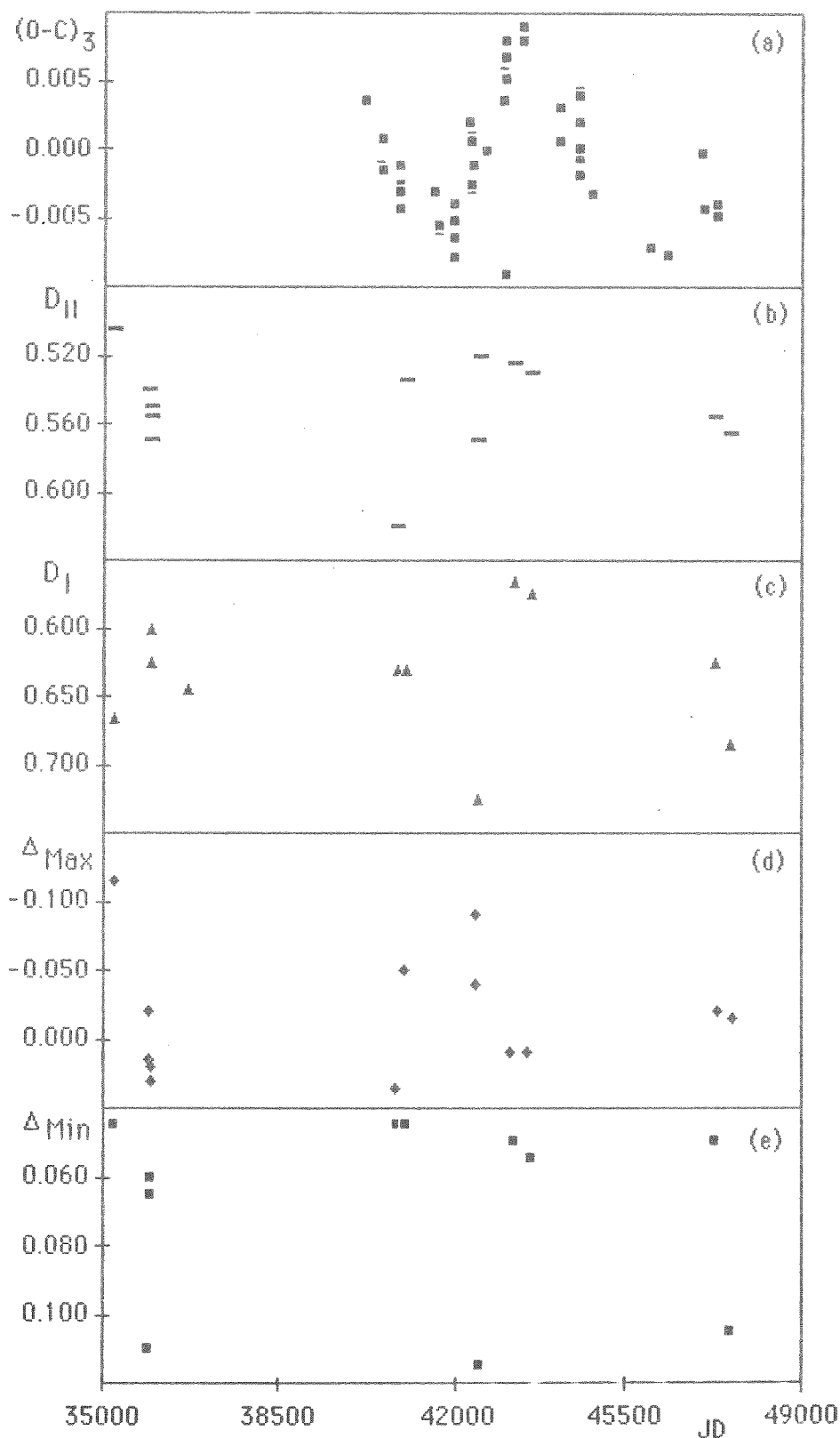
büyükükleri oluşturuldu ve bunların zamanla değişimi, dönem değişimiyle beraber Şekil 4 'te gösterildi. Az sayıda nokta olması ve bu noktaların fazla saçılması nedeniyle bu şekildeki hiçbir kesin yargıya varmak mümkün değildir. İlk bakışta Δ_{\min} değişiminin Δ_{\max} ve D_1 değişiminden bağımsız olduğu, D_1 değişiminin Δ_{\max} değişimine bağlı olduğu anlaşılmaktadır. Ayrıca hiçbir asimetri değişiminin dönem değişimiyle korelasyon içinde olduğunu söylemek mümkün olmamaktadır. Ancak bu konuda kesin karar için gözlemlerin daha uzun yıllar düzenli sürdürülmesi gerekmektedir.

4. Sonuç

Bu çalışmada AH Vir'in dönem değişimi iştelenmiş, 1955 ve 1971 de iki ayrı dönem artımının varlığı kanıtlanmış ve bu artımların küçük kütleli bileşenden büyük kütleli bileşene 3×10^{-6} M \odot ve 5×10^{-6} M \odot lik madde aktarımı ile açıklanabileceği gösterilmiştir. 1971 den sonra geçerli olmak üzere sistemin ışık elemanları;

$$\text{Min I} = \text{HJD } 2447569.6254 + 0.4075278.E$$

olarak bulunmuştur. 1971'den sonra dönemin 11 yıllık dönem ve 0.016 günlük genlikle salınımlar yaptığı saptanmış ve bu salınımların sistemde 3. bir cisim



Şekil 4. a) $(O-C)_3$ dağılımının, b) D_{11} ; ikinci minimum derinliklerinin, c) D_1 ; birinci minimum derinliklerinin, d) Δ_{Max} ; iki maksimum arasındaki farkın, e) Δ_{Min} ; iki minimum arasındaki farkın zamana göre değişimi.

varlığından kaynaklanmış olması halinde bu cismin özellikleri iрdelenmiş ve bunun görsel çiftin sönük bileşeni olamayacağı gösterilmiştir.

Alternatif olarak, dönerm salımlılarının bileşenlerden birinin magnetik etkinlik çevriminden kaynaklanmış olabileceği düşüncesi üzerinde durulmuştur. Bu amaçla ışık eѓrilerinde magnetik etkinlik belirteçleri olarak bilinen asimetri değişimleri incelenmiş. Bu asimetri değişimleriyle dönerm değişimini arasında bir ilişki görülememiştir. Bu konuda kesin yargı için uzun yılları kapsayan düzenli gözlemlere gereksinme olduğu vurgulanmıştır.

Kaynaklar

- Applegate, J. H. (1989). *Astrophys. J.*, **337**, 865.
- Bakos, G. A. (1977). *Bull. Astron. Inst. Czech.*, **28**, 157.
- Binnendijk, L. (1960). *Astron. J.*, **65**, 358.
- Binnendijk, L. (1970). *Yıldız Astron.*, **12**, 217.
- Binnendijk, L. (1984). *Publ. Astron. Soc. Pacific.*, **96**, 646.
- Chang, Y. C. (1948). *Astrophys. J.*, **107**, 96.
- Demircan, O. (1987). *Astrophys. and Sp. Sci.*, **135**, 169.
- Eggen, O. J. (1967). *Mem. R. Astr. Soc.*, **70**, 111.
- Herczeg, T. (1962). *Veröff. Univ. Sternw. Bonn*, No. 63.
- Hilditch, R.W. (1981). *Monthly Notices Roy. Astron. Soc.*, **196**, 305.
- Hoffmann, M. (1981). *Inf. Bull. Var. Stars*, No. 1933.
- Huruhata, M., and Nakamura, T. (1951). *Tokyo Astron. Obs. Bull.*, **33**, 233.
- Jabbar, S.R., and Kopal, Z. (1983). *Ap. Sp. Sci.*, **92**, 99.
- Kaluzny, J. (1984). *Acta Astron.*, **34**, 217.
- Kitamura, M., Tanabe, H., Nakamura, T. (1957). *Publ. Astron. Soc. Japan*, **9**, 119.
- Kwee, K. K. (1958). *Bull. Astron. Inst. Neth.*, **14**, 131.
- Lucy, L. B. (1973). *Astrophys. Space Sci.*, **22**, 381.
- Niarchos, P.G. (1983). *Astron. Astrophys. Suppl. Ser.*, **53**, 13.
- Purgathofer, A., Prochazka, F. (1967). *Mitt. Univ.-Sternwarte Wien*, **13**, 151.
- Wood, D. B., Forbes, J. E. (1963). *Astron. J.*, **68**, 257.

C.İBANOĞLU: Bu konuda gerçekten çok değişik yorumlar var. Özellikle RS CVn'ler konusunda. O konu Üzerine biz de eğildik. Mesela elimizde bir örnek var, 471'in 1973 yılından bu yana sürekli yapılmış gözlemleri. Mesela sizin kullandığınız ışık eğrisi, kısa zaman aralıklarında gözlem yapılrsa görülecek ki ışık eğrisindeki değişimeler uzun ölçekli değil. Çok kısa zaman içerisinde ışık eğrileri çok hızlı değişe gösteren yıldızlar bunlar, dolayısıyla sizin kullandığınız o veriler belki bir yıl içerisinde elde edilmiş bir ışık eğrisidir.

O.DEMİRCAN: Hall'un bir diyagramı tayf türüne karşılık dönem değişimini gösteriyor. Dönem değişimini azalanları koymuş, tayf türüne göre. Dönem değişimini artanları koymuş. Dönem değişimini hem artan hem eksilenleri de koymuş. Sadece birer işaretttir. Dönem değişimini hem artıp hem eksilenlerle dönem değişimini tek yönlü olan sistemler arasında keskin bir çizgi var. Mesela, dönem değişimini hem artıp hem eksilen sistemler bu tarafta ve şurası F4-F5 konvektif güneş benzeri yıldızlar, o taraf sıcak yıldızlar. Konvektif yıldızlarda dönem manyetik etkinlik nedeniyle değişiyor çünkü şu taraftaki yıldızlar manyetik alan üretiyor.

DEĞEN ve DEĞMEYE YAKIN ÇİFT YILDIZLAR

Selim SELAM, Osman DEMİRCAN

A.Ü. Fen Fak. Astronomi ve Uzay Bilimleri Bölümü 06100 Beşevler, ANKARA

ÖZET

Değen ve değmeye yakın çift yıldızların salt boyutları, bu tür çiftlerin gözlemlsel ve kuramsal verilerini içeren katalogtan toplanarak, kütle-ışınım (M-L), kütle-yarıçap (M-R) ve Hertzsprung-Russel (HR) gibi diyagramlar oluşturulmuştur. Elde edilen diyagramlar teorik değerlerle karşılaştırılmıştır. Karşılaştırma sonuçları bu sistemlerin evrimleri açısından irdelenmiştir.

1. GİRİŞ

Günümüzde degen ve değmeye yakın çift yıldızların evrimsel durumu ve bu tür çift sistemlerin alt türleri arasındaki evrimsel ilişki anahatları ile belirlenmiş olmasına karşın, halen tartışma konusudur. Bu alandaki gelişmeler Mochnacki (1981), Van Hamme (1982), Maceroni vd. (1985), Kaluzny (1985), Rucinski (1986), Hilditch ve Bell (1987), Hilditch vd. (1988) ve Shaw (1989) tarafından derlenmiştir.

Birkaç yıl öncesine kadar bu tür sistemlerin salt parametrelerinin belirlenmesi amacı ile, fotometrik ve tayısal analiz sonuçlarının birleştirilmesinde çok sayıda varsayılmış yapıyordu. Özellikle bu tür sistemlerin tayflarında yoldaş yıldızın çizgilerinin belirgin olmaması veya hiç görülmemesi, yoldaş yıldıza ilişkin salt parametreleri güvenirliliğini azaltmaktadır idi. Son yıllarda kullanılan teleskop ve dedektörlerdeki hızlı teknolojik gelişme, bu tür sistemlere ilişkin gözlemlerin daha hassas ve kaliteli olmasını sağlamıştır. Ayrıca yeni geliştirilen analiz metodlarının sonuçları, sistemin salt parametrelerinin elde edilmesi sırasında varsayımlara ihtiyaç duymamaktadır. Dolayısıyla son yıllar içinde parametrelerinin güvenilirliği oldukça yüksek olan degen ve değmeye yakın çift sayısında hızlı bir artış olmuştur.

Bu çalışmada, parametrelerin güvenilirliği yüksek olan 98 çift sistemin salt parametreleri, bu verileri içeren katalogtan (Selam, 1990) ve Maceroni vd. (1985)'den alınmıştır. Bunlardan 52 tanesi W UMa türü dejen çift yıldızlardır. Geri kalan sistemler ise, bileşenlerinden en az biri Roche şışimini doldurmuş ve değişme durumunun hemen öncesinde yer alan (β Lyr türü ve bazı Algol türü sistemler) yarı ayrık sistemlerdir. Bu tür sistemlere Lucy ve Wilson (1979)'un önerisi ile B türü sistemler adı verilmektedir.

Salt parametreler yardımcı ile, bu tür sistemler için kütle-yarıçap (M-R), kütle-parlaklı (M-L) ve Hertzsprung-Russel (HR) diyagramları oluşturulmuş ve sistemlerin evrim durumları kuramsal anakol verileri ile karşılaştırılmıştır. Ayrıca salt parametreler ve bilinen bağıntılar yardımcı ile tüm sistemler için, yüzey çekim ivmesi, toplam yörüngе açısal momentumu ve bileşen yoğunlukları hesaplanarak, sistemlerin diğer parametreleri ile olan ilişkileri i rdelenmiştir. Sonuçlar, alt türler arasındaki evrimsel ilişki açısından yorumlanmıştır.

2. M-R, M-L, HR DİYAGRAMLARI

W UMa türü 52 sistem içerisinde eşit sayıda A ve W alt türünden çift sistem bulunmaktadır. Geri kalan 46 sistem B türüdür. Tüm diyagramlarda A, W ve B türü sistemlerin 1. ve 2. bileşenleri ayrı simge ile gösterilmiştir. Ayrıca bu diyagramlarda teorik sıfır yaş anakol (ZAMS) ve merkezi hidrojen yakınıının sona erdiği terminal yaş anakol (TAMS) modelleri de yer almaktadır. Tüm modeller güneş benzeri kimyasal bilesimi içermektedir ($x \approx 0.70$, $y \approx 0.28$, $z \approx 0.02$). $M > 0.8M_{\odot}$ için teorik ZAMS ve TAMS modelleri Maeder ve Meynet (1988)'den, daha küçük kütleler içinse ZAMS ve TAMS modelleri YandenBerg ve Bridges (1984) ve YandenBerg (1983)'den alınmıştır. M-R, M-L ve HR diyagramları sırası ile şekil 1., 2. ve 3.'te yer almaktadır.

Şekil 1. ve 2. de dejen ve değişmeye yakın çift yıldızlar, alt türleri için ayrı ayrı M-R ve M-L bağıntıları oluşturmaktadır. En küçük kareler yöntemi ile bulunan logaritmik bağıntılar değişik grublar için korelasyon katsayıları (r) ile beraber aşağıda verilmiştir;

M-R Bağıntıları:

$$\text{A türü sistemler: } \log R = 0.161 + 0.468 * \log M, \quad r=0.868 \\ \pm .015 \quad \pm .038$$

$$\text{W türü sistemler: } \log R = 0.012 + 0.402 * \log M, \quad r=0.827 \\ \pm .011 \quad \pm .039$$

B türü sistemler: $\text{Log } R = 0.134 + 0.661 * \text{Log } M$, $r=0.948$
 $\pm .022 \pm .024$

Tüm sistemler: $\text{Log } R = 0.133 + 0.642 * \text{Log } M$, $r=0.954$
 $\pm .010 \pm .015$

*Seçilmiş sistemler: $\text{Log } R = 0.097 + 0.834 * \text{Log } M$, $r=0.912$
 $\pm .024 \pm .033$

M-L Bağıntıları:

A türü sistemler: $\text{Log } L = 0.537 + 1.118 * \text{Log } M$, $r=0.755$
 $\pm .054 \pm .140$

W türü sistemler: $\text{Log } L = -0.01 + 0.822 * \text{Log } M$, $r=0.568$
 $\pm .048 \pm .168$

B türü sistemler: $\text{Log } L = 0.326 + 3.446 * \text{Log } M$, $r=0.979$
 $\pm .073 \pm .077$

Tüm sistemler: $\text{Log } L = 0.631 + 2.981 * \text{Log } M$, $r=0.951$
 $\pm .049 \pm .071$

*Seçilmiş sistemler: $\text{Log } L = 0.199 + 3.820 * \text{Log } M$, $r=0.959$
 $\pm .073 \pm .101$

*Seçilmiş sistemler: Tüm sistemlerin 1. bileşenleri ve B türü sistemlerin
 $\text{Log } M > -0.05$ olan 2. bileşenleri

Değen ve değmeye yakın çift sistemlerin alt türlerinin bu diyagramlardaki dağılım özellikleri kısaca şöyle özetlenebilir:

a) A türü sistemlere oranla daha az değen W türü sistemlerin 1. bileşenlerinin tamamı MR diyagramında anakol içerisinde yer almaktadır. Anakol bandı içerisinde gösterdikleri dağılım yaş ve metal bolluğunun bir göstergesi olabilir. Genel olarak ZAMS'a daha yakın konurdadırlar. ML diyagramında ise büyük bir kısmı ZAMS'ın altındadırlar. Bu durum Hilditch vd. (1988)'e göre 2. bileşene aktarılmış olan ışınımdan kaynaklanmaktadır.

b) W türü sistemlerin 2. bileşenleri MR diyagramındaki anakol kütleleri göz önüne alındığında, oldukça büyük yarıçaplı sahiptirler ve anakoldan ayrılmış gibi görülmektedirler. Yarıçaptaki bu fazlalık, karesi oramında ML

diyagramındaki konumlarına da yansımaktadır ve bu olay yine 1. bileşenden ışınım aktarımı yolu ile gelen fazlalığa bağlanmaktadır. HR diyagramında (Şekil 3.) ışınım aktarımı sonucu anakolun sol üstüne kaymış durumdadırlar.

- c) MR ve ML diyagramlarındaki konumları gereği, daha fazla dejme durumuna sahip A türü sistemlerin, 1. bileşenleri, W türünün 1. bileşenlerine oranla daha fazla evrimleşmişlerdir ve TAMS civarında yer almaktadırlar. Bu durum, A türü sistemlerin evrimde daha ileri safhada olduklarına ilişkin daha evvelki önerileri desteklemektedir. HR diyagramında ise anakol bandı içerisinde yer almaktadırlar.
- d) A türü sistemlerin ikinci bileşenleri, MR ve ML diyagramlarında W türü sistemlerin 2. bileşenlerinden daha da fazla evrimleşmiş konumdadırlar. Anakol (ZAMS) kütleleri için beklenen yarıçap ve parlaklıklarının çok üzerinde değerlere sahiptirler. HR diyagramındaki konumları, 1. bileşenlerinden aktarılmış ek ışınım etkisi ile ZAMS'ın solundadır.
- e) B türü sistemlerin, düşük kütleli ($\log M < 0.4$) 1. ve 2. bileşenleri, MR ve ML diyagramlarında, A türü sistemlerin 1. ve 2. bileşenleri ile aynı konumdadırlar. Ancak HR diyagramında 1. bileşenleri anakol bandı içinde yer alırken 2. bileşenleri TAMS civarında ve üzerinde yer almaktadır. 2. bileşenlerin HR diyagramındaki bu konumları, B türü sistemlerde ışınım aktarımının olmaması veya W UMa'lara oranla çok zayıf olmasından kaynaklanmaktadır. B türü sistemlerin büyük kütleli 1. ve 2. bileşenleri ise ZAMS'tan çok az削弱 ve anakol bandı içerisinde yer alan normal anakol yıldızlarıdır.

3. DİĞER ÖZELLİKLERİ

YARIÇAP ORANI - KÜTLE ORANI:

Yarıçap oramı $k = R_2/R_1$ ve kütle oramı $q = M_2/M_1$ olmak üzere Şekil 4. te tüm sistemlerin $k-q$ ilişkisi görülmektedir. Şekilde ayrık, anakol yıldızlarından oluşan çift sistemler için elde edilen gözlemsel bağıntılar (Demircan ve Kahraman 1990) da yer almaktadır. Bu bağıntılar:

$$k = q^{0.935} \quad (M_1 \text{ ve } M_2 < 1.66 M_\odot \text{ için})$$

$$k = q^{0.724} \quad (M_1 > 1.66 M_\odot \text{ ve } M_2 < 1.66 M_\odot \text{ için})$$

$$k = q^{0.542} \quad (M_1 \text{ ve } M_2 > 1.66 M_\odot \text{ için})$$

Genel olarak A türü sistemler, W türü sistemlere oranla daha düşük kütle oranı ve yarıçap oranına sahiptirler. Bu da A türü sistemlerin evrimde, W türü sistemlerden daha ileride oldukları görüşünü desteklemektedir. B türü sistemler ise W UMa türlerinin her iki alt türü arasında dağılmış durumdadır. Alt türlerden hiç biri, anakol yıldızlarından oluşmuş ayrık çift sistemlere ilişkin deneysel bağıntılara uymamaktadır. Dolayısıyla tüm alt türlerin bu diyagramdaki dağılımına, degen ve değimeye yakın çift sistemlerin deneysel bağıntısı gözüyle bakabiliriz. Buna göre yapılan üstel fit sonucu bu sistemlerin

$$k = 0.992 * q^{0.448} \quad (\text{korelesyon } r = 0.98)$$

şeklinde deneysel bir bağıntıya uyuğu gösterilmiştir (Şekil 5.).

YÜZEY ÇEKİM İVMESİ:

Şekil 6. da tüm alt türlerin 1. ve 2. bileşenleri için;

$$\log g = 4.44 + \log (M_{1,2}) - 2 \log (R_{1,2})$$

bağıntısından hesaplanan yüzey çekim ivmesinin logaritması ile effektif sıcaklık ilişkisi, teorik ZAMS ve TAMS modelleri ile beraber yer almaktadır. B türü sistemlerin düşük küteli 2. bileşenleri dışında geri kalanların tamamı anakol bandı içerisinde yer almaktadır. B türü sistemlerin düşük küteli 2. bileşenleri TAMS'ın dışına taşmış ve evrimleşmiş olarak görülmektedir. Ayrıca A türü sistemlerin bileşenlerinin yüzey çekim ivmeleri, W türü sistemlerin bileşenlerine oranla daha düşüktür.

YÖRÜNGE AÇISAL MOMENTUMU:

Tüm sistemler için yörunge açısal momentumu;

$$J = P^{1/3} * [q/(1+q)^2] * (M_1 + M_2)^{5/3}$$

İfadeden hesaplanmıştır. P yörunge dönemi, q kütle oranı, $M_{1,2}$ ise güneş kütlesi cinsinden 1. ve 2. bileşen kütleleridir. Şekil 7. de $X = J / (M_1 + M_2)^{5/3}$ olmak üzere $\log X - \log P$ ilişkisi görülmektedir. $q = 1.0, 0.5$ ve 0.2 için sabit kütle oranı çizgileri çizilmiştir. Karşılaştırma açısından yarıayrık RS Cyg türü çiftler de grafiğe yerleştirilmiştir. Uzun dönemli B türü sistemler ve RS Cyg'ler $q = 1$ çizgisi üzerinde toplanmaktadır. Dönem kısaldıkça sistemler daha düşük kütle oranlarına ve düşük açısal momentum değerlerine kaymaktadır. Dolayısıyla diyagramın en altında yer alan A türlerinde, sistemden madde

kayıbı daha fazladır ve W türü sistemlere oranla daha fazla evrimleşmiş görülmektedirler.

Şekil 8. de ise Log J - Log P ilişkisi yer almaktadır. $q = 1$ için sabit toplam kütle çizgileri $M = 20M_\odot$, $5M_\odot$, $1.7M_\odot$ ve $0.5M_\odot$ için çizilmiştir. Toplam kütle hesaba katıldığında, bu diyagramda alt türler arasında belirgin bir evrimsel ayrim görülmemekle birlikte, yörunge dönemi küçüldükçe, sistemlerin açısal momentumlarının azaldığı görülmektedir. Özellikle $P=1\text{gün}$ civarında B türü sistemlerin yörunge açısal momentumunda oldukça hızlı bir düşüş vardır.

Şekil 9. da $\log X - q$ grafiği görülmektedir. $P=0.4$ ve $P=0.8$ gün için sabit yörunge dönemi çizgileri de çizilmiştir. A türü sistemler W türü sistemlerden daha küçük kütle oranına ve açısal momentumuna sahiptirler. B türü sistemler ise oldukça büyük açısal momentum değerlerine sahiptir ve kütle oranları 0.5 ten büyütür.

Şekil 10. da $\log J - q$ ilişkisi görülmektedir. Açısal momentumda toplam kütle hesaba katıldığında, yine alt türler arasında evrimsel açıdan belirgin bir farklılık elde edilememektedir. Yalnızca büyük kütleli ve uzun dönemli B türü sistemlerde, bileşenler arası ışınım aktarımının henüz var olmaması, bu sistemlerin $\log J - q$ grafiğinde daha büyük açısal momentumlu bölgede bulunmalarını sağlamaktadır.

ORTALAMA YOĞUNLUK :

Bütün türlerin 1. ve 2. bileşenlerinin ortalama yoğunluğu;

$$\rho (\text{cgs}) = 1.409 * (M/R^3)$$

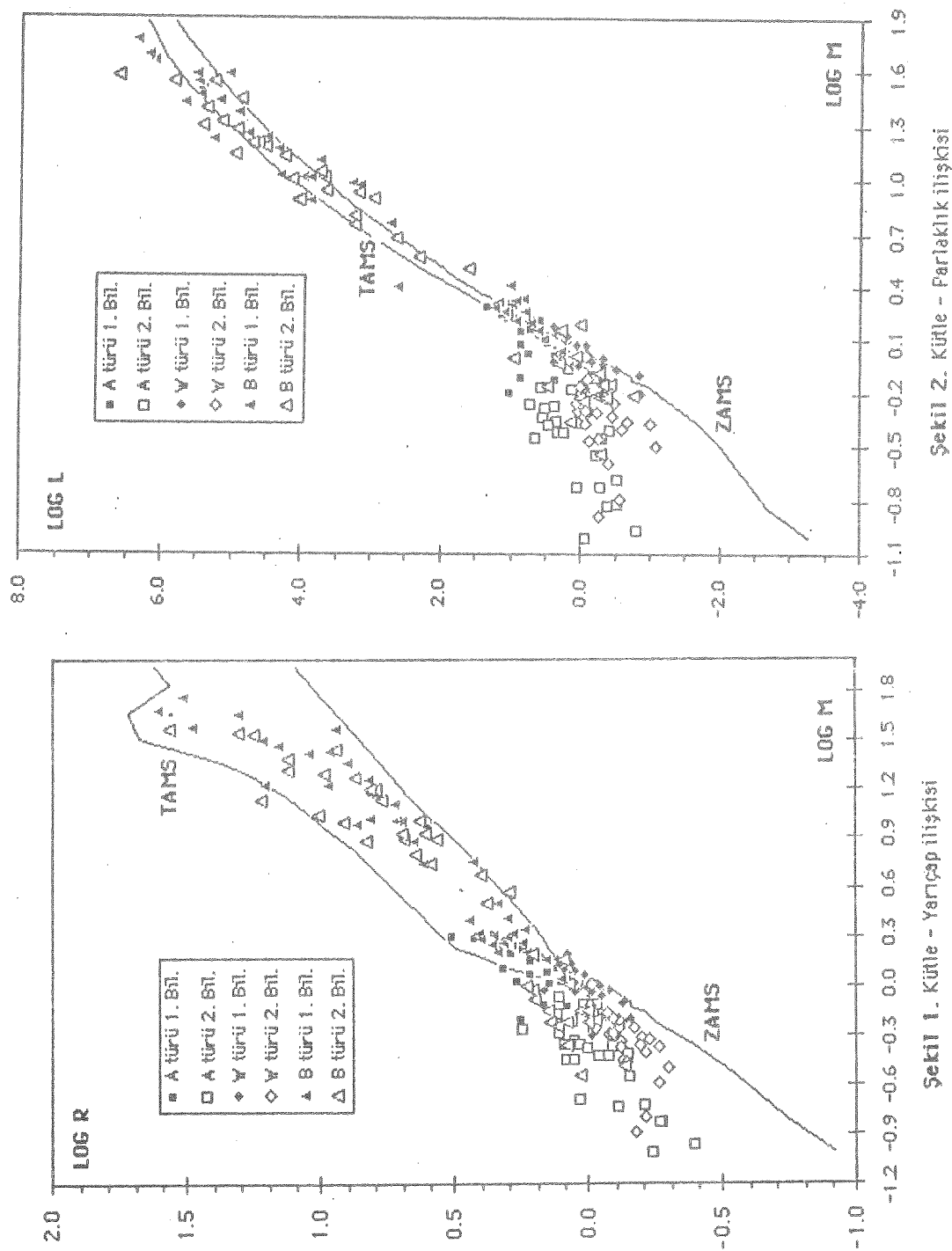
ifadesinden hesaplanmıştır. Şekil 11. de teorik ZAMS ve TAMS modelleri ile birlikte ortalama yoğunluk-sıcaklık ilişkisi görülmektedir. Alt türler bu diyagramda oldukça belirgin olarak birbirlerinden ayrılmaktadır. B türü sistemler oldukça düşük ortalama yoğunluklara sahiptirler. A türü sistemler ise W türü sistemlere oranla daha düşük ortalama yoğunluklar göstermektedir. Genelde bütün sistemlerin 1. ve 2. bileşenleri anakol bandı içinde yer almaktadır. Ancak düşük kütleli B türü sistemlerin 2. bileşenleri TAMS dışına taşmışlardır. Buna karşılık büyük kütleli B türü sistemlerin çoğu ZAMS civarında ve altında bulunmaktadır. Ayrıca W türü sistemlerin 2. bileşenlerinin çoğu ZAMS'ın altında bulunmaktadır. Bu durum 1. bileşenlerinden aldığı kütle fazlalığına dayanmaktadır ve bu yıldızlar olduklarılarından daha yoğun ve genç görülmektedirler.

Şekil 12. de ortalama yoğunluk - Log P ilişkisine bakıldığından, büyük yörunge döneme sahip sistemlerde, bileşenlerin yaklaşık eşit yoğunluklara sahip oldukları görülmektedir. Yörunge dönemi 1 günden daha kısa dönemlere gidildikçe, hem bileşenlerin ortalama yoğunluklarının, hem de aynı sistemin 1. ve 2. bileşeni arasındaki yoğunluk farkının arttığı

görülmektedir. Ayrıca bu aralıkta tüm sistemler için $P_1 < P_2$ olmaktadır. Bu durum, bu sistemlerdeki 1. bileşelerin daha fazla evrimleştiğini gösteren kesin bir kanıt olmaktadır. Büyük yarıçaplı bileşenler, genelde daha fazla evrimleşmiş madde kaybeden bileşenlerdir.¹ B türü sistemlerin, yörünge dönemi 1 günden daha büyük olanlarında madde aktarımının izine fazla rastlanmamaktadır. Bu sistemlerde bileşenlerin fiziksel özellikleri fazla farklı değildir.

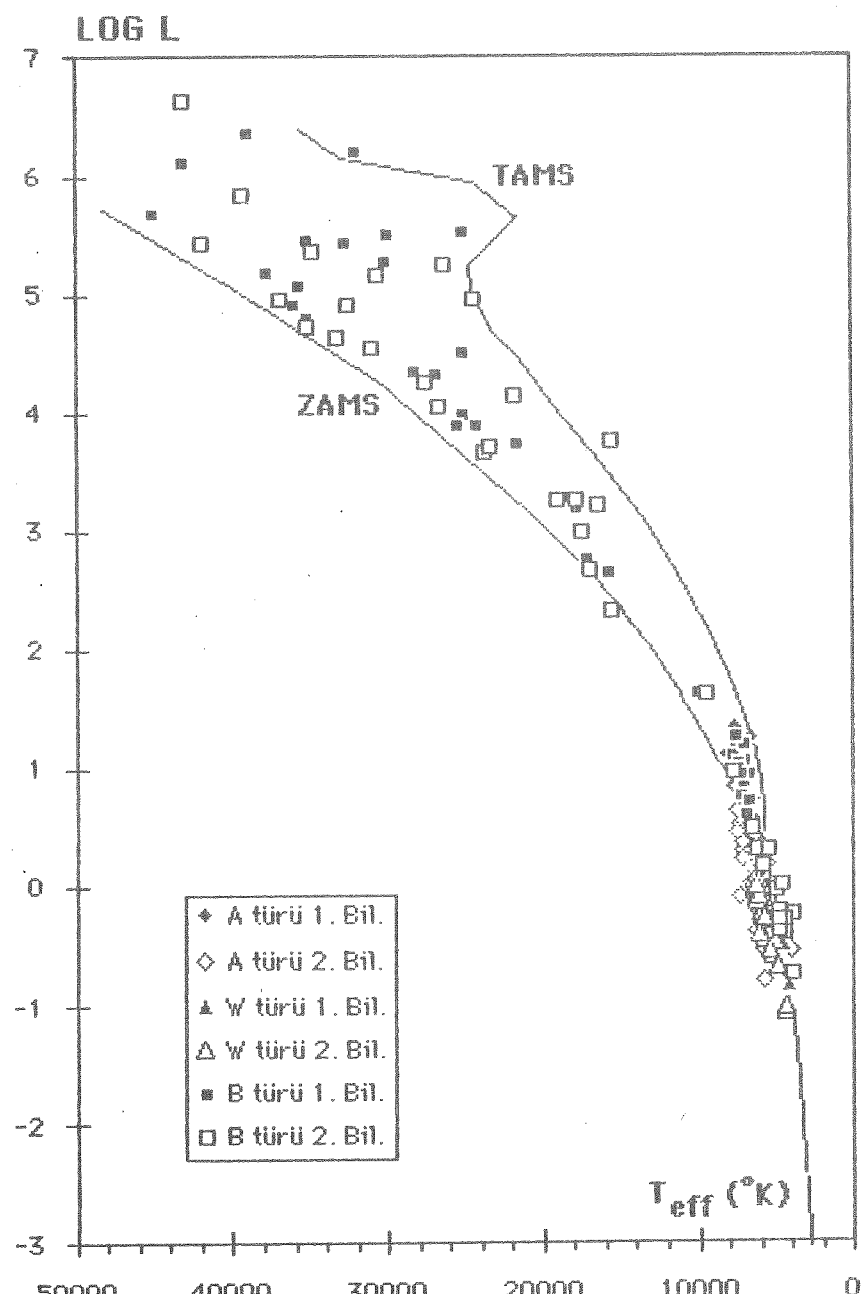
4. SONUÇLAR

Değen ve degmeye yakın çift yıldızlara ilişkin elde edilen tüm diyagramlarda A türü sistemlerin 1. ve 2. bileşenlerinin, W türüne oranla daha fazla evrimleşmiş oldukları geçektir. B türü sistemlerin kısa yörünge önemli ve küçük kütleli olanları genelde A türü sistemlerle benzerlik içerisindeidir. Bu sistemlerin 2. bileşenleri de, ışınım aktarımı sonucu, ZAMS kütleleri için beklenenden fazla ışınım ve yarıçap değerlerine sahip oldukları görülmektedir. B türü sistemlerin geriye kalan büyük kütleli ve büyük yörünge dönemi olanları, diğer alt türler ile evrimsel bir ilişki göstermemektedirler. Genelde fiziksel açıdan benzer iki yıldızdan oluşmaktadır. Her iki bileşeni de normal anakol yıldızlarıdır ve degmeye durumu göstermemektedirler.

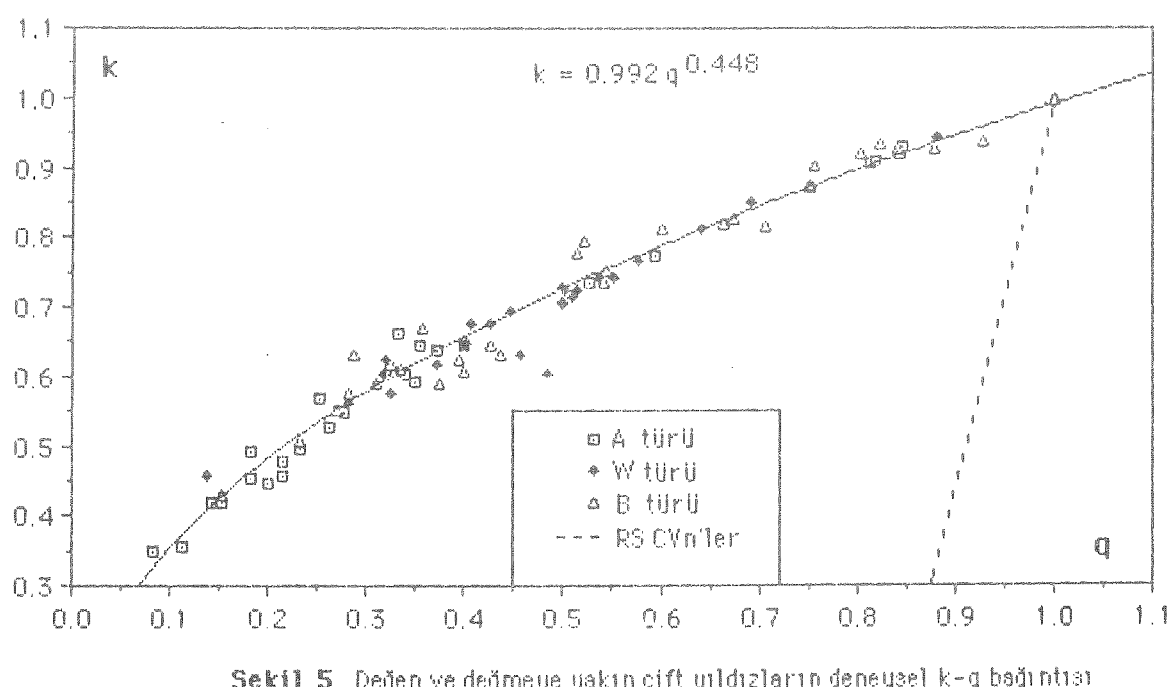
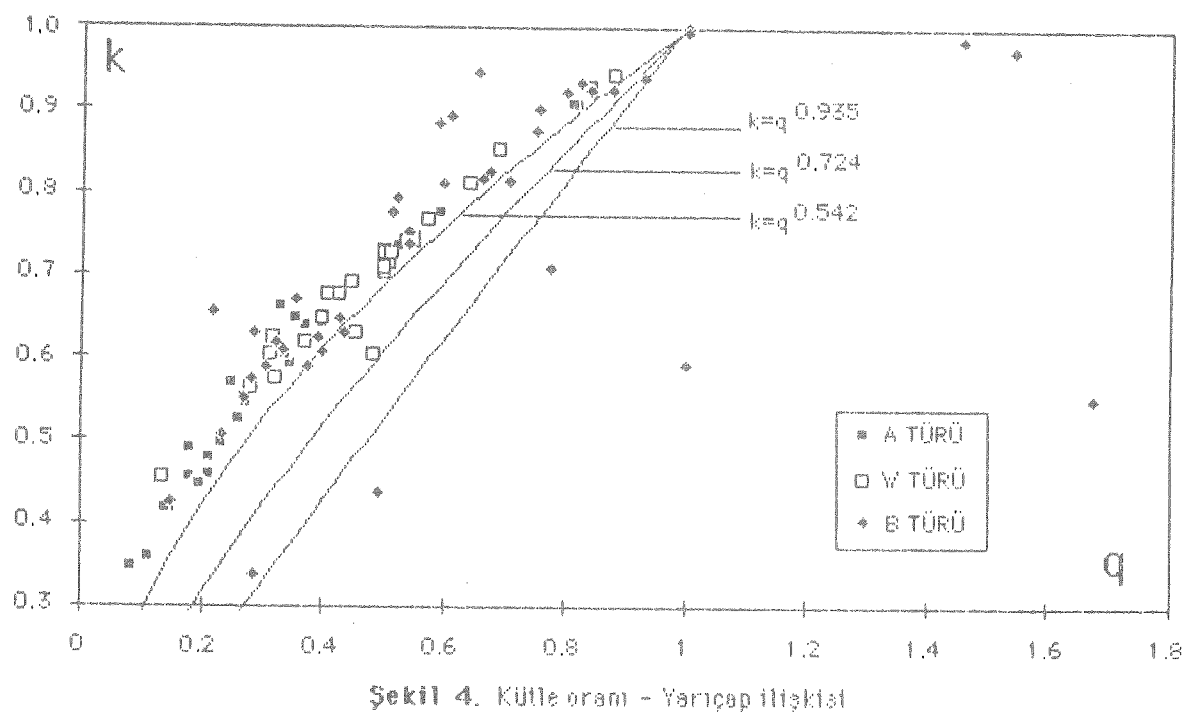


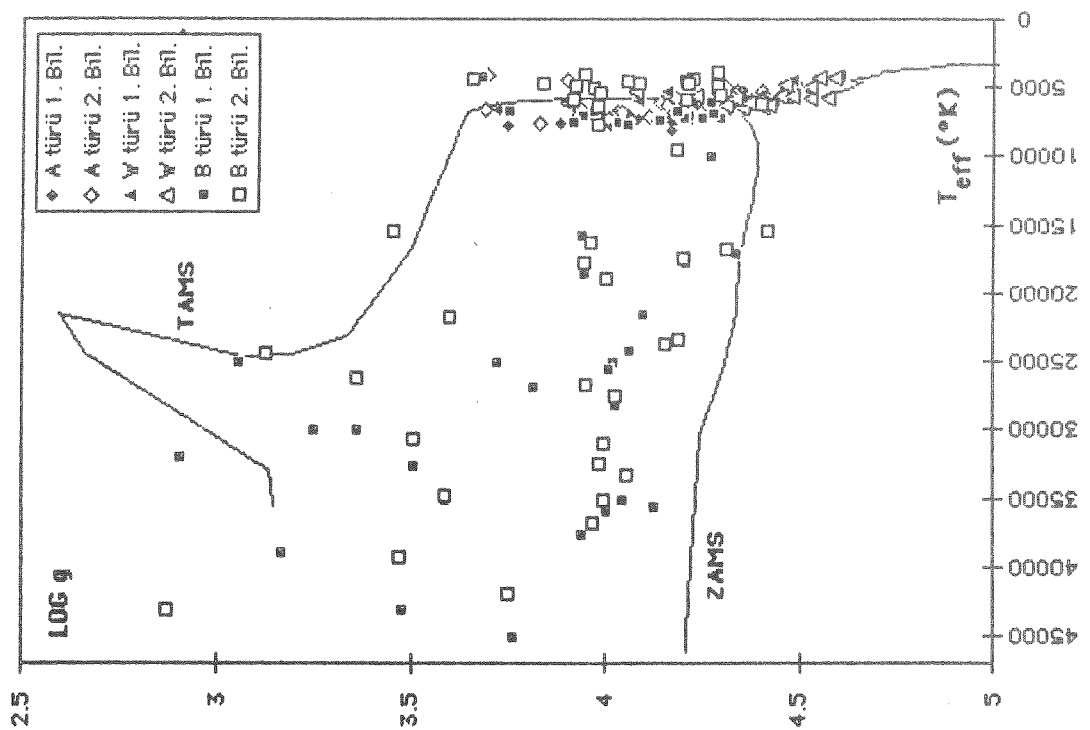
Sekil 2. Kütle - Yarıçap ilişkisi

Sekil 1. Kütle - Yarıçap ilişkisi

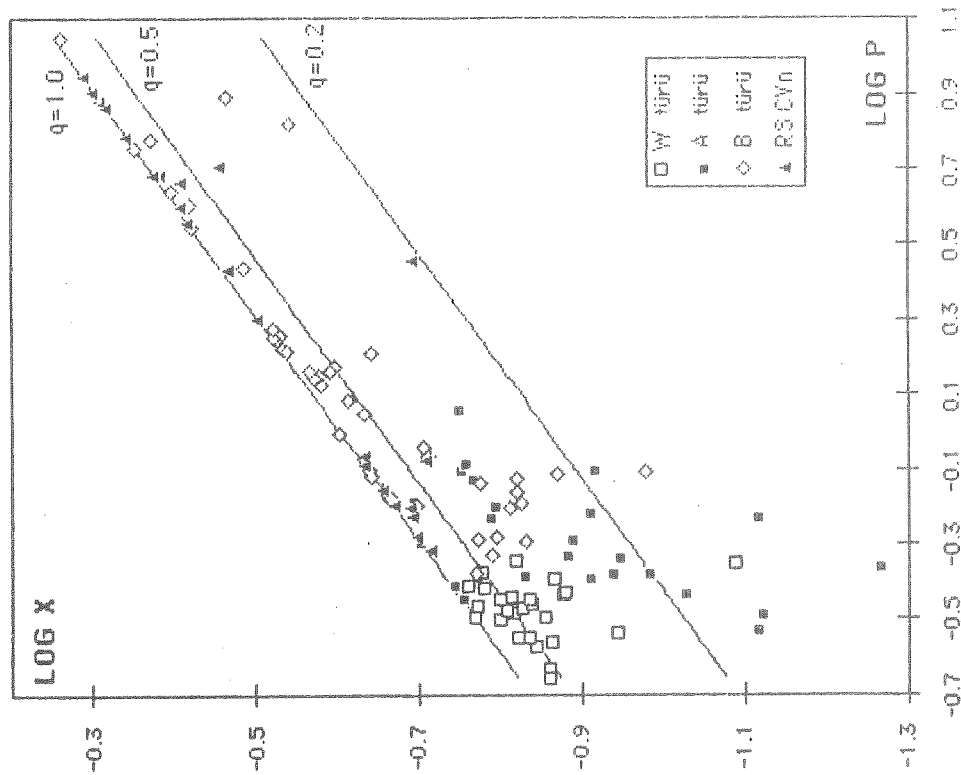


Şekil 3. HR diyagramı

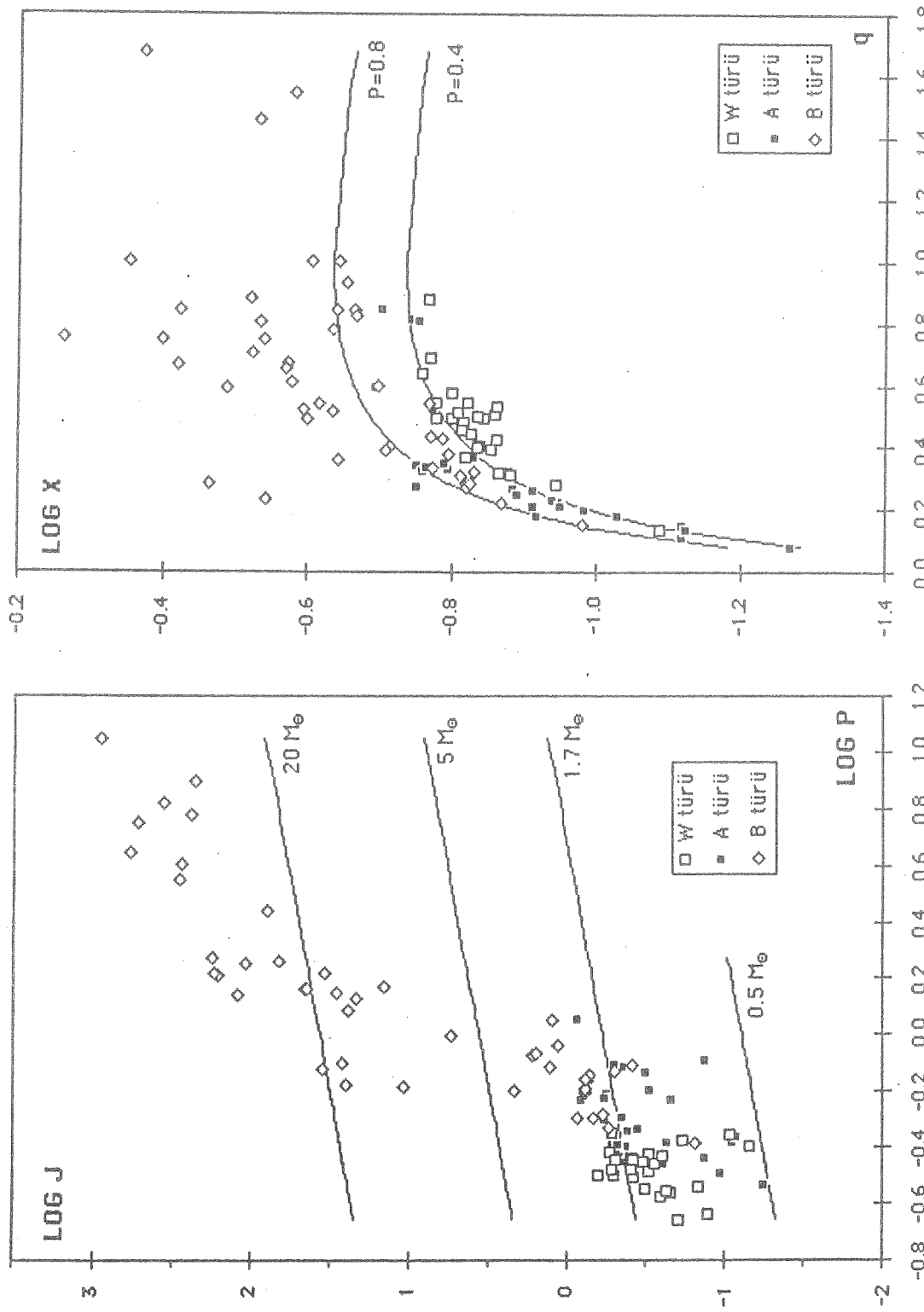




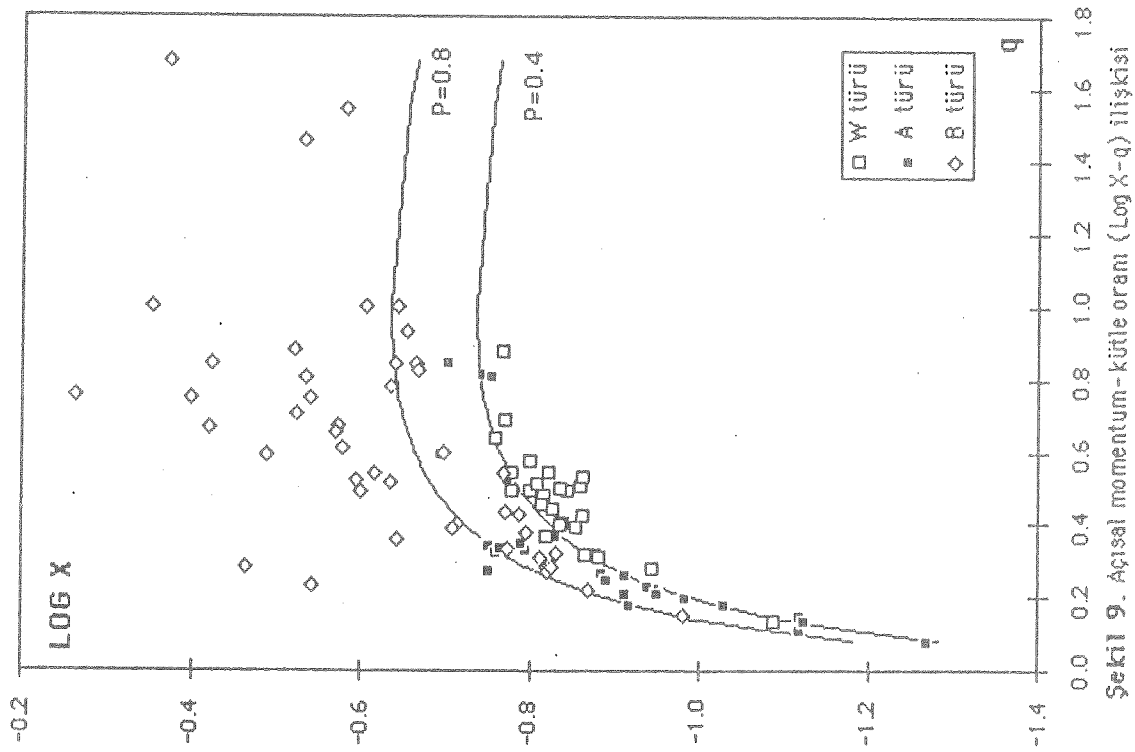
Şekil 6. Yüzey çekim ivmesi - Sıcaklık ilişkisi



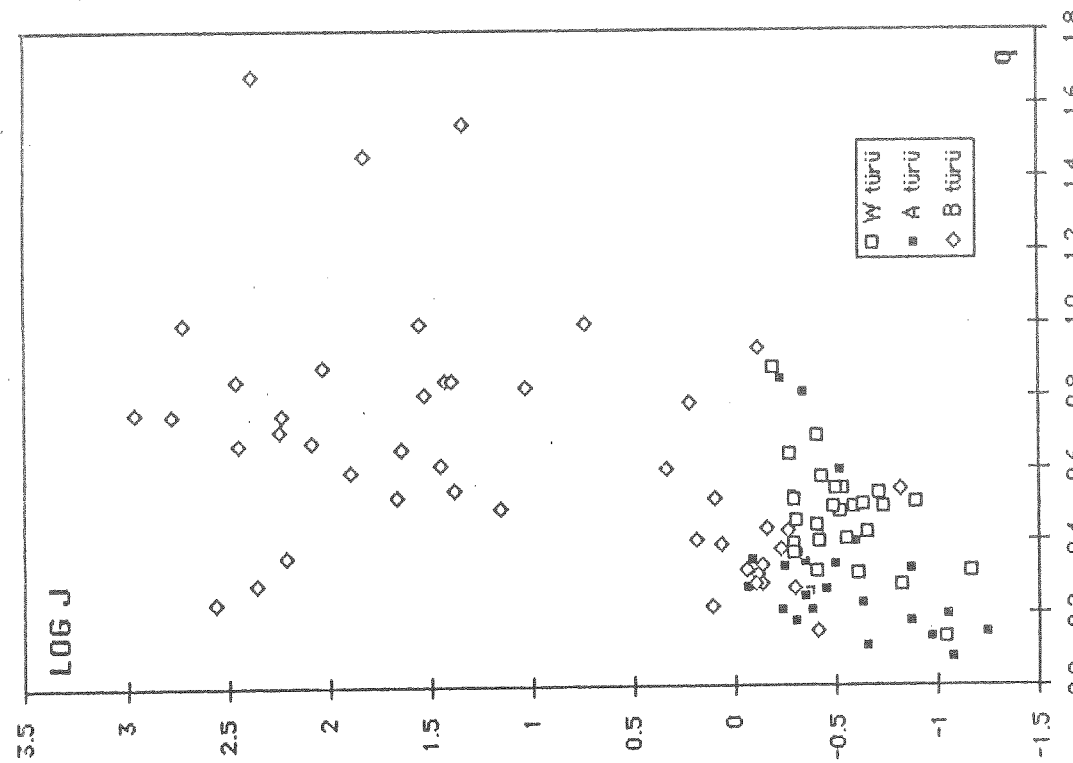
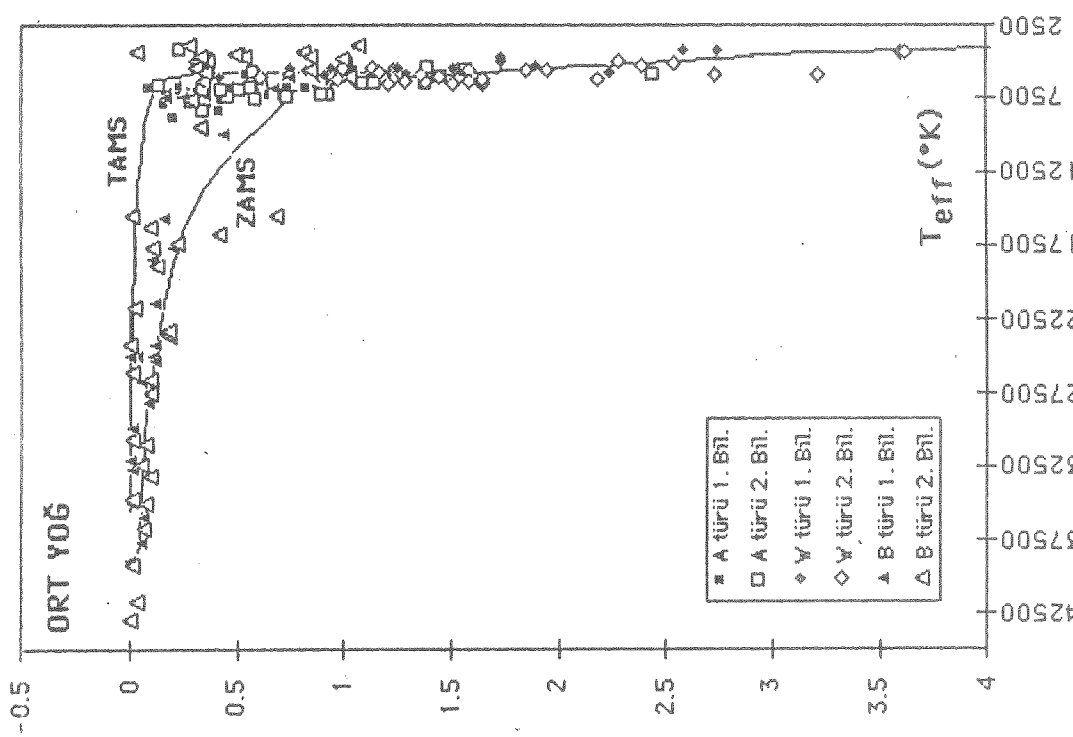
Şekil 7. Açısal momentum - Yörüngé dönemi (Log X-Log P) ilişkisi



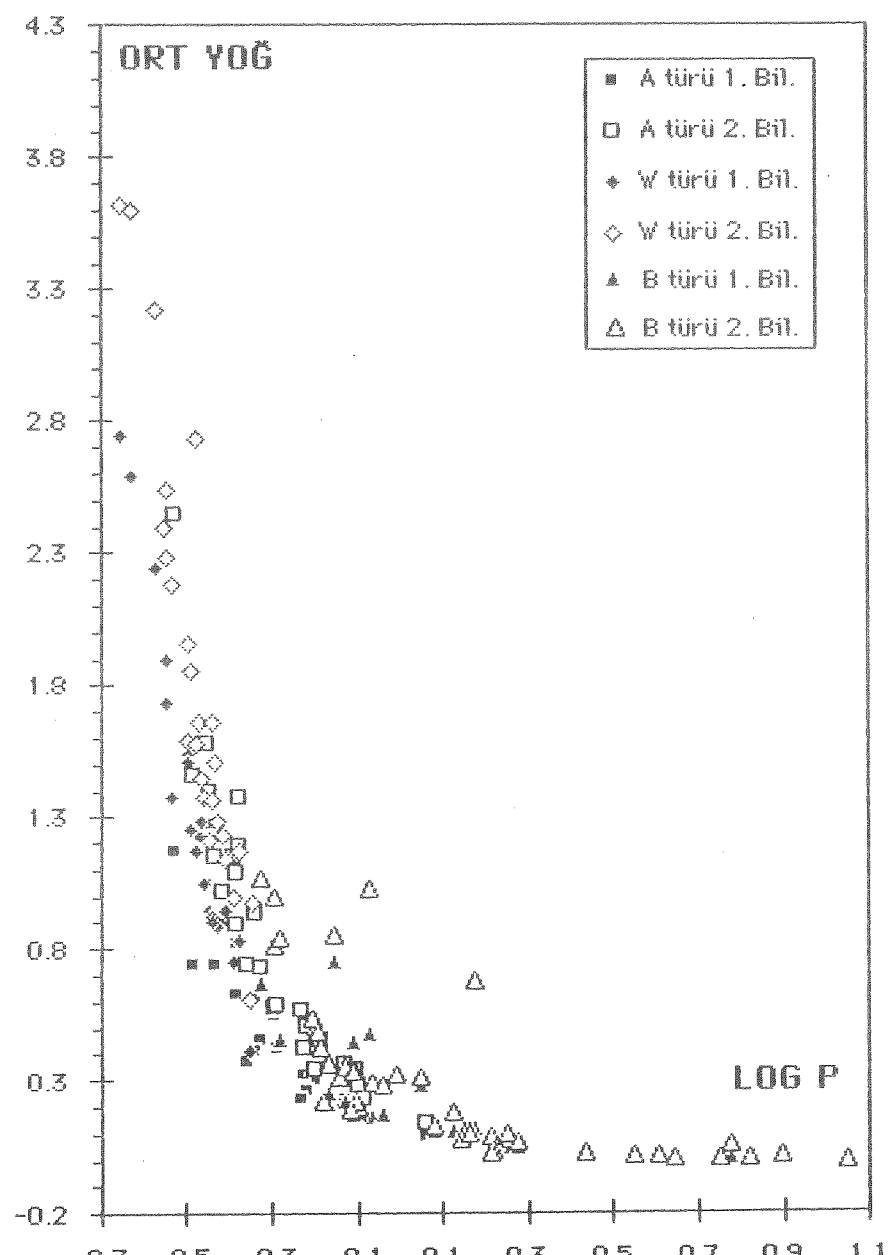
Sekil 8. Açısal momentum-yörünge dönemi ($\log J$ - $\log P$) ilişkisi



Sekil 9. Açısal momentum-kütle oranı ($\log X$ - q) ilişkisi

Şekil 10. Açısal momentum-kütle oranı ($\log J-q$) ilişkisi

Şekil 11. Ortalama yoğunluk-sıcaklık ilişkisi



Sekil 12. Ortalama yoğunluk-yörünge dönemi ilişkisi

KAYNAKLAR

- Demircan, O. ve Kahraman, G., 1990, (Hazırlık aşamasında)
- Hilditch, R.W. ve Bell, S.A., 1987, Mon. Not. Roy. Astr. Soc. **229**, 529
- Hilditch, R.W., King, D.J. ve McFarlane, T.M., 1988, Mon. Not. Roy. Astr. Soc. **231**, 341
- Kaluzny, J., 1985, Acta Astr., **35**, 313
- Lucy, L.B. ve Wilson, R.E., 1979, Astrophy. Jour., **231**, 502
- Maceroni, C., Milano, L. ve Russo, G., 1985, Mon. Not. Roy. Astr. Soc. **217**, 843
- Maeder, A. ve Meynet, G., 1988, Astron. and Astrophys. Suppl., **76**, 411
- Mochnacki, S.W., 1981, Astrophy. Jour., **245**, 650
- Rucinsky, S.M., 1986, "Instrumentation and Research Programmes for Small Telescopes", IAU Symp. No:118, Editörler: Hearnshaw, J.B. ve Cottrell, P.L., Riedel, Dordrecht, Holland, sayfa:421
- Selam, S., 1990, A.Ü. Fen Bilimleri, Yüksek Lisans Tezi, Ankara
- Shaw, J.S., 1989, "Active Close Binaries", NATO ASI Kuşadası, Turkey, Editörler: İbanoğlu, C. ve Yavuz, İ., Kluwer, Dordrecht (Baskıda)
- VandenBerg, D.A., 1983, Astrophy. Jour. Suppl., **51**, 29
- VandenBerg, D.A. ve Bridges, T.J., 1984, Astrophy. Jour., **287**, 679
- Van Hamme, W., 1982, Astron. and Astrophys., **116**, 27

N. KIZILOĞLU: Bu W türü yıldızlarda sizin bulduğunuz ilişkiye bakarsak M-L, M-R ilişkisi pek öyle iyi bir şey değil. Korelasyon iyi olmamış galiba.

S. SELAM: Zaten büyük bir korelasyon bekleyerek söylemiyorum ben onları.

N. KIZILOĞLU: Bu anakol için geçerli. Bir korelasyon olmayınca nasıl bir şey düşünüyorsunuz?

S. SELAM: Evet özellikle kütle işinim bağıntıları. Zaten kütle işinim diagramına da bakacak olursak, dağılımin tutarlı olmadığı belli oluyor. Yani sistemleri zaten biz hiçbir zaman tam olarak sırf anakol üzerinde beklemiyoruz. Metal bolluğunun bir göstergesi olabilir anakol bandı içerisindeki dağılımları, yani hem TAMS'a yakın hem ZAMS'a daha yakın yıldızlar var içlerinde, hiçbiri tam aynı yaş çizgisinin içerisinde degiller.

N. GUDUR: Benim bir şey dikkatimi çekti. Yanlılıyor olabilirim. Bu kütle-çap ve kütle-işitma bağıntılarında bir kısım bileşenler yada türler anakol çevresinde, bir kısmı biraz evrimleşmiş üstte, gözüküyor. Sizin söylediğiniz doğrudur, fakat bir H-R diagramı gösterdiniz orada da hepsi anakol bandının içinde gözüküyor. O çelişkiyi nasıl açıklarsınız?

S. SELAM: Özellikle bu iki diagram arasında çıkarıyor bu problem.

N. KIZILOĞLU: Üstelik aktivite için daha evrimleşmiş yıldızlarda ilişkiler daha tersini gösteriyor. Aktif hız için daha evrimleşmiş yıldızlar dediniz, halbuki aktif anakol ilişkisine daha çok uyuşuyor.

S. SELAM: Hayır. Anakol ilişkisine uymuyor. O sistemlerin gözlemsel değerlerinin gösterdiği bağıntılardır onlar.

N. KIZILOĞLU: İste onu söylüyorum. Sanki tersi daha doğru gibi.

E. DERMAN: Bu H-R diagramları sıcaklığa göre çiziliyor. Sıcaklık, ışık eğrisi analizlerinde çıkan parametrelerden birisi zannedersem. İki diagramın biraz çelişkisi olabilir.

N. GUDUR: Burada bir evrimleşme gözükmüyor. H-R diagramında o bölgeyi açarak noktalasaydınız, galiba aynı şeyi görecektiniz, orada H-R diagramında TAMS ZAMS'a yapılıyor. O bölgeyi açtığımızda aynı şeyi görüyoruz. Bir de Ethem Derman'ın söz etiği bir şey var. Gözlemsel parametrelerde en güvenliğimiz eleman yarıçap ve kütle. İşinima dayalı parametreler daha az güvenilir.

A.Ü. AHLATLIBEL RASATHANESİNDEN 1987-1990 YILLARI ARASINDA YAPILAN FOTOMETRİK GÖZLEMLERİN İSTATİSTİĞİ

G. Kahraman, E. Derman, O. Demircan
A.Ü. Rasathanesi ve A.Ü.F.F. Astronomi ve Uzay Bilimleri Bölümü
06100, Beşevler / ANKARA

ÖZET:

A.Ü. Ahlatlıbel gözlemevinde 30 cm'lik Maksutov-Cassegrain türü teleskop kullanılarak çift yıldızların fotometrik gözlemleri yapılmaktadır. 1987 ve 1990 yılları arasında değerlendirilen gözlem zamanlarının aylara, mevsimlere ve yıllara göre dağılımı, nitelikleri açısından mevsimlere dağılımı, gözlem koşullarının mevsimlik değişimleri ve etkileri, bir gözlemcinin ortalama(yıllık, aylık, günlük) gözlem zamanı; gözlenen yıldızların türlere göre dağılımları, son ana kadar indirgenmiş ve ışık eğrisi elde edilmiş yıldızlar, periyodik olarak gözlenen yıldız miktarı gibi istatistiksel özellikler incelenmiştir.

GİRİŞ:

A.Ü Ahlatlıbel Rasathanesinde 1975 yılından beri gözlem çalışmaları yapılmaktadır. Aletlerin kısmen bozuk olması ve teknik eleman yetersizliği nedeniyle 1983-1987 yılları arasında fotometrik gözlem yapılamamıştır. Eylül 1987'de sistem yenilenmiş ve yeniden başlatılan gözlemsel çalışmalar büyük bir titizlik ve özveriyle yürütülmektedir.

Gözlemciler, araştırma görevlileri ve başarılı üçüncü ve dördüncü sınıf öğrencilerinden oluşmaktadır, bu şekilde gözlemsel veri üretimi ve veri değerlendirilmesi yanında bu alanda küçümsenemeyecek sayıda eleman yetiştirilmektedir.

Bu çalışmada, Rasathanede 1987-1990 yılları arasındaki gözlem zamanının, fotometrik gözlemler açısından değerlendirilmesi, istatistik olarak İrdelenmiştir.

FOTOMETRE SİSTEMİ:

Fotometre çalışmalarımız 30 cm'lik Makutoy teleskoba bağlı EMI 9789 QB fotokatlandırıcısı kullanılarak sürdürülmektedir. Fotokatlandırıcıdan gelen sinyaller bir yükseltilici yardımıyla değişik kazançlarda yükseltilip bir yazıcı ile analog olarak kaydedilmektedir. Zaman sinyalleri digital bir saat yardımıyla alınmaktadır. Yazıcıda kullandığımız rulo kağıtlar ekonomik nedenlerle her gece koparılmamakta, arkası ve önü kullanılmış bittikten sonra içerikleri çıkarılıp istatistik çalışmalar için bilgisayara girilmekte ve ruloda bulunan gözlemlerin indirgenmesi için görevli arkadaşlara verilmektedir.

FOTOMETRİK GÖZLEMLER:

Rasathanemizde uzun bir süreden beri diferansiyel Fotometrik gözlemler yapılmaktadır.

Fotometrik gözlem çalışmaları 5 öğretim üyesi, 8 asistan ve Üçüncü ve dördüncü sınıf öğrencilerinden oluşan bir gözlem ekibiyle yapılmaktadır. Dörder aylık dönemlerle öğrenciler isteže bağlı olarak değişmekte ve haftanın her gecesi için birer gözlem ekibi oluşturulmaktadır. Ekipler her türlü hava koşullarında hatta hava kapalı olsa bile, her an açar ihtimalini göz önünde bulundurarak rasathaneye çıkmaktadırlar. Yaz-Kış hava koşulları ne olursa olsun havanın açık olması halinde gözlemler mutlaka yapılmalıdır. Kış aylarında üç ay boyunca ısının -25 °C'ye kadar düşlüğü gecelerde dahi gözlem sabaha kadar yapılmıştır.

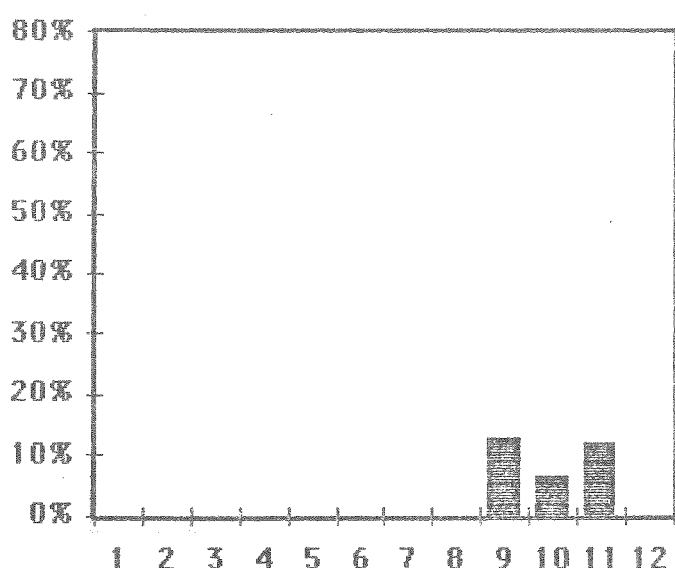
1987 Eylül ayından 1990 Temmuz ayı sonuna kadar toplam 57 farklı çift yıldız sistemi gözlenmiştir. Bunlardan 8 tanesi dört yıl boyunca her gözlem döneminde, 16 tanesi son 3 yıldır ve geri kalanlarda 1989-1990 yılları arasında gözlenmiştir ve halen gözlemleri sürdürmektedir. Gözlenen sistemler arasında 8 tanesi RS CVn, 27 tanesi W UMa, 16 tanesi Algol, 4 tanesi β Lyr türü sistemlerdir. Yine bunlar arasında 17 tanesinin dönemi 1^d'den büyük olup parlaklıkları 9^m.9'den daha parlak olan sistemlerdir.

Gözlenen sistemlerin 39 tanesinin indirmeleri tamamlanmış ve ışık eğrileri oluşturulmuş ve bunlardan 7 tanesi değişik yerlerde yayımlanmıştır. 9 tanesinin indirmeleri tamamlanmış ve yorumlama aşamasına gelmiştir. 14 tanesinin indirmeleri halen sürmekte olup bazılarının ise 1990 yılına kadar olan bütün gözlemleri indirgenmiş, sadece 1990 yılı gözlemleri tamamlanmamıştır.

Gözlem ve indirmeye çalışmalarına son iki yıl içerisinde 3 ve 4. sınıf öğrencilerinin katılmasıyla çalışmalarımız daha da hız kazanmıştır. Gözlemler ayrıca bitirme tezi projesi olarak da değerlendirilmektedir. Bunun yanında son sınıf öğrencilerinden bazıları seçmeli ders olarak açılan Gözlemsel Astronomi dersini alarak gözlemlere katılmaktadırlar. Gündüzleri gözlemede yaptığımız çalışmaların ayrıntılı bir teorisini öğrenen öğrenci arkadaşlar bu teorileri rasathaneye çalışmaları ile pratiğe dökme şansına sahip olmaktadır. Bunların yanında gökyüzünün tanınması, aletlerin kullanılmasının öğrenilmesi gibi temel bilgiler de uygulamalarla öğrenilmektedir. Temel amaç olan veri üretimi ve eğitim çalışmaları her geçen gün daha iyiye gitmektedir. Bunun yanında tatil dönemlerinde de gözleme çıkmak isteyen gönüllü öğrenciler çalışmalara katılarak üç aylık tatil döneminde de eğitimlerini sürdürmektedirler.

FOTOMETRE ÇALIŞMALARIN İSTATİSTİĞİ:

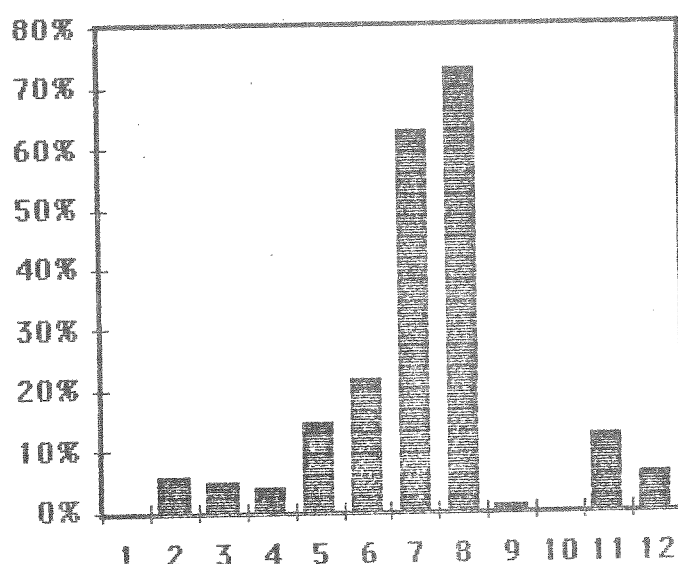
1987 yılının Eylül ayında bir süreden beri ara verilen çalışmalarımız 1 öğretim görevlisi, 3 asistan ve bir öğrenci ile başlamış aradan 10 gün geçtikten sonra asistan sayısı 5'e, öğrenci sayısı 2'ye çıkmıştır. Haftanın günleri bu 8 kişi arasında paylaştırılmıştır. Gözlemlerin daha ilk başladığı günden beri o gecenin gözlem ekibi havanın durumuna bakmaksızın gözleme çıktıktı ve açık olan her bir saatı değerlendirmeye çalışmıştır. Yıllık yaklaşık 3376 saatlik gözlem zamanının her dakikası değerlendirilmeye çalışılmaktadır.



1987 yılında değerlendirilen gözlemlerin aylara göre dağılımı

1987 yılı sonuna kadar toplam 4 ay gözlem yapılmış, bunlardan Eylül ayı tamamen kullanılamamış sadece son günleri kullanılmıştır. Bu dört aylık dönemde genelde havalar kapalı olmuştur. Bu nedenle yılın ancak %6'sı kullanılmıştır. Dört aylık dönemde toplam gözlem saatı ~1301 saat olup

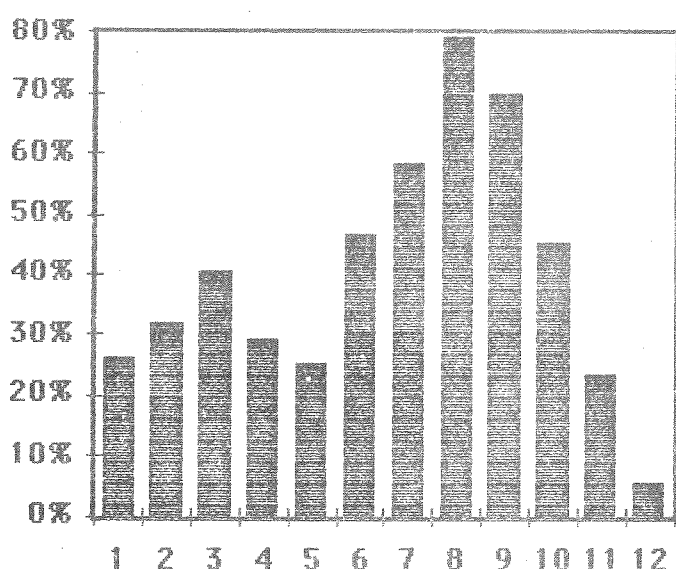
bunun sadece 92,2 saatini kullanabildik. Diğer günlerde genelde hava çok bulutlu olmuş ve değerlendirememiştir. Özellikle Aralık ayında hiç gözlem yapılamamıştır. Bu aylarda yapılan gözlemler genelde hava koşullarının etkisiinde kalmış fakat çok ender bazı geceler çok temiz bir havada sabaha kadar gözlem yapılmıştır. Gözlem kalitesi açısından, bu yıla ait gözlemlerin genelde sis ve tül bulutların etkin olduğu fakat zaman zaman da oldukça iyi havalarda gözlem yapıldığı gözle çarpmaktadır.



1988 yılında değerlendirilen gözlem zamanlarının aylara dağılımı

1988 yılında hemen her ay gözlem yapılmıştır. Sadece Ocak ayında havanın tamamen kapalı geçmesi ve Ekim ayında da aletlerin bakımı nedeniyle gözlem hiç yapılmadı. Diğer aylarda, özellikle kış ayları içerisinde kötü hava koşulları gözlemlerimizi oldukça etkilemiş ve aylık ortalama gözlem yapma oranı %6-10 arasında değişmiştir. En verimli ay %73 ortalama ile Ağustos ayıdır. Ortalama olarak yılın %17'sini, yani toplam ~ 3376 saatlik gözlem süresinin ancak ~ 444 saatlik kullanılmıştır. Sabaha kadar yapılan gözlemlerde gözlem kalitesi %85

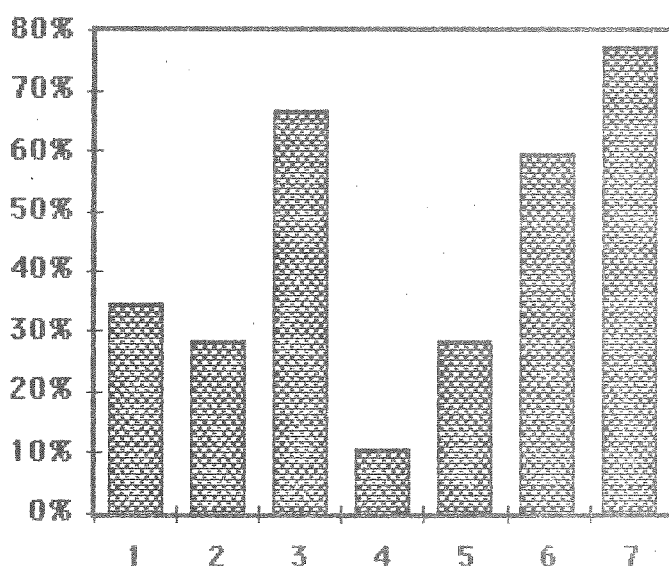
civarındadır. Özellikle kış aylarında açık geçen havalarda gökyüzü pripli pripli olmuş ve gerçekten çok güzel gözlemler yapılmıştır. Fakat bu tür kış gecelerinin azlığı nedeniyle kış aylarına verimli geçti diyemiyoruz. En yoğun gözlem yapılan Temmuz ve Ağustos aylarında ise yapılan gözlemlerin %70'i temiz bir havada yapılmış ve gözlem kalitesi çok iyi olmuştur. Zaman zaman gözlemler bu aylarda kirli, sisli havalarda yapılmış ve o günlere ait gözlemlerin kalitesini düşürmüştür. Bununla birlikte bu tür gözlemlerde değerlendirilmiştir.



1989 yılında değerlendirilen gözlemlerin zamanlarının aylara göre dağılımı

1989 yılı en verimli yıllarımızdan birisi oldu. Zaman olarak yılın %40'ını gözlem yaparak değerlendirdik. Bu yılda en kötü ay Aralık ayı oldu. Yani bu aya ait toplam gözlem zamanının ancak %6'sını gözlem yaparak değerlendirebildik. Diğer aylarda en düşük %23 oranında gözlem yaptık. Bu yıl da diğer aylarda olduğu gibi max. gözleme Ağustos ayında yaptık. Ağustos ayında %79, Eylül ayında ise %70 oranında gözlem yaptık. Yapılan gözlemlerin %85'i kaliteli gözlem olup geri kalanları zaman tül bulut

ve sis içinde yapılmış fakat yine de değerlendirilebilir nitelikte gözlemlerdir. Bu yıl içerisinde toplam ~1187 saat gözlem yapılmıştır.



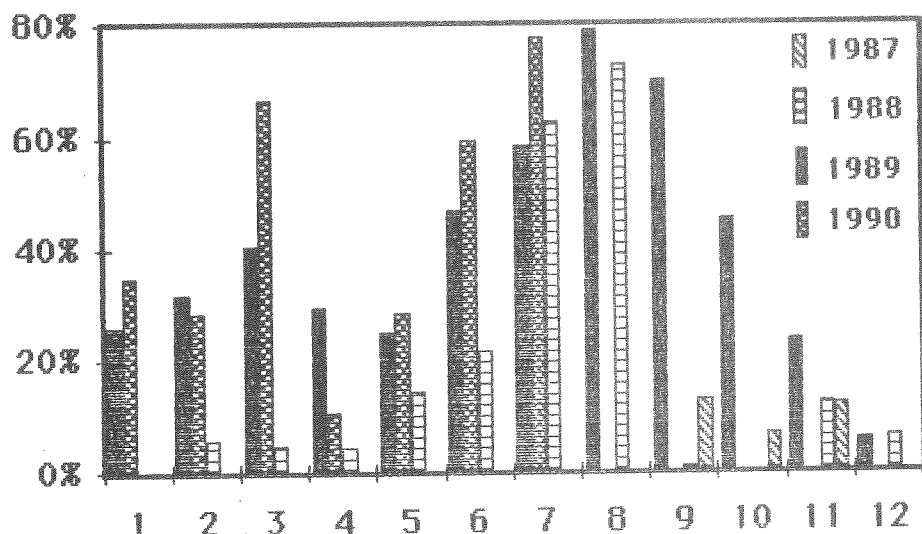
1990 yılında değerlendirilen gözlem zamanlarının aylara dağılımı

1990 yılında ise incelememiz ilk 7 ayı kapsamaktadır. Bu ilk 7 ay oldukça yoğun geçmiş ve çok verimli bir dönem olmuştur. Genelde havalar açık geçmiş, özellikle Mart ayında hemen hemen her gece değerlendirilmiştir. Diğer yılların aksine bu ayda genelde havalar açık gitmiş ve oldukça temiz havalarda çok kaliteli gözlemler yapılmıştır (Toplam 186 saat). Dört yıllık dönemde Mart ayları arasında en çok gözlem 1990 Mart ayında yapılmıştır. Bu yılı 7 ay içerisinde yapılan toplam 736 saat gözlem geçen zamanın %44'ünü oluşturmaktadır. En yoğun aylar sırası ile %77 ve %67'lik gözlem zamanlarıyla Temmuz ve Mart ayları olmuştur. Bu 7 aylık dönemde yapılan gözlemlerin %85'i temiz ve açık havalarda yapılmıştır. Özellikle kış dönemi çok temiz gözlemlerin yapıldığı dönem

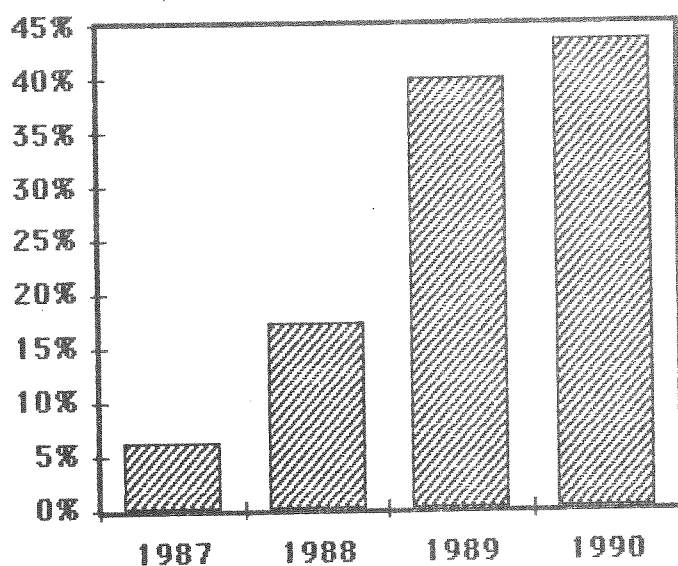
olmuştur. Haziran ve Temmuz ayları gözlem oranları yüksek olmalarına rağmen zaman zaman sis, kirli, tozlu havanın etkili olduğu aylar olmuştur.

SONUÇLAR:

Son dört yıllık dönemde ilk göze çarpan en fazla gözlem yapılan ayın genelde Ağustos ayı olmasıdır. Genelde Ağustos aylarının her gününde gözlem yapılmış, özellikle 1989 yılında bu ayda oldukça kaliteli gözlem verileri elde edilmiştir. Yaz ayları, genelde en çok gözlem yapılan aylar olarak görülmekte ise de gözlem kalitesi bu aylarda yükselen toz ve sis yüzünden düşmüştür. Gözlem yapılması açısından en kötü aylar Kasım-Aralık-Ocak-Şubat ayları olmuştur. Fakat bu aylarda tek tük açan havalarda da çok kaliteli gözlemler yapılmıştır. Bazı geceler sıcaklık -25 ile -30 °C'ye düşüğü halde gözlemler aralıksız sürdürülmüştür. Bazı geceler çok güzel bir hava ile başlayan gözlemler birdenbire havanın tül bulutları kaplanması ile etkilenmiş, kimi zaman hava sabaha kadar kapalı kalmıştır. Bazı günler tersine ise hava akşam üzeri kapalı olmuş ancak gece yarısı temizlenen hava gözlem yapmamıza olanak sağlamıştır. Bu tür gözlem zamanları elden geldiğince değerlendirilmiştir. Bütün yıllar arasında en fazla gözlem 1989 yılında 1187 saat yapılmıştır. Ancak 1990 yılı ilk 7 aylık toplam gözlem saatine baktığımızda 736 saat ile 1990 yılının daha verimli geçeceği görülmektedir.



Toplam gözlem zamanlarının aylara dağılımı



Yıllık ortalama değerlendirilen gözlem süresi

Çok genel bir şekilde yılların değerlendirmesini yapacak olursak rasathanemiz temel amaçlarını hemen her yıl başarıyla yerine getirmektedir. Yeri üretimi yanında özellikle eğitim konusunda oldukça başarılı olduğumuz gözlemlere katılan gözlemci sayısından anlaşılabılır. Başlangıçta toplam 8 kişilik bir ekiple başlayan gözlem çalışmaları her geçen gün yeni elemanların yetişirilmesiyle toplam gözlemci sayısı 50 kişiye ulaşmıştır. Özellikle kapalı, parçalı bulutlu, sisli havalar gözleme çikan gözlemcilerin yetişirilmesinde kullanılmış, gerek teleskop başında gerekse havanın açmasını beklerken yeni arkadaşlarımızın eğitim çalışmaları yapılmış, en azından mezun olupta hiç gözlem yapmamış, teleskop görmemiş, gözlem yöntemini sadece derste duyan, nasıl yapıldığını bilmeyen, gökyüzünü tammayan, gezegen ile yıldızı ayıramayan, yönünü bulamayan öğrenci sayısı minimuma indirgenmeye çalışılmıştır. Rasathane çalışmalarının bölümümüz öğrencileri arasında çok önemli bir hale geldiği görülmektedir ve hemen hemen hepsi bu çalışmalara daha erken sınıflarda katılmaya çalışmaktadır. Bütün bunları gözönüne aldığımda 1987-1990 yıllarının rasathane çalışmaları açısından oldukça verimli geçtiğini söyleyebiliriz.

C. İBANOĞLU: İlk önce Ankaralı arkadaşları gözlemlerini bu denli tabana yayabilmiş olmalarından ötürü kutlamak gerek. Yüzde rakamlarını verirken sanırım söyle yapılsa daha iyi olacak; ışık ölçümüne elverişli gece saatı ne kadar, o saatin yüzde kaç kullanılmış. Bu sizin ölçünüz olmalı, yoksa tüm gece saatlerini almanız bence yanlış.

G. KAHRAMAN: Bu çalışmayı yaparken sizin dedığınız gibi yaptık. Yani gözlem saatlerinin başlangıç ve bitiş saatlerini alarak değerlendirdik. Yaptığımız bütün gözlemleri istatistik bir çalışma yapabilmek için bilgisayara giriyoruz, 1987 yılından itibaren gözlemlerin başlangıç ve bitiş saatleri elimizde var ve gözlemin ne kadar sürede yapılabildiğini biliyoruz. Gözlemci arkadaşlarımız ortalama 5-7 dakika içinde yıldızı bulabiliyorlar. Bir gecede bazen bir yıldız gözlersek, bazı gecelerde bu sayı sekize çıkabiliyor. Sekiz diye düşünürsek toplam olarak yaklaşık bir saat kadar yıldız bulmak için zaman harcaması oluyor.

Z. TUNCA: Yani Cafer beyin söylemek istediği şu: gece içinde sekiz saat gözlem yapılabılır. Açık hava varken siz bunun yüzde kaçını değerlendirebiliyorsunuz? Sizin için ölçünün bu olması gerektiğini söyledi. Ben anlatı-lanlardan şu anda, gözlem yapılabilecek sürenin tamamını değerlendirdiğinizi anlıyorum.

Z. ASLAN: Burada Cafer bey haklı. Ben sizin grafiklere bakınca sanki Temmuz ve Ağustos ayları en uzun geceler gibi görünüyor. Halbuki en kısa geceler olan bu aylarda gecenin süresi 5-6 saatdir. Kaldı ki Ankara'da gök kalitesi bakımından Eylül, Ekim ve Kasım ayları çok iyidir, çok temiz havalar vardır ve gecelerde genellikle açık olur. Ben bunu da hesaba katınca hem kaliteli hem de uzun süreli gözlemleri Eylül, Ekim ve Kasım aylarında bekliyordum. Siz ise Temmuz ve Ağustos ayında çıkardınız.

G. KAHRAMAN: Maksimum gözlem süresi Temmuz-Ağustos gibi görünüyor ama sizin dedığınız gibi günlerin kisalığından da kaynaklanıyor. Örneğin Aralık ayında 12 saat gözlem yaptığımız geceler var. Bunları da belirtmeye çalıştık ama atlamiş olabilirim.

A. ÖKTEN: Bu gözlemci sayısının artması, gözlem kalitesini etkiliyor mu?

G. KAHRAMAN: Sayımız arttıkça daha iyi gözlem yaptığımızı söyleyebilirim.

A. ÖKTEN: Bana tam tersi gibi geliyor.

G. KAHRAMAN: Genelde ışık eğrilerinden belli eder kendini. Bir örnek verelim. Panoda gördüğünüz ışık eğrilerimiz bu 50 kişilik gözlem ekibince elde edilmiş ışık eğrileridir.

A.O. GÖZLEMEVI İÇİN STANDART SİSTEDE DÖNUŞÜM KATSAYILARI

Z. Müyesseroğlu, S. Selam
 Ankara Üniversitesi, Fen Fakültesi, Astronomi ve
 Uzay Bilimleri Bölümü, 06100 Beşevler-ANKARA

ÖZET:

Yıldızların parlaklığı yalnız dalgaboyu ve zamanın değil, yer atmosferinin ve yerel aletlere ilişkin bazı parametrelerin de fonksiyonudur. Bir gözlemevinde yıldız için ölçülen değerlerin, diğer araştırmacılar tarafından kullanılabilmesi açısından, parlaklığın atmosfer dışına indirgenmesi ve yerel sisteme bağlılıktan kurtarılması gerekmektedir.

A.O. Gözlemevi'nde Hyades açık kümesinin, geniş tayf aralığına dağılmış üyeleri gözlenerek, standart sisteme "dönüşüm katsayıları" elde edildi. Daha önceki yıllarda benzer gözlemlerle elde edilen katsayılar, 1988-89 gözlem sezonu sonuçları ile karşılaştırıldı. Bu işlemler sırasında Hardie'nin temel yöntemi kullanıldı.

GİRİŞ:

Yıldızların fotometrisi, onların zamana ve dalgaboyuna bağlı olan ışık değişimlerinin ortaya çıkarılması demektir. Ancak yıldızların parlaklığı yalnız bu ikisinin (dalgaboyu ve zamanın) değil, ışığın geçtiği yer atmosferinin ve ışığı alan aletlere ilişkin bazı parametrelerin de fonksiyonudur. Bir gözlemevinde yıldız için ölçülen değerlerin, diğer

arastırmacılar için kullanılabilmesi ve birlik sağlanması açısından, parlaklığın atmosfer dışına indirgenmesi ve yerel sisteme (gözlemeçinin kendi aletine) bağımlılıktan kurtarılması gereklidir.

Her bir fotometrik sistem, bir dizi standart yıldızla göre tanımlanır. Dolayısıyla sistemin birinde elde edilen ölçümün diğer sistemdeki karşılığını bulmak (yada aynı yıldızı iki sistemde karşılaştırmak), "standart" sisteme" geçiş için gerekli katsayılarının bilinmesi ile mümkündür. Bu konuda her gün yeni gelişmeler olmasına karşın kuşursuz bir "standart sistem"in seçimine ait bir yöntem henüz verilememiştir.

UBV fotometresi sırasıyla 3500, 4300 ve 5500 Å dalgalı boyundaki bandlar üzerine kurulmuş, yarı maksimumdaki genişlikleri sırasıyla 700, 900 ve 850 Å olan bir sistemdir. UBV sistemi, U parlaklığında zayıf varsayımlar üzerine kurulmuştur (Moffat & Vogt, 1977). Fotometrisini standart UBV sistemine dönüştürecek birisinin de uyusmayı sağlaması için aynı varsayımları yapması gereklidir.

YÖNTEM:

Fotometrik yıldız gözlemlerinin indirgenmesi iki aşamalıdır (Hardie, 1962);

a) Atmosferik sönümlemenin düzeltilmesi: Sönümleme düzeltmesi geniş bir hava kütlesi aralığında sönümlenmiş standart yıldız gözlemi gerektirir.

b) Standart sisteme geçiş: Standart sisteme geçiş ise dönüşüm katsayılarının bilinmesini gerektirir. Bu genellikle küçük bir hava kütlesinde ve geniş bir renk aralığında bir grup standart yıldız gözlemi ile sağlanır.

Hardie'nin bu yöntemi fotometrik gözlemlerin indirgenmesinde temel bir yöntemdir. Ancak aletlerde ve özellikle bilgisayar işlerilığında yeniliklere paralel olarak, Hardie yöntemine başlangıcından bu yana pek çok yenilikler eklenmiştir. Örneğin Harris (1981), aslında gözlenen tüm standart yıldızların gözleminde her iki tür katsayının da (sönümleme ve standart geçiş katsayıları) içerildiğini vurgulayarak, ortak bir çözüm ile iki adının beraber kullanılabilceğini göstermiştir.

Yerel sisteme atmosfer dışına indirgenmiş parlaklık ve renkler;

$$\begin{aligned} V_0 &= V - k_V X & 1.a \\ (B-V)_0 &= (B-V) - k_{BV} X & 1.b \\ (U-B)_0 &= (U-B) - k_{UB} X & 1.c \end{aligned}$$

bağıntıları ile verilir. Burada X hava kütlesidir (yıldız ışığının soğurucu ortamındaki yoludur). V_0 indisi atmosfer dışı değerleri göstermektedir.

Hardie yönteminde UBV standart sistemine dönüşüm bağıntıları parlaklık ve renkler cinsinden;

$$\begin{aligned} V &= V_0 + \epsilon (B-V) + z_V & 2.a \\ (B-V) &= \mu (B-V)_0 + z_{BV} & 2.b \\ (U-B) &= \psi (U-B)_0 + z_{UB} & 2.c \end{aligned}$$

şeklinde verilir. Bu bağıntılarda ϵ , μ ve ψ dönüşüm katsayıları ve z_V , z_{BV} ve z_{UB} ise alet sıfır noktalarıdır. Yerel sistem standart sisteme oldukça yakın ise $\epsilon=0$ ve $\mu=\psi=1$ olmalıdır.

GÖZLEMLER VE SONUÇ :

Dönüşüm katsayılarının sağlıklı saptanabilmesi için kararlı bir geceye, sabit geçirgenliğe ve bir düzine kadar standart yıldız gözlemine gerek

vardır. Bu iş için önerilen, geniş renk aralığında yıldızlara sahip kümeler şunlardır: Pleiades (Johnson & Morgan, 1953), Hyades ve Praesepe (Johnson & Knuckles, 1955).

12/13 Aralık 1988 ve 9/10 Şubat 1989 tarihlerinde yapılan gözlemlerde A.O. Gözlemevi'nin 30 cm'lik Maksutov teleskopu ve ona bağlı EMI 9789QB fotokatlanırcı tübü kullanıldı. Biz gözlem için Hyades açık kümesini seçtik. Kümenin bu iş için kullanılan yıldızlarına ilişkin bilgiler Çizelge-1'de verilmiştir. Standart yıldızların gözlendiği bu iki gecede atmosfer söküme katsayılarını elde edebilecek kadar uzun süre (başka değişle, geniş hava kütlesi aralığında) sabit yıldız gözlenmemiştir. Bu nedenle atmosfer söküme katsayıları için çok sayıda gece ortalamasına dayalı olan;

$$k_v = 0.315 \pm 0.025$$

$$k_b = 0.462 \pm 0.038$$

$$k_u = 0.778 \pm 0.049$$

değerleri kullanılmıştır. Bunlar (1) denklemelerinde yerine konularak atmosfer dışı değerler elde edildi.

Çizelge-1 Gözlenen Standartlar

Sıra	Tayf	α_{1950}	δ_{1950}	V	B-V	U-B
1	F2	4°30'58"	23°14'26"	4.66	0.24	0.09
2	G0	4 26 27	17 26 11	7.05	0.50	0.04
3	K0	4 25 42	19 04 16	3.52	1.01	0.88
4	A5	4 23 19	22 42 07	4.29	0.27	0.13
5	A3	4 22 23	22 10 52	4.22	0.14	0.12
6	F8	4 07 49	18 17 40	6.62	0.42	-0.01
7	A0	4 43 15	11 36 57	5.37	0.19	0.13
8	A5	4 26 02	12 56 18	5.03	0.23	0.12
9	K0	4 16 57	15 30 30	3.66	0.99	0.81
10	F5	4 11 49	10 34 35	7.14	0.51	0.05
11	A3	4 19 14	13 57 38	5.72	0.32	0.10
12	G0	4 17 03	16 24 13	6.88	0.56	0.09
Ref	F0	4 25 33	14 37 53	5.90	0.32	0.06

Gözlem sırasında kümenin ortasında olan standart, "referans yıldızı" olarak ele alındı. Referans yıldızını R ile, diğer standartları 1-12 sayıları ile gösterirsek ideal gözlem dizisi;

$$R-1-2-3-R-4-5-6-R-7-8-9-R-10-11-12$$

biriminde önerilmiştir (Hall, 1988). Böylece bu yıldızın diferansiyel fotometrideki mukayese yıldızı gibi kullanılması sağlandı. (2) denklem takımı, standartlardan biri ve referans yıldızı için yazılıp fark alınarak;

$$\Delta V = \Delta V_0 + \epsilon \Delta(B-V) \quad 3.a$$

$$\Delta(B-V) = \mu \Delta(b-v)_0 \quad 3.b$$

$$\Delta(U-B) = \psi \Delta(u-b)_0 \quad 3.c$$

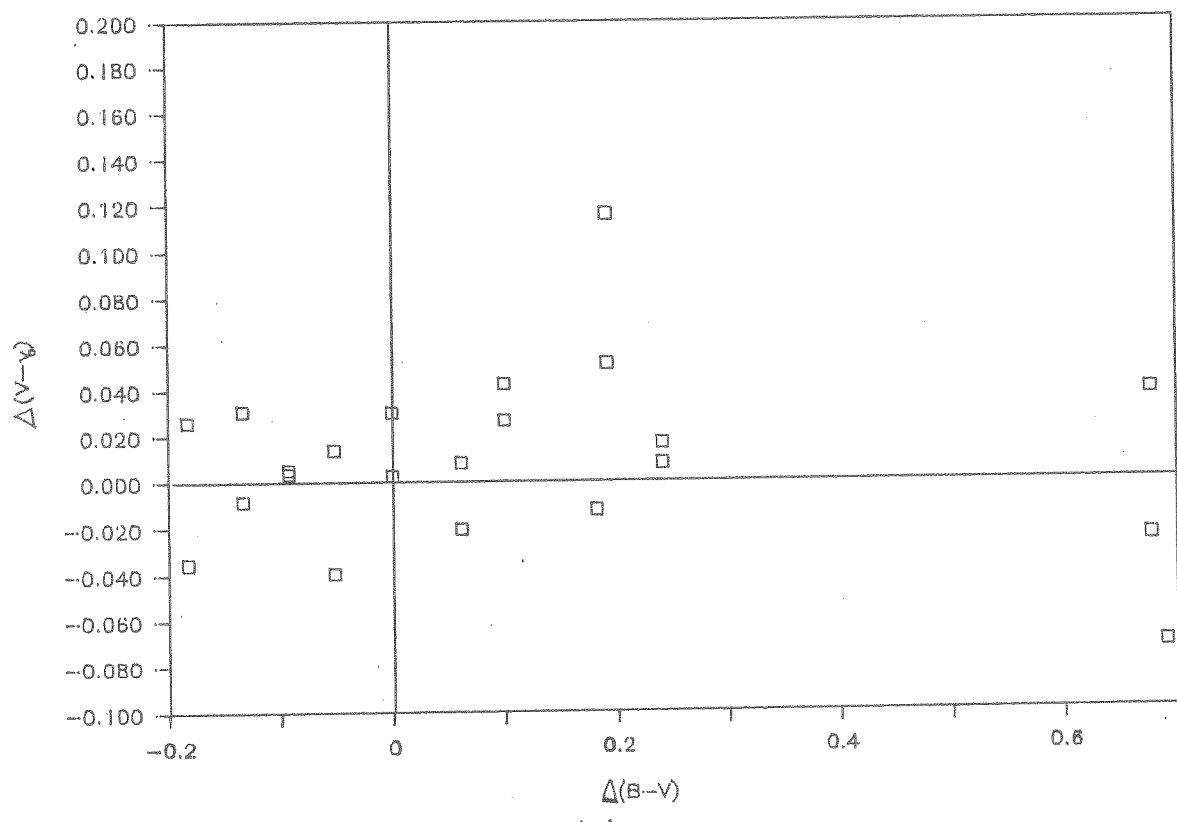
diferansiyel bağıntıları kullanıldı. Δ , "standart-referans" anlamında olmak üzere (3) denklem takımı her iki gece için ayrı ayrı, en küçük kareler yöntemi ile çözüldü. Sistematik gece farklılarına bakılırsa, geceler için ayrı ayrı çözümler deildi "birleştirilmiş geceler" yöntemi daha iyi sonuç verecektir. Şekil-1, 2 ve 3'de, her iki gece ölçümlerinin, standart sistemeeki değerleri ile karşılaştırması gösterilmiştir.

Daha önceki yıllarda elde edilen sonuçlarla (Müyesseroglu, 1981) yeni değerlerin karşılaştırması Çizelge-2 de verilmiştir. Gözlemevine 1982 yılına kadar EMI 6256S fotokatlandırıcı tübü kullanılmakta idi.

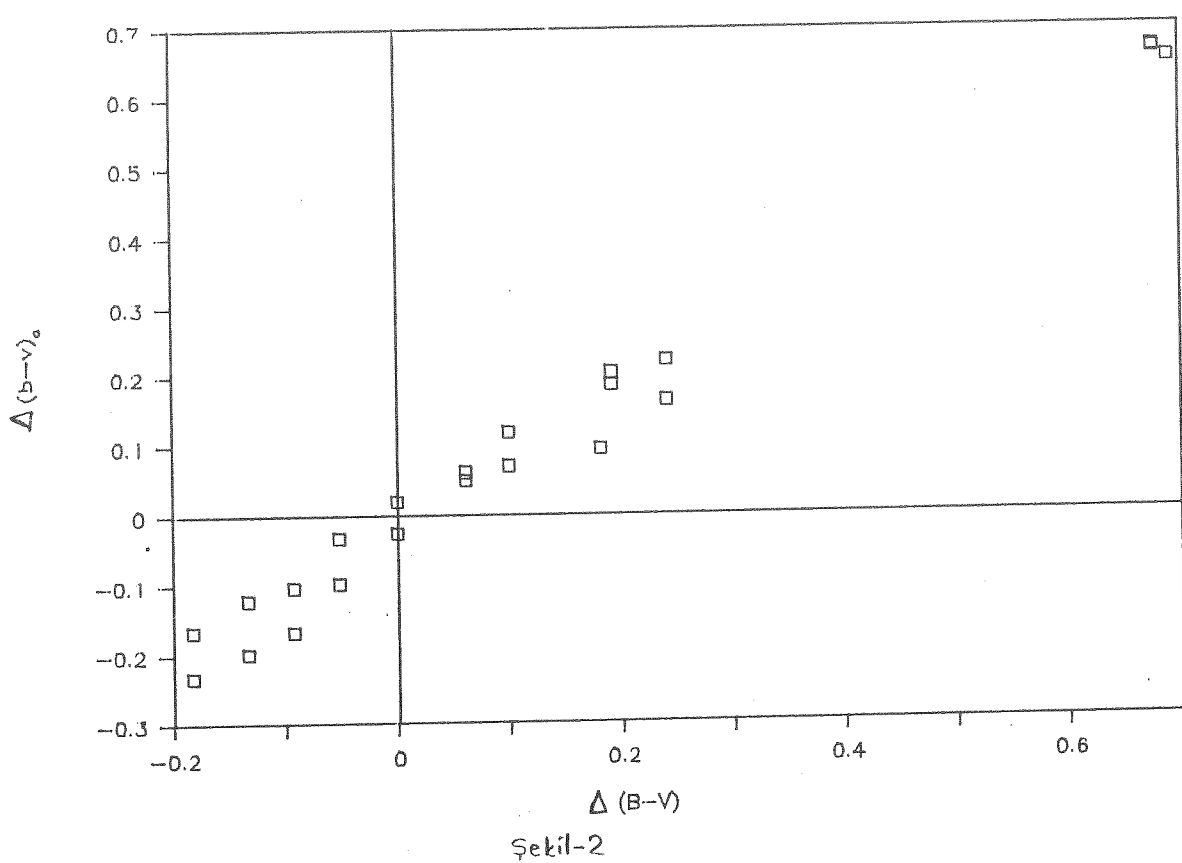
Çizelge-2 Dönüşüm Katsayıları

Gözlem Tarihi	ϵ	μ	Ψ
Kasım 1975	0.024±0.020	0.914±0.007	1.054±0.019
Kasım 1981	0.033±0.015	0.930±0.011	1.044±0.034
Aralık 1988	0.005±0.048	0.967±0.034	1.068±0.123
Şubat 1990	-0.039±0.027	0.973±0.022	0.852±0.145
Birleştirilmiş (son iki gece)	-0.015±0.032	0.990±0.028	1.077±0.078

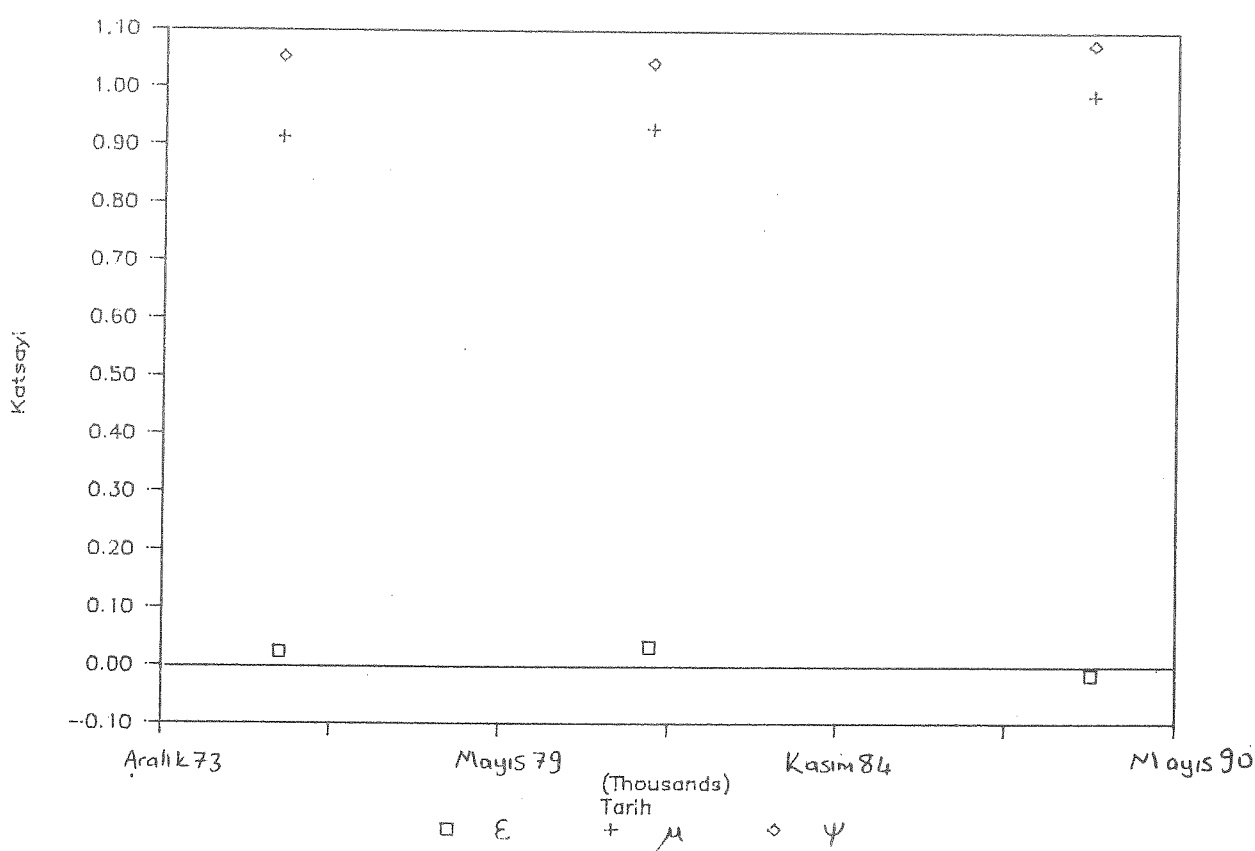
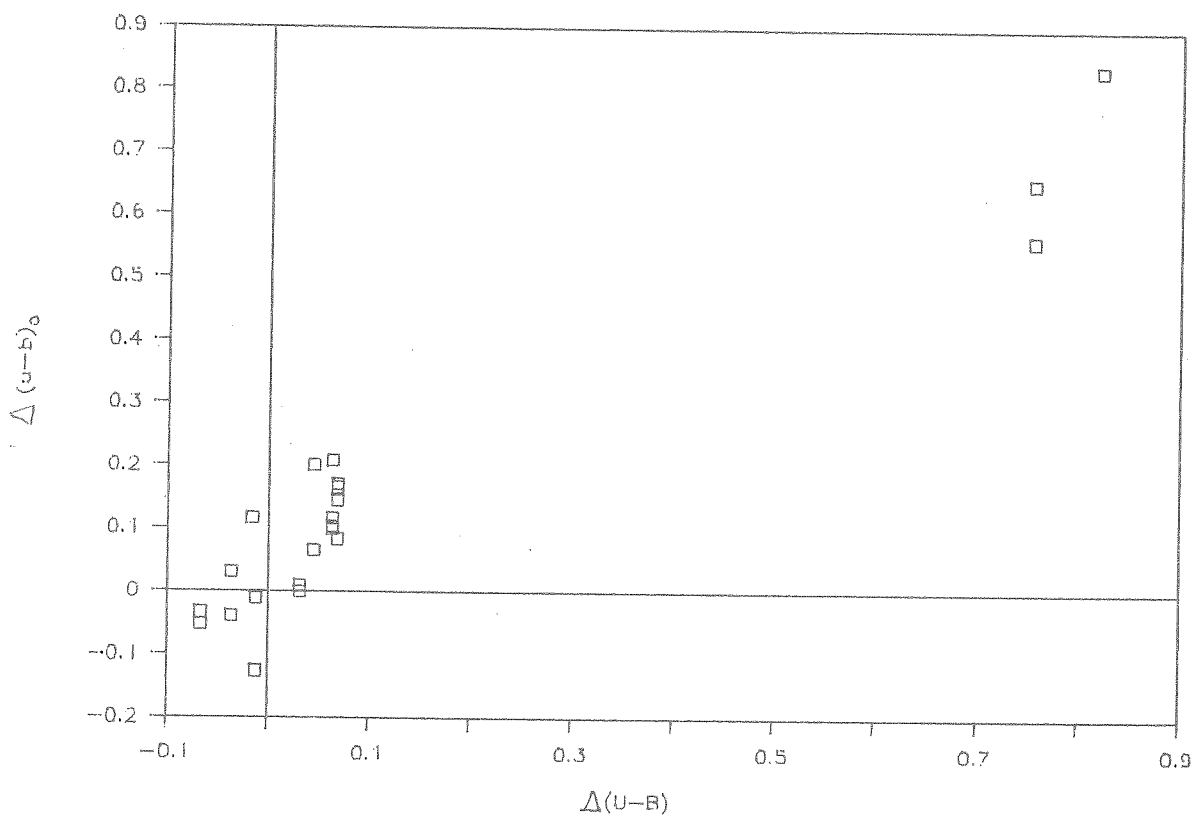
Geçen yıllarla bu yıllar arasında bir karşılaştırma yapıldığında (Şekil-4) sistemin uluslararası standart sisteme çok benzer olduğu görülmektedir. Hataların büyük olması ise gözlem gecelerindeki hava koşulları nedeniytedir.



Şekil-1



Şekil-2



REFERANSLAR:

- Hall,D.S., Genet,R.M., 1980. "Photoelectric Photometry of Variable Stars", Second Edi.
(Richmond: Willmann Bell)
- Hardie,R.H., 1962. "Astronomical Techniques: Stars and Stellar Systems", Vol:II,
Ed.,W.A.Hiltner, Univ. of Chicago Press,
Chicago, sayfa:178
- Harris,W.E., 1981. PASP, 93,507
- Johnson,H.L., Knuckles,C.F., 1955. Astrophys. J.,
122,209
- Johnson,H.L., Morgan,W.W., 1953. Astrophys. J.,
117,313
- Moffat,A.F.J., Vogt,N., 1977. PASP, 89 ,323
- Huyesseroglu,Z., 1981. Yüksek Lisans Tezi, Ank.
Orniv., (yayinlanmadı)

C.İBANOĞLU: O ortalama sönükleştirme katsayıları çok yüksek rasathaneler için gerekli. Bizim gibi küçük rasathanelerde geceden geceye o kadar büyük değişimler var ki, onun için eğer indirgeme yapmak istiyorsanız, her gecenin sönükleşme katsayısını kaydetmek zorundasınız. Başka türlü yapılan işler yanlış olur.

Z.MUYESSEROĞLU: Mevsimlik bir ortalamanın o kadar büyük bir hata getireceğini düşünmüyorum.

C.İBANOĞLU: Bizim rasathane için mümkün değil ama sizinki için mümkünse bilmiyorum.

Z.TUNCA: Hele Ankara için hiç mümkün değil. Işıklar var diyorsunuz, yakınında taş ocağı var diyorsunuz. Bana çok farklı olacak gibi geliyor. Ayrıca birkaç ayrı zamanda yapılmış dönüşüm katsayılarının bulunmasından sonra, en çok elde edilen değerin olması gereken 1 ve 0 sayılarına yaklaşmasını neye bağlıyorsunuz? Niye daha önceleri biraz uzaklaşmış da, bu sene yaklaşmış. Gözlemsel yanılıqların daha düzeltilmiş olmasına, giderilmiş olmasına, yahut da hava mı düzeldi?

Z.MUYESSEROĞLU: Hava ile ilgisi yok. O alet son yıllarda bakıma alındı. Göksel'in dediği günlerde, filtrelerde bir temizleme yapıldı, yükselticide bir hata vardı onlar giderildi.

Z.ASLAN: Şimdi burada yapılacak şey şu; ε 'da, μ 'de, ϕ 'de zamanla değişme söz konusu olmamalı. Bu bir sistemin başka bir sisteme aktarılmasıdır. Burada eğer sistem iyi çalışıyorsa kararlı olmak zorundadır ve bu katsayılar sabit kalmalıdır, değişimmemelidir. Sonuçta iki çözüm takımı olmalı; birisi ilk iki grup EMI 6256 ayrı bir fotokatlandırıcı, ondan sonra fotokatlandırıcı değişmiş 1986'da, o da ayrı bir fotokatlandırıcı. Filtrelerde değişme yok, kirlenme zamanla değişmekte, o etkileyebilir. Filtreler değişmediği için bunların spektrel yanılıqları birbirine çok yakın, katsayıların yakın çıkışının

sonucudur bu. Durum bunu gösteriyor. İndirgemelerde ayrı takım kullanılmalı, çünkü top değişti, eğer katsayılar aynıysa mesele yok. Dikkat ederseniz orada bir zamanla değişme ya da bir yaklaşma söz konusu değil. Hatalarına bakın Kasım 75-Kasım 87 diyor. 24-33 hatalarına bakın, sıfırsa onlar birbirinden farklı değil. Ötekilerde öyle, ortalamasını alacaksınız. Ondan sonraki katsayınlarda iki gece yine gözlem yapılmış. O iki gecedeki farklar da birbirlerinin hataları içerisinde, gecenin verdiği koşullar nedeniyle birbirlerinden farklı. Onların da ortalamasını alınca, bir katsayı zaten ortaya çıkacak. En güzel çözümüde birleştirilmiştir. Dolayısıyla orada bir evrim sözkonusu değil.

N.GUDUR: Benim bu konuda bir önerim var; gözledığınız değişen yıldızların parlaklıkları elde ettiğiniz parlaklıklar. Yani indirgenmiş aletsel parlaklıkları, standart sistemeeki parlaklıkları ile yaymak istiyorsanız, öyle bir yol izlemek yerine, başka bir yol izlemek gerekiyor o da şu: o yıldızı gözlerken kullandığınız bir mukayese yıldızı var, o mukayese yıldızını renkleri ona yakın olan fakat belirli bir parlaklık aralığına dağılmış UBV standart yıldızlarından seçeceğiniz yıldızlarla birlikte bir gece içerisinde gözlemek gereklidir. Bunun için değişen yıldızları gözlemenize gerek yok ve o bir gecelik gözlemle mukayese yıldızının standart sistemeeki parlaklıklarını elde edersiniz. Ondan sonra değişen yıldızın zaten mukayese yıldızına göre indirgenmiş aletsel parlaklıkları var. Standart sistemeeki parlaklıkları oradan elde ederek yayınıyacaksınız. Bu daha sağlıklı bir yol.

Z.MUYESSEROĞLU: Bir kere şu katsayıların elde edilebilmesi için mutlaka bir küme gözlemine ihtiyacımız var. Uzun dönemler içerisinde değişmediğini kabul ettiğimiz bunlar için, mutlaka gözlenmesi gereklidir şekilde düşünüyoruz.

N.GUDUR: O zaman sönükleştirme katsayısı var ya, o sorun ortadan kalkmış oluyor. Neden kalkmış oluyor. O gece içerisinde gözledığınız mukayese yıldızının parlaklıklarından o katsayıları elde edebilirsiniz.

ÇOK UZUN DÖNEMLİ BİR RS CVn YILDIZI : EK Eri

Ferhat Fikri ÖZEREN, Osman DEMİRCAN, I. Ethem DERMAN

A.Ü. Fen Fak. Astronomi ve Uzay Bilimleri Bölümü 06100 Beşevler, ANKARA

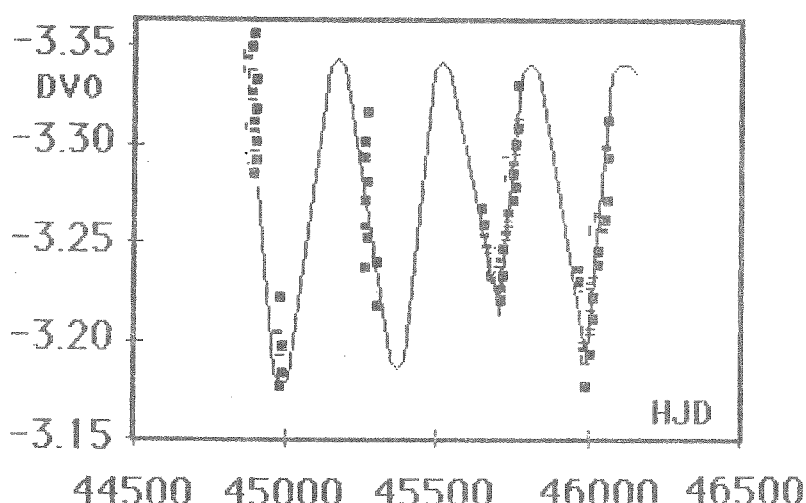
ÖZET

Çok uzun dönemli geçtir parlak bir dev yıldız olarak bilinen EK Eri = HR 1362 yıldızının 1989 ve 1990 da yapılan yeni UBV gözlemleri sunulmuştur. Yeni gözlemlerde çok küçük olan dalga genliği kısa dalga boyuna gittikçe artmaktadır. Buradan, EK Eri üzerinde 0.4 evresinde yıllardır varlığını sürdürün aktif bölgenin yok olduğu ve 0.25 evresinde yeni aktif bir bölgenin oluşmakta olduğu anlaşılmaktadır. Yeni aktif bölge Güneşte olduğu gibi soğuk leke şeklinde değil fakat parlak "plage" bölgesi olarak kendini göstermektedir. Bu nedenle yıldızın ışık değişimini V' de değil U' da daha belirgin görülmektedir.

1.GİRİŞ

Geç tür parlak bir dev yıldız ($6^m.3$) olan EK Eri kesin olmayan Ca II H ve K çizgisi (Bieldman ve MacConnell, 1973) ve kesin koronal soft X-ışın (Walter ve Bowyer, 1981) gösterdiğinden, muhtemel RS CVn türü çift yıldız olarak listeye alınmıştır (Hall, 1983). EK Eri yeni bir değişen yıldız olarak Kholopov (1987) tarafından bildirilmiştir. Bieldman ve MacConnell tayıfsal tipini G8 IV olarak belirlediler ve yıldızın yakın tayıfsal çift yıldız olabileceğini gösteren kesin olmayan bir kanıt buldular. Eggen (1978) salt parlaklığını $M_v=0.65$ olarak buldu. Fotometrik değişim Lake (1964), Boyd vd. (1985), Hall (1983), Derman vd. (1989) tarafından belirlenmiştir. Fotometrik değişimin dönemi Hall (1983) tarafından 339.6 , Boyd (1985) tarafından 154^9 , Derman vd. (1989) tarafından 330^9 , ve Strassmeier vd.

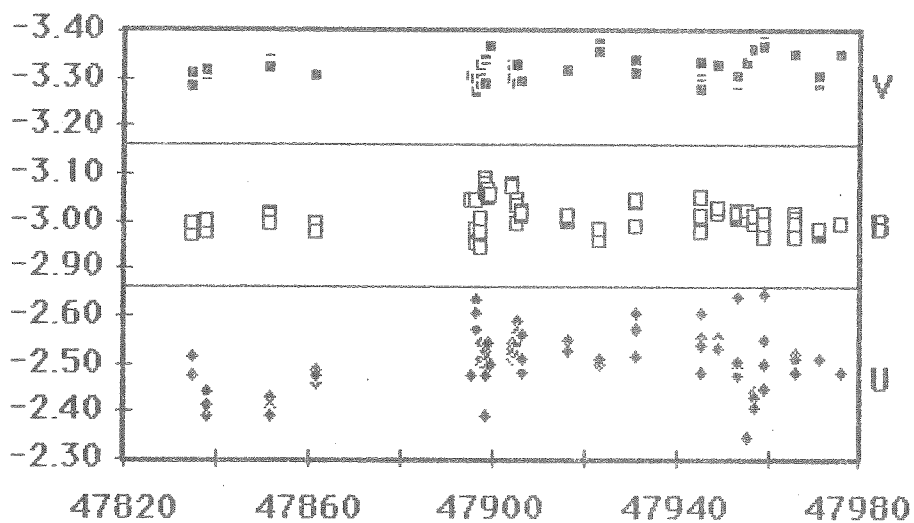
(1990) tarafından 335⁹ bulunmuştur. Sistemin 1981-1984 yılları arasında V bandındaki ışık değişimi Şekil.1 de gösterilmiştir.



Şekil 1: EK Eri'nin 1981-1984 yılları arasında V bandındaki ışık değişimi

2. UBV GÖZLEMLERİ

EK Eri yıldızı A.Ü. Fen Fakültesi Ahlatlıbel Gözlemevi'nde 30 cm'lik Maksutov teleskoba bağlı EMI 9789 QB fotokatlandırıcı kullanılarak 25 gece 1989/1990 gözlem sezonunda UBV filtreleri ile gözlenmiştir. Gözlemlerimiz BD +06° 873 yıldızı mukayese alınarak diferansiyel olarak yapılmıştır. Gözlemler Mukayese-Mukayesenin göğü-Değişen-Değişenin göğü-Değişen-Mukayese-Mukayesenin göğü sırasına göre yapılmıştır böylece her renkte toplam olarak 89 diferansiyel ölçüm elde edilmiştir. Diferansiyel gözlemlere atmosferik sönümleme düzeltmesi ve "Heliocentric" düzeltme yapılmıştır. Değişen ekşi mukayese değerleri olarak düzeltilmiş UBV gözlemleri Şekil.2 de gösterilmiştir. Şekil.2 de x ekseni "Heliocentric" Julian tarihi cinsindendir. Yapılan yeni gözlemler 3 Ekim 1989 dan 25 Mart 1990 a kadar 142 günlük bir dönemi kapsamaktadır.



ŞEKİL 2: EK Eri' nin 1989-1990 gözlemleri

3. IŞIK DEĞİŞİMİ

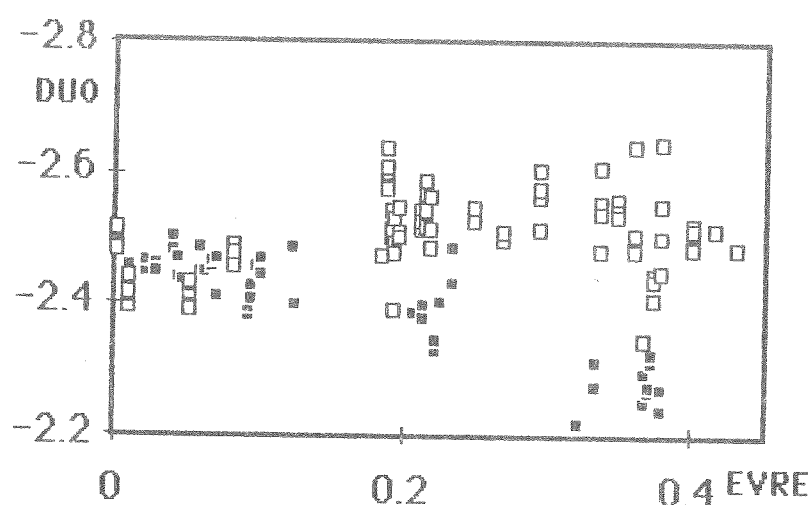
"Heliocentric" Julian tarihine karşı çizilen yeni gözlemlerde ilk bakışta önceki gözlemlere benzer bir değişim gözlenmemektedir. Dikkat edilirse çok küçük genlikli bir değişim U gözlemlerinde farkedilmektedir. Işık değişimlerini daha iyi anlayabilmek için gözlemlere ikinci derece polinomlar fit edilmiştir. Fit eğrilerine göre EK Eri' nin ışınımı Ocak 1990 da maksimum evrededir. ışınım ΔV ' de $-3^m.315$ den , $-3^m.325$ değerine $\Delta B'$ de $-2^m.42$ den $-2^m.53$ değerine ve ΔU da da $-2^m.985$ den $-3^m.02$ değerine artmaktadır. Buna göre EK Eri Ekim 1989 dan Ocak 1990' a kadar UBV bantlarında sırasıyla 0.035, 0.110 ve 0.010 kadar parlampmıştır. Parlamının kısa dalgaboylarına gidildikçe artmış olması ilginçtir. Şekilden çıkartılabilen ikinci önemli sonuç maksimum evrenin renge bağlı olmasıdır. Gözlemlere göre EK Eri kısa dalgaboylarında maksimum evresine daha önce çıkmaktadır. ışınımda değişim genliğinin az olması ve gözlemlerin saçılımış olması nedeniyle her bantta maksimum zamanlarını doğru belirlemek mümkün değildir.

Yeni gözlemlerde ışık değişimini önceki gözlemleri (Derman vd., 1989) karşılaştırabilmek için yeni gözlemlerin evre hesabı

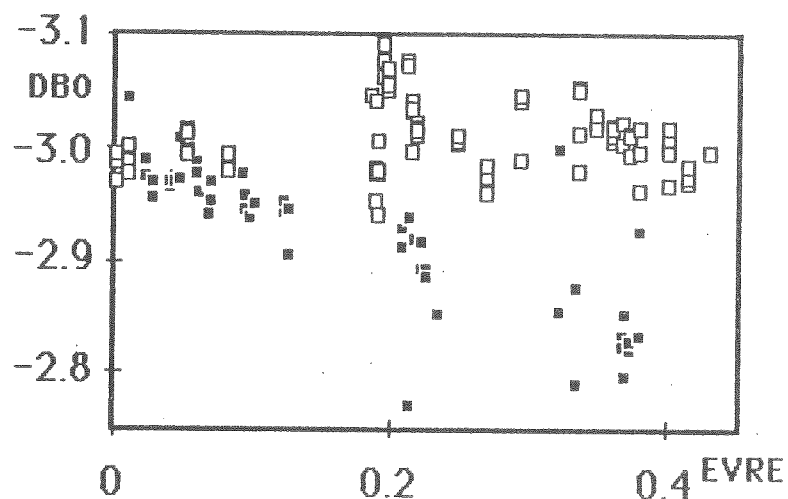
$$2447834 + 330 \times E$$

İşik elemanlarıyla yapılmış ve yeni gözlemler öncekilerle beraber Şekil 3, 4 ve 5 te U, B, Y renklerinde ayrı ayrı gösterilmiştir. Şekil 5 te Y gözlemlerine Boyd vd. (1985) nin gözlemleride katılmıştır. Bu şekillerde iki nokta dikkat çekenmektedir. (i) Önceki gözlemler 0.4 evresinde minimuma inerken yeni gözlemler 0.25 evresi yöresinde maksimuma çıkmaktadır. (ii) Yeni gözlemlerde sistemin ortalama parlaklığı eski gözlemlerdeki maksimum parlaklığa eşittir.

Yeni gözlemler tam bir yörüngede dönemini kapsamadığı ve gözlemlerdeki saçılımalar önceki gözlemlere göre biraz daha fazla olduğu için yeni gözlemlere dönem analizi uygulanmamıştır.

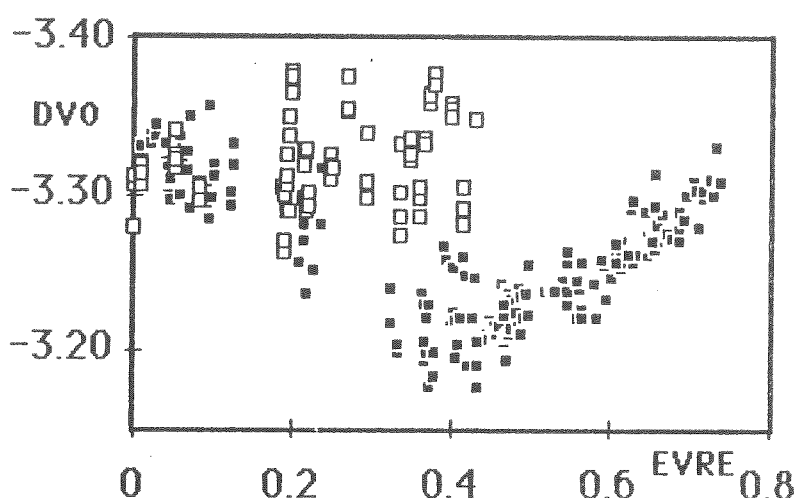


ŞEKİL 3: 1981/1982 ve 1989/1990
gözlem sezonu değerleri



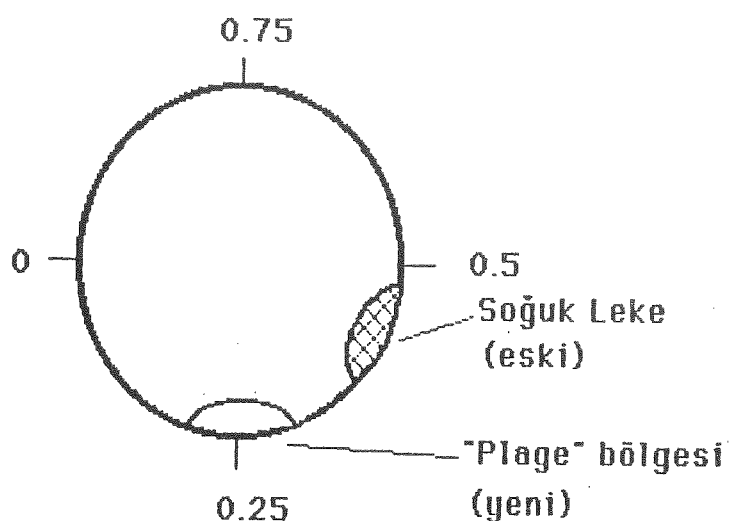
ŞEKİL 4: 1981/1982 ve 1989/1990

gözlem sezonu değerleri



ŞEKİL 5: 1981/1982, 1984 ve 1989/1990

gözlem sezonu değerleri

ŞEKİL 6: EK Eri üzerinde eski ve yeni aktif bölgelerin
şematik gösterimi

4. TARTIŞMA ve SONUÇLAR

Çok uzun dönemli aktif dev bir yıldız olan EK Eri' nin magnetik dinamo modellerinin test edilmesinde çok önemli bir yıldız olduğu önceki çalışmada (Derman vd., 1989) not edilmiştir. EK Eri' nin çok yavaş döndüğü halde nasıl bu kadar aktif göründüğü henüz bilinmemektedir. Strassmeier vd. (1990) yeni bir çalışmada EK Eri' nin beklentenden 10 kat daha fazla Ca II H ve K salması gösterdiğini; B-Y ve U-B renklerinden yıldızın G8 III-IV MK sınıfında olduğunu ve Y-R ve Y-I renklerinde artık gösterdiğini bulmuşlardır. Yıldız bu durumda kesinlikle çok yavaş dönen fazla aktif bir yıldızdır. Yeni gözlemlerde bozulma dalgasının genliği çok küçük ve kısa dalga boylarına gidildikçe artmaktadır. Dalganın maksimum evresi oldukça farklı bir yerde bulunmaktadır. Barksdale ve Jusick' in 1988 gözlemlerinde eski dalga hareketinin sökümlendiği not edilmiştir (Barksdale, 1990). Buna göre EK Eri üzerinde yıllardır varlığını sürdürten aktif bölge 1988 de sökülmüş ve 1989 da farklı bir boylamda yeni aktif bir bölge oluşmaktadır. Yeni gözlemlerden anlaşıldığına göre yeni aktif bölge oluşma evresinde olduğu için Güneşte olduğu gibi soğuk leke şeklinde değil fakat parlak "plage" bölgesi olarak kendini göstermektedir. Bu nedenle ışık değişimi Y de değil fakat U da daha iyi görünmektedir. EK Eri üzerindeki eski ve yeni aktif bölgeler Şekil.6 da şematik olarak gösterilmiştir. Sistemin bundan sonraki gözlemleri "plage" bölgesinde soğuk lekenin ne zaman oluşacağını ve nasıl gelişeceğini anlama bakımından önemlidir.

KAYNAKLAR

- Barksdale, W.S., 1989, Özel Görüşme.
 Bieldman, W.P., and MacConnell, D.J., 1973, *Astr. J.*, 78, 687.
 Boyd, L.J., Genet, R.M., Hall, D.S., Barksdale, W.S., Fried, R.E.,
 Henry, G.W., Pearsall, J.E., and Wasson, N.F., 1985,
 Inf. Bull. Var. Stars, No. 2696.
 Eggen., O.J., 1978, *Astrophys. J.*, 222, 203.
 Hall., D.S., 1983, I.A.P.P.P. Communication No. 13, 6.
 Lake, R., 1964, *Mont. Not. Roy. Astr. Soc.*, 23, 136.
 Walter, F.M. and Bowyer, S., 1981, *Astrophys. J.*, 245, 671.
 Strassmeier, K.G., Hall, D.S., Barksdale, W.S., Jusick, A.T., Henry, G.W.,
 1990, *Astrophys. J.*, In Press.

N. GUDUR: Yıldız hem yavaş dönüyor, fakat buna karşın çok aktif diyorsunuz ve bu en önemli bir özellik olarak gözüküyor. Yavaş döndüğünü o verdiğiniz döneme bakarak mı söyleyorsunuz?

F. ÖZEREN: Evet.

N. GUDUR: Yoksa V Sin i değerleri var mı?

F. ÖZEREN: Strassmeier ve arkadaşları onu da bulmuşlar. Onlar da aynı zamanda 335 günlük bir dönem bulmuşlar ve bir dergiye gönderilmiş ama henüz yayınlanmamış.

M. ÖZEL: Bu döneminin sisteme deki dönemlerin bir tanesi 33 bir tanesi 35 gün sonra. Acaba bu 33 ve daha sonra rapor edilen periyotlarda da bir şey var mı? Sistemin içinde, o tamamen yanlış yapılmış bir gözlem veya yanlış yorum mu?

F. ÖZEREN: 33 günlük dönemde birsey diyemeyeceğim ama biz 1988 yılında, 1981'de yaptığımız gözlemleri incelerken, ve dönem analizi yaparken Ethem bey anlatmıştı, bir kriterle bunu belirledik. Elde ettiğimiz eğrilerde iki kritik değer vardı, yani minimum değer, biri tam 150000'e karşılık geliyordu. Biraz daha çözümü ilerletince 334000 bulunuyordu. Sanırım o çalışmada 150000'lik çözümü yayınlamış olabilirler.

M. ÖZEL: Mesela bu 330 ile sizin bulduğunuz 10 kat, öbürü beş kat, sanki harmonik bir etkihin onlar için söz konusu olabileceğini düşündürüyor.

E. DERMAN: Şöyle daha açık söyleyebilirim. Dönem çok uzun olduğu için bir dönem gözlediğimiz zaman sadece iniş kolunu veya çıkış kolunu gözleyebiliyorsunuz. Bizim 1981-1982 de gözlediğimiz sadece iniş koluydu. Çıkış kolu Strassmeier ve arkadaşlarıyla Hall'un gözlemlerinden elde edilmiştir. Ama tek bir sezon gözleyip de yıldızın dönemine bakalım dediğimiz zaman birçok yanlış evrelere gidiyorsunuz. Ama tüm gözlemleri biriktirip dönem analizini yaptığımız zaman gözlem sayısı fazla olduğu andan itibaren çok daha gerçek dönemlerin ne olduğunu bulabiliyorsunuz.

A. ESENDEMİR: Ben bir şey hatırlatmak istiyorum leke var derken, o lekenin Sin i değerine çok bağlı olduğunu hiç hatırlan çıkarmamak lazım. 0.25 fazında bir leke olması lazım kuramını çıkartmak pek kolay bir işlem değil.

E. DERMAN: Sadece şematik bir gösterim. O gözlemlere şunun için ihtiyaç hissettim. Bu seneki gözlemlerimizde morötesi bölgede aktiflik gördük. Halbuki daha önce leke'den kaynaklanan bir ışık değişimi vardı. Onun için şematik olarak 1981-1982 yılı için yıldızın yüzeyinde enlemine boyalamıza bakmadan, ama evresine bakarak, bir leke oturttuk. O leke'den dolayı ışığın nasıl değiştığını gösterdik, bu seneki gözlemleri açıklamak için de surge'lerden itibaren bir leke oturtularak onun nasıl değiştiğini gösterdik. Sadece şematik, yani konumu, enlemi ve boyamı gözönüne alınmaksızın.

A. ESENDEMİR: Yani lekeyi oturttuktan sonra böyle bir modelden nasıl bir ışık elde edilir çalışması var mı?

E. DERMAN: Yok.

M. ÖZEL: Yani iki ayrı yere iki leke oturtulmuş.

E. DERMAN: Biri leke, biri surge.

UX Arietis * in Fotoelektrik Işıkölçümü

Fehmi EKMEKÇİ, Cemal AYDIN, İ. Ethem DERMAN

Ankara Üniversitesi, Fen Fakültesi, Astronomi ve Uzay Bilimleri Bölümü, ANKARA

ÖZET: Bu çalışmada, RS CVn türü tayıfsal çift olan UX Ari(HD 21242) sisteminin A.Ü. Gözlemevinde 16 Ağustos-12 Aralık 1988 dönemi(18 gece) ile 6 Eylül-1 Aralık 1989 döneminde(25 gece) yapılan üç renk(U,B,V) fotoelektrik ışıkölçüm gözlemleri değerlendirilip sistemin ışık eğrisi incelenmiştir. Diğer çalışmaların ışık eğrileri ile bir karşılaştırma olanağını sağlamak için sistemin parlaklığını, gözlemevindeki teleskoba ilişkin dönüşüm katsayıları kullanılarak standard UBV sistemine dönüştürülmüştür. Sistemin 1972 den beri yapılmış gözlem verileri taramış ve ışık eğrisinin değişim özelliklerini incelenmiştir. ışık eğrisindeki genlik değişimleri ile minimum ışık evresinin kaymasından yararlanarak etkinlik çevrimi tartışılmıştır.

I. GİRİŞ

UX Ari (HD 21242) tutulma göstermeyen ($\delta \sim 60^\circ$) RS CVn türü, çift çizgili tayıfsal bir çift yıldız sistemidir. Sistemin bileşenleri Carlos ve Popper(1971) tarafından G5 V ve K0 IV olarak sınıflandırılmıştır. Atkins ve Hall(1972), UBVJHKL gözlemlerinden, daha soğuk olan bileşenin kısa dalgaboyundaki parlaklıklardan K0 IV olabileceğini ama uzun dalgaboyundaki parlaklıklardan K3 IV olabileceğini bulmuşlardır. Ayrıca sistemin kırmızıöte artığı gösterdiğini ve bu artığın yıldızı çevreleyen büyük bir toz bulutundan daha çok yıldızın kendine has bir özelliğinden kaynaklandığını belirtmişlerdir.

Sistemin IUE uydusu ile alınmış tayflarının incelemesinden kromosferik ve geçiş bölgesi salma çizgilerinin şiddetlerinde zamanla(aynı zamanda evreye göre) bir değişim görülmüştür(Ekmekçi ve Aydin(1988) , Ekmekçi,F.:yayınlanmamış doktora tezinden). Bu değişim sistemin moröte etkinliği olarak değerlendirilmiştir. Simon ve ark.(1980), bir flare olayı esnasında MgII profilinde gözlenen asimetrik özelliği, K yıldızını G yıldızına birleştiren manyetik ilmekler boyunca bir kütle(madde) akışına bağlamışlardır.

Radyo salması gösteren sistem, Gibson ve ark.(1975) tarafından incelenmiş ve 1974 yılındaki gözlemlerinde en az iki algol-türü flare olayını gösterdiğini ve 11-14 Ağustos 1974'deki flarenin düşmesi esnasında tayfin tersine döndüğünü, radyo salmasının ısisal-olmayan bir süreçten kaynaklandığını bulmuşlardır. Spangler(1977), bu sistemin radyo salmasının bir jirosinkrotron kaynaktan ileri geldiğini ve bu kaynağın serbest-serbest soğurma için optik olarak kalın olduğunu ileri sürmüştür. Johnston ve ark. (1985) VLBI (Very Long Baseline Interforemetry) ile yapılan gözlemlerde, radyo salmasına ilişkin boyutun $\sim 10^{12}$ cm ($\sim 14 R_\odot$) yöresinde olabileceğini belirtmişlerdir. Massi ve ark. (1988), UX Ari'nin VLBI gözlemlerinden radyo salmasının, bileşenler arasındaki uzaklıkla($\sim 16.5 R_\odot$) karşılaştırılabilir bir boyuta sahip olan yaygın bir bölgeden geldiği sonucunu çıkarmışlardır.

Sistemin yumuşak X-ışın kaynağı olduğunu ilk bulan(Ağustos 1977 de) Walter ve ark.(1978) olmuştur. HEAD-1 gözlemlerinden kaynağın X-ışın luminositesi 2.1×10^{31} erg/s (0.15 - 2.8 keV) ve sıcaklığı 10^7 K olarak saptanmıştır. UX Ari'nin tayı bir bremsstrahlung tayı ile tanımlanmaktadır. Şubat 1978 gözlemlerinde 0.98 ile 0.15 evrelerindeki üç taramada hiç bir X-ışın kaynağı saptanamamış ama 0.27 ile 0.35 evreleri arasında 6 ay öncesinde olduğu gibi ışınım gücү benzer olan X-ışın kaynağı saptanmıştır(Walter ve ark. 1980). Landis ve ark.(1978)'nın verilerinden ekstrapolasyon yapan Walter ve ark.(1980), sistemin 0.1 evresinde maksimum ışığa sahip olduğunu ve fotometrik dalganın X-ışın gözlemi esnasında minimumda olduğunu belirlemiştir. Ağustos 1977 deki X-ışın gözlemlerinde ise maksimum ışık evresi kapsamamıştı. Şubat 1978 gözlemlerinden, X-ışın salması yapan bölgenin boyutunun yıldızın boyutu ile karşılaştırılabilir düzeyde olduğu(koronal gazın yüksekliği $R < 0.1R_*$)

ve koronal ilmeğin 3×10^{10} cm boyutta olduğu kestirilmiştir (güneş aktifken, koronal ilmeklerin boyutu 3×10^{10} cm yoresindedir). X-ışın salması yapan koronanın bu limit yüksekliği, yukarıda belirtilen X-ışın salmasının gözlenen tutulmasından bulunmuştur (Walter ve ark. 1980). RS CVn'lerde X-ışın kaynağının, sıcaklığı yüksek koronal plazma olduğu ileri sürülmektedir.

2. GÖZLEMLER

RS CVn türü yıldızların üç renk (U,B,V) fotoelektrik ışıkölçümü projesi çerçevesinde, UX Ari'nın Ağustos 1988'de başlatılan A. Ü. Gözlemevindeki fotoelektrik ışıkölçüm gözlemleri, 16 Ağustos-12 Aralık 1988 ile 6 Eylül-1 Aralık 1989 arasında olmak üzere iki dönemde yapılmıştır. Gözlemler halen program çerçevesinde devam etmektedir.

Tutulma göstermeyen UX Ari sisteminin diferansiyel parlaklıkları 62 Ari (HD 020825) yıldızı mukayese alınarak elde edilmiştir. 62 Ari'nın parlaklığının V de $\pm 0^m.01$ ve U da $\pm 0^m.02$ 'lik bir yanılıgы dahilinde sabit kaldığı Hall ve ark. (1975) tarafından bulunmuştur. Diferansiyel ölçümler Değişen-Mukayese şeklinde dir. Bu diferansiyel parlaklıklar gözlemevindeki 30 cm'lik Maksutov teleskopun dönüşüm katsayıları (Müyesseroglu, Z., 1983) kullanılarak standard parlaklıklara dönüştürülmüştür. 62 Ari için, Hall ve ark. (1975) tarafından kullanılan $V = 5^m.54$, $B-V = 1^m.12$ ve $U-B = 0^m.95$ değerleri alınmıştır. Evreler, Carlos ve Popper (1971) tarafından verilen

$$HJD = 2440133.766 + 6^g.43791E$$

ışık elemanlarına göre bulunmuştur. Burada "sıfır" evresi, soğuk bileşenin bakış doğrultusu boyunca onde olduğu duruma karşılık gelmektedir.

Her iki gözlem döneminde elde edilen fotometrik veriler Çizelge 1'de verilmektedir. Bu çizelgedeki genlikler minimum parlaklıktan maksimum parlaklık değeri çıkarılarak elde edilmiştir. Işık eğrilerinin minimum ve maksimum parlaklık değerleri ile bu parlaklıklara karşılık gelen evreler,

İşik eğrisini temsil eden en iyi polinom fitinden (3., 4. veya 5. dereceden olan uygun polinom fiti seçilerek) yararlanarak bulunmuştur. 1988 yılında yapılan gözlemler Şekil 1'de verilmektedir. 1988 dönemi gözlemlerinden ~3.5 saatlik gözlemi içeren 26 Ağustos 1988 gecesine ait parlaklıklarda, özellikle U renginde $\sim 0^m.4$ lük bir değişim olmuştur. B ve V renklerinde bu değişim çok daha küçüktür. Bu saçılmanın nedeni tam anlamıyla anlaşılamadığı için ışık eğrilerine polinom fit ederken bu geceye ait veriler değerlendirmeye alınmamıştır. 26 Ağustos 1988 gecesine ait ışık eğrileri Şekil 2'de verilmektedir. 1989 yılında yapılan gözlemlerin ışık eğrilerinde dikkate değer olan ve düzenli bir görünüm veren saçılmanın dikkatli bir incelemesi, bu dönemdeki gözlemlerin iki grupta olduğunu ve böylece iki ayrı fotometrik özelliğin ortaya çıktığını göstermiştir. Bunlardan ilki 6 Eylül-24 Eylül 1989 ışık eğrileri ve ikincisi 26 Eylül-1 Aralık 1989 ışık eğrileri olarak değerlendirilmiştir. Şekil 3'de 6-24 Eylül 1989 ışık eğrileri ve Şekil 4'te de 26 Eylül-1 Aralık 1989 ışık eğrileri verilmiştir. Şekil 1, 3 ve 4'de verilen gözlemlerin verileri yukarıda belirtildiği gibi Çizelge 1'de verilmektedir. Sistemin B-V ve U-B renkleri evreye bağlı olarak bir değişim göstermemekte ama ortalama değerleri her dönemde değişmektedir. Bu renklerin evreye göre grafiği Şekil 5 'de verilmektedir.

3. GÖZLEMLER ÜZERİNE TARTIŞMA

Her ne kadar U bandında genel olarak görülen gözlemsel saçılma bu bandın duyarlığının diğer bandlardan daha kötü olduğunu göstermiş ise de, 26/8/1988 gecesine ait gözlemlerdeki(Şekil 2) saçılmanın dikkatli bir incelemesi, her üç bandda görülen değişimler ile gözlem sırasında yapılan voltaj değişimi ve sıfır ayarlamasının etkileri gözönünde bulundurularak sisteme bir bünyesel ışık değişiminin varolabileceğini göstermektedir. Ancak daha önce, bu kadar uzun bir gözleme ne rastlanmış ne de yapılmıştır. Sistemin dönemine göre kısa süreli böylesi değişimlerin gerçekten olup olmadığını anlamak için benzer şekilde ~4 veya 5 saatlik gözlemlerin yapılması gereklidir.

Çizelge 1 'de verilen gözlem sonuçlarına göre, sistem 1989-I 'de tüm

renklerde daha parlak olmuştur. Her gözlem döneminde ortalama parlaklık değişirken, genlikler de bu değişime bağlı olarak değişmektedir. Minimum ışık evresindeki ileri-geri kaymalar açıkça görülmekte ve bu kaymanın da parlaklıklı ilişkili olduğu göze çarpmaktadır. B ve V renklerinde maksimum parlaklık arttıkça(değeri küçüldükçe) minimum ışık evresi geriye kaymakta, azaldıkça da(değeri büyündükçe) minimum ışık evresi ileriye doğru kaymaktadır. Oysa bu durum U renginde tersine olmaktadır. Genlik değişimini ile minimum ışık evresinin kayması arasında da aynı özellikler görülmektedir. V renginde genlik hemen hemen sabit kalırken B'de azalıyor ve bunlara karşılık gelen minimum ışık evresi geriye kayma gösteriyor. Oysa U renginde genlik artıyor ve minimum ışık evresi ileriye doğru kayma gösteriyor. Ancak her üç dönemde V rengindeki minimum ışık evresi hemen hemen sabit kalırken genlikte çok az bir değişim olmaktadır. Diğer renklerde ise çok önemli bir değişim hem genlikte ve hem de minimum ışık evresinde olmaktadır. Sistemin ortalama parlaklığı 1988 den beri artmıştır.

Düger taraftan her üç gözlem döneminde elde edilen V rengindeki noktalar elle çizilen ortalama eğrilerle temsil edildiklerinde(gözlem noktaları yeterli olmamakla beraber), ilk bakışta ışık eğrilerinin maksimumları yöresinde belirgin olan çöküntüler göze çarpmaktadır. Bu çöküntü her dönemde sabit kalmamakta ve çöküntünün genel görünümü de değişmektedir. V rengindeki ışık eğrilerinde minimum ışık evresi hemen hemen sabit kalırken bu çöküntü ileri evrelere doğru kayma göstermektedir. Bu çöküntüler B ve U renklerinde V'dekilerden daha geniş olmaktadır ama düzenli bir şekilleri yoktur.

Sistemin B-V ve U-B renkleri tüm gözlemlerde evreye bağlı olarak bir değişim göstermemektedir. 1988 gözlemlerinde ortalama $B-V=0^m.87 \pm 0^m.02$, $U-B=0^m.44 \pm 0^m.06$ olmakta ve 1989 da bu ortalama değerler $B-V=0^m.86 \pm 0^m.04$ ve $U-B=0^m.44 \pm 0^m.05$ olmaktadır(Şekil 5). Montle ve Hall(1972), ortalama renk ölçütlerinin $B-V=0^m.91$ ve $U-B=0^m.48$ olduğunu bulmuşlardır. O halde sisteme 1972 den beri bir sıcaklık artışı olabilir. B-V değerinde düzenli bir azalmanın olduğu veya hem azalma ve hem de artmanın olabileceği açık değildir. Çünkü yayılarda genellikle B-V ve U-B değerleri verilmemektedir.

4. SİSTEMİN ETKİNLİĞİ

Tayfsal verilerden olduğu gibi ışıkölçüm verilerinden de sistemin etkinliği hakkında bilgi edinilebilir. Bunun için, UX Ari'nın 1972 den beri yapılan gözlemlerinin sonuçları taramış ve ışık eğrilerine ilişkin parametreler değerlendirilmiştir. Genelde V renginde yapılan gözlemler çoğunlukta olduğu için bu renkteki verilerden sistemin etkinliği araştırılmıştır. ışık eğrilerinin $\Delta V = V_{\min} - V_{\max}$, genliklerinin minimum ışık evresine göre değişimini incelenmiş ve bu değişimin yıllara göre dağılımı da araştırılmıştır. Elde edilen grafik Şekil 6 da verilmektedir. Şekilden görüleceği gibi minimum ışık evresi genelde geriye doğru kaymaktadır, ama etkinlik olayının bir süreci içinde zaman zaman ileri doğru kaymaktadır. 1984.9 yılında bir maksimuma ulaşan etkinlik sürecinin 1979.9 da başladığı ve hala devam ettiği, muhtemelen önümüzdeki yıllarda sona erecek gibi olduğu görülmektedir. Diğer taraftan 1972.8 de bir maksimuma sahip olan ilk etkinlik sürecinin tümü, veri yetersizliğinden açık bir şekilde görülememektedir. Ancak kesin olan şudur : sistem 1976 da sakinliğe erişmiş ve 1977.1 ile 1979.2 deki flarelerle birlikte(1979 daki flare MgII h ve k profiline çok iyi görülmektedir(Simon ve ark.,1980)) bu sakin durum 1979.9 'a dek sürdürmüştür. Ne yazık ki 1977.1 ile 1979.2 arasında yapılmış gözlemlere rastlanmamıştır. Aslında bu veriler çok önemlidir. Çünkü minimum ışık evresinin ileri-geri kayması daha kesin olacaktır. Biz burada geriye kayma olduğunu kabul ediyoruz. Ayrıca bu aradaki geriye kaymayı ele almamızın diğer bir nedeni 1976 da biten etkinlik sürecinden sonra 1979.9 da başlayan etkinliği birbirlerinden ayırip bu iki etkinliğin daha belirgin olmalarını sağlamaktır(Böylece aynı yerdeki olası bir çakışma önlenmiş oluyor).

1976 da başlayan sakin durum 1979.9 da bitmiştir. Yani ~4 yıllık bir sükunet vardır. Maksimum genliklere göre ise $1984.9 - 1972.8 = 12.1$ yıllık bir çevrim olmuştur. İlk sükunete varma zamanı 1976 dan ikinci bir sükunete varış zamanına kadar geçen süre olarak, ikinci bir etkinlik sürecinin sükunete varış zamanı henüz kesin olmamakla beraber eğer 1989.8 yılı veya 1990 yılı gözönüne alınırsa, $1990 - 1976 = 14$ yıllık bir etkinlik çevrimi elde edilmiş olur. Diğer taraftan 1979.9 da başlayan ikinci etkinlik sürecinde geçen zaman, bunun tamamlanmamış bir süreç gibi

görünmesine karşın 1989.8 veya 1990 yılı dikkate alınarak ~10 yıl olmaktadır.

Hall(1977), 1974-75 verilerine Fourier analizini uygulayarak, dalga gögü(geriye kayma şeklinde) döneminin 15 veya 20 yıl yöresinde olduğunu kestirmiştir. Landis ve ark.(1978), dalga gögü döneminin ~8 yıl olduğunu ileri sürdüler. Sarma ve ark.(1983), genlik değişimi ile min ışık evresinin yıllara göre durumlarını inceleyerek, her bir çevrim için 5-6 yıllık bir dönemi ileri sürmüştür ve şimdije kadar olaşı üç çevrimin olabileceğini göstermişlerdir. Busso ve ark.(1986) ise, 1972-1985 arası gözlemlerin genlik değişimi ile minimum ışık evresi kaymasından yaklaşık 8 yıl süren iki çevrimi bulmuşlardır. Mohin ve Raveendran(1989), 1984-88 deki BV fotometrik gözlemlerini daha önce yayınlanmış gözlemlerle birlikte değerlendirerek, hemen hemen sinüzoidal olan dalganın genliğindedeki değişim döneminin 13-14 yıl yöresinde olduğunu bulmuşlardır.

5. SONUÇ

Radyo gözlemleri Giriş kısmında belirtildiği gibi $\sim 14R_\odot$ boyutlu bir kaynağın varlığını göstermektedir. X-ışın gözlemlerindeki tutulma olayı da X-ışın kaynağının yaygın bir bölge olduğunu göstermiştir(Walter ve ark., 1980). Kromosferik MgII h ve k salma çizgilerinin ve özellikle KO IV yıldızına ait k profilinin maksimumları belirgin bir şekilde ikiye ayrılmıştır. Bu da KO IV bileşenini saran gaz küresinin bir delili olabilir (Ekmekçi, F.:yayınlanmamış doktora tezinden).

Sistemin moröte artığı(Rhombs ve Fix, 1977) ile kırmızı öte artığı(Scaltriti,1989) göstermesinin nedeni, yukarıda sözü edilen gaz küresine bağlanmaktadır. Bununla beraber Atkins ve Hall(1972), kırmızı ötedeki bu artığın yıldızı çevreleyen büyük bir toz bulutundan kaynaklanmadığını ileri sürmüştür. Pfeiffer(1979) ise polarizasyon gözlemlerinden, yıldızı çevreleyen soğuk maddenin varlığını belirtmiştir.

Yukarıda sözü edilen gözlemsel verilere dayanarak, söz konusu gaz küresinin sistemin toplam ışınımına katkısı olabileceği söylenebilir. Belki de sistemdeki ışık değişiminden de bu gaz külesi sorumlu olabilir. Eğer sistemde pek çok yazarın ileri sürdüğü gibi bir leke etkinliği varsa, bu

lekeler, geniş sıcak atmosferin yüksekteki katmanlarında veya bu gaz küresinin alt katmanlarında olabilirler. Diğer taraftan, Huenemoerder ve ark.(1989), fotometrik ve tayfsal etkinliğin farklı bölgelerden kaynaklanabileceğini belirtmişler ve H_{α} ve H_{β} daki tayfsal analizden sistemin geometrisini vermişlerdir. Huenemoerder ve ark.(1989) 'na göre sistemin KO IV bileşeni Roche lobunu doldurmak üzeredir ve KO IV den G5 V e bir kütle aktarımının delili olarak, sistemde görülen artık soğurmayı göstermişlerdir. KO IV 'nın üzerindeki soğuk bölgelerin varlığını, biraz kuvvetli olan TiO 'in varlığına bağlamaktadır.

Son zamanlarda gelişen "Doppler Imaging" tekniğinin bize leke konularında ayrıntılı veri sağlayacağını ve bu lekelerin gerçek doğası hakkında bilgi verebilmesini ümidiyoruz(Vogt ve Hatzes, 1990).

İşik eğrilerinin tartışmasını yaparken yardımlarını esirgemeyen Prof. Dr. Osman Demircan'a teşekkürü bir borç biliriz. Ayrıca gözlemlerde katkısı olan tüm Araştırma Görevlileri ile son sınıf öğrencilere teşekkür ederiz.

ÇİZELGE-1. UX Ari 'nın U, B ve V bandlarında elde edilen fotospektrokıııklu verileri.
Çizelgede 1988 ,1989-I ve 1989-II gözlemleri, sırasıyla 16/8-12/12/1988
gözlem döneminin, 6/9-24/9/1989 gözlem döneminin ve 26/9 - 1/12/1989
gözlem döneminin kısaltılmış gösterimleriidir.

RENK	GÖZLEM DÖNEMİ	GENLİK (Kadır)	MİN. İŞIK EVROSU	MİN. PARLAKLIK (Kadır)	MKS. PARLAKLIK (Kadır)	ORTALAMA PARLAKLIK (Kadır)
U	1988	0.08	0.72	7.85	7.77	7.81
	1989-I	0.13	0.84	7.82	7.69	7.75
	1989-II	0.09	0.71	7.82	7.73	7.78
B	1988	0.14	0.76	7.44	7.30	7.37
	1989-I	0.08	0.63	7.37	7.29	7.33
	1989-II	0.12	0.75	7.42	7.30	7.36
V	1988	0.15	0.80	6.57	6.42	6.49
	1989-I	0.15	0.79	6.55	6.40	6.48
	1989-II	0.12	0.80	6.54	6.42	6.48

KAYNAKLAR

- Atkins, H.L., Hall, D.S., 1972, Publ. A.S.P.,**84**, 638.
- Busso, M., Scaltriti, F., Cellino, A., 1986, Astron. Astrophys.,**156**, 106.
- Carlos, R.C., Popper, D.M., 1971, Publ. A.S.P.,**83**, 504.
- Ekmekçi, F., Aydin, C., 1988, VI Ulusal Astronomi Kongresi Tebliğleri, Ed. Prof. Dr. İ. Yavuz, s219.
- Gibson, D.M., Hjellming, R.M., Owen, F.N., 1975, Ap. J.(Letters),**200**, L99.
- Guinan, E.F., McCook, G.P., Fragola, J.L., O'Donnell, W.C., Weisenberger, A.G., 1981, Publ. A.S.P.,**93**, 495.
- Hall, D.S., Montle, R.E., Atkins, H.L., 1975, Acta Astron.,**25**, 125.
- Hall, D.S., 1977, Acta Astron.,**27**, 281.
- Huenemoerder, D.P., Buzasi, D.L., Ramsey, L.W., 1989, A. J.,**98**, 1398.
- Johnston, K.J., Wade, C.M., Florkowski, D.R., de Vegt, C., 1985, A. J.,**90**, 1343.
- Landis, H.J., Lovell, L.P., Hall, D.S., Henry, G.W., Renner, T.R., 1978, A. J.,**83**, 176.
- Massi, M., Felli, M., Pallavicini, R., Tofani, G., Palagi, F., Catarzi M., 1988, Astron. Astrophys.,**197**, 200.
- Mohin, S., Raveendran, A.V., 1989, J. Astrophys. Astr.,**10**, 35.
- Montle, R.E., Hall, D.S., 1972, IBVS, No.646.
- Müyesseroglu, Z., 1983, Y.L. Tezi, A.Ü. Fen Bil. Enst., Ankara.
- Rhombs, C.G., Fix, J.D., 1977, Ap. J.,**216**, 503.
- Sarma, M.B.K., Prakasa Rao, B.V.N.S., Ausekar, B.D., 1983, IBVS, No.2357.
- Scaltriti, F., 1989, in Active Close Binaries, Infrared Studies on Active Binaries and Circumstellar Matter, NATO ASI Toplantısı, Kuşadası-Türkiye, Editörler : C. İbanoğlu ve İ. Yavuz, Kluwer Dordrecht (Baskıda).
- Spangler, S.R., 1977, A. J.,**82**, 169.
- Vogt, S.S., Hatzes, A.P., 1990, IAU Colloquium, No. 130, in Abstracts of "The Sun and Cool Stars : activity, magnetism, dynamos", p.78.
- Walter, F., Charles, P., Bowyer, S., 1978, Ap. J.(Letters),**225**, L119.
- Walter, F.M., Cash, W., Charles, P.A., Bowyer, C.S., 1980, Ap. J.,**236**, 212.
- Zelik, M., Elston, R., Henson, G., Smith, P., 1982, IBVS, No.2168.

K. AVCIOĞLU: Bu şekilde görülen leke çevrimlerine benzer çevrimlerin elde edildiğini, başka yazarlar tarafından, söylediniz. Minimumlar ve maksimumlar aynı zamanı tutuyor mu? Onlarla karşılaşmalı bir grafik elde etseydiniz, belki daha iyi olurdu. Bu 13-14 yıllık çevriminiz var. Sizin yaptığınız onlarla aynı zamanda elde edilen verilerle mi yapılmış yoksa daha önce mi?

F. EKMEKÇİ: Aynı zamanda değil. Bizim gözlemlerimiz 1988, 8; 1989, 7 çakışmış ve 1989 gözlemleri. Daha önceki çalışmalarla birleştiriktan sonra elde ettigimiz bir çevrim bu.

K. AVCIOĞLU: Yani bunlar başkalarının yaptığı çalışmalarla mı elde edilmiş?

F. EKMEKÇİ: Evet 1988'den önceki değerler diğer yazarların verileriyle.

K. AVCIOĞLU: 13-14 yıllık bir çevrim elde ettığınızı söylediniz. Onlar da bu verilerden mi elde edilmiş? Yoksa tamamen farklı verilerden mi?

F. EKMEKÇİ: Evet, 13-14 yıllık verilerden.

K. AVCIOĞLU: Sistemin büyüklüğünden bahsettiniz. Birisi 3RÖ birisi de altı kusur dediniz. Bunlarda hiç fark yok mu?

F. EKMEKÇİ: Çok fark var. İkisi de Carlos ve Popper(1971)'in öne sunduğu değerler. 1972'lerde spektroskopik çalışmasında, 3RÖ'i öne sürmüştür. Bu farklılık çok düşündürücü bir sonuç.

Z. TUNCA: Benim birkaç sorum var. Birincisi, dalga gögü dönemi ile ilgili değişik değerler elde edilmiş, dalga gögü dönemi elde edilirken izledikleri yol fotometrik ışık eğrisi üzerindeki minimum kaymayla mı elde edilmiş; eğer öyleyse sizin gözlemlerinizdeki, 1989, 7 ve 1989, 8 gözlemlerinde verdığınız U rengindeki 0,12, evrede aynısı, B renginde evrelerin ters tarafa doğru kayması var. Bunları ne şekilde yorumluyorsunuz? Eğer gözlemlerinizdeki bu kaymalar sözünü ettığınız dalga gögünü veriyorsa, bir diğer şekilde gösterdiğiniz 8-14 Eylül'de elde ettığınız ışık değişimini, 26 Eylül-1 Aralık arasında elde ettığınız ışık değişimler var. Bunların ikisi de gayet güzel sinus benzeri eğriler. Birincisi 18 günlük bir aralığı kapsıyor, ikincisi 65 günlük. Eğer öte tarafta sözünü ettığınız 12,1 yılda, 35 günde 12 evre sağa ya da sola doğru kayıyorsa, 65 gün içinde elde ettığınız o değişimin bir band şeklinde, ya da saçılım şeklinde çıkması gerekiyordu; onu nasıl yorumluyorsunuz?

F. EKMEKÇİ: Dalga gögü sinusoidal dalgaya Fourier serisini uyguladıktan sonra dalganın geriye kaymasının, o gözlem aralığındaki süresinden yararlanarak yapılmış.

Z. TUNCA: Tamam, yani o minimum evrenin kayması. Kendi gözlemlerinizi nasıl değerlendiriyorsunuz?

F. EKMEKÇİ: Bizim gözlemlerimiz minimum evrenin genlige göre olan ilişkisinin yıllara göre bir durumudur.

Z. TUNCA: Bundan önceki bildirilerde hızlı bir tartışma şeklinde geçti; genlik, etkinlik ölçüsü olamaz.

F. EKMEKÇİ: Genliğin etkinlik ölçüsü olup olmayağını tartışmak istemiyorum. Fakat genlik artışına neden olan bir olay var, onun üzerinde durmamız gerekiyor.

Z. TUNCA: Lekeden söz edersiniz. Dalga için bozulmayı doğuracak etkilerden, genlik artışını doğuracak fakat etkinliği artırmayacak çeşitli senaryolar yazabilirsiniz. Bunu düşündünüz mü?

F. EKMEKÇİ: Genlik üzerinde durmak istemiyorum. Ben genlik olayı ile ilgilenmiyorum. Fakat genliğin değişiminden, yıldızı çevreleyen bu sıcak gaz küresinin sorumlu olabileceğini ileri sürüyorum.

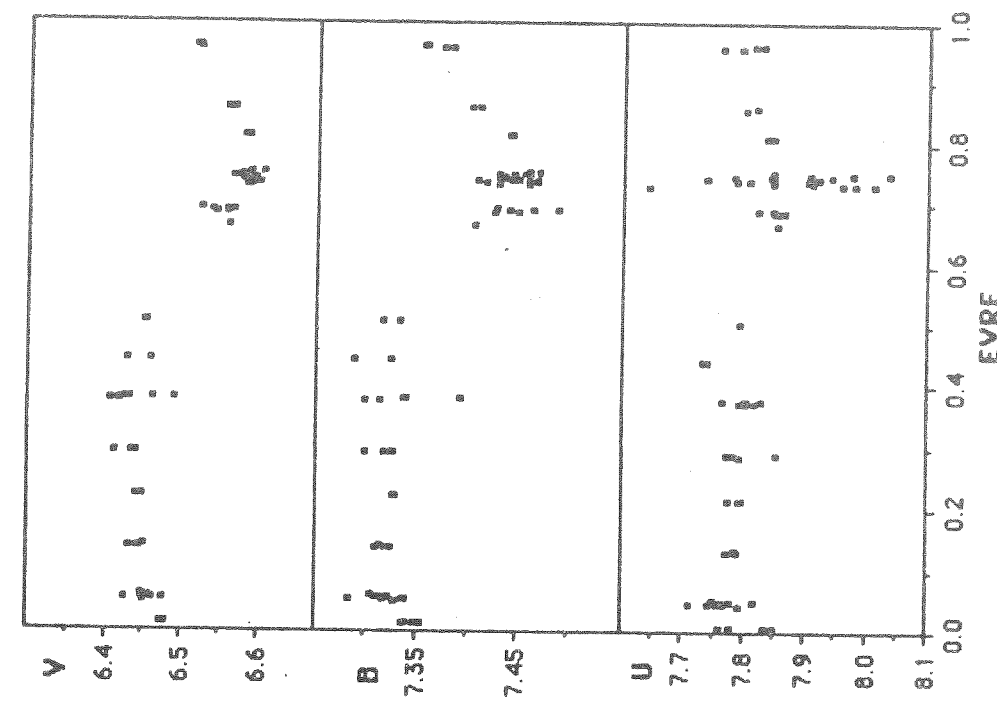
Z. TUNCA: 65 günlük çok güzel sinus benzeri eğri elde edilmesini o diğer kaymaya bağlı olarak nasıl açıklıyorsunuz?

F. EKMEKÇİ: Bizim gözlem yanılıqlarımızın dışına çıktığı için, bunun sadece bir ışık eğrisiyle görecək bir nitelikte olmadığını inanıyorum.

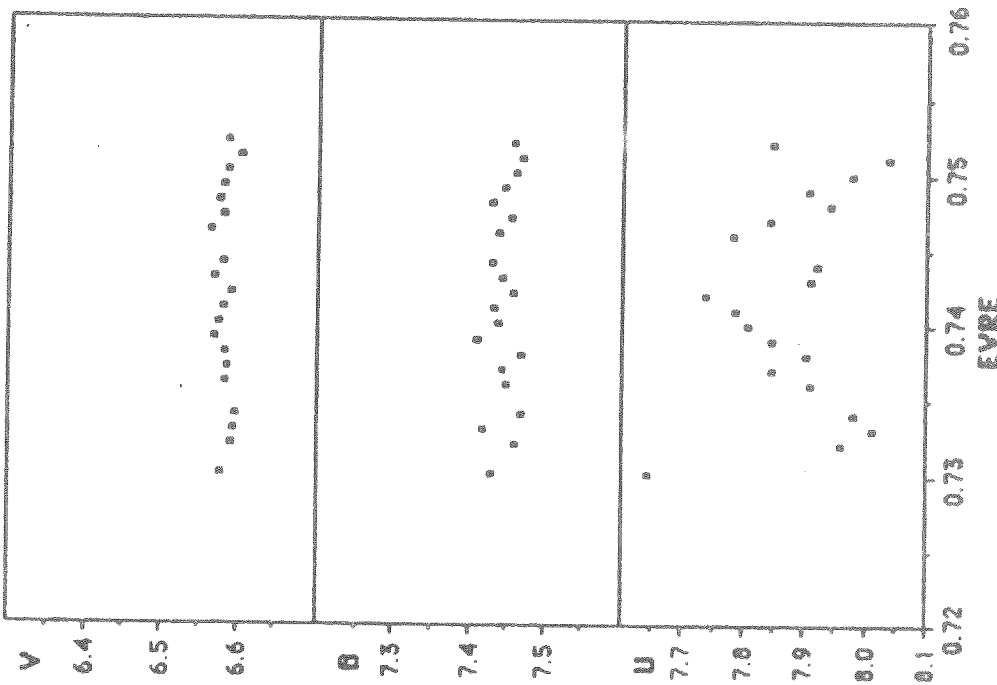
E. DERMAN: AR Lac 40 pc uzaklıkta bir yıldız, UX Ari 50 pc uzaklıkta bir yıldız. AR Lac'in IUE gözlemlerine girdiğimizde Mg'un bu pikindeki soğurma çizgisinin tek açıklama nedeni yıldızlararası ortamdır. Ama 40-50 pc uzaklıktaki bir yıldız ile aramızda bir soğurma ortamı olmayacağı varsayılmışıyla. O zaman Ümit arkadaşımızın bulduğu bir değere göre o kadar soğurma veren bir ortamın varlığını çıkartmışsun sen değil mi? Yani o soğurmayı çıkartabilecek kadar bir yoğunluk vardı. O burada görülüyor.

M. ÖZEL: Bu sistemde radyo ışimasından bahsettiniz. Bu radyo ışimasının ne olduğu hakkında bir fikir var mı?

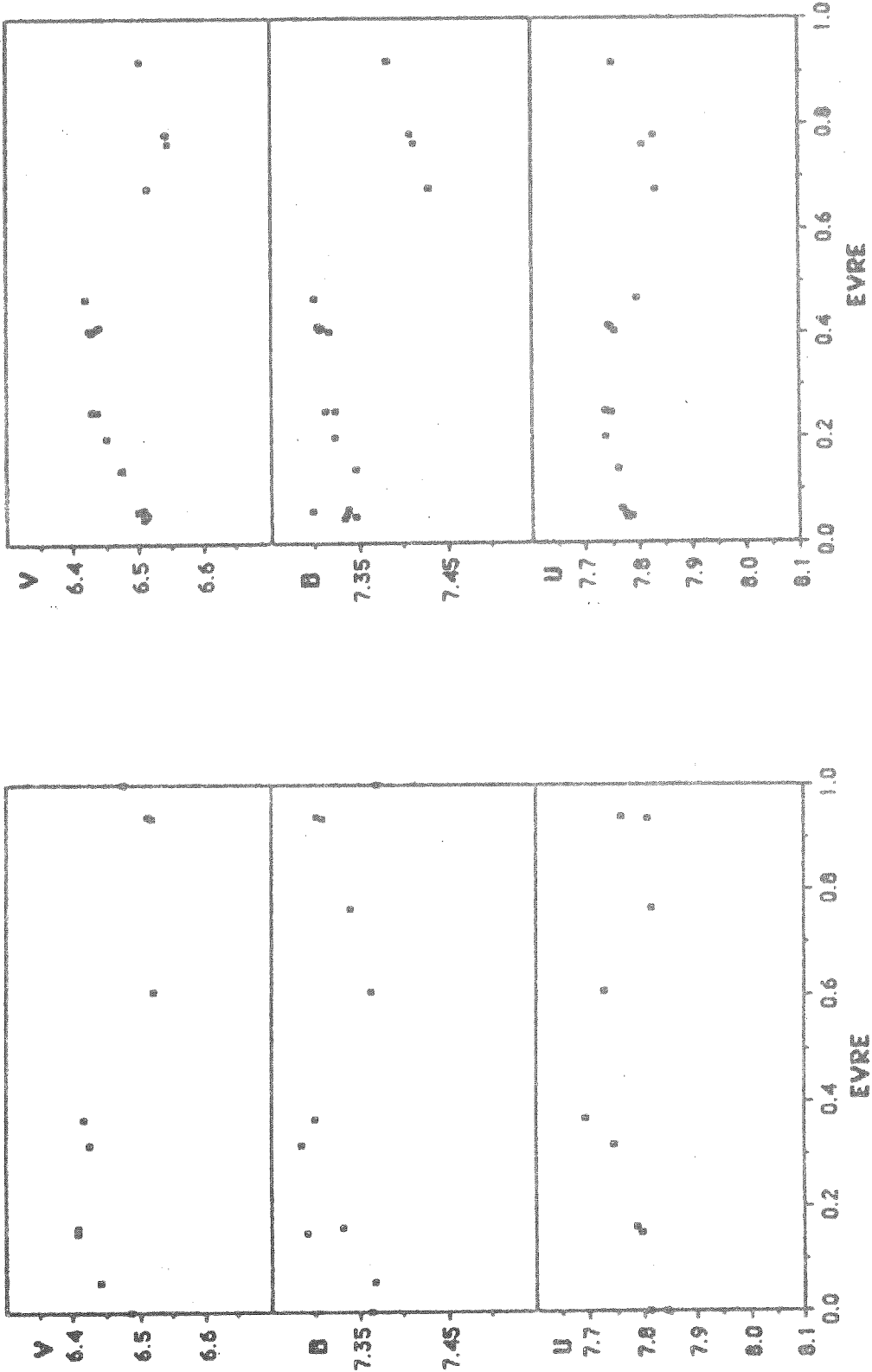
F. EKMEKÇİ: Var. Brehmstrahlung türü bir mekanizma öneriliyor. Zaman zaman spektrel tipi değişen bir salmaya deñiniliyor.



Sekil 1. UX Ari'nin 1986 döneminde V, B ve U bandlarındaki ışık eğrileri.

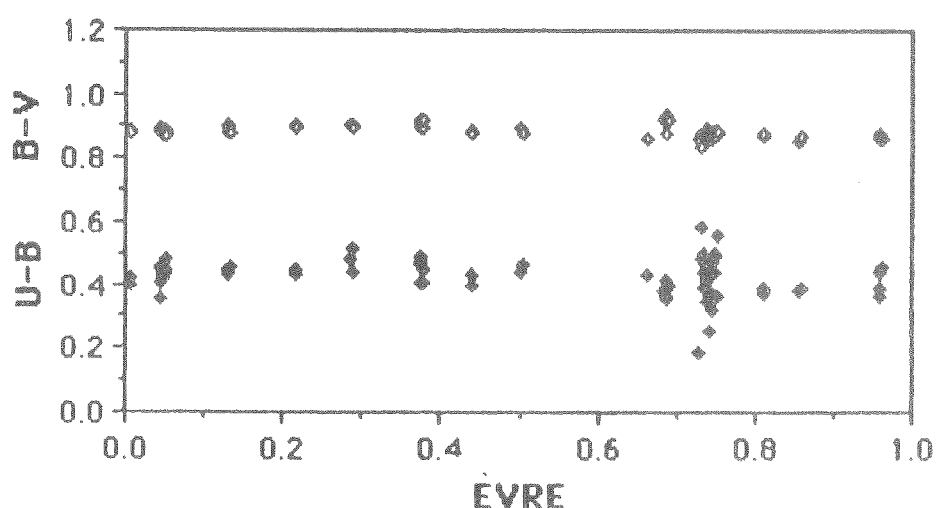


Sekil 2. UX Ari'nın 26/6/1986 geçesinde V, B ve U bandlarındaki ışık eğrileri.

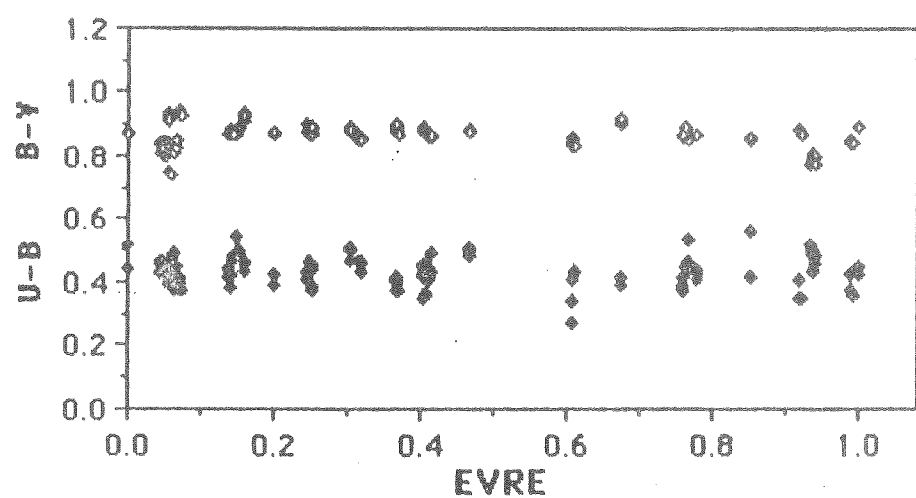


Şekil 3. UX Arı'nın 6-24/9/1989 gözlemleri içinde V, B ve U Şekil 4. UX Arı'nın 26/9-1/12/1989 gözlemleri içinde V, B ve U bantlarında ışık eğrileri.
Şekil 4. UX Arı'nın 26/9-1/12/1989 gözlemleri içinde V, B ve U bantlarında ışık eğrileri.

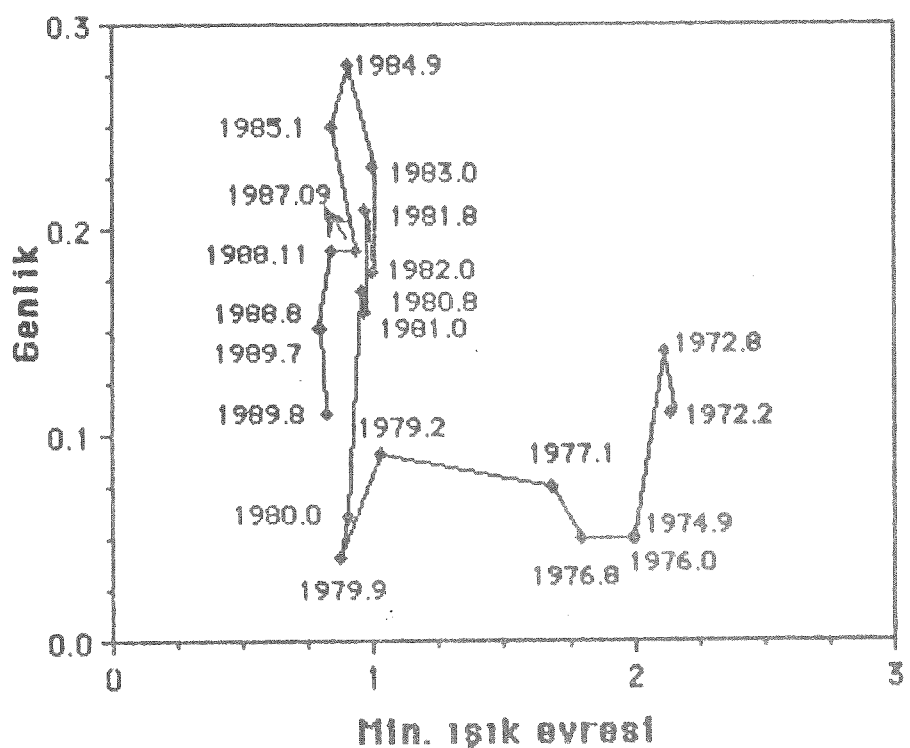
a)



b)



Şekil 5. a) 1988 gözlem dönemine karşılık gelen standart B-V ve U-B renkleri. Renklerin evreye bağlı değişimleri yoktur. Ortalama değerler, $B-V = 0.87 \pm 0.02$ ve $U-B = 0.44 \pm 0.06$ dır.
 b) 1989 gözlem dönemine karşılık gelen standart B-V ve U-B renkleri. Renklerin evreye bağlı değişimleri yoktur. Ortalama değerler, $B-V = 0.86 \pm 0.04$ ve $U-B = 0.44 \pm 0.05$ dır.



Şekil 6. UX ARI'nın, V bandındaki ışık eğrisi genliğinin, minimum ışık evresine göre değişimi. Yıllara göre genliğin ve minimum ışık evresinin değişimi, etkinlik çevriminin 12 - 14 yıl olabileceğini göstermektedir.

AM Leo Değen Çift Yıldızının Işık ve Dönem Değişimleri

H. Dündar, E. Derman, O. Demircan

Ankara Üniversitesi, Fen Fakültesi, Astronomi ve Uzay
Bilimleri Bölümü, 06100 Beşevler-Ankara

ÖZET: ADS 8024=Σ1503 görsel çift yıldızının parlak bileşeni olan W UMa türü yakın çift yıldız sistemi AM Leonis'in yayılmış minimum zamanları literatürden toplanıp, sistemin yörüngede dönemindeki değişimler için analiz edilmiştir. 33892 dönemlik zaman aralığını kapsayan verilerin analizinden sisteme ilişkin yörüngede döneminin 33 yıllık bir dönem ve 0.008 günlük bir genlikle, dönemli bir değişim gösterdiği saptanmıştır. Bu dönemli değişim, sistemde üçüncü bir cismin varlığı ve bunun görsel çift yıldızın diğer bileşeni olup olamayacağı açısından irdelenmiştir. Ayrıca AM Leonis'in ışık değişiminde rol oynadığı varsayılan manyetik etkinlikle dönem değişimini arasında korelasyon aranmıştır.

1. Giriş

ADS 8024 = Σ 1503 görsel çift yıldızının parlak bileşeni olan AM Leo, üzerinde çok çalışılan değen çift yıldızlardan biridir. AM Leo'nun fotometrik değişimi Hoffmeister(1935) tarafından fark edilmiş ve Worley ve Eggen'in (1956) fotoelektirik gözlemleriyle W UMa türü değişen yıldız olduğu görülmüştür. Filtresiz ilk tam fotoelektrik ışık eğrisi Abrami(1959) tarafından elde edilmiştir. Abrami'nin gözlemlerinde minimum derinlikleri 0.56 ve 0.51 kadirdir. Abrami'nin gözlemleri diğer görsel bileşenin ışığında içermektedir. Abrami L₃'ü de bilinmeyen olarak ışık eğrisini Russell ve Merrill(1952) yöntemiyle çözmüştür. Ancak W UMa sistemleri için sağlıklı olmayan yöntem L₃/(L₁+L₂) değerini 0.60 vermiş ve ışık eğrisi L₃ etkisinden arındırıldığında minimum derinlikleri 1.12 ve 1.01 kadir bulunmuştur. Sonradan Eggen(1967) yaptığı duyarlı gözlemlerle ADS 8024'ün bileşenleri arasındaki parlaklık farkını ΔV=1.55 ve ΔB=1.69 bulmuş, buradan da L₃/(L₁+L₂) =0.211 olarak elde edilmiştir. Abrami'nin ışık eğrisi bu doğru değere göre L₃'ün etkisinden arındırılırsa minimum derinlikleri 0.71 ve 0.56 kadir olmalıdır(Binnendijk,1969). Abrami'nin ışık eğrisi çözümleri bu nedenle yanlıştır. AM Leo'nun ışık eğrileri ayrıca Binnendijk(1969) tarafından B ve V'de, Hoffmann ve Hopp (1982) tarafından da B'de 5125 Å ve 5170 Å'da elde edilmiştir.

Sistemin fotometrik analizi Abrami(1959) ve Binnendijk(1969) tarafından Russel-Merrill(1952) yöntemiyle, Mauder(1975) ve Jabbar ve

Kopal(1983) tarafından Fourier analizi yöntemiyle, Twigg (bkz. Mochacki 1981), Hutchings ve Hill(1973) ve Binnendijk(1984) tarafından Roche modelini temel alan sentetik ışık eğrisi yöntemiyle yapılmıştır. Abrami hariç diğerleri fotometrik analizlerde Binnendijk'ın(1969) gözlemlerini kullanmışlardır. Analiz sonuçları çizelge-1'de verilmiştir. Hoffmann ve Hopp'un gözlemleri çok değişim gösterdiği için hiç analiz edilmemiştir.

Sistemin tayf türü F8 olarak verilmektedir(Hill ve arkş. 1975), ancak tayfsal analizi yapılmamıştır. Bu nedenle sistemin salt parametreleri bilinmemektedir.

Bu çalışmada sistemin Ankara Üniversitesi Gözlem evinde yapılan UBV gözlemleri sunulmuş, ışık ve dönem değişimi irdelenmiştir.

Çizelge-1. AM Leo'nun fotometrik analiz sonuçları

	Abrami 1959	Binn. 1969	Mauder 1975	Jab.-Kopal 1983	Twigg 1981	Hutch.-Hill 1973	Binn. 1984
r_1	0.50	0.45	0.45	0.49	0.473	0.483	0.464
r_2	0.33	0.25	0.29	0.24	0.321	0.341	0.316
Ω	—	—	—	—	3.837	—	3.864
i	84.2	82.5	83.3	73.5	85.6	83.5	87.0
k	0.66	0.55	0.628	0.49	0.68	0.71	0.68
q	—	—	—	—	0.415	0.395	0.426
L_g	0.66	0.757	0.714	0.78	—	—	0.659
L_s	0.34	0.243	0.286	0.22	—	—	0.341
T_g	—	—	—	—	6803	5275	6200
T_s	—	—	—	—	—	5350	6380

2. AM Leo'nun Yeni Gözlemleri ve ışık Eğrisindeki Değişimler

AM Leo'nun ışık eğrisinde geceden geceye değişimler olduğu ilk kez Binnendijk(1969) tarafından fark edilmiştir. Abrami ve Binnendijk'ın elde ettiği ışık eğrileri birbirine çok benzemekte ve birinci minimumlar tam tutulma göstermektedir. Buna göre sistem W-türü W UMa sistemidir. Binnendijk, Abrami'nin L_3 etkisinden arındırılmış ışık eğrisinde birinci minimumun biraz sıçrmasının büyük yarıçaplı bileşenin üzerinde soğuk leke bulunması şeklinde

yorumlamıştır. Hoffmann'ın 1977 ve 1980 yıllarında elde ettiği ışık eğrileri minimum derinlikleri ve şekil olarak diğerlerinden oldukça farklıdır. 1977 gözlemlerinde 2. minimum daha derin görünülmektedir.

AM Leo'nun ışık eğrilerinde görülen bu ilginç değişimler nedeniyle sistem Ankara Üniversitesi Gözlemevində 1982 yılında gözlem programına alındı. 1982'de 4 gece, 1988'de 3 gece, 1989'da 3 gece ve 1990'da 3 gece olmak üzere toplam 13 gece gözlenmiştir. Gözlemler 30 cm Maksutov teleskopla U,B,V renklerinde yapılmıştır. Böylece sistemin U renginde ilk fotoelektrik ışık eğrileri elde edilmiştir. Gözlemlerde Binnendijk'in (1969) mukayese yıldızı olarak kullandığı BD+10° 2235 yıldızı yine mukayese yıldızı olarak alınmıştır. Elde edilen ışık eğrileri şekil, 1-2 ve 3'te gösterilmiştir. U renginde gözlemlerdeki saçılma oldukça fazla olduğu halde bu renkte ışık eğrisinin minimum derinlikleri ve eğri biçimleri olarak diğer dalga boyalarındaki eğrilerden farklı olmadığı görülmektedir. Eğrilerde bir O'Connell etkisi fark edilmektedir. İkinci maksimumlar 0.02 kadir daha sönüktür. 1988 gözlemlerinde ikinci minimum daha derin durumdayken 1989 ve 1990 gözlemlerinde birinci minimum daha derindir. Bu değişimlerin aynı fiziksel nedenden kaynaklanıp kaynaklanmadığını anlayabilmek ve değişimlerin karakterlerini ortaya koymak için şimdije kadar elde edilmiş tüm ışık eğrileri yeniden çizildikten sonra minimum ve maksimum seviyeleri okunup B ve V renglerinde ayrı ayrı

$$\Delta_{\min} = \text{mag}(\min I) - \text{mag}(\min II)$$

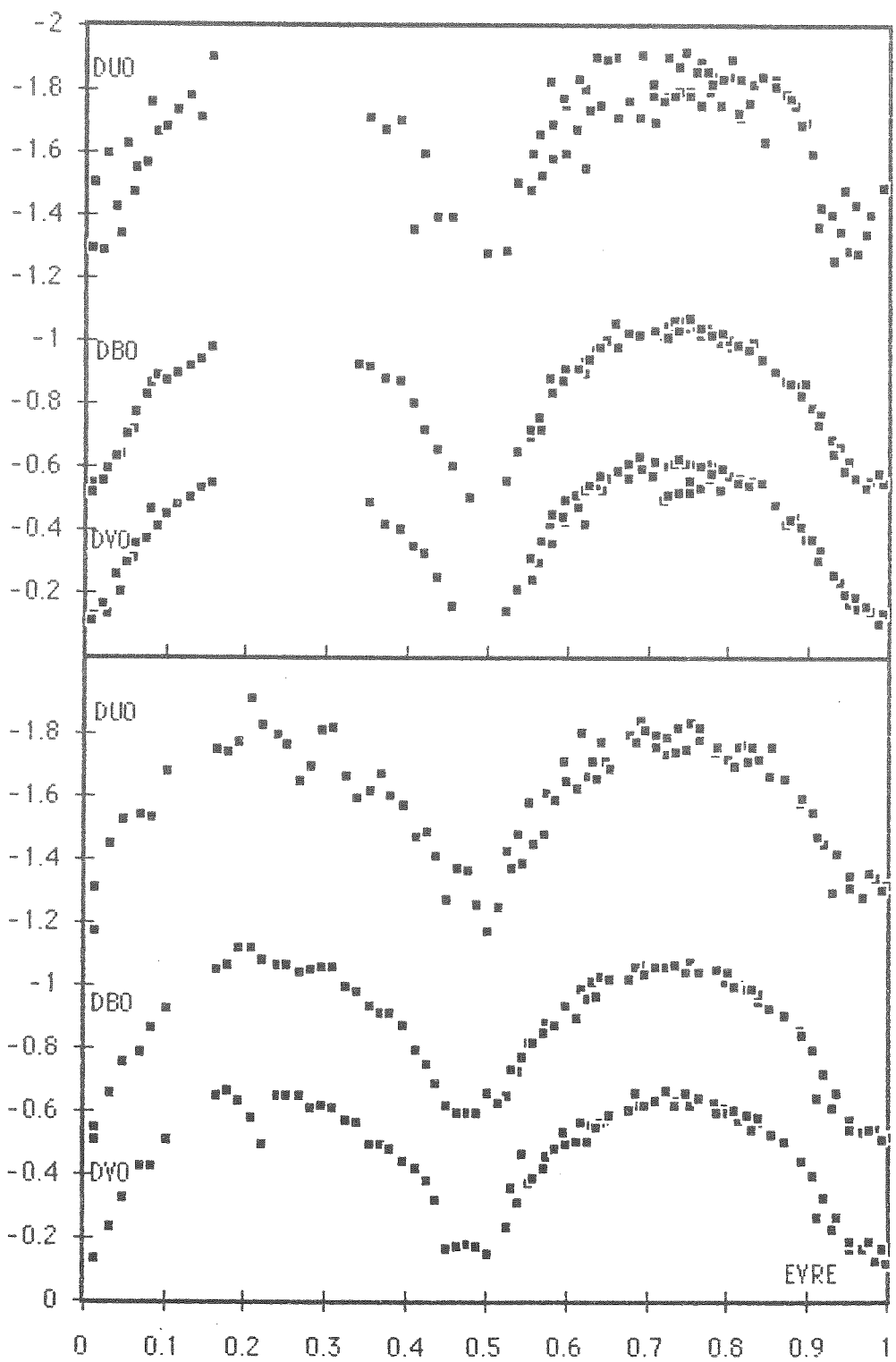
$$\Delta_{\max} = \text{mag}(\max I) - \text{mag}(\max II)$$

$$D_{1,2} = \text{mag}(\min I, II) - \text{mag}(\max I, II)$$

büyükükleri oluşturuldu. Asimetri ölçüsü olan bu büyüküklerin zamanla değişimi şekil, 4 ve 5'te gösterilmiştir.

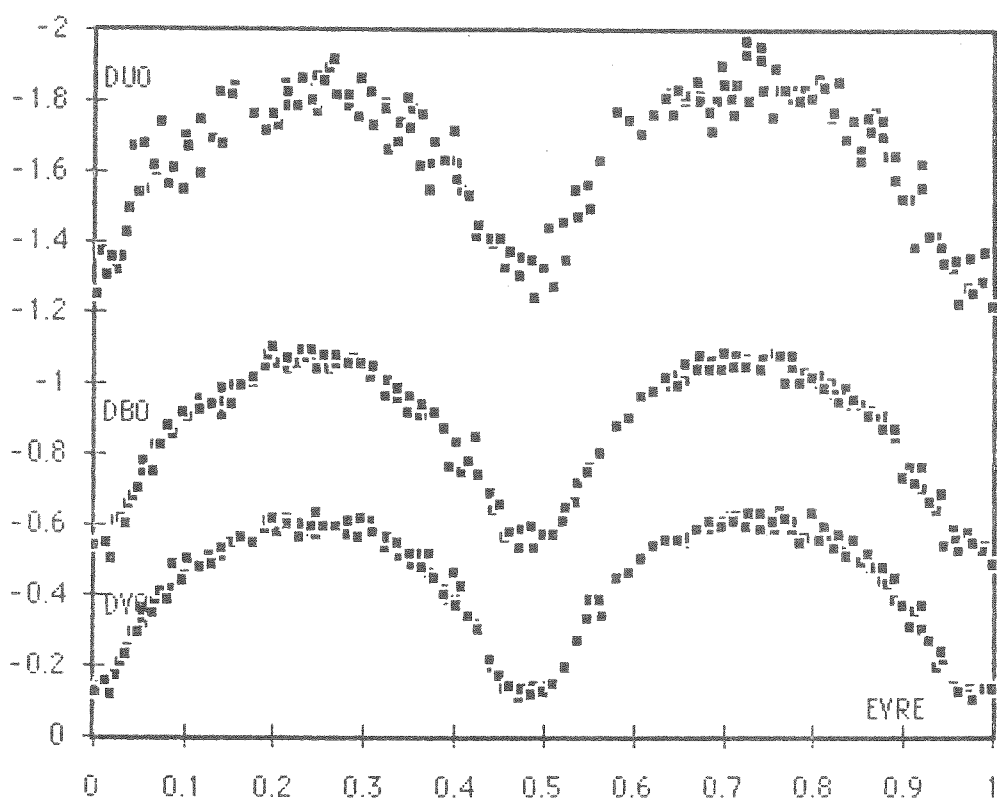
Şekillerden elde edilen sonuçlar şunlardır:

- (i) Söz konusu değişimler renge fazla bağlı değildir.
- (ii) V renginde maksimum seviyeleri arasındaki fark artarken minimum seviyeleri arasındaki farkta artmaka ve ikinci minimum derinliği düşmektedir. Buradan ikinci maksimum seviyesi düşerken ikinci minimum seviyesinin fazla değişmediği için derinliğinin azaldığı görülmektedir.
- (iii) B renginde maksimumlar arasındaki fark artarken (maksimum I seviyesi düşerken) minimum II seviyesi düşmekte, minimum II derinliği artmaka ve yine maksimum I seviyesinin düşmesine bağlı olarak minimum I seviyesi düşmektedir.
- (iv) $D_{1,2}$ değişimlerinin Δ_{\max} değişimine tanım nedeniyle bağlı olması gerekmektedir. Ancak her iki büyükükte değişim miktarı aynı olmamaktadır.
- (v) Δ_{\min} ve Δ_{\max} büyüküklerinin birbirine bağlı olarak değişmesi minimum seviyelerindeki değişimin O'Connell etkisine neden olan aynı fiziksel olaydan



Şekil.1-2 AM Leo'nun 1988, 1989 yılı ışık eğrileri

kaynaklandığını göstermektedir. Şekil. 4 ve 5'te noktaların fazla saçılmış olması nedeniyle asimetri ölçülerinin dönemli değişip değişmediği söylememektedir. Söz konusu değişimler: (i) Manyetik etkinlik çevriminden (ii) Düzensiz kütle aktarımından veya her iki nedenden kaynaklanmaktadır. Gelecekte daha sistematik gözlemlerle gerçek neden saptanabilecektir.



Şekil. 3 AM Leo'nun 1990 yılı ışık eğrileri

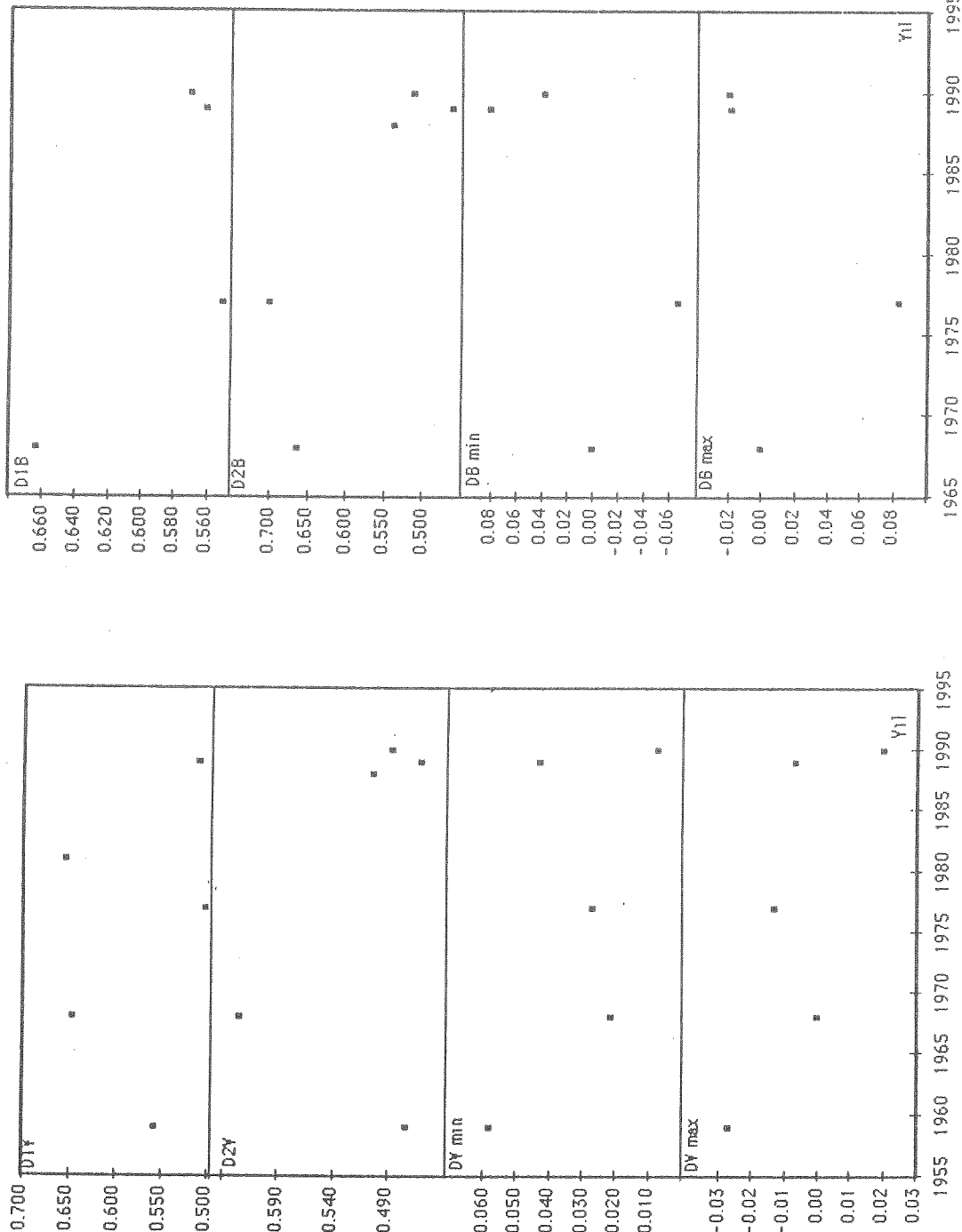
3. Dönem Değişimi

AM Leo'nun dönem değişimini incelemek için gözlenen tüm minimum zamanları literatürden toplanmıştır. Toplanan minimum zamanları 1956 yılından bu yana 33892 yörüngे çevrimini içermektedir. C değerleri

$$\text{Min I He1.JD. } 2439936.8337 + 0.3657972E$$

ışık elementleriyle hesaplanmıştır.

Şekil-6'da (i) Minimum I ve minimum II için O-C değerleri herhangibir sistematik ayırım göstermemektedir. (ii) O-C dağılımı tam bir çevrimlik küçük genlikli bir salınım oluşturmaktadır. (iii) Salınının genliği ~ 0.008 gün ve



Şekil 4. AM Leo için V renkinde asimetri ölçülerinin zamanla değişimi

Şekil 5. AM Leo için B renginde asimetri ölçülerinin zamanla değişimi

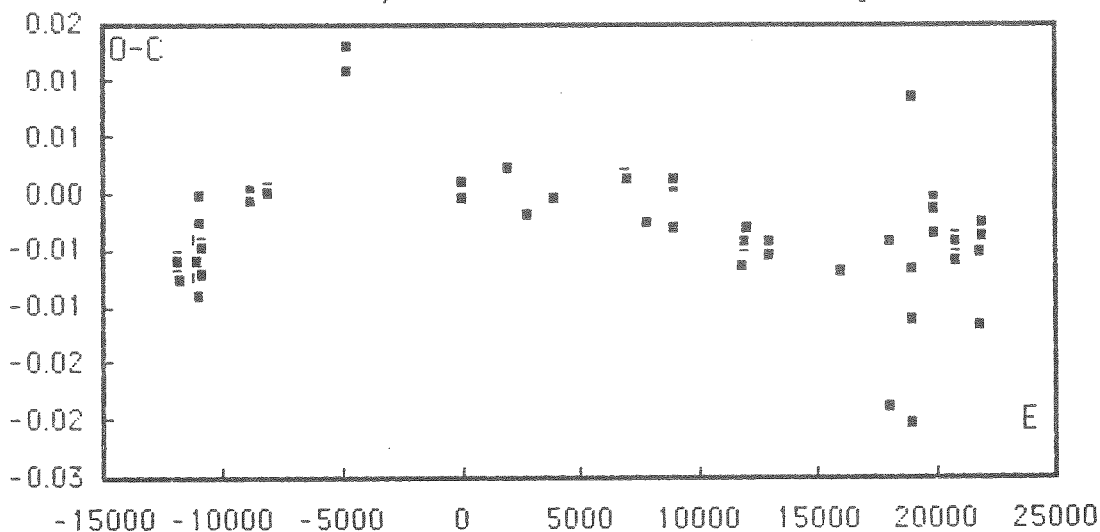
Şekil 5. AM Leo için B renginde asimetri ölçülerinin zamanla değişimi

dönemi ~ 33000 , $P \approx 33$ yıldır. (iv) Salınının maksimum ve minimum evrelerindeki noktalar fotoelektrik gözlemlerden elde edildikleri halde fazla (~ 0.02 gün aralığında) saçılma göstermektedir. (v) Bu yıllarda dönem artma evresindedir ve çevrim içinde ortalama dönem yukarıdaki değerle aynı olmakla beraber ortalama epok T_0 biraz farklıdır. Ortalama ışık elemanları

Min I He1.JD. 2439935.8312+0.3657972.E

olarak bulunmaktadır.

Şekil-6 AM Leo'nun O-C Grafiği



Dönemin yaptığı küçük genlikli salınınım sisteme 3. bir cismin varlığından kaynaklamıyorsa bu cisme ait kütle fonksiyonu oldukça küçük (0.0025) bulunur. Sistemin kütlesi iki güneş kütlesi kabul edilirse 3. cisim kütlesi bu cisme ait yörüngenin eğimine bağlı olarak $i > 30^\circ$ olması $M_3 < 0.5 M_\odot$ bulunur. Üçüncü cisim bir anakol yıldızı ise kütle ışınınım bağıntısına göre bolometrik salt parlaklığı $M_{bol} > 7.8$ kadir olması gereklidir. Diğer taraftan sistemin tayıf türü F8 V (Hill ve arkş. 1975) değerinden sistemin salt parlaklığını 4 kadir yöresinde tahmin edilir. Bu durumda varsa sisteme 3. cisim AM Leo'dan en az 4 kadir daha sönükmeli. Durum böyleyse 3. cisim AM Leo'ya hiç bir ışınımsal etkisi olmaz ancak yörunge hareketi nedeniyle dönemde gözlemeş olüler mertebesinde bir salınınım oluşturabilir. Özellikleri nedeniyle öngörülen 3.cisim kesinlikle ADS 8024'ün sönükmeli bileşeni olamaz.

Diğer taraftan dönemdeki küçük genlikli salının sistemdeki bileşen yıldızlardan birinin magnetik etkinlik çevriminden kaynaklanmış olabilir. Önceki bölümde tartışılan asimetri ölçülerinin değişimi de magnetik etkinlik değişiminden kaynaklamıyorsa bu durumda dönem değişimiyle asimetri ölçülerinin değişimini gösteren çok az veri olması ve bunların da çok fazla saçılma göstermiş olması nedeniyle dönem değişimiyle sağlıklı bir karşılaştırma yapmak mümkün değildir. Ancak gelecekte bu yönde yapılacak sistematik gözlemler sonuca ışık tutabilecektir.

Kaynaklar

- Abrami, H. 1959, Mem.Soc.Ast. Italia,30,303.
 Binnendijk, L. 1969, A.J.,74,1031.
 Binnendijk, L. 1984, P.A.S.P.,96,646.
 Eggen,O.J.1967,Mem.Roy.Ast.Soc.,70,111.
 Hill,G.,Hilditch,D.M.,Younger,F.and Fisher,W.A.1975,Mem.Roy.Astr.Soc.,79,131.
 Hoffmann,M. and Hopp,U.1982,Ap.Sp.Sc.,83,391.
 Hoffmeister,C.1935,Astr.Nachr.,255,401.
 Hutchings,J.B. and Hill,G.1973,A.P.J.,179,539.
 Jabbar,S.R. and Kopal,Z.1983,Ap.Sp.Sc.,92,99.
 Mauder,H.1975,Ap.Sp.Sc.,34,297.
 Russell,H.N. and Merrill,J.E.1952,Cont.Princeton Univ.Obs.,26,50.
 Worley, C.E. and Eggen,O.J.1956,Publ.Astr.Soc.Pacific,68,45

O. GÖLBAŞI: Biliyorsunuz Ankara ve İzmir genelde bu konuyu çalışıyor. İzmir'de teorik eğri ile gözlemsel noktalar çok iyi uyuşuyor. Ankara Gözlemevi'ne baktığımızda belki yöntem değişikliğinden, U bandında tamamen olmak üzere diğer bantlarda da büyük saçılımalar var. Biz de benzer gözlemlere geçeceğimizden öğrenmek istiyoruz, acaba kullandığınız yöntem mi çok değişik yoksa gözlem sayısının artmasını önemli ?

E.DERMAN: Wilson-Devinney ile ilgili programda çözüme girdiğinizde tüm ışık eğrisinin ortalamasını elde edersiniz. Yani 500 noktası programa sokmazsınız. Onun belli evre aralıkları içersindeki ortalamalarını alırsınız. Programın çözümünü kuramsal eğri ile karşılaştırırsanız gerçekten çok küçük sapmalar olur.

O. GÖLBAŞI: Siz orada bu uyumlu değerleri elde etmemek için mi bu yöntemi kullanıyorsunuz ?

E.DERMAN: Hayır. Çünkü o programı çalıştıracak bir bilgisayara sahip değiliz.

C.İBANOĞLU: Orhan bey, aletler arasında birazcık fark var. Minimum yanılıkları tayin ettiğiniz zaman gökler arasındaki yanılığının 0.007 ile 0.008 kadir civarında olduğunu göreceksiniz.

E.DERMAN: Genellikle B renginde 0.02 kadir. Bu çok çeşitli olaylara bağlı. Mesela kısa dönemli bir yıldızı bir gece sürekli gözlediğiniz zaman yanılığı çok düşüyor ama uzun dönemli bir yıldızın gecede 3-4 noktalı bir ışık eğrisini elde ettiğiniz zaman yanılığı çok büyüyor.

Z.ASLAN: Yanılığı böyle ölçmemek lazım. Yanılığı ölçecek şey sabit yıldızlardır. Mukayese ile denet arasındaki farka bakıp onu denetleyeceksiniz.

K.AVCIOĞLU: İki sorum var. Birincisi, sistemin spektrel tipini nasıl elde ediyorsunuz ? İkinci de, Üçüncü bileşenden söz ettiniz, onun mutlak bolometrik parlaklıği için kesin bir değer elde edilmiş. Bolometrik parlaklığını nasıl elde ettiniz ? Bu o kadar kolay değil.

H.DÜNDAR: Önce kütle fonksiyonunu elde ettik. Daha sonra yörunge eğiminden kütlesinin minimum değerini bulduk. Yani 0.5 den küçük olduğunu söyledik. Daha sonra da eğer Üçüncü cisim ana kol yıldızı ise buradan bolometrik parlaklığını söyledik.

K.AVCIOĞLU: Genel bir grafik var. Bir de sistemin spektrel tipi.

E.DERMAN: Buna bir açıklık getireyim. Bunlar kontakt çift oldukları için kontakt bir zarfla örtülü. Dolayısıyla siz yıldızların teker teker tayf turunu tayin etmekte zorluk çekiyorsunuz. Tayfini aldiğinizda sistemin tayfini almış oluyorsunuz. Oradan bir tayf turu tesbit ediyorsunuz.

K.AVCIOĞLU: Fakat bazı çok zor olan şeyleri çok kesin sonuçlarla veriyorsunuz.

E.DERMAN: Tabii vermemek lazım.

N.GUDUR: GörSEL bir çiftin parlak bileşeni bu. Görsellerde sönükleşen de gözlemlerin içerisinde var mı? Yoksa onu diyaframın dışına çıkarabiliyormusunuz ? Açısal uzaklık ne kadar ?

E.DERMAN: Bizim kullandığımız diyafram genişliği biraz büyük olduğu için gözlemlerde işin içine giriyor.

EFEMERİS HESAPLARININ ESASLARI

Al., N.
İstanbul Üniversitesi, Fen Fakültesi,
Astronomi ve Uzay Bilimleri Bölümü,
34452 Üniversite-İSTANBUL

(POSTER)

Gökcisimlerinin ve özellikle gezegenlerin yerini hesaplama isteği, astronominin kendisi kadar eski bir düşüncedir. Son zamanlarda hızla gelişen bilgisayar teknolojisi astronomik hesaplamaların oldukça kolay uygulanmasını sağlamıştır. Bu nedenle Oliver Montenbruck tarafından yazılan ve orijinali Almanca olan "Grundlagen der Ephemeridenrechnung" (Efemeris hesaplarının esasları) adlı kitap Türkçe'ye çevrilimktedir. Bu kitabın amacı gök mekanığının bu zevkli konularını teorikten çok astronomi öğrencilerinin daha kolay anlayabileceği biçimde vermektir. Kitabın özelliği ise;

- i. önemli kavramların, özellikle çeşitli koordinat sistemlerinin özetlenmiş tariflerini,
- ii. gerekli formülleri ve aralarındaki ilişkileri,
- iii. yörunge elemanları, kütleler ve astronomik sabitler gibi gerekli sayısal değerleri, içermesidir.

Bir öğrenci olarak bu kitabın çevirisine başlanması fikrinin doğduğu 1989 Mayıs ayından bugüne kadar, çok büyük bir bölümü Almanca'dan Türkçe'ye çevrilmiş olup, düzeltmeleri, yeni basılmış olan İngilizce baskısından yararlanarak yapılmaktadır (Doç. Dr. Adnan Ökten, Araş. Gör. A. Talat Saygaç).

Kitap özetle aşağıdaki konuları içermektedir:

Koordinat sistemleri, Zaman hesabı, iki cisim problemi, Çok cisim problemi, Ay yörungesi, Fiziksel efemerisler, iki cisim problemine ait bazı temel formüllerin çıkarılması.

KROMOSFERİK VE KORONAL İSITMA MEKANİZMALARI

Başal, M.
İstanbul Üniversitesi, Fen Fakültesi,
Astronomi ve Uzay Bilimleri Bölümü,
34452 Üniversite-İSTANBUL

(POSTER)

Kromosferik ve koronal ısıtma mekanizmalarına esas olan iki temel görüş, fotosfer altı konveksiyon tabakaları tarafından üretilen mekanik veya magnetik enerjinin iletimi ve dağıtımına dayanır. Koronal ısıtmaya dair orijinal bir görüş olarak, fotosferden yukarıya doğru iletilen akustik dalgalar tercih edilmekle beraber, akustik dalga ısıtmasının son zamanlara ait hesaplamaları (Bruner, 1978; Athay ve White, 1978, 1979), bu mekanizmanın koronayı ısıtmak için yeterli enerjiyi sağlayamayacağını göstermektedir ki bu sonuç, bir alternatif olarak, koronal sıcaklıklardan magnetik aktivitenin sorumlu olabileceği hususunu gündeme getirmiştir. Isıtma proseslerine dair mekanizmalar ve görüşler herşeye rağmen hala ziyadesiyle şüpheli ve spekulatifler. Ancak tereeddütler magnetik alanların ısıtmada oynadığı can alıcı rolün kabulüne halel getirecek vasıfta olmayıp, bu önemli rol genel itibarıyle kabul görmektedir.

**ABSORBSİYON OSİLATÖR ŞİDDETLERİNİN GÜNEŞ SPEKTRUMUNDAN
İTİBAREN HESAPLANMASI**

Bolcal, Ç., Koçer, D., Güzel, T., Koktay, T., Akman, E.
İstanbul Üniversitesi, Fen Fakültesi,
Fizik Bölümü, Vezneciler-İSTANBUL

(POSTER)

Anormal metal bolluğu gösteren anakol yıldızlarında bu oluşumu anlayabilmek için çalışmalar 1935'lerden beri süreğelmiştir. Yıllarca kullanılan bir yöntem olan "Büyüme Eğrisi" yöntemi bilgisayarların gelişimi sonucu yerini "Model Atmosfer" yöntemine bırakmış ve yıldızlardan elde edilen spektrumlardan itibaren oldukça ayrıntılı sayısal analiz yapabilmek mümkün hale gelmiştir. Ayrıca gelişen teknik özellikle uydu gözlemevlerinden yapılan gözlemler veri kalitesinin üst düzeyde olmasını sağlamaktadır. Bütün bunların yanısıra bolluk analizi için girdi olarak kullanılan fiziksel veriler vardır. Böyle bir analizde bunların da dikkatlice seçiliip kullanılması ve özellikle anormal bolluk gösteren özel yıldızlarda (Ap ve Am gibi) karşılaştırma söz konusu olduğundan tutarlı sonuçlar elde etmek için standartizasyon temel koşuldur. Çalışmanın I. aşamasında JUNGPRAUJOCH gözlemeviden tape üzerinde kayıtlı güneş spektrumunda absorbsiyon çizgilerinin eşdeğer genişlikleri bilgisayarda yazılan bir programla ölçülmektedir. ATLAS 8 programı yardımı ile güneş modeli bilinen element bollukları ve diğer parametreler kullanılarak WIDTH 8 programı tersine çalıştırılıp her bir çizgi için osilatör şiddeti değerleri hesaplanması çalışmanın ikinci aşaması olarak planlanmıştır. Böylece bu çalışma sonunda en yakın yıldız olan ve bolluğu karşılaştırma için standart olarak kullanılan Güneş spektrumundan yararlanarak Osillatör şiddetleri için tutarlı bir set ve başvuru kaynağı oluşturulması düşünülmektedir.

YILDIZLarda KÜTLE KAYBI HAKKINDA

Çalışkan, H.
 İstanbul Üniversitesi, Fen Fakültesi
 Astronomi ve Uzay Bilimleri Bölümü
 34452 Üniversite - İstanbul
 (Poster)

Bu çalışmada, yıldızların kütle kaybettiklerine dair gözlemsel ve teorik deliller incelenerek, yıldız rüzgarlarının kütle kaybına etkileri ve bunun yıldız evrimindeki rolü araştırılmıştır. Yıldızlarda kütle kaybının varlığına dair incelemeler başlıca altı metotla yapılmaktadır. Bu altı metot şöyle sıralanabilir;

U Metodu : UV Bölgesinde oluşan P Cygni rezonans çizgi profillerinin kullanıldığı metottur.

V Metodu : Görünen bölgede başlıca H 6563 Å ve HeII 4686 Å emisyon çizgileri ile CaII nin H ve K çizgilerinin (3968, 3933 Å) kullanıldığı metot.

I Metodu : İyonize plazmadan kaynaklanan serbest-serbest emisyonun görüldüğü kıızılıtesi fotometrik bandından elde edilen verileri içeren metot.

R Metodu : Radyo bölgesinde sürekliliğin kullanıldığı metot.

C Metodu : Kıızılıtesinde C molekül bantlarından elde edilen verilerin kullanıldığı metot.

M Metodu : Mikro dalga bölgesindeki Maser çizgilerinden elde edilen verilerin kullanıldığı metot.

Bu metotlardan R metodu en doğru kütle kaybı oranının elde edildiği metottur. Çünkü bu metot, rüzgarın sıcaklığı ve yoğunluğularındaki varsayımlar ve modellere az bağımlıdır. Fakat bu metod için gerekli olan teknigin henüz yeni gelişiyor olmasından dolayı halen kullanılan ve en küçük kütle kaybının dahi ölçüleceği metot, U spektroskopik metodudur.

A. Ü. GÖZLEMEVİ'NDE YAPILAN ÇİFT YILDIZLARIN FOTOELEKTRİK FOTOMETRİSİ

Derman, E., Demircan, O., Aydın, C., Yılmaz, N., Engin, S.,
Muyesseroglu, Z., Selam, S., Ekmekçi, F., Akalın, A., Özeren,
F., Kahraman, G., Dündar, H., Gürol, B., Albayrak, B.,
Kalkan, V., Çağırıcı, N., Aslan, N.
Ankara Üniversitesi, Fen Fakültesi,
Astronomi ve Uzay Bilimleri Bölümü,
06100 Beşevler-ANKARA

(POSTER)

A.Ü. Gözlemevi'nde, Algol, RS CVn ve W UMa türü yakın çift yıldızların fotometrisi iyi organize edilmiş bir topluluk tarafından yürütülmektedir. Son üç yılda, otuz yöresinde yakın çift yıldızın ışık eğrisi UBV bantlarında tamamlanmıştır. Bunların içinde kısa dönemli bazı sistemlerin ışık eğrileri her yıl elde edilmektedir. Gözlem aletlerimizde herhangi bir arıza olmadığı takdirde her açık gece değerlendirilmekte hatta gecenin belirli anında hava açlığında gözleme başlandığından saatler değerlendirilmektedir. Bazı başarılı son sınıf öğrencileri aktif olarak gözleme katılmaktadır. Bu posterde son bir yılda tamamlanan ışık eğrileri grafik formatta gösterilmiştir.

NGC 6624 KURESEL KUME X-İŞİN İKİLİ SİSTEMİNİN GİNGA
GÖZLEMLERİ

Ercan, E.N., Kellett, B. & Cruise, A.M.
Boğaziçi Üniversitesi; Rutherford-Appleton Lab.
Oxon, Didcot England

(POSTER)

Bu çalışmada NGC 6624 Kuresel kumesindeki X1820-303 X-ışın ikili sisteminin ilk GiNGA (CASTRO-C) gözlemleri anlatılmaktadır. 11 dakikalık yörunge peryodu olan bu sistem, aynı zamanda yarıperiyodik salınımlar da göstermektedir. Böylesine ilginç özellikler gösteren sistemin spektral ve timing davranışları ayrıntıyla incelenmiş ve günümüz modelleriyle karşılaştırılmıştır.

**TYCHO BRAHE'YE KADAR KURULAN RASATHANELER
ile
BU RASATHANELERDE MEVCUT BİLİM ATMOSFERİ
ve
ORTAYA KONAN BİLİM URÜNLERTİ**

Lütfi Göker

G. Ü. Gazi Eğitim Fak. Fen Bilimleri Eğitimi Bölümü
Matematik Anabilim Dalı
ANKARA

Astronomi ve bunun müesseseselmiş kuruluşu olan rasathanesi tarihi ile ilgili eserlerdeki bilgiler; çoğunlukla birinci gurup olarak Grek (Antik Yunan) bilginlerinden Miletoslu THALES (M.Ö. 624-548), İskenderiyeli HIPPARCHOS (M.Ö. 180-125) ve BATLAMYOS (Cladius Ptolemeos 85-160) üçlüsü ile temsil edilir. ikinci gurup olarak da; Batı bilginlerinden KOPERNİK (1473-1543), TYCHO BRAHE (1546-1610) ve öğrencisi KEPLER (1571-1630), GALİLEO (1564-1642), NEWTON (1642-1727) ve çağdaşları tarafından ortaya konan kavram ve sistemler açıklanır.

Netice olarak; bu günün astronomisinde mevcut temel bilgiler ile günümüz rasathanesinin Grek "bilginleri" tarafından ortaya konduğu, bilahare de 16. yüzyıl ve sonrası Avrupalı bilginler tarafından mütekâmil hale getirildiği ifade edilir.

Astronomi ve bunun müesseseselmiş kuruluşu olan rasathanenin tarihi gelişimi incelendiğinde, 8. ile 16. yüzyıllar arası Türk-İslâm dünyasında görülen astronomi çalışmaları çağını aşmış ve çağımız astronomisine ışık tutmuştur.

Bu rasathanelerde yapılan rasat çalışmaları, ziyc adı verilen eserlerde toplandı, Batı bilim dünyası, Kopernik'e kadar bu ziyclerde mevcut astronomi, matematik ve fizik bilgilerini kullandı. Kopernik ünlü eserinde, İbn-i Şatır ve Nasırüddin Tusi'nin eserlerinden ilham aldığı belirtir. (Kaynak: Beyru niye Armağan, Türk Tarih Kurumu, 1974, Sh. 74 ve 75)

Türk-İslâm dünyası astronomi bilginlerinin eserleri, önceleri 10. yy başlarından itibaren münferit olarak, bilahare de bilim tarihinde "tercüme yüzyılı" olarak adlandırılan 12. yy başlarından itibaren yoğun bir şekilde Latinçeye tercüme edilmiştir. Bu tercüme faaliyeti, müteakip yıllarda günümüz Batı dillerinde de hızlı bir şekilde devam etmiştir. Bu durum sonucu, Avrupalı bilim adamları için gerekli olan imkan ve zemini hazırlamış oldu. Bu durumda; hız, kuvvet ve cesaret alan, KOPERNİK, TYCHO BRAHE, GALILEA, KEPLER, NEWTON ve çağdaşları ile daha sonra gelenlerin gayretleri sonucu günümüz astronomisi (yaygın adıyla modern astronomi) ile günümüz rasathanesi ortaya çıkabilmiştir. Bilimin terakkisi bu tarihi gerçeği ne unutturabilir ve ne de gölgelendirebilir.

Elemental abundance analyses with DAO spectrograms - VIII. The normal F main sequence stars Theta Cygni and Iota Piscium

Dursun Koçer*

Astronomy Department
Istanbul University
34452 University
Istanbul, Turkey

Saul J. Adelman*

Department of Physics
The Citadel
Charleston, SC 29409 USA

Çetin Bolcal*

Department of Physics
Istanbul University
34459 Vezneciler
Istanbul, Turkey

and

Graham Hill

Dominion Astrophysical Observatory
5071 W. Saanich Road, R. R. 5
Victoria, BC V8X 4M6 Canada

Summary. Elemental abundance analyses of the normal F dwarfs θ Cygni and ι Piscum are performed consistent with previous papers of this study. Our determinations of effective temperature and the logarithm of the surface gravity, 7000 K, $\log g = 4.0$ for θ Cyg and 6235 K, $\log g = 4.0$ for ι Psc, make these stars slightly hotter than most previous studies.

KENDİNİ OLUSTURAN EVREN MODELİ (ŞİŞKİN EVREN TEORİSİ)

Topbaş, A.
İstanbul Üniversitesi, Fen Fakültesi,
Astronomi ve Uzay Bilimleri Bölümü,
34452 Üniversite-İSTANBUL

(POSTER)

Kendini oluşturan evren teorisi, Big-Bang'in, 'önceki' evrenin bir yerindeki kuantum düzensizliği ile başladığını iddia eder. Aynı şekilde, bizim kendi evrenimiz de diğer evrenlere 'gebe' olmalıdır. Diğer evrenlerin patlayıcı maddelerinin doğuşunu biz sadece zorlukla gözleyebiliyoruz veya hiç gözleymiyoruz. Kendini oluşturan bir evrendeki, evrenler hiyerarşisi sonsuz bir kaynak olmalıdır. Fizik kanunları, bir evrenden diğerine önemli derecede farklı olmalıdır. 1980'de ortaya atılan çok başarılı kozmik şişkinlik teorisi, evrenlerin sürekli kendini oluşturma etkisinin düşünce senaryosunu olanaklı hale getirmiştir. Gerçekte, bu tanımlama bizim şişkin alanımızın nasıl meydana geldiğini ve nasıl dağıldığını, sayısız diğer oluşumların hikayesini yenibaştan anlatabilir. Şişkinlik teorisi, şimdilerde MIT'de olan Alan Guth tarafından ve Moskova'daki Lebedev Fizik Enstitüsündeki Andrei Linde tarafından geliştirilmiştir. Pennsylvania Üniversitesi'ndeki Andreas Albrecht ve Paul Steinhardt'da Guth'un ilk çalışmasını geliştirmiştir. Kollektif olarak yapılan değişikliklere yeni şişkinlik teorisi denir ve zamanın başlangıcından sonraki ilk 10^{-30} saniyede meydana gelen olayları açıklar. Şişkin kozmoloji önceden cevaplandırılmış çeşitli, mükemmel mekanizmalı kozmik bilmeceleri çözebilmiş gibi görünüyor. Gerçi kavramak zor ama, şişkinlik anı, var olma öncesinden sonra akla gelen tüm yayılmış kuantum alanı, somut olan bir küçüklük veya kütle olmayan, "yanlış-vakum" denen bir yüksek enerji durumunda tutulmuş olması düşüncesidir. Bu yanlış-vakum, olağandışı boyutları, kozmostan dışarıya doğru genişleten,

genel relativite ile tutarlı, garip bir uzaklaştırıcı gravitasyonel güç ile tanımlanmıştır. Şişirilmiş evren gibi yanlış-vakum da süper-soğutulmuştur ve sonunda bazen donmasına benzer ani bir evre değişimi olmuştur. Bir anda yanlış-vakum, bugünkü gözlediğimiz sakin genişlemeden daha fazla genişleyen ve tekrar ısınan evrene, düşük enerji alanına dönüştü. Şişkinlik, gelecekteki çöküşten sonsuz genişlemeyi ayıran kritik yoğunluğa çok yakın dengedeki yeterli maddeyi içeren bir evreni öngörür. Böylece, eğer şişkin kozmoloji doğrusa, evreninizde hangi durumun yaygın olduğunu karar vermek mümkün olabilir. Fakat uzun zamandır var olan kozmolojik sorular cevaplandırılamayabilir. Bütün bunlardan başka, şişkinlik teorisi basit Big-Bang teorisinin açıklayamadığı bazı noktaları, başlangıçtaki tüm maddenin ve enerjinin oluşum şeklini açıklayabilir. Guth şöyle der: "Şişkinlik modelinde, büyük bir genişlemede olan evrenin durumunu etkileyen bir mekanizma vardır ve aslında, şimdilerde gözlediğimiz madde ve enerjinin hepsi bu fışkırmaya sırasında oluşandır. Standart modelde, madde ve enerjinin başlangıçtan beri var olduğu kabul edilmiştir."

**İSTANBUL ÜNİVERSİTESİ GÖZLEMEVİNDE YAPILAN GÜNEŞ
GÖZLEMLERİ**

Tuncay Özışık

İstanbul Üniversitesi, Fen Fakültesi,
Astronomi ve Uzay Bilimleri Bölümü,
34452 Üniversite-İstanbul

İstanbul Üniversitesi Gözlemevi 1936 yılında, İ.Ü. Merkez Binası içinde kurulmuştur. Kubbe ve bina inşasının tamamlanmasından sonra 25.IX.1936 tarihinde CARL ZEISS JENA marka Astrograf Sistemi ana kubbeye yerleştirilmişdir. Bu sistemin özellikleri kısaca şöyledir:

- 1) ASTROGRAF:** 30 cm çapında, 150 cm odak uzaklığındadır.
- 2) TAKİP DÜRBUNU:** 13 cm çapında ve 200 cm odak uzaklığına sahiptir.
- 3) KROMOSFER DÜRBUNU:** 12 cm çapında ve 232 cm odak uzaklığına sahip olan bu durbune monokromatik Hα LYOT filtresi ve Canon F1 marka fotoğraf makinesi monte edilmiştir.
- 4) ARAYICI DÜRBUN:** 7 cm çap ve 90 cm odak uzaklığına sahip ufak bir durbundur.

İ.Ü. Gözlemevi'nde güneşin Kromosfer tabakası görsel ve fotoğrafik olarak, Fotosfer tabakası ise 25 cm'lik bir projeksiyon diskü üzerinde leke çizimleri yapılarak incelemektedir. Gözlemler, tümü Araştırma Görevlisi olan 7 kişilik bir ekip tarafından yürütülmekte ve havanın açık olduğu her gün bir kişi 07 00-09 00 UT saatleri arasında güneş gözlemini yapmaktadır.

İ.Ü. Gözlemevi'nde ilk güneş leke gözlemi 31 Mayıs 1945 tarihinde yapılmış ve 3 Ocak 1951 tarihine kadar muhtelif çaplarda projeksiyon diskleri kullanılmıştır. Bu tarihten itibaren halen kullanılmakta olan 25 cm'lik projeksiyon diskü üzerinde leke çizimleri yapılmaya başlanmıştır. Rasat sonrasında leke koordinatları ve o güne ait Rölatif Sayı gözlemci tarafından hesaplanmakta ve rasat sonuçları her ay düzenli olarak yurt dışındaki belirli merkezlere gönderilmektedir.

Kromosfer gözlemleri için sisteme 1956 yılında yukarıda özelliklerini verdigimiz kromosfer durbunu eklenmiş ve bu yıldan itibaren Lyot filtresi yardımıyla bu tabakanın Hα'daki gözlemleri yapılmaya başlanmıştır. Kromosferde meydana gelen parlama, prominens aktivitesi, surge gibi olaylar fotoğrafik olarak tespit edilmekte, film ban-yolari yine bölümümüzde bulunan film laboratuvarında yapılarak, daha sonra arşivlenmektedir.

Fotosferik gözlem sonuçları her yıl yayınlanmaktadır, önemli kromosferik olaylar ise makale haline getirilerek Fen Fakültesi Mecmuası, Solar Physics gibi yayınlara gönderilmektedir.

HELYUM YANMALI MODELLERDE NÜKLEOSENTEZ
ve
ENERJİ ÜRETİM ORANINDAKİ DEĞİŞİMLER

BÜLENT UYANIKER ve HALİL KIRBIYIK
Fizik Bölümü, Orta Doğu Teknik Üniversitesi, Ankara

Özet: Bu çalışmada helyum yanması sırasında nükleosentez ve kompozisyon değişimleri incelenmiş; kompozisyon değişimlerinden kaynaklanan nükleer enerji üretim oranındaki değişimler lineer, adyabatik ve radyal yaklaşımla araştırılmıştır. Elde edilen enerji üretim oranı denklemleri beş Güneş kütleli bir model yıldız için kullanılmış; enerji üretim oranındaki değişimleri veren yoğunluk ve sıcaklık katsayıları μ ve v hesaplanmıştır.

